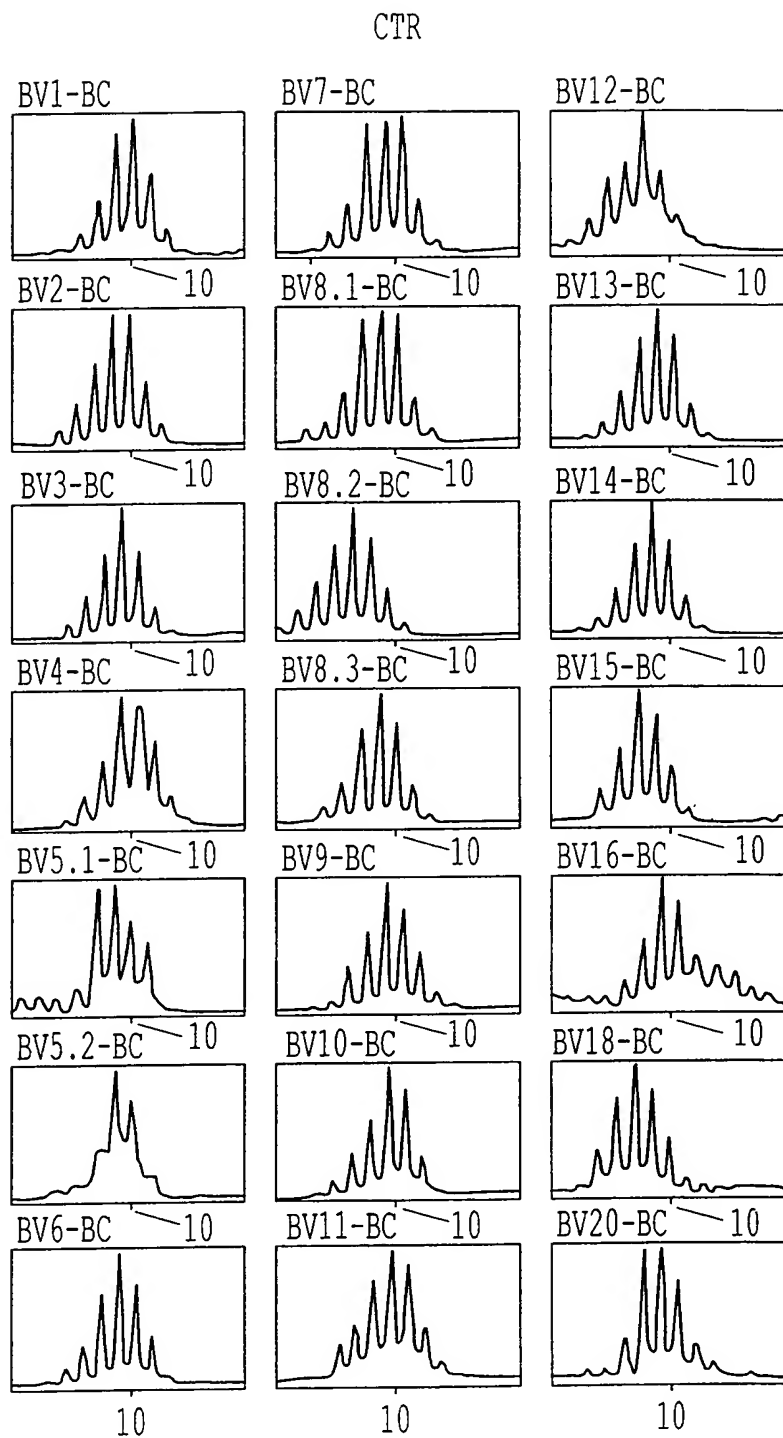
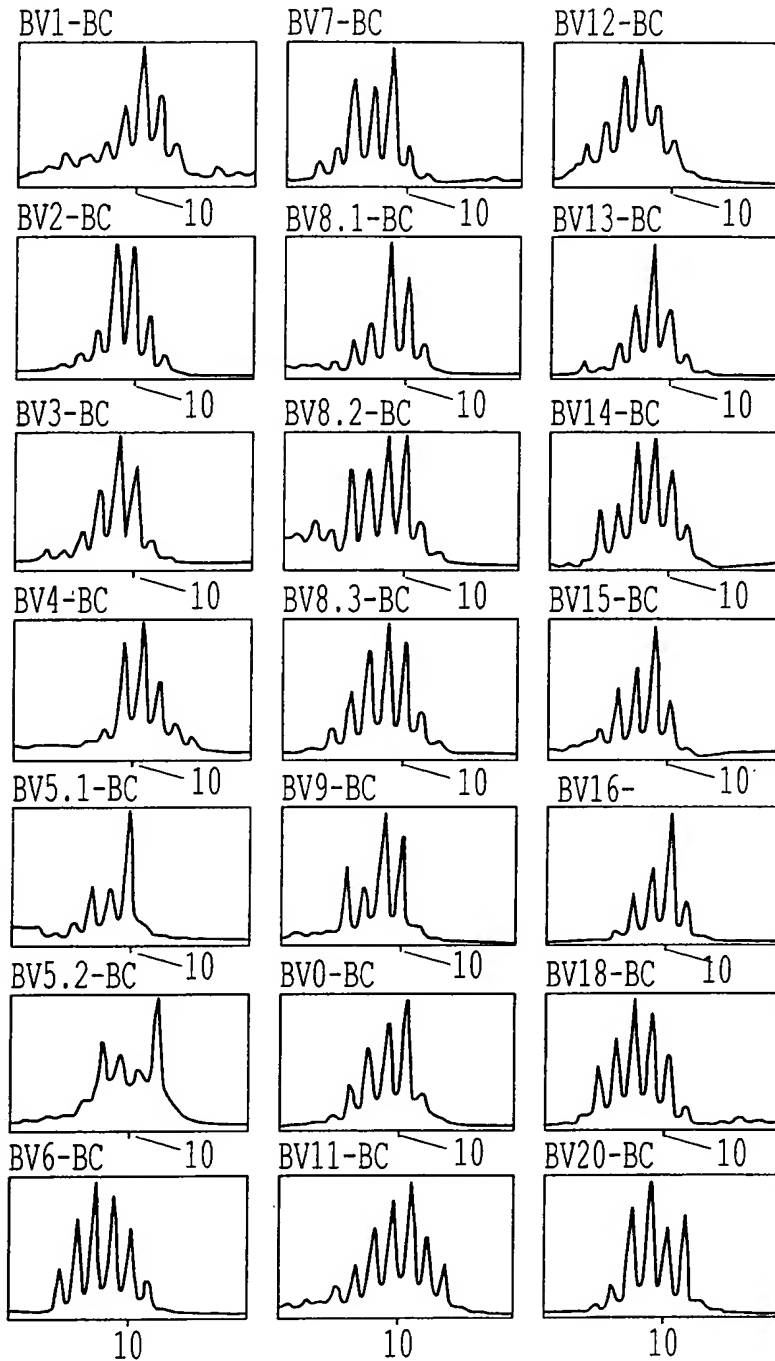


**FIG. 1**

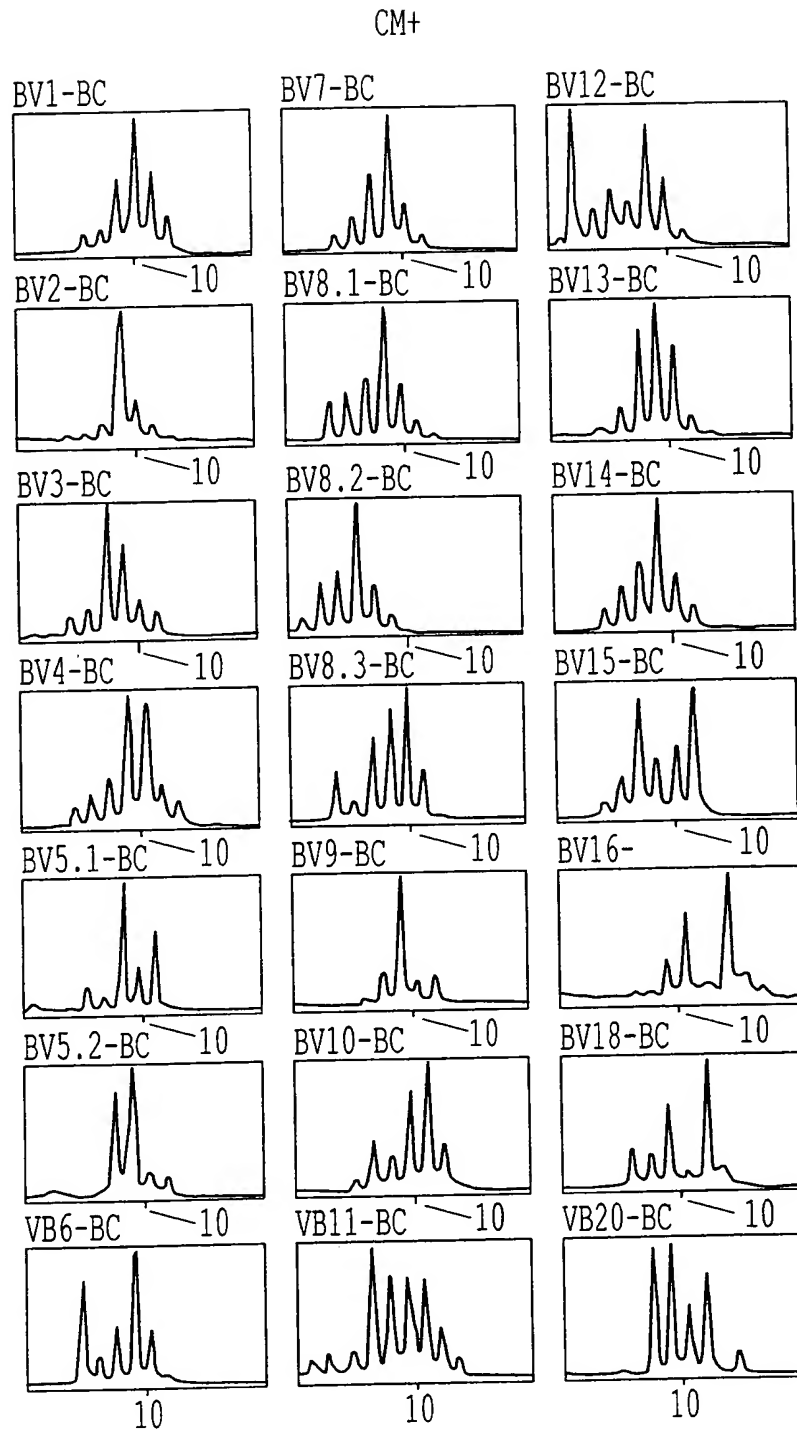


*FIG. 2A*

CM-

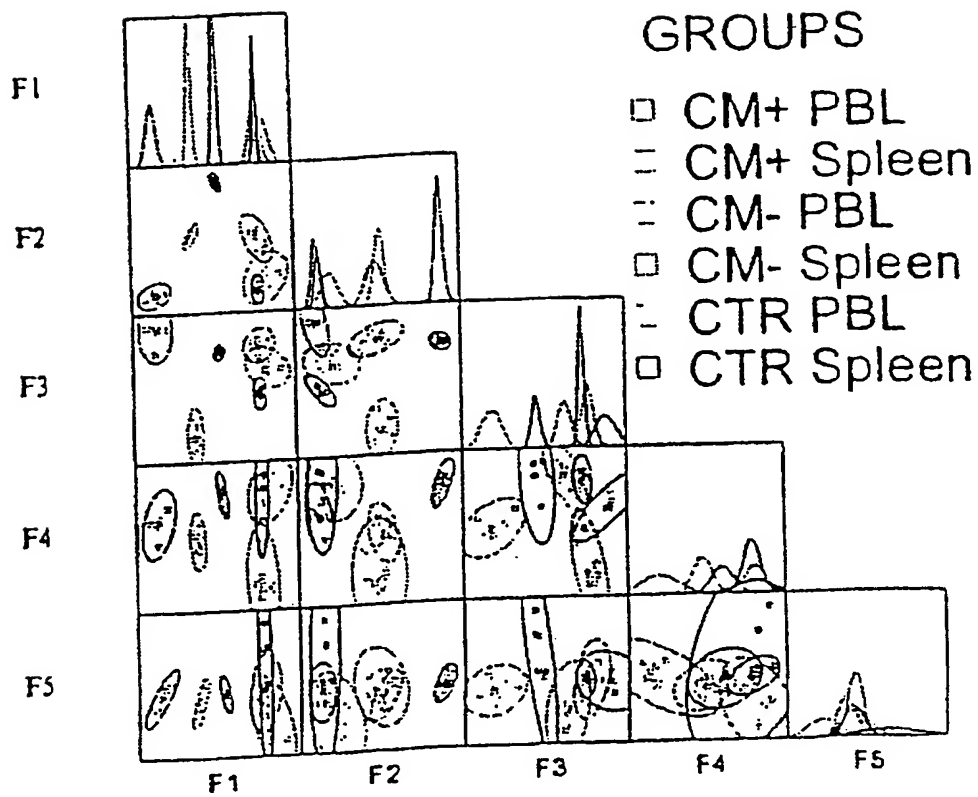


*FIG. 2B*



*FIG. 2C*





**FIG. 3**

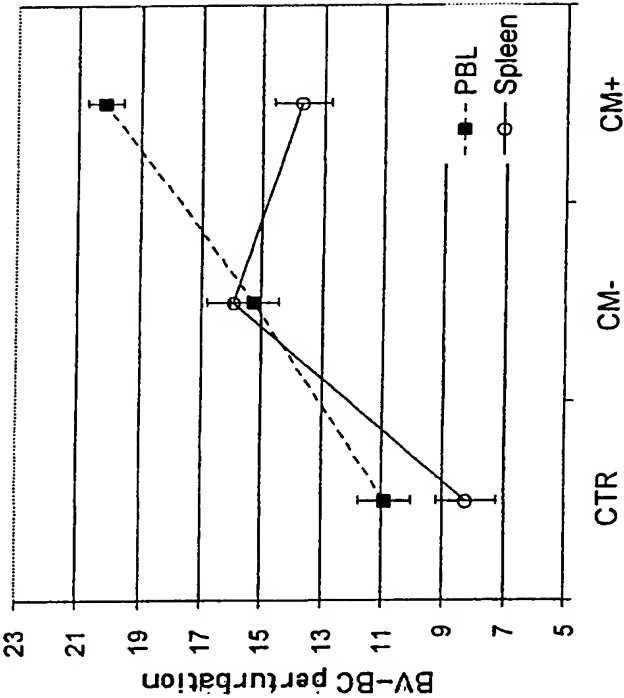
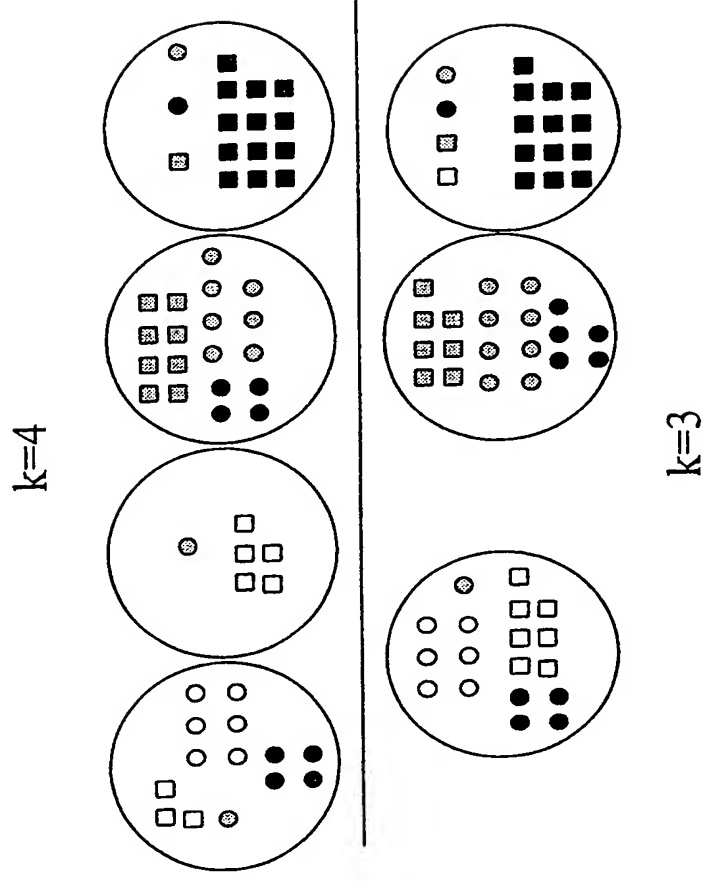
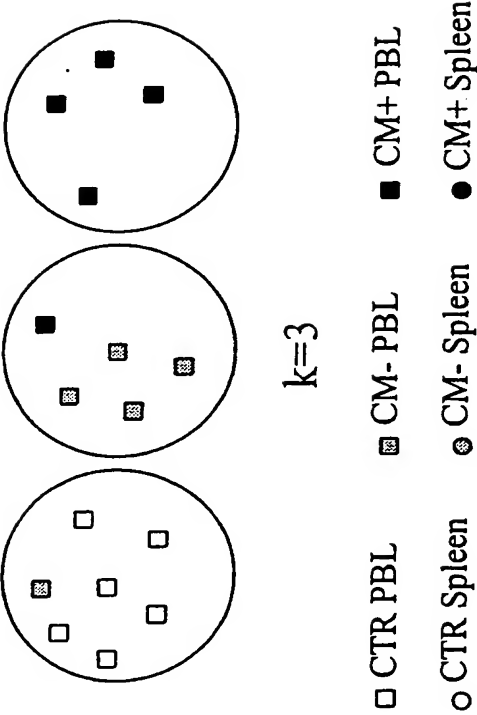


FIG. 4A



**FIG. 4B**



*FIG. 4C*

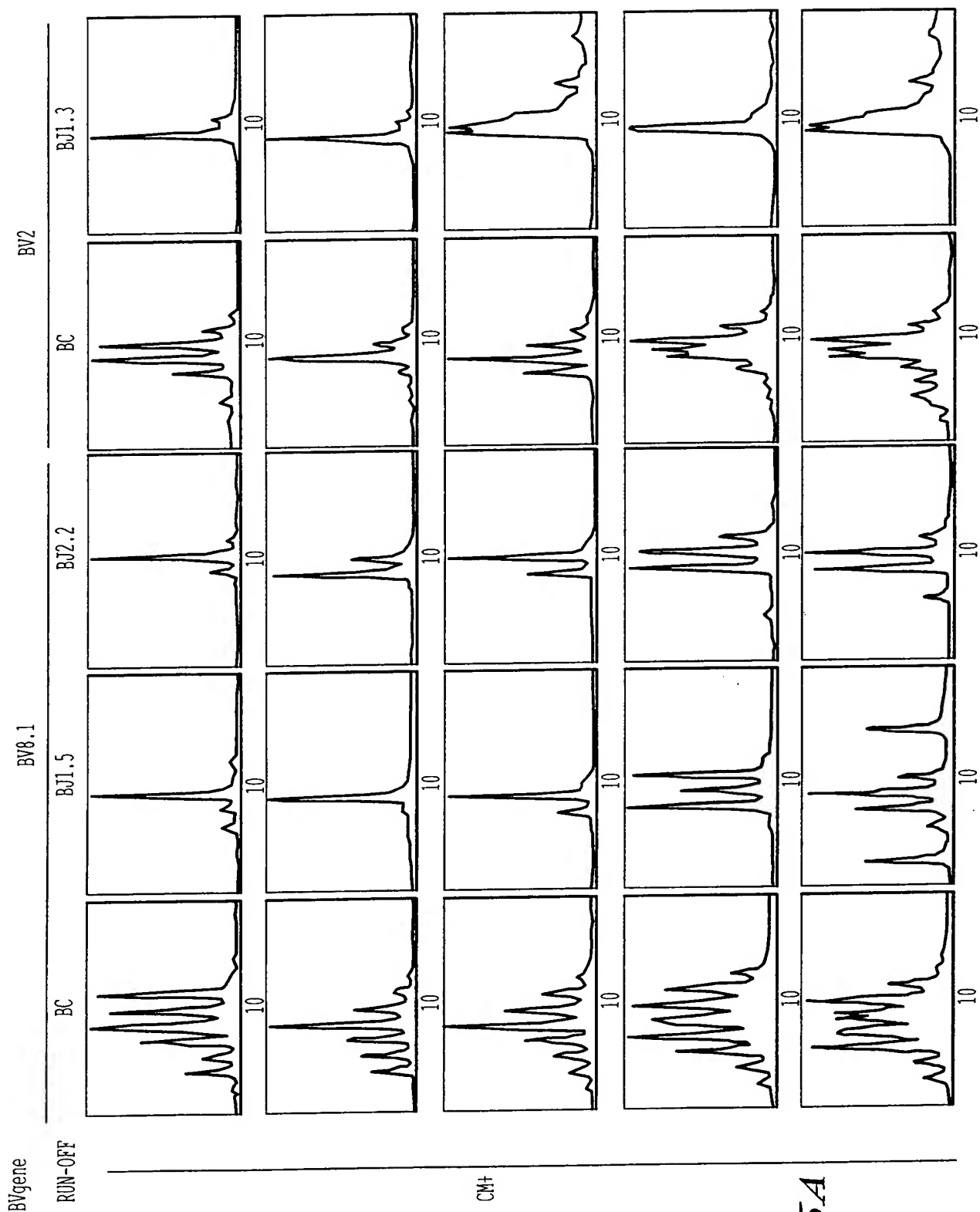
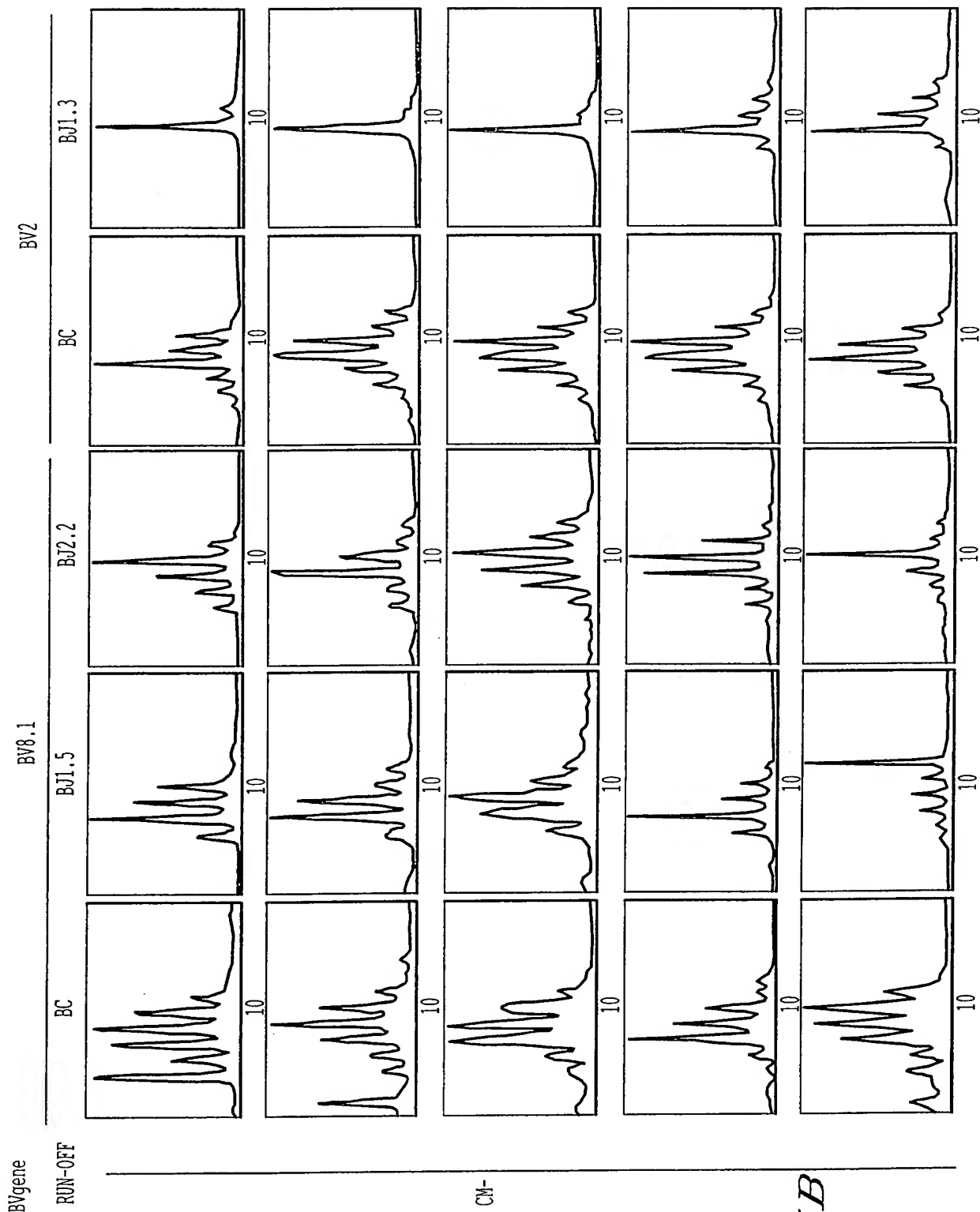


FIG. 5A



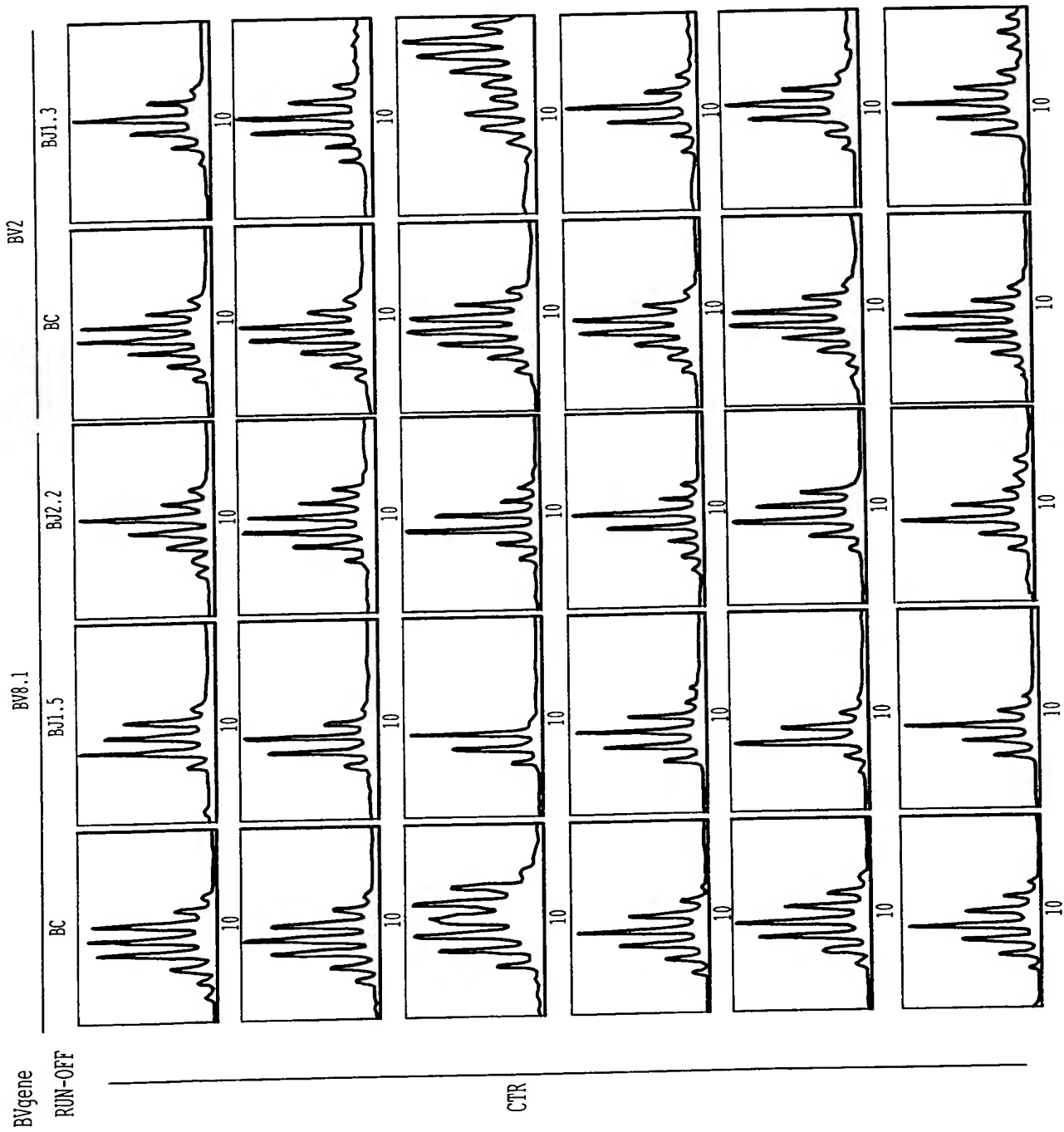
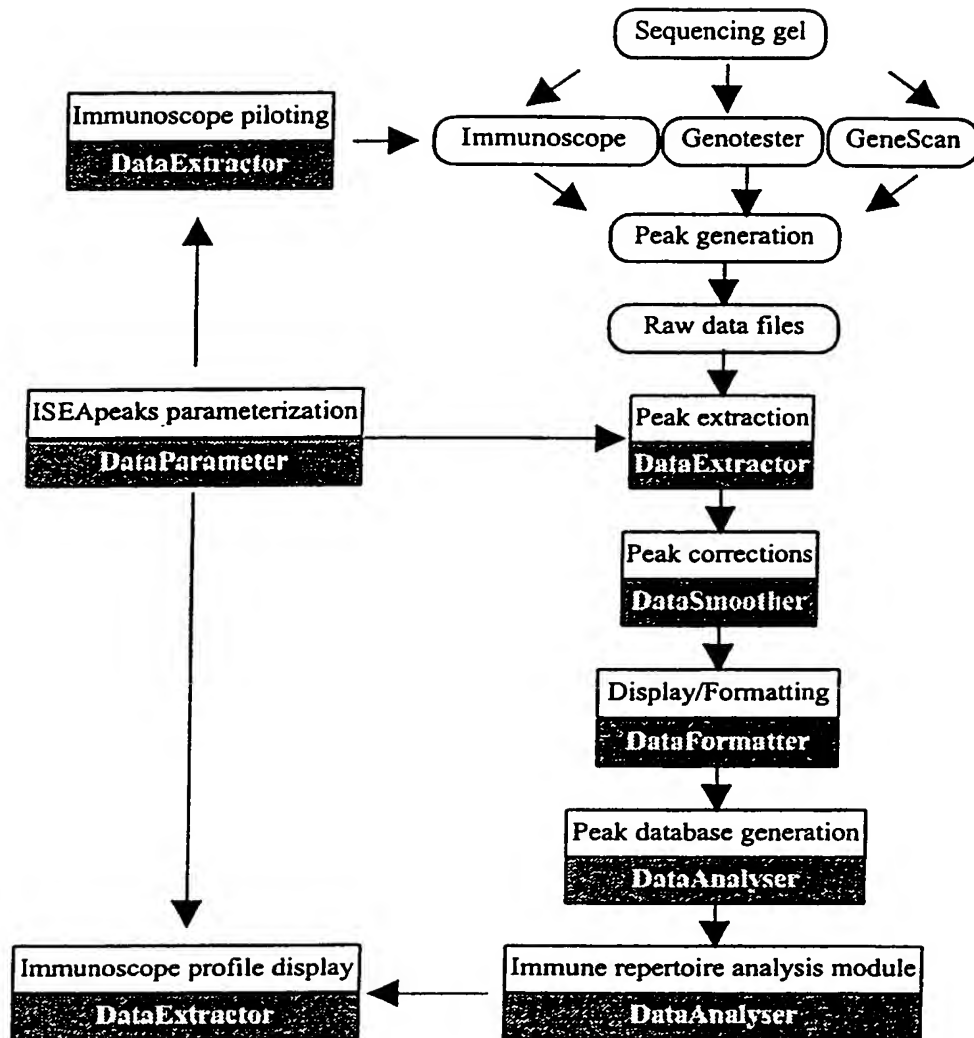


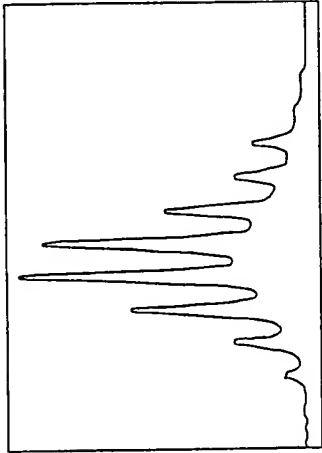
FIG. 5C



**FIG. 6**



BV 4-BC



10

FIG. 7A

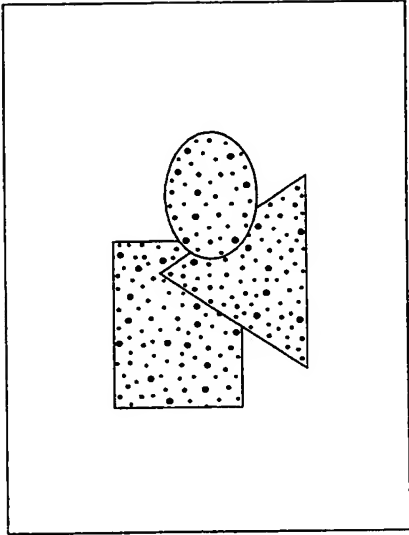
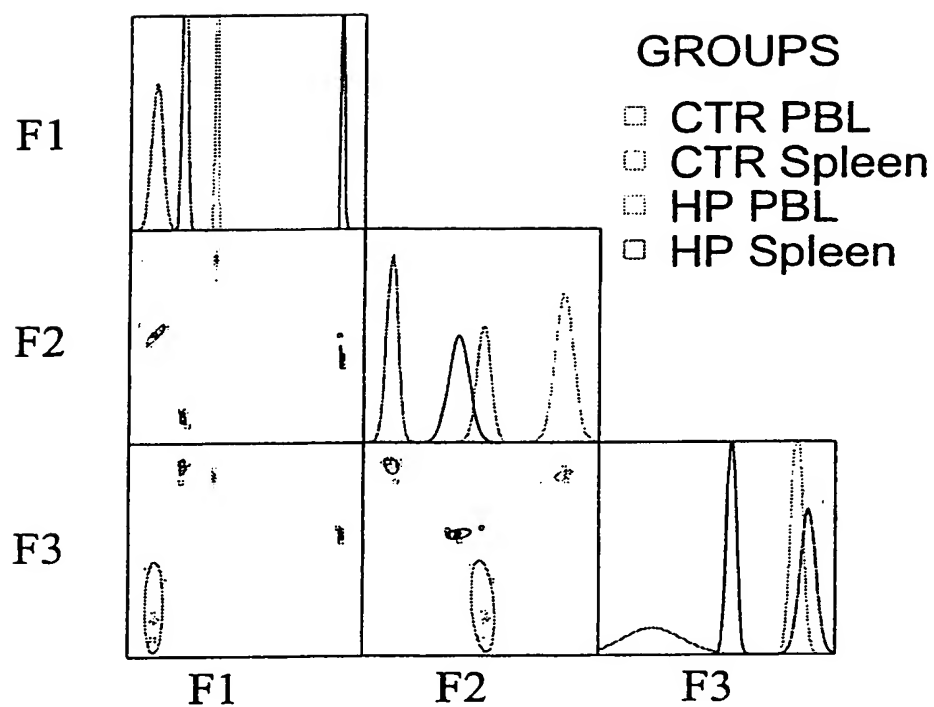


FIG. 7B

IMMUNOSCOPE RAW DATA	mLENGTH mAREA misCONSIDERED	178 2008 1	182 6133 1	184 14418 1	187 23540 1	190 24664 1	192 751 1	193 13318 1	196 7082 1	198 789 1	199 4727 1	201 864 1	202 522 1	202 1203 1
	mLENGTH mAREA misCONSIDERED	178 2008 1	182 6133 1	184 14418 1	187 23540 1	190 24664 1	192 751 1	193 13318 1	196 7082 1	198 789 1	199 4727 1	201 864 1	202 522 1	202 1203 1
	mLENGTH mAREA misCONSIDERED	178 2008 1	182 6133 1	184 14418 1	187 23540 1	190 24664 1	192 751 1	193 13318 1	196 7082 1	198 789 1	199 4727 1	201 864 1	202 522 1	202 1203 1
FIRST FILTER	mLENGTH mAREA misCONSIDERED	178 2008 1	182 6133 1	184 14418 1	187 23540 1	190 24664 1	192 751 1	193 13318 1	196 7082 1	198 789 1	199 4727 1	201 864 1	202 522 1	202 1203 1
	mLENGTH mAREA misCONSIDERED	178 2008 1	182 6133 1	184 14418 1	187 23540 1	190 24664 1	192 751 1	193 13318 1	196 7082 1	198 789 1	199 4727 1	201 864 1	202 522 1	202 1203 1
	mLENGTH mAREA misCONSIDERED	178 2008 1	182 6133 1	184 14418 1	187 23540 1	190 24664 1	192 751 1	193 13318 1	196 7082 1	198 789 1	199 4727 1	201 864 1	202 522 1	202 1203 1
SECOND FILTER	mLENGTH mAREA misCONSIDERED	178 2008 1	182 6133 1	184 14418 1	187 23540 1	190 24664 1	192 751 1	193 13318 1	196 7082 1	198 789 1	199 4727 1	201 864 1	202 522 1	202 1203 1
	mLENGTH mAREA misCONSIDERED	178 2008 1	182 6133 1	184 14418 1	187 23540 1	190 24664 1	192 751 1	193 13318 1	196 7082 1	198 789 1	199 4727 1	201 864 1	202 522 1	202 1203 1
	mLENGTH mAREA misCONSIDERED	178 2008 1	182 6133 1	184 14418 1	187 23540 1	190 24664 1	192 751 1	193 13318 1	196 7082 1	198 789 1	199 4727 1	201 864 1	202 522 1	202 1203 1
THIRD FILTER	mLENGTH mAREA misCONSIDERED	178 2008 1	182 6133 1	184 14418 1	187 23540 1	190 24664 1	192 751 1	193 13318 1	196 7082 1	198 789 1	199 4727 1	201 864 1	202 522 1	202 1203 1
	mLENGTH mAREA misCONSIDERED	178 2008 1	182 6133 1	184 14418 1	187 23540 1	190 24664 1	192 751 1	193 13318 1	196 7082 1	198 789 1	199 4727 1	201 864 1	202 522 1	202 1203 1
	mLENGTH mAREA misCONSIDERED	178 2008 1	182 6133 1	184 14418 1	187 23540 1	190 24664 1	192 751 1	193 13318 1	196 7082 1	198 789 1	199 4727 1	201 864 1	202 522 1	202 1203 1

FIG. 7C



**FIG. 8**

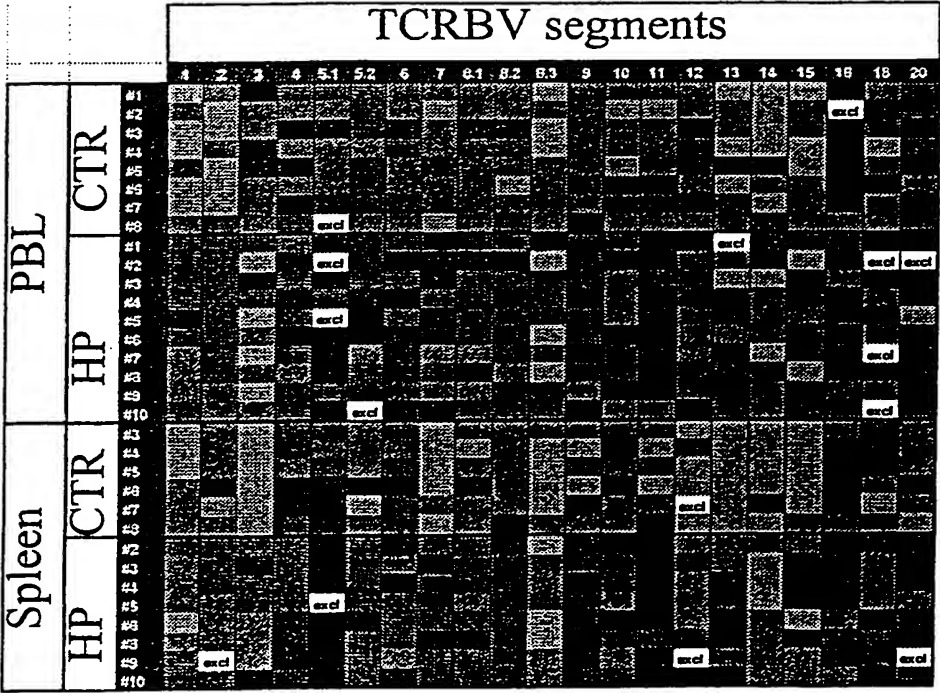
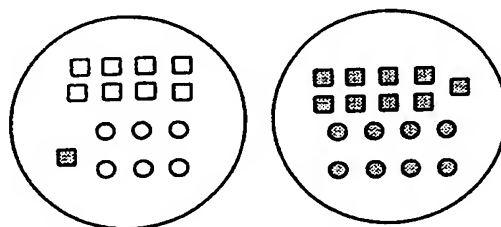
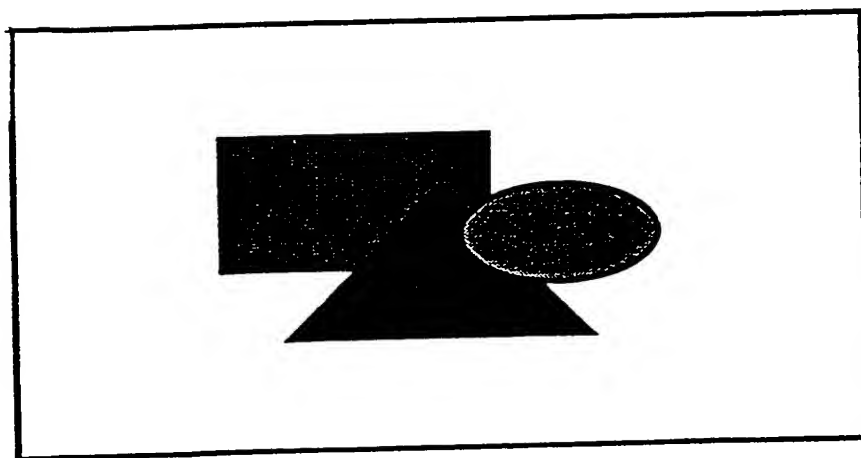


FIG. 9

**FIG. 10A**



□ CTR PBL

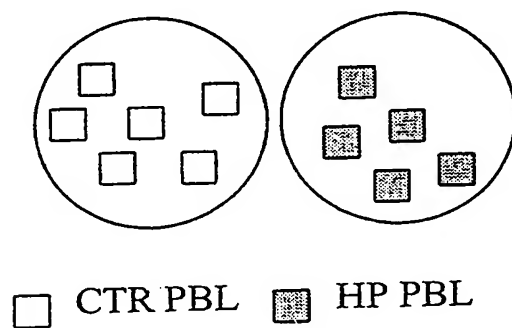
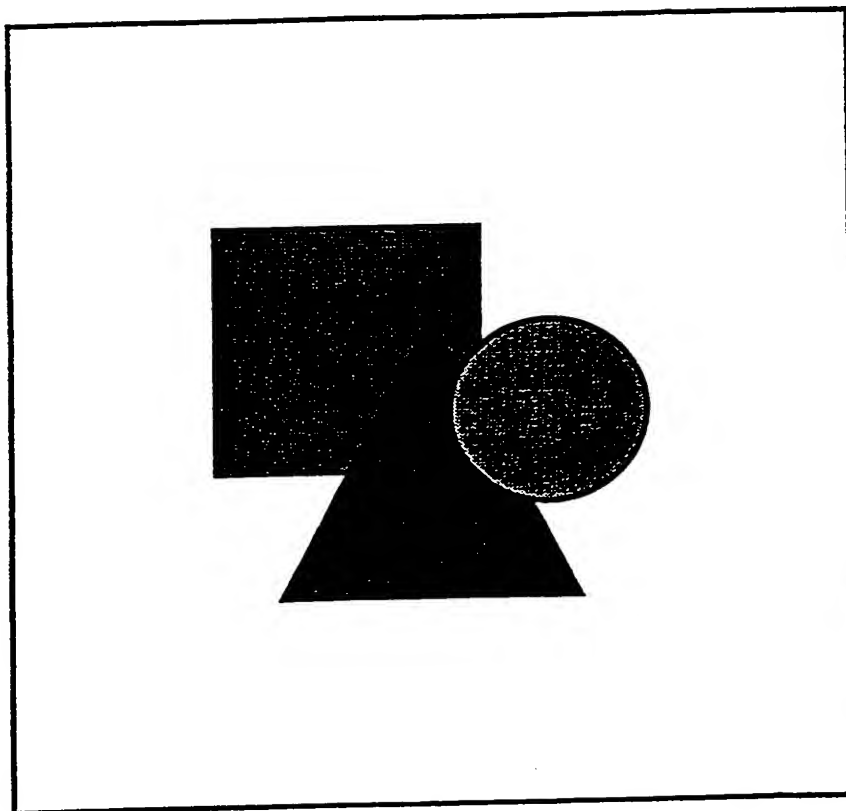
■ HP PBL

○ CTR Spleen

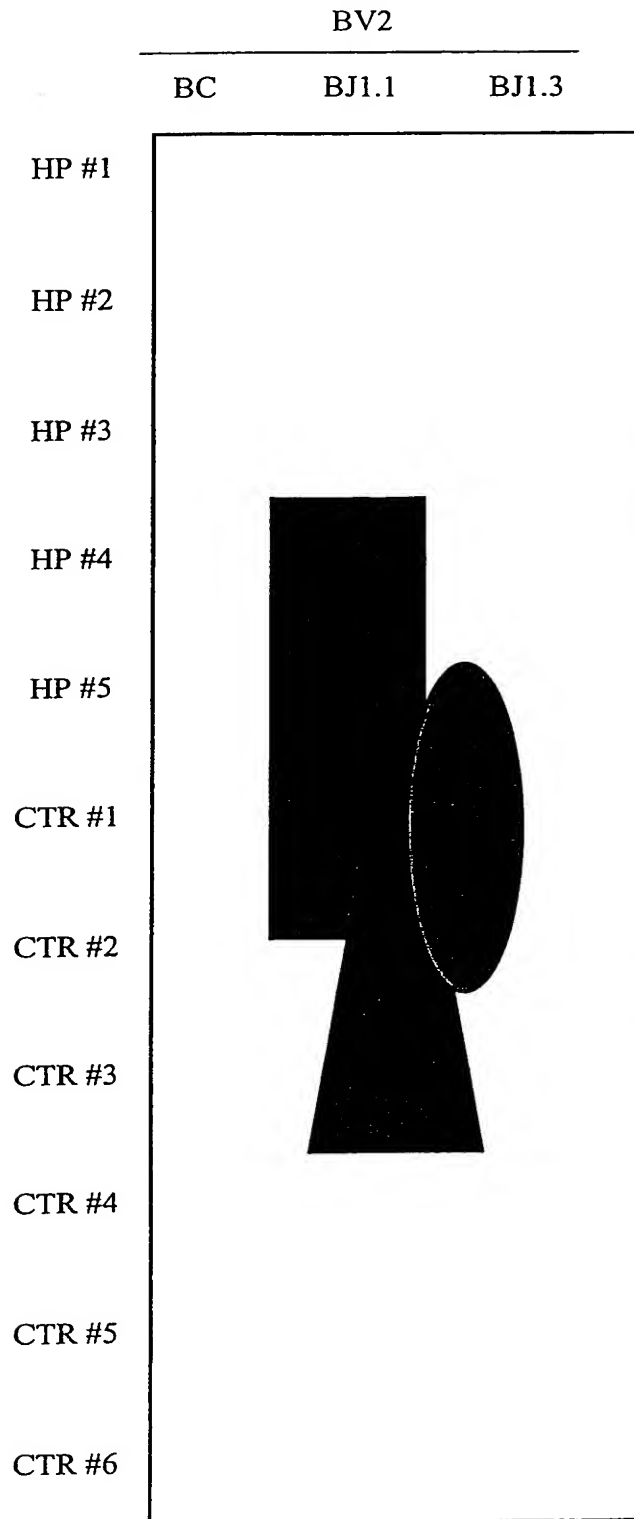
● HP Spleen

**FIG 10B**

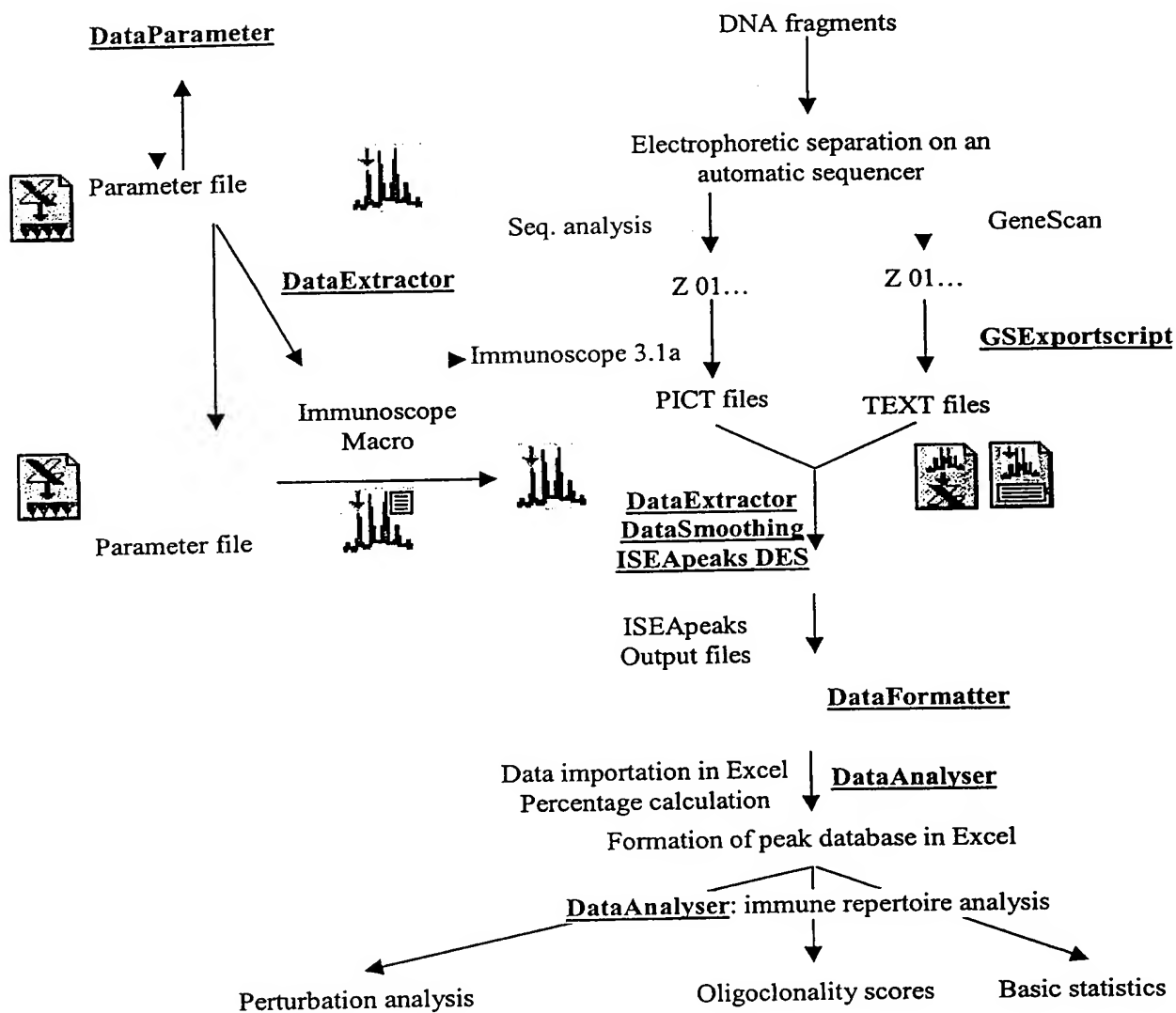
**FIG. 11A**



**FIG 11B**

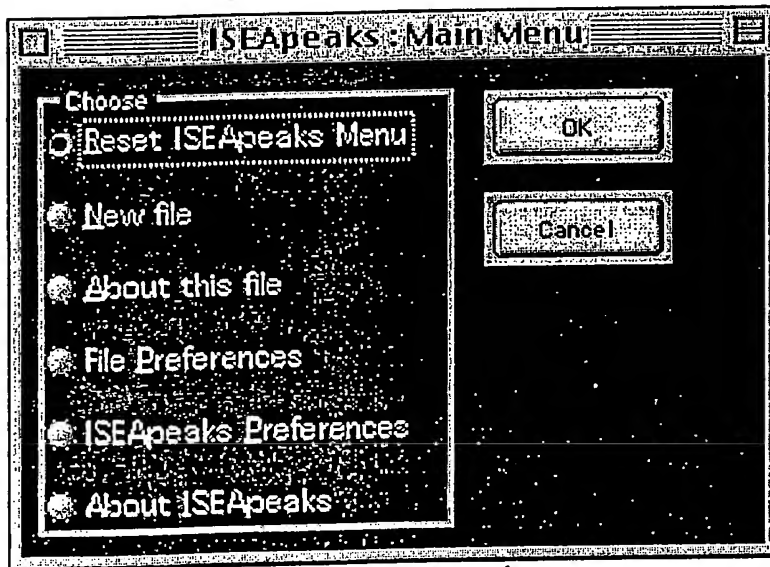
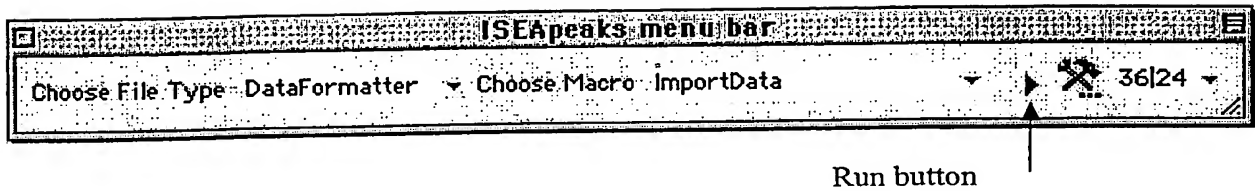


**FIG. 12**



**FIG. 13**

*FIG. 14*



*FIG. 15*



**CPICTPLACES preferences**

kMaxColNb 12

kMaxLinNb 16

OK Reset Cancel

**General preferences**

Screen updating ☒ On ☐ Off

kMaxPeakNb 24

kGelWellNb 36

kProfileNbPerRep 24

ISEApeaks XL Preferences

*FIG. 16*

27					
28	Well	1	2	3	4
29	mIsConsidered	1	1	1	1
30	mDescription	Yb08.1-Jb1.3	Yb08.1-Jb2.7	Yb08.1-Jb2.3	Yb08.1-Jb1.6
31	mTheoricLength	188	205	188	202
32	mNewOrder	27	36	33	30
33					
34	Well	13	14	15	16
35					
36					
37	mTheoricLength	104	121	104	118
38	mNewOrder	15	24	21	18
39					
40	Well	25	26	27	28
41	mIsConsidered	1	1	1	1
42	mDescription	Yb14-Jb1.3	Yb14-Jb2.7	Yb14-Jb2.3	Yb14-Jb1.6
43	mTheoricLength	115	132	115	129
44	mNewOrder	51	60	57	54
45					
46					SECOND LOAD
47					
48	Well	1	2	3	4
49	mIsConsidered	1	1	1	1
50	mDescription	Yb06-Jb1.3	Yb06-Jb2.7	Yb06-Jb2.3	Yb06-Jb1.6
51	mTheoricLength	103	120	103	117
52	mNewOrder	3	12	9	6
53					
54	Well	13	14	15	16
55	mIsConsidered	1	1	1	1
56	mDescription	Yb09-Jb1.3	Yb09-Jb2.7	Yb09-Jb2.3	Yb09-Jb1.6
57					
58					
59					
60					
61					
62					
63					
64					
65					
66					
67					
68					
69					
70					
71					
72					
73					
74					
75					
76					
77					
78					
79					
80					
81					
82					
83					
84					
85					
86					
87					
88					
89					
90					
91					
92					
93					
94					
95					
96					
97					
98					
99					
100					
101					
102					
103					
104					
105					
106					
107					
108					
109					
110					
111					
112					
113					
114					
115					
116					
117					
118					
119					
120					
121					
122					
123					
124					
125					
126					
127					
128					
129					
130					
131					
132					
133					
134					
135					
136					
137					
138					
139					
140					
141					
142					
143					
144					
145					
146					
147					
148					
149					
150					
151					
152					
153					
154					
155					
156					
157					
158					
159					
160					
161					
162					
163					
164					
165					
166					
167					
168					
169					
170					
171					
172					
173					
174					
175					
176					
177					
178					
179					
180					
181					
182					
183					
184					
185					
186					
187					
188					
189					
190					
191					
192					
193					
194					
195					
196					
197					
198					
199					
200					
201					
202					
203					
204					
205					
206					
207					
208					
209					
210					
211					
212					
213					
214					
215					
216					
217					
218					
219					
220					
221					
222					
223					
224					
225					
226					
227					
228					
229					
230					
231					
232					
233					
234					
235					
236					
237					
238					
239					
240					
241					
242					
243					
244					
245					
246					
247					
248					
249					
250					
251					
252					
253					
254					
255					
256					
257					
258					
259					
260					
261					
262					
263					
264					
265					
266					
267					
268					
269					
270					
271					
272					
273					
274					
275					
276					
277					
278					
279					
280					
281					
282					
283					
284					
285					
286					
287					
288					
289					
290					
291					
292					
293					
294					
295					
296					
297					
298					
299					
300					
301					
302					
303					
304					
305					
306					
307					
308					
309					
310					
311					
312					
313					
314					
315					
316					
317					
318					
319					
320					
321					
322					
323					
324					
325					
326					
327					
328					
329					
330					
331					
332					
333					
334					
335					
336					
337					
338					
339					
340					
341					
342					
343					
344					
345					
346					
347					
348					
349					
350					
351					
352					
353					
354					
355					
356					
357					
358					
359					
360					
361					
362					
363					
364					
365					
366					
367					
368					
369					
370					
371					
372					
373					
374					
375					
3					

		Gel002		Gel010		ISEApeaks menu bar	
39	mFolderName	Gel002		Gel010			
40	mCGELFileName	m3SET v2.0		Yb6,9,8.1,8.2,14,8.3-Jb v2		Choose File Type DataFormatter Choose Macro ImportDat	
41	mSet	1		72			
42	mWellsNbPerSet	24		72			
43	mDescription	TCRBY08.1		Yb08.1-Jb1.5		Yb08.1-Jb2.2 NONE	
44		61		62		63 64	
45							
m3SET v2.0 / NewCGEL / NewCPictPlaces							
50	mIsConsidered	1		1		0	
31	mFolderName	Gel004		Gel009		Gel009	
32	mCGELFileName	m3SET v2.0		Yb6,9,8.1,8.2,14,8.3-Jb v2.0		Yb6,9,8.1,8.2,14,8.3-Jb v2.0	
33	mSet	2		1		1	
34	mWellsNbPerSet	24		72		72	
35	mDescription	TCRBY08.1		Yb08.1-Jb1.5		Yb08.1-Jb2.2 NONE	
36		49		50		51 52	
37							
38	mIsConsidered	1		1		0	
22	mIsConsidered	1		1		0	
23	mFolderName	Gel004		Gel008		Gel008	
24	mCGELFileName	m3SET v2.0		Yb6,9,8.1,8.2,14,8.3-Jb v2.0		Yb6,9,8.1,8.2,14,8.3-Jb v2.0	
25	mSet	1		1		1	
26	mWellsNbPerSet	24		72		72	
27	mDescription	TCRBY08.1		Yb08.1-Jb1.5		Yb08.1-Jb2.2 NONE	
28		37		38		39 40	
29							
13		13		14		15 16	
14	mIsConsidered	1		1		0	
15	mFolderName	Gel003		Gel007		Gel007	
16	mCGELFileName	m3SET v2.0		Yb6,9,8.1,8.2,14,8.3-Jb v2.0		Yb6,9,8.1,8.2,14,8.3-Jb v2.0	
17	mSet	3		1		1	
18	mWellsNbPerSet	24		72		72	
19	mDescription	TCRBY08.1		Yb08.1-Jb1.5		Yb08.1-Jb2.2 NONE	
20		25		26		27 28	
21							
4		1		2		3 4	
5							
6	mIsConsidered	1		1		0	
7	mFolderName	Gel002		Gel006		Gel006	
8	mCGELFileName	m3SET v2.0		Yb6,9,8.1,8.2,14,8.3-Jb v2.0		Yb6,9,8.1,8.2,14,8.3-Jb v2.0	
9	mSet	3		1		1	
10	mWellsNbPerSet	24		72		72	
11	mDescription	TCRBY08.1		Yb08.1-Jb1.5		Yb08.1-Jb2.2 NONE	
12							
DP 2.0.xls							
		B		C		D E	
1	mDestFolderName =	Output					
2	mMaxColNb =	12					
3	mMaxLinNb =	16					

FIG. 18

[illegible]

**FIG. 19**

FIG. 20

8	6	DF 2.0 Gel011	Data.3	1	1.2	mice 1.2	30	
9	7	DF 2.0 Gel012	Data.3	1	1.3	mice 1.3	50	
10	8	DF 2.0 Gel013	Data.3	1	1.4	mice 1.4	100	
11	9	DF 2.0 Gel014	Data.3	1	1.5	mice 1.5		
12								
13								
14								
DA 2.0 ex								
Parameters of file to use								
2		Workbook	Sheet	Group	Nature	Remark	DrawArray parameters	
3	1	DF 2.0 Gel006	Data.3	2	2.1	mice 2.1	when <	color
4	2	DF 2.0 Gel007	Data.3	2	2.2	mice 2.2	excluded	
5	3	DF 2.0 Gel008	Data.3	2	2.3	mice 2.3	5	
6	4	DF 2.0 Gel009	Data.3	2	2.4	mice 2.4	10	
7	5	DF 2.0 Gel010	Data.3	1	1.1	mice 1.1	20	
							25	

31	Yb08.1-Jb1.5	5	175	190	length failed	0,00	length failed	0,00	length failed	0,00
32	Yb08.1-Jb1.5	7	181	190	181	8,13	181	9,23	181	7,73
33	Yb08.1-Jb1.5	8	184	190	184	31,61	184	32,96	184	49,39
34	Yb08.1-Jb1.5	9	187	190	187	28,80	187	42,12	187	33,11
35	Yb08.1-Jb1.5	10	190	190	190	24,01	190	15,69	190	9,77
36	Yb08.1-Jb1.5	11	193	190	193	7,44	length failed	0,00	length failed	0,00
DA 2.0 ex										
Parameters of file to use										
22	Yb08.1-Jb1.3	11	191	188	191	10,83	191	15,18	191	10,60
23	Yb08.1-Jb1.3	12	194	188	length failed	0,00	length failed	0,00	length failed	0,00
24	Yb08.1-Jb1.3	14	200	188	length failed	0,00	200	4,41	length failed	0,00
25	Yb08.1-Jb1.4	7	188	197	188	5,08	188	7,97	188	8,42
26	Yb08.1-Jb1.4	8	191	197	191	12,21	191	17,04	191	8,44
27	Yb08.1-Jb1.4	9	194	197	194	29,67	194	31,29	194	34,29
28	Yb08.1-Jb1.4	10	197	197	197	30,89	197	34,35	197	35,09
29	Yb08.1-Jb1.4	11	200	197	200	14,28	200	9,35	200	13,75
30	Yb08.1-Jb1.2	8	190	196	190	34,78	190	30,53	190	46,50
13	Yb08.1-Jb1.2	8	190	196	190	34,78	190	30,53	190	46,50
14	Yb08.1-Jb1.2	9	193	196	193	29,65	193	34,37	192	33,93
15	Yb08.1-Jb1.2	10	196	196	196	17,35	196	21,79	196	9,61
16	Yb08.1-Jb1.2	11	199	196	length failed	0,00	199	4,99	length failed	0,00
17	Yb08.1-Jb1.3	5	173	188	length failed	0,00	length failed	0,00	length failed	0,00
18	Yb08.1-Jb1.3	7	179	188	179	8,40	179	5,64	length failed	0,00
19	Yb08.1-Jb1.3	8	182	188	182	25,42	182	12,34	182	25,25
20	Yb08.1-Jb1.3	9	185	188	185	31,42	185	33,87	185	40,10
21	Yb08.1-Jb1.3	10	188	188	188	28,93	188	28,76	188	28,09
5	Yb08.1-Jb1.1	7	191	200	191	16,31	191	13,25	191	15,04
6	Yb08.1-Jb1.1	8	194	200	194	28,26	194	28,49	194	27,58
7	Yb08.1-Jb1.1	9	197	200	197	30,26	197	34,75	197	32,28
8	Yb08.1-Jb1.1	10	200	200	200	13,73	200	10,47	200	13,37
9	Yb08.1-Jb1.1	11	203	200	203	4,90	203	6,27	203	3,24
10	Yb08.1-Jb1.2	5	181	196	length failed	0,00	length failed	0,00	length failed	0,00
11	Yb08.1-Jb1.2	6	184	196	184	5,36	length failed	0,00	184	4,20
12	Yb08.1-Jb1.2	7	187	196	187	12,85	187	8,33	187	5,76
DA 2.0 ex										
Parameters of file to use										
1	mDescription	CDR3 (aa)	Length (nt)	CDR3 10 aa	2.1	2.2	2.3			
2					Length	%	Length	%	Length	%
3	Yb08.1-Jb1.1	5	185	200	length failed	0,00	length failed	0,00	length failed	0,00

FIG. 21

DA 2.0 ex

**FIG. 22**

24	Yb08.1-Jb1.2	184	3,39	1,97	-3,39	0,81	0,62
25	Yb08.1-Jb1.2	187	9,51	3,34	-1,19	-3,75	1,60
26	Yb08.1-Jb1.2	190	34,15	0,63	-3,62	12,35	-9,36
27	Yb08.1-Jb1.2	193	35,33	-5,67	-0,96	-1,40	8,03
28	Yb08.1-Jb1.2	196	16,37	0,99	5,42	-6,76	0,35
29	Yb08.1-Jb1.2	199	1,25	-1,25	3,74	-1,25	-1,25
30	Yb08.1-Jb1.3	173	0,00	0,00	0,00	0,00	0,00
31	Yb08.1-Jb1.3	179	4,60	3,80	1,04	-4,60	-0,25
32	Yb08.1-Jb1.3	182	19,36	6,06	-7,02	5,89	-4,93

para		Peaks	NewPercentImport	NewGorochoy	NewRepArray	Ne	OUT	1
------	--	-------	------------------	-------------	-------------	----	-----	---

14	7,69		7,56		9,44		9,12		40,49		34	
15	mDescription	Length	Pc (Control)		2.1	2.2	2.3	2.4				
16	Yb08.1-Jb1.1	185	0,00		0,00	0,00	0,00	0,00		0,00		
17	Yb08.1-Jb1.1	188	6,53		0,01	0,24	1,96	-2,21				
18	Yb08.1-Jb1.1	191	14,91		1,40	-1,66	0,13	0,13				
19	Yb08.1-Jb1.1	194	26,97		1,30	1,53	0,61	-3,44				
20	Yb08.1-Jb1.1	197	32,46		-2,20	2,29	-0,18	0,10				
21	Yb08.1-Jb1.1	200	14,50		-0,77	-4,04	-1,13	5,94				
22	Yb08.1-Jb1.1	203	4,63		0,27	1,64	-1,39	-0,52				
23	Yb08.1-Jb1.2	181	0,00		0,00	0,00	0,00	0,00				
24	Yb08.1-Jb1.3	10,66	8,99		11,06	12,30	58,21	49,68				
25	Yb08.1-Jb2.2	11,69	7,19		12,92	10,55	40,74	55,34				
26	Yb08.1-Jb1.6	6,54	9,24		12,42	11,68	41,39	42,13				
27	Yb08.1-Jb1.1	2,97	5,69		2,70	6,17	43,18	40,58				
28	Yb08.1-Jb2.4	6,66	11,63		12,88	7,54	53,23	36,98				
29	Yb08.1-Jb2.7	3,29	4,40		4,48	6,20	19,62	34,11				
30	Yb08.1-Jb2.1	6,94	7,17		5,74	7,94	36,47	31,97				
31	Yb08.1-Jb1.2	6,92	9,16		13,16	10,61	54,92	13,03				
32	Yb08.1-Jb2.3	7,21	6,37		10,14	6,48	32,73	25,06				
33	Yb08.1-Jb1.4	6,63	7,13		6,98	7,46	35,95	14,53				
34	Yb08.1-Jb2.5	9,46	9,34		5,78	9,18	27,10	25,04				

DA 2.0 ex															
A		B		C		D		E		F		G			
1		2.1		2.2		2.3		2.4		1.1		1.2			
2		Yb08.1-Jb1.5		13,25		4,44		15,07		13,32		62,32		42,58	

**FIG. 23**



25	Yb08.1-Jb1.2	5	181	0,00	0,00	0,00	0,00
26	Yb08.1-Jb1.2	6	184	0,28	0,01	0,08	0,00
27	Yb08.1-Jb1.2	7	187	0,81	0,02	0,01	0,12
28	Yb08.1-Jb1.2	8	190	2,83	0,06	0,06	0,71
29	Yb08.1-Jb1.2	9	193	3,03	0,68	0,01	0,12
30	Yb08.1-Jb1.2	10	196	1,39	0,01	0,21	0,40
31	Yb08.1-Jb1.2	11	199	0,11	0,01	0,10	0,01
32	Yb08.1-Jb1.3	5	173	0,00	0,00	0,00	0,00

15							
16							
17	mDescription	CDR3 (aa)	PCR length (Pc (Control)	2,1	2,2	2,3	
18	Yb08.1-Jb1.1	5	185	0,00	0,00	0,00	
19	Yb08.1-Jb1.1	6	188	0,65	0,01	0,00	0,09
20	Yb08.1-Jb1.1	7	191	1,49	0,00	0,09	0,04
21	Yb08.1-Jb1.1	8	194	2,68	0,04	0,01	0,18
22	Yb08.1-Jb1.1	9	197	3,25	0,35	0,02	0,15
23	Yb08.1-Jb1.1	10	200	1,47	0,07	0,28	0,00
24	Yb08.1-Jb1.1	11	203	0,45	0,00	0,01	0,01
25	Yb08.1-Jb1.3	0,62	0,72	0,45	0,55	1,67	3,78
26	Yb08.1-Jb1.4	1,06	0,98	0,65	0,88	2,31	1,13
27	Yb08.1-Jb1.5	0,60	0,30	1,07	0,74	3,96	2,58
28	Yb08.1-Jb1.6	0,35	0,25	0,31	0,36	1,10	1,22
29	Yb08.1-Jb2.1	1,25	2,08	0,67	1,24	4,13	4,81
30	Yb08.1-Jb2.2	0,72	0,38	0,59	0,63	2,07	2,19
31	Yb08.1-Jb2.3	1,46	1,93	0,95	0,74	2,62	2,39
32	Yb08.1-Jb2.4	1,20	1,34	0,97	0,59	6,17	4,18
33	Yb08.1-Jb2.5	1,00	1,09	0,86	0,87	2,82	3,41
34	Yb08.1-Jb2.7	0,58	0,55	0,72	0,65	2,78	2,80

DA 2.0 ex							
	A	B	C	D	E	F	G
1	Dechanet scores	2,1	2,2	2,3	2,4	1,1	1,2
2	Sample	3,20	3,74	2,76	2,92	14,41	11,07
3	Yb08.1-Jb1.1	0,69	0,65	0,69	0,88	4,94	4,81
4	Yb08.1-Jb1.2	0,89	0,69	1,17	1,41	8,72	2,25

FIG. 24



25	Yb08.1-Jb1.4	8	191	13,46	0,91	1,27	0,63	1,20	0,00	0,69	1,24
26	Yb08.1-Jb1.4	9	194	32,25	0,92	0,97	1,06	1,05	2,04	1,40	1,10
27	Yb08.1-Jb1.4	10	197	31,80	0,97	1,08	1,10	0,84	1,07	1,05	1,24
28	Yb08.1-Jb1.4	11	200	13,55	1,05	0,69	1,01	1,24	0,00	0,89	0,62
29	Yb08.1-Jb1.4	12	203	1,97	4,00	0,00	0,00	0,00	0,00	0,00	0,00
30	Yb08.1-Jb1.5	5	175	0,00	∞	∞	∞	∞	∞	∞	∞
31	Yb08.1-Jb1.5	7	181	9,80	0,83	0,94	0,79	1,44	0,00	1,10	0,00
32	Yb08.1-Jb1.5	8	184	34,32	0,92	0,96	1,44	0,68	0,00	0,29	0,61
NewDechant NewRIS NewOligoclonalScore NewRepArray											
15	Yb08.1-Jb1.2	11	199	1,25	0,00	4,00	0,00	0,00	0,00	0,00	0,00
16	Yb08.1-Jb1.3	5	173	0,00	∞	∞	∞	∞	∞	∞	excluded
17	Yb08.1-Jb1.3	7	179	4,60	1,83	1,23	0,00	0,95	0,00	0,00	excluded
18	Yb08.1-Jb1.3	8	182	19,36	1,31	0,64	1,30	0,75	0,00	0,75	excluded
19	Yb08.1-Jb1.3	9	185	35,83	0,88	0,95	1,12	1,06	0,71	2,39	excluded
20	Yb08.1-Jb1.3	10	188	23,14	1,03	1,23	1,04	0,69	2,19	0,00	excluded
21	Yb08.1-Jb1.3	11	191	14,24	0,76	1,07	0,74	1,43	0,93	0,00	excluded
22	Yb08.1-Jb1.3	12	194	0,00	∞	∞	∞	∞	∞	∞	excluded
23	Yb08.1-Jb1.3	14	200	2,83	0,00	1,56	0,00	2,44	0,00	0,00	excluded
24	Yb08.1-Jb1.4	7	188	6,98	0,73	1,14	1,21	0,92	0,00	0,00	0,00
5	Yb08.1-Jb1.1	8	194	26,97	1,05	1,06	1,02	0,87	1,65	1,05	0,76
6	Yb08.1-Jb1.1	9	197	32,46	0,93	1,07	0,99	1,00	0,46	0,80	1,62
7	Yb08.1-Jb1.1	10	200	14,50	0,95	0,72	0,92	1,41	0,00	0,00	0,63
8	Yb08.1-Jb1.1	11	203	4,63	1,06	1,35	0,70	0,89	0,00	0,00	0,00
9	Yb08.1-Jb1.2	5	181	0,00	∞	∞	∞	∞	∞	∞	∞
10	Yb08.1-Jb1.2	6	184	3,39	1,58	0,00	1,24	1,18	15,71	0,00	0,00
11	Yb08.1-Jb1.2	7	187	9,51	1,35	0,88	0,61	1,17	1,52	0,73	0,70
12	Yb08.1-Jb1.2	8	190	34,15	1,02	0,89	1,36	0,73	0,39	1,03	0,63
13	Yb08.1-Jb1.2	9	193	35,33	0,84	0,97	0,96	1,23	0,53	0,84	0,92
14	Yb08.1-Jb1.2	10	196	16,37	1,06	1,33	0,59	1,02	0,00	1,47	2,40
DA 2.0 ex											
1	mDescription	B	C	D	E	F	G	H	I	J	K
2	Yb08.1-Jb1.1	5	185	0,00	1,00	1,04	1,30	0,66	0,00	7,01	0,00
3	Yb08.1-Jb1.1	6	188	6,53	1,09	0,89	1,01	1,01	2,71	0,00	1,20
4	Yb08.1-Jb1.1	7	191	14,91							

FIG. 25

FIG. 26

24	Yb08.1-Jb1.6	11	205	0.04	0.05	0.09	0.04	0.11	1.86	3.56	0.20	0.26	0.52	0.05	5	4
25	Yb08.1-Jb1.6	10	202	0.07	0.05	0.21	0.04	0.09	2.24	0.63	0.19	0.63	0.43	0.07	5	4
26	Yb08.1-Jb1.1	9	197	0.08	0.09	0.08	0.08	0.74	1.29	0.96	0.06	0.04	0.29	0.08	5	4
27	Yb08.1-Jb1.1	8	194	0.07	0.07	0.07	0.06	2.22	1.41	0.37	0.05	0.03	0.28	0.07	5	4
28	Yb08.1-Jb2.5	9	185	0.09	0.20	0.09	0.31	0.55	0.15	0.84	0.26	0.08	0.27	0.15	5	4
29	Yb08.1-Jb1.2	9	193	0.20	0.23	0.23	0.29	0.34	0.20	0.59	0.29	0.13	0.27	0.24	5	4
NewOligoLocalScore / NewRepArray																
16	mDescription	CDR3 (aa)	Length	2.10	2.20	2.30	2.40	1.10	1.20	1.30	1.40	1.50	Score 1	Score 2	Nb 1	Nb 2
17	Yb08.1-Jb2.2	10	205	0.03	0.07	0.57	0.02	4.75	11.41	8.88	2.00	0.79	3.77	0.07	5	4
18	Yb08.1-Jb1.5	9	187	0.19	0.77	0.61	0.86	36.79	3.95	10.70	1.34	0.08	2.76	0.53	5	4
19	Yb08.1-Jb2.2	9	202	0.02	0.07	0.67	0.03	8.78	2.12	4.65	2.05	0.65	2.59	0.07	5	4
20	Yb08.1-Jb1.3	9	185	0.21	0.08	0.73	0.09	0.47	11.57	excluded	0.74	1.19	1.48	0.19	4	4
21	Yb08.1-Jb1.4	9	194	0.07	0.21	0.23	0.23	8.92	0.82	0.65	0.67	0.79	1.20	0.17	5	4
22	Yb08.1-Jb1.4	10	197	0.08	0.23	0.24	0.18	4.62	0.61	0.72	0.46	0.56	0.88	0.17	5	4
23	Yb08.1-Jb1.6	9	199	0.06	0.09	0.23	0.06	0.92	0.89	0.79	0.10	0.70	0.54	0.09	5	4
9	Yb08.1-Jb2.2	7	6	4	7	2	2	2	3	4						
10	Yb08.1-Jb2.3	5	6	6	5	4	6	5	5	5						
11	Yb08.1-Jb2.4	6	7	5	5	3	7	6	5	6						
12	Yb08.1-Jb2.5	6	5	6	5	4	5	4	5	6						
13	Yb08.1-Jb2.7	6	7	6	6	5	6	6	5	6						
14																
15	SCORE															
1	Peak numbers	2.1	2.2	2.3	2.4	1.1	1.2	1.3	1.4	1.5						
2	Yb08.1-Jb1.1	6	6	6	6	3	3	4	6	7						
3	Yb08.1-Jb1.2	5	5	5	5	4	5	4	5	5						
4	Yb08.1-Jb1.3	5	6	4	6	4	2	excluded	4	3						
5	Yb08.1-Jb1.4	6	5	5	5	2	4	4	4	4						
6	Yb08.1-Jb1.5	5	4	4	4	1	3	2	3	6						
7	Yb08.1-Jb1.6	6	6	5	6	4	3	3	5	4						
8	Yb08.1-Jb2.1	6	6	6	5	4	4	6	5	6						
DA 2.0 ex																
A B C D E F G H I J K L M N O P																

9	1.4																																																																																																																																																																																																																																																																																																																																																																																																																																																																																																																																																																																																																																																																																																																																																																																																																																																																																																																																																																																																																																																																																																																																																																																																																																																																																																																																																																																																																																																																																																																																																																																																																																																																																																																																																																																																																																																																																		
---	-----	--	--	--	--	--	--	--	--	--	--	--	--	--	--	--	--	--	--	--	--	--	--	--	--	--	--	--	--	--	--	--	--	--	--	--	--	--	--	--	--	--	--	--	--	--	--	--	--	--	--	--	--	--	--	--	--	--	--	--	--	--	--	--	--	--	--	--	--	--	--	--	--	--	--	--	--	--	--	--	--	--	--	--	--	--	--	--	--	--	--	--	--	--	--	--	--	--	--	--	--	--	--	--	--	--	--	--	--	--	--	--	--	--	--	--	--	--	--	--	--	--	--	--	--	--	--	--	--	--	--	--	--	--	--	--	--	--	--	--	--	--	--	--	--	--	--	--	--	--	--	--	--	--	--	--	--	--	--	--	--	--	--	--	--	--	--	--	--	--	--	--	--	--	--	--	--	--	--	--	--	--	--	--	--	--	--	--	--	--	--	--	--	--	--	--	--	--	--	--	--	--	--	--	--	--	--	--	--	--	--	--	--	--	--	--	--	--	--	--	--	--	--	--	--	--	--	--	--	--	--	--	--	--	--	--	--	--	--	--	--	--	--	--	--	--	--	--	--	--	--	--	--	--	--	--	--	--	--	--	--	--	--	--	--	--	--	--	--	--	--	--	--	--	--	--	--	--	--	--	--	--	--	--	--	--	--	--	--	--	--	--	--	--	--	--	--	--	--	--	--	--	--	--	--	--	--	--	--	--	--	--	--	--	--	--	--	--	--	--	--	--	--	--	--	--	--	--	--	--	--	--	--	--	--	--	--	--	--	--	--	--	--	--	--	--	--	--	--	--	--	--	--	--	--	--	--	--	--	--	--	--	--	--	--	--	--	--	--	--	--	--	--	--	--	--	--	--	--	--	--	--	--	--	--	--	--	--	--	--	--	--	--	--	--	--	--	--	--	--	--	--	--	--	--	--	--	--	--	--	--	--	--	--	--	--	--	--	--	--	--	--	--	--	--	--	--	--	--	--	--	--	--	--	--	--	--	--	--	--	--	--	--	--	--	--	--	--	--	--	--	--	--	--	--	--	--	--	--	--	--	--	--	--	--	--	--	--	--	--	--	--	--	--	--	--	--	--	--	--	--	--	--	--	--	--	--	--	--	--	--	--	--	--	--	--	--	--	--	--	--	--	--	--	--	--	--	--	--	--	--	--	--	--	--	--	--	--	--	--	--	--	--	--	--	--	--	--	--	--	--	--	--	--	--	--	--	--	--	--	--	--	--	--	--	--	--	--	--	--	--	--	--	--	--	--	--	--	--	--	--	--	--	--	--	--	--	--	--	--	--	--	--	--	--	--	--	--	--	--	--	--	--	--	--	--	--	--	--	--	--	--	--	--	--	--	--	--	--	--	--	--	--	--	--	--	--	--	--	--	--	--	--	--	--	--	--	--	--	--	--	--	--	--	--	--	--	--	--	--	--	--	--	--	--	--	--	--	--	--	--	--	--	--	--	--	--	--	--	--	--	--	--	--	--	--	--	--	--	--	--	--	--	--	--	--	--	--	--	--	--	--	--	--	--	--	--	--	--	--	--	--	--	--	--	--	--	--	--	--	--	--	--	--	--	--	--	--	--	--	--	--	--	--	--	--	--	--	--	--	--	--	--	--	--	--	--	--	--	--	--	--	--	--	--	--	--	--	--	--	--	--	--	--	--	--	--	--	--	--	--	--	--	--	--	--	--	--	--	--	--	--	--	--	--	--	--	--	--	--	--	--	--	--	--	--	--	--	--	--	--	--	--	--	--	--	--	--	--	--	--	--	--	--	--	--	--	--	--	--	--	--	--	--	--	--	--	--	--	--	--	--	--	--	--	--	--	--	--	--	--	--	--	--	--	--	--	--	--	--	--	--	--	--	--	--	--	--	--	--	--	--	--	--	--	--	--	--	--	--	--	--	--	--	--	--	--	--	--	--	--	--	--	--	--	--	--	--	--	--	--	--	--	--	--	--	--	--	--	--	--	--	--	--	--	--	--	--	--	--	--	--	--	--	--	--	--	--	--	--	--	--	--	--	--	--	--	--	--	--	--	--	--	--	--	--	--	--	--	--	--	--	--	--	--	--	--	--	--	--	--	--	--	--	--	--	--	--	--	--	--	--	--	--	--	--	--	--	--	--	--	--	--	--	--	--	--	--	--	--	--	--	--	--	--	--	--	--	--	--	--	--	--	--	--	--	--	--	--	--	--	--	--	--	--	--	--	--	--	--	--	--	--	--	--	--	--	--	--	--	--	--	--	--	--	--	--	--	--	--	--	--	--	--	--	--	--	--	--	--	--	--	--	--	--	--	--	--	--	--	--	--	--	--	--	--	--	--	--	--	--	--	--	--	--	--	--	--	--	--	--	--	--	--	--	--	--	--	--	--	--	--	--	--	--	--	--	--	--	--	--	--	--	--	--	--	--	--	--	--	--	--	--	--	--	--	--	--	--	--	--	--	--	--	--	--	--	--	--	--	--	--	--	--	--	--	--	--	--	--	--	--	--	--	--	--	--	--	--	--	--	--	--	--	--	--	--	--	--	--	--	--	--	--	--	--	--	--	--	--	--	--	--	--	--	--	--	--	--	--	--	--	--	--	--	--	--	--	--	--	--	--	--	--	--	--	--	--	--	--	--	--	--	--	--	--	--	--	--	--	--	--	--	--	--	--	--	--	--	--	--	--	--	--	--	--	--	--	--	--	--	--	--	--	--	--	--	--	--	--	--	--	--	--	--	--	--	--	--	--	--	--	--	--	--	--	--	--	--	--	--	--	--	--	--	--	--	--	--	--	--	--	--	--	--	--	--	--	--	--	--	--	--	--	--	--	--	--	--	--	--	--	--	--	--	--	--	--	--	--	--	--	--	--	--	--	--	--	--	--	--	--	--	--	--	--	--	--	--	--	--	--	--	--	--	--	--	--	--	--	--	--	--	--	--	--	--	--	--	--	--	--	--	--	--	--	--	--	--	--	--	--	--	--	--	--	--	--	--	--	--	--	--	--	--	--	--	--	--	--	--	--	--	--	--	--	--	--	--	--	--	--	--	--	--	--	--	--	--	--	--	--	--	--	--	--	--	--	--	--	--	--	--	--	--	--	--	--	--	--	--	--	--	--	--	--	--	--	--	--	--	--	--	--	--	--	--	--	--	--	--	--	--	--	--	--	--	--	--	--	--	--	--	--	--	--	--	--	--	--	--	--	--	--	--	--	--	--	--	--	--	--	--	--	--	--	--	--	--	--	--	--	--	--	--	--	--	--	--	--	--	--	--	--	--	--	--	--	--	--	--	--	--	--	--	--	--	--	--	--	--	--	--	--	--	--	--	--	--	--	--	--	--	--	--	--	--	--	--	--	--	--	--	--	--	--	--	--	--	--	--	--	--	--	--	--	--	--	--	--	--	--	--	--	--	--	--	--	--	--	--	--	--	--	--	--	--	--	--	--	--	--	--	--	--	--	--	--	--	--	--	--	--	--	--	--	--	--	--	--	--	--	--	--	--	--	--	--	--	--	--	--	--	--	--	--	--	--	--	--	--	--	--	--	--	--	--	--	--	--	--	--	--	--	--	--	--	--	--	--	--	--	--	--	--	--	--	--	--	--	--	--	--	--	--	--	--	--	--	--	--	--	--	--	--	--	--	--	--	--	--	--	--	--	--	--	--	--	--	--	--	--	--	--	--	--	--	--	--	--	--	--	--	--	--	--	--	--	--	--	--	--	--	--	--	--	--	--	--	--	--	--	--	--	--	--	--	--	--	--	--	--	--	--	--	--	--	--	--	--	--	--	--	--	--	--	--	--	--	--	--	--	--	--	--	--	--	--	--	--	--	--	--	--	--	--	--	--	--	--	--	--	--	--	--	--	--	--	--	--	--	--	--	--	--	--	--	--	--	--	--	--	--	--	--	--	--	--	--	--	--	--	--	--	--	--	--	--	--	--	--	--	--	--	--	--	--	--	--	--	--	--	--	--	--	--	--	--	--	--	--	--	--	--	--	--	--	--	--	--	--	--	--	--	--	--	--	--	--	--	--	--	--	--	--	--	--	--	--	--	--	--	--	--	--	--	--	--	--	--	--	--	--	--	--	--	--	--	--	--	--

FIG. 27

Depiction of overall disturbance

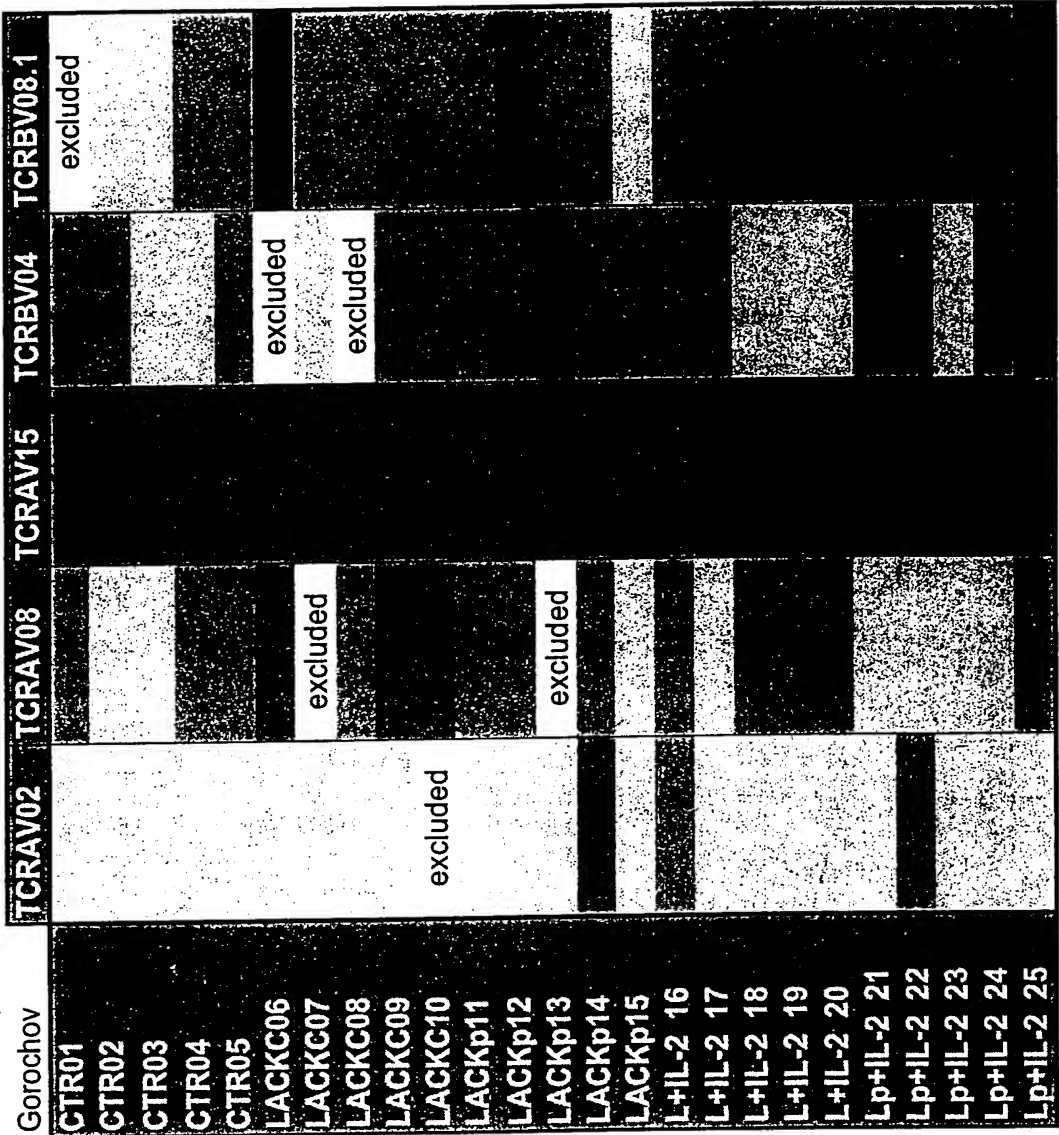


FIG. 28A

Depiction of overall disturbance

Gorochov	TCRAV02	TCRAV08	TCRAV15	TCRBV04	TCRBV08.1
CTR01	1,94	5,17	16,38	7,82	excluded
CTR02	0,63	3,77	19,38	5,23	2,82
CTR03	2,02	2,32	11,74	4,74	3,22
CTR04	2,81	7,01	11,51	2,80	5,55
CTR05	0,82	7,29	11,99	5,03	7,24
LACKC06	2,44	14,70	17,39	excluded	43,90
LACKC07	2,23	excluded	17,82	4,25	8,94
LACKC08	2,12	7,71	18,51	excluded	5,66
LACKC09	0,79	11,32	18,32	6,00	5,46
LACKC10	excluded	11,38	15,27	5,60	9,13
LACKp11	2,15	8,99	16,37	9,01	5,81
LACKp12	2,34	9,68	20,34	6,97	10,19
LACKp13	4,27	excluded	16,72	12,33	9,34
LACKp14	10,36	7,12	16,63	6,22	6,59
LACKp15	2,79	3,09	20,18	8,52	3,89
L+IL-2 16	5,17	6,09	19,78	5,63	8,77
L+IL-2 17	4,51	2,94	16,81	6,25	8,94
L+IL-2 18	2,29	5,91	19,72	4,14	10,65
L+IL-2 19	2,52	9,62	18,48	4,89	8,58
L+IL-2 20	4,53	7,69	20,02	4,76	6,80
Lp+IL-2 21	2,55	4,89	19,57	5,47	8,78
Lp+IL-2 22	5,50	4,15	14,00	6,33	7,12
Lp+IL-2 23	2,33	3,19	18,08	4,43	9,80
Lp+IL-2 24	3,27	4,84	20,00	7,23	10,53
Lp+IL-2 25	4,83	5,70	19,00	36,51	35,78

DrawArray parameters	when < color
excluded	
5	
10	
20	
25	
30	
50	
100	

FIG. 28 B

Depiction of overall disturbance versus oligocionality

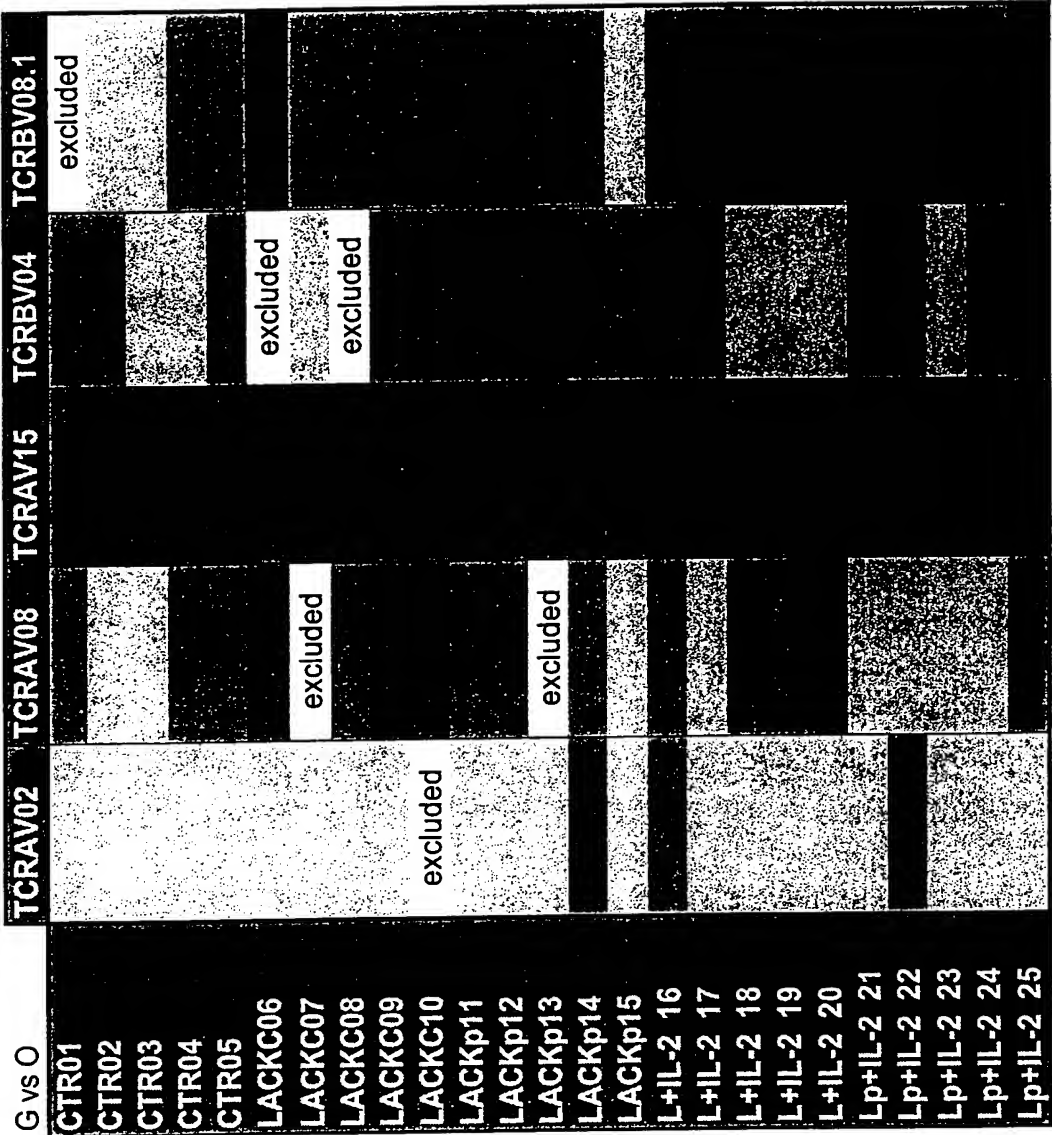


FIG 28 C

Depiction of overall disturbance versus oligoclonality

G vs O	TCRAV02	TCRAV08	TCRAV15	TCRBV04	TCRBV08.1
CTR01	1,94	5,17	16,38	7,82	excluded
CTR02	0,63	3,77	19,38	5,23	2,82
CTR03	2,02	2,32	11,74	4,74	3,22
CTR04	2,81	7,01	11,51	2,80	5,55
CTR05	0,82	7,29	11,99	5,03	7,24
LACKC06	2,44	14,70	17,39	excluded	43,90
LACKC07	2,23	excluded	17,82	4,25	8,94
LACKC08	2,12	7,71	18,51	excluded	5,66
LACKC09	0,79	11,32	18,32	6,00	5,46
LACKC10	excluded	11,38	15,27	5,60	9,13
LACKp11	2,15	8,99	16,37	9,01	5,81
LACKp12	2,34	9,68	20,34	6,97	10,19
LACKp13	4,27	excluded	16,72	12,33	9,34
LACKp14	10,36	7,12	16,63	6,22	6,59
LACKp15	2,79	3,09	20,18	8,52	3,89
L+IL-2 16	5,17	6,09	19,78	5,63	8,77
L+IL-2 17	4,51	2,94	16,81	6,25	8,94
L+IL-2 18	2,29	5,91	19,72	4,14	10,65
L+IL-2 19	2,52	9,62	18,48	4,89	8,58
L+IL-2 20	4,53	7,69	20,02	4,76	6,80
Lp+IL-2 21	2,55	4,89	19,57	5,47	8,78
Lp+IL-2 22	5,50	4,15	14,00	6,33	7,12
Lp+IL-2 23	2,33	3,19	18,08	4,43	9,80
Lp+IL-2 24	3,27	4,84	20,00	7,23	10,53
Lp+IL-2 25	4,83	5,70	19,00	36,51	35,78

DrawArray parameters

when < color
excluded
5
10
20
25
30
50
100

FIG. 28 D

Parameters of file to use

	Workbook	Sheet	Group	Nature	Remarks
1	DF CC/281 AC by EF Delta1	Data.1	1	CTR01	
2	DF CC/281 AC by EF Delta1	Data.2	1	CTR02	
3	DF CC/281 AC by EF Delta1	Data.3	1	CTR03	
4	DF CC/281 AC by EF Delta1	Data.4	1	CTR04	
5	DF CC/281 AC by EF Delta1	Data.5	1	CTR05	
6	DF CC/281 AC by EF Delta1	Data.6	2	LACKC06	
7	DF CC/281 AC by EF Delta1	Data.7	2	LACKC07	
8	DF CC/281 AC by EF Delta1	Data.8	2	LACKC08	
9	DF CC/281 AC by EF Delta1	Data.9	2	LACKC09	
10	DF CC/281 AC by EF Delta1	Data.10	2	LACKC10	
11	DF CC/281 AC by EF Delta1	Data.11	3	LACKp11	
12	DF CC/281 AC by EF Delta1	Data.12	3	LACKp12	
13	DF CC/282 AC by EF Delta1	Data.1	3	LACKp13	
14	DF CC/282 AC by EF Delta1	Data.2	3	LACKp14	
15	DF CC/282 AC by EF Delta1	Data.3	3	LACKp15	
16	DF CC/282 AC by EF Delta1	Data.4	4	+IL-2 16	
17	DF CC/282 AC by EF Delta1	Data.5	4	+IL-2 17	
18	DF CC/282 AC by EF Delta1	Data.6	4	+IL-2 18	
19	DF CC/282 AC by EF Delta1	Data.7	4	+IL-2 19	
20	DF CC/282 AC by EF Delta1	Data.8	4	+IL-2 20	
21	DF CC/282 AC by EF Delta1	Data.9	5	p+IL-2 21	
22	DF CC/282 AC by EF Delta1	Data.10	5	p+IL-2 22	
23	DF CC/282 AC by EF Delta1	Data.11	5	p+IL-2 23	
24	DF CC/282 AC by EF Delta1	Data.12	5	p+IL-2 24	
25	DF CC/283 AC by EF Delta1	Data.1	5	p+IL-2 25	

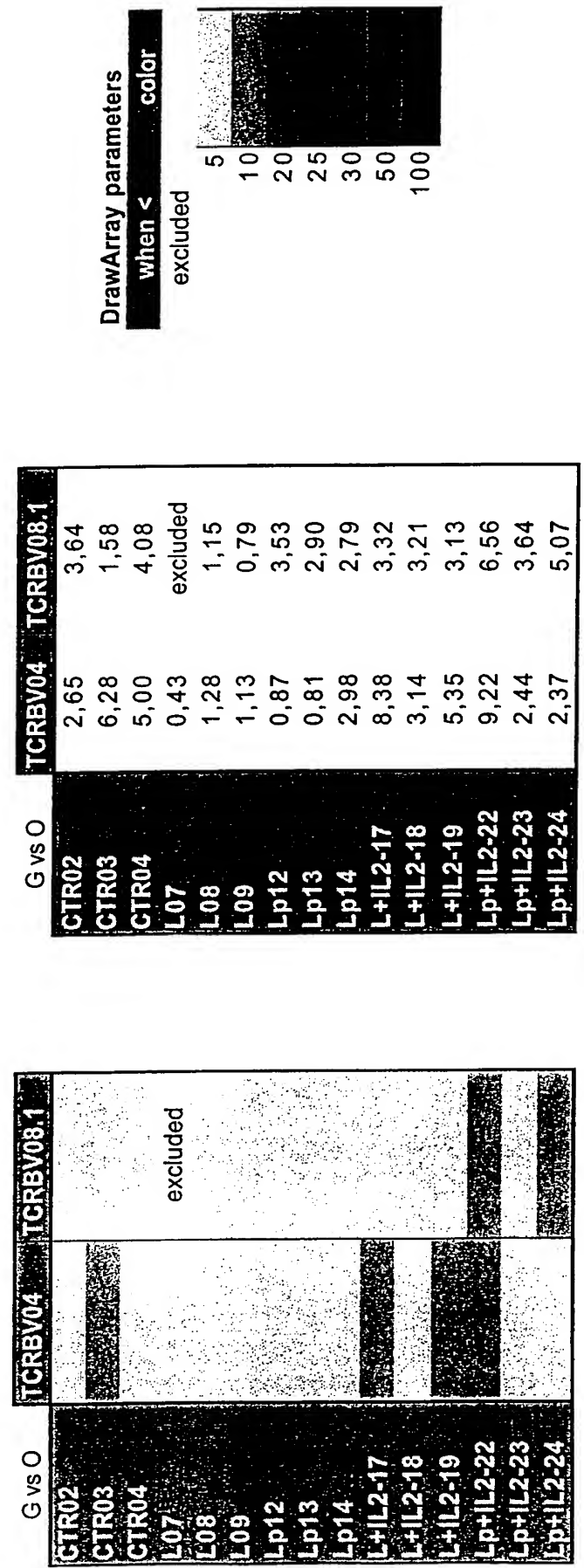
DrawArray parameters

when <	color
excluded	
5	
10	
20	
25	
30	
50	
100	

FIG. 29

**FIG. 30A**

Depiction of overall disturbance versus oligoclonality





Depiction of overall disturbance

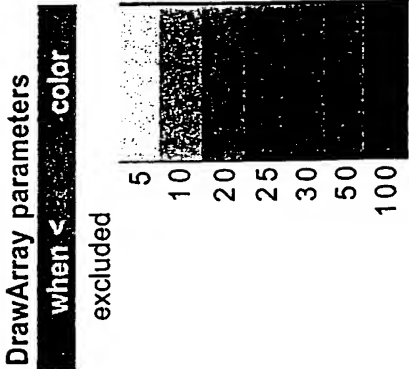
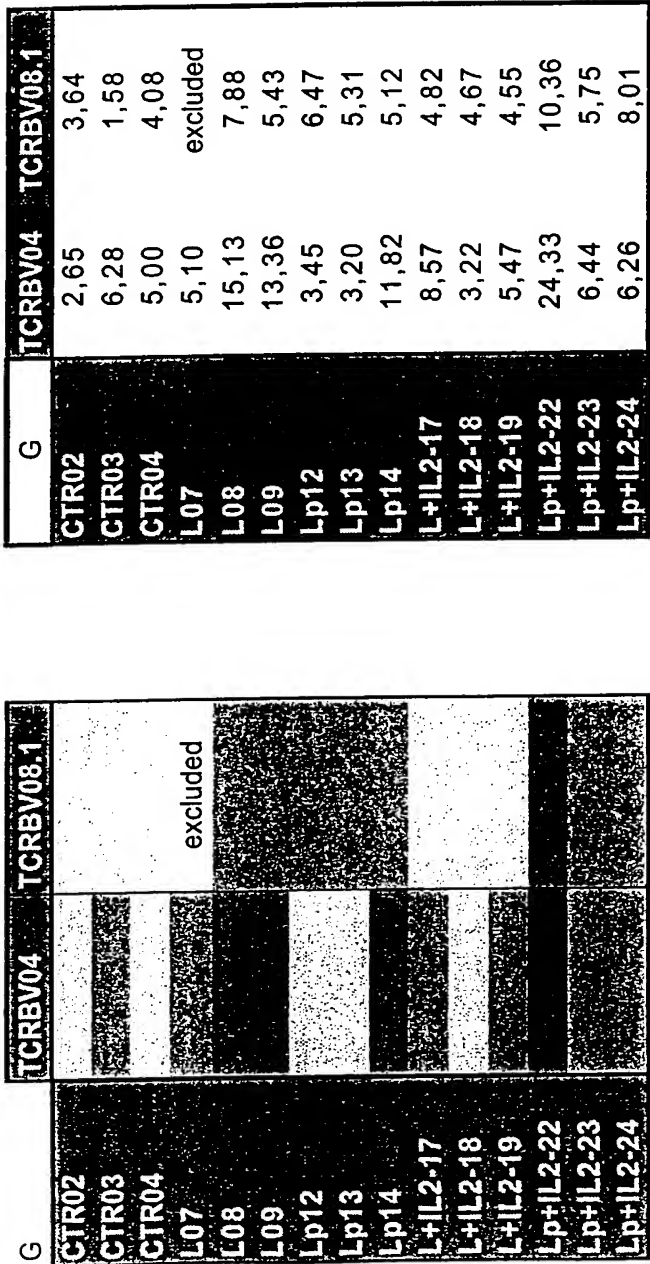
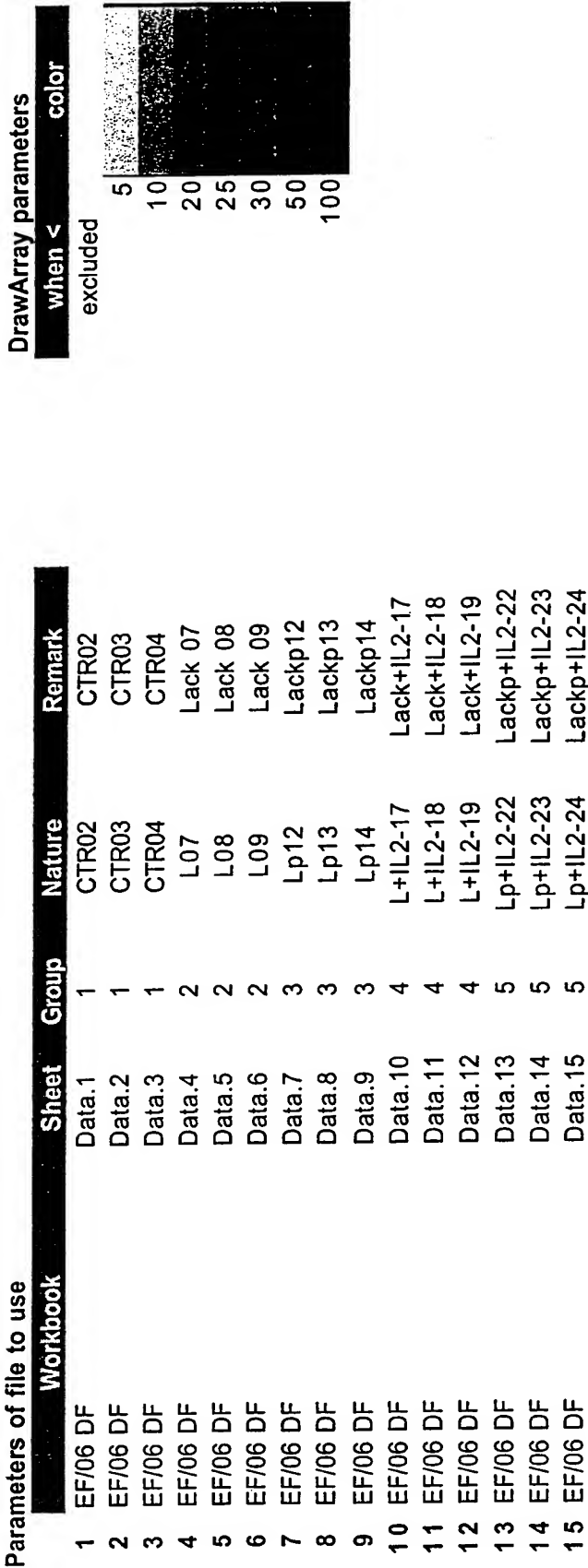
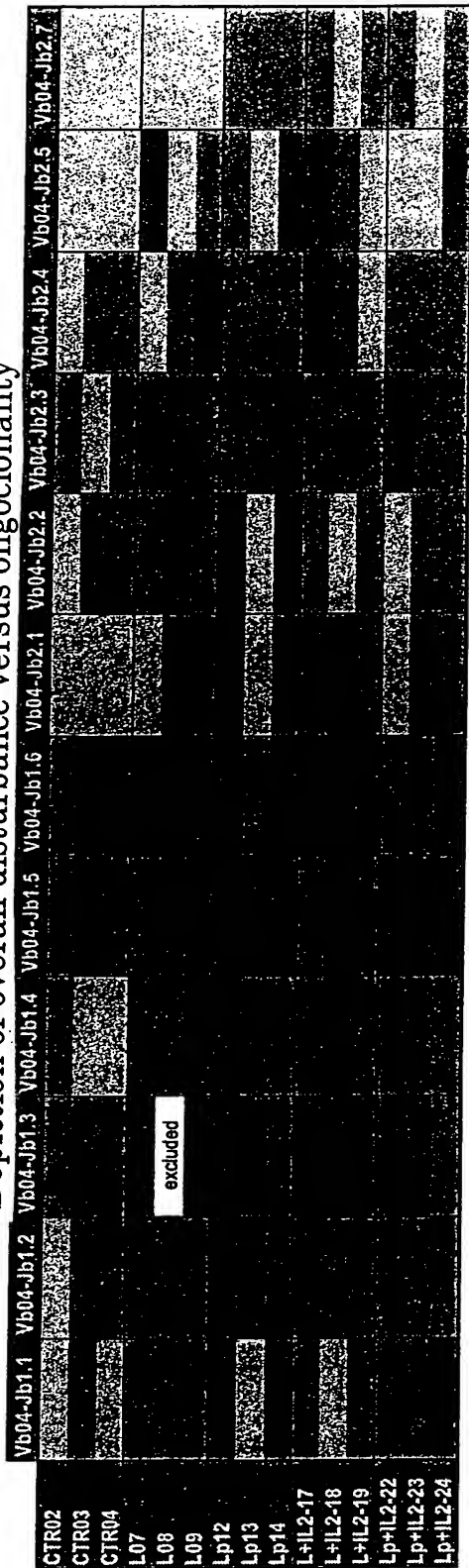


FIG. 30B

FIG. 31



Depiction of overall disturbance versus oligoclonality

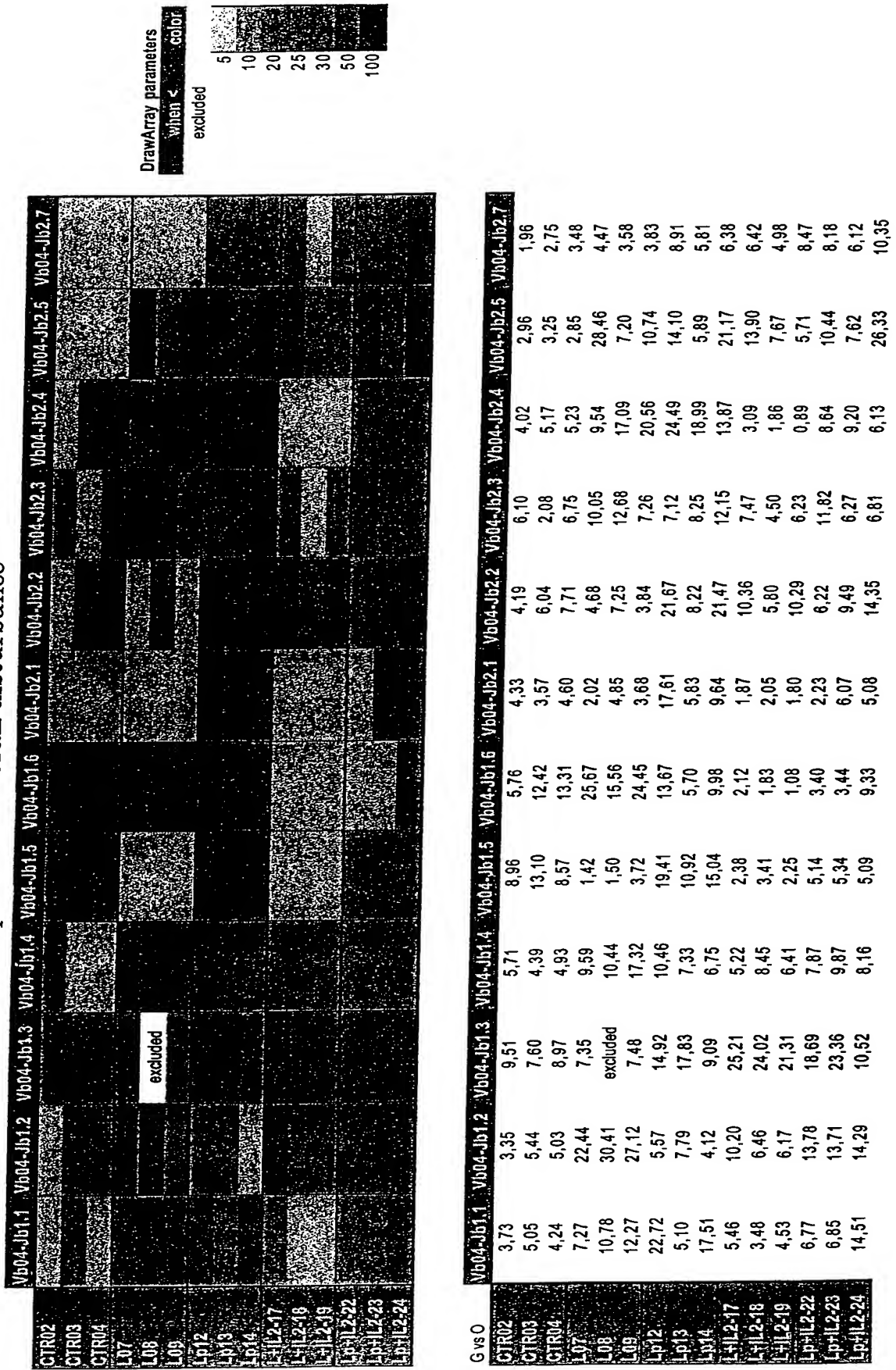


	Vb04-Jb1.1	Vb04-Jb1.2	Vb04-Jb1.3	Vb04-Jb1.4	Vb04-Jb1.5	Vb04-Jb1.6	Vb04-Jb2.1	Vb04-Jb2.2	Vb04-Jb2.3	Vb04-Jb2.4	Vb04-Jb2.5	Vb04-Jb2.7
CTR02	3.73	3.35	9.51	5.71	8.96	5.76	4.33	4.19	6.10	4.02	2.96	1.96
CTR03	5.05	5.44	7.60	4.39	13.10	12.42	3.57	6.04	2.08	5.17	3.25	2.75
CTR04	4.24	5.03	8.97	4.93	8.57	13.31	4.60	7.71	6.75	5.23	2.85	3.48
L07	5.30	5.71	11.55	6.52	9.23	20.00	3.99	8.61	7.00	4.83	14.72	4.38
L08	7.86	7.73	excluded	7.10	9.74	12.12	9.55	13.33	8.83	8.66	3.72	3.51
L09	8.95	6.90	11.77	11.78	24.19	19.05	7.24	7.07	5.06	10.42	5.55	3.76
Lp12	15.89	19.08	10.26	11.05	23.35	22.64	14.00	11.38	6.75	9.20	9.44	9.20
Lp13	3.57	26.66	12.26	7.75	13.14	9.44	4.63	4.32	7.82	7.13	3.94	6.00
Lp14	12.24	14.09	6.25	7.13	18.10	16.54	7.66	11.28	11.52	5.21	14.17	6.59
L+IL2-17	7.54	10.06	11.95	6.84	7.39	20.34	5.32	7.10	9.57	11.98	10.44	6.03
L+IL2-18	4.81	6.37	11.39	11.07	10.56	17.58	5.86	3.97	5.76	7.22	5.76	4.68
L+IL2-19	6.26	6.08	10.11	8.41	6.95	10.36	5.14	7.05	7.99	3.46	4.29	7.95
Lp+IL2-22	6.07	6.73	11.43	6.91	10.61	7.36	3.14	4.33	11.70	8.65	4.91	6.21
Lp+IL2-23	6.13	6.70	14.28	8.67	11.02	7.44	8.56	6.60	6.21	9.21	3.58	4.65
Lp+IL2-24	13.00	6.98	6.43	7.17	10.51	20.21	7.17	9.99	6.74	6.14	12.37	7.86

FIG. 32A

FIG. 32B

Depiction of overall disturbance



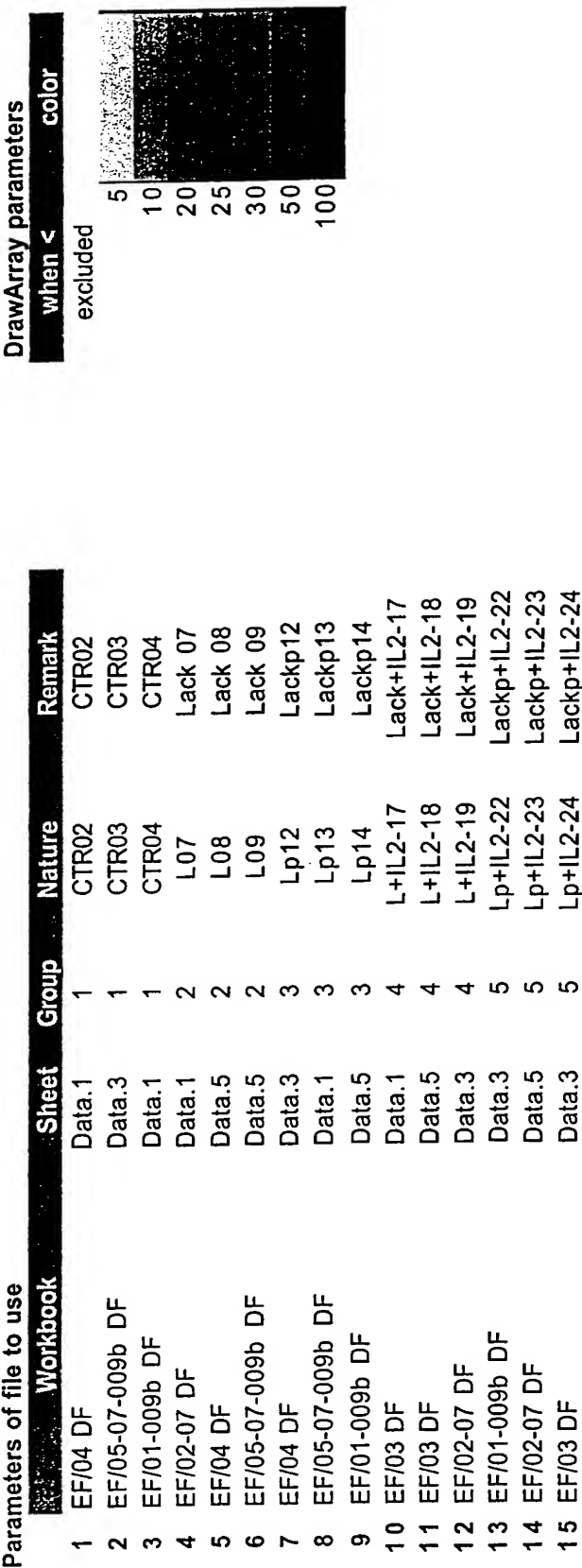


FIG. 33

Depiction of overall disturbance versus oligocionality

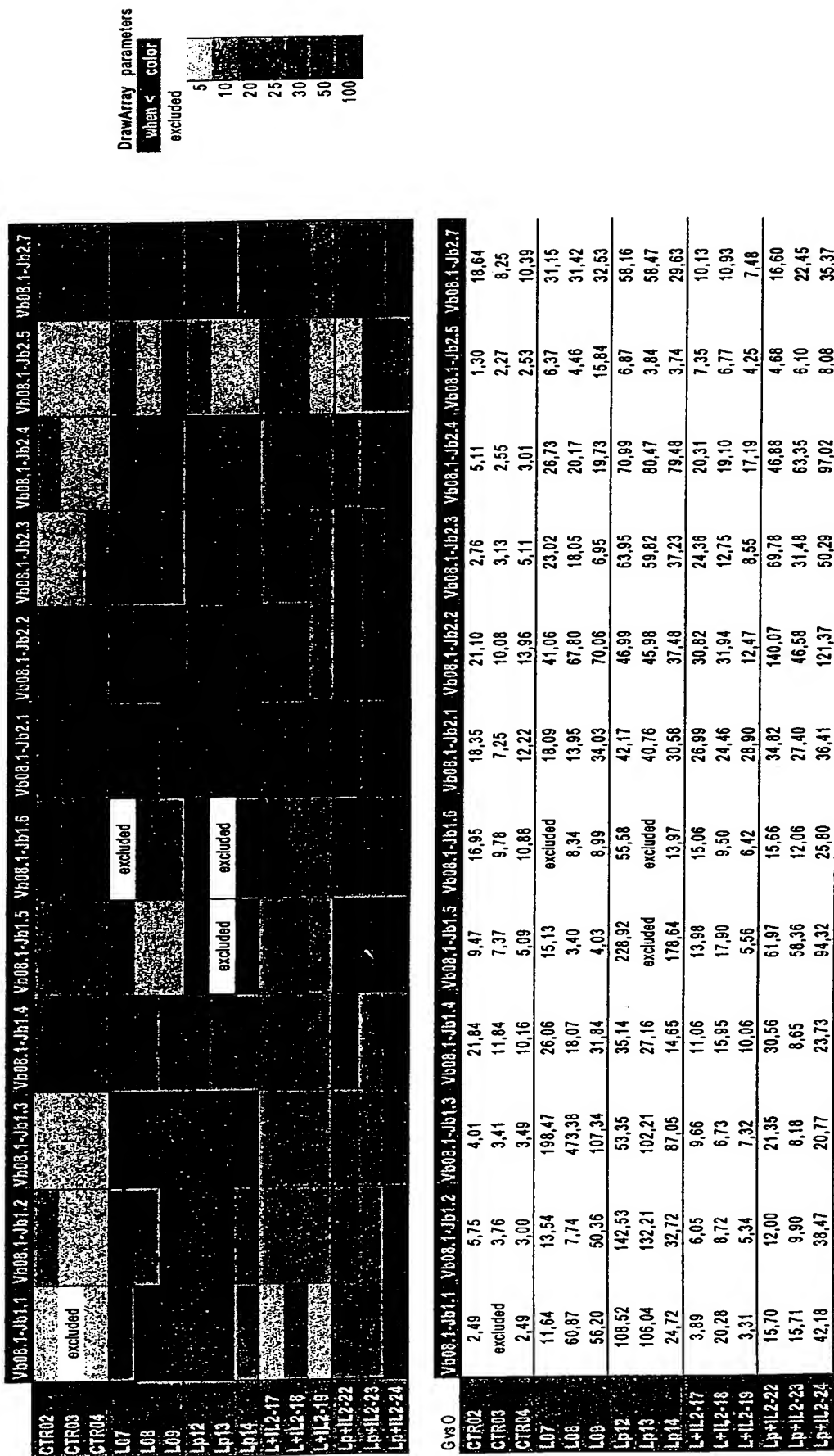
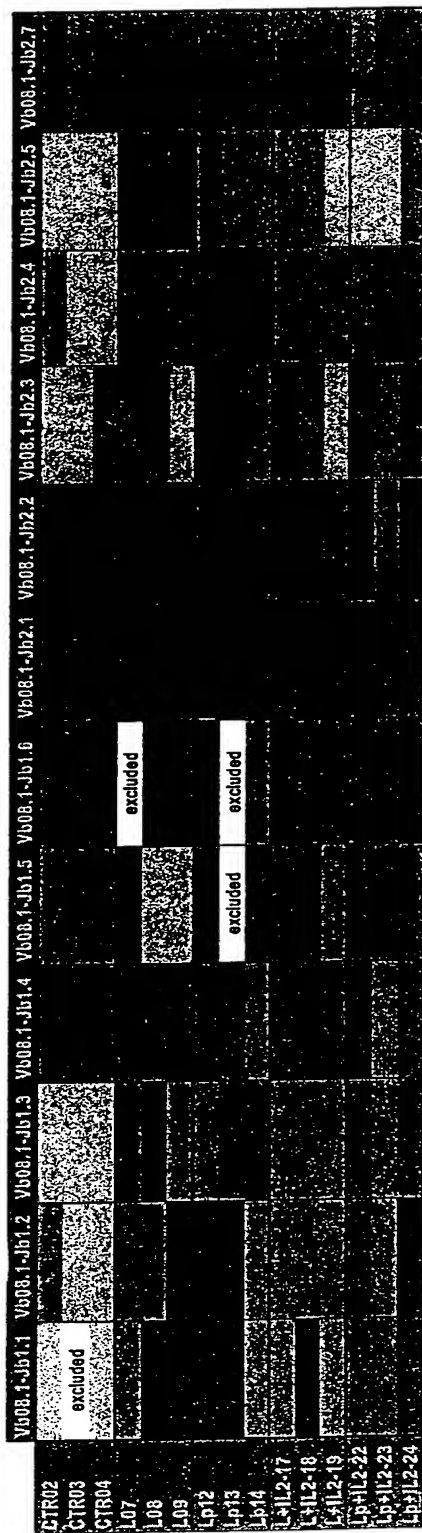
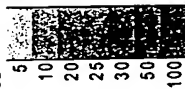


FIG. 34A

Depiction of overall disturbance



DrawArray parameters  
 'white' color  
 excluded



	Vb08.1-Jb1.1	Vb08.1-Jb1.2	Vb08.1-Jb1.3	Vb08.1-Jb1.4	Vb08.1-Jb1.5	Vb08.1-Jb1.6	Vb08.1-Jb2.1	Vb08.1-Jb2.2	Vb08.1-Jb2.3	Vb08.1-Jb2.4	Vb08.1-Jb2.5	Vb08.1-Jb2.7
CTR02	2.49	5.75	4.01	21.84	9.47	16.95	18.35	21.10	2.76	5.11	1.30	18.64
CTR03	excluded	3.76	3.41	11.84	7.37	9.78	7.25	10.08	3.13	2.55	2.27	8.25
CTR04	2.49	3.00	3.49	10.16	5.09	10.88	12.22	13.96	5.11	3.01	2.53	10.39
L07	6.38	9.32	17.25	19.35	13.65	excluded	13.14	15.25	8.76	9.77	14.96	20.52
L08	33.37	5.33	41.13	13.42	3.07	24.22	10.14	25.18	6.87	7.37	10.47	20.69
L09	30.81	34.66	9.33	23.64	3.63	26.11	24.72	26.01	2.65	7.21	37.21	21.43
Lp12	30.91	38.86	7.12	23.50	26.22	34.24	19.56	24.51	10.96	14.76	10.78	23.97
Lp13	30.21	36.04	13.64	18.17	excluded	excluded	18.91	23.98	10.26	16.72	6.03	24.10
Lp14	7.04	8.92	11.61	9.80	20.46	8.61	14.18	19.54	6.38	16.52	5.87	12.21
L+IL2-17	6.04	5.67	7.85	15.08	19.64	29.55	15.64	24.95	13.35	7.08	8.57	13.69
L+IL2-18	31.47	8.17	5.47	21.74	25.15	18.64	14.18	25.86	6.99	6.66	7.90	14.77
L+IL2-19	5.14	5.01	5.95	13.72	7.81	12.60	16.75	10.09	4.69	5.99	4.96	10.10
Lp+IL2-22	10.08	10.10	13.58	28.46	12.82	15.46	22.39	35.87	14.34	9.29	3.42	8.33
Lp+IL2-23	10.08	8.33	5.20	8.05	12.07	11.90	17.61	11.93	6.56	12.55	4.46	11.27
Lp+IL2-24	27.07	32.38	13.20	22.10	19.51	25.47	23.41	31.08	10.48	19.22	5.90	17.75

FIG. 34B

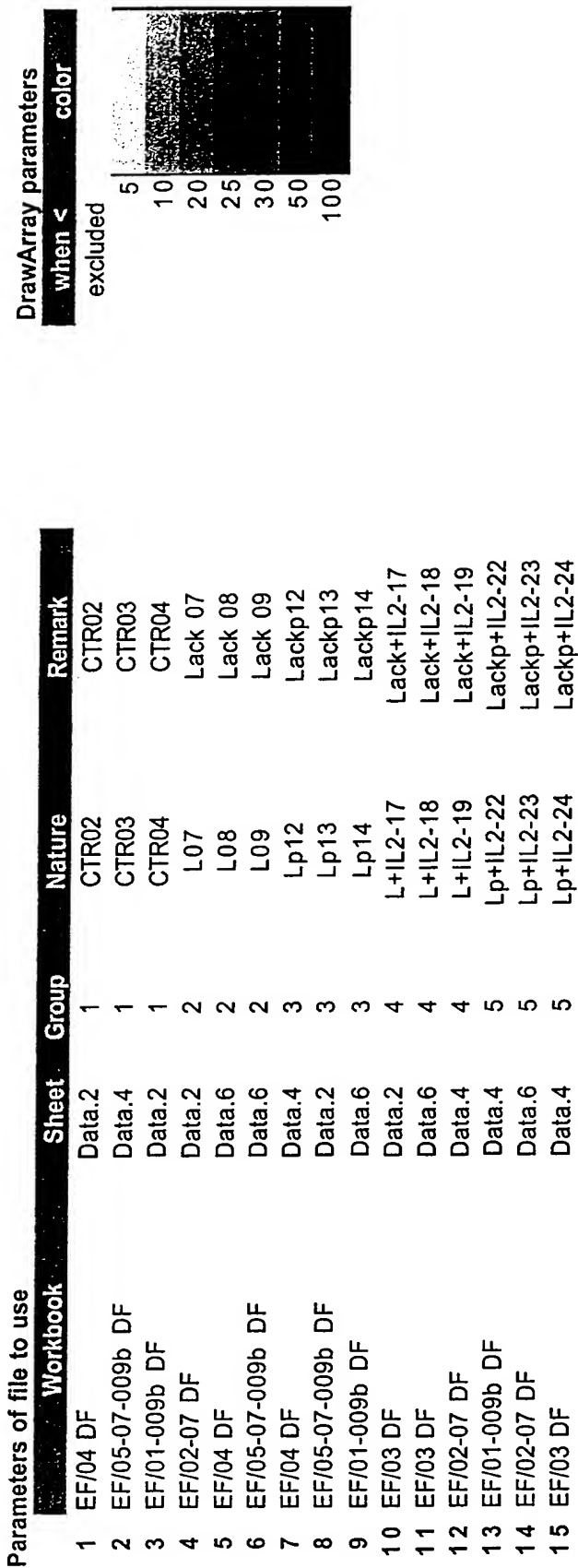


FIG. 35



Parameters of file to use		DA PWK/R-CD4+			
	Workbook	Sheet	Group	Nature	Remark
1	DF BB/013	Data.3	1	RJ0a	1
2	DF BB/013	Data.1	1	RJ0b	2
3	DF BB/013	Data.2	1	RJ0c	3
4	DF BB/014	Data.1	1	RJ0d	4
5	DF BB/017	Data.1	1	RJ0e	5
6	DF BB/017	Data.2	1	RJ0f	6
7	DF BB/005	Data.1	2	R7sa	7
8	DF BB/005	Data.2	2	R7sb	8
9	DF BB/005	Data.3	2	R7sc	9
10	DF BB/006	Data.2	2	R7sd	10
11	DF BB/006	Data.2	2	R7se	11
12	DF BB/006	Data.3	2	R7sf	12
13	DF BB/023	Data.1	3	R20sa	13
14	DF BB/023	Data.2	3	R20sb	14
15	DF BB/023	Data.3	3	R20sc	15
16	DF BB/024	Data.1	3	R20sd	16
17	DF BB/024	Data.2	3	R20se	17
18	DF BB/024	Data.3	3	R20sf	18
19	DF BB/031	Data.1	4	R27sa	19
20	DF BB/031	Data.2	4	R27sb	20
21	DF BB/031	Data.3	4	R27sc	21
22	DF BB/032	Data.1	4	R27sd	22
23	DF BB/032	Data.2	4	R27se	23
24	DF BB/032	Data.3	4	R27sf	24

**FIG. 36**

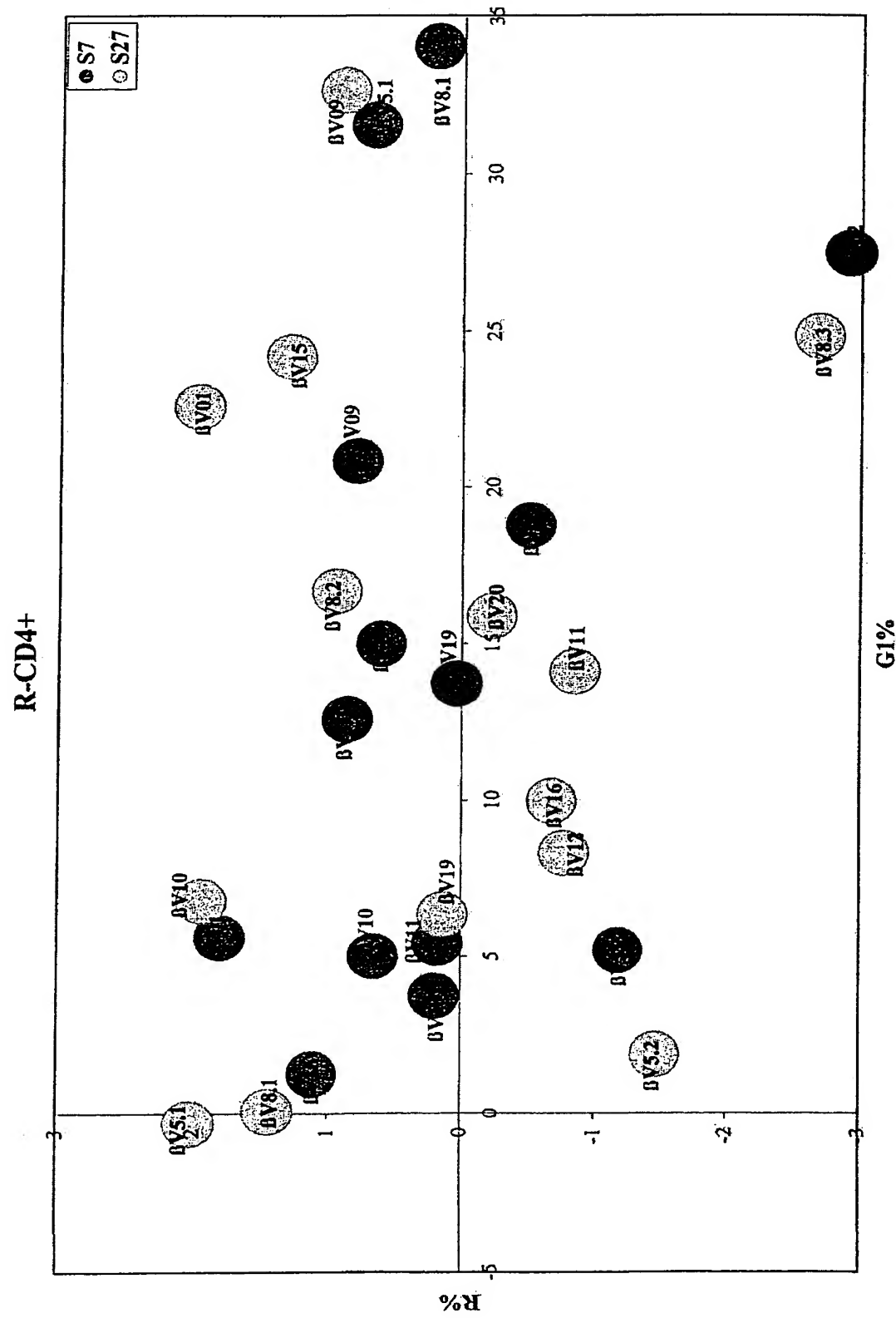


FIG. 37

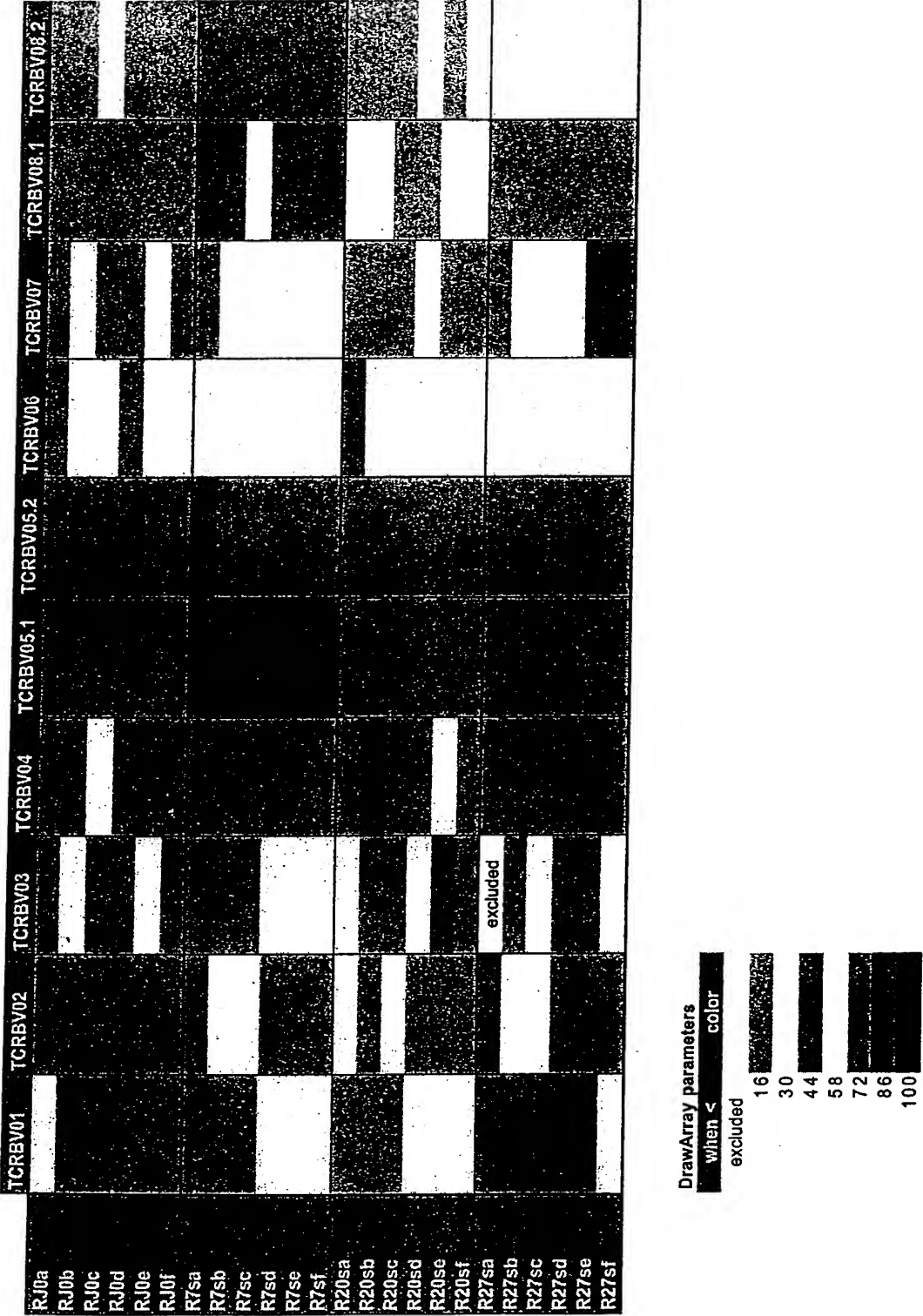


FIG. 38A

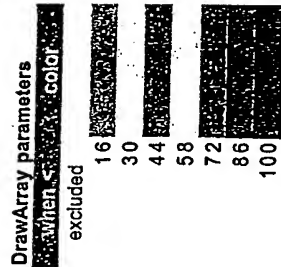
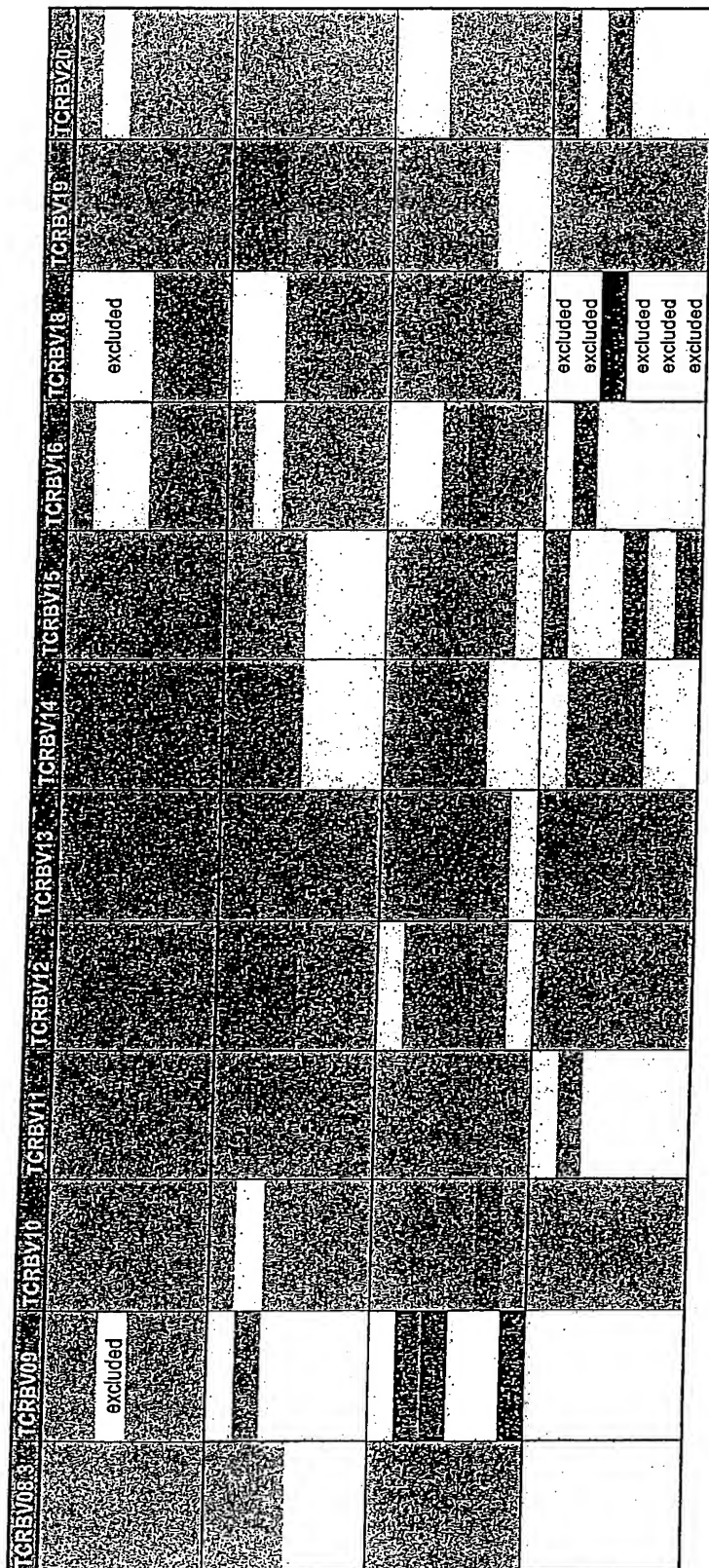


FIG. 38B

Score d'Oligoclonalité $\beta$ V : PWK/Rate-CD4 <sup>+</sup>	
7 semaines post-infection	27 semaines post-infection
$\beta$ V01 (9-10-11 aa)	$\beta$ V5.2 (9 aa)
$\beta$ V09 (10-11 aa)	$\beta$ V8.3 (8-9-10 aa)
$\beta$ V16 (10 aa)	$\beta$ V09 (7-9-10-12-13 aa)
$\beta$ V19 (12 aa)	$\beta$ V10 (9 aa)
	$\beta$ V11 (9-10-11 aa)

**FIG.39**

Score d'Oligoclonalité $\beta$ V : PWK/GG-CD4 <sup>+</sup>	
7 semaines post-infection	27 semaines post-infection
$\beta$ V01 (9-10-11 aa)	$\beta$ V5.2 (8-9 aa)
$\beta$ V03 (10 aa)	$\beta$ V10 (9 aa)
$\beta$ V8.1 (10 aa)	$\beta$ V14 (10 aa)
$\beta$ V8.2 (9-10-11 aa)	$\beta$ V15 (9-10-11 aa)
$\beta$ V09 (9-10-11 aa)	
$\beta$ V16 (10 aa)	
$\beta$ V19 (10-12 aa)	

**FIG.44**

Score d'Oligoclonalité $\beta$ V : PWK/GG-CD8 <sup>+</sup>	
7 semaines post-infection	27 semaines post-infection
$\beta$ V12 (9-10 aa)	$\beta$ V03 (10 aa)
$\beta$ V15 (8-9 aa)	$\beta$ V04 (11 aa)

**FIG. 49**

Score d'Oligoclonalité $\beta$ V : PWK/Rate-CD8 <sup>+</sup>	
7 semaines post-infection	27 semaines post-infection
$\beta$ V01 (10-11-12 aa)	$\beta$ V03 (10 aa)
	$\beta$ V13 (11 aa)

**FIG. 54**

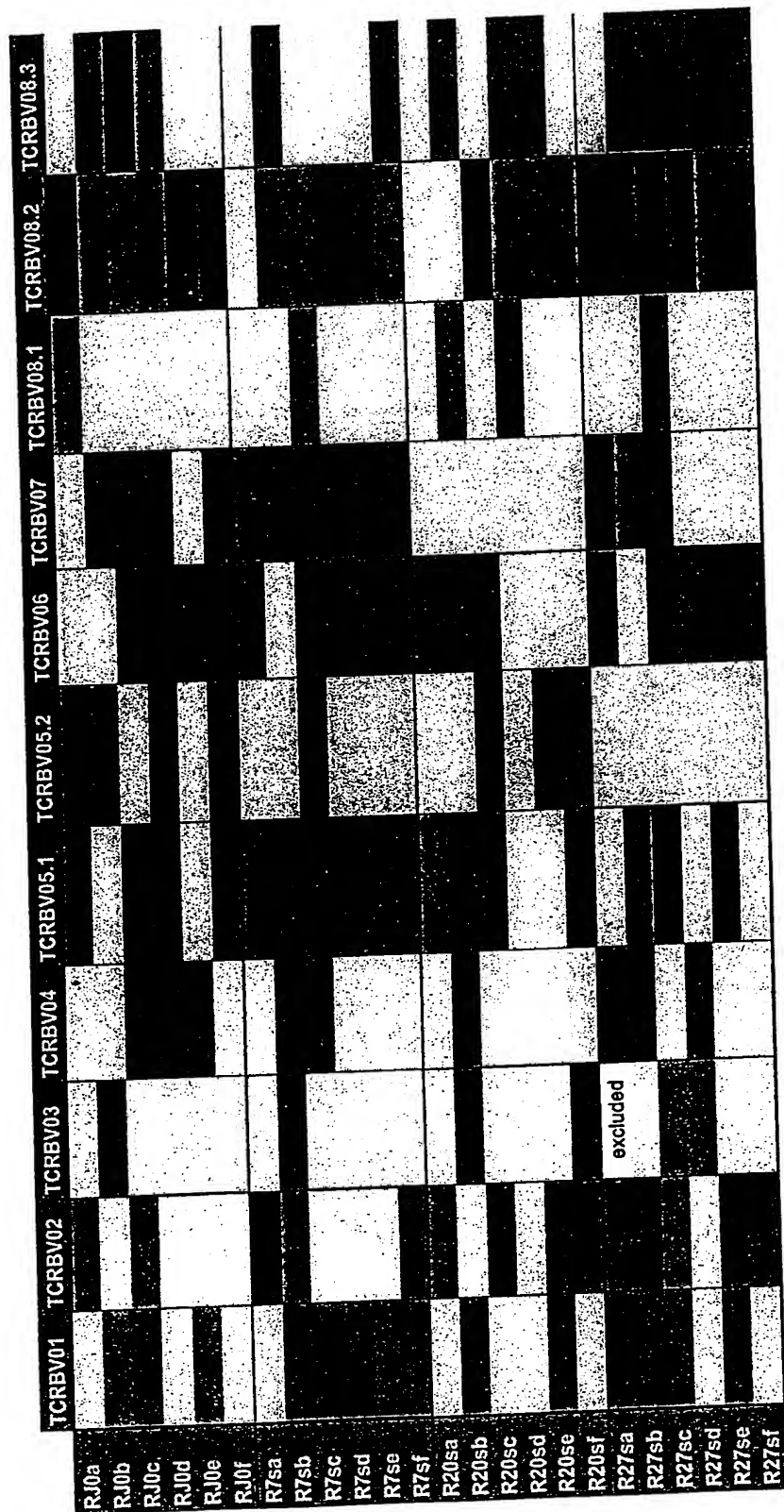
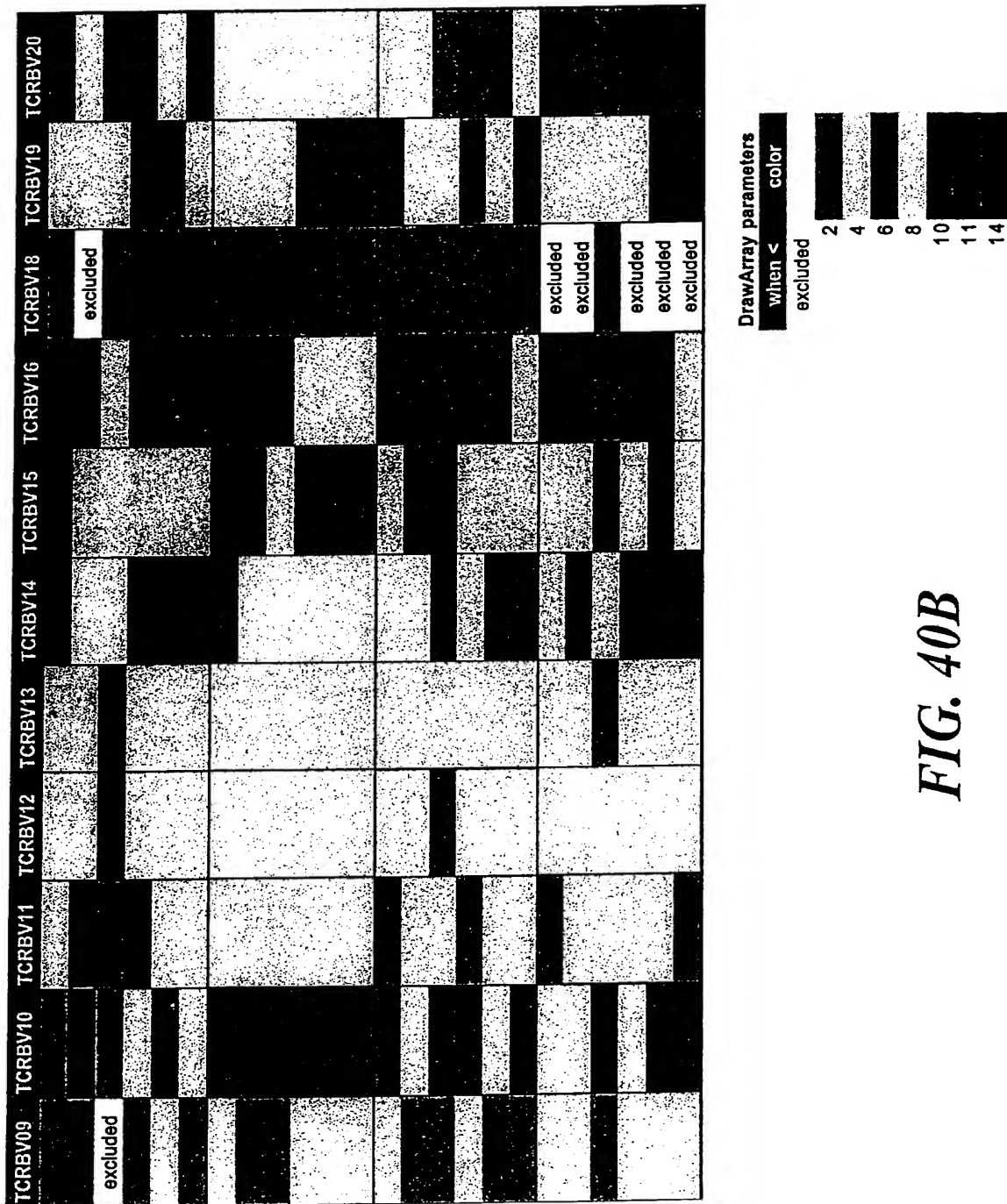


FIG. 40A



**FIG. 40B**

Parameters of file to use		DA PWK/GG-CD4+			
	Workbook	Sheet	Group	Nature	Remark
1	DF BB/009	Data.2	1	GGJ0b	1
2	DF BB/009	Data.3	1	GGJ0c	2
3	DF BB/009	Data.1	1	GGJ0a	3
4	DF BB/010	Data.1	1	GGJ0d	4
5	DF BB/010	Data.2	1	GGJ0e	5
6	DF BB/010	Data.3	1	GGJ0f	6
7	DF BB/002	Data.1	2	GG7sa	7
8	DF BB/002	Data.2	2	GG7sb	8
9	DF BB/002	Data.3	2	GG7sc	9
10	DF BB/003	Data.1	2	GG7sd	10
11	DF BB/003	Data.2	2	GG7se	11
12	DF BB/007	Data.3	2	GG7sf	12
13	DF BB/019	Data.1	3	GG20sa	13
14	DF BB/019	Data.2	3	GG20sb	14
15	DF BB/019	Data.3	3	GG20sc	15
16	DF BB/020	Data.1	3	GG20sd	16
17	DF BB/020	Data.2	3	GG20se	17
18	DF BB/020	Data.3	3	GG20sf	18
19	DF BB/027	Data.1	4	GG27sa	19
20	DF BB/027	Data.2	4	GG27sb	20
21	DF BB/027	Data.3	4	GG27sc	21
22	DF BB/028	Data.1	4	GG27sd	22
23	DF BB/028	Data.2	4	GG27se	23
24	DF BB/028	Data.3	4	GG27sf	24

**FIG. 41**



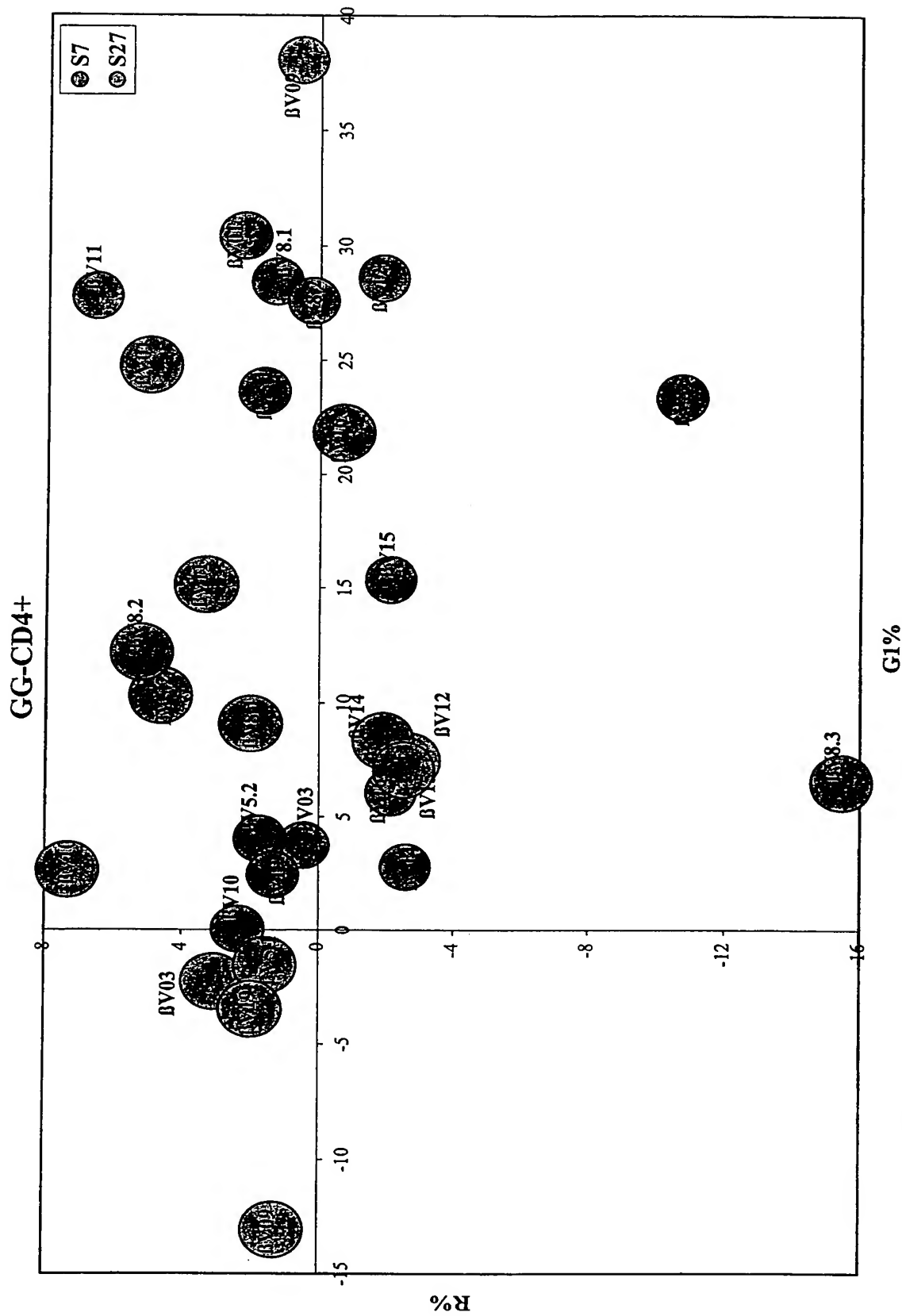


FIG. 42

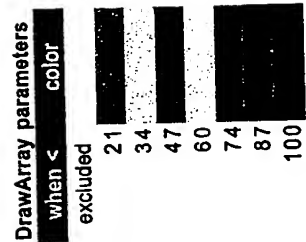
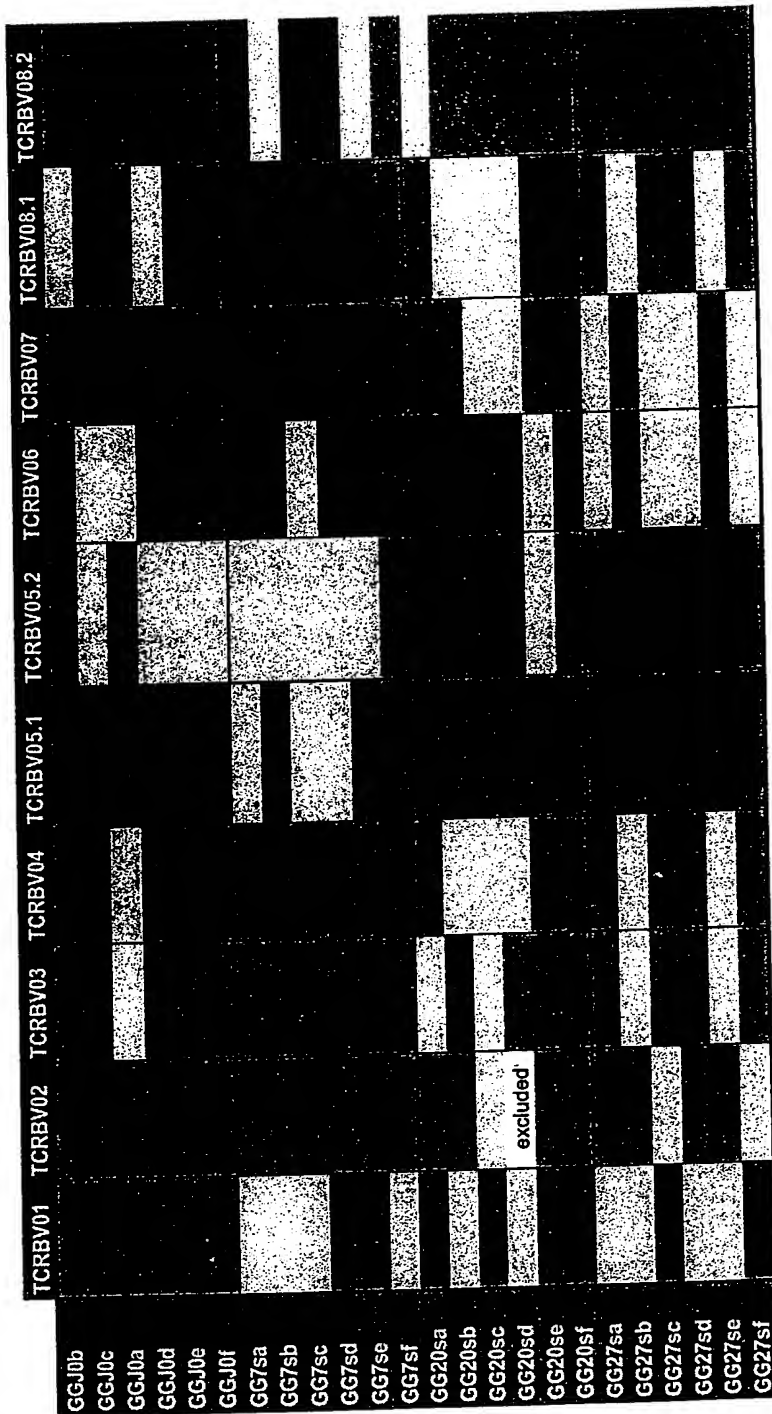


FIG. 43A

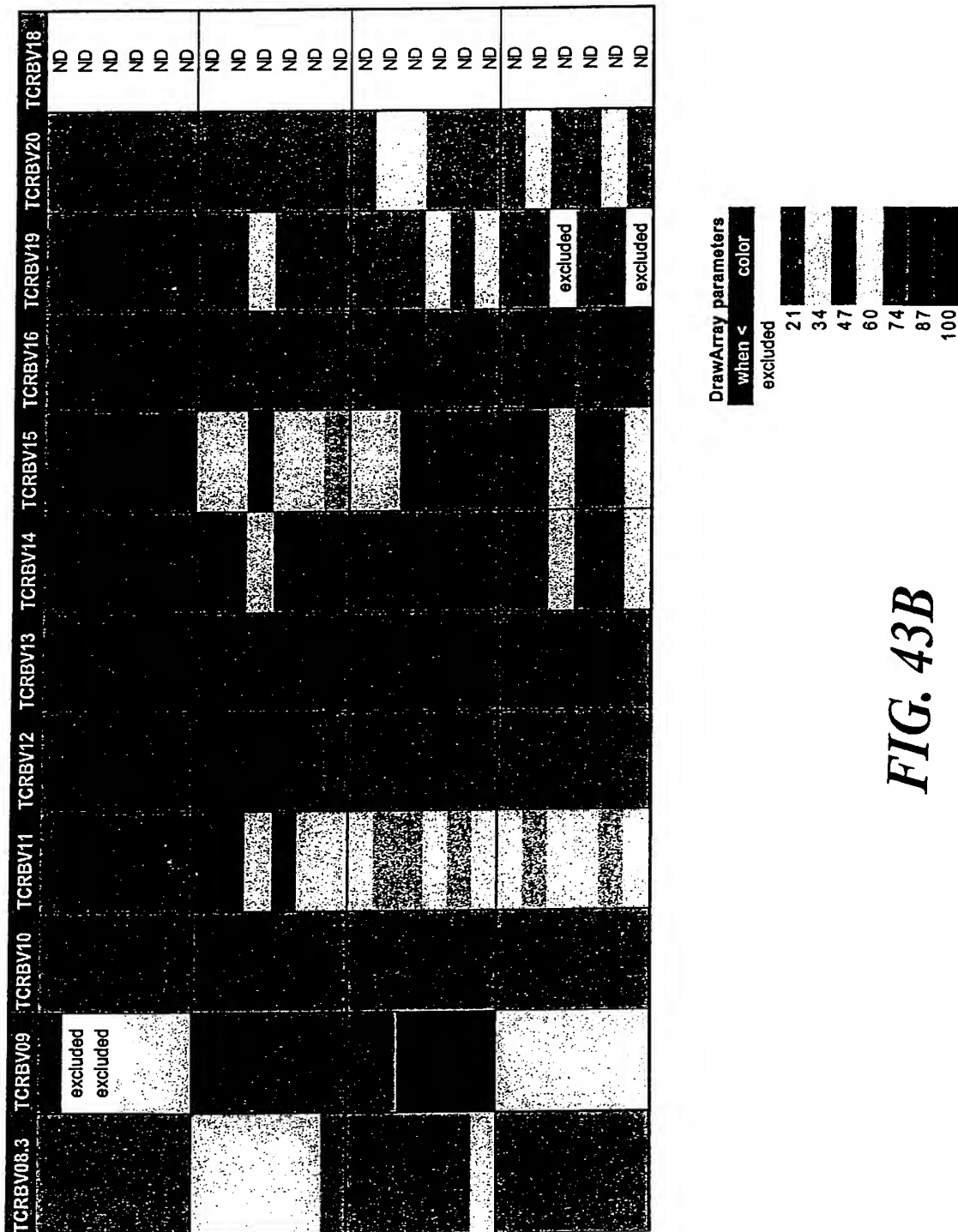




FIG. 45A

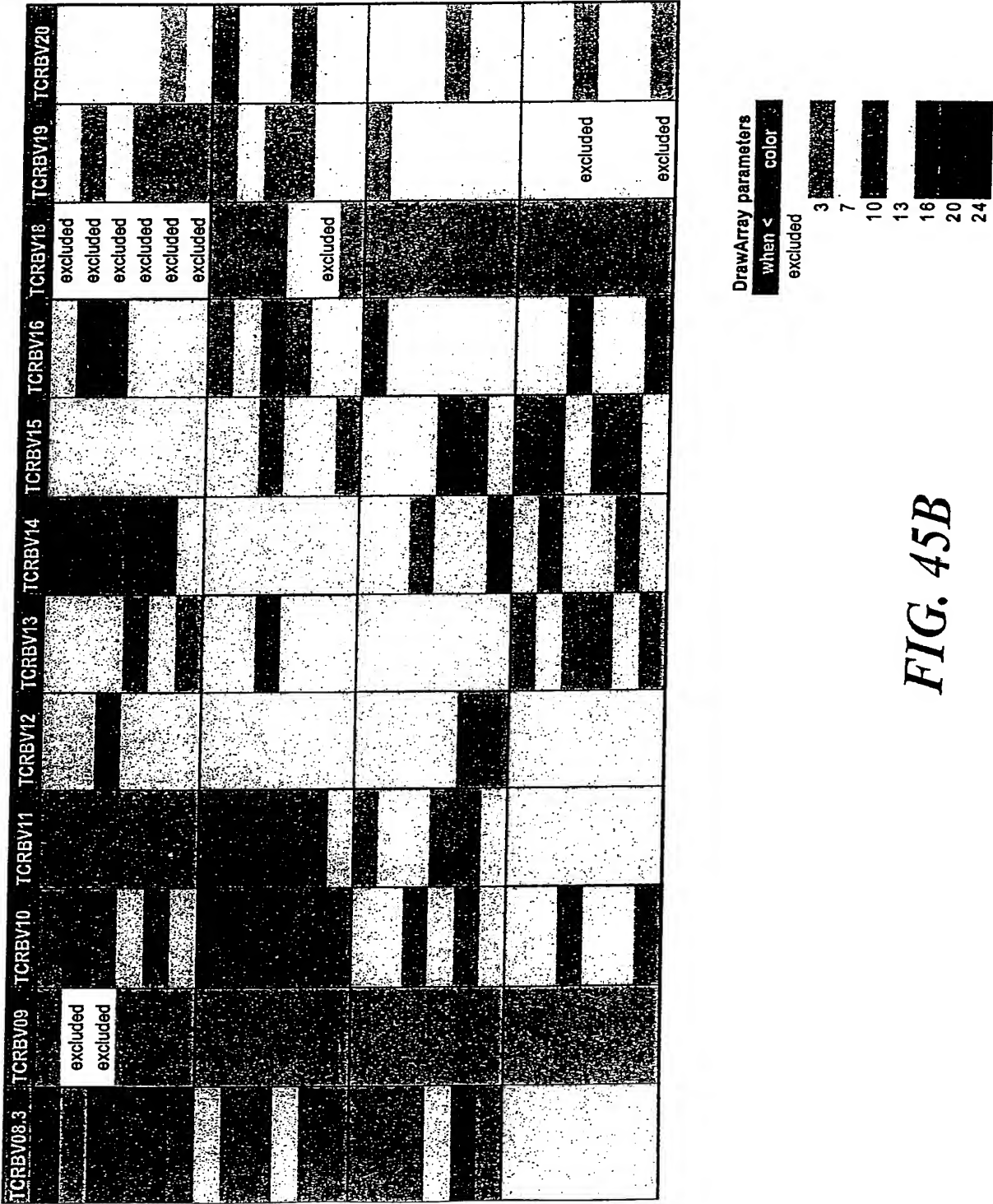
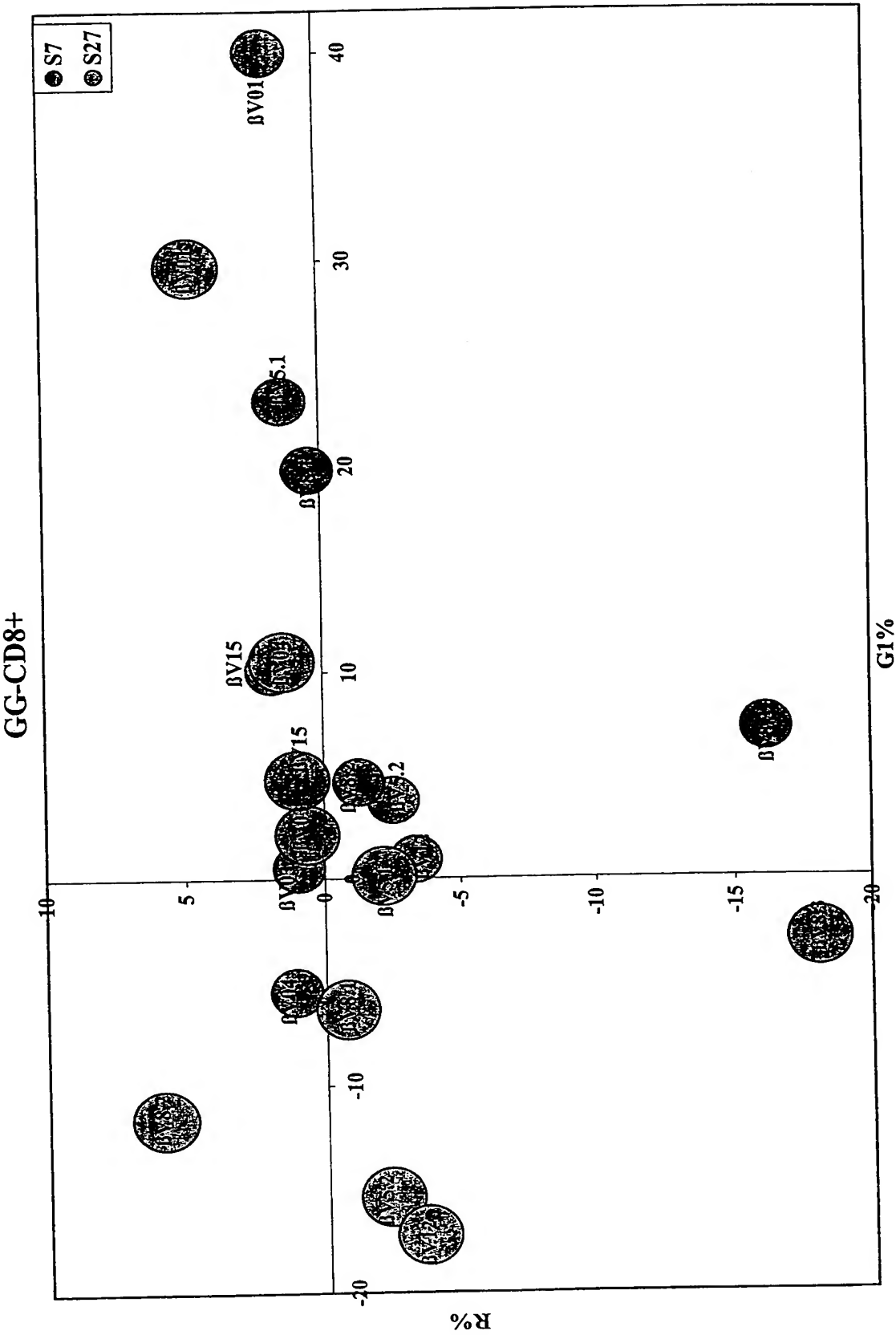


FIG. 45B

Parameters of file to use		DA PWK/GG-CD8+			
	Workbook	Sheet	Group	Nature	Remark
1	DF BB/001	Data.2	2	GG7sb	7
2	DF BB/001	Data.1	2	GG7sa	8
3	DF BB/001	Data.3	2	GG7sc	9
4	DF BB/004	Data.1	2	GG7sd	10
5	DF BB/004	Data.2	2	GG7se	11
6	DF BB/004	Data.3	2	GG7sf	12
7	DF BB/011	Data.1	1	GGJOa	1
8	DF BB/011	Data.2	1	GGJOb	2
9	DF BB/011	Data.3	1	GGJOc	3
10	DF BB/012	Data.1	1	GGJOd	4
11	DF BB/012	Data.2	1	GGJOe	5
12	DF BB/012	Data.3	1	GGJO f	6
13	DF BB/021	Data.1	3	GG20sa	13
14	DF BB/021	Data.2	3	GG20sb	14
15	DF BB/021	Data.3	3	GG20sc	15
16	DF BB/022	Data.1	3	GG20sd	16
17	DF BB/022	Data.2	3	GG20se	17
18	DF BB/022	Data.3	3	GG20sf	18
19	DF BB/029	Data.1	4	GG27sa	19
20	DF BB/029	Data.2	4	GG27sb	20
21	DF BB/029	Data.3	4	GG27sc	21
22	DF BB/030	Data.1	4	GG27sd	22
23	DF BB/030	Data.2	4	GG27se	23
24	DF BB/030	Data.3	4	GG27sf	24

**FIG. 46**









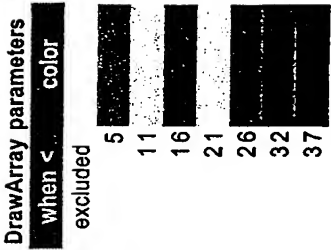
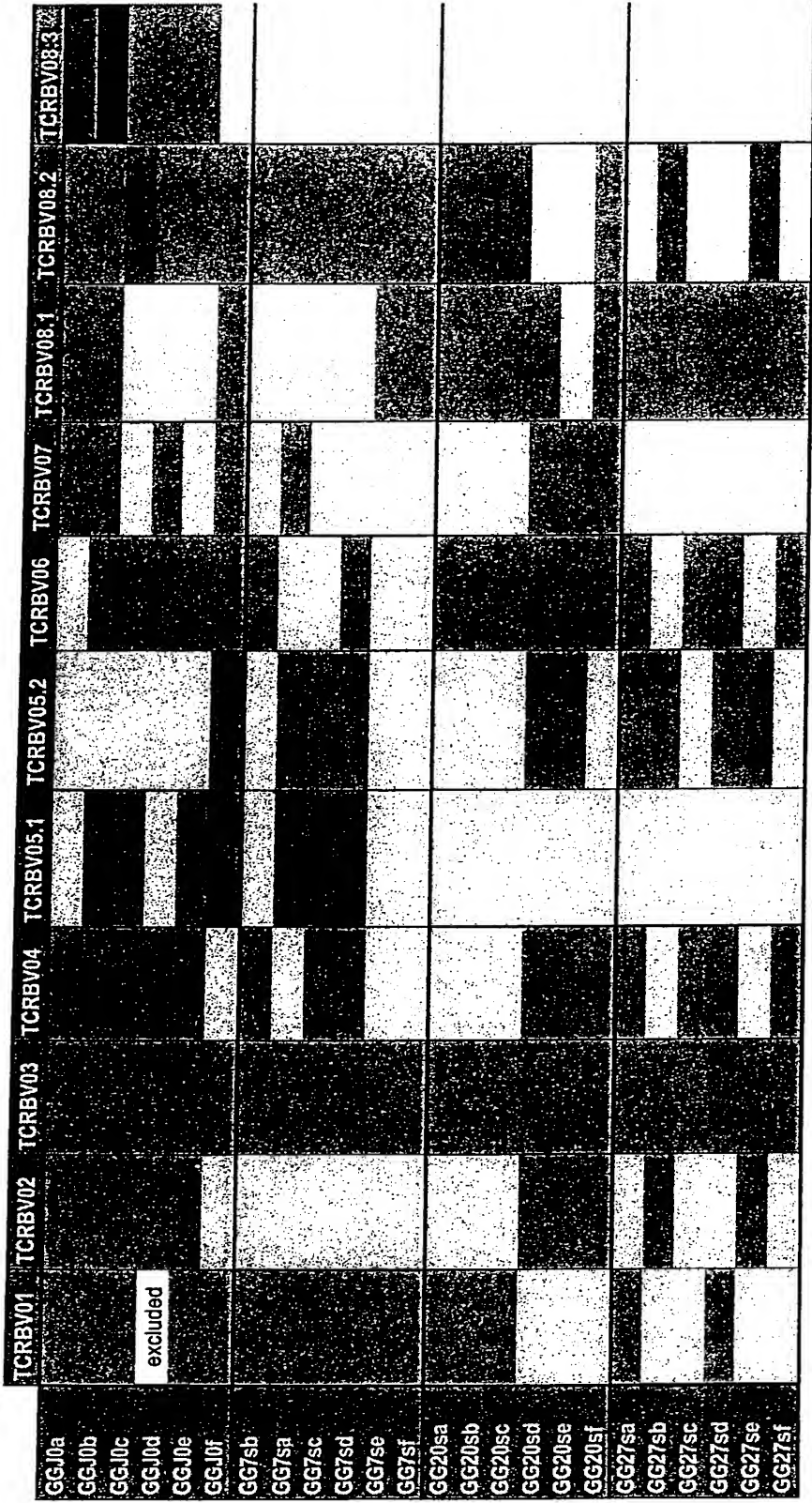


FIG. 50A

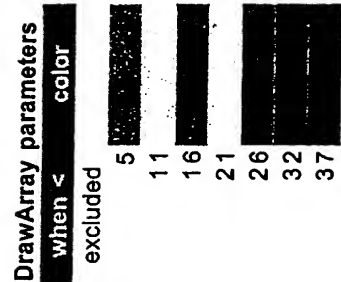
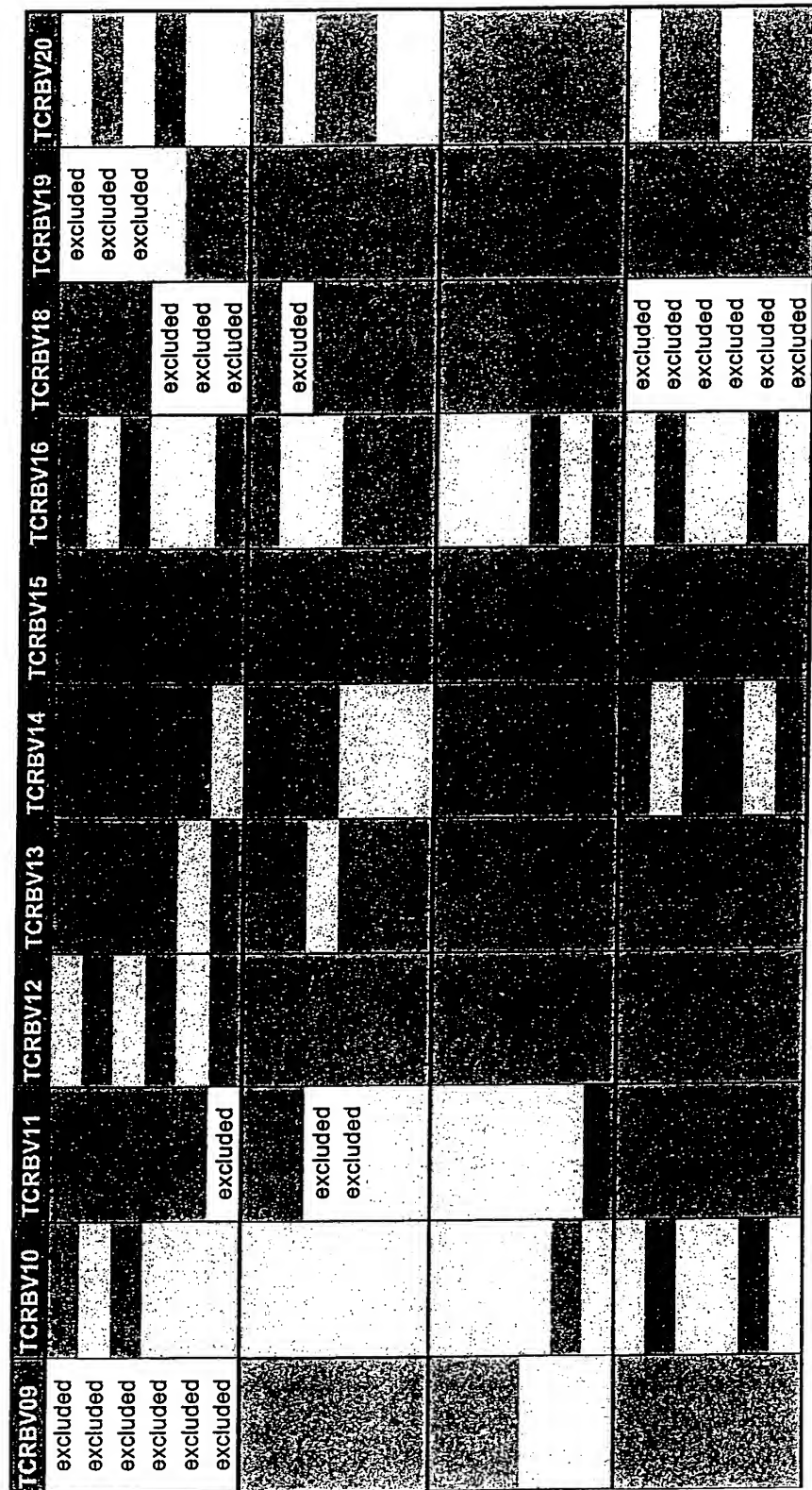


FIG. 50B

Parameters of file to use		DA PWK/R-CD8+			
	Workbook	Sheet	Group	Nature	Remark
1	DF BB/017	Data.3	1	RJOa	1
2	DF BB/018	Data.1	1	RJOb	2
3	DF BB/015	Data.3	1	RJOc	3
4	DF BB/016	Data.1	1	RJOd	4
5	DF BB/016	Data.2	1	RJOe	5
6	DF BB/016	Data.3	1	RJOf	6
7	DF BB/007	Data.1	2	R7sa	7
8	DF BB/007	Data.2	2	R7sb	8
9	DF BB/008	Data.1	2	R7sc	9
10	DF BB/008	Data.2	2	R7sd	10
11	DF BB/008	Data.3	2	R7se	11
12	DF BB/018	Data.2	2	R7sf	12
13	DF BB/025	Data.1	3	R20sa	13
14	DF BB/025	Data.2	3	R20sb	14
15	DF BB/025	Data.3	3	R20sc	15
16	DF BB/026	Data.1	3	R20sd	16
17	DF BB/026	Data.2	3	R20se	17
18	DF BB/026	Data.3	3	R20sf	18
19	DF BB/033	Data.1	4	R27sa	19
20	DF BB/033	Data.2	4	R27sb	20
21	DF BB/033	Data.3	4	R27sc	21
22	DF BB/034	Data.1	4	R27sd	22
23	DF BB/034	Data.2	4	R27se	23
24	DF BB/034	Data.3	4	R27sf	24

**FIG. 51**

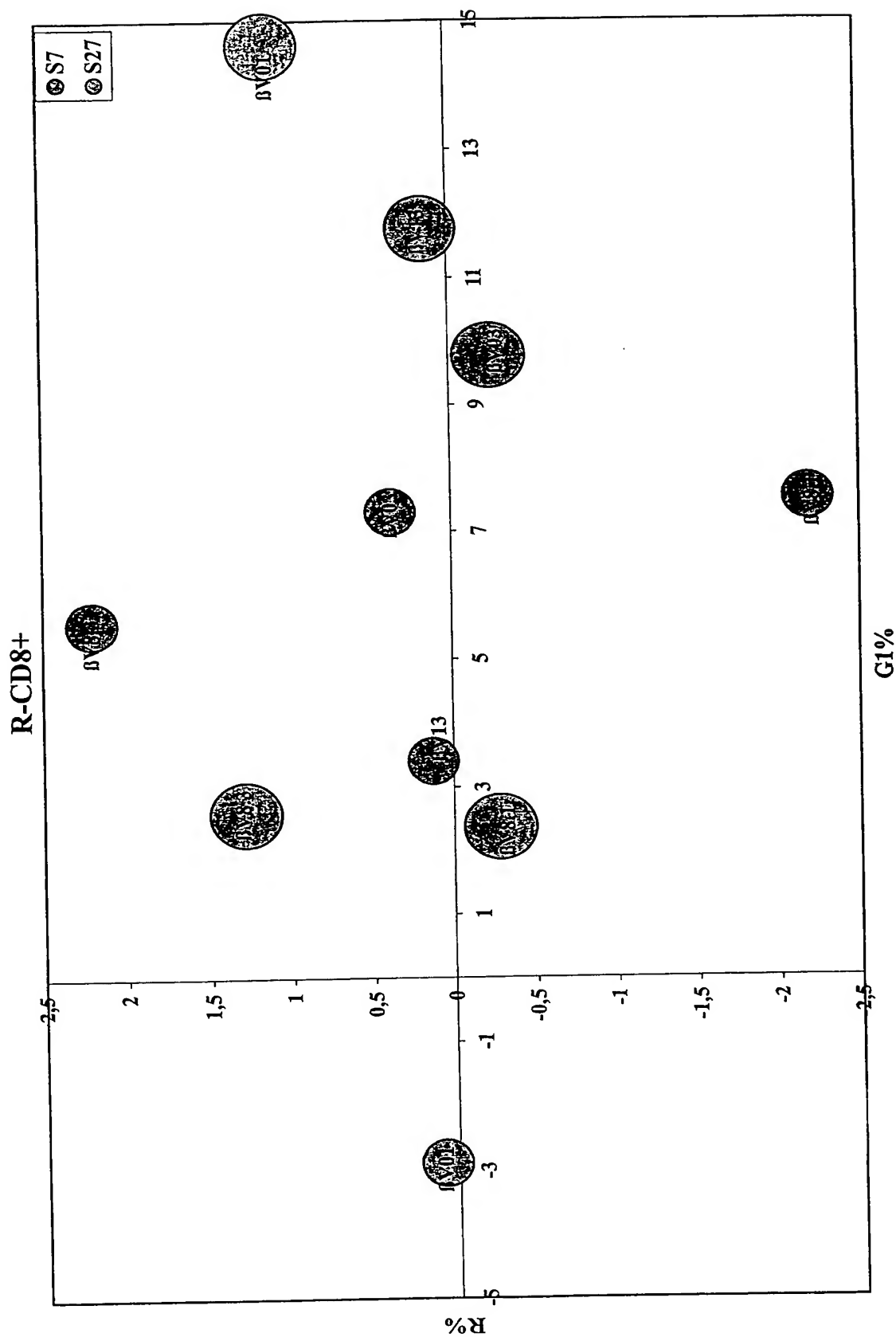


FIG. 52

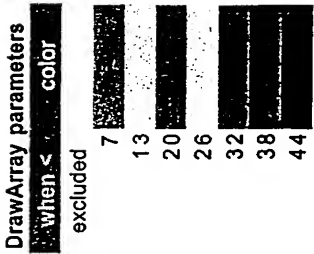
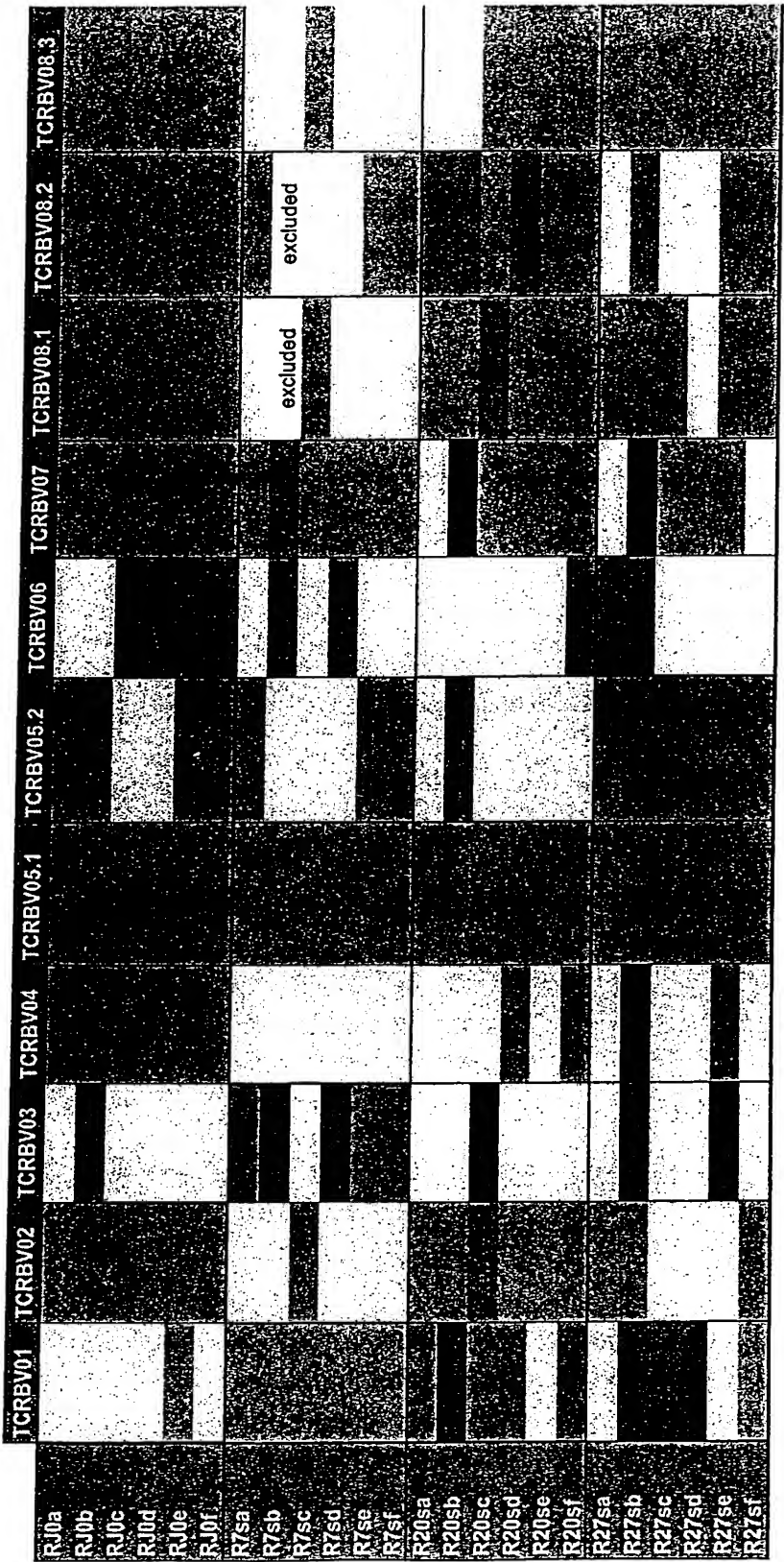


FIG. 53A

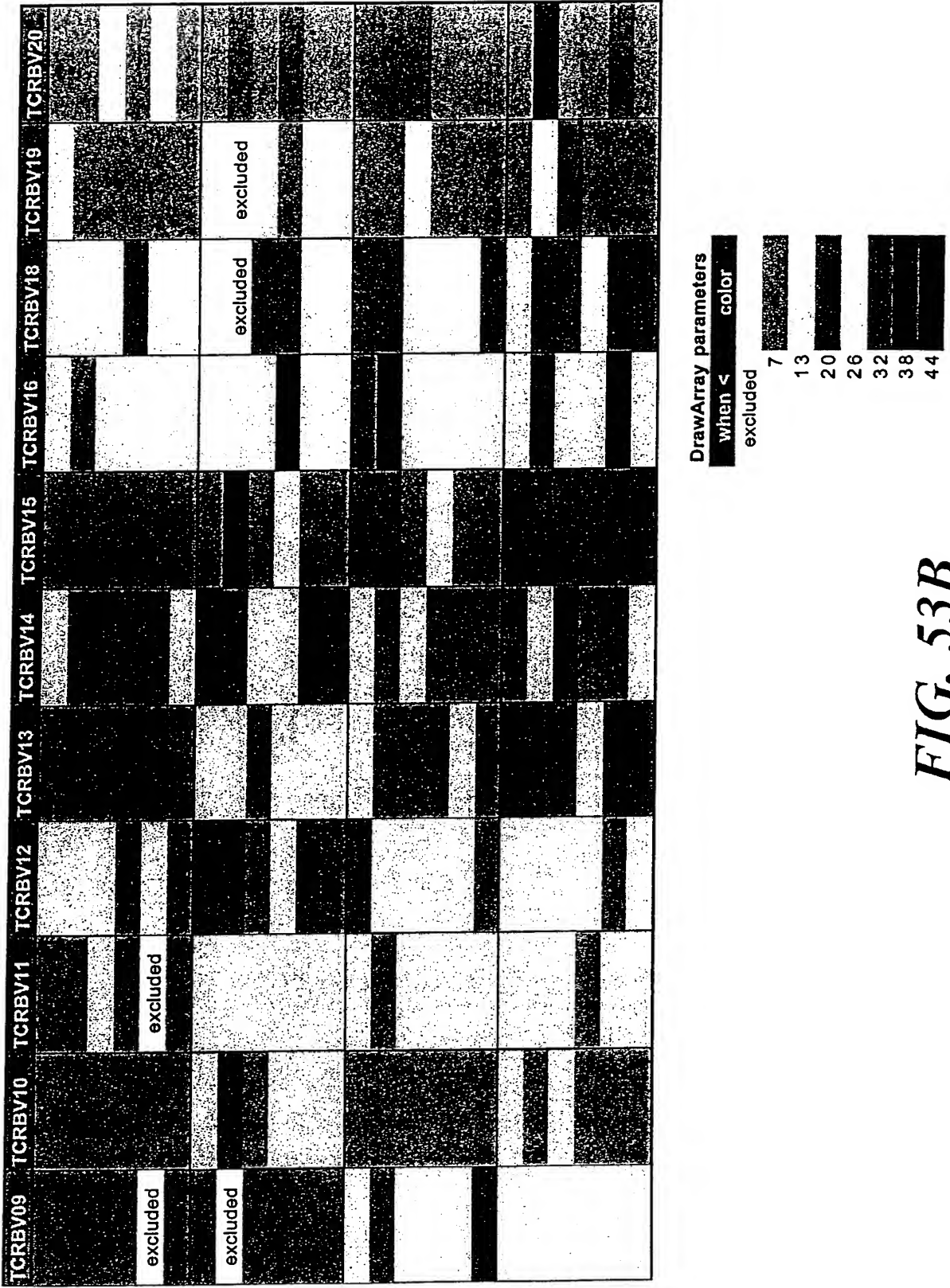


FIG. 53B





FIG. 55A



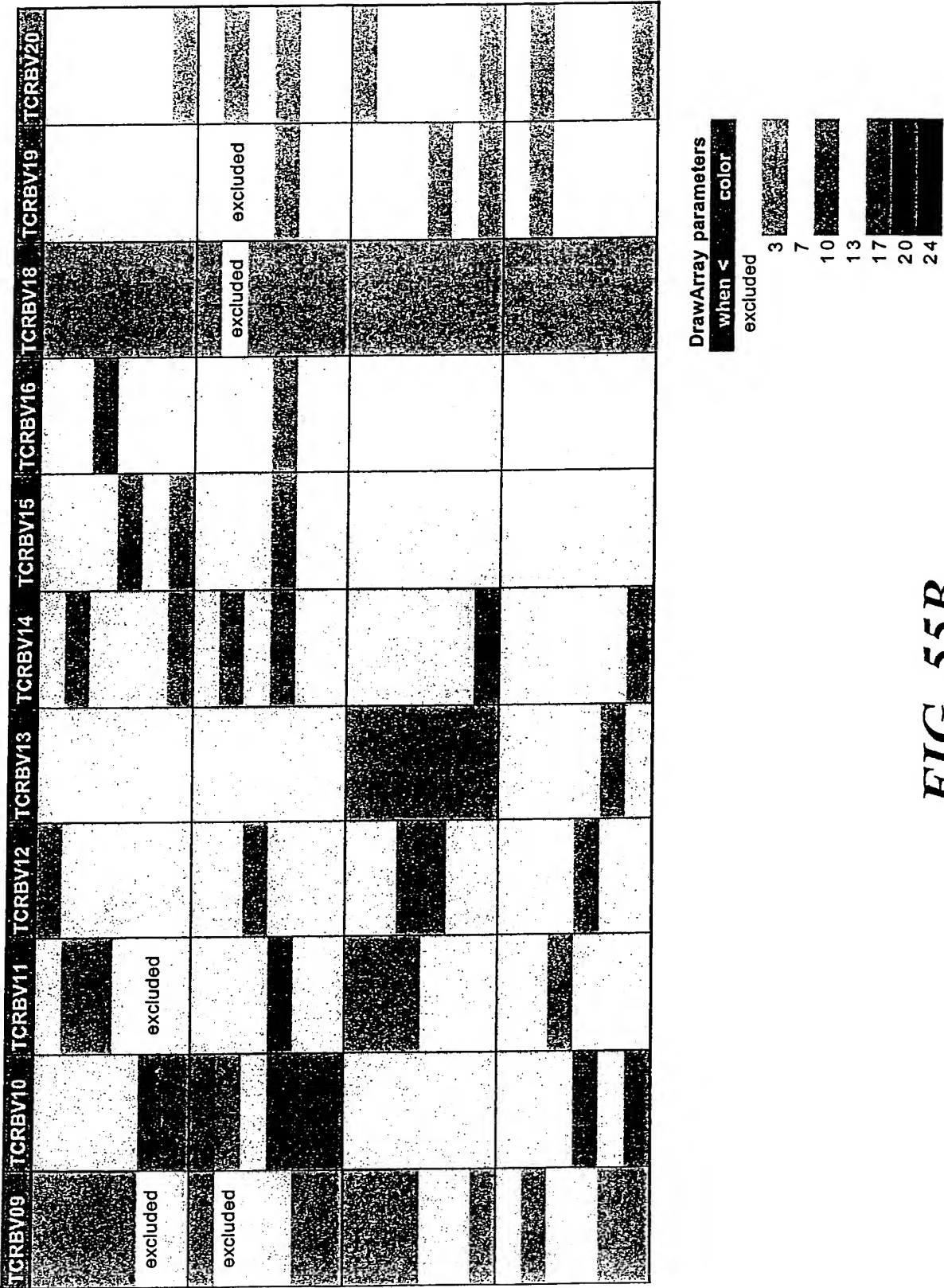


FIG. 55B

Parameters of file to use

	Workbook	Sheet	Group	Nature	Remarks
1	EF/043 DF	Data.2	1	TN01 spleen	
2	EF/022 DF	Data.1	1	TN02 spleen	
3	EF/018 DF	Data.1	1	TN03 spleen	
4	EF/038 DF	Data.3	1	TN04 spleen	
5	EF/039 DF	Data.1	2	J3-01 spleen	
6	EF/016 DF	Data.1	2	J3-02 spleen	
7	EF/034 DF	Data.1	2	J3-03 spleen	
8	EF/046 DF	Data.2	2	J3-04 spleen	
9	EF/023 DF	Data.2	2	J3-05 spleen	
10	EF/029 DF	Data.3	3	J4-01 spleen	
11	EF/026 DF	Data.1	3	J4-02 spleen	
12	EF/029 DF	Data.1	3	J4-03 spleen	
13	EF/036 DF	Data.2	3	J4-04 spleen	
14	EF/019 DF	Data.2	3	J4-06 spleen	
15	EF/038 DF	Data.1	3	J4-07 spleen	
16	EF/045 DF	Data.1	3	J4-08 spleen	
17	EF/042 DF	Data.3	3	J4-09 spleen	
18	EF/042 DF	Data.1	3	J4-10 spleen	
19	EF/016 DF	Data.3	4	J5-01 spleen	
20	EF/026 DF	Data.3	4	J5-02 spleen	
21	EF/031 DF	Data.1	4	J5-03 spleen	
22	EF/021 DF	Data.1	4	J5-04 spleen	
23	EF/021 DF	Data.3	4	J5-05 spleen	
24	EF/028 DF	Data.2	4	J5-06 spleen	
25	EF/043 DF	Data.3	4	J5-07 spleen	
26	EF/041 DF	Data.2	4	J5-08 spleen	
27	EF/012 DF	Data.3	4	J5-09 spleen	
28	EF/046 DF	Data.3	4	J5-10 spleen	
29	EF/024 DF	Data.1	5	J6-01 spleen	
30	EF/017 DF	Data.1	5	J6-02 spleen	
31	EF/025 DF	Data.1	5	J6-03 spleen	
32	EF/040 DF	Data.1	5	J6-04 spleen	
33	EF/014 DF	Data.2	5	J6-05 spleen	
34	EF/020 DF	Data.1	5	J6-06 spleen	
35	EF/033 DF	Data.1	5	J6-07 spleen	
36	EF/030 DF	Data.1	5	J6-08 spleen	
37	EF/013 DF	Data.2	5	J6-09 spleen	
38	EF/027 DF	Data.1	5	J6-10 spleen	
39	EF/031 DF	Data.3	6	TSP01 CM+spleen	
40	EF/032 DF	Data.1	6	TSP06 CM+spleen	
41	EF/034 DF	Data.3	6	TSP09 CM+spleen	
42	EF/010 DF	Data.2	6	TSP10 CM+++ spleen	
43	EF/044 DF	Data.1	6	TSP18 CM+++ spleen	
44	EF/037 DF	Data.1	6	TSP19 CM+++ spleen	
45	EF/011 DF	Data.2	6	TSP20 CM+++ spleen	

**FIG. 56A**

46	EF/022 DF	Data.2	7	TN02 PBL
47	EF/018 DF	Data.2	7	TN03 PBL
48	EF/039 DF	Data.2	8	J3-01 PBL
49	EF/016 DF	Data.2	8	J3-02 PBL
50	EF/034 DF	Data.2	8	J3-03 PBL
51	EF/039 DF	Data.3	8	J3-04 PBL
52	EF/023 DF	Data.3	8	J3-05 PBL
53	EF/031 DF	Data.2	9	J4-01 PBL
54	EF/026 DF	Data.2	9	J4-02 PBL
55	EF/029 DF	Data.2	9	J4-03 PBL
56	EF/036 DF	Data.3	9	J4-04 PBL
57	EF/012 DF	Data.1	9	J4-05 PBL
58	EF/019 DF	Data.3	9	J4-06 PBL
59	EF/038 DF	Data.2	9	J4-07 PBL
60	EF/045 DF	Data.2	9	J4-08 PBL
61	EF/043 DF	Data.1	9	J4-09 PBL
62	EF/042 DF	Data.2	9	J4-10 PBL
63	EF/019 DF	Data.1	10	J5-01 PBL
64	EF/028 DF	Data.1	10	J5-02 PBL
65	EF/035 DF	Data.1	10	J5-03 PBL
66	EF/021 DF	Data.2	10	J5-04 PBL
67	EF/023 DF	Data.1	10	J5-05 PBL
68	EF/028 DF	Data.3	10	J5-06 PBL
69	EF/041 DF	Data.3	10	J5-08 PBL
70	EF/012 DF	Data.2	10	J5-09 PBL
71	EF/041 DF	Data.1	10	J5-10 PBL
72	EF/024 DF	Data.2	11	J6-01 PBL
73	EF/017 DF	Data.2	11	J6-02 PBL
74	EF/025 DF	Data.2	11	J6-03 PBL
75	EF/040 DF	Data.2	11	J6-04 PBL
76	EF/014 DF	Data.1	11	J6-05 PBL
77	EF/020 DF	Data.2	11	J6-06 PBL
78	EF/033 DF	Data.2	11	J6-07 PBL
79	EF/030 DF	Data.2	11	J6-08 PBL
80	EF/013 DF	Data.1	11	J6-09 PBL
81	EF/027 DF	Data.2	11	J6-10 PBL
82	EF/032 DF	Data.2	12	TSP06 CM+PBL
83	EF/035 DF	Data.3	12	TSP09 CM+PBL
84	EF/010 DF	Data.1	12	TSP10 CM+++ PBL
85	EF/044 DF	Data.2	12	TSP18 CM+++ PBL
86	EF/037 DF	Data.2	12	TSP19 CM+++ PBL
87	EF/011 DF	Data.1	12	TSP20 CM+++ PBL

**FIG.56B**

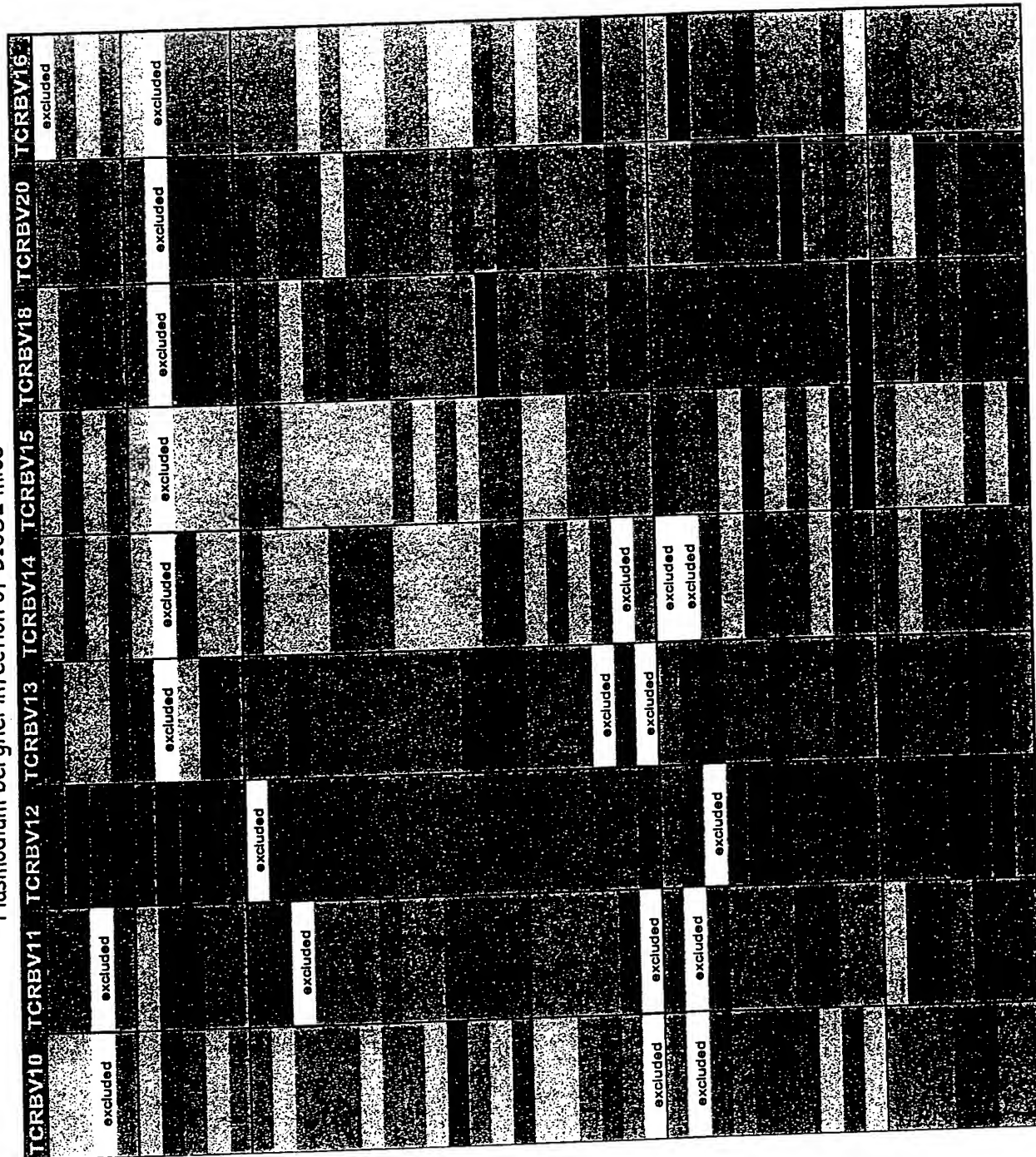
Plasmodium berghei infection of B10D2 mice

Gorochov Draw Array	TCRBV01	TCRBV02	TCRBV03	TCRBV04	TCRBV05.1	TCRBV05.2	TCRBV06	TCRBV07	TCRBV08.1	TCRBV08.2	TCRBV08.3	TCRBV09
TN01 spleen				excluded								excluded
TN02 spleen												excluded
TN03 spleen												excluded
TN04 spleen		excluded										
J3-01 spleen	excluded	excluded	excluded	excluded	excluded							
J3-02 spleen												
J3-03 spleen												
J3-04 spleen												
J3-05 spleen												
J4-01 spleen					excluded							excluded
J4-02 spleen												
J4-03 spleen												
J4-04 spleen												
J4-06 spleen												
J4-07 spleen												
J4-08 spleen					excluded							excluded
J4-09 spleen					excluded							
J4-10 spleen					excluded							excluded
J5-01 spleen												
J5-02 spleen												
J5-03 spleen												
J5-04 spleen												
J5-05 spleen												
J5-06 spleen												
J5-07 spleen												
J5-08 spleen					excluded							excluded
J5-09 spleen												
J5-10 spleen												excluded
J6-01 spleen												
J6-02 spleen												
J6-03 spleen												
J6-04 spleen												
J6-05 spleen												
J6-06 spleen												
J6-07 spleen												
J6-08 spleen												excluded
J6-09 spleen												
J6-10 spleen												
TSP01 CM+spleen					excluded							excluded
TSP06 CM+spleen												excluded
TSP09 CM+spleen												excluded
TSP10 CM+++ spleen					excluded							excluded
TSP18 CM+++ spleen												excluded
TSP19 CM+++ spleen					excluded							excluded
TSP20 CM+++ spleen												

FIG. 57A

[illegible]

FIG. 57C  
 PA EF P/R find  
 Plasmodium berghei infection of B10D2 mice





PAF P/R<sup>final</sup>  
 Plasmodium berghei infection of B10D2 mice

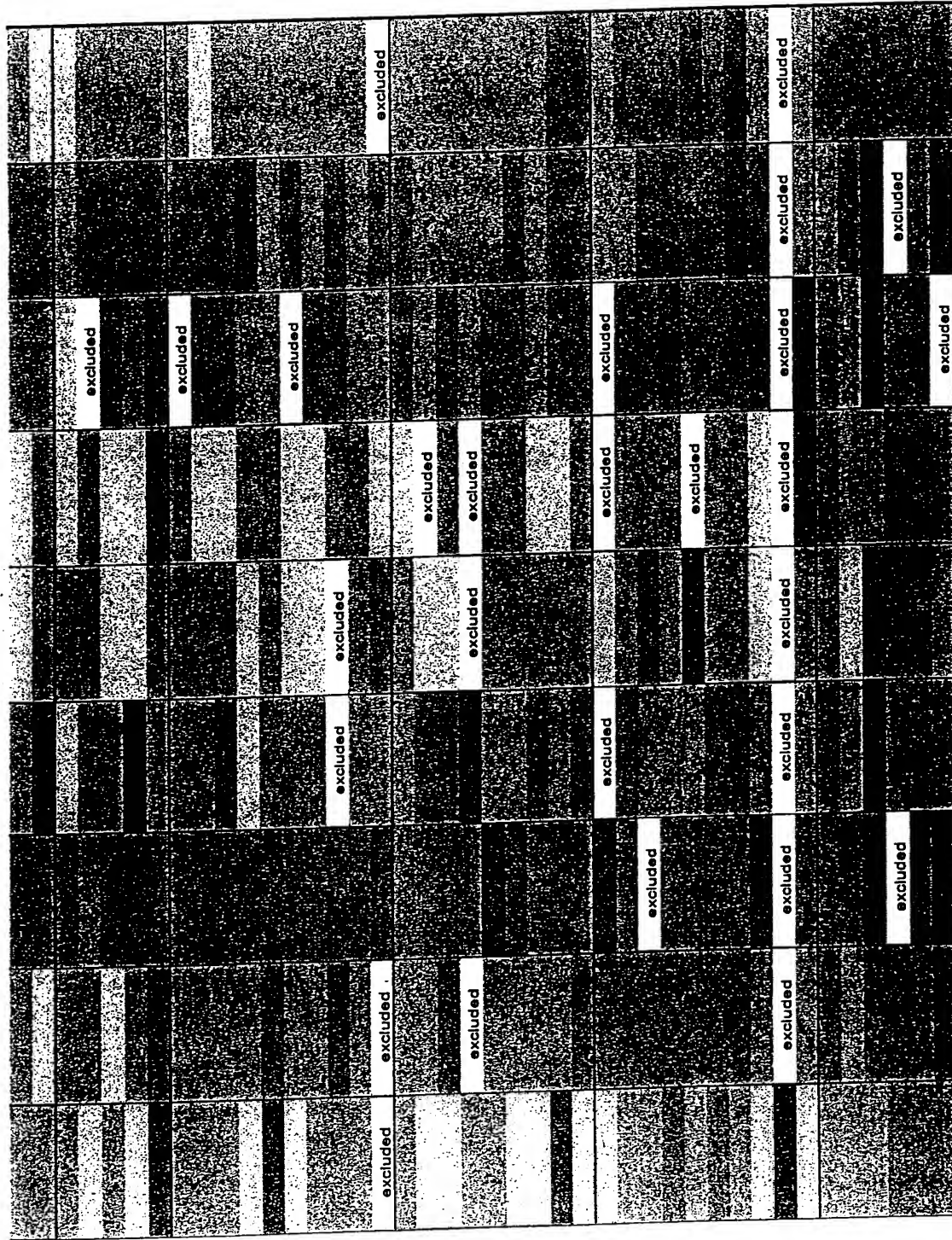
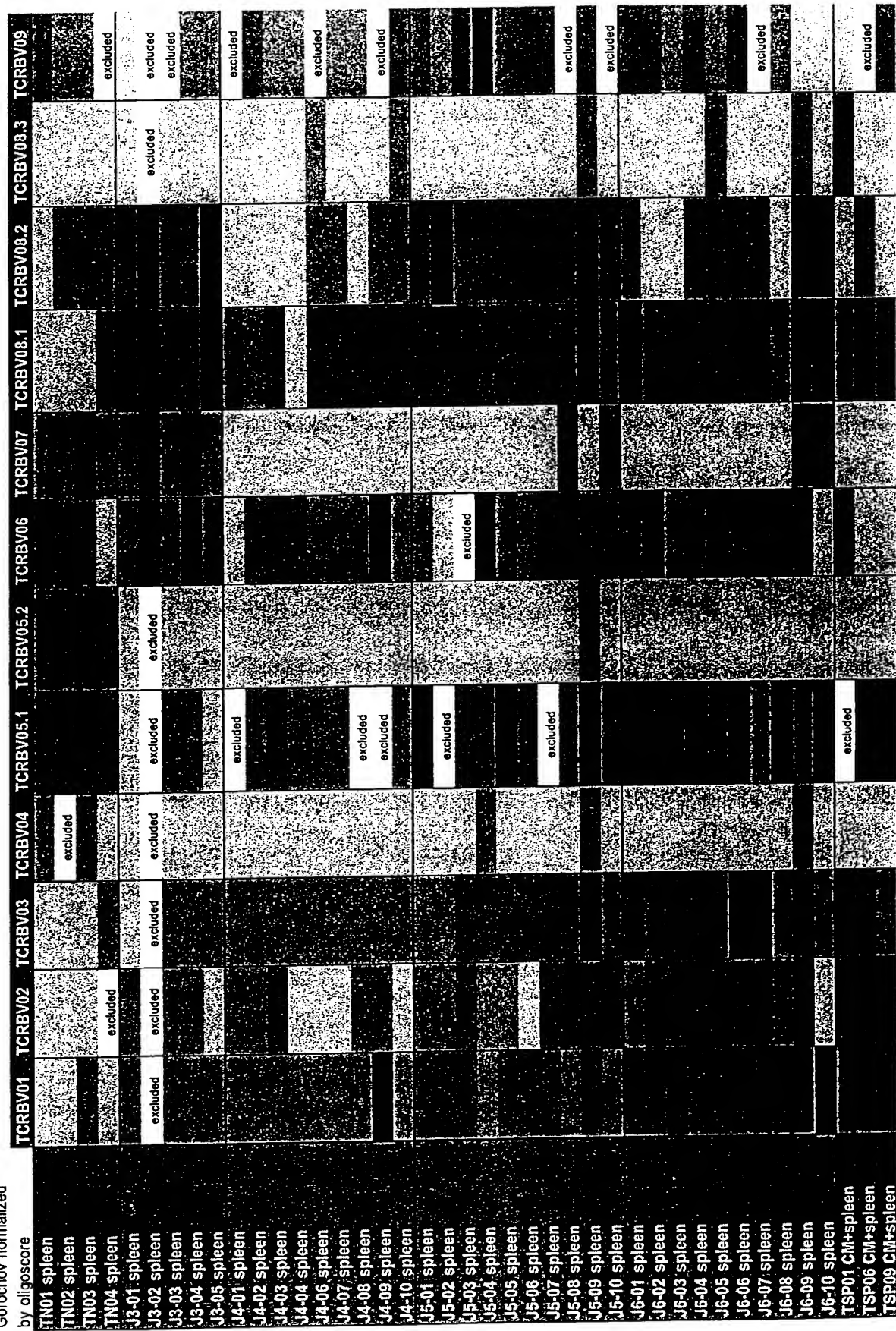


FIG. 57D

Plasmodium berghei infection of B10D2 mice





## Plasmodium berghei infection of B10D2 mice

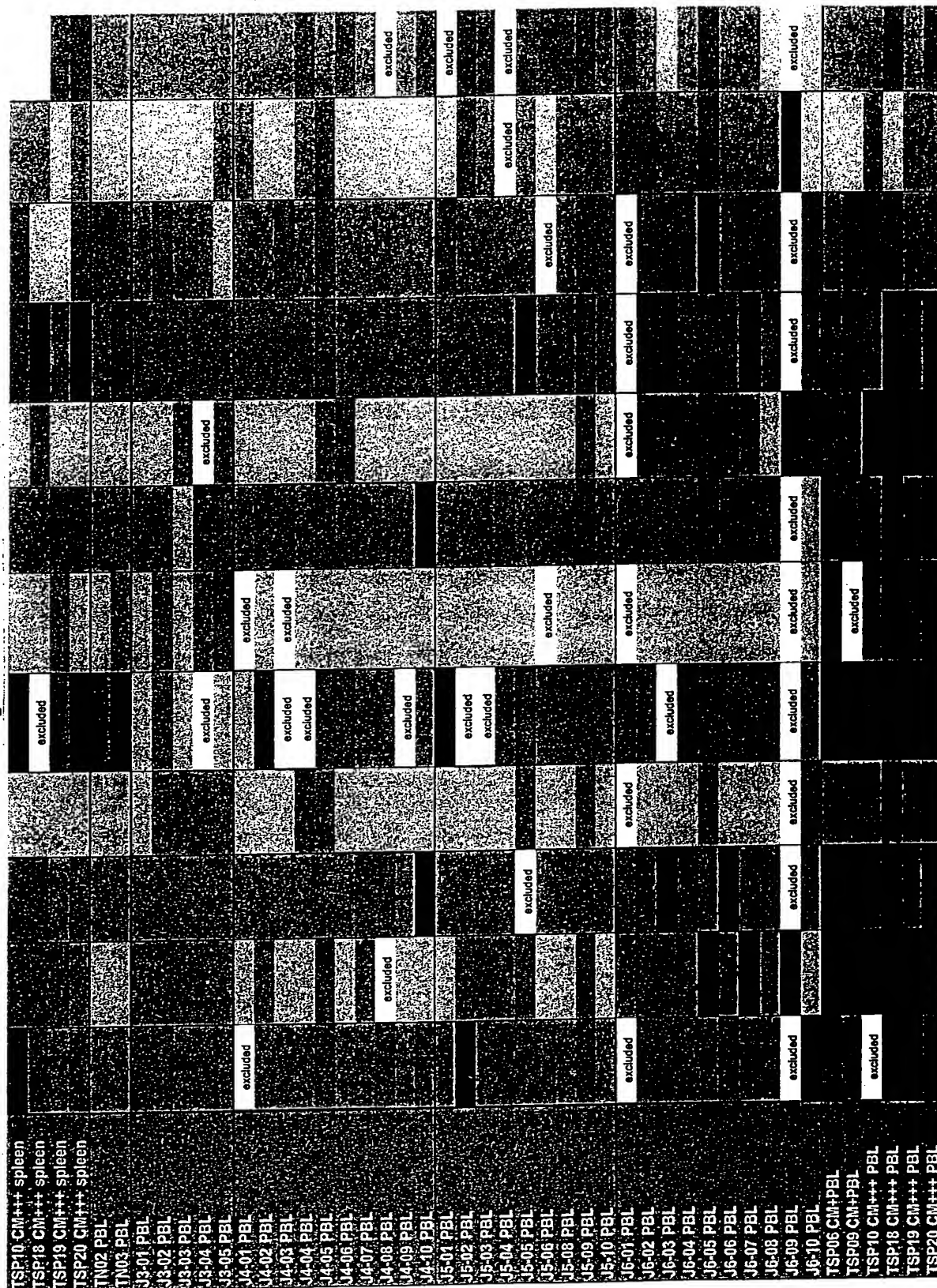


FIG. 58C

Plasmodium berghei infection of B10D2 mice

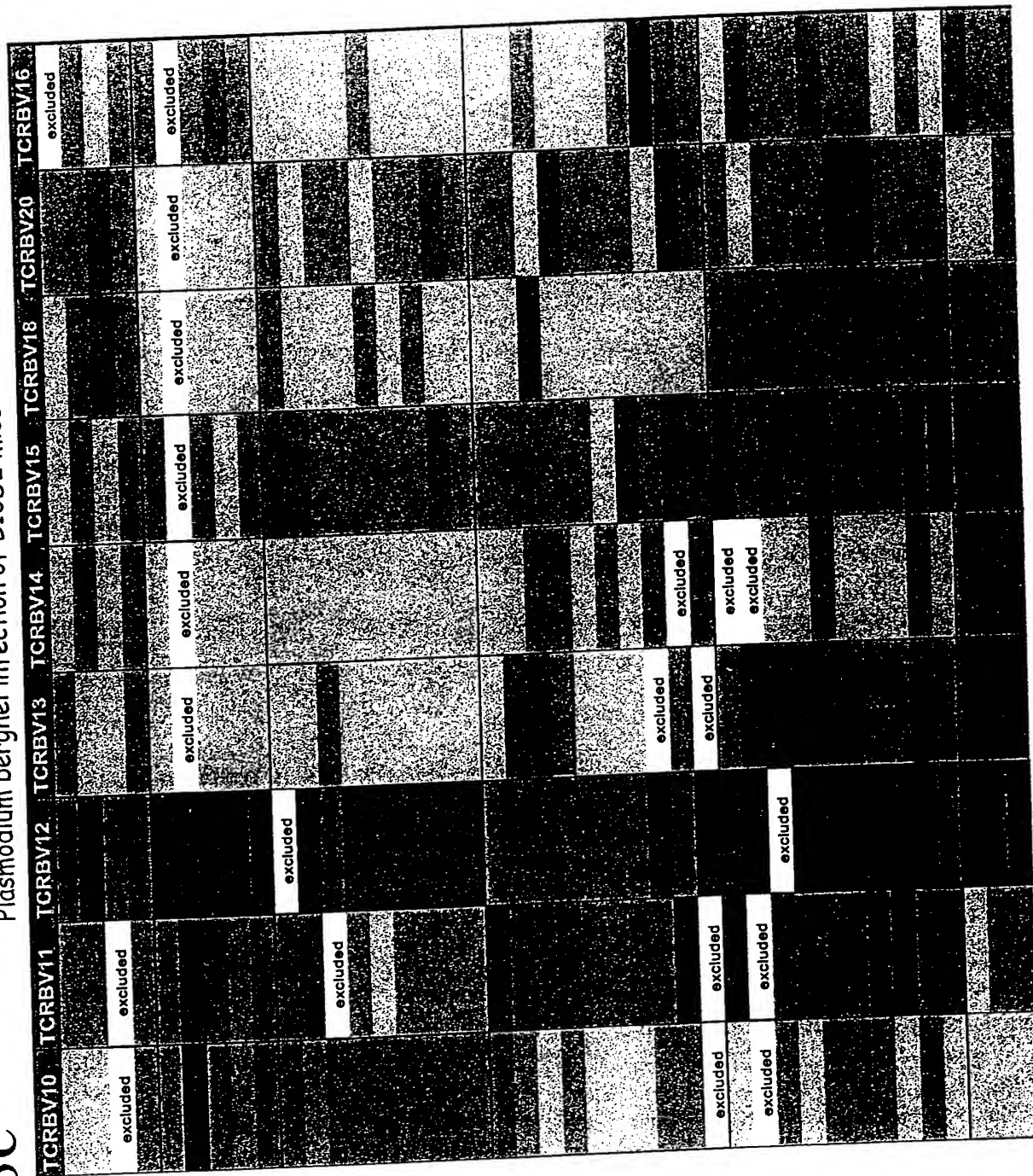
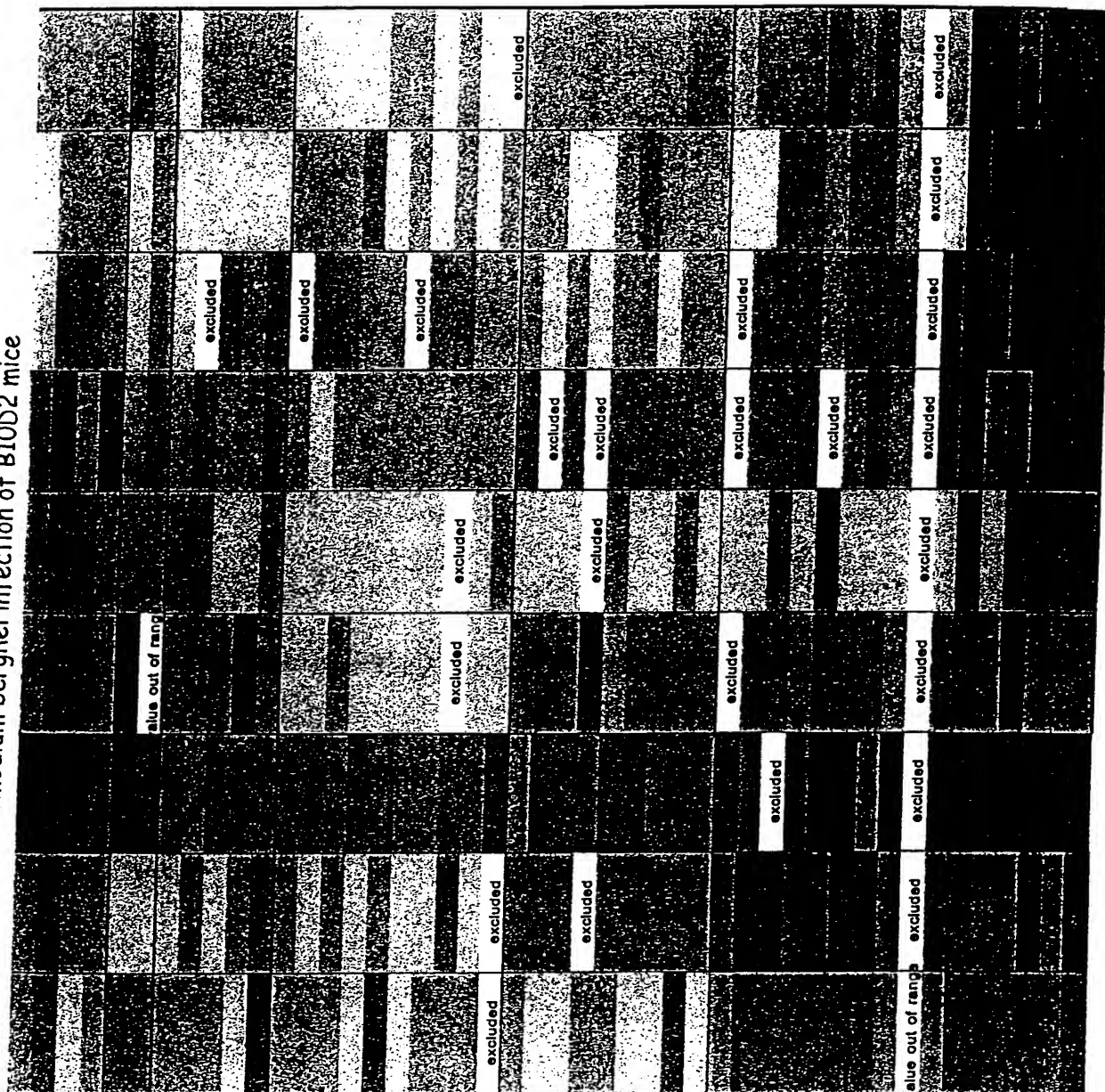


FIG. 58D



**FIG. 59A**

Tableau ANOVA pour TCRBV01

	ddl	Somme des carrés	Carré moyen	Valeur de F	Valeur de p	Lambda	Puissance
Groupe	11	487,099	44,282	,963	,4876	10,593	,481
Résidu	70	3218,716	45,982				

Tableau de moyennes pour TCRBV01

Effet : Groupe

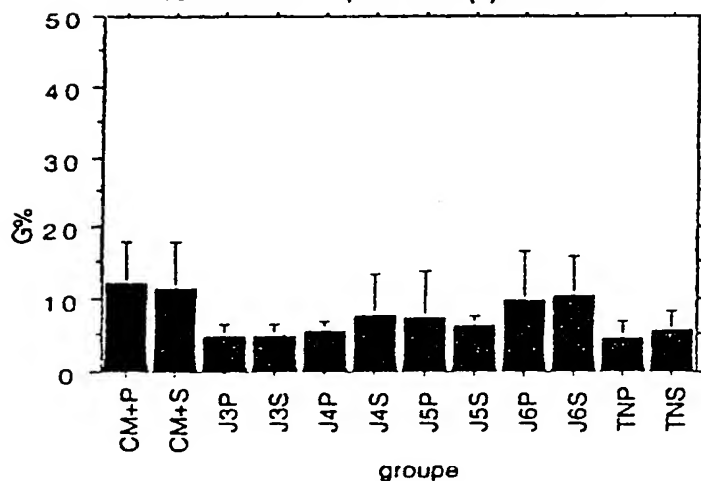
	Nombre	Moyenne	Dév. Std.	Err. Std.
CM+P	5	12,655	6,248	2,794
CM+S	7	11,770	8,471	3,202
J3P	5	5,210	1,421	,636
J3S	4	5,197	1,317	,659
J4P	9	5,749	2,066	,689
J4S	9	8,000	8,378	2,793
J5P	9	7,802	9,117	3,039
J5S	10	6,450	1,743	,551
J6P	8	10,107	9,711	3,433
J6S	10	10,615	8,486	2,683
TNP	2	4,928	1,360	,961
TNS	4	5,823	2,616	1,308

**FIG. 59B**

Graphique des Interactions pour TCRBV01

Effet : Groupe

Barres d'erreur:  $\pm 1,96$  Erreur(s) standard



**FIG. 59C**

Test PLSD de Fisher pour TCRBV01

Effet : Groupe

Niveau de significativité : 5 %

	Diff. moy.	Diff. crit.	Valeur p
CM+P, CM+S	,685	7,919	,8242
CM+P, J3P	7,445	8,553	,0870
CM+P, J3S	7,458	9,072	,1058
CM+P, J4P	6,906	7,543	,0721
CM+P, J4S	4,655	7,543	,2225
CM+P, J5P	4,852	7,543	,2037
CM+P, J5S	6,205	7,408	,0993
CM+P, J6P	2,548	7,710	,5120
CM+P, J6S	2,040	7,408	,5848
CM+P, TNP	7,727	11,315	,1776
CM+P, TNS	6,832	9,072	,1376
CM+S, J3P	6,560	7,919	,1030
CM+S, J3S	6,573	8,477	,1265
CM+S, J4P	6,021	6,816	,0825
CM+S, J4S	3,770	6,816	,2738
CM+S, J5P	3,967	6,816	,2498
CM+S, J5S	5,320	6,865	,1159
CM+S, J6P	1,662	6,999	,6372
CM+S, J6S	1,155	6,665	,7308
CM+S, TNP	6,842	10,844	,2124
CM+S, TNS	5,947	8,477	,1662
J3P, J3S	,013	9,072	,9977
J3P, J4P	-,539	7,543	,8870
J3P, J4S	-2,790	7,543	,4632
J3P, J5P	-2,593	7,543	,4953
J3P, J5S	-1,240	7,408	,7395
J3P, J6P	-4,897	7,710	,2094
J3P, J6S	-5,405	7,408	,1500
J3P, TNP	,282	11,315	,9605
J3P, TNS	-,613	9,072	,8932
J3S, J4P	-,552	8,127	,8926
J3S, J4S	-2,803	8,127	,4938
J3S, J5P	-2,605	8,127	,5247
J3S, J5S	-1,253	8,001	,7557
J3S, J6P	-4,910	8,282	,2410
J3S, J6S	-5,418	8,001	,1812
J3S, TNP	,269	11,712	,9636
J3S, TNS	-,626	9,563	,8985
J4P, J4S	-2,251	6,375	,4837
J4P, J5P	-2,053	6,375	,5228
J4P, J5S	-,701	6,214	,8227
J4P, J6P	-4,358	6,572	,1902
J4P, J6S	-4,866	6,214	,1228
J4P, TNP	,821	10,572	,8773
J4P, TNS	-,074	8,127	,9856
J4S, J5P	,198	6,375	,9509
J4S, J5S	1,550	6,214	,6204
J4S, J6P	-2,107	6,572	,5246
J4S, J6S	-2,615	6,214	,4041
J4S, TNP	3,072	10,572	,5641
J4S, TNS	2,177	8,127	,5948
J5P, J5S	1,352	6,214	,6656
J5P, J6P	-2,305	6,572	,4865
J5P, J6S	-2,813	6,214	,3697
J5P, TNP	2,874	10,572	,5884
J5P, TNS	1,980	8,127	,6286
J5S, J6P	-3,657	6,415	,2594
J5S, J6S	-4,165	6,048	,1740
J5S, TNP	1,522	10,476	,7729
J5S, TNS	,627	8,001	,8762
J6P, J6S	-,508	6,415	,8750
J6P, TNP	5,179	10,692	,3373
J6P, TNS	4,284	8,282	,3057
J6S, TNP	5,687	10,476	,2826
J6S, TNS	4,792	8,001	,2363
TNP, TNS	-,895	11,712	,8793

**FIG. 59D**

**FIG. 59E**

Tableau ANOVA pour TCRBV02

	ddl	Somme des carrés	Carré moyen	Valeur de F	Valeur de p	Lambda	Puissance
Groupe	11	2669,319	242,665	7,138	<.0001	78,523	1,000
Résidu	72	2447,564	33,994				

Tableau de moyennes pour TCRBV02

Effet : Groupe

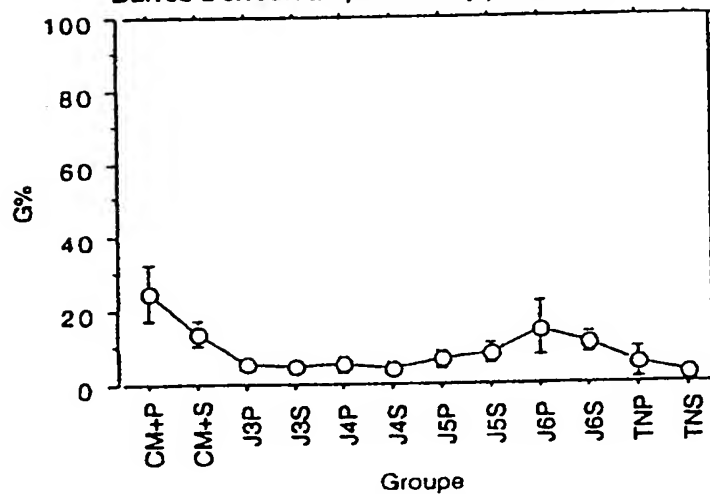
	Nombre	Moyenne	Dév. Std.	Err. Std.
CM+P	6	24,950	9,665	3,946
CM+S	7	13,764	4,939	1,867
J3P	5	5,477	,881	,394
J3S	4	4,920	1,670	,835
J4P	9	5,462	3,842	1,281
J4S	9	4,352	2,535	,845
J5P	9	6,816	3,816	1,272
J5S	10	8,401	4,782	1,512
J6P	10	14,921	11,227	3,550
J6S	10	11,333	4,562	1,443
TNP	2	5,715	2,955	2,089
TNS	3	2,963	,461	,266

**FIG. 59F**

Courbe des interactions pour TCRBV02

Effet : Groupe

Barres d'erreur:  $\pm 1,96$  Erreur(s) standard



**FIG. 59G**

Test PLSD de Fisher pour TCRBV02

Effet : Groupe

Niveau de significativité : 5 %

	Diff. moy.	Diff. crit.	Valeur p	
CM+P, CM+S	11,186	6,466	,0009	S
CM+P, J3P	19,473	7,038	<,0001	S
CM+P, J3S	20,031	7,502	<,0001	S
CM+P, J4P	19,489	6,126	<,0001	S
CM+P, J4S	20,598	6,126	<,0001	S
CM+P, J5P	18,135	6,126	<,0001	S
CM+P, J5S	16,550	6,002	<,0001	S
CM+P, J6P	10,029	6,002	,0014	S
CM+P, J6S	13,618	6,002	<,0001	S
CM+P, TNP	19,235	9,490	,0001	S
CM+P, TNS	21,987	8,219	<,0001	S
CM+S, J3P	8,287	6,806	,0177	S
CM+S, J3S	8,845	7,285	,0180	S
CM+S, J4P	8,303	5,857	,0061	S
CM+S, J4S	9,412	5,857	,0020	S
CM+S, J5P	6,949	5,857	,0207	S
CM+S, J5S	5,364	5,728	,0660	
CM+S, J6P	-1,157	5,728	,6884	
CM+S, J6S	2,432	5,728	,4002	
CM+S, TNP	8,049	9,319	,0894	
CM+S, TNS	10,801	8,020	,0090	S
J3P, J3S	,558	7,797	,8870	
J3P, J4P	,016	6,483	,9962	
J3P, J4S	1,125	6,483	,7304	
J3P, J5P	-1,339	6,483	,6818	
J3P, J5S	-2,923	6,366	,3630	
J3P, J6P	-9,444	6,366	,0042	S
J3P, J6S	-5,855	6,366	,0709	
J3P, TNP	-,238	9,724	,9612	
J3P, TNS	2,514	8,488	,5568	
J3S, J4P	-,542	6,984	,8775	
J3S, J4S	,567	6,984	,8718	
J3S, J5P	-1,896	6,984	,5900	
J3S, J5S	-3,481	6,876	,3163	
J3S, J6P	-10,002	6,876	,0049	S
J3S, J6S	-6,413	6,876	,0671	
J3S, TNP	-,796	10,066	,8752	
J3S, TNS	1,956	8,877	,6618	
J4P, J4S	1,109	5,479	,6877	
J4P, J5P	-1,354	5,479	,8237	
J4P, J5S	-2,939	5,340	,2762	
J4P, J6P	-9,460	5,340	,0007	S
J4P, J6S	-5,871	5,340	,0316	S
J4P, TNP	-,254	9,086	,9557	
J4P, TNS	2,498	7,749	,5225	
J4S, J5P	-2,463	5,479	,3731	
J4S, J5S	-4,048	5,340	,1351	
J4S, J6P	-10,589	5,340	,0002	S
J4S, J6S	-6,980	5,340	,0111	S
J4S, TNP	-1,363	9,086	,7858	
J4S, TNS	1,389	7,749	,7219	
J5P, J5S	-1,585	5,340	,5560	
J5P, J6P	-8,106	5,340	,0034	S
J5P, J6S	-4,517	5,340	,0961	
J5P, TNP	1,100	9,086	,8099	
J5P, TNS	3,852	7,749	,3250	
J5S, J6P	-6,521	5,198	,0147	S
J5S, J6S	-2,932	5,198	,2646	
J5S, TNP	2,685	9,003	,5540	
J5S, TNS	5,437	7,651	,1609	
J6P, J6S	3,589	5,198	,1730	
J6P, TNP	9,206	9,003	,0452	S
J6P, TNS	11,958	7,651	,0026	S
J6S, TNP	5,617	9,003	,2176	
J6S, TNS	8,369	7,651	,0325	S
TNP, TNS	2,752	10,610	,6067	

FIG. 59 H

**FIG. 60A**

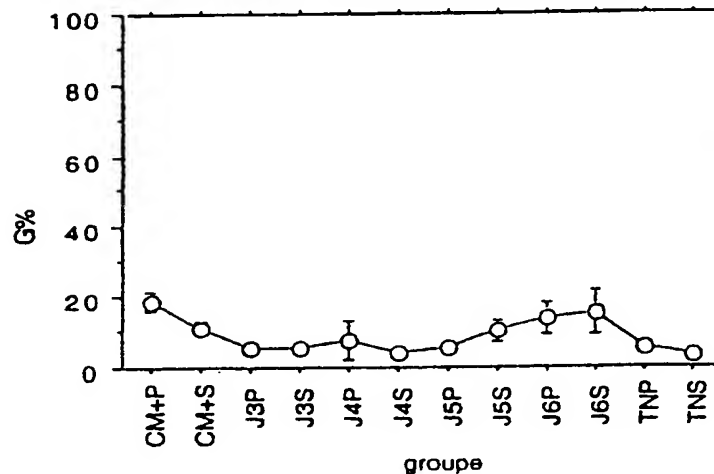
	ddl	Somme des carrés	Carré moyen	Valeur de F	Valeur de p	Lambda	Puissance
Groupe	11	1734,159	157,651	4,890	<,0001	53,795	1,000
Résidu	72	2321,022	32,236				

**Tableau de moyennes pour TCRBV03**  
**Effet : Groupe**

	Nombre	Moyenne	Dév. Std.	Err. Std.
CM+P	6	18,836	3,623	1,479
CM+S	7	10,820	2,765	1,045
J3P	5	5,331	1,231	,551
J3S	4	5,430	1,650	,825
J4P	10	7,461	8,978	2,839
J4S	9	4,415	,982	,327
J5P	8	5,793	1,245	,440
J5S	10	10,189	5,355	1,693
J6P	9	13,548	6,523	2,174
J6S	10	15,192	9,694	3,066
TNP	2	5,383	1,319	,933
TNS	4	3,344	1,322	,661

**FIG. 60B**

**Courbe des Interactions pour TCRBV03**  
**Effet : Groupe**  
**Barres d'erreur:  $\pm 1,96$  Erreur(s) standard**



**FIG. 60C**



**FIG. 60D**

	Diff. moy.	Diff. crit.	Valeur p	
CM+P, CM+S	6,016	6,297	,0133	S
CM+P, J3P	13,505	6,854	,0002	S
CM+P, J3S	13,408	7,306	,0005	S
CM+P, J4P	11,374	5,845	,0002	S
CM+P, J4S	14,421	5,965	<,0001	S
CM+P, J5P	13,043	6,113	<,0001	S
CM+P, J5S	6,647	5,845	,0043	S
CM+P, J6P	5,288	5,965	,0815	
CM+P, J6S	3,644	5,845	,2180	
CM+P, TNP	13,452	9,241	,0049	S
CM+P, TNS	15,491	7,306	<,0001	S
CM+S, J3P	5,489	6,627	,1031	
CM+S, J3S	5,391	7,094	,1342	
CM+S, J4P	3,359	5,578	,2339	
CM+S, J4S	6,405	5,704	,0283	S
CM+S, J5P	5,027	5,858	,0914	
CM+S, J5S	,632	5,578	,8221	
CM+S, J6P	-2,728	5,704	,3436	
CM+S, J6S	-4,372	5,578	,1226	
CM+S, TNP	5,437	9,075	,2363	
CM+S, TNS	7,476	7,094	,0392	S
J3P, J3S	-,099	7,593	,9794	
J3P, J4P	-2,130	6,199	,4955	
J3P, J4S	,916	6,313	,7732	
J3P, J5P	-,462	6,452	,8869	
J3P, J5S	-4,858	6,199	,1227	
J3P, J6P	-8,217	6,313	,0115	S
J3P, J6S	-9,861	6,199	,0022	S
J3P, TNP	-,052	9,470	,9912	
J3P, TNS	1,987	7,593	,6035	
J3S, J4P	-2,032	6,696	,5472	
J3S, J4S	1,015	6,801	,7670	
J3S, J5P	-,363	6,931	,9171	
J3S, J5S	-4,759	6,696	,1609	
J3S, J6P	-8,118	6,801	,0200	S
J3S, J6S	-9,762	6,696	,0049	S
J3S, TNP	,046	9,802	,9925	
J3S, TNS	2,086	8,003	,6050	
J4P, J4S	3,046	5,200	,2468	
J4P, J5P	1,668	5,369	,5376	
J4P, J5S	-2,727	5,062	,2863	
J4P, J6P	-6,087	5,200	,0224	S
J4P, J6S	-7,731	5,062	,0033	S
J4P, TNP	2,078	8,767	,6380	
J4P, TNS	4,117	6,696	,2243	
J4S, J5P	-1,378	5,500	,6190	
J4S, J5S	-5,774	5,200	,0301	S
J4S, J6P	-9,133	5,336	,0011	S
J4S, J6S	-10,777	5,200	<,0001	S
J4S, TNP	-,968	8,848	,8279	
J4S, TNS	1,071	6,801	,7545	
J5P, J5S	-4,396	5,369	,1070	
J5P, J6P	-7,755	5,500	,0064	S
J5P, J6S	-9,399	5,369	,0008	S
J5P, TNP	,410	8,948	,9275	
J5P, TNS	2,449	6,931	,4835	
J5S, J6P	-3,359	5,200	,2020	
J5S, J6S	-5,003	5,062	,0526	
J5S, TNP	4,805	8,767	,2782	
J5S, TNS	6,845	6,696	,0453	S
J6P, J6S	-1,644	5,200	,5306	
J6P, TNP	8,165	8,848	,0700	
J6P, TNS	10,204	6,801	,0038	S
J6S, TNP	9,808	8,767	,0288	S
J6S, TNS	11,848	6,696	,0007	S
TNP, TNS	2,039	9,802	,6796	

**FIG. 60E**

**Tableau ANOVA pour TCRBV04**

	ddl	Somme des carrés	Carré moyen	Valeur de F	Valeur de p	Lambda	Puissance
Groupe	11	480,614	43,692	,929	,5183	10,216	,465
Résidu	71	3340,055	47,043				

**Tableau de moyennes pour TCRBV04**

Effet : Groupe

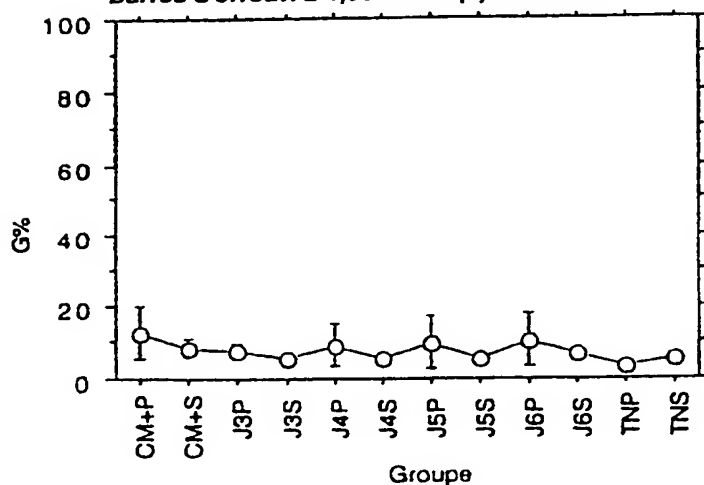
	Nombre	Moyenne	Dév. Std.	Err. Std.
CM+P	6	12,811	8,847	3,612
CM+S	7	8,619	3,258	1,231
J3P	5	7,932	2,114	,945
J3S	4	5,369	1,230	,615
J4P	10	9,371	10,068	3,184
J4S	9	5,627	2,092	,697
J5P	9	10,016	10,982	3,661
J5S	10	5,395	2,913	,921
J6P	8	10,734	10,645	3,764
J6S	10	6,812	2,906	,919
TNP	2	3,313	,404	,286
TNS	3	5,444	1,555	,898

**FIG. 60F**

**Courbe des interactions pour TCRBV04**

Effet : Groupe

Barres d'erreur:  $\pm 1,96$  Erreur(s) standard



**FIG. 60G**

*FIG. 60 H*

	Diff. moy.	Diff. crit.	Valeur p
CM+P, CM+S	4,193	7,609	,2756
CM+P, J3P	4,879	8,281	,2440
CM+P, J3S	7,442	8,828	,0972
CM+P, J4P	3,440	7,062	,3347
CM+P, J4S	7,184	7,208	,0507
CM+P, J6P	2,795	7,208	,4419
CM+P, J6S	7,416	7,062	,0398
CM+P, J6P	2,077	7,386	,5767
CM+P, J6S	5,999	7,062	,0947
CM+P, TNP	9,498	11,166	,0943
CM+P, TNS	7,368	9,670	,1332
CM+S, J3P	,687	8,008	,8648
CM+S, J3S	3,249	8,572	,4522
CM+S, J4P	-,753	6,740	,8244
CM+S, J4S	2,992	6,892	,3897
CM+S, J5P	-1,397	6,892	,6873
CM+S, J5S	3,223	6,740	,3435
CM+S, J6P	-2,115	7,078	,5532
CM+S, J6S	1,806	6,740	,5947
CM+S, TNP	5,305	10,965	,3379
CM+S, TNS	3,175	9,437	,5045
J3P, J3S	2,563	9,174	,5793
J3P, J4P	-1,439	7,491	,7028
J3P, J4S	2,305	7,628	,5487
J3P, J5P	-2,084	7,828	,5877
J3P, J5S	2,537	7,491	,5017
J3P, J6P	-2,802	7,797	,4780
J3P, J6S	1,120	7,491	,7665
J3P, TNP	4,619	11,442	,4236
J3P, TNS	2,489	9,988	,6209
J3S, J4P	-4,002	8,091	,3273
J3S, J4S	-,258	8,218	,9503
J3S, J5P	-4,647	8,218	,2634
J3S, J5S	-,026	8,091	,9949
J3S, J6P	-5,364	8,375	,2057
J3S, J6S	-1,443	8,091	,7232
J3S, TNP	2,056	11,844	,7303
J3S, TNS	-,074	10,445	,9887
J4P, J4S	3,744	6,284	,2387
J4P, J5P	-,645	6,284	,8385
J4P, J5S	3,976	6,116	,1991
J4P, J6P	-1,362	6,487	,6766
J4P, J6S	2,559	6,116	,4069
J4P, TNP	6,058	10,593	,2580
J4P, TNS	3,928	9,003	,3873
J4S, J5P	-4,389	6,447	,1790
J4S, J5S	,232	6,284	,9416
J4S, J6P	-5,107	6,645	,1299
J4S, J6S	-1,185	6,284	,7080
J4S, TNP	2,314	10,691	,6674
J4S, TNS	,183	9,117	,9681
J5P, J5S	4,621	6,284	,1470
J5P, J6P	-,718	6,645	,8301
J5P, J6S	3,204	6,284	,3128
J5P, TNP	6,703	10,691	,2154
J5P, TNS	4,572	9,117	,3207
J5S, J6P	-5,339	6,487	,1052
J5S, J6S	-1,417	6,116	,6455
J5S, TNP	2,082	10,593	,6963
J5S, TNS	-,048	9,003	,9915
J6P, J6S	3,922	6,487	,2321
J6P, TNP	7,421	10,812	,1755
J6P, TNS	5,290	9,259	,2584
J6S, TNP	3,499	10,593	,5123
J6S, TNS	1,369	9,003	,7627
TNP, TNS	-2,130	12,484	,7347

**FIG. 61A**

	ddl	Somme des carrés	Carré moyen	Valeur de F	Valeur de p	Lambda	Puissance
Groupe	11	1661,862	151,078	1,949	,0508	21,436	,842
Résidu	59	4574,151	77,528				

**Tableau de moyennes pour TCRBV05.1**

Effet : Groupe

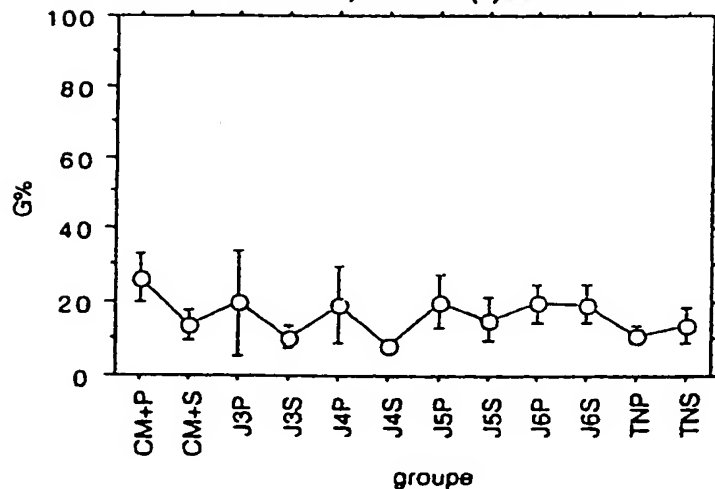
	Nombre	Moyenne	Dév. Std.	Err. Std.
CM+P	6	26,657	8,159	3,331
CM+S	5	13,877	4,933	2,206
J3P	4	19,960	14,417	7,208
J3S	4	10,518	3,153	1,577
J4P	7	19,651	14,109	5,333
J4S	6	8,088	1,826	,746
J5P	7	20,393	9,875	3,733
J5S	8	15,429	8,348	2,952
J6P	8	19,805	7,737	2,735
J6S	10	19,787	8,877	2,807
TNP	2	11,334	1,795	1,269
TNS	4	14,094	5,006	2,503

**FIG. 61B**

**Courbe des interactions pour TCRBV05.1**

Effet : Groupe

Barres d'erreur:  $\pm 1,96$  Erreur(s) standard



**FIG. 61C**

**FIG. 61D**

	Diff. moy.	Diff. crit.	Valeur p	
CM+P, CM+S	12,780	10,669	,0197	S
CM+P, J3P	6,697	11,373	,2434	
CM+P, J3S	16,139	11,373	,0062	S
CM+P, J4P	7,006	9,802	,1579	
CM+P, J4S	18,569	10,172	,0006	S
CM+P, J5P	6,264	9,802	,2060	
CM+P, J5S	11,228	9,515	,0215	S
CM+P, J6P	6,852	9,515	,1549	
CM+P, J6S	6,870	9,098	,1362	
CM+P, TNP	15,323	14,386	,0372	S
CM+P, TNS	12,563	11,373	,0310	S
CM+S, J3P	-6,083	11,819	,3073	
CM+S, J3S	3,369	11,819	,5717	
CM+S, J4P	-5,774	10,316	,2673	
CM+S, J4S	5,789	10,669	,2820	
CM+S, J5P	-6,516	10,316	,2112	
CM+S, J5S	-1,552	10,044	,7582	
CM+S, J6P	-5,928	10,044	,2423	
CM+S, J6S	-5,910	9,650	,2252	
CM+S, TNP	2,543	14,741	,7312	
CM+S, TNS	-,217	11,819	,9709	
J3P, J3S	9,442	12,458	,1347	
J3P, J4P	,310	11,043	,9554	
J3P, J4S	11,872	11,373	,0410	S
J3P, J5P	-,433	11,043	,9378	
J3P, J5S	4,531	10,789	,4041	
J3P, J6P	,155	10,789	,9771	
J3P, J6S	,173	10,423	,9736	
J3P, TNP	8,626	15,258	,2625	
J3P, TNS	5,867	12,458	,3499	
J3S, J4P	-9,133	11,043	,1033	
J3S, J4S	2,430	11,373	,6705	
J3S, J5P	-9,875	11,043	,0787	
J3S, J5S	-4,911	10,789	,3661	
J3S, J6P	-9,287	10,789	,0902	
J3S, J6S	-9,269	10,423	,0803	
J3S, TNP	-,816	15,258	,9151	
J3S, TNS	-3,576	12,458	,5679	
J4P, J4S	11,563	9,802	,0216	S
J4P, J5P	-,742	9,418	,8752	
J4P, J5S	4,221	9,119	,3580	
J4P, J6P	-,155	9,119	,9731	
J4P, J6S	-,137	8,683	,9750	
J4P, TNP	8,317	14,126	,2435	
J4P, TNS	5,557	11,043	,3181	
J4S, J5P	-12,305	9,802	,0148	S
J4S, J5S	-7,341	9,515	,1280	
J4S, J6P	-11,717	9,515	,0167	S
J4S, J6S	-11,700	9,098	,0126	S
J4S, TNP	-3,248	14,386	,6533	
J4S, TNS	-6,006	11,373	,2950	
J5P, J5S	4,984	9,119	,2805	
J5P, J6P	,588	9,119	,8978	
J5P, J6S	,606	8,683	,8894	
J5P, TNP	9,059	14,126	,2044	
J5P, TNS	8,299	11,043	,2583	
J5S, J6P	-4,376	8,809	,3243	
J5S, J6S	-4,358	8,357	,3010	
J5S, TNP	4,095	13,929	,5586	
J5S, TNS	1,336	10,789	,8052	
J6P, J6S	,018	8,357	,9966	
J6P, TNP	8,471	13,929	,2285	
J6P, TNS	5,712	10,789	,2938	
J6S, TNP	8,453	13,647	,2201	
J6S, TNS	5,694	10,423	,2788	
TNP, TNS	-2,760	15,258	,7187	

**FIG. 61E**

	ddl	Somme des carrés	Carré moyen	Valeur de F	Valeur de p	Lambda	Puissance
Groupe	11	1350,634	122,785	6,040	<,0001	66,443	1,000
Résidu	68	1382,288	20,328				

**Tableau de moyennes pour TCRBV05.2**

Effet : Groupe

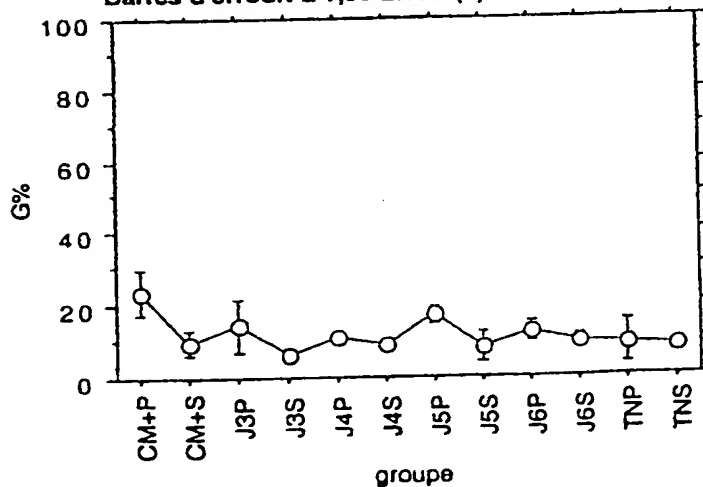
	Nombre	Moyenne	Dév. Std.	Err. Std.
CM+P	5	23,300	7,151	3,198
CM+S	7	9,868	4,811	1,818
J3P	5	14,277	8,343	3,731
J3S	4	6,390	1,693	,847
J4P	8	10,889	1,436	,508
J4S	9	8,759	2,111	,704
J5P	8	17,091	3,750	1,326
J5S	10	8,415	6,726	2,127
J6P	8	12,346	3,849	1,361
J6S	10	9,966	2,723	,861
TNP	2	9,361	4,477	3,165
TNS	4	8,400	1,384	,692

**FIG. 61F**

**Courbe des interactions pour TCRBV05.2**

Effet : Groupe

Barres d'erreur:  $\pm 1,96$  Erreur(s) standard



**FIG. 61G**

*FIG. 61 H*

	Diff. moy.	Diff. crit.	Valeur p	
CM+P, CM+S	13,432	5,268	<,0001	S
CM+P, J3P	9,024	5,690	,0023	S
CM+P, J3S	16,910	6,035	<,0001	S
CM+P, J4P	12,411	5,129	<,0001	S
CM+P, J4S	14,541	5,018	<,0001	S
CM+P, J5P	6,209	5,129	,0184	S
CM+P, J5S	14,886	4,928	<,0001	S
CM+P, J6P	10,955	5,129	<,0001	S
CM+P, J6S	13,335	4,928	<,0001	S
CM+P, TNP	13,939	7,527	,0004	S
CM+P, TNS	14,901	6,035	<,0001	S
CM+S, J3P	-4,409	5,268	,0995	
CM+S, J3S	3,478	5,639	,2227	
CM+S, J4P	-1,021	4,656	,6632	
CM+S, J4S	1,109	4,534	,6271	
CM+S, J5P	-7,223	4,656	,0029	S
CM+S, J5S	1,454	4,434	,5152	
CM+S, J6P	-2,477	4,656	,2921	
CM+S, J6S	-,098	4,434	,9651	
CM+S, TNP	,507	7,214	,8888	
CM+S, TNS	1,469	5,639	,6050	
J3P, J3S	7,887	6,035	,0112	S
J3P, J4P	3,388	5,129	,1919	
J3P, J4S	5,518	5,018	,0317	S
J3P, J5P	-2,815	5,129	,2774	
J3P, J5S	5,862	4,928	,0204	S
J3P, J6P	1,931	5,129	,4550	
J3P, J6S	4,311	4,928	,0854	
J3P, TNP	4,916	7,527	,1969	
J3P, TNS	5,877	6,035	,0561	
J3S, J4P	-4,499	5,509	,1078	
J3S, J4S	-2,369	5,406	,3850	
J3S, J5P	-10,701	5,509	,0002	S
J3S, J5S	-2,025	5,323	,4505	
J3S, J6P	-5,956	5,509	,0345	S
J3S, J6S	-3,576	5,323	,1845	
J3S, TNP	-2,971	7,791	,4494	
J3S, TNS	-2,009	6,382	,5306	
J4P, J4S	2,130	4,372	,3344	
J4P, J5P	-6,202	4,498	,0076	S
J4P, J5S	2,474	4,268	,2513	
J4P, J6P	-1,457	4,498	,5203	
J4P, J6S	,923	4,268	,6674	
J4P, TNP	1,528	7,113	,6695	
J4P, TNS	2,489	5,509	,3704	
J4S, J5P	-8,332	4,372	,0003	S
J4S, J5S	,345	4,134	,8684	
J4S, J6P	-3,586	4,372	,1062	
J4S, J6S	-1,207	4,134	,5622	
J4S, TNP	-,602	7,033	,8649	
J4S, TNS	,360	5,406	,8948	
J5P, J5S	8,677	4,268	,0001	S
J5P, J6P	4,746	4,498	,0390	S
J5P, J6S	7,126	4,268	,0014	S
J5P, TNP	7,730	7,113	,0336	S
J5P, TNS	8,692	5,509	,0024	S
J5S, J6P	-3,931	4,268	,0704	
J5S, J6S	-1,551	4,024	,4444	
J5S, TNP	-,946	6,969	,7872	
J5S, TNS	,015	5,323	,9955	
J6P, J6S	2,380	4,268	,2697	
J6P, TNP	2,985	7,113	,4053	
J6P, TNS	3,946	5,509	,1575	
J6S, TNP	,605	6,969	,8630	
J6S, TNS	1,566	5,323	,5590	
TNP, TNS	,961	7,791	,8062	

**FIG. 62A**

	ddl	Somme des carrés	Carré moyen	Valeur de F	Valeur de p	Lambda	Puissance
Groupe	11	1291,943	117,449	1,870	,0575	20,575	,837
Résidu	73	4583,735	62,791				

**Tableau de moyennes pour TCRBV06**

Effet : Groupe

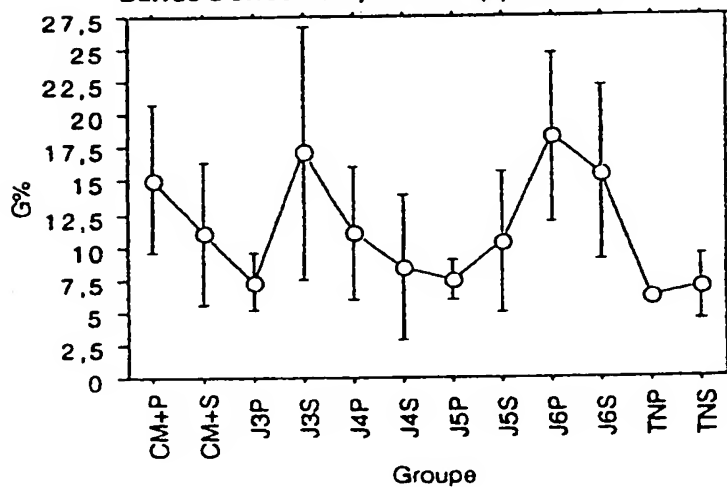
	Nombre	Moyenne	Dév. Std.	Err. Std.
CM+P	6	15,125	7,023	2,867
CM+S	7	10,994	7,245	2,739
J3P	5	7,344	2,440	1,091
J3S	5	17,100	10,958	4,901
J4P	10	11,019	8,113	2,566
J4S	9	8,340	8,466	2,822
J5P	9	7,467	2,436	,812
J5S	9	10,375	8,168	2,723
J6P	9	18,262	9,736	3,245
J6S	10	15,564	10,507	3,322
TNP	2	6,084	,261	,185
TNS	4	6,845	2,526	1,263

**FIG. 62B**

**Courbe des interactions pour TCRBV06**

Effet : Groupe

Barres d'erreur:  $\pm 1,96$  Erreur(s) standard



**FIG. 62C**



**FIG. 62D**

	Diff. moy.	Diff. crit.	Valeur p	
CM+P, CM+S	4,131	8,786	,3518	
CM+P, J3P	7,781	9,563	,1082	
CM+P, J3S	-1,975	9,563	,6818	
CM+P, J4P	4,106	8,155	,3190	
CM+P, J4S	6,784	8,323	,1086	
CM+P, J5P	7,657	8,323	,0708	
CM+P, J5S	4,749	8,323	,2592	
CM+P, J6P	-3,137	8,323	,4550	
CM+P, J6S	-,440	8,155	,9148	
CM+P, TNP	9,041	12,895	,1665	
CM+P, TNS	8,280	10,194	,1098	
CM+S, J3P	3,650	9,247	,4341	
CM+S, J3S	-6,106	9,247	,1923	
CM+S, J4P	-,025	7,783	,9949	
CM+S, J4S	2,653	7,959	,5085	
CM+S, J5P	3,526	7,959	,3801	
CM+S, J5S	,618	7,959	,8774	
CM+S, J6P	-7,268	7,959	,0728	
CM+S, J6S	-4,571	7,783	,2456	
CM+S, TNP	4,910	12,662	,4421	
CM+S, TNS	4,148	9,899	,4063	
J3P, J3S	-9,756	9,988	,0554	
J3P, J4P	-3,675	8,650	,3999	
J3P, J4S	-,996	8,809	,8223	
J3P, J6P	-,124	8,809	,9778	
J3P, J5S	-3,032	8,809	,4949	
J3P, J6P	-10,918	8,809	,0158	S
J3P, J6S	-8,220	8,650	,0622	
J3P, TNP	1,260	13,213	,8498	
J3P, TNS	,499	10,594	,9255	
J3S, J4P	6,081	8,650	,1654	
J3S, J4S	8,759	8,809	,0513	
J3S, J5P	9,632	8,809	,0325	S
J3S, J5S	6,724	8,809	,1325	
J3S, J6P	-1,162	8,809	,7933	
J3S, J6S	1,536	8,650	,7245	
J3S, TNP	11,016	13,213	,1009	
J3S, TNS	10,255	10,594	,0576	
J4P, J4S	2,678	7,256	,4643	
J4P, J5P	3,551	7,256	,3326	
J4P, J5S	,643	7,256	,8603	
J4P, J6P	-7,243	7,256	,0504	
J4P, J6S	-4,545	7,063	,2037	
J4P, TNP	4,935	12,233	,4240	
J4P, TNS	4,174	9,343	,3762	
J4S, J5P	,873	7,445	,8159	
J4S, J5S	-2,035	7,445	,5875	
J4S, J6P	-9,921	7,445	,0097	S
J4S, J6S	-7,224	7,256	,0510	
J4S, TNP	2,257	12,346	,7167	
J4S, TNS	1,495	9,490	,7544	
J5P, J5S	-2,908	7,445	,4388	
J5P, J6P	-10,794	7,445	,0051	S
J5P, J6S	-8,097	7,256	,0293	S
J5P, TNP	1,384	12,346	,8239	
J5P, TNS	,622	9,490	,8964	
J5S, J6P	-7,886	7,445	,0382	S
J5S, J6S	-5,189	7,256	,1584	
J5S, TNP	4,292	12,346	,4906	
J5S, TNS	3,530	9,490	,4608	
J6P, J6S	2,698	7,256	,4611	
J6P, TNP	12,178	12,346	,0531	
J6P, TNS	11,417	9,490	,0191	S
J6S, TNP	9,480	12,233	,1268	
J6S, TNS	8,719	9,343	,0669	
TNP, TNS	-,761	13,677	,9120	

**FIG. 62E**

	ddl	Somme des carrés	Carré moyen	Valeur de F	Valeur de p	Lambda	Puissance
Groupe	11	1662,073	151,098	2,273	,0190	24,999	,916
Résidu	73	4853,374	66,485				

**Tableau de moyennes pour TCRBV07**  
**Effet : Groupe**

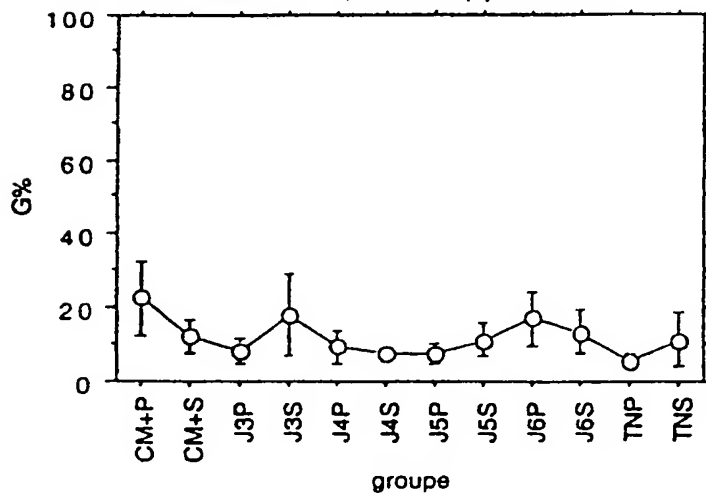
	Nombre	Moyenne	Dév. Std.	Err. Std.
CM+P	6	22,571	12,580	5,136
CM+S	7	12,394	5,957	2,251
J3P	4	8,192	3,515	1,758
J3S	5	18,202	12,455	5,570
J4P	10	9,671	7,238	2,289
J4S	9	7,380	1,678	,559
J5P	9	7,781	3,973	1,324
J5S	10	11,235	7,477	2,365
J6P	9	17,036	11,325	3,775
J6S	10	13,534	8,840	3,112
TNP	2	5,798	1,335	,944
TNS	4	11,232	7,499	3,749

**FIG. 62F**

**Courbe des interactions pour TCRBV07**

**Effet : Groupe**

**Barres d'erreur:  $\pm 1,96$  Erreur(s) standard**



**FIG. 62G**

*FIG. 62 H*

	Diff. moy.	Diff. crit.	Valeur p	
CM+P, CM+S	10,177	9,041	,0279	S
CM+P, J3P	14,380	10,490	,0079	S
CM+P, J3S	4,369	9,840	,3791	
CM+P, J4P	12,900	8,392	,0031	S
CM+P, J4S	15,191	8,565	,0007	S
CM+P, J5P	14,790	8,565	,0010	S
CM+P, J5S	11,336	8,392	,0088	S
CM+P, J6P	5,535	8,565	,2018	
CM+P, J6S	9,037	8,392	,0352	S
CM+P, TNP	16,773	13,268	,0139	S
CM+P, TNS	11,339	10,490	,0345	S
CM+S, J3P	4,202	10,186	,4136	
CM+S, J3S	-5,808	9,515	,2277	
CM+S, J4P	2,723	8,008	,5002	
CM+S, J4S	5,014	8,189	,2283	
CM+S, J5P	4,612	8,189	,2853	
CM+S, J5S	1,159	8,008	,7739	
CM+S, J6P	-4,642	8,189	,2623	
CM+S, J6S	-1,140	8,008	,7775	
CM+S, TNP	6,596	13,029	,3163	
CM+S, TNS	1,162	10,186	,8208	
J3P, J3S	-10,011	10,901	,0713	
J3P, J4P	-1,480	9,614	,7599	
J3P, J4S	,811	9,765	,8688	
J3P, J5P	,410	9,765	,9335	
J3P, J5S	-3,044	9,614	,5301	
J3P, J6P	-8,845	9,765	,0752	
J3P, J6S	-5,342	9,614	,2717	
J3P, TNP	2,394	14,073	,7356	
J3P, TNS	-3,041	11,491	,5995	
J3S, J4P	8,531	8,901	,0600	
J3S, J4S	10,822	9,064	,0200	S
J3S, J5P	10,421	9,064	,0248	S
J3S, J5S	6,967	8,901	,1231	
J3S, J6P	1,166	9,064	,7984	
J3S, J6S	4,668	8,901	,2993	
J3S, TNP	12,404	13,596	,0731	
J3S, TNS	6,970	10,901	,2066	
J4P, J4S	2,291	7,467	,5428	
J4P, J5P	1,890	7,467	,6155	
J4P, J5S	-1,564	7,267	,6693	
J4P, J6P	-7,365	7,467	,0531	
J4P, J6S	-3,863	7,267	,2930	
J4P, TNP	3,873	12,588	,5416	
J4P, TNS	-1,561	9,614	,7472	
J4S, J5P	-,401	7,661	,9171	
J4S, J5S	-3,855	7,467	,3069	
J4S, J6P	-9,656	7,661	,0142	S
J4S, J6S	-6,154	7,467	,1048	
J4S, TNP	1,582	12,704	,8046	
J4S, TNS	-3,852	9,765	,4343	
J5P, J5S	-3,454	7,467	,3598	
J5P, J6P	-9,255	7,661	,0186	S
J5P, J6S	-5,752	7,467	,1290	
J5P, TNP	1,984	12,704	,7565	
J5P, TNS	-3,451	9,765	,4835	
J5S, J6P	-5,801	7,467	,1258	
J5S, J6S	-2,299	7,267	,5304	
J5S, TNP	5,437	12,588	,3921	
J5S, TNS	,003	9,614	,9995	
J6P, J6S	3,502	7,467	,3530	
J6P, TNP	11,238	12,704	,0821	
J6P, TNS	5,804	9,765	,2401	
J6S, TNP	7,736	12,588	,2246	
J6S, TNS	2,302	9,614	,6347	
TNP, TNS	-5,435	14,073	,4440	

**FIG. 63A**

	ddl	Somme des carrés	Carré moyen	Valeur de F	Valeur de p	Lambda	Puissance
Groupe	11	460,326	41,848	2,870	,0035	31,573	,973
Résidu	73	1064,330	14,580				

**Tableau de moyennes pour TCRBV08.1**

**Effet : Groupe**

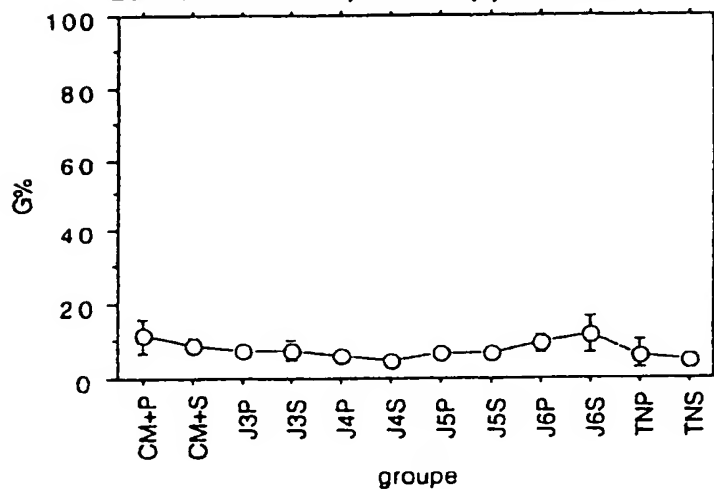
	Nombre	Moyenne	Dév. Std.	Err. Std.
CM+P	6	11,623	5,609	2,290
CM+S	7	8,948	2,515	,950
J3P	5	7,514	1,811	,810
J3S	5	7,790	3,225	1,442
J4P	10	6,330	1,351	,427
J4S	9	4,583	1,739	,580
J5P	9	6,969	1,629	,543
J5S	10	6,622	2,787	,881
J6P	8	9,385	3,428	1,212
J6S	10	11,825	8,039	2,542
TNP	2	6,355	2,775	1,963
TNS	4	4,560	1,918	,959

**FIG. 63B**

**Courbe des interactions pour TCRBV08.1**

**Effet : Groupe**

**Barres d'erreur:  $\pm 1,96$  Erreur(s) standard**



**FIG. 63C**

**FIG. 63D**

	Diff. moy.	Diff. crit.	Valeur p	
CM+P, CM+S	2,675	4,234	,2119	
CM+P, J3P	4,109	4,608	,0797	
CM+P, J3S	3,833	4,608	,1017	
CM+P, J4P	5,293	3,930	,0090	S
CM+P, J4S	7,040	4,011	,0008	S
CM+P, J5P	4,654	4,011	,0236	S
CM+P, J5S	5,001	3,930	,0133	S
CM+P, J6P	2,238	4,110	,2813	
CM+P, J6S	-,202	3,930	,9185	
CM+P, TNP	5,267	6,214	,0954	
CM+P, TNS	7,063	4,912	,0064	S
CM+S, J3P	1,434	4,456	,5234	
CM+S, J3S	1,157	4,456	,6063	
CM+S, J4P	2,618	3,750	,1684	
CM+S, J4S	4,365	3,835	,0283	S
CM+S, J5P	1,979	3,835	,3072	
CM+S, J5S	2,325	3,750	,2205	
CM+S, J6P	-,437	3,939	,8256	
CM+S, J6S	-2,878	3,750	,1305	
CM+S, TNP	2,592	6,102	,3999	
CM+S, TNS	4,388	4,770	,0708	
J3P, J3S	-,276	4,813	,9092	
J3P, J4P	1,184	4,168	,5730	
J3P, J4S	2,931	4,245	,1729	
J3P, J5P	,545	4,245	,7988	
J3P, J5S	,892	4,168	,6711	
J3P, J6P	-1,871	4,338	,3930	
J3P, J6S	-4,311	4,168	,0428	S
J3P, TNP	1,158	6,367	,7179	
J3P, TNS	2,954	5,105	,2525	
J3S, J4P	1,481	4,168	,4872	
J3S, J4S	3,208	4,245	,1363	
J3S, J5P	,821	4,245	,7008	
J3S, J5S	1,168	4,168	,5781	
J3S, J6P	-1,594	4,338	,4663	
J3S, J6S	-4,035	4,168	,0576	
J3S, TNP	1,435	6,367	,6547	
J3S, TNS	3,231	5,105	,2112	
J4P, J4S	1,747	3,497	,3226	
J4P, J5P	-,839	3,497	,7167	
J4P, J5S	-,292	3,403	,8645	
J4P, J6P	-3,055	3,610	,0960	
J4P, J6S	-5,496	3,403	,0019	S
J4P, TNP	-,026	5,895	,9931	
J4P, TNS	1,770	4,502	,4358	
J4S, J5P	-2,386	3,587	,1890	
J4S, J5S	-2,040	3,497	,2488	
J4S, J6P	-4,802	3,698	,0116	S
J4S, J6S	-7,243	3,497	<,0001	S
J4S, TNP	-1,773	5,949	,5544	
J4S, TNS	,023	4,573	,9921	
J5P, J5S	,347	3,497	,8439	
J5P, J6P	-2,416	3,698	,1970	
J5P, J6S	-4,856	3,497	,0071	S
J5P, TNP	,613	5,949	,8377	
J5P, TNS	2,409	4,573	,2972	
J5S, J6P	-2,762	3,610	,1315	
J5S, J6S	-5,203	3,403	,0032	S
J5S, TNP	,267	5,895	,9284	
J5S, TNS	2,063	4,502	,3642	
J6P, J6S	-2,441	3,610	,1820	
J6P, TNP	3,029	6,016	,3190	
J6P, TNS	4,825	4,660	,0426	S
J6S, TNP	5,470	5,895	,0685	
J6S, TNS	7,266	4,502	,0019	S
TNP, TNS	1,766	6,590	,5887	

**FIG. 63E**

	ddl	Somme des carrés	Carré moyen	Valeur de F	Valeur de p	Lambda	Puissance
Groupe	11	261,752	23,796	,845	,5966	9,294	,423
Résidu	72	2027,752	28,163				

**Tableau de moyennes pour TCRBV08.2**

**Effet : Groupe**

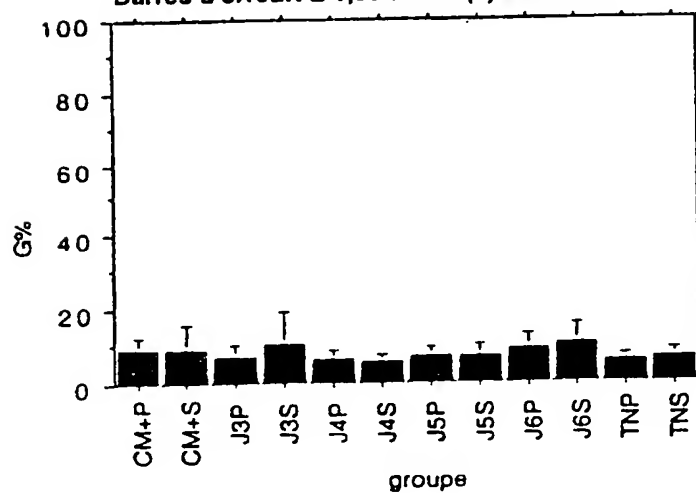
	Nombre	Moyenne	Dév. Std.	Err. Std.
CM+P	6	9,424	4,193	1,712
CM+S	7	9,822	8,175	3,090
J3P	5	7,368	3,371	1,508
J3S	5	11,440	8,893	3,977
J4P	10	7,015	3,452	1,092
J4S	9	5,927	2,128	,709
J5P	8	7,913	2,982	1,054
J5S	10	7,678	4,199	1,328
J6P	8	9,707	5,289	1,870
J6S	10	11,101	8,149	2,577
TNP	2	6,014	1,405	,993
TNS	4	6,761	2,393	1,197

**FIG. 63F**

**Graphique des interactions pour TCRBV08.2**

**Effet : Groupe**

**Barres d'erreur:  $\pm 1,96$  Erreur(s) standard**



**FIG. 63G**

**FIG. 63 H**

	Diff. moy.	Diff. crit.	Valeur p
CM+P, CM+S	-.398	5,886	,8933
CM+P, J3P	2,056	6,406	,5243
CM+P, J3S	-2,016	6,406	,5325
CM+P, J4P	2,409	5,463	,3822
CM+P, J4S	3,497	5,576	,2152
CM+P, J5P	1,511	5,713	,5996
CM+P, J5S	1,746	5,463	,5261
CM+P, J6P	-.283	5,713	,9217
CM+P, J6S	-1,677	5,463	,5425
CM+P, TNP	3,410	8,638	,4339
CM+P, TNS	2,663	6,829	,4395
CM+S, J3P	2,454	6,194	,4323
CM+S, J3S	-1,618	6,194	,6042
CM+S, J4P	2,807	5,213	,2867
CM+S, J4S	3,895	5,331	,1497
CM+S, J5P	1,909	5,475	,4893
CM+S, J5S	2,143	5,213	,4152
CM+S, J6P	,115	5,475	,9667
CM+S, J6S	-1,280	5,213	,6262
CM+S, TNP	3,807	8,482	,3739
CM+S, TNS	3,060	6,631	,3606
J3P, J3S	-4,072	6,691	,2290
J3P, J4P	,353	5,794	,9036
J3P, J4S	1,441	5,901	,6279
J3P, J5P	-.545	6,031	,8576
J3P, J5S	-,310	5,794	,9153
J3P, J6P	-2,339	6,031	,4420
J3P, J6S	-3,733	5,794	,2031
J3P, TNP	1,353	8,851	,7614
J3P, TNS	,606	7,097	,8652
J3S, J4P	4,425	5,794	,1323
J3S, J4S	5,513	5,901	,0666
J3S, J5P	3,527	6,031	,2475
J3S, J5S	3,761	5,794	,1998
J3S, J6P	1,733	6,031	,5686
J3S, J6S	,338	5,794	,9076
J3S, TNP	5,425	8,851	,2257
J3S, TNS	4,678	7,097	,1930
J4P, J4S	1,088	4,861	,6569
J4P, J5P	-,898	5,018	,7223
J4P, J5S	-,664	4,731	,7806
J4P, J6P	-2,692	5,018	,2884
J4P, J6S	-4,087	4,731	,0894
J4P, TNP	1,000	8,195	,8085
J4P, TNS	,253	6,259	,9360
J4S, J5P	-1,986	5,141	,4438
J4S, J5S	-1,751	4,861	,4750
J4S, J6P	-3,780	5,141	,1471
J4S, J6S	-5,174	4,861	,0373
J4S, TNP	-,087	8,270	,9832
J4S, TNS	-,835	6,357	,7943
J5P, J5S	,234	5,018	,9260
J5P, J6P	-1,794	5,290	,5011
J5P, J6S	-3,189	5,018	,2094
J5P, TNP	1,898	8,364	,6523
J5P, TNS	1,151	6,478	,7242
J5S, J6P	-2,028	5,018	,4230
J5S, J6S	-3,423	4,731	,1536
J5S, TNP	1,664	8,195	,6869
J5S, TNS	,917	6,259	,7711
J6P, J6S	-1,394	5,018	,5813
J6P, TNP	3,692	8,364	,3818
J6P, TNS	2,945	6,478	,3678
J6S, TNP	5,087	8,195	,2199
J6S, TNS	4,340	6,259	,1712
TNP, TNS	-,747	9,162	,8713

S

**FIG. 64A**

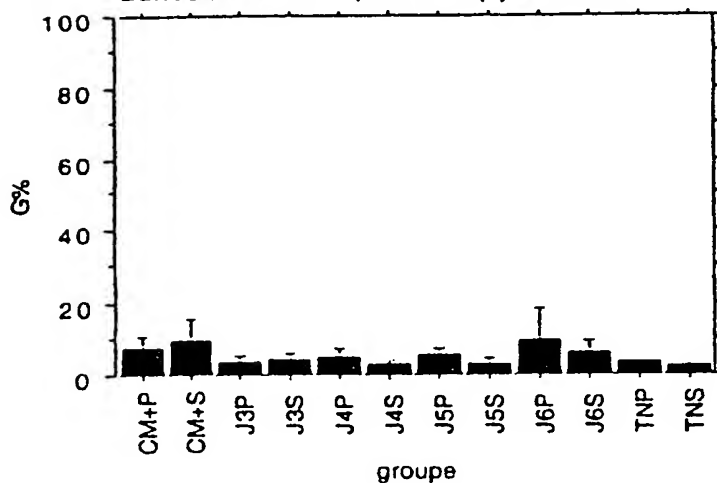
	ddl	Somme des carrés	Carré moyen	Valeur de F	Valeur de p	Lambda	Puissance
Groupe	11	564,311	51,301	1,738	,0817	19,121	,801
Résidu	73	2154,478	29,513				

**Tableau de moyennes pour TCRBV08.3**  
**Effet : Groupe**

	Nombre	Moyenne	Dév. Std.	Err. Std.
CM+P	6	8,649	3,431	1,401
CM+S	7	10,400	7,544	2,851
J3P	5	4,319	1,074	,480
J3S	4	5,041	1,346	,673
J4P	10	5,428	3,063	,969
J4S	9	3,465	1,420	,473
J5P	8	6,072	2,450	,866
J5S	10	3,777	1,722	,545
J6P	10	10,578	12,746	4,031
J6S	10	7,271	3,527	1,115
TNP	2	4,127	,033	,023
TNS	4	3,071	,500	,250

**FIG. 64B**

**Graphique des Interactions pour TCRBV08.3**  
**Effet : Groupe**  
**Barres d'erreur:  $\pm 1,96$  Erreur(s) standard**



**FIG. 64C**



**FIG. 64D**

	Diff. moy.	Diff. crit.	Valeur p	
CM+P, CM+S	-1,761	6,024	,5641	
CM+P, J3P	4,330	6,556	,1922	
CM+P, J3S	3,608	6,989	,3070	
CM+P, J4P	3,221	5,591	,2547	
CM+P, J4S	5,183	5,706	,0744	
CM+P, J5P	2,577	6,847	,3827	
CM+P, J5S	4,872	5,591	,0867	
CM+P, J6P	-1,930	5,591	,4938	
CM+P, J6S	1,377	5,591	,6249	
CM+P, TNP	4,522	8,840	,3114	
CM+P, TNS	5,578	6,989	,1160	
CM+S, J3P	6,081	6,340	,0598	
CM+S, J3S	5,359	6,786	,1199	
CM+S, J4P	4,972	5,336	,0673	
CM+S, J4S	6,935	5,456	,0135	S
CM+S, J5P	4,328	5,604	,1281	
CM+S, J5S	6,623	5,336	,0157	S
CM+S, J6P	-,178	5,336	,9471	
CM+S, J6S	3,129	5,336	,2463	
CM+S, TNP	6,273	8,681	,1541	
CM+S, TNS	7,329	6,786	,0347	S
J3P, J3S	-,723	7,263	,8434	
J3P, J4P	-1,109	5,930	,7104	
J3P, J4S	,853	6,039	,7790	
J3P, J5P	-1,753	6,172	,5730	
J3P, J5S	,541	5,930	,8561	
J3P, J6P	-6,260	5,930	,0388	S
J3P, J6S	-2,953	5,930	,3243	
J3P, TNP	,192	9,059	,9664	
J3P, TNS	1,248	7,263	,7331	
J3S, J4P	-,387	6,405	,9046	
J3S, J4S	1,576	6,506	,6307	
J3S, J5P	-1,031	6,630	,7575	
J3S, J5S	1,264	6,405	,6952	
J3S, J6P	-5,537	6,405	,0892	
J3S, J6S	-2,230	6,405	,4900	
J3S, TNP	,915	9,377	,8464	
J3S, TNS	1,970	7,656	,6096	
J4P, J4S	1,963	4,975	,4342	
J4P, J5P	-,644	5,136	,8033	
J4P, J5S	1,651	4,842	,4990	
J4P, J6P	-5,150	4,842	,0374	S
J4P, J6S	-1,843	4,842	,4505	
J4P, TNP	1,301	8,387	,7580	
J4P, TNS	2,357	6,405	,4657	
J4S, J5P	-2,607	5,261	,3267	
J4S, J5S	-,312	4,975	,9009	
J4S, J6P	-7,113	4,975	,0057	S
J4S, J6S	-3,806	4,975	,1316	
J4S, TNP	-,661	8,464	,8767	
J4S, TNS	,394	6,506	,9042	
J5P, J5S	2,295	5,136	,3761	
J5P, J6P	-4,506	5,136	,0846	
J5P, J6S	-1,199	5,136	,6431	
J5P, TNP	1,945	8,560	,6519	
J5P, TNS	3,001	6,630	,3700	
J5S, J6P	-6,801	4,842	,0065	S
J5S, J6S	-3,494	4,842	,1547	
J5S, TNP	-,350	8,387	,9340	
J5S, TNS	,706	6,405	,8267	
J6P, J6S	3,307	4,842	,1776	
J6P, TNP	6,452	8,387	,1296	
J6P, TNS	7,507	6,405	,0223	S
J6S, TNP	3,145	8,387	,4573	
J6S, TNS	4,200	6,406	,1954	
TNP, TNS	1,056	9,377	,8231	

**FIG. 64E**

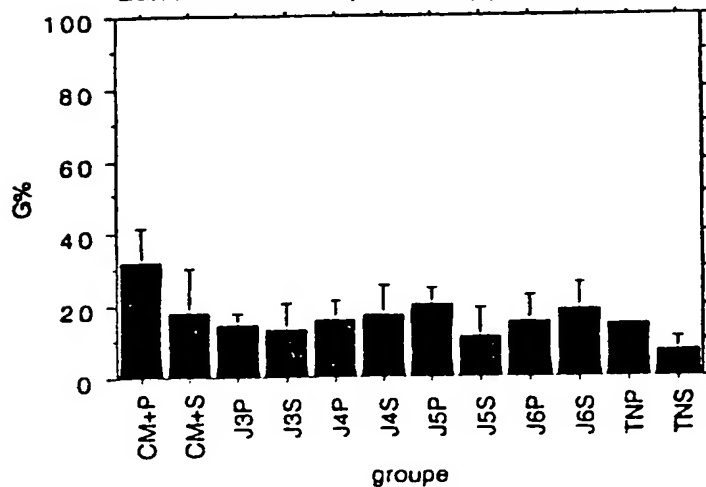
	ddl	Somme des carrés	Carré moyen	Valeur de F	Valeur de p	Lambda	Puissance
Groupe	11	2082,438	189,313	2,237	,0239	24,605	,900
Résidu	59	4993,532	84,636				

**Tableau de moyennes pour TCRBV09**  
**Effet : Groupe**

	Nombre	Moyenne	Dév. Std.	Err. Std.
CM+P	6	32,449	11,856	4,840
CM+S	4	18,668	12,314	6,157
J3P	5	15,347	3,162	1,414
J3S	3	13,712	6,283	3,628
J4P	9	16,677	7,101	2,367
J4S	6	17,918	9,498	3,878
J5P	7	20,567	6,361	2,404
J5S	8	12,019	10,703	3,784
J6P	9	16,190	10,703	3,568
J6S	9	19,402	10,490	3,497
TNP	2	15,419	,537	,380
TNS	3	7,443	3,207	1,852

**FIG. 64F**

**Graphique des Interactions pour TCRBV09**  
**Effet : Groupe**  
**Barres d'erreur:  $\pm 1,96$  Erreur(s) standard**



**FIG. 64G**

**FIG. 64 H**

	Diff. moy.	Diff. crit.	Valeur p	
CM+P, CM+S	13,782	11,883	,0238	S
CM+P, J3P	17,102	11,147	,0032	S
CM+P, J3S	18,737	13,017	,0056	S
CM+P, J4P	15,773	9,702	,0019	S
CM+P, J4S	14,532	10,628	,0082	S
CM+P, J5P	11,882	10,242	,0237	S
CM+P, J5S	20,431	9,942	,0001	S
CM+P, J6P	16,260	9,702	,0014	S
CM+P, J6S	13,047	9,702	,0093	S
CM+P, TNP	17,030	15,031	,0271	S
CM+P, TNS	25,006	13,017	,0003	S
CM+S, J3P	3,321	12,349	,5926	
CM+S, J3S	4,956	14,060	,4834	
CM+S, J4P	1,991	11,062	,7200	
CM+S, J4S	,750	11,883	,8999	
CM+S, J5P	-1,899	11,538	,7430	
CM+S, J5S	6,649	11,273	,2426	
CM+S, J6P	2,478	11,062	,6556	
CM+S, J6S	-,734	11,062	,8948	
CM+S, TNP	3,248	15,942	,6850	
CM+S, TNS	11,224	14,060	,1155	
J3P, J3S	1,635	13,444	,8086	
J3P, J4P	-1,329	10,268	,7965	
J3P, J4S	-2,570	11,147	,6462	
J3P, J5P	-5,220	10,779	,3365	
J3P, J5S	3,329	10,495	,5281	
J3P, J6P	-,842	10,268	,8702	
J3P, J6S	-4,055	10,268	,4326	
J3P, TNP	-,072	15,402	,9925	
J3P, TNS	7,904	13,444	,2442	
J3S, J4P	-2,965	12,272	,6306	
J3S, J4S	-4,206	13,017	,5205	
J3S, J5P	-6,855	12,703	,2846	
J3S, J5S	1,694	12,463	,7866	
J3S, J6P	-2,478	12,272	,6877	
J3S, J6S	-5,690	12,272	,3573	
J3S, TNP	-1,707	16,805	,8396	
J3S, TNS	6,269	15,031	,4073	
J4P, J4S	-1,241	9,702	,7989	
J4P, J5P	-3,890	9,277	,4048	
J4P, J5S	4,658	8,945	,3017	
J4P, J6P	,487	8,678	,9110	
J4P, J6S	-2,726	8,678	,5321	
J4P, TNP	1,257	14,391	,8618	
J4P, TNS	9,233	12,272	,1375	
J4S, J5P	-2,649	10,242	,6067	
J4S, J5S	5,899	9,942	,2399	
J4S, J6P	1,728	9,702	,7228	
J4S, J6S	-1,484	9,702	,7806	
J4S, TNP	2,498	15,031	,7406	
J4S, TNS	10,474	13,017	,1127	
J5P, J5S	8,549	9,527	,0777	
J5P, J6P	4,377	9,277	,3489	
J5P, J6S	1,165	9,277	,8025	
J5P, TNP	5,148	14,760	,4880	
J5P, TNS	13,124	12,703	,0431	S
J5S, J6P	-4,171	8,945	,3546	
J5S, J6S	-7,384	8,945	,1039	
J5S, TNP	-3,401	14,553	,6418	
J5S, TNS	4,575	12,463	,4655	
J6P, J6S	-3,213	8,678	,4618	
J6P, TNP	,770	14,391	,9151	
J6P, TNS	8,746	12,272	,1591	
J6S, TNP	3,983	14,391	,5818	
J6S, TNS	11,959	12,272	,0560	
TNP, TNS	7,976	16,805	,3461	

**FIG. 65A**

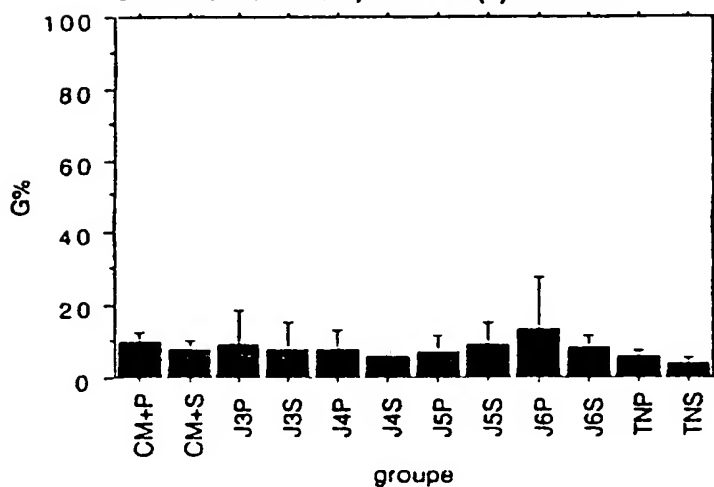
	ddl	Somme des carrés	Carré moyen	Valeur de F	Valeur de p	Lambda	Puissance
Groupe	11	490,945	44,631	,454	,9251	4,991	,223
Résidu	71	6984,585	98,374				

**Tableau de moyennes pour TCRBV10**  
**Effet : Groupe**

	Nombre	Moyenne	Dév. Std.	Err. Std.
CM+P	6	10,175	3,320	1,355
CM+S	7	7,994	3,656	1,382
J3P	5	9,884	9,834	4,398
J3S	5	8,409	7,889	3,528
J4P	9	8,062	7,645	2,548
J4S	9	5,909	1,975	,658
J5P	9	7,336	6,956	2,319
J5S	9	9,596	8,867	2,956
J6P	10	14,088	22,489	7,112
J6S	9	9,281	4,212	1,404
TNP	2	6,434	1,017	,719
TNS	3	3,943	1,407	,812

**FIG. 65B**

**Graphique des interactions pour TCRBV10**  
**Effet : Groupe**  
Barres d'erreur:  $\pm 1,96$  Erreur(s) standard



**FIG. 65C**

**FIG. 65D**

	Diff. moy.	Diff. crit.	Valeur p
CM+P, CM+S	2,180	11,003	,6939
CM+P, J3P	,291	11,975	,9615
CM+P, J3S	1,766	11,975	,7696
CM+P, J4P	2,113	10,423	,6873
CM+P, J4S	4,266	10,423	,4172
CM+P, J5P	2,838	10,423	,5888
CM+P, J5S	,579	10,423	,9122
CM+P, J6P	-3,913	10,213	,4474
CM+P, J6S	,894	10,423	,8647
CM+P, TNP	3,741	16,148	,6456
CM+P, TNS	6,232	13,984	,3772
CM+S, J3P	-1,890	11,580	,7459
CM+S, J3S	-,415	11,580	,9433
CM+S, J4P	-,067	9,987	,9893
CM+S, J4S	2,086	9,967	,8778
CM+S, J5P	,658	9,967	,8956
CM+S, J5S	-1,602	9,967	,7496
CM+S, J6P	-6,093	9,746	,2166
CM+S, J6S	-1,286	9,967	,7977
CM+S, TNP	1,560	15,857	,8450
CM+S, TNS	4,052	13,647	,5557
J3P, J3S	1,475	12,508	,8148
J3P, J4P	1,822	11,031	,7428
J3P, J4S	3,975	11,031	,4748
J3P, J5P	2,548	11,031	,6465
J3P, J5S	,288	11,031	,9586
J3P, J6P	-4,204	10,832	,4416
J3P, J6S	,603	11,031	,9135
J3P, TNP	3,450	16,546	,6789
J3P, TNS	5,941	14,443	,4148
J3S, J4P	,347	11,031	,9501
J3S, J4S	2,500	11,031	,6527
J3S, J5P	1,073	11,031	,8468
J3S, J5S	-1,187	11,031	,8307
J3S, J6P	-5,679	10,832	,2994
J3S, J6S	-,872	11,031	,8752
J3S, TNP	1,975	16,546	,8126
J3S, TNS	4,466	14,443	,5395
J4P, J4S	2,153	9,323	,6466
J4P, J5P	,726	9,323	,6771
J4P, J5S	-1,534	9,323	,7438
J4P, J6P	-6,026	9,087	,1903
J4P, J6S	-1,219	9,323	,7951
J4P, TNP	1,628	15,460	,8343
J4P, TNS	4,119	13,184	,5353
J4S, J5P	-1,427	9,323	,7610
J4S, J5S	-3,687	9,323	,4330
J4S, J6P	-8,179	9,087	,0770
J4S, J6S	-3,372	9,323	,4732
J4S, TNP	-,525	15,460	,9462
J4S, TNS	1,966	13,184	,7671
J5P, J5S	-2,260	9,323	,6304
J5P, J6P	-6,751	9,087	,1429
J5P, J6S	-1,944	9,323	,6788
J5P, TNP	,902	15,460	,9077
J5P, TNS	3,394	13,184	,6094
J5S, J6P	-4,492	9,087	,3277
J5S, J6S	,315	9,323	,9464
J5S, TNP	3,162	15,460	,6847
J5S, TNS	5,653	13,184	,3954
J6P, J6S	4,807	9,087	,2951
J6P, TNP	7,653	15,319	,3225
J6P, TNS	10,145	13,019	,1247
J6S, TNP	2,847	15,460	,7146
J6S, TNS	5,338	13,184	,4222
TNP, TNS	2,492	18,054	,7840

**FIG. 65E**

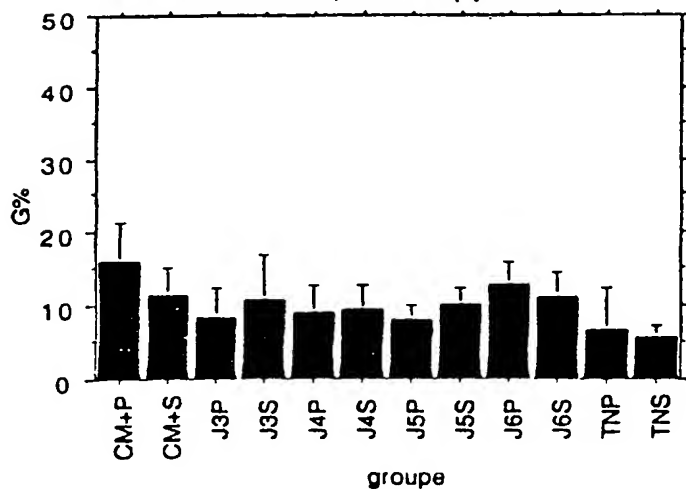
	ddl	Somme des carrés	Carré moyen	Valeur de F	Valeur de p	Lambda	Puissance
Groupe	11	417,530	37,957	1,770	,0767	19,473	,806
Résidu	68	1458,032	21,442				

**Tableau de moyennes pour TCRBV11**  
**Effet : Groupe**

	Nombre	Moyenne	Dév. Std.	Err. Std.
CM+P	6	16,209	6,803	2,777
CM+S	7	11,705	4,930	1,863
J3P	5	8,778	4,081	1,825
J3S	5	10,993	6,723	3,007
J4P	9	9,435	5,363	1,788
J4S	8	9,870	4,441	1,570
J5P	8	8,500	2,323	,821
J5S	9	10,472	3,326	1,108
J6P	9	13,144	4,194	1,398
J6S	9	11,466	4,765	1,588
TNP	2	7,048	3,828	2,707
TNS	3	6,057	1,005	,580

**FIG. 65F**

**Graphique des Interactions pour TCRBV11**  
**Effet : Groupe**  
**Barres d'erreur:  $\pm 1,96$  Erreur(s) standard**



**FIG. 65G**

*FIG. 65 H*

	Diff. moy.	Diff. crit.	Valeur p	
CM+P, CM+S	4,504	5,141	,0849	
CM+P, J3P	7,432	5,595	,0100	S
CM+P, J3S	5,216	5,595	,0672	
CM+P, J4P	6,775	4,870	,0071	S
CM+P, J4S	6,339	4,990	,0136	S
CM+P, J5P	7,709	4,990	,0030	S
CM+P, J5S	5,737	4,870	,0216	S
CM+P, J6P	3,066	4,870	,2134	
CM+P, J6S	4,743	4,870	,0561	
CM+P, TNP	9,162	7,544	,0181	S
CM+P, TNS	10,152	6,534	,0028	S
CM+S, J3P	2,927	5,410	,2841	
CM+S, J3S	,712	5,410	,7937	
CM+S, J4P	2,270	4,657	,3340	
CM+S, J4S	1,635	4,782	,4466	
CM+S, J5P	3,205	4,782	,1855	
CM+S, J5S	1,233	4,657	,5990	
CM+S, J6P	-1,439	4,657	,5396	
CM+S, J6S	,239	4,657	,9187	
CM+S, TNP	4,657	7,409	,2140	
CM+S, TNS	5,648	6,376	,0816	
J3P, J3S	-2,216	5,844	,4519	
J3P, J4P	-,657	5,154	,8000	
J3P, J4S	-1,093	5,268	,6802	
J3P, J5P	,278	5,268	,9185	
J3P, J5S	-1,695	5,154	,5139	
J3P, J6P	-4,366	5,154	,0955	
J3P, J6S	-2,688	5,154	,3016	
J3P, TNP	1,730	7,731	,6566	
J3P, TNS	2,720	6,748	,4239	
J3S, J4P	1,559	5,154	,5482	
J3S, J4S	1,123	5,268	,6719	
J3S, J5P	2,493	5,268	,3483	
J3S, J5S	,521	5,154	,8407	
J3S, J6P	-2,150	5,154	,4080	
J3S, J6S	-,473	5,154	,8553	
J3S, TNP	3,946	7,731	,3121	
J3S, TNS	4,936	6,748	,1490	
J4P, J4S	-,436	4,490	,8470	
J4P, J5P	,935	4,490	,6792	
J4P, J5S	-1,038	4,356	,6360	
J4P, J6P	-3,709	4,356	,0938	
J4P, J6S	-2,031	4,356	,3554	
J4P, TNP	2,387	7,223	,5119	
J4P, TNS	3,377	6,160	,2778	
J4S, J5P	1,370	4,620	,5559	
J4S, J5S	-,602	4,490	,7899	
J4S, J6P	-3,273	4,490	,1503	
J4S, J6S	-1,596	4,490	,4807	
J4S, TNP	2,823	7,305	,4433	
J4S, TNS	3,813	6,256	,2280	
J5P, J5S	-1,972	4,490	,3838	
J5P, J6P	-4,644	4,490	,0428	S
J5P, J6S	-2,966	4,490	,1919	
J5P, TNP	1,452	7,305	,6928	
J5P, TNS	2,443	6,256	,4385	
J5S, J6P	-2,671	4,356	,2252	
J5S, J6S	-,994	4,356	,6504	
J5S, TNP	3,425	7,223	,3475	
J5S, TNS	4,415	6,160	,1572	
J6P, J6S	1,678	4,356	,4448	
J6P, TNP	6,096	7,223	,0968	
J6P, TNS	7,087	6,160	,0248	S
J6S, TNP	4,418	7,223	,2265	
J6S, TNS	5,409	6,160	,0843	
TNP, TNS	,990	8,435	,8154	

**FIG. 66A**

	ddl	Somme des carrés	Carré moyen	Valeur de F	Valeur de p	Lambda	Puissance
Groupe	11	847,506	77,046	1,734	,0835	19,078	,797
Résidu	70	3109,660	44,424				

**Tableau de moyennes pour TCRBV12**

**Effet : Groupe**

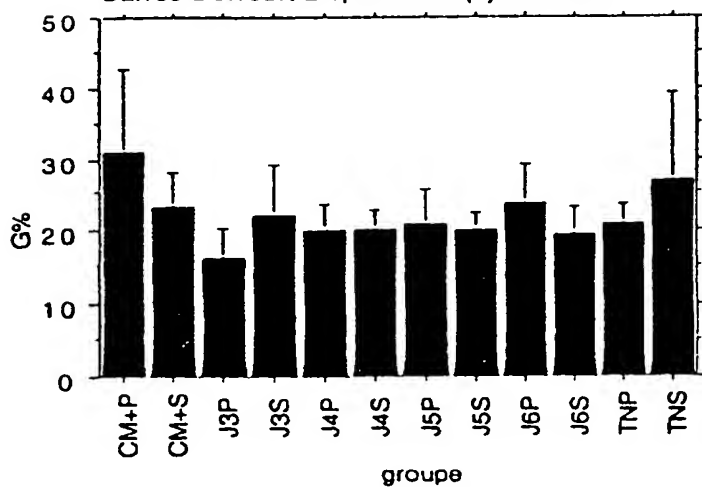
	Nombre	Moyenne	Dév. Std.	Err. Std.
CM+P	5	31,373	13,011	5,819
CM+S	7	23,583	6,355	2,402
J3P	5	16,521	4,564	2,041
J3S	5	22,474	7,502	3,355
J4P	10	20,547	4,914	1,554
J4S	8	20,444	3,354	1,186
J5P	9	21,202	7,031	2,344
J5S	10	20,410	3,361	1,063
J6P	8	23,789	7,661	2,709
J6S	9	19,862	4,989	1,663
TNP	2	21,202	1,749	1,237
TNS	4	27,005	12,590	6,295

**FIG. 66B**

**Graphique des Interactions pour TCRBV12**

**Effet : Groupe**

**Barres d'erreur:  $\pm 1,96$  Erreur(s) standard**



**FIG. 66C**



**FIG. 66D**

	Diff. moy.	Diff. crit.	Valeur p	
CM+P, CM+S	7,790	7,784	,0498	S
CM+P, J3P	14,851	8,407	,0008	S
CM+P, J3S	8,899	8,407	,0383	S
CM+P, J4P	10,825	7,281	,0041	S
CM+P, J4S	10,928	7,578	,0053	S
CM+P, J5P	10,170	7,415	,0079	S
CM+P, J5S	10,963	7,281	,0037	S
CM+P, J6P	7,584	7,578	,0498	S
CM+P, J6S	11,511	7,415	,0028	S
CM+P, TNP	10,171	11,122	,0724	
CM+P, TNS	4,368	8,917	,3320	
CM+S, J3P	7,062	7,784	,0747	
CM+S, J3S	1,109	7,784	,7770	
CM+S, J4P	3,038	6,551	,3588	
CM+S, J4S	3,139	6,880	,3660	
CM+S, J5P	2,381	6,699	,4808	
CM+S, J5S	3,173	6,551	,3374	
CM+S, J6P	-,208	6,880	,9525	
CM+S, J6S	3,721	6,699	,2718	
CM+S, TNP	2,381	10,658	,8573	
CM+S, TNS	-3,422	8,332	,4155	
J3P, J3S	-5,952	8,407	,1624	
J3P, J4P	-4,026	7,281	,2739	
J3P, J4S	-3,923	7,578	,3054	
J3P, J5P	-4,681	7,415	,2122	
J3P, J5S	-3,889	7,281	,2904	
J3P, J6P	-7,268	7,578	,0599	
J3P, J6S	-3,341	7,415	,3719	
J3P, TNP	-4,680	11,122	,4041	
J3P, TNS	-10,484	8,917	,0219	S
J3S, J4P	1,926	7,281	,5994	
J3S, J4S	2,029	7,578	,5950	
J3S, J5P	1,271	7,415	,7334	
J3S, J5S	2,063	7,281	,5737	
J3S, J6P	-1,316	7,578	,7302	
J3S, J6S	2,611	7,415	,4847	
J3S, TNP	1,272	11,122	,8203	
J3S, TNS	-4,532	8,917	,3143	
J4P, J4S	,103	6,305	,9741	
J4P, J5P	-,655	6,108	,8313	
J4P, J5S	,137	5,945	,9634	
J4P, J6P	-3,242	6,305	,3087	
J4P, J6S	,685	6,108	,8236	
J4P, TNP	-,654	10,297	,8995	
J4P, TNS	-6,458	7,864	,1060	
J4S, J5P	-,758	6,459	,8156	
J4S, J5S	,034	6,305	,9914	
J4S, J6P	-3,345	6,647	,3190	
J4S, J6S	,582	6,459	,8579	
J4S, TNP	-,757	10,509	,8861	
J4S, TNS	-6,561	8,140	,1125	
J5P, J5S	,792	6,108	,7966	
J5P, J6P	-2,587	6,459	,4271	
J5P, J6S	1,340	6,266	,6710	
J5P, TNP	,001	10,392	>,9999	
J5P, TNS	-5,803	7,988	,1519	
J5S, J6P	-3,379	6,305	,2888	
J5S, J6S	,548	6,108	,8585	
J5S, TNP	-,792	10,297	,8786	
J5S, TNS	-6,595	7,864	,0989	
J6P, J6S	3,927	6,459	,2294	
J6P, TNP	2,587	10,509	,8249	
J6P, TNS	-3,216	8,140	,4334	
J6S, TNP	-1,340	10,392	,7979	
J6S, TNS	-7,143	7,988	,0789	
TNP, TNS	-6,803	11,512	,3182	

**FIG. 66E**

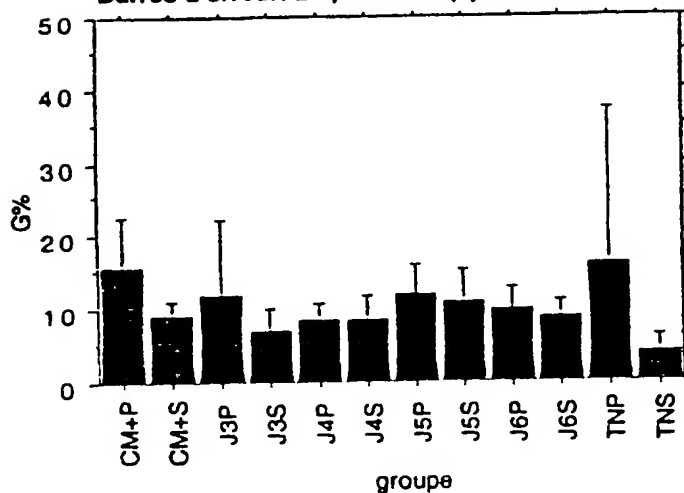
	ddl	Somme des carres	Carré moyen	Valeur de F	Valeur de p	Lambda	Puissance
Groupe	11	569,770	51,797	1,658	,1019	18,243	,773
Résidu	69	2155,053	31,233				

**Tableau de moyennes pour TCRBV13**  
**Effet : Groupe**

	Nombre	Moyenne	Dév. Std.	Err. Std.
CM+P	6	16,053	8,177	3,338
CM+S	7	9,454	2,239	,846
J3P	5	12,093	11,473	5,131
J3S	4	7,463	2,623	1,312
J4P	9	8,545	3,606	1,202
J4S	9	8,837	4,734	1,578
J5P	9	12,000	6,015	2,005
J5S	8	11,132	5,742	2,030
J6P	8	10,075	3,850	1,361
J6S	10	9,057	3,207	1,014
TNP	2	16,242	15,161	10,720
TNS	4	4,103	2,133	1,067

**FIG. 66F**

**Graphique des Interactions pour TCRBV13**  
**Effet : Groupe**  
**Barres d'erreur:  $\pm 1,96$  Erreur(s) standard**



**FIG. 66G**

*FIG. 66 H*

	Diff. moy.	Diff. crit.	Valeur p	
CM+P, CM+S	6,600	6,203	,0374	S
CM+P, J3P	3,960	6,751	,2459	
CM+P, J3S	8,590	7,197	,0200	S
CM+P, J4P	7,508	5,876	,0130	S
CM+P, J4S	7,216	5,876	,0168	S
CM+P, J5P	4,053	5,876	,1733	
CM+P, J5S	4,921	6,021	,1076	
CM+P, J6P	5,978	6,021	,0516	
CM+P, J6S	6,996	5,757	,0180	S
CM+P, TNP	-,189	9,103	,9670	
CM+P, TNS	11,951	7,197	,0015	S
CM+S, J3P	-2,640	6,528	,4227	
CM+S, J3S	1,991	6,988	,5717	
CM+S, J4P	,909	5,619	,7479	
CM+S, J4S	,616	5,619	,8274	
CM+S, J5P	-2,547	5,619	,3690	
CM+S, J5S	-1,679	5,770	,5635	
CM+S, J6P	-,621	5,770	,8305	
CM+S, J6S	,396	5,494	,8860	
CM+S, TNP	-6,789	8,939	,1343	
CM+S, TNS	5,351	6,988	,1312	
J3P, J3S	4,630	7,479	,2210	
J3P, J4P	3,548	6,219	,2589	
J3P, J4S	3,258	6,219	,2999	
J3P, J5P	,093	6,219	,9763	
J3P, J5S	,961	6,356	,7639	
J3P, J6P	2,018	6,356	,5288	
J3P, J6S	3,036	6,107	,3247	
J3P, TNP	-4,149	9,328	,3779	
J3P, TNS	7,991	7,479	,0366	S
J3S, J4P	-1,082	6,700	,7483	
J3S, J4S	-1,374	6,700	,6837	
J3S, J5P	-4,537	6,700	,1811	
J3S, J5S	-3,669	6,827	,2874	
J3S, J6P	-2,612	6,827	,4479	
J3S, J6S	-1,594	6,596	,6312	
J3S, TNP	-8,779	9,655	,0740	
J3S, TNS	3,360	7,884	,3981	
J4P, J4S	-,292	5,256	,9120	
J4P, J5P	-3,456	5,256	,1940	
J4P, J5S	-2,588	5,417	,3440	
J4P, J6P	-1,530	5,417	,5749	
J4P, J6S	-,512	5,123	,8425	
J4P, TNP	-7,698	8,716	,0825	
J4P, TNS	4,442	6,700	,1903	
J4S, J5P	-3,163	5,256	,2340	
J4S, J5S	-2,295	5,417	,4009	
J4S, J6P	-1,238	5,417	,6499	
J4S, J6S	-,220	5,123	,9320	
J4S, TNP	-7,405	8,716	,0946	
J4S, TNS	4,735	6,700	,1631	
J5P, J5S	,868	5,417	,7502	
J5P, J6P	1,925	5,417	,4807	
J5P, J6S	2,943	5,123	,2557	
J5P, TNP	-4,242	8,716	,3349	
J5P, TNS	7,898	6,700	,0215	S
J5S, J6P	1,057	5,574	,7063	
J5S, J6S	2,075	5,288	,4364	
J5S, TNP	-5,110	8,814	,2514	
J5S, TNS	7,030	6,827	,0438	S
J6P, J6S	1,018	5,288	,7022	
J6P, TNP	-6,167	8,814	,1672	
J6P, TNS	5,973	6,827	,0854	
J6S, TNP	-7,185	8,636	,1015	
J6S, TNS	4,955	6,596	,1386	
TNP, TNS	12,140	9,655	,0145	S

**FIG. 67A**

	ddl	Somme des carrés	Carré moyen	Valeur de F	Valeur de p	Lambda	Puissance
Groupe	11	231,107	21,010	1,322	,2319	14,537	,647
Résidu	68	1081,036	15,898				

**Tableau de moyennes pour TCRBV14**

Effet : Groupe

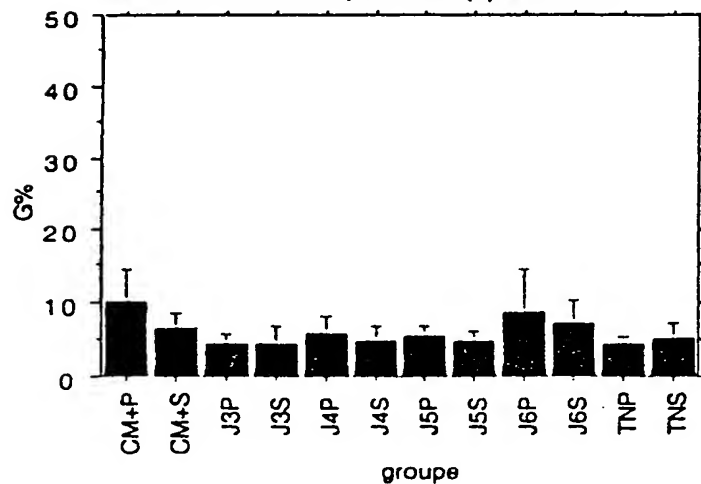
	Nombre	Moyenne	Dév. Std.	Err. Std.
CM+P	6	10,551	5,149	2,102
CM+S	7	7,043	1,990	,752
J3P	5	4,884	1,269	,567
J3S	4	4,908	2,004	1,002
J4P	9	6,371	3,227	1,076
J4S	9	5,163	2,562	,854
J5P	8	6,045	1,246	,440
J5S	9	5,140	1,601	,534
J6P	9	8,980	8,696	2,899
J6S	8	7,619	4,177	1,477
TNP	2	5,030	,384	,271
TNS	4	5,486	1,990	,995

**FIG. 67B**

**Graphique des interactions pour TCRBV14**

Effet : Groupe

Barres d'erreur:  $\pm 1,96$  Erreur(s) standard



**FIG. 67C**

**FIG. 67D**

	Diff. moy.	Diff. crit.	Valeur p	
CM+P, CM+S	3,508	4,426	,1184	
CM+P, J3P	5,668	4,818	,0218	S
CM+P, J3S	5,643	5,136	,0318	S
CM+P, J4P	4,180	4,193	,0507	
CM+P, J4S	5,388	4,193	,0126	S
CM+P, J5P	4,506	4,297	,0401	S
CM+P, J5S	5,411	4,193	,0122	S
CM+P, J6P	1,571	4,193	,4573	
CM+P, J6S	2,932	4,297	,1778	
CM+P, TNP	5,521	6,496	,0945	
CM+P, TNS	5,066	5,136	,0631	
CM+S, J3P	2,160	4,659	,3582	
CM+S, J3S	2,135	4,987	,3959	
CM+S, J4P	,673	4,010	,7389	
CM+S, J4S	1,880	4,010	,3527	
CM+S, J5P	,998	4,118	,6300	
CM+S, J5S	1,903	4,010	,3469	
CM+S, J6P	-1,937	4,010	,3385	
CM+S, J6S	-,576	4,118	,7810	
CM+S, TNP	2,013	6,379	,5310	
CM+S, TNS	1,558	4,987	,5351	
J3P, J3S	-,025	5,337	,9926	
J3P, J4P	-1,487	4,438	,5059	
J3P, J4S	-,280	4,438	,9003	
J3P, J5P	-1,161	4,536	,8111	
J3P, J5S	-,256	4,438	,9085	
J3P, J6P	-4,097	4,438	,0698	
J3P, J6S	-2,736	4,536	,2329	
J3P, TNP	-,147	6,657	,9651	
J3P, TNS	-,602	5,337	,8226	
J3S, J4P	-1,462	4,781	,5436	
J3S, J4S	-,255	4,781	,9156	
J3S, J5P	-1,137	4,872	,6431	
J3S, J5S	-,232	4,781	,9233	
J3S, J6P	-4,072	4,781	,0938	
J3S, J6S	-2,711	4,872	,2708	
J3S, TNP	-,122	6,890	,9720	
J3S, TNS	-,577	5,626	,8384	
J4P, J4S	1,208	3,751	,5227	
J4P, J5P	,326	3,866	,8669	
J4P, J5S	1,231	3,751	,5148	
J4P, J6P	-2,609	3,751	,1696	
J4P, J6S	-1,248	3,866	,5215	
J4P, TNP	1,341	6,220	,6685	
J4P, TNS	,885	4,781	,7129	
J4S, J5P	-,882	3,866	,6505	
J4S, J5S	,023	3,751	,9902	
J4S, J6P	-3,817	3,751	,0462	S
J4S, J6S	-2,456	3,866	,2092	
J4S, TNP	,133	6,220	,9661	
J4S, TNS	-,322	4,781	,8934	
J5P, J5S	,905	3,866	,6420	
J5P, J6P	-2,935	3,866	,1344	
J5P, J6S	-1,574	3,978	,4324	
J5P, TNP	1,015	6,290	,7485	
J5P, TNS	,559	4,872	,8194	
J5S, J6P	-3,840	3,751	,0449	S
J5S, J6S	-2,479	3,866	,2050	
J5S, TNP	,110	6,220	,9720	
J5S, TNS	-,345	4,781	,8858	
J6P, J6S	1,361	3,866	,4848	
J6P, TNP	3,950	6,220	,2094	
J6P, TNS	3,495	4,781	,1493	
J6S, TNP	2,589	6,290	,4143	
J6S, TNS	2,134	4,872	,3852	
TNP, TNS	-,455	6,890	,8955	

**FIG. 67E**

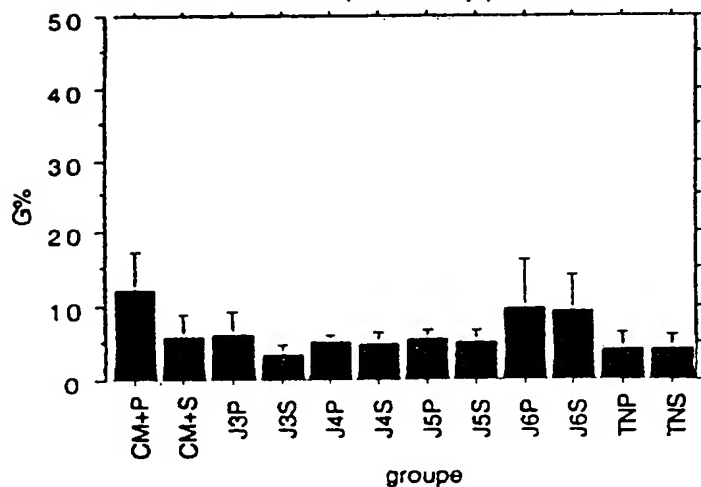
	ddl	Somme des carrés	Carré moyen	Valeur de F	Valeur de p	Lambda	Puissance
Groupe	11	475,725	43,248	2,120	,0299	23,320	,888
Résidu	69	1407,598	20,400				

**Tableau de moyennes pour TCRBV15**  
**Effet : Groupe**

	Nombre	Moyenne	Dév. Std.	Err. Std.
CM+P	6	12,587	5,913	2,414
CM+S	7	6,161	3,839	1,451
J3P	5	6,724	2,971	1,328
J3S	4	3,964	,921	,460
J4P	10	5,431	1,557	,492
J4S	9	5,088	2,335	,778
J5P	7	5,730	1,647	,622
J5S	10	5,626	1,858	,587
J6P	7	9,920	8,566	3,238
J6S	10	9,571	7,765	2,456
TNP	2	4,499	1,572	1,112
TNS	4	4,683	1,664	,832

**FIG. 67F**

**Graphique des interactions pour TCRBV15**  
**Effet : Groupe**  
**Barres d'erreur:  $\pm 1,96$  Erreur(s) standard**



**FIG. 67G**

**FIG. 67 H**

	Diff. moy.	Diff. crit.	Valeur p	
CM+P, CM+S	6,426	5,013	,0128	S
CM+P, J3P	5,863	5,456	,0358	S
CM+P, J3S	8,623	5,816	,0042	S
CM+P, J4P	7,156	4,653	,0031	S
CM+P, J4S	7,498	4,749	,0024	S
CM+P, J5P	6,857	5,013	,0081	S
CM+P, J5S	6,961	4,653	,0039	S
CM+P, J6P	2,667	5,013	,2922	
CM+P, J6S	3,016	4,653	,2003	
CM+P, TNP	6,068	7,357	,0317	S
CM+P, TNS	7,904	5,816	,0085	S
CM+S, J3P	-,562	5,278	,8322	
CM+S, J3S	2,198	5,648	,4403	
CM+S, J4P	,730	4,440	,7439	
CM+S, J4S	1,073	4,541	,6388	
CM+S, J5P	,431	4,816	,8587	
CM+S, J5S	,535	4,440	,8107	
CM+S, J6P	-3,758	4,816	,1241	
CM+S, J6S	-3,409	4,440	,1302	
CM+S, TNP	1,662	7,224	,6477	
CM+S, TNS	1,478	5,648	,8033	
J3P, J3S	2,760	6,044	,3655	
J3P, J4P	1,292	4,935	,6030	
J3P, J4S	1,635	5,026	,5184	
J3P, J5P	,994	5,276	,7082	
J3P, J5S	1,098	4,935	,6587	
J3P, J6P	-3,196	5,276	,2310	
J3P, J6S	-2,847	4,935	,2538	
J3P, TNP	2,225	7,539	,5580	
J3P, TNS	2,041	6,044	,5029	
J3S, J4P	-1,468	5,331	,5846	
J3S, J4S	-1,125	5,415	,6799	
J3S, J5P	-1,766	5,648	,5348	
J3S, J5S	-1,662	5,331	,5359	
J3S, J6P	-5,956	5,648	,0390	S
J3S, J6S	-5,607	5,331	,0395	S
J3S, TNP	-,535	7,803	,8915	
J3S, TNS	-,719	6,371	,8224	
J4P, J4S	,343	4,140	,8692	
J4P, J5P	-,299	4,440	,8937	
J4P, J5S	-,195	4,030	,9234	
J4P, J6P	-4,488	4,440	,0476	S
J4P, J6S	-4,139	4,030	,0442	S
J4P, TNP	,932	6,979	,7907	
J4P, TNS	,748	5,331	,7803	
J4S, J5P	-,642	4,541	,7789	
J4S, J5S	-,538	4,140	,7963	
J4S, J6P	-4,831	4,541	,0374	S
J4S, J6S	-4,482	4,140	,0343	S
J4S, TNP	,589	7,044	,8680	
J4S, TNS	,405	5,415	,8818	
J5P, J5S	,104	4,440	,9630	
J5P, J6P	-4,190	4,816	,0871	
J5P, J6S	-3,841	4,440	,0889	
J5P, TNP	1,231	7,224	,7350	
J5P, TNS	1,047	5,648	,7127	
J5S, J6P	-4,293	4,440	,0579	
J5S, J6S	-3,944	4,030	,0549	
J5S, TNP	1,127	6,979	,7483	
J5S, TNS	,943	5,331	,7252	
J6P, J6S	,349	4,440	,8759	
J6P, TNP	5,420	7,224	,1390	
J6P, TNS	5,236	5,648	,0686	
J6S, TNP	5,071	6,979	,1517	
J6S, TNS	4,887	5,331	,0717	
TNP, TNS	-,184	7,803	,9626	

**FIG. 68A**

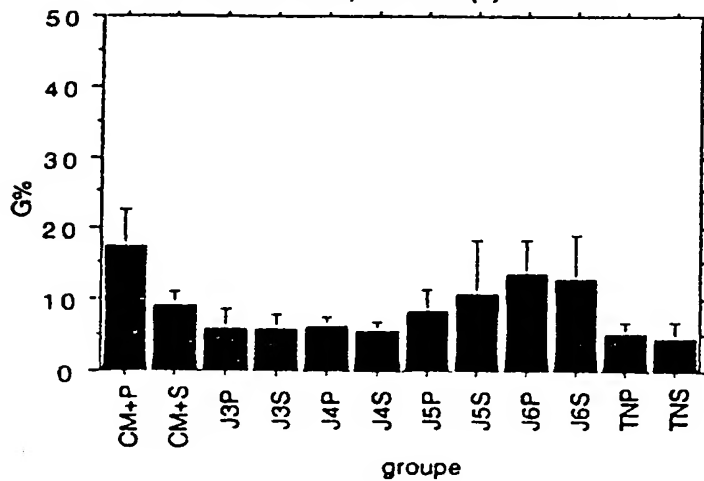
	ddl	Somme des carrés	Carré moyen	Valeur de F	Valeur de p	Lambda	Puissance
Groupe	11	1108,367	100,761	2,419	,0129	26,609	,934
Résidu	71	2957,431	41,654				

**Tableau de moyennes pour TCRBV16**  
**Effet : Groupe**

	Nombre	Moyenne	Dév. Std.	Err. Std.
CM+P	6	17,638	6,182	2,524
CM+S	7	9,511	1,933	,731
J3P	5	6,405	2,491	1,114
J3S	4	6,253	1,812	,906
J4P	9	6,565	1,382	,461
J4S	9	5,835	1,449	,483
J5P	9	8,828	4,243	1,414
J5S	10	11,179	11,924	3,771
J6P	9	13,766	7,046	2,349
J6S	10	13,173	9,708	3,070
TNP	2	5,439	1,203	,851
TNS	3	4,811	1,861	1,075

**FIG. 68B**

**Graphique des Interactions pour TCRBV16**  
**Effet : Groupe**  
**Barres d'erreur:  $\pm 1,96$  Erreur(s) standard**



**FIG. 68C**



**FIG. 68D**

	Diff. moy.	Diff. crit.	Valeur p	
CM+P, CM+S	8,127	7,160	,0267	S
CM+P, J3P	11,232	7,792	,0053	S
CM+P, J3S	11,384	8,307	,0079	S
CM+P, J4P	11,073	6,782	,0017	S
CM+P, J4S	11,803	6,782	,0009	S
CM+P, J5P	8,810	6,782	,0116	S
CM+P, J5S	6,459	6,845	,0568	
CM+P, J6P	3,872	6,782	,2589	
CM+P, J6S	4,465	6,845	,1846	
CM+P, TNP	12,199	10,507	,0235	S
CM+P, TNS	12,826	9,100	,0064	S
CM+S, J3P	3,105	7,535	,4140	
CM+S, J3S	3,257	8,066	,4234	
CM+S, J4P	2,946	6,485	,3682	
CM+S, J4S	3,676	6,485	,2622	
CM+S, J5P	,683	6,485	,8343	
CM+S, J5S	-1,669	6,342	,6015	
CM+S, J6P	-4,256	6,485	,1950	
CM+S, J6S	-3,662	6,342	,2534	
CM+S, TNP	4,072	10,318	,4340	
CM+S, TNS	4,699	8,880	,2949	
J3P, J3S	,152	8,633	,9721	
J3P, J4P	-,160	7,178	,9647	
J3P, J4S	,571	7,178	,8745	
J3P, J5P	-2,422	7,178	,5032	
J3P, J5S	-4,774	7,049	,1812	
J3P, J6P	-7,361	7,178	,0446	S
J3P, J6S	-6,768	7,049	,0596	
J3P, TNP	,966	10,767	,8585	
J3P, TNS	1,594	9,398	,7362	
J3S, J4P	-,312	7,733	,9362	
J3S, J4S	,419	7,733	,9143	
J3S, J5P	-2,574	7,733	,5090	
J3S, J5S	-4,926	7,613	,2012	
J3S, J6P	-7,513	7,733	,0567	
J3S, J6S	-6,920	7,613	,0742	
J3S, TNP	,814	11,145	,8846	
J3S, TNS	1,442	9,829	,7708	
J4P, J4S	,730	6,066	,8110	
J4P, J5P	-2,263	6,066	,4595	
J4P, J5S	-4,614	5,913	,1242	
J4P, J6P	-7,201	6,066	,0207	S
J4P, J6S	-6,608	5,913	,0290	S
J4P, TNP	1,126	10,060	,8240	
J4P, TNS	1,754	8,579	,6848	
J4S, J5P	-2,993	6,066	,3286	
J4S, J5S	-5,345	5,913	,0757	
J4S, J6P	-7,932	6,066	,0111	S
J4S, J6S	-7,338	5,913	,0157	S
J4S, TNP	,396	10,060	,9377	
J4S, TNS	1,023	8,579	,8127	
J5P, J5S	-2,351	5,913	,4304	
J5P, J6P	-4,938	6,066	,1090	
J5P, J6S	-4,345	5,913	,1473	
J5P, TNP	3,389	10,060	,5040	
J5P, TNS	4,016	8,579	,3538	
J5S, J6P	-2,587	5,913	,3859	
J5S, J6S	-1,994	5,755	,4920	
J5S, TNP	5,740	9,968	,2547	
J5S, TNS	6,368	8,471	,1384	
J6P, J6S	,593	6,913	,8420	
J6P, TNP	8,327	10,060	,1033	
J6P, TNS	8,955	8,579	,0410	S
J6S, TNP	7,734	9,968	,1263	
J6S, TNS	8,361	8,471	,0530	
TNP, TNS	,628	11,748	,9155	

**FIG. 68E**

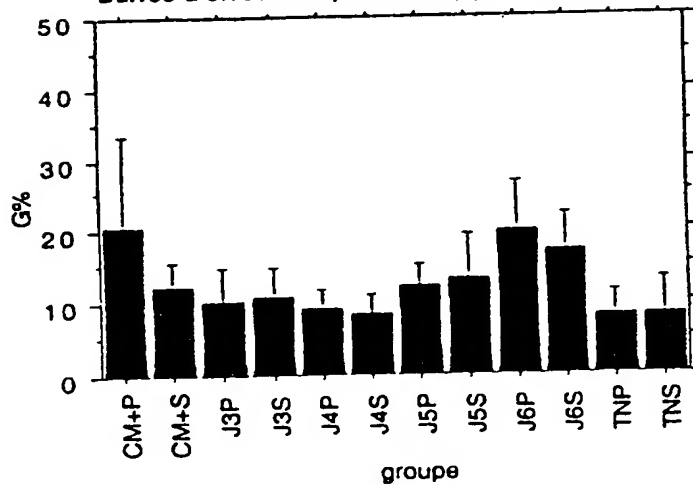
	ddl	Somme des carrés	Carré moyen	Valeur de F	Valeur de p	Lambda	Puissance
Groupe	11	1366,839	124,258	2,439	,0125	26,832	,935
Résidu	68	3463,904	50,940				

**Tableau de moyennes pour TCRBV18**  
**Effet : Groupe**

	Nombre	Moyenne	Dév. Std.	Err. Std.
CM+P	5	20,923	14,298	6,394
CM+S	7	12,460	4,456	1,684
J3P	4	10,425	4,718	2,359
J3S	4	11,167	3,982	1,991
J4P	8	9,540	3,210	1,135
J4S	9	8,739	3,488	1,163
J5P	9	12,342	4,375	1,458
J5S	10	13,509	9,823	3,106
J6P	8	20,235	9,202	3,253
J6S	10	17,530	7,806	2,468
TNP	2	8,387	2,214	1,566
TNS	4	8,319	5,022	2,511

**FIG. 68F**

**Graphique des interactions pour TCRBV18**  
**Effet : Groupe**  
**Barres d'erreur:  $\pm 1,96$  Erreur(s) standard**



**FIG. 68G**

**FIG. 68 H**

	Diff. moy.	Diff. crit.	Valeur p	
CM+P, CM+S	8,463	8,339	,0468	S
CM+P, J3P	10,498	9,554	,0318	S
CM+P, J3S	9,756	9,554	,0455	S
CM+P, J4P	11,383	8,119	,0067	S
CM+P, J4S	12,184	7,944	,0032	S
CM+P, J5P	8,582	7,944	,0346	S
CM+P, J5S	7,414	7,801	,0621	
CM+P, J6P	,689	8,119	,8661	
CM+P, J6S	3,393	7,801	,3884	
CM+P, TNP	12,536	11,916	,0395	S
CM+P, TNS	12,604	9,554	,0105	S
CM+S, J3P	2,035	8,927	,6506	
CM+S, J3S	1,293	8,927	,7734	
CM+S, J4P	2,920	7,371	,4320	
CM+S, J4S	3,721	7,177	,3045	
CM+S, J5P	,119	7,177	,9738	
CM+S, J5S	-1,049	7,019	,7665	
CM+S, J6P	-7,775	7,371	,0390	S
CM+S, J6S	-5,070	7,019	,1541	
CM+S, TNP	4,073	11,419	,4790	
CM+S, TNS	4,141	8,927	,3579	
J3P, J3S	-,742	10,071	,8836	
J3P, J4P	,884	8,721	,8402	
J3P, J4S	1,686	8,558	,6955	
J3P, J5P	-1,917	8,558	,6564	
J3P, J5S	-3,084	8,426	,4677	
J3P, J6P	-9,810	8,721	,0281	S
J3P, J6S	-7,105	8,426	,0970	
J3P, TNP	2,038	12,334	,7426	
J3P, TNS	2,106	10,071	,6778	
J3S, J4P	1,626	8,721	,7110	
J3S, J4S	2,428	8,558	,5732	
J3S, J5P	-1,175	8,558	,7850	
J3S, J5S	-2,342	8,426	,5810	
J3S, J6P	-9,068	8,721	,0418	S
J3S, J6S	-6,363	8,426	,1365	
J3S, TNP	2,780	12,334	,6543	
J3S, TNS	2,848	10,071	,5744	
J4P, J4S	,801	6,920	,8180	
J4P, J5P	-2,801	6,920	,4221	
J4P, J5S	-3,968	6,756	,2452	
J4P, J6P	-10,694	7,121	,0038	S
J4P, J6S	-7,989	6,756	,0212	S
J4P, TNP	1,153	11,259	,8386	
J4P, TNS	1,221	8,721	,7807	
J4S, J5P	-3,602	6,714	,2881	
J4S, J5S	-4,770	6,544	,1504	
J4S, J6P	-11,496	6,920	,0015	S
J4S, J6S	-8,791	6,544	,0092	S
J4S, TNP	,352	11,134	,9498	
J4S, TNS	,420	8,558	,9223	
J5P, J5S	-1,167	6,544	,7230	
J5P, J6P	-7,893	6,920	,0260	S
J5P, J6S	-5,188	6,544	,1183	
J5P, TNP	3,955	11,134	,4809	
J5P, TNS	4,023	8,558	,3516	
J5S, J6P	-6,726	6,756	,0510	
J5S, J6S	-4,021	6,369	,2121	
J5S, TNP	5,122	11,032	,3575	
J5S, TNS	5,190	8,426	,2233	
J6P, J6S	2,705	6,756	,4271	
J6P, TNP	11,848	11,259	,0395	S
J6P, TNS	11,916	8,721	,0081	S
J6S, TNP	9,143	11,032	,1028	
J6S, TNS	9,211	8,426	,0326	S
TNP, TNS	,068	12,334	,9913	

**FIG. 69A**

	ddl	Somme des carrés	Carré moyen	Valeur de F	Valeur de p	Lambda	Puissance
Groupe	11	1340,545	121,868	2,791	,0044	30,703	,968
Résidu	72	3143,624	43,661				

**Tableau de moyennes pour TCRBV20**

Effet : Groupe

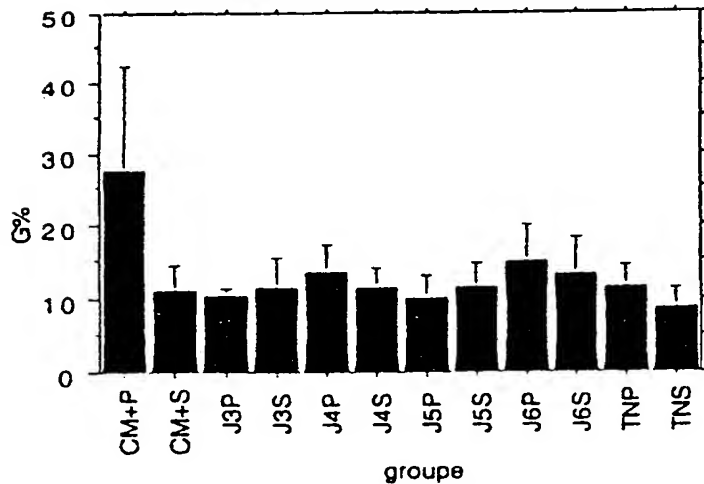
	Nombre	Moyenne	Dév. Std.	Err. Std.
CM+P	5	27,772	16,719	7,477
CM+S	7	11,353	4,473	1,690
J3P	5	10,625	,982	,439
J3S	4	11,679	3,970	1,985
J4P	10	13,862	5,854	1,851
J4S	9	11,847	3,898	1,299
J5P	9	10,533	4,189	1,396
J5S	10	11,711	5,365	1,697
J6P	9	15,138	7,611	2,537
J6S	10	13,643	7,756	2,453
TNP	2	11,871	2,021	1,429
TNS	4	9,130	2,304	1,152

**FIG. 69B**

**Graphique des interactions pour TCRBV20**

Effet : Groupe

Barres d'erreur:  $\pm 1,96$  Erreur(s) standard



**FIG. 69C**

**FIG. 69D**

	Diff. moy.	Diff. crit.	Valeur p	
CM+P, CM+S	16,419	7,713	<,0001	S
CM+P, J3P	17,147	8,331	,0001	S
CM+P, J3S	16,092	8,836	,0005	S
CM+P, J4P	13,910	7,215	,0003	S
CM+P, J4S	15,924	7,347	<,0001	S
CM+P, J5P	17,238	7,347	<,0001	S
CM+P, J5S	16,061	7,215	<,0001	S
CM+P, J6P	12,834	7,347	,0010	S
CM+P, J6S	14,128	7,215	,0002	S
CM+P, TNP	15,901	11,021	,0053	S
CM+P, TNS	18,642	8,836	<,0001	S
CM+S, J3P	,728	7,713	,8513	
CM+S, J3S	-,326	8,256	,9374	
CM+S, J4P	-2,509	8,491	,4435	
CM+S, J4S	-,495	8,638	,8823	
CM+S, J5P	,819	8,638	,8063	
CM+S, J5S	-,358	6,491	,9128	
CM+S, J6P	-3,785	8,638	,2594	
CM+S, J6S	-2,291	8,491	,4840	
CM+S, TNP	-,518	10,561	,9224	
CM+S, TNS	2,223	8,256	,5931	
J3P, J3S	-1,054	8,836	,8126	
J3P, J4P	-3,237	7,215	,3741	
J3P, J4S	-1,223	7,347	,7410	
J3P, J5P	,091	7,347	,9803	
J3P, J5S	-1,086	7,215	,7650	
J3P, J6P	-4,513	7,347	,2247	
J3P, J6S	-3,019	7,215	,4070	
J3P, TNP	-1,246	11,021	,8223	
J3P, TNS	1,495	8,836	,7369	
J3S, J4P	-2,183	7,793	,5783	
J3S, J4S	-,168	7,915	,9663	
J3S, J5P	1,146	7,915	,7738	
J3S, J5S	-,032	7,793	,9936	
J3S, J6P	-3,459	7,915	,3866	
J3S, J6S	-1,964	7,793	,6169	
J3S, TNP	-,192	11,407	,9734	
J3S, TNS	2,550	9,314	,5870	
J4P, J4S	2,014	6,052	,5091	
J4P, J5P	3,328	6,052	,2766	
J4P, J5S	2,151	5,891	,4690	
J4P, J6P	-1,276	6,052	,6755	
J4P, J6S	,218	5,891	,9413	
J4P, TNP	1,991	10,203	,6984	
J4P, TNS	4,732	7,793	,2300	
J4S, J5P	1,314	6,209	,6744	
J4S, J5S	,137	6,052	,9642	
J4S, J6P	-3,290	6,209	,2943	
J4S, J6S	-1,796	6,052	,5560	
J4S, TNP	-,023	10,297	,9964	
J4S, TNS	2,718	7,915	,4959	
J5P, J5S	-1,177	6,052	,6993	
J5P, J6P	-4,604	6,209	,1437	
J5P, J6S	-3,110	6,052	,3091	
J5P, TNP	-1,337	10,297	,7984	
J5P, TNS	1,404	7,915	,7247	
J5S, J6P	-3,427	6,052	,2627	
J5S, J6S	-1,933	5,891	,5152	
J5S, TNP	-,160	10,203	,9751	
J5S, TNS	2,581	7,793	,5112	
J6P, J6S	1,484	6,052	,6241	
J6P, TNP	3,267	10,297	,5291	
J6P, TNS	6,008	7,915	,1346	
J6S, TNP	1,773	10,203	,7301	
J6S, TNS	4,514	7,793	,2520	
TNP, TNS	2,741	11,407	,6334	

**FIG. 70A**

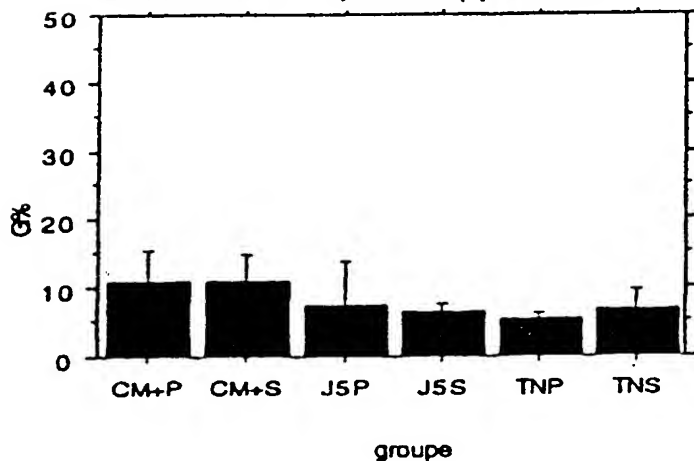
	ddl	Somme des carrés	Carré moyen	Valeur de F	Valeur de p	Lambda	Puissance
Groupe	5	432,969	86,594	2,011	,0866	10,054	,640
Résidu	76	3272,848	43,064				

**Tableau de moyennes pour TCRBV01**  
**Effet : Groupe**

	Nombre	Moyenne	Dév. Std.	Err. Std.
CM+P	13	11,087	8,348	2,315
CM+S	17	11,091	8,232	1,998
JSP	9	7,802	9,117	3,039
JSS	10	6,450	1,743	,551
TNP	16	5,478	1,746	,436
TNS	17	6,828	6,198	1,503

**FIG. 70B**

**Graphique des Interactions pour TCRBV01**  
**Effet : Groupe**  
**Barres d'erreur:  $\pm 1,96$  Erreur(s) standard**



**FIG. 70C**

# **FIG. 70D**

	Diff. moy.	Diff. crit.	Valeur p	
CM+P, CM+S	-,003	4,815	,9989	
CM+P, J5P	3,285	5,668	,2520	
CM+P, J5S	4,637	5,498	,0971	
CM+P, TNP	5,609	4,880	,0248	S
CM+P, TNS	4,259	4,815	,0822	
CM+S, J5P	3,288	5,388	,2279	
CM+S, J5S	4,641	5,209	,0800	
CM+S, TNP	5,613	4,552	,0164	S
CM+S, TNS	4,262	4,483	,0821	
J5P, J5S	1,352	6,005	,6550	
J5P, TNP	2,324	5,446	,3979	
J5P, TNS	,974	5,388	,7197	
J5S, TNP	,972	5,269	,7143	
J5S, TNS	-,378	5,209	,8854	
TNP, TNS	-1,350	4,552	,5565	

**FIG. 70E**

Tableau ANOVA pour TCRBV02

	ddl	Somme des carrés	Carré moyen	Valeur de F	Valeur de p	Lambda	Puissance
Groupe	5	2280,845	452,169	12,349	<,0001	61,745	1,000
Résidu	78	2858,039	36,616				

Tableau de moyennes pour TCRBV02

Effet : Groupe

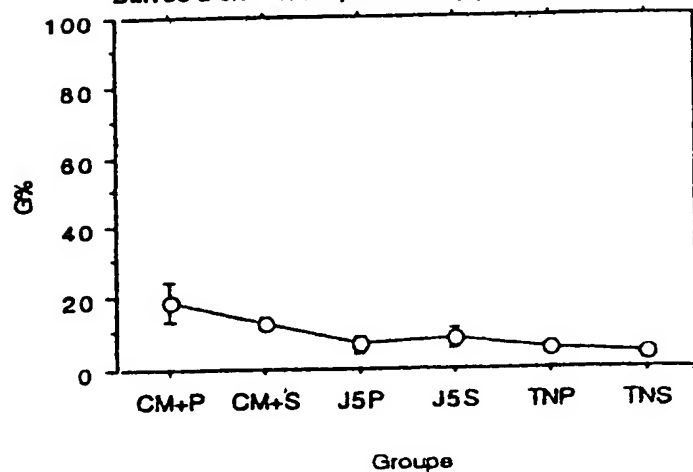
	Nombre	Moyenne	Dév. Std.	Err. Std.
CM+P	16	18,682	11,485	2,871
CM+S	17	12,334	4,730	1,147
J5P	9	6,816	3,816	1,272
J5S	10	8,401	4,782	1,512
TNP	16	5,498	2,944	,736
TNS	16	4,234	2,115	,529

**FIG. 70F**

Courbe des interactions pour TCRBV02

Effet : Groupe

Barres d'erreur:  $\pm 1,96$  Erreur(s) standard



CM<sup>+</sup> contains J6

TN contains J3, J4

**FIG. 70G**



**Test PLSD de Fisher pour TCRBV02**

**Effet : Groupe**

**Niveau de significativité : 5 %**

	Diff. moy.	Diff. crit.	Valeur p	
CM+P, CM+S	6,348	4,196	,0035	S
CM+P, J5P	11,866	5,020	<,0001	S
CM+P, J5S	10,282	4,856	<,0001	S
CM+P, TNP	13,184	4,259	<,0001	S
CM+P, TNS	14,449	4,259	<,0001	S
CM+S, J5P	5,518	4,966	,0299	S
CM+S, J5S	3,933	4,801	,1069	
CM+S, TNP	6,836	4,196	,0017	S
CM+S, TNS	8,100	4,196	,0002	S
J5P, J5S	-1,585	5,535	,5703	
J5P, TNP	1,318	5,020	,6027	
J5P, TNS	2,582	5,020	,3090	
J5S, TNP	2,903	4,856	,2377	
J5S, TNS	4,167	4,856	,0916	
TNP, TNS	1,264	4,259	,5562	

**FIG. 70 H**

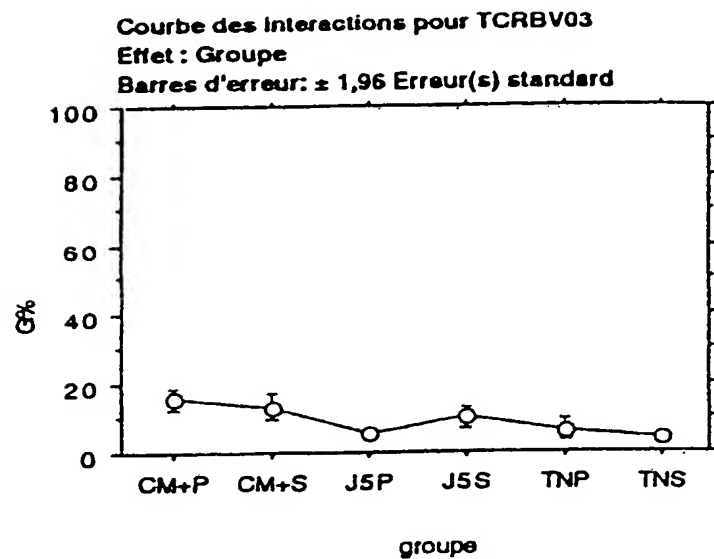
**FIG. 71A**

	ddl	Somme des carrés	Carré moyen	Valeur de F	Valeur de p	Lambda	Puissance
Groupe	5	1527,689	305,538	9,429	<.0001	47,145	1,000
Résidu	78	2527,492	32,404				

**Tableau de moyennes pour TCRBV03**  
**Effet : Groupe**

	Nombre	Moyenne	Dév. Std.	Err. Std.
CM+P	15	15,663	6,016	1,553
CM+S	17	13,392	7,788	1,889
J5P	8	5,793	1,245	,440
J5S	10	10,189	5,355	1,693
TNP	17	6,590	6,854	1,662
TNS	17	4,402	1,366	,331

**FIG. 71B**



**FIG. 71C**

	Diff. moy.	Diff. crit.	Valeur p	
CM+P, CM+S	2,271	4,015	,2635	
CM+P, J5P	9,870	4,961	,0002	S
CM+P, J5S	5,474	4,627	,0210	S
CM+P, TNP	9,073	4,015	<,0001	S
CM+P, TNS	11,261	4,015	<,0001	S
CM+S, J5P	7,599	4,859	,0026	S
CM+S, J5S	3,203	4,516	,1620	
CM+S, TNP	6,802	3,887	,0008	S
CM+S, TNS	8,990	3,887	<,0001	S
J5P, J5S	-4,396	5,376	,1076	
J5P, TNP	-,787	4,859	,7448	
J5P, TNS	1,391	4,859	,5703	
J5S, TNP	3,599	4,516	,1167	
J5S, TNS	5,787	4,516	,0127	S
TNP, TNS	2,188	3,887	,2658	

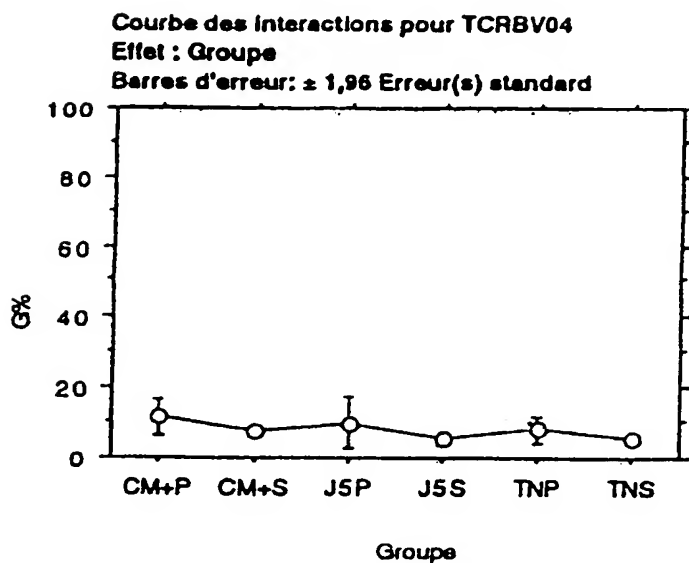
**FIG. 71D**

**FIG. 71E**

	ddl	Somme des carrés	Carré moyen	Valeur de F	Valeur de p	Lambda	Puissance
Groupe	5	390,352	78,070	1,752	,1328	8,762	,569
Résidu	77	3430,317	44,550				

	Nombre	Moyenne	Dév. Std.	Err. Std.
CM+P	14	11,624	9,605	2,567
CM+S	17	7,558	3,093	,750
JSP	9	10,018	10,982	3,861
J5S	10	5,395	2,913	,921
TNP	17	8,235	7,874	1,910
TNS	16	5,528	1,724	,431

**FIG. 71F**



**FIG. 71G**

	Diff. moy.	Diff. crit.	Valeur p	
CM+P, CM+S	4,068	4,797	,0953	
CM+P, J5P	1,608	5,678	,5744	
CM+P, J5S	6,229	5,503	,0270	S
CM+P, TNP	3,389	4,797	,1635	
CM+P, TNS	6,096	4,864	,0147	S
CM+S, J5P	-2,460	5,479	,3741	
CM+S, J5S	2,161	5,297	,4191	
CM+S, TNP	-,679	4,559	,7675	
CM+S, TNS	2,028	4,629	,3858	
J5P, J5S	4,621	6,107	,1360	
J5P, TNP	1,781	5,479	,5195	
J5P, TNS	4,488	5,538	,1107	
J5S, TNP	-2,840	5,297	,2890	
J5S, TNS	-,133	5,358	,9607	
TNP, TNS	2,707	4,629	,2478	

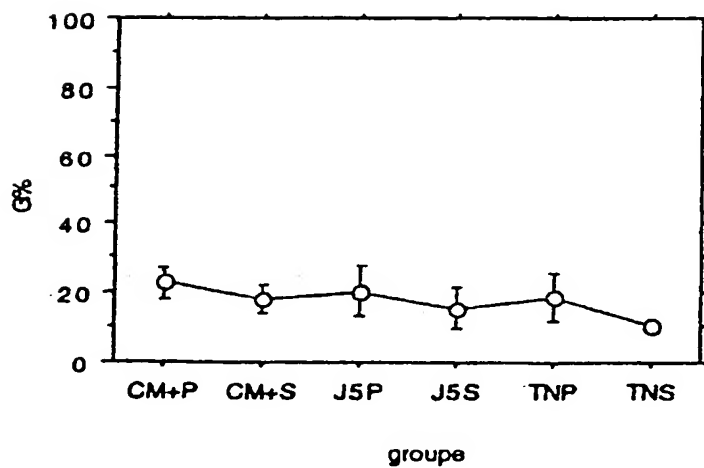
**FIG. 71 H**

**FIG. 72A**

	ddl	Somme des carrés	Carré moyen	Valeur de F	Valeur de p	Lambda	Puissance
Groupe	5	1177,396	235,479	3,026	,0162	15,129	,840
Résidu	65	5058,617	77,825				

	Nombre	Moyenne	Dév. Std.	Err. Std.
CM+P	14	22,742	8,379	2,239
CM+S	15	17,817	8,119	2,096
J5P	7	20,393	9,875	3,733
J5S	8	15,429	8,348	2,952
TNP	13	18,467	12,720	3,528
TNS	14	10,498	4,002	1,070

**FIG. 72B**



**FIG. 72C**

	Diff. moy.	Diff. crit.	Valeur p	
CM+P, CM+S	4,925	6,547	,1379	
CM+P, J5P	2,349	8,156	,5672	
CM+P, J5S	7,312	7,809	,0660	
CM+P, TNP	4,275	6,786	,2128	
CM+P, TNS	12,244	6,659	,0005	S
CM+S, J5P	-2,576	8,065	,5258	
CM+S, J5S	2,388	7,713	,5385	
CM+S, TNP	-,649	6,676	,8486	
CM+S, TNS	7,319	6,547	,0290	S
J5P, J5S	4,964	9,118	,2810	
J5P, TNP	1,927	8,260	,6429	
J5P, TNS	9,895	8,156	,0182	S
J5S, TNP	-3,037	7,917	,4464	
J5S, TNS	4,931	7,809	,2117	
TNP, TNS	7,968	6,786	,0221	S

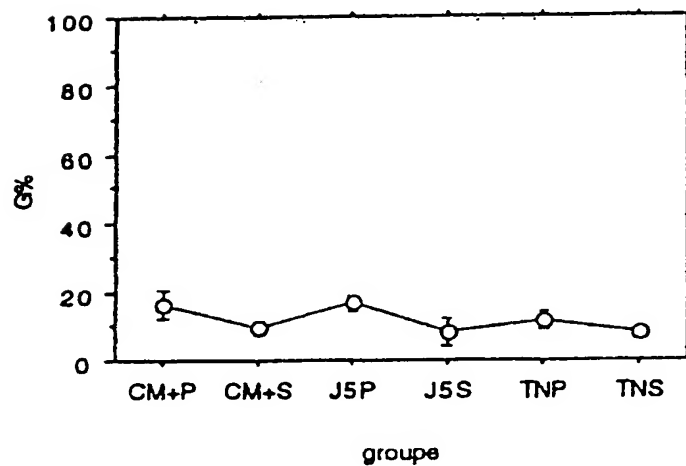
**FIG. 72D**

**FIG. 72E**

	ddl	Somme des carrés	Carré moyen	Valeur de F	Valeur de p	Lambda	Puissance
Groupe	5	916,180	183,236	7,464	<.0001	37,318	.999
Résidu	74	1816,741	24,551				

	Nombre	Moyenne	Dév. Std.	Err. Std.
CM+P	13	16,559	7,514	2,084
CM+S	17	9,926	3,585	,869
J5P	8	17,091	3,750	1,326
J5S	10	8,415	6,726	2,127
TNP	15	11,815	5,086	1,313
TNS	17	8,117	2,031	,492

**FIG. 72F**



**FIG. 72G**



# FIG. 72H

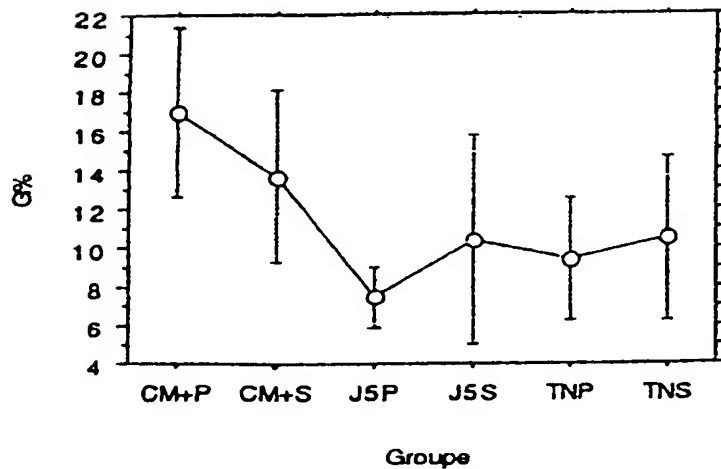
	Diff. moy.	Diff. crit.	Valeur p	
CM+P, CM+S	8,833	3,637	,0005	S
CM+P, J5P	-,532	4,438	,8117	
CM+P, J5S	8,144	4,153	,0002	S
CM+P, TNP	4,745	3,741	,0138	S
CM+P, TNS	8,442	3,637	<,0001	S
CM+S, J5P	-7,166	4,233	,0012	S
CM+S, J5S	1,511	3,935	,4466	
CM+S, TNP	-1,889	3,497	,2854	
CM+S, TNS	1,808	3,386	,2907	
J5P, J5S	8,677	4,683	,0004	S
J5P, TNP	5,277	4,322	,0174	S
J5P, TNS	8,974	4,233	<,0001	S
J5S, TNP	-3,400	4,031	,0970	
J5S, TNS	,298	3,935	,8806	
TNP, TNS	3,697	3,497	,0386	S

**FIG. 73A**

	ddl	Somme des carrés	Carré moyen	Valeur de F	Valeur de p	Lambda	Puissance
Groupe	5	788,066	157,613	2,447	,0409	12,237	,745
Résidu	79	5087,612	64,400				

	Nombre	Moyenne	Dév. Std.	Err. Std.
CM+P	15	17,007	8,620	2,226
CM+S	17	13,682	9,336	2,264
J5P	9	7,467	2,436	,812
J5S	9	10,375	8,168	2,723
TNP	17	9,357	6,546	1,588
TNS	18	10,441	9,029	2,128

**FIG. 73B**



**FIG. 73C**

	Diff. moy.	Diff. crit.	Valeur p	
CM+P, CM+S	3,325	5,658	,2457	
CM+P, J5P	9,539	6,735	,0061	S
CM+P, J5S	6,631	6,735	,0535	
CM+P, TNP	7,650	5,658	,0087	S
CM+P, TNS	6,566	5,584	,0218	S
CM+S, J5P	6,215	6,585	,0640	
CM+S, J5S	3,307	6,585	,3208	
CM+S, TNP	4,325	5,479	,1201	
CM+S, TNS	3,241	5,402	,2360	
J5P, J5S	-2,908	7,530	,4444	
J5P, TNP	-1,890	6,585	,5694	
J5P, TNS	-2,974	6,521	,3668	
J5S, TNP	1,018	6,585	,7590	
J5S, TNS	-,066	6,521	,9841	
TNP, TNS	-1,084	5,402	,6907	

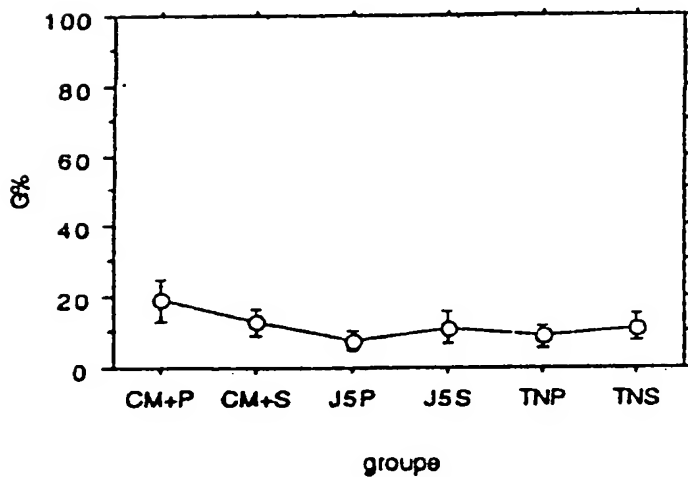
**FIG. 73D**

**FIG. 73E**

	ddl	Somme des carrés	Carré moyen	Valeur de F	Valeur de p	Lambda	Puissance
Groupe	5	1142,901	228,580	3,361	,0084	16,806	,889
Résidu	79	5372,547	68,007				

	Nombre	Moyenne	Dév. Std.	Err. Std.
CM+P	15	19,250	11,734	3,030
CM+S	17	19,065	8,253	2,002
J5P	9	7,781	3,973	1,324
J5S	10	11,235	7,477	2,365
TNP	16	8,817	5,986	1,498
TNS	18	11,242	8,360	1,971

**FIG. 73F**



**FIG. 73G**

	Diff. moy.	Diff. crit.	Valeur p	
CM+P, CM+S	6,186	5,815	,0374	S
CM+P, J5P	11,469	6,921	,0015	S
CM+P, J5S	8,015	6,701	,0197	S
CM+P, TNP	10,433	5,899	,0007	S
CM+P, TNS	8,008	5,739	,0068	S
CM+S, J5P	5,283	6,767	,1242	
CM+S, J5S	1,829	6,542	,5794	
CM+S, TNP	4,247	5,717	,1432	
CM+S, TNS	1,822	5,551	,5154	
J5P, J5S	-3,454	7,542	,3648	
J5P, TNP	-1,036	6,839	,7639	
J5P, TNS	-3,461	6,701	,3071	
J5S, TNP	2,418	6,617	,4691	
J5S, TNS	-,007	6,474	,9982	
TNP, TNS	-2,425	5,640	,3946	

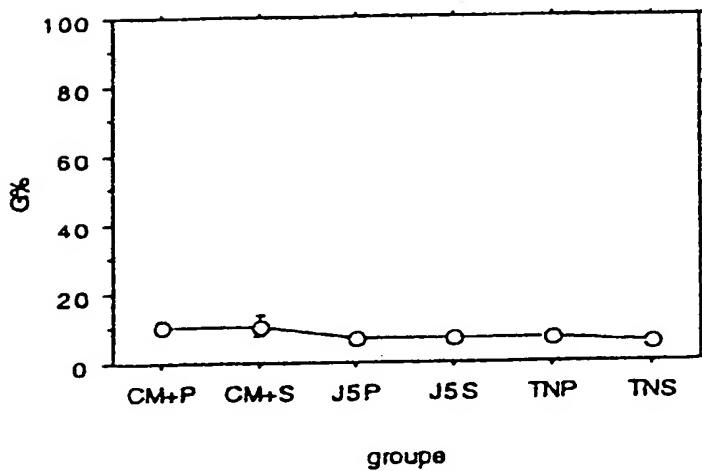
**FIG. 73H**

**FIG. 74A**

	ddl	Somme des carrés	Carré moyen	Valeur de F	Valeur de p	Lambda	Puissance
Groupe	5	368,810	73,362	5,005	,0005	25,027	,983
Résidu	79	1157,847	14,656				

	Nombre	Moyenne	Dév. Std.	Err. Std.
CM+P	14	10,344	4,444	1,188
CM+S	17	10,640	6,391	1,550
J5P	9	6,969	1,829	,543
J5S	10	6,622	2,787	,881
TNP	17	6,681	1,623	,394
TNS	18	5,469	2,592	,611

**FIG. 74B**



**FIG. 74C**

	Diff. moy.	Diff. crit.	Valeur p	
CM+P, CM+S	-.297	2,750	.8306	
CM+P, J5P	3,375	3,256	.0424	S
CM+P, J5S	3,722	3,155	.0214	S
CM+P, TNP	3,663	2,750	.0097	S
CM+P, TNS	4,875	2,715	.0006	S
CM+S, J5P	3,671	3,141	.0226	S
CM+S, J5S	4,018	3,037	.0102	S
CM+S, TNP	3,959	2,614	.0035	S
CM+S, TNS	5,172	2,577	.0001	S
J5P, J5S	.347	3,501	.8442	
J5P, TNP	.288	3,141	.8558	
J5P, TNS	1,500	3,111	.3400	
J5S, TNP	-.059	3,037	.9693	
J5S, TNS	1,154	3,005	.4471	
TNP, TNS	1,213	2,577	.3518	

**FIG. 74D**

## FIG. 74E

Tableau ANOVA pour TCRBV08.2

	ddl	Somme des carrés	Carré moyen	Valeur de F	Valeur de p	Lambda	Puissance
Groupe	5	150,431	30,086	1,097	,3688	5,485	,364
Résidu	78	2139,073	27,424				

Tableau de moyennes pour TCRBV08.2

Effet : Groupe

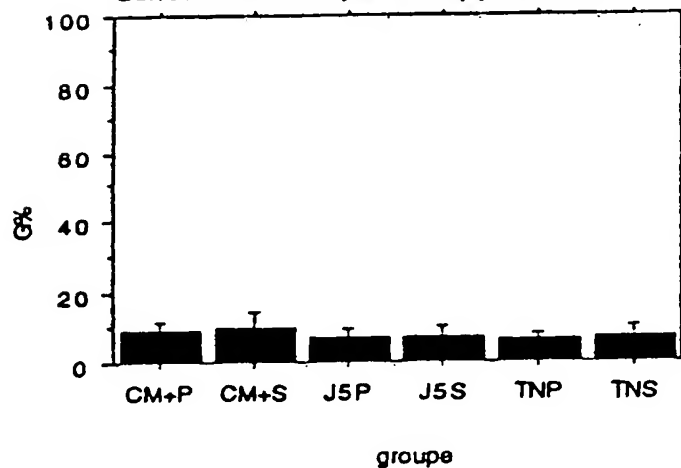
	Nombre	Moyenne	Dév. Std.	Err. Std.
CM+P	14	9,588	4,674	1,249
CM+S	17	10,574	7,927	1,923
J5P	8	7,913	2,982	1,054
J5S	10	7,678	4,199	1,328
TNP	17	7,001	3,136	,760
TNS	18	7,644	5,266	1,241

## FIG. 74F

Graphique des interactions pour TCRBV08.2

Effet : Groupe

Barres d'erreur:  $\pm 1,96$  Erreur(s) standard



## FIG. 74G



**Test PLSD de Fisher pour TCRBV08.2**

**Effet : Groupe**

**Niveau de significativité : 5 %**

	Diff. moy.	Diff. crit.	Valeur p
CM+P, CM+S	-,989	3,763	,6023
CM+P, J5P	1,673	4,621	,4732
CM+P, J5S	1,907	4,317	,3817
CM+P, TNP	2,585	3,763	,1754
CM+P, TNS	1,942	3,715	,3013
CM+S, J5P	2,662	4,470	,2394
CM+S, J5S	2,696	4,155	,1692
CM+S, TNP	3,573	3,576	,0502
CM+S, TNS	2,831	3,526	,1020
J5P, J5S	,234	4,945	,9250
J5P, TNP	,912	4,470	,6858
J5P, TNS	,269	4,430	,9041
J5S, TNP	,677	4,155	,7464
J5S, TNS	,034	4,112	,9867
TNP, TNS	-,643	3,526	,7178

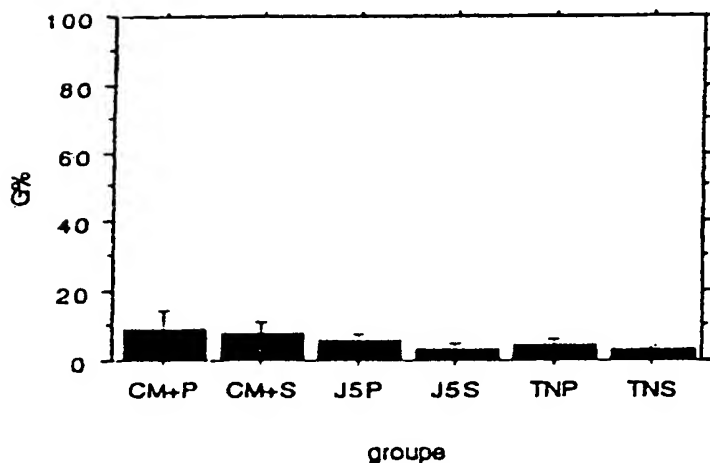
**FIG. 74H**

**FIG. 75A**

	ddl	Somme des carrés	Carré moyen	Valeur de F	Valeur de p	Lambda	Puissance
Groupe	5	495,165	99,033	3,518	,0064	17,582	,906
Résidu	79	2223,623	28,147				

	Nombre	Moyenne	Dév. Std.	Err. Std.
CM+P	16	9,855	10,118	2,529
CM+S	17	8,560	5,555	1,347
J5P	8	6,072	2,450	,866
J5S	10	3,777	1,722	,545
TNP	17	4,949	2,433	,590
TNS	17	3,743	1,405	,341

**FIG. 75B**



**FIG. 75C**

	Diff. moy.	Diff. crit.	Valeur p	
CM+P, CM+S	1,295	3,678	,4854	
CM+P, J5P	3,783	4,573	,1036	
CM+P, J5S	6,078	4,257	,0057	S
CM+P, TNP	4,906	3,678	,0096	S
CM+P, TNS	6,111	3,678	,0014	S
CM+S, J5P	2,487	4,528	,2775	
CM+S, J5S	4,782	4,208	,0265	S
CM+S, TNP	3,611	3,622	,0507	
CM+S, TNS	4,816	3,622	,0098	S
J5P, J5S	2,295	5,009	,3646	
J5P, TNP	1,123	4,528	,6227	
J5P, TNS	2,329	4,528	,3091	
J5S, TNP	-1,171	4,208	,5811	
J5S, TNS	,034	4,208	,9873	
TNP, TNS	1,205	3,622	,5087	

**FIG. 75D**

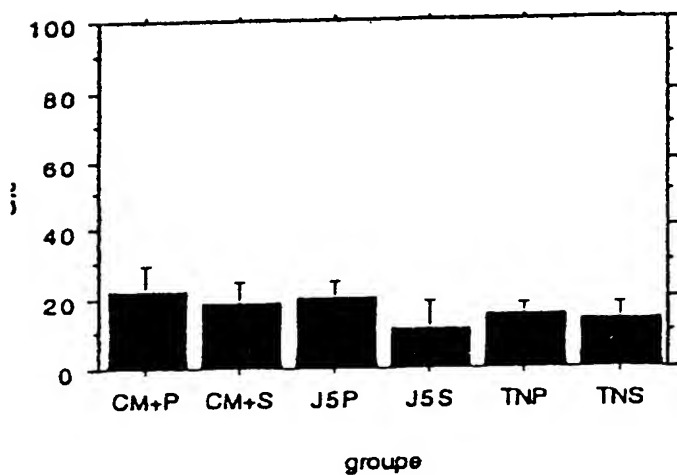
**FIG. 75E**

Tableau ANOVA pour TCRBV09

	ddl	Somme des carrés	Carré moyen	Valeur de F	Valeur de p	Lambda	Puissance
Groupe	5	901,856	180,371	1,899	,1066	9,495	,603
Résidu	65	6174,114	94,986				

	Nombre	Moyenne	Dév. Std.	Err. Std.
CM+P	15	22,693	13,552	3,499
CM+S	13	19,176	10,554	2,927
J5P	7	20,567	6,361	2,404
J5S	8	12,019	10,703	3,784
TNP	16	16,104	5,480	1,370
TNS	12	14,248	8,373	2,417

**FIG. 75F**



**FIG. 75G**

	Diff. moy.	Diff. crit.	Valeur p	
CM+P, CM+S	3,517	7,376	,3444	
CM+P, J5P	2,126	8,910	,6352	
CM+P, J5S	10,675	8,521	,0149	S
CM+P, TNP	6,589	6,995	,0644	
CM+P, TNS	8,448	7,538	,0287	S
CM+S, J5P	-1,391	9,125	,7618	
CM+S, J5S	7,158	8,746	,1070	
CM+S, TNP	3,072	7,268	,4017	
CM+S, TNS	4,928	7,792	,2110	
J5P, J5S	8,549	10,074	,0949	
J5P, TNP	4,463	8,821	,3160	
J5P, TNS	6,319	9,257	,1775	
J5S, TNP	-4,085	8,428	,3366	
J5S, TNS	-2,229	8,884	,6180	
TNP, TNS	1,856	7,433	,6196	

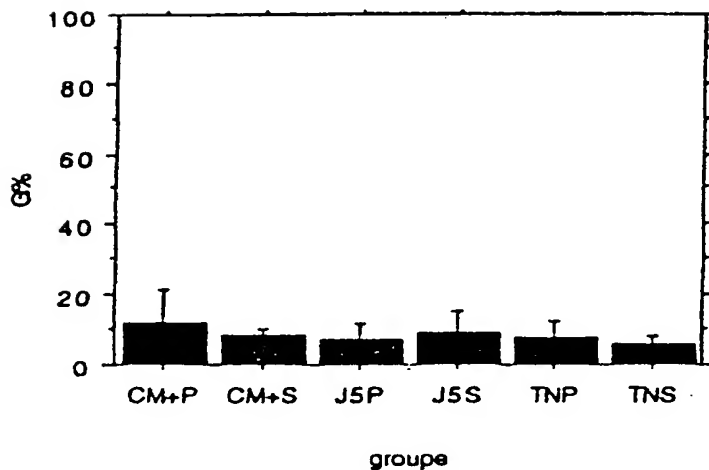
**FIG. 75H**

**FIG. 76A**

	ddl	Somme des carrés	Carré moyen	Valeur de F	Valeur de p	Lambda	Puissance
Groupe	5	386,970	73,394	,795	,5566	3,975	,268
Résidu	77	7108,560	92,319				

	Nombre	Moyenne	Dév. Std.	Err. Std.
CM+P	16	12,620	17,834	4,408
CM+S	16	8,718	3,904	,976
J5P	9	7,336	6,956	2,319
J5S	9	9,596	8,867	2,956
TNP	16	8,428	7,638	1,910
TNS	17	6,297	4,503	1,092

**FIG. 76B**



**FIG. 76C**

	Diff. moy.	Diff. crit.	Valeur p
CM+P, CM+S	3,902	6,764	,2542
CM+P, J5P	5,284	7,972	,1908
CM+P, J5S	3,024	7,972	,4523
CM+P, TNP	4,193	6,764	,2209
CM+P, TNS	6,323	6,664	,0628
CM+S, J5P	1,382	7,972	,7309
CM+S, J5S	-,878	7,972	,8270
CM+S, TNP	,290	6,764	,9322
CM+S, TNS	2,421	6,664	,4717
J5P, J5S	-2,260	9,019	,6193
J5P, TNP	-1,092	7,972	,7859
J5P, TNS	1,039	7,887	,7938
J5S, TNP	1,168	7,972	,7712
J5S, TNS	3,298	7,887	,4075
TNP, TNS	2,131	6,664	,5263

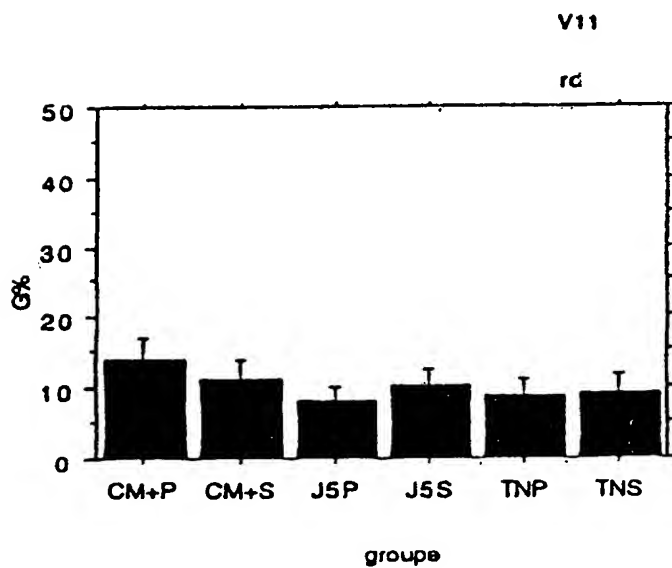
**FIG. 76D**

**FIG. 76E**

	ddl	Somme des carrés	Carré moyen	Valeur de F	Valeur de p	Lambda	Puissance
Groupe	5	326,172	65,234	3,116	,0132	15,578	,857
Résidu	74	1549,389	20,938				

	Nombre	Moyenne	Dév. Std.	Err. Std.
CM+P	15	14,370	5,385	1,390
CM+S	16	11,571	4,674	1,168
J5P	8	8,500	2,323	,821
J5S	9	10,472	3,326	1,109
TNP	16	8,931	4,625	1,156
TNS	16	9,508	4,958	1,239

**FIG. 76F**



**FIG. 76G**



	Diff. moy.	Diff. crit.	Valeur p	
CM+P, CM+S	2,799	3,277	,0929	
CM+P, J5P	5,870	3,992	,0045	S
CM+P, J5S	3,898	3,844	,0470	S
CM+P, TNP	5,439	3,277	,0015	S
CM+P, TNS	4,864	3,277	,0042	S
CM+S, J5P	3,071	3,948	,1255	
CM+S, J5S	1,098	3,799	,5663	
CM+S, TNP	2,640	3,223	,1070	
CM+S, TNS	2,064	3,223	,2059	
J5P, J5S	-1,972	4,430	,3779	
J5P, TNP	-,431	3,948	,8284	
J5P, TNS	-1,006	3,948	,6130	
J5S, TNP	1,541	3,799	,4214	
J5S, TNS	,966	3,799	,6139	
TNP, TNS	-,575	3,223	,7231	

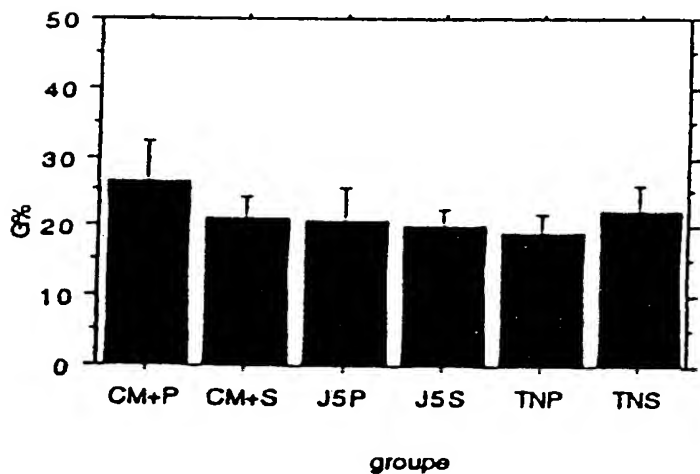
**FIG. 76H**

**FIG. 77A**

	ddl	Somme des carrés	Carré moyen	Valeur de F	Valeur de p	Lambda	Puissance
Groupe	5	440,110	88,022	1,902	.1038	9,510	.610
Résidu	76	3517,057	46,277				

	Nombre	Moyenne	Dév. Std.	Err. Std.
CM+P	13	26,706	10,267	2,848
CM+S	16	21,490	5,750	1,438
J5P	9	21,202	7,031	2,344
J5S	10	20,410	3,361	1,063
TNP	17	19,440	4,775	1,158
TNS	17	22,585	7,476	1,813

**FIG. 77B**



**FIG. 77C**

	Diff. moy.	Diff. crit.	Valeur p	
CM+P, CM+S	5,216	5,059	,0435	S
CM+P, J5P	5,504	5,875	,0659	
CM+P, J5S	6,296	5,699	,0308	S
CM+P, TNP	7,266	4,992	,0049	S
CM+P, TNS	4,121	4,992	,1043	
CM+S, J5P	,288	5,645	,9194	
CM+S, J5S	1,080	5,462	,6948	
CM+S, TNP	2,050	4,719	,3897	
CM+S, TNS	-1,095	4,719	,6454	
J5P, J5S	,792	6,225	,8006	
J5P, TNP	1,762	5,585	,5316	
J5P, TNS	-1,383	5,585	,6234	
J5S, TNP	,970	5,400	,7215	
J5S, TNS	-2,175	5,400	,4249	
TNP, TNS	-3,145	4,647	,1817	

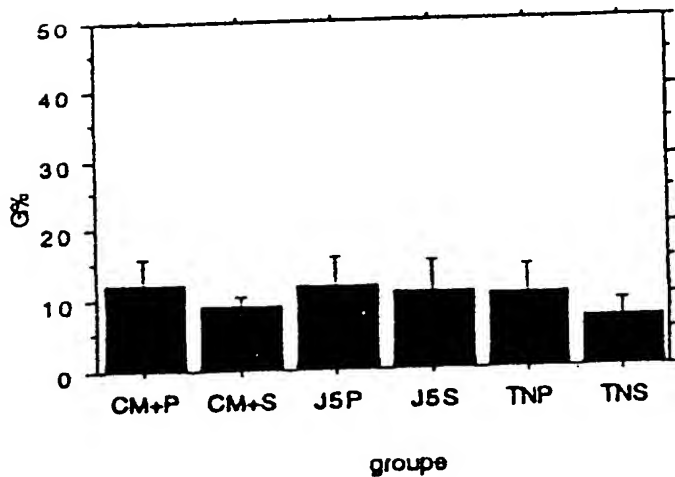
**FIG. 77D**

**FIG. 77E**

	ddl	Somme des carrés	Carré moyen	Valeur de F	Valeur de p	Lambda	Puissance
Groupe	5	271,668	54,333	1,661	.1545	8,306	.541
Résidu	75	2453,157	32,708				

	Nombre	Moyenne	Dév. Std.	Err. Std.
CM+P	14	12,637	6,567	1,755
CM+S	17	9,220	2,776	,673
J5P	9	12,000	6,015	2,005
J5S	8	11,132	5,742	2,030
TNP	16	10,616	6,055	2,014
TNS	17	7,400	4,151	1,007

**FIG. 77F**



**FIG. 77G**

	Diff. moy.	Diff. crit.	Valeur p	
CM+P, CM+S	3,417	4,112	,1020	
CM+P, J5P	,637	4,868	,7951	
CM+P, J5S	1,505	5,049	,5545	
CM+P, TNP	2,021	4,169	,3373	
CM+P, TNS	5,237	4,112	,0132	S
CM+S, J5P	-2,780	4,697	,2421	
CM+S, J5S	-1,912	4,885	,4380	
CM+S, TNP	-1,396	3,968	,4858	
CM+S, TNS	1,821	3,908	,3563	
J5P, J5S	,868	5,536	,7557	
J5P, TNP	1,384	4,747	,5630	
J5P, TNS	4,601	4,697	,0547	
J5S, TNP	,517	4,933	,8353	
J5S, TNS	3,733	4,885	,1321	
TNP, TNS	3,216	3,968	,1106	

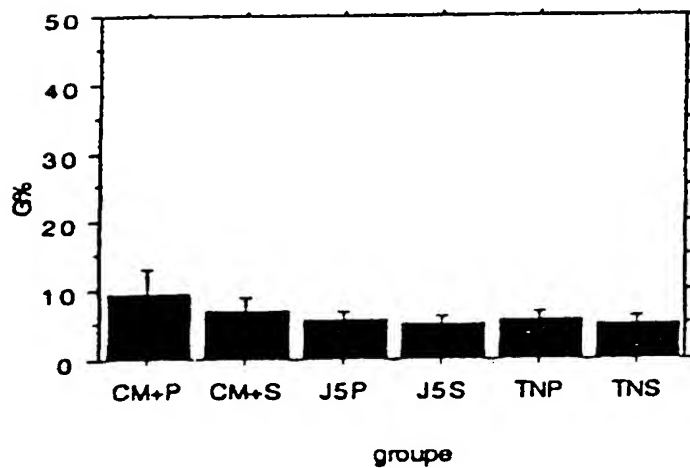
**FIG. 77H**

**FIG. 78A**

	ddl	Somme des carrés	Carré moyen	Valeur de F	Valeur de p	Lambda	Puissance
Groupe	5	212,057	42,411	2,853	,0207	14,265	,818
Résidu	74	1100,086	14,866				

	Nombre	Moyenne	Dév. Std.	Err. Std.
CM+P	15	9,609	7,302	1,885
CM+S	15	7,351	3,241	,837
J5P	8	6,045	1,246	,440
J5S	9	5,140	1,601	,534
TNP	16	5,739	2,558	,639
TNS	17	5,179	2,195	,532

**FIG. 78B**



**FIG. 78C**

	Diff. moy.	Diff. crit.	Valeur p	
CM+P, CM+S	2,258	2,805	,1130	
CM+P, J5P	3,564	3,363	,0381	S
CM+P, J5S	4,468	3,239	,0075	S
CM+P, TNP	3,870	2,761	,0066	S
CM+P, TNS	4,429	2,722	,0018	S
CM+S, J5P	1,306	3,363	,4417	
CM+S, J5S	2,210	3,239	,1781	
CM+S, TNP	1,612	2,761	,2484	
CM+S, TNS	2,171	2,722	,1161	
J5P, J5S	,905	3,733	,6305	
J5P, TNP	,306	3,327	,8549	
J5P, TNS	,866	3,294	,6020	
J5S, TNP	-,598	3,201	,7106	
J5S, TNS	-,039	3,167	,9805	
TNP, TNS	,559	2,676	,6782	

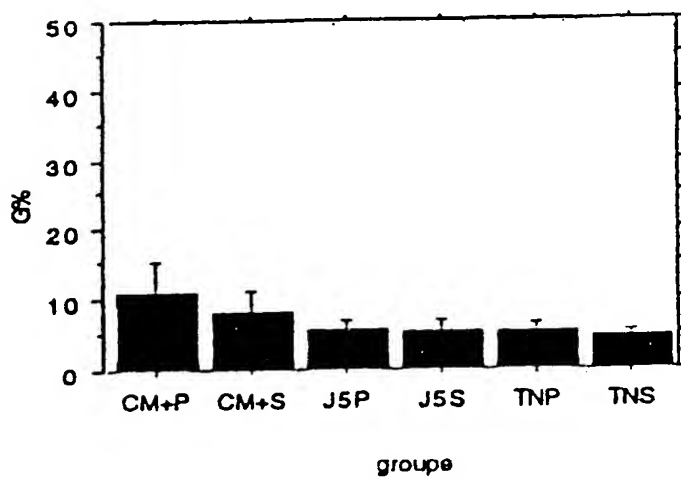
**FIG. 78D**

**FIG. 78E**

	ddl	Somme des carrés	Carré moyen	Valeur de F	Valeur de p	Lambda	Puissance
Groupe	5	392,519	78,504	3,949	,0031	19,747	,939
Résidu	75	1490,804	19,877				

	Nombre	Moyenne	Dev. Std.	Err. Std.
CM+P	13	11,151	7,292	2,022
CM+S	17	8,167	6,514	1,580
J5P	7	5,730	1,647	,622
J5S	10	5,626	1,858	,587
TNP	17	5,702	2,068	,502
TNS	17	4,728	1,904	,462

**FIG. 78F**



**FIG. 78G**



	Diff. moy.	Diff. crit.	Valeur p	
CM+P, CM+S	2,984	3,272	,0733	
CM+P, J5P	5,421	4,164	,0114	S
CM+P, J5S	5,524	3,736	,0043	S
CM+P, TNP	5,449	3,272	,0014	S
CM+P, TNS	6,422	3,272	,0002	S
CM+S, J5P	2,437	3,989	,2274	
CM+S, J5S	2,541	3,540	,1569	
CM+S, TNP	2,465	3,046	,1112	
CM+S, TNS	3,438	3,046	,0275	S
J5P, J5S	,104	4,377	,9625	
J5P, TNP	,028	3,989	,9888	
J5P, TNS	1,001	3,989	,6184	
J5S, TNP	-,076	3,540	,9682	
J5S, TNS	,898	3,540	,6148	
TNP, TNS	,973	3,046	,5264	

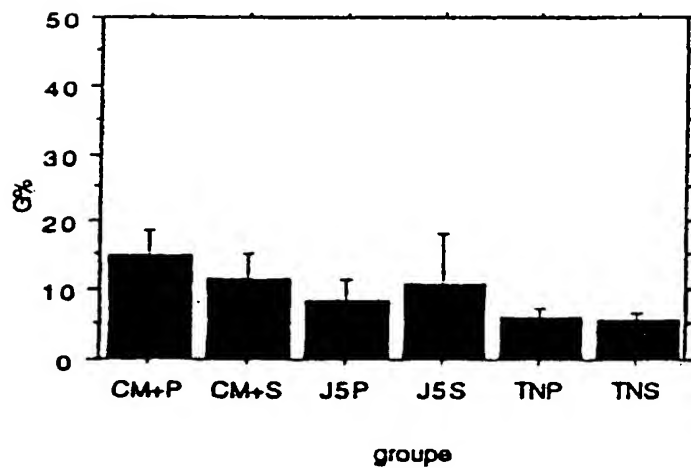
**FIG. 78H**

**FIG. 79A**

	ddl	Somme des carrés	Carré moyen	Valeur de F	Valeur de p	Lambda	Puissance
Groupe	5	993,378	198,676	4,979	,0005	24,896	,982
Résidu	77	3072,420	39,902				

	Nombre	Moyenne	Dév. Std.	Err. Std.
CM+P	15	15,315	6,773	1,749
CM+S	17	11,665	7,807	1,845
J5P	9	8,828	4,243	1,414
J5S	10	11,179	11,924	3,771
TNP	16	8,374	1,705	,426
TNS	18	5,747	1,577	,394

**FIG. 79B**



**FIG. 79C**

	Diff. moy.	Diff. crit.	Valeur p	
CM+P, CM+S	3,650	4,456	,1070	
CM+P, J5P	6,487	5,303	,0172	S
CM+P, J5S	4,136	5,135	,1129	
CM+P, TNP	8,940	4,521	,0002	S
CM+P, TNS	9,567	4,521	<,0001	S
CM+S, J5P	2,837	5,185	,2793	
CM+S, J5S	,486	5,013	,8475	
CM+S, TNP	5,291	4,381	,0186	S
CM+S, TNS	5,917	4,381	,0088	S
J5P, J5S	-2,351	5,779	,4203	
J5P, TNP	2,453	5,241	,3542	
J5P, TNS	3,080	5,241	,2455	
J5S, TNP	4,805	5,070	,0629	
J5S, TNS	5,432	5,070	,0361	S
TNP, TNS	,827	4,447	,7797	

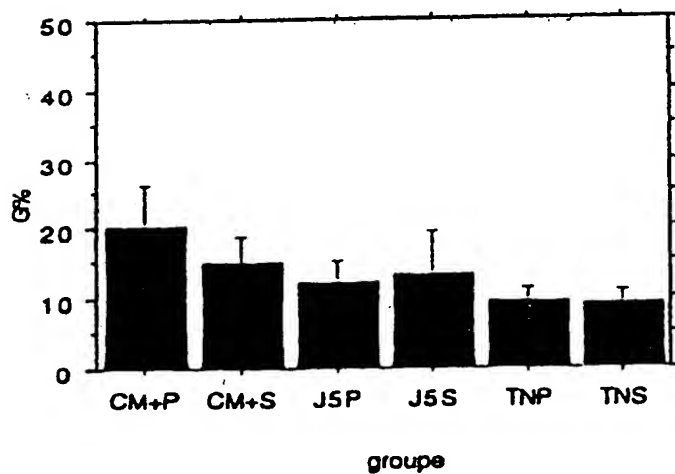
**FIG. 79D**

**FIG. 79E**

	ddl	Somme des carrés	Carré moyen	Valeur de F	Valeur de p	Lambda	Puissance
Groupe	5	1233,374	246,675	5,074	,0005	25,371	,984
Résidu	74	3597,369	48,613				

	Nombre	Moyenne	Dév. Std.	Err. Std.
CM+P	13	20,499	10,847	3,008
CM+S	17	15,442	6,952	1,686
J5P	9	12,342	4,375	1,458
J5S	10	13,509	9,623	3,108
TNP	14	9,628	3,391	,906
TNS	17	9,211	3,882	,941

**FIG. 79F**



**FIG. 79G**

	Diff. moy.	Diff. crit.	Valeur p	
CM+P, CM+S	5,057	5,119	,0527	
CM+P, J5P	8,158	6,024	,0086	S
CM+P, J5S	6,991	5,844	,0187	S
CM+P, TNP	10,871	5,351	,0001	S
CM+P, TNS	11,288	5,119	<,0001	S
CM+S, J5P	3,101	5,727	,2842	
CM+S, J5S	1,934	5,537	,4887	
CM+S, TNP	5,814	5,014	,0238	S
CM+S, TNS	6,231	4,765	,0111	S
J5P, J5S	-1,167	6,383	,7168	
J5P, TNP	2,713	5,936	,3654	
J5P, TNS	3,130	5,727	,2797	
J5S, TNP	3,880	5,752	,1830	
J5S, TNS	4,297	5,537	,1262	
TNP, TNS	,417	5,014	,8689	

**FIG. 79H**

ANOVA TABLE FOR TCRBV20						TWO WAY	
						ANOVA POWER	
	DEGREE OF FREEDOM	SQUARE SUM	MEAN SQUARE	F VALUE	P VALUE	LAMBDA CALCULATION	
GROUP	5	747,683	149,537	3,122	,0128	15,608	,860
RESIDUAL	78	3736,485	47,904				

FISCHER'S PLSD TEST FOR TCRBV20

EFFECT: GROUP

SIGNIFICANCE UNDER: 5%

	MEAN DIFFERENCE	CRITICAL DIFFERENCE	P VALUE	
CM+P, CM+S	6,950	4,973	,0068	S
CM+P, J5P	9,116	5,887	,0028	S
CM+P, J5S	7,939	5,705	,0070	S
CM+P, TNP	6,974	4,973	,0066	S
CM+P, TNS	8,482	4,973	,0011	S
CM+S, J5P	2,167	5,680	,4499	
CM+S, J5S	,990	5,491	,7208	
CM+S, TNP	,025	4,726	,9917	
CM+S, TNS	1,532	4,726	,5206	
J5P, J5S	-1,177	6,331	,7122	
J5P, TNP	-2,142	5,680	,4551	
J5P, TNS	-,635	5,680	,8245	
J5S, TNP	-,965	5,491	,7275	
J5S, TNS	,542	5,491	,8446	
TNP, TNS	1,507	4,726	,5274	

FIG. 80A

# MEAN TABLE FOR TCRBV20

EFFECT: GROUP

	NUMBER	MEAN	STANDARD DEVIATION	STANDARD ERROR OF THE MEAN
CM+P	14	19,650	12,693	3,392
CM+S	17	12,700	6,534	1,585
J5P	9	10,533	4,189	1,396
J5S	10	11,711	5,365	1,697
TNP	17	12,675	4,696	1,139
TNS	17	11,168	3,593	,871

## GRAPH OF INTERACTIONS FOR TCRBV20

EFFECT: GROUP

ERRORS BARS:  $\pm 1,96$  STANDARD ERROR OF THE MEAN

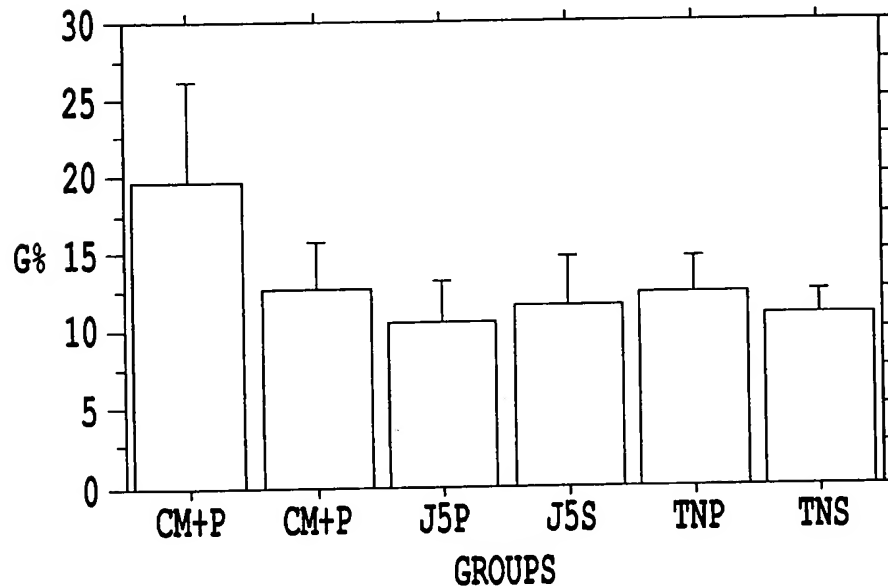


FIG. 80B

Paramètres du pic à récupérer

Taille 216  
Nature TCREV-52  
Ecrit 13

Paramètres des fichiers à utiliser

	Classeurs	Feuilles	Groupe	Nature	Remarque
1	DataFormater OG/009 v1.01	Data.1	1	RT11	
2	DataFormater OG/008 v1.03	Data.2	1	RT12	
3	DataFormater OG/007 v1.04	Data.3	1	RT13	
4	DataFormater OG/009 v1.01	Data.2	1	RT14	
5	DataFormater OG/008 v1.03	Data.3	1	RT15	
6	DataFormater OG/005.4 v1.01	Data.3	1	RT28	
7	DataFormater OG/008 v1.01	Data.3	1	RT29	
8	DataFormater OG/003 v1.01	Data.2	1	RT30	
9	DataFormater OG/003 v1.01	Data.3	1	RT31	
29	DataFormater OG/019 v1.04	Data.3	2	RS21	
30	DataFormater OG/020 v1.01	Data.2	2	RS22	
31	DataFormater OG/022 v1.04	Data.1	2	RS23	
32	DataFormater OG/021 v1.04	Data.2	2	RS24	
33	DataFormater OG/022 v1.04	Data.2	2	RS25	
19	DataFormater OG/015 v1.04	Data.2	3	R3*16	
20	DataFormater OG/019 v1.04	Data.1	3	R3*17	
21	DataFormater OG/016 v1.04	Data.2	3	R3*18	
22	DataFormater OG/019 v1.04	Data.2	3	R3*19	
23	DataFormater OG/017 v1.01	Data.2	3	R3*20	
39	DataFormater OG/010 v1.04	Data.2	4	R3*S06	
40	DataFormater OG/013 v1.04	Data.1	4	R3*S07	
41	DataFormater OG/011 v1.04	Data.2	4	R3*S08	
42	DataFormater OG/013 v1.04	Data.2	4	R3*S09	
43	DataFormater OG/012 v1.04	Data.2	4	R3*S10	

FIG. 81



AC :DA v1.05 R sans Vb19

Score R3*	Score R3*	Score R3*	
TCRBV15 :174	0,14	TCRBV15 :174	0,15
TCRBV15 :177	0,13	TCRBV15 :177	0,13
TCRBV10 :167	0,12	TCRBV05.2 :216	0,12
TCRBV16 :148	0,10	TCRBV05.2 :213	0,10
TCRBV15 :171	0,09	TCRBV05.1 :226	0,09
TCRBV05.2 :216	0,09	TCRBV08.1 :231	0,08
TCRBV15 :151	0,09	TCRBV15 :171	0,08
TCRBV14 :158	0,09	TCRBV05.1 :225	0,08

00VB	15/06/00	POVBH1	PDVBR1	PDVBR3	PDVBR3'S	00VB
TCRBV01	7,22	5,99	9,87	6		
TCRBV02	3,49	6,01	6,13	0		
TCRBV03	15,85	16,58	16,28	18		
TCRBV04	13,12	18,02	17,95	18		
TCRBV05.1	9,42	23,63	24,95	27		
TCRBV05.2	7,40	12,10	12,44	12		
TCRBV06	13,04	12,37	6,81	8		
TCRBV07	3,81	6,48	4,57	9		
TCRBV08.1	2,40	18,20	5,88	12		
TCRBV08.2	13,38	21,83	14,72	16		
TCRBV08.3	4,50	8,28	5,98	5		
TCRBV09	15,74	18,39	23,49	28		
TCRBV10	6,93	11,33	11,69	8		

FIG. 82

15/06/00	POVERTY	ADVERS.	ADVERS.	ADVERS.
TCRBV01	7,22	5,99	9,87	6
TCRBV02	3,49	6,01	6,13	0
TCRBV03	15,85	16,58	16,28	18
TCRBV04	13,12	18,02	17,95	18
TCRBV05.1	9,42	23,63	24,96	27
TCRBV05.2	7,40	12,10	12,44	12
TCRBV06	13,04	12,37	6,91	8
TCRBV07	3,81	6,49	4,57	9
TCRBV08.1	2,40	18,20	5,98	12
TCRBV08.2	13,38	21,83	14,72	16
TCRBV08.3	4,50	6,28	5,98	5
TCRBV09	15,74	18,39	23,49	28
TCRBV10	6,93	11,33	11,69	8
TCRBV11	7,35	7,88	5,97	8
TCRBV12	14,78	14,96	8,34	13
TCRBV13	11,25	10,17	12,27	9
TCRBV14	3,28	8,20	5,43	7
TCRBV15	7,85	8,52	9,27	9
TCRBV16	17,11	15,19	13,97	12
TCRBV17	15,28	11,24	15,53	19
TCRBV20	11,82	16,43	11,61	11

AC : DA v1.05 F sans Vb19

para

AC → OG

Paramètres du pic à récupérer

Analyse foie

Taille 216

Natu **FT11-FT29**

Ecrit 13

Paramètres des fichiers à utiliser

	Classeur	Feuille	Groupe	Nature	Remarque
10	DataFormater OG/006 v1.01	Data.1	1	FT11	
11	DataFormater OG/006 v1.01	Data.2	1	FT12	
12	DataFormater OG/007 v1.04	Data.1	1	FT13	
13	DataFormater OG/007 v1.04	Data.2	1	FT14	
14	DataFormater OG/008 v1.03	Data.1	1	FT15	
15	DataFormater OG/003 v1.01	Data.1	1	FT26	
16	DataFormater OG/005.4 v1.01	Data.1	1	FT27	
17	DataFormater OG/005.4 v1.01	Data.2	1	FT28	
18	DataFormater OG/006 v1.01	Data.3	1	FT29	
24	DataFormater OG/015 v1.04	Data.1	2	F3*16	
25	DataFormater OG/015 v1.04	Data.3	2	F3*17	
26	DataFormater OG/016 v1.04	Data.1	2	F3*18	
27	DataFormater OG/016 v1.04	Data.3	2	F3*19	
28	DataFormater OG/017 v1.01	Data.1	2	F3*20	
34	DataFormater OG/017 v1.01	Data.3	3	FS21	
35	DataFormater OG/020 v1.01	Data.1	3	FS22	
36	DataFormater OG/020 v1.01	Data.3	3	FS23	
37	DataFormater OG/021 v1.04	Data.1	3	FS24	
38	DataFormater OG/021 v1.04	Data.3	3	FS25	
44	DataFormater OG/012 v1.04	Data.3	4	F3*S01	
45	DataFormater OG/033 v1.04	Data.3	4	F3*S02	
46	DataFormater OG/014 v1.01	Data.1	4	F3*S03	
47	DataFormater OG/014 v1.01	Data.2	4	F3*S04	
48	DataFormater OG/014 v1.01	Data.3	4	F3*S05	
49	DataFormater OG/010 v1.04	Data.1	4	F3*S06	
50	DataFormater OG/010 v1.04	Data.3	4	F3*S07	
51	DataFormater OG/011 v1.04	Data.1	4	F3*S08	
52	DataFormater OG/011 v1.04	Data.3	4	F3*S09	
53	DataFormater OG/012 v1.04	Data.1	4	F3*S10	

FIG. 83

Classement selon le score d'alignement pour chacun des groupes

Score FT	Score F3	Score F5	Score F7
TCRBV05.1 : 222	0,52	TCRBV05.1 : 222	1,23
TCRBV05.1 : 225	0,31	TCRBV05.1 : 225	0,02
TCRBV09 : 167	0,25	TCRBV08.1 : 231	0,39
TCRBV09 : 144	0,21	TCRBV08.1 : 234	0,33
TCRBV09 : 147	0,20	TCRBV05.1 : 228	0,29
TCRBV09 : 150	0,20	TCRBV05.2 : 216	0,21
TCRBV09 : 153	0,19	TCRBV08.1 : 228	0,20
TCRBV05.2 : 219	0,18	TCRBV05.2 : 219	0,18
TCRBV09 : 184	0,17	TCRBV10 : 148	0,17
TCRBV05.2 : 210	0,14	TCRBV10 : 138	0,14
TCRBV05.1 : 228	0,13	TCRBV20 : 152	0,12
TCRBV14 : 158	0,13	TCRBV10 : 141	0,11
TCRBV13 : 168	0,12	TCRBV05.2 : 213	0,10
TCRBV05.2 : 222	0,11	TCRBV13 : 168	0,10
TCRBV01 : 173	0,11	TCRBV15 : 174	0,09
TCRBV12 : 204	0,10	TCRBV10 : 135	0,09
TCRBV10 : 138	0,10	TCRBV18 : 145	0,09
TCRBV01 : 176	0,10	TCRBV14 : 158	0,09
TCRBV12 : 210	0,10	TCRBV09 : 147	0,08
TCRBV15 : 174	0,10	TCRBV05.2 : 222	0,08
TCRBV10 : 141	0,10	TCRBV10 : 151	0,08
TCRBV12 : 201	0,10	TCRBV20 : 155	0,08
TCRBV15 : 177	0,09	TCRBV15 : 177	0,08
TCRBV20 : 155	0,08	TCRBV08.2 : 228	0,08
TCRBV14 : 155	0,08	TCRBV03 : 153	0,08
TCRBV20 : 162	0,08	TCRBV13 : 165	0,07
TCRBV13 : 185	0,08	TCRBV20 : 149	0,07
TCRBV10 : 151	0,08	TCRBV07 : 180	0,07
TCRBV08.1 : 231	0,07	TCRBV14 : 155	0,06
TCRBV02 : 150	0,07	TCRBV19 : 167	0,06
TCRBV14 : 161	0,07	TCRBV15 : 171	0,06
TCRBV20 : 149	0,07	TCRBV08.3 : 217	0,06
TCRBV01 : 179	0,07	TCRBV16 : 142	0,06
TCRBV08.1 : 228	0,07	TCRBV09 : 150	0,06
TCRBV12 : 207	0,07	TCRBV06 : 146	0,06
TCRBV12 : 204	0,06		
TCRBV13 : 168	0,06		
TCRBV01 : 176	0,05		
TCRBV03 : 153	0,05		
TCRBV10 : 135	0,05		
TCRBV02 : 158	0,05		
TCRBV12 : 207	0,05		
TCRBV02 : 161	0,05		
TCRBV14 : 158	0,05		
TCRBV13 : 165	0,05		
TCRBV15 : 177	0,04		
TCRBV04 : 195	0,04		
TCRBV05.1 : 231	0,04		
TCRBV20 : 152	0,04		
TCRBV20 : 155	0,04		
TCRBV08.2 : 228	0,04		
TCRBV01 : 173	0,04		
TCRBV06 : 146	0,04		
TCRBV10 : 138	0,22		
TCRBV15 : 177	0,21		
TCRBV13 : 168	0,20		
TCRBV08 : 153	0,20		
TCRBV05.2 : 218	0,20		
TCRBV05.1 : 225	0,17		
TCRBV01 : 176	0,16		
TCRBV10 : 141	0,15		
TCRBV08 : 147	0,15		
TCRBV05.2 : 213	0,14		
TCRBV15 : 174	0,13		
TCRBV05.2 : 219	0,12		
TCRBV01 : 173	0,11		
TCRBV08 : 146	0,11		
TCRBV08.1 : 231	0,11		
TCRBV05.1 : 228	0,11		
TCRBV05.1 : 231	0,11		
TCRBV13 : 165	0,10		
TCRBV09 : 150	0,10		
TCRBV10 : 135	0,10		
TCRBV08 : 149	0,09		
TCRBV08 : 144	0,08		
TCRBV15 : 171	0,08		
TCRBV11 : 154	0,08		
TCRBV14 : 158	0,08		
TCRBV01 : 170	0,08		
TCRBV08.1 : 228	0,07		
TCRBV07 : 180	0,07		
TCRBV08.1 : 234	0,06		
TCRBV08 : 143	0,06		
TCRBV05.1 : 222	0,06		
TCRBV14 : 161	0,06		
TCRBV03 : 156	0,06		
TCRBV08.2 : 228	0,06		
TCRBV07 : 183	0,06		

FIG. 84

Cases	Groups	TCRE
RT3	1	0,00
RT4	1	0,00
RT5	1	0,00
RT6	1	0,00
R11	1	0,00
R12	1	0,00
R13	1	0,00
R14	1	0,00
R15	1	0,00
RS21	2	0,00
RS22	2	0,00
RS23	2	0,00
RS24	2	0,00
RS25	2	0,00
R3*16	3	0,00
R3*17	3	0,00
R3*18	3	0,00
R3*19	3	0,00
R3*17	3	0,00
R3*S6	4	0,00
R3*S7	4	0,00
R3*S8	4	0,00
R3*S9	4	0,00
R3*S10	4	0,00
FT26	5	0,00
FT27	5	0,00
FT28	5	0,00
FT11	5	0,00
FT29	5	0,00
FT12	5	0,87
FT13	5	0,00
FT14	5	2,61
FT15	5	0,00
FS21	6	2,16
FS22	6	0,00
FS23	6	3,29
FS24	6	0,00
FS25	6	0,00
F3*16	7	0,00
F3*17	7	0,00
F3*18	7	0,00
F3*19	7	0,00
F3*20	7	0,00
F3*S1	8	0,00
F3*S2	8	0,00
F3*S3	8	0,00
F3*S4	8	0,00
F3*S5	8	0,00
F3*S6	8	0,00
F3*S7	8	0,00
F3*S8	8	0,00
F3*S9	8	0,00
F3*S10	8	0,00

Organe { F = foie  
R = rate

Groupe { T = témoin  
S = directement infecté  
Expérimental { 3\* = immunisé 3 fois  
3\*S = immunisé 3 fois,  
puis infecté !

*FIG. 85*

FIG. 86

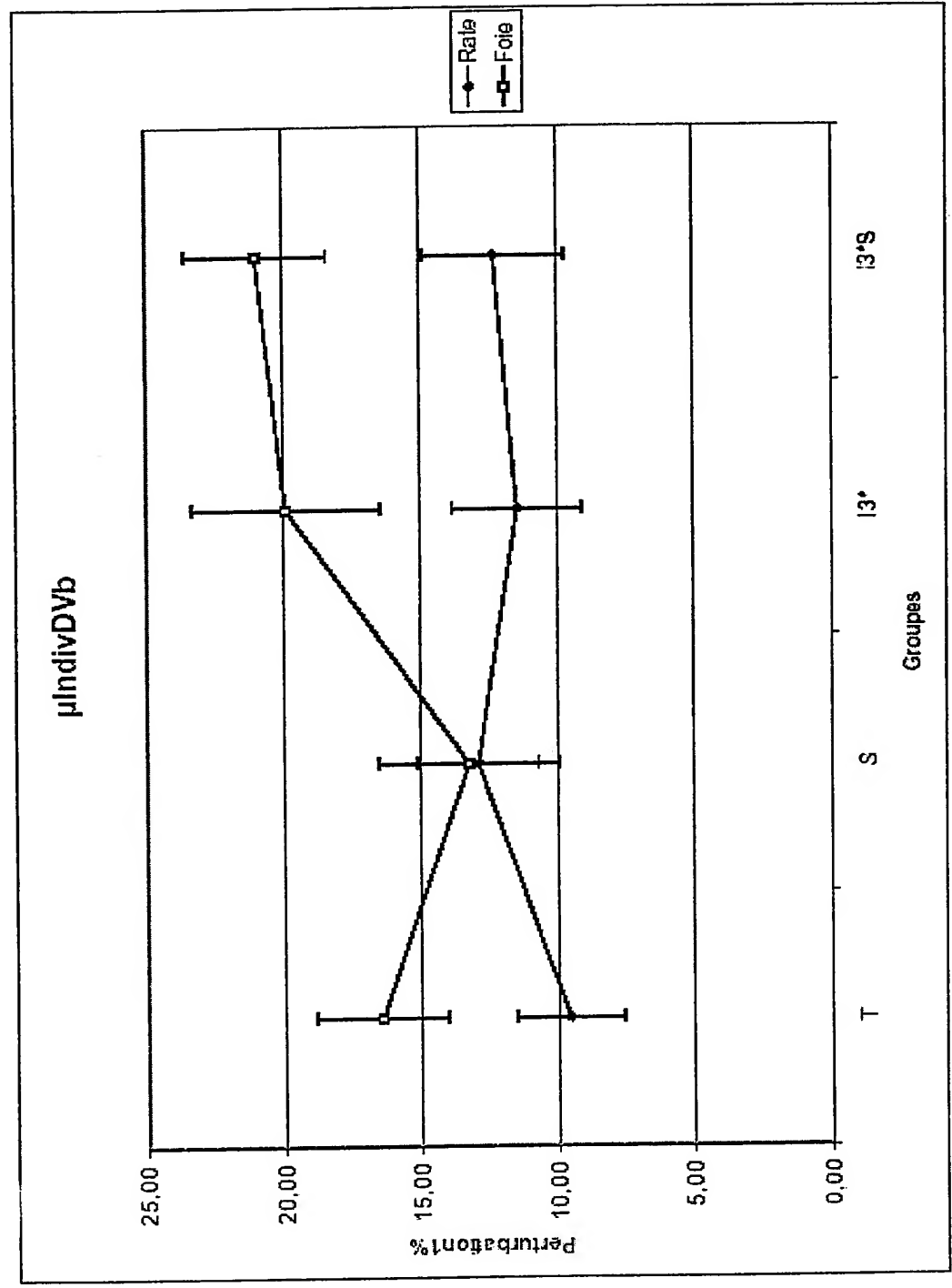


FIG. 87

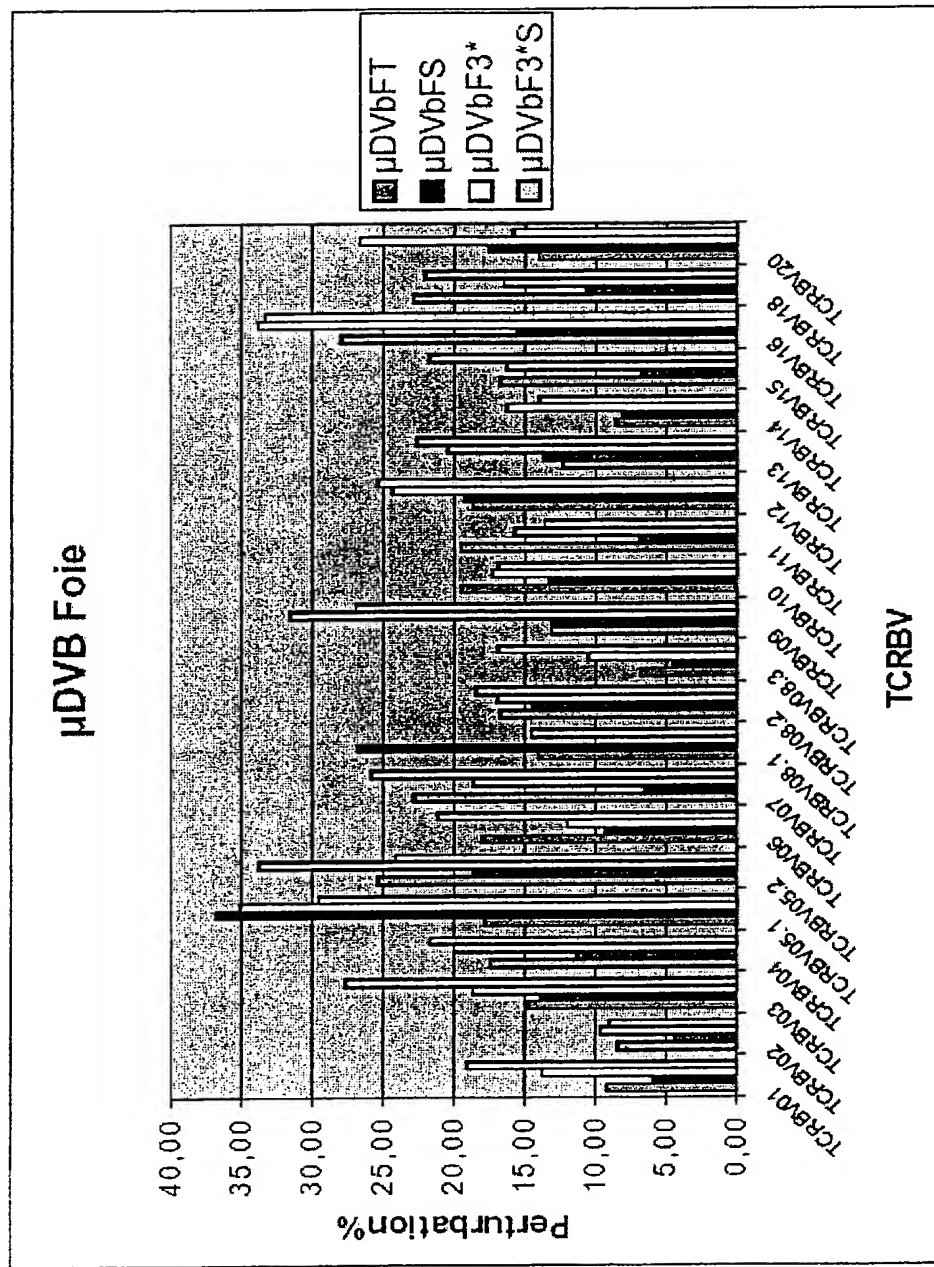


FIG. 88

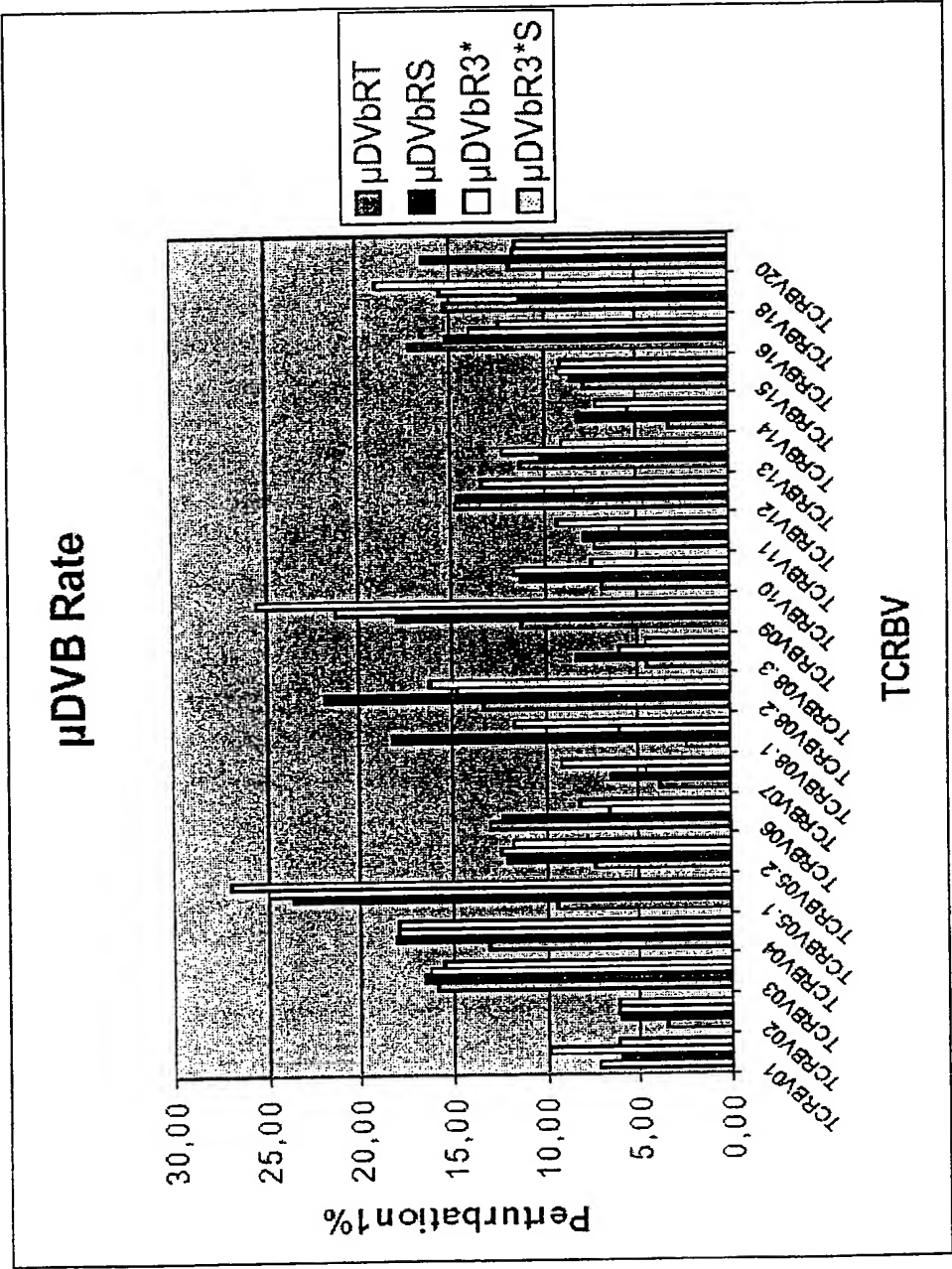


FIG. 89A

Tableau ANOVA pour TCREVO1

ddl	Somme des carrés	Carré moyen	Valeur de F	Valeur de D	Lambda	Puissance
3	301,294	100,431	1,000	,3734	3,197	,262
1	345,472	345,472	3,558	,0021	3,006	,451
3	277,688	92,555	,982	,4090	2,845	,243
44	4140,839	94,248				

Group  
Organe  
Groupes \* Organe  
Résultats



FIG.89B

DBLON ET AL (703) 413-3000  
DOCKET # 263996US0X PCT  
NV. Alexis COLLETTE et al.  
JSSN 10/519,950  
Reply to O.A. DATED NOVEMBER 1, 2007  
REPLACEMENT SHEET(S)

Tableau de moyennes pour TCRQV01  
Ellet : Groupe 1 Organe

	Nombre	Moyenne	Dev. Std.	Err. Std.
T, R	9	7,222	8,452	2,817
T, F	8	8,872	8,703	3,077
S, R	5	5,986	1,404	,655
S, F	5	7,907	,810	,382
13', R	5	9,871	9,730	4,352
13', F	5	14,886	11,284	6,040
13'S, R	5	6,113	3,748	1,076
13'S, F	10	10,010	15,238	4,819

FIG. 89C

Test PLSD de Fisher pour TCRBVD1

Effet : Groupe

Niveau de significativité : 5 %

	Ord.	mo.	Diff.	crit.	Valeur p
T, S	1,047	7,797			,7879
T, 13°	-4,385	7,797			,2631
T, 13°S	-6,713	6,531			,0573
S, 13°	-5,433	8,750			,2174
S, 13°S	-7,760	7,866			,0566
13°, 13°S	-2,328	7,888			,5800

FIG.89D

Test PLSD de Fisher pour TCRDV01  
Effet : Organe  
Niveau de significativité : 5 %

	DHL moy.	DHL crit.	Valeur p
R, F	-0,109	5,443	,0287

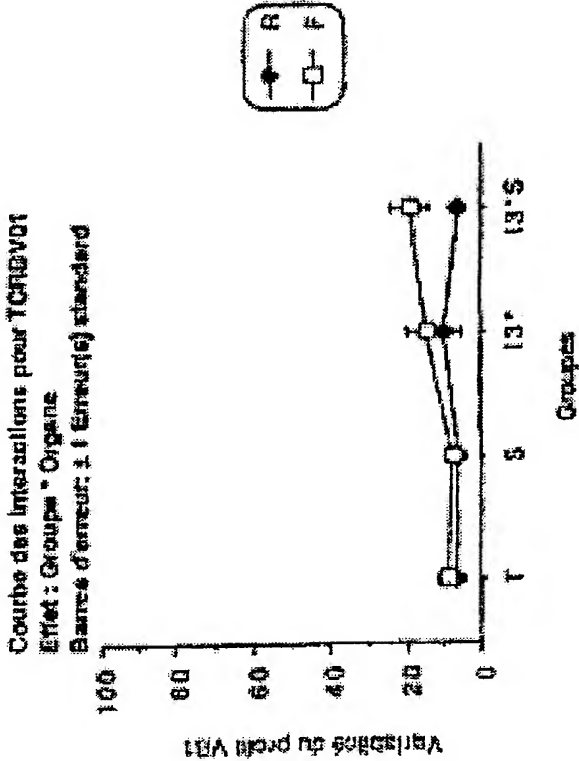


Tableau ANDVA pour TCRBV02

	cdi	Somme des carrés	Carré moyen	Valeur de F	Valeur de p	Lambda	Puissance
Groupe	3	58,308	19,769	1,781	,1647	5,343	,422
Organe	1	113,912	113,912	10,262	,0025	10,262	,697
Groupe * Organe	3	56,871	18,957	1,708	,1792	5,123	,406
Total	44	488,432	11,101				

FIG. 89E

FIG. 89F

Tableau des moyennes pour TCREV02  
Effet : Groupe \* Organe

	Nombre	Moyenne	Dév. Std.	Err. Std.
T, R	9	3,490	2,263	,751
T, F	9	6,657	5,581	1,963
S, R	5	6,006	2,337	1,045
S, F	5	5,307	1,494	,804
I3, R	5	6,135	1,630	,729
I3, F	5	10,072	3,968	1,775
I3'S, R	5	6,090	2,025	,906
I3'S, F	10	10,022	3,518	1,113

FIG. 89G

Test PLSD de Fisher pour TCRBV02

Effet : Groupe

Niveau de significativité : 5 %

	Diff. moy.	Diff. crit.	Valeur p
T, S	,285	2,676	,0426
T, 13°	-2,181	2,676	,1075
T, 13°S	-2,790	2,378	,0226
S, 13°	-2,447	3,003	,1077
S, 13°S	-3,056	2,741	,0208
13°, 13°S	-,608	2,741	,6570

FIG.89H

Test PLSD de Fisher pour TCRBY02

Effet : Organe

Niveau de significativité : 5 %

	Diff. moy.	Diff. crit.	Valeur P
n, f	-3,682	1,808	.0003
			S

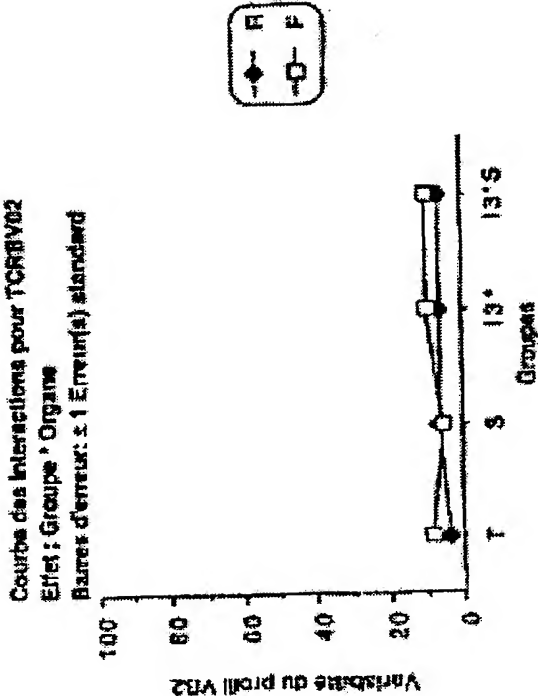


Tableau ANOVA pour TORBVS.1

ddl	Somme des carrés	Carré moyen	Valeur de F	Valeur de p	Latéda	Poisson
Groupe						
Organe	2329,744	776,581	12,458	<.0001	97,374	1,000
	292,959	292,959	4,700	.0356	4,700	.555
Groupe * Organe	157,990	52,663	.845	.4768	2,535	.213
Réside	2742,780	62,335				

FIG. 90A



FIG. 90B

OBLON ET AL (703) 413-3000  
DOCKET # 263996USOX PCT  
INV. Alexis COLLETTE et al.  
USSN 10/519,950  
Reply to O.A. DATED NOVEMBER 1, 2007  
REPLACEMENT SHEET(S)

Tableau de moyennes pour TCRBV05.1  
Effet : Groupe \* Organe

	Nombre	Moyenne	Dev. Std.	Err. Std.
T, R	9	9.418	9.307	3.102
T, F	8	10.356	10.547	3.729
S, R	5	23.630	4.660	2.174
S, F	5	32.058	4.573	2.045
I3', R	5	24.958	7.099	3.136
I3', F	5	30.188	6.922	3.096
I3'S, R	5	26.989	5.616	2.512
I3'S, F	10	26.163	6.016	2.536

FIG. 90C

Test PLED de Fisher pour TORBYVE.1  
 Effet : Groupe  
 Niveau de signification : 5 %

	Diff. moy.	Diff. crit.	Valeur p	
T, S	-15,161	6,341	<,0001	S
T, 13°	-14,865	6,341	<,0001	S
T, 13°S	-13,753	5,637	<,0001	S
S, 13°	,205	7,116	,9405	
S, 13°S	1,406	6,486	,6644	
13°, 13°S	1,143	6,486	,7247	

Test PLSD de Fisher pour TCRBV05.1

Effet : Organe

Niveau de significativité : 5 %

	Diff. moy.	Diff. crit.	Valeur p
R, F	-5.658	4.426	,0107

S

Courbe des interactions pour TCRBV05.1

Effet : Groups \* Organe

Barres d'erreur:  $\pm 1$  Erreur(s) standard

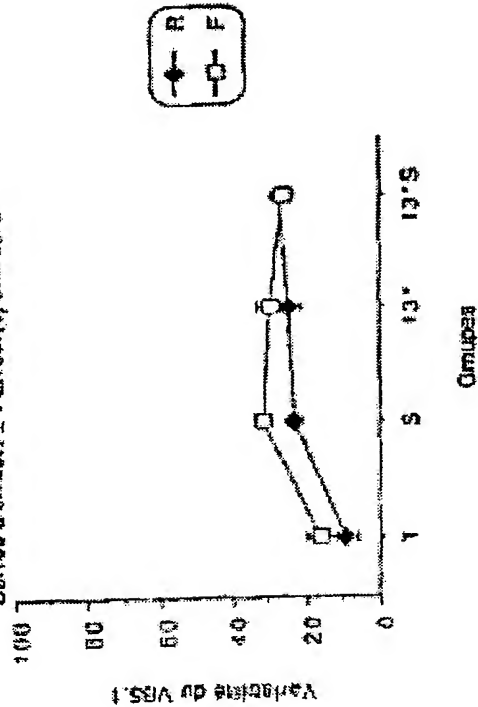


FIG. 90D

Tableau ANOVA pour TCRBV02.2

Source	ddl	Somme des carrés	Carré moyen	Valeur de F	Valeur de p	Lambda	Prééances
Groupes	3	1188,456	396,152	4,398	,0086	13,186	,849
Organes	1	2230,335	2230,335	24,743	<.0001	24,743	1,000
Groupes * Organes	3	453,445	151,148	1,677	,1858	5,030	,398
Résidu	44	3586,148	80,140				

FIG. 90E

Tableau de moyennes pour TCHV05.2

Etat : Groupe " Organe

	Nombre	Moyenne	Dév. Std.	Err. Std.
T, R	9	7,397	8,310	2,770
T, F	8	14,408	6,948	2,456
S, R	5	12,099	9,083	4,062
S, F	5	20,821	8,583	4,277
13*, R	5	12,444	7,334	3,280
13*, F	5	34,050	11,084	4,957
13*S, R	5	11,758	6,884	3,078
13*S, F	10	28,408	12,840	4,080

FIG. 90F

Test PLSO de Fisher pour TCRBV05.2  
 Effet : Groupe  
 Niveau de significativité : 5 %

	Diff. moy.	Diff. crit.	Valeur p	
T, S	-5,789	7,626	,1345	
T, 13"	-12,851	7,626	,0015	S
T, 13'S	-12,155	8,778	,0008	S
S, 13"	-7,082	8,557	,1024	
S, 13'S	-8,397	7,812	,1060	
13", 13'S	,886	7,912	,8804	

FIG. 90G

Test PLSD de Fisher pour TCRBV05.2  
Effet : Organe  
Niveau de significativité : 5 %

	Diff. moy.	Diff. crit.	Valeur p
R, F	-13.031	5.323	<.0001

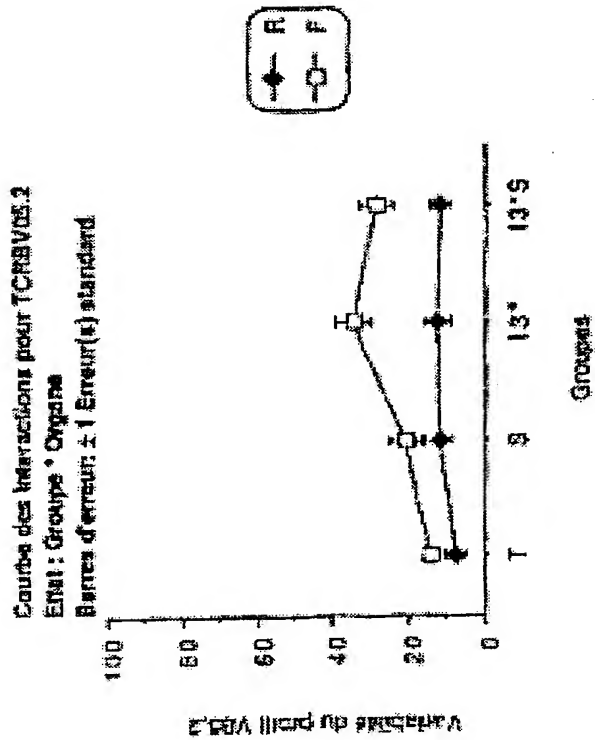


FIG. 90H

Tableau ANOVA pour TCRBV06.1

ddi	Somme des carrés	Carré moyen	Valeur de F	Valeur de p	Lambda	Puissance
2	1122,158	374,063	4,322	,0082	12,865	,843
1	893,580	603,580	8,013	,0003	8,013	,803
3	163,848	54,615	,631	,5336	1,633	,168
45	3894,843	86,552				

Groupe

Organe

Direction - Organe

Résidu

FIG. 91A



Tableau de moyennes pour TCR $\beta$ TRA.1  
Etat : Groupe "Organe"

	Nombre	Moyenne	Dév. Std.	Err. Std.
T, R	0	2,401	1,210	,403
T, F	9	15,375	11,966	3,989
S, R	5	10,203	3,900	1,744
S, F	5	24,238	13,526	6,049
13*, R	5	5,982	2,536	1,134
13*, F	5	12,889	7,068	3,181
13*S, R	5	11,682	16,553	6,955
13*S, F	10	16,248	8,140	2,890

FIG. 91B

Test PLSD de Fisher pour TORBVDL1  
Effet : Groupe  
Niveau de significativité : 5 %

	Diff. moy.	Diff. crit.	Valeur p
T, S	-12.333	7.390	.0016
T, U*	-.448	7.390	.9234
T, 13*S	-6.838	6.551	.0784
S, U*	11.886	6.380	.0065
S, 13*S	8.406	7.650	.0841
13*, 13*S	-6.380	7.650	.1427

FIG. 91C

Test PLSD de Fisher pour TCRV02.1

Effet : Organe

Niveau de significativité : 5 %

P, F	Dm. moy.	Diff. crit.	Valeur p
-8,369	5,171	,0021	8

Courbe des interactions pour TCRV02.1

Effet : Groupe \* Organe

Barres d'erreur :  $\pm 1$  Erreur(s) standard

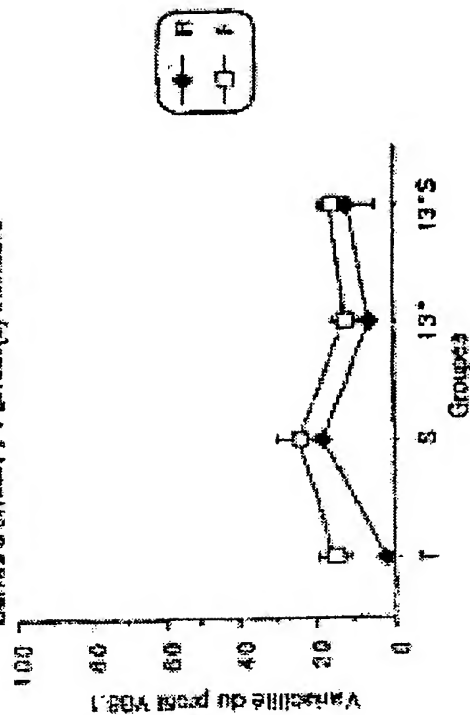


FIG. 91D

Tableau ANOVA pour TORREVIDR2

	ddl	Somme des carrés	Carré moyen	Valeur de F	Valeur de p	Latitude	Puissance
Groupes	3	61,854	20,618	,422	,7362	1,255	,126
Origine	1	6,460	6,460	,132	,7177	,132	,064
Groupes * Origine	3	254,376	84,792	1,736	,1734	5,204	,413
Résidus	45	2199,526	48,878				

FIG. 91E

Tableau des moyennes pour TCHRYOM.2  
Etat : Groupes + Organe

	Nombre	Moyenne	Dév. Std.	Er. Std.
T. R	9	13,383	4,882	1,627
T. F	9	15,148	6,011	2,004
S. R	5	21,828	10,936	4,801
S. F	5	12,804	9,454	4,228
13 <sup>+</sup> . R	5	14,720	7,502	3,396
13 <sup>+</sup> . F	5	16,325	8,149	2,760
13 <sup>2+</sup> . R	3	16,180	8,897	3,889
13 <sup>2+</sup> . F	10	17,812	4,708	1,489

FIG. 91F

FIG. 91G

Test PLSD de Fisher pour TCRN06.2

Effet : Groupe

Niveau de signification : 5 %

	Diff. moy.	Diff. crit.	Valeur p
1, 5	-2,650	5,554	.3509
1, 13	-.768	5,554	.7848
1, 13-5	-2,577	4,923	.2973
5, 13	1,793	4,297	.5882
5, 13-5	-.027	5,749	.9825
13, 13-5	-1,820	5,749	.5270

FIG. 91H

Test PLSD de Fisher pour TCREV08.2

Effet : Organe

Niveau de significativité : 5 %

	Diff. moy.	Diff. crit.	Valeur p
R, F	-.207	3.880	.9151

Courbes des interactions pour TCREV08.2

Effet : Groupe \* Organe

Barres d'erreur : 1 Erreur(s) standard

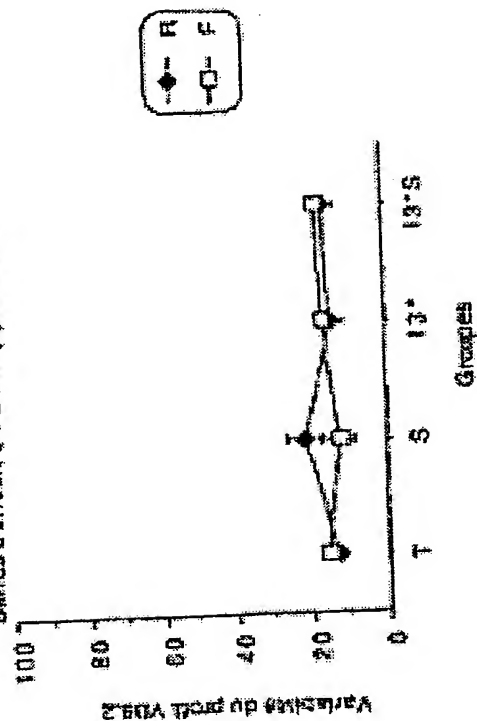


Tableau ANOVA pour TCRBHV10

Source	ddl	Somme des carrés	Carré moyen	Valeur de F	Valeur de p	Lambda	Pulsance
Organe	3	27,080	9,017	.181	.9005	.544	.081
Groupes * Organe	1	682,292	682,292	13,724	.0006	13,724	.967
	5	115,402	23,080	.774	.5148	2,321	.168
Total	45	2237,141	49,714				

FIG. 92A



Tableau de moyennes pour TCRBY10  
 Effet : Groups \* Organs

	Nombre	Moyenne	Dév. Std.	Etr. Std.
T, R	9	6,528	7,974	2,658
T, F	9	17,147	6,505	2,202
S, R	5	11,231	5,743	2,505
S, F	5	15,039	3,504	1,812
13', R	5	11,694	7,590	3,394
13', F	5	15,838	8,778	3,520
13'S, R	5	7,509	2,533	1,133
13'S, F	10	10,473	8,375	2,648

FIG. 92B

Test PLSD de Fisher pour TOABV10  
Effet : Groupe  
Niveau de signification : 5 %

	Dét. moy.	Dét. crit.	Valeur D
T, B	-1,047	5,501	,5507
T, 13"	-1,720	5,501	,5375
T, 13"S	-2,780	4,985	,2653
S, 13"	,081	6,351	,9786
S, 13"S	-1,134	5,798	,8955
13", 13"S	-1,053	5,798	,7153

FIG. 92C

Test PLSD de Fisher pour TCRBV10  
 Effet: Organe  
 Niveau de signification: 5 %  
 Org. moy. DRI crit. Valeur p  
 R, F 18.228 3.919 .0001 S

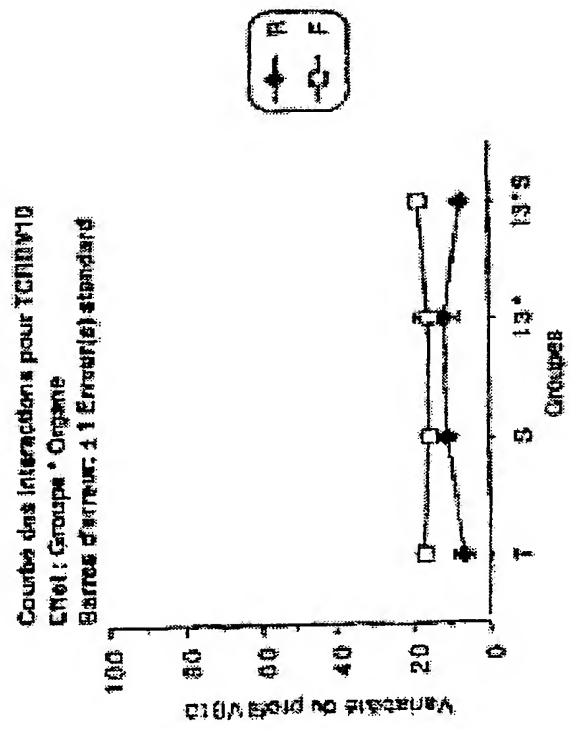


FIG. 92D

Tableau ANOVA pour TCRBV11

df	Somme des carrés	Carré moyen	Valeur de F	Valeur de p	Lambda	Puissance
3	233,800	77,933	2,572	,0001	7,715	,880
1	2349,255	2349,255	77,562	<,0001	77,562	1,000
3	127,530	42,510	1,403	,2544	4,210	,336
44	1332,711	30,289				

Groupe  
 Organe  
 Groupe \* Organe  
 Résidu

FIG. 92E

FIG. 92F

Tableau de moyennes pour TCRBV11  
Effet : Groupe \* Organe

	Nombre	Moyenne	Dev. Std.	Err. Std.
T, R	9	7.353	6.354	2.765
T, F	8	16.802	4.023	1.422
S, R	5	7.085	3.081	1.780
S, F	5	21.184	2.702	1.208
I3*, R	5	6.966	1.813	.811
I3*, F	5	22.526	6.417	2.870
I3*S, R	5	9.306	3.977	1.778
I3*S, F	10	26.025	6.032	1.908

Test PLSD de Fisher pour TCRBV11  
Effet : Groupe  
Niveau de significativité : 5 %

	Oilt. moy.	Diff. crit.	Valeur p
T, S	-2,735	4,420	,2101
T, 13'	-2,448	4,420	,2708
T, 13"S	-8,863	3,920	<,0001 S
S, 13'	,288	4,960	,9073
S, 13"S	-5,918	4,528	,0118 S
13', 13"S	-0,206	4,528	,9083 S

FIG. 92G

Test PLSD de Fisher pour TCRBY11

Effet : Organe

Niveau de significativité : 5 %

	Diff. moy.	Diff. calc.	Valeur p
R, F	-14,319	3,085	<.0001

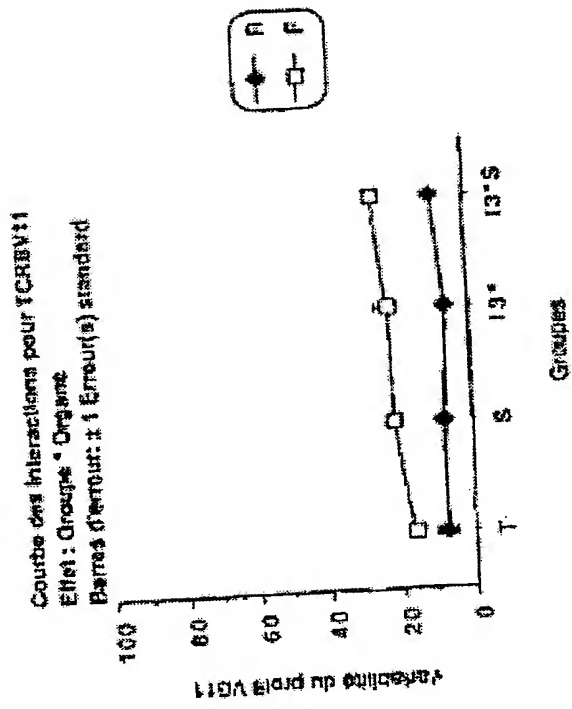


FIG. 92H

Tableau ANOVA pour TCH0V14

Group	df	Summe des carrés	Carré moyen	Valeur de F	Valeur de p	Limite	Puissance
Group	3	335,494	111,831	7,070	,0005	21,210	,078
Origine	1	411,359	411,359	26,006	<,0001	26,006	1,030
Groupes * Origines	3	231,272	77,091	4,874	,0051	14,821	,090
Résidu	45	711,807	15,818				

FIG. 93A



FIG. 93B

Tableau de moyennes pour TORBV14  
 Etat : Groupe \* Organe

	Nombre	Moyenne	Dév. Std.	Err. Std.
T. A	9	3,275	3,363	1,121
T. F	9	8,156	3,423	,808
S. A	9	8,196	2,726	1,219
S. F	5	6,830	1,772	,792
13*, A	5	5,434	2,510	1,123
13*, F	5	18,508	7,417	3,317
13*S, A	5	7,217	2,411	1,078
13*S, F	10	15,837	5,412	1,711

Test PLSD de Fisher pour TCM8V14

Etat : Groupe

Niveau de significativité : 5 %

	CHI. moy.	CHI. CR.	VERB. p
T, S	-1.801	3.159	.2571
T, 13°	-3.309	3.159	.0015
T, 13°S	-7.284	2.800	<.0001
S, 13°	-3.508	3.582	.0547
S, 13°S	-5.454	3.270	.0016
13°, 13°S	-1.986	3.270	.2347

FIG. 93C

Test PLSD de Fisher pour TCRBV14

Effet : Organe

Niveau de significativité : 5 %

	Dét. moy.	Dét. crit.	Valeur p
R, F	-8,467	2,210	<,0001 S

Courbe des interactions pour TCRBV14

Effet : Groupe \* Organe

Barres d'erreur:  $\pm 1$  Erreur(s) standard

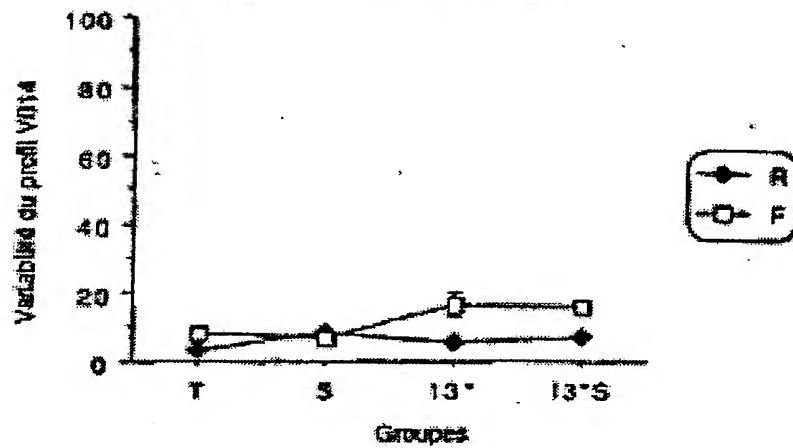


FIG. 93D

FIG. 93E

Tableau ANOVA pour TOREV15

ddl	Somme des carrés	Carré moyen	Valeur de F	Valeur de p	Lambda	Puissance
0	163,813	51,271	1,141	,3429	3,424	,279
1	1226,163	1226,163	27,286	<,0001	27,289	1,000
3	87,328	29,109	,649	,5884	1,944	,171
44	1070,302	44,916				

Groupe

Organe

Groupe \* Organe

Résidu

Tableau de moyennes pour TCRV15  
 Effet : Groupe \* Organe

	Nombre	Moyenne	Max. Std.	Err. Std.
T, R	9	7,854	8,273	2,758
T, F	8	16,558	6,044	2,137
S, R	5	8,318	2,137	,950
S, F	5	16,284	3,618	1,818
I3', R	5	9,270	2,657	1,188
I3', F	5	20,150	11,402	5,140
I3'S, R	5	9,082	4,892	2,188
I3'S, F	10	23,008	7,072	2,236

FIG. 93F

est PLSD de Fisher pour TCRV15  
 Nat : Groupe  
 Niveau de signification : 5 %

	Diff. moy.	Diff. crit.	Valeur p
T, \$	,101	5,363	,9700
T, 13°	-2,708	5,363	,3161
T, 13°S	-6,424	4,785	,0097 \$
S, 13°	-2,809	6,040	,3537
S, 13°E	-6,525	5,514	,0215 \$
13°, 13°S	-3,718	5,614	,1614

FIG. 93G

Test PLSD de Fisher pour TCRBV15  
Effet : Organe  
Niveau de significativité : 5 %  
OHI, moy, DM, crit. Valeur p  
R<sub>1</sub> F -10.796 3.757 <.0001 S

FIG. 93H

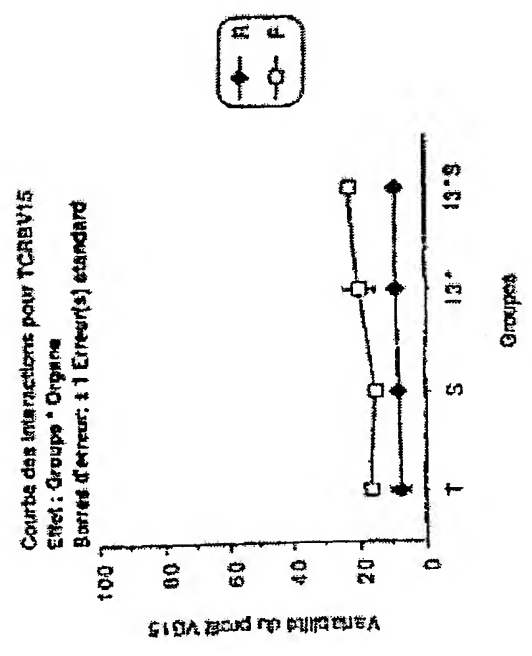


Tableau ANOVA pour TCRBY20

df	Somme des carrés	Carré moyen	Valeur de F	Valeur de p	Lambda	Puissance
3	326,683	108,888	1,907	.1423	5,722	.450
1	588,101	588,101	10,301	.0025	10,301	.988
3	282,288	87,429	1,531	.2197	4,594	.366
44	2512,080	57,093				

Groupe  
Organe  
Groupe \* Organe  
Résidu

FIG. 94A



Tableau de moyennes pour TCRBV20  
Effet : Groupe \* Organe

	Nombre	Moyenne	Dév. Std.	Err. Std.
T, R	9	11,020	7,851	2,617
T, F	8	14,779	7,748	2,738
B, R	5	16,432	4,136	1,850
S, F	6	20,553	4,370	1,854
13*, R	8	11,612	3,083	1,383
13*, F	5	26,895	13,297	5,947
13*S, R	5	11,495	4,683	2,094
13*S, F	10	17,170	8,304	2,628

FIG. 94B

FIG. 94C

Test PLSD de Fisher pour TORREV20  
Effet : Groupe  
Niveau de signification : 5 %

	Diff. moy.	Diff. crit.	Valeur p
T, S	-5,203	6,069	,0963
T, 13'	-6,044	6,069	,0509
T, 13'S	-2,068	5,384	,4438
S, 13'	-,761	6,010	,8228
S, 13'S	3,214	6,217	,3031
13', 13'S	3,976	6,217	,2042

FIG. 94D

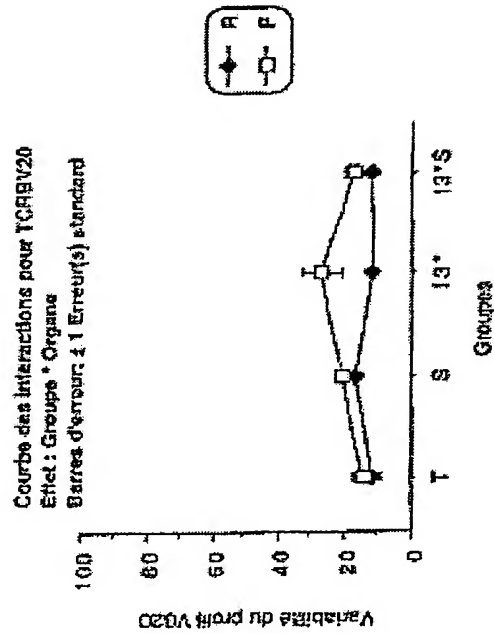
Test PLSD de Fisher pour TCRBV20

Effet : Organe

Niveau de significativité : 5 %

	Diff. moy.	Diff. crit.	Valeur p
R, F	6.158	4.236	.0054

S



- Seul sera détaillé ici les résultats concernant l'indice Gorochov. Les autres indices ne donnent dans cette étude aucun résultat pertinent (nature plurimodale des profils de certaines unités expérimentales).
- ❖ Le type d'infection influe en moyenne sur l'indice Gorochov observé pour les différents Vb étudiés.
- ❖ L'organe influe en moyenne sur l'indice Gorochov observée pour les différents Vb étudiés.
- ❖ L'indice Gorochov observé, en moyenne, sur les différents groupes n'est pas la même selon l'organe considéré.

Résultats de l'ANOVA correspondante: (@ : avec effet d'interaction)

	Effet groupe OUI	Effet groupe NON
Effet organe OUI	5.1 {F3* (222,225) FS (222,225,228)} 5.2 {RS (216) F3* (213) FS (216,219) F3*S (216)} 7 8.1 {RS (231) FS (231,228)} 8.3 @ F>>R pour le groupe I3*S. 14 @ F>>R pour les groupes I3* et I3*S.	2 6 10 {F3*S (138)} 11 12@ F>>R pour les groupes I3* et I3*S. 13 {F3*S (168)} @ 15 {RS (174), F3*S(177)} 16 20
Effet organe NON	3 @ F>>R pour le groupe I3*S. 9 {F3*(144,147,150,153) F3*S(153)} 18	1 4 8.2

Rq. Les Vb pour lesquels l'indice d'oligoclonalité de certains pics est supérieur au seul de celui du groupe témoin sont suivis, entre parenthèses des groupes concernés.

**FIG. 95A**

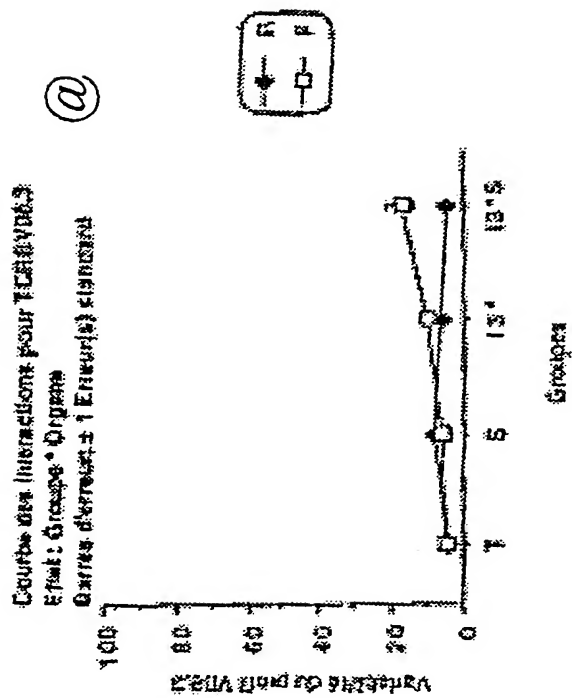


FIG. 95B

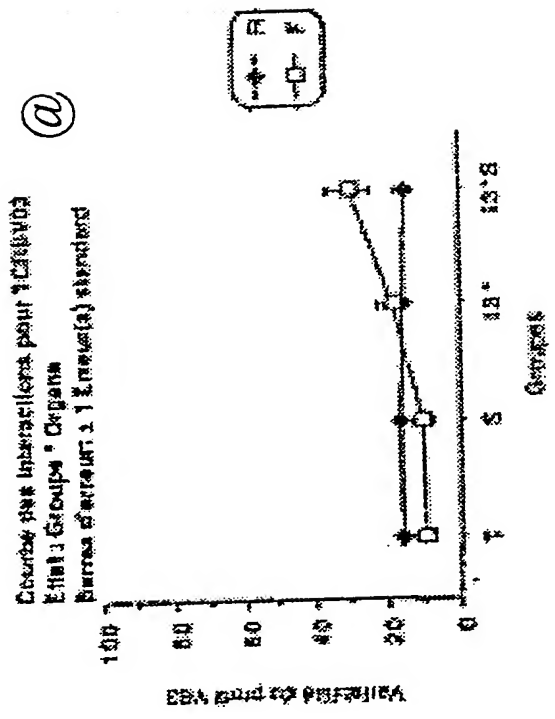
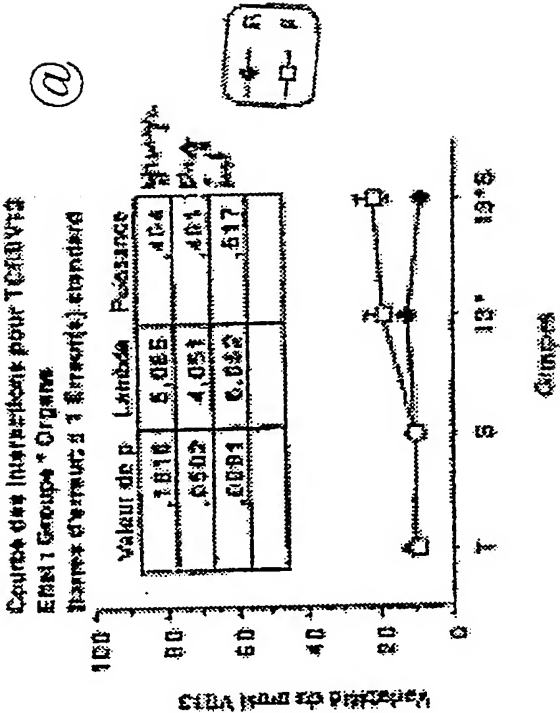


FIG. 95C

FIG. 95D



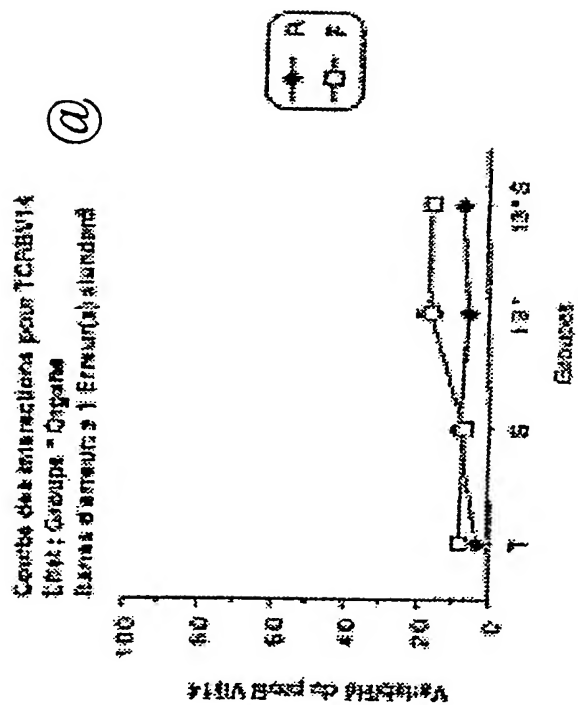


FIG. 95E



FIG. 95F

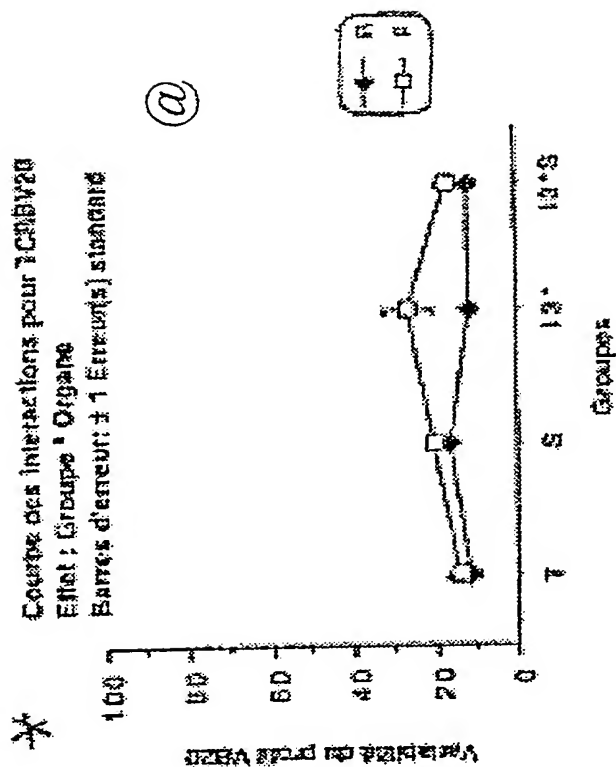
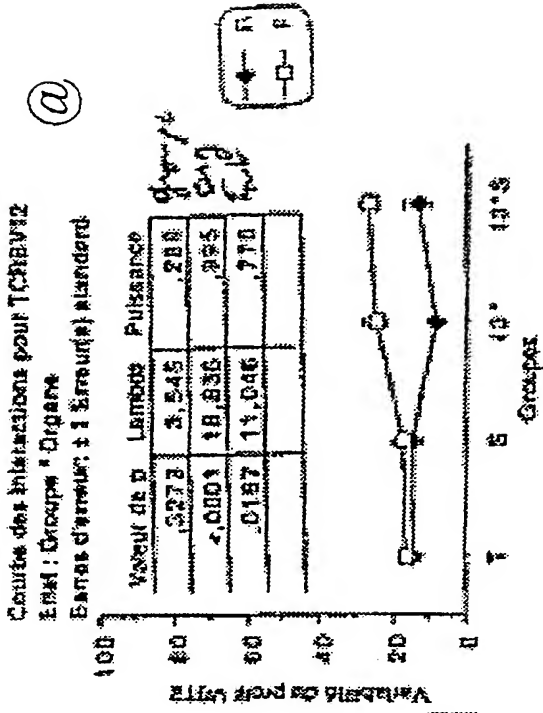
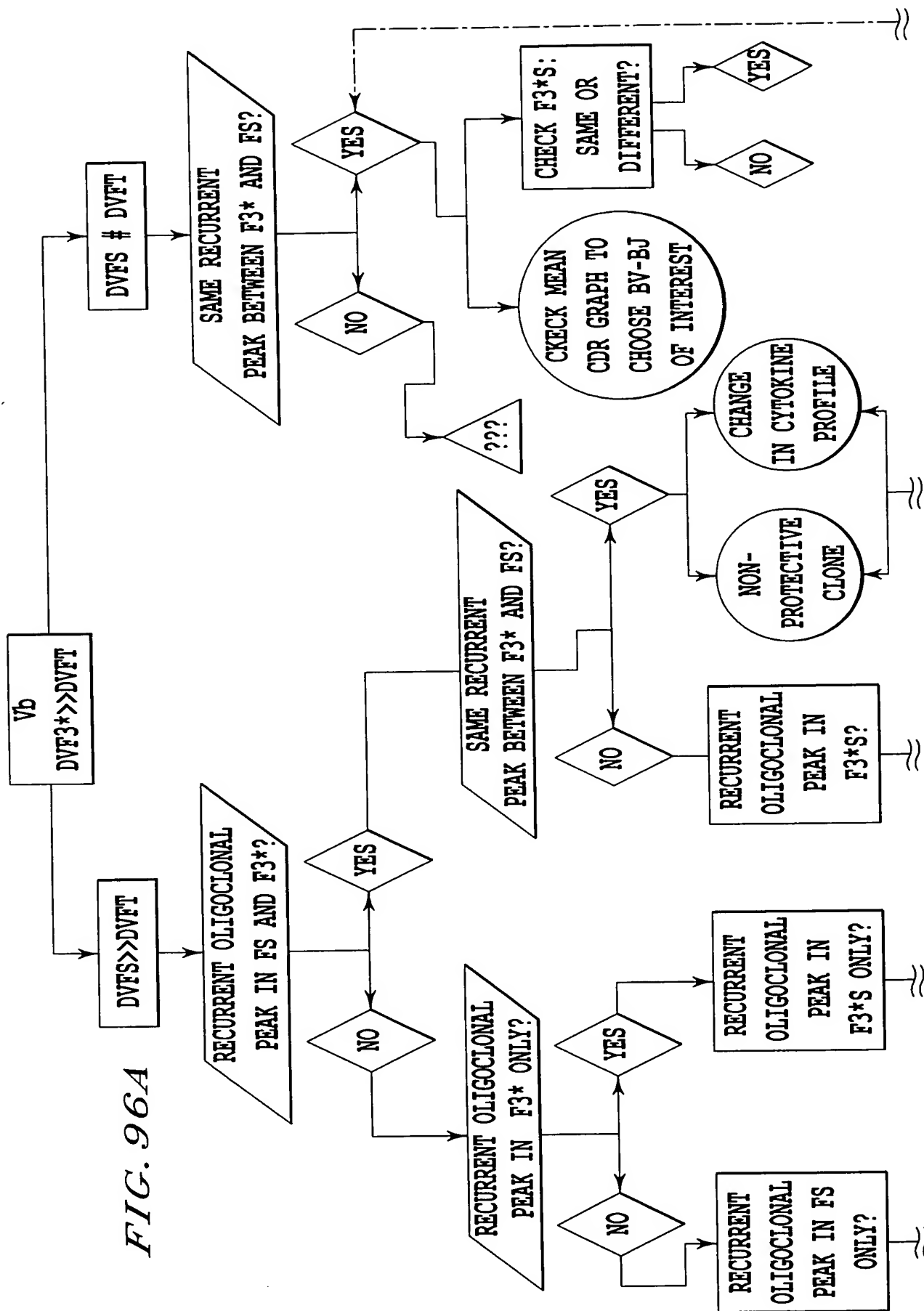
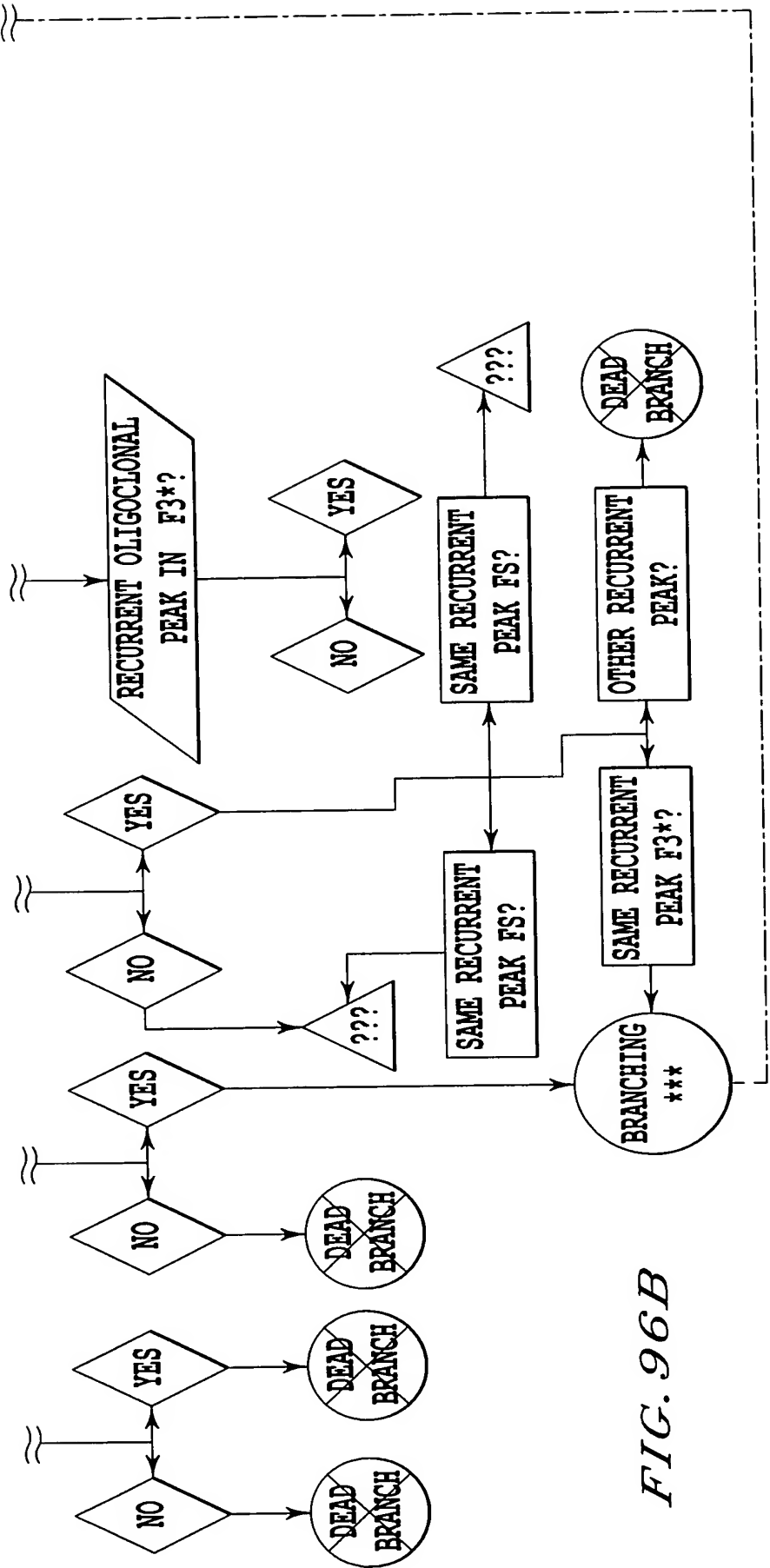


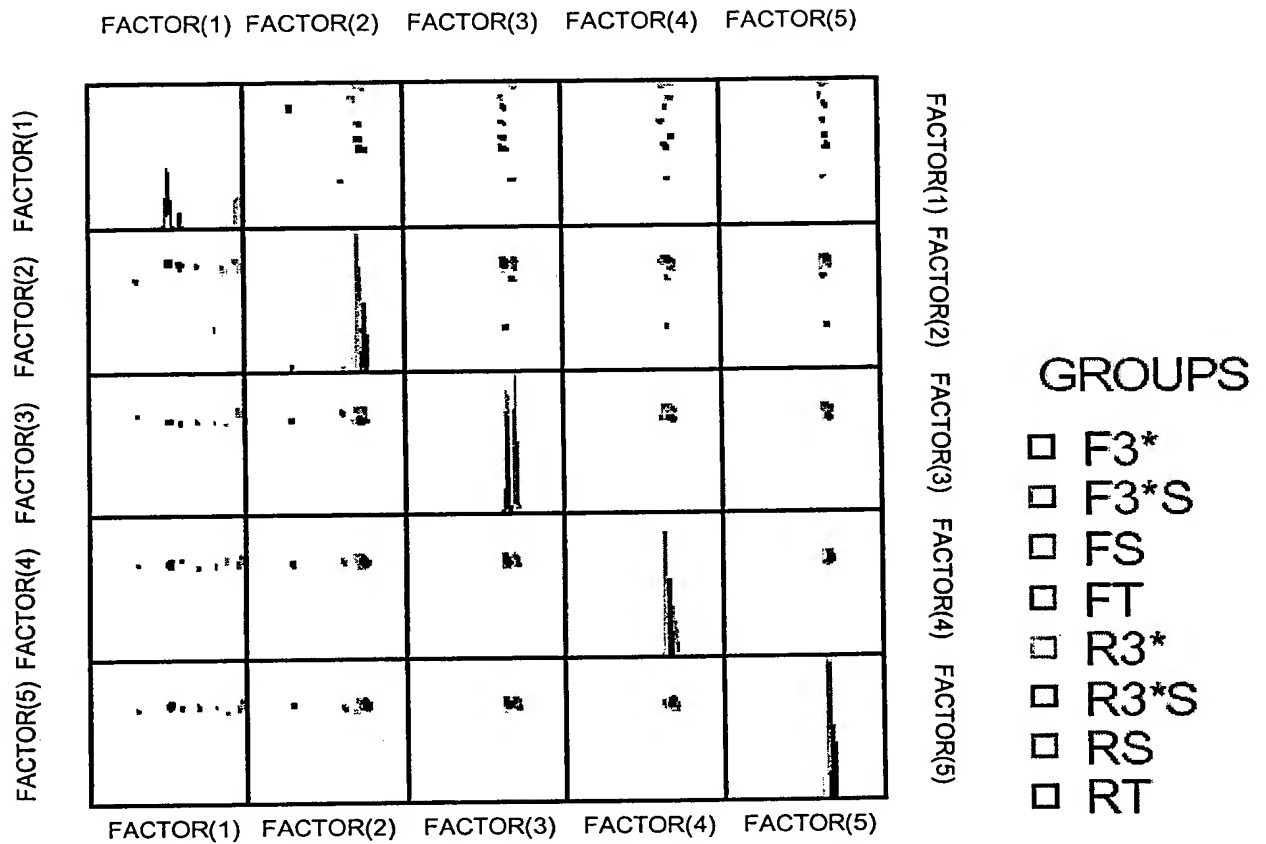
FIG. 95G







## Canonical Scores Plot



**FIG. 97**

SYSTAT Rectangular file C:\Utilisateurs\OGp8586\Pr81OG290802.SYD,  
created Thu Aug 29, 2002 at 15:24:34, contains variables:

CASE\$	GROUPS\$	TCRBV01_	TCRBV01_	TCRBV01_
TCRBV01_	TCRBV01_	TCRBV01_	TCRBV01_	TCRBV01_
TCRBV02_	TCRBV02_	TCRBV02_	TCRBV02_	TCRBV02_
TCRBV02_	TCRBV03_	TCRBV03_	TCRBV03_	TCRBV03_
TCRBV03_	TCRBV03_	TCRBV03_	TCRBV03_	TCRBV03_
TCRBV04_	TCRBV04_	TCRBV04_	TCRBV04_	TCRBV04_
TCRBV04_	TCRBV04_	TCRBV04_	TCRBV051_	TCRBV051_
TCRBV051_	TCRBV051_	TCRBV051_	TCRBV051_	TCRBV051_
TCRBV052_	TCRBV052_	TCRBV052_	TCRBV052_	TCRBV052_
TCRBV052_	TCRBV052_	TCRBV06_	TCRBV06_	TCRBV06_
TCRBV06_	TCRBV06_	TCRBV06_	TCRBV06_	TCRBV06_
TCRBV07_	TCRBV07_	TCRBV07_	TCRBV07_	TCRBV07_
TCRBV07_	TCRBV07_	TCRBV081_	TCRBV081_	TCRBV081_
TCRBV081_	TCRBV081_	TCRBV081_	TCRBV081_	TCRBV082_
TCRBV082_	TCRBV082_	TCRBV082_	TCRBV082_	TCRBV082_
TCRBV083_	TCRBV083_	TCRBV083_	TCRBV083_	TCRBV083_
TCRBV083_	TCRBV083_	TCRBV083_	TCRBV09_	TCRBV09_
TCRBV09_	TCRBV09_	TCRBV09_	TCRBV09_	TCRBV09_
TCRBV09_	TCRBV09_	TCRBV10_	TCRBV10_	TCRBV10_
TCRBV10_	TCRBV10_	TCRBV10_	TCRBV10_	TCRBV11_
TCRBV11_	TCRBV11_	TCRBV11_	TCRBV11_	TCRBV11_
TCRBV11_	TCRBV11_	TCRBV11_	TCRBV12_	TCRBV12_
TCRBV12_	TCRBV12_	TCRBV12_	TCRBV12_	TCRBV12_
TCRBV13_	TCRBV13_	TCRBV13_	TCRBV13_	TCRBV13_
TCRBV13_	TCRBV13_	TCRBV13_	TCRBV14_	TCRBV14_
TCRBV14_	TCRBV14_	TCRBV14_	TCRBV14_	TCRBV14_
TCRBV15_	TCRBV15_	TCRBV15_	TCRBV15_	TCRBV15_
TCRBV15_	TCRBV15_	TCRBV15_	TCRBV16_	TCRBV16_
TCRBV16_	TCRBV16_	TCRBV16_	TCRBV16_	TCRBV16_
TCRBV18_	TCRBV18_	TCRBV18_	TCRBV18_	TCRBV18_
TCRBV18_	TCRBV18_	TCRBV18_	TCRBV18_	TCRBV18_
TCRBV20_	TCRBV20_	TCRBV20_	TCRBV20_	TCRBV20_
TCRBV20_	TCRBV20_	TCRBV20_		

Latent Roots (Eigenvalues)

1	2	3	4	5
806.097	574.767	525.021	474.758	360.278
6	7	8	9	10
326.711	312.488	234.426	220.247	205.757
11	12	13	14	15
197.164	187.097	166.789	160.829	147.404
16	17	18	19	20
130.104	128.438	120.749	108.967	98.134
21	22	23	24	25

**FIG.98A**

**FIG. 98B**

90.690	78.013	76.711	61.271	59.256
26	27	28	29	30
50.362	48.663	39.763	37.130	32.355
31	32	33	34	35
29.161	26.169	24.054	21.550	20.080
36	37	38	39	40
18.509	17.875	15.007	13.936	12.903
41	42	43	44	45
11.317	9.508	8.822	8.187	7.641
46	47	48	49	50
6.640	5.734	4.707	4.103	3.624
51	52	53	54	55
3.345	2.374	0.000	0.000	0.000
56	57	58	59	60
0.000	0.000	0.000	0.000	0.000
61	62	63	64	65
0.000	0.000	0.000	0.000	0.000
66	67	68	69	70
0.000	0.000	0.000	0.000	0.000
71	72	73	74	75
0.000	0.000	0.000	0.000	0.000
76	77	78	79	80
0.000	0.000	0.000	0.000	0.000
81	82	83	84	85
0.000	0.000	0.000	0.000	0.000
86	87	88	89	90
0.000	0.000	0.000	0.000	0.000
91	92	93	94	95
0.000	0.000	0.000	0.000	0.000
96	97	98	99	100
0.000	0.000	0.000	0.000	0.000
101	102	103	104	105

**FIG. 98C**

0.000	0.000	0.000	0.000	0.000
106	107	108	109	110
0.000	0.000	0.000	0.000	0.000
111	112	113	114	115
0.000	0.000	0.000	0.000	0.000
116	117	118	119	120
0.000	0.000	0.000	0.000	0.000
121	122	123	124	125
0.000	0.000	0.000	0.000	0.000
126	127	128	129	130
0.000	0.000	0.000	0.000	0.000
131	132	133	134	135
0.000	0.000	0.000	0.000	0.000
136	137	138	139	140
0.000	0.000	0.000	0.000	0.000
141	142	143	144	145
0.000	0.000	0.000	0.000	0.000
146	147	148	149	150
0.000	0.000	0.000	0.000	0.000
151	152	153	154	155
0.000	0.000	0.000	0.000	0.000
156	157	158	159	160
0.000	0.000	0.000	0.000	0.000
161	162	163	164	165
0.000	0.000	0.000	0.000	0.000
166	167	168	169	170
0.000	0.000	0.000	0.000	0.000
171	172	173	174	175
0.000	0.000	0.000	0.000	0.000
176	177	178	179	180
0.000	0.000	0.000	0.000	0.000
181	182	183	184	185



**FIG. 98D**

0.000	0.000	0.000	0.000	0.000
186	187	188	189	190
0.000	0.000	0.000	0.000	0.000
191	192	193		
0.000	0.000	0.000		

Component loadings

	1	2	3	4	5
TCRBV01_6	-0.075	-0.020	-0.031	0.142	0.070
TCRBV01_7	0.586	0.776	-0.084	0.178	0.101
TCRBV01_8	-2.381	-1.196	4.073	-4.774	2.594
TCRBV01_9	1.202	2.269	1.717	2.764	1.996
TCRBV01_10	3.454	2.257	2.246	1.329	1.040
TCRBV01_11	0.055	2.659	-0.708	1.386	-0.059
TCRBV01_12	-0.258	1.305	-0.889	0.074	0.185
TCRBV01_13	-0.223	0.178	-0.392	0.102	-0.044
TCRBV01_14	-0.021	0.016	-0.050	0.010	-0.016
TCRBV02_6	0.750	-0.283	-0.629	-0.090	-0.108
TCRBV02_7	0.480	0.642	0.637	-0.136	-0.988
TCRBV02_8	0.059	0.586	0.088	0.089	0.736
TCRBV02_9	1.130	0.110	0.203	0.181	-1.461
TCRBV02_10	-0.113	-0.187	0.290	-0.738	0.606
TCRBV02_11	-0.724	-0.097	1.786	-0.013	0.307
TCRBV02_12	-0.450	-0.019	0.601	-0.160	0.175
TCRBV02_13	-0.236	-0.160	0.201	-0.296	0.196
TCRBV03_4	-0.023	-0.015	-0.082	0.030	0.014
TCRBV03_5	-0.120	-0.002	-0.121	-0.003	0.061
TCRBV03_6	2.225	0.178	-0.733	-1.112	0.066
TCRBV03_7	2.053	1.677	-0.686	-0.785	0.612
TCRBV03_8	3.224	2.522	-0.052	-1.015	1.279
TCRBV03_9	4.341	2.926	-1.482	-0.044	1.981
TCRBV03_10	-3.235	0.499	3.479	-1.136	4.894
TCRBV03_11	-5.143	0.869	1.720	2.027	0.546
TCRBV03_12	-0.448	0.066	1.408	1.085	-1.392
TCRBV03_13	-0.536	-0.476	2.430	2.163	-2.194
TCRBV04_6	0.012	-0.001	-0.019	-0.011	0.005
TCRBV04_7	1.152	-0.155	-0.030	-0.668	0.049
TCRBV04_8	1.873	0.011	0.527	-0.928	0.155
TCRBV04_9	4.587	-1.410	0.450	-1.396	0.161
TCRBV04_10	5.214	-0.729	-0.519	-0.539	1.093
TCRBV04_11	-2.756	0.589	-1.756	1.854	-0.619
TCRBV04_12	-3.817	0.894	-0.456	1.589	1.304
TCRBV04_13	-3.121	1.805	0.381	2.556	-2.504
TCRBV04_14	-3.131	-1.158	1.410	-2.431	0.426
TCRBV04_15	-0.012	0.154	0.012	-0.025	-0.070
TCRBV051_5	0.174	0.196	-0.112	-0.095	0.048
TCRBV051_6	0.215	-0.029	0.032	0.178	0.642
TCRBV051_7	-0.042	-0.512	-0.317	-0.818	1.006
TCRBV051_8	5.708	-11.263	7.492	6.584	0.181
TCRBV051_9	0.294	1.095	-1.810	3.037	-1.682
TCRBV051_10	-0.617	5.252	-3.907	-2.022	-1.555
TCRBV051_11	-2.015	2.799	2.297	-6.363	-1.086
TCRBV051_12	-0.959	3.191	-0.695	-1.023	-0.729
TCRBV051_13	0.084	0.240	-0.060	-0.185	-0.127
TCRBV052_6	0.340	0.857	-0.295	-0.436	-0.045
TCRBV052_7	0.742	2.607	0.258	0.375	-0.707
TCRBV052_8	-2.966	5.924	6.078	3.420	-3.444
TCRBV052_9	1.864	-0.893	1.072	-0.675	0.061

TCRBV052_10	1.482	-2.328	-2.449	-0.869	-0.364
TCRBV052_11	1.183	-2.592	-0.353	-1.828	1.509
TCRBV052_12	0.184	-2.206	-1.170	-0.621	0.008
TCRBV052_13	0.013	-0.400	-0.221	-0.073	-0.320
TCRBV06_5	0.028	0.045	-0.011	-0.063	-0.023
TCRBV06_6	0.893	0.443	-0.309	0.021	0.249
TCRBV06_7	2.017	1.415	0.546	0.161	-0.133
TCRBV06_8	2.766	1.952	1.966	0.511	0.512
TCRBV06_9	3.375	1.408	2.821	-3.418	2.216
TCRBV06_10	-2.099	2.397	-0.216	1.039	1.658
TCRBV06_11	-2.924	1.046	1.312	1.670	0.587
TCRBV06_12	-1.604	-0.326	-0.042	1.137	0.619
TCRBV06_13	-0.114	-0.137	-0.185	0.152	0.181
TCRBV07_5	0.008	0.028	-0.008	-0.007	-0.006
TCRBV07_6	0.837	0.060	1.858	1.278	-1.079
TCRBV07_7	1.214	-0.479	3.067	-1.119	-0.853
TCRBV07_8	1.397	2.345	0.393	0.465	1.264
TCRBV07_9	4.717	2.550	2.366	-0.826	1.030
TCRBV07_10	-0.442	2.391	-0.665	0.761	3.003
TCRBV07_11	-3.185	0.834	-0.280	0.043	1.876
TCRBV07_12	-1.960	0.518	-0.716	0.657	0.453
TCRBV07_13	-0.246	-0.005	-0.134	-0.042	0.180
TCRBV081_5	-0.014	-0.039	0.066	0.071	0.088
TCRBV081_6	-0.233	0.804	-0.102	-0.341	0.688
TCRBV081_7	0.704	-0.501	0.138	-0.835	2.223
TCRBV081_8	0.540	-0.086	1.200	0.121	0.646
TCRBV081_9	3.830	-4.333	-0.332	-1.541	-0.526
TCRBV081_10	-1.574	1.153	-1.559	2.277	-1.302
TCRBV081_11	-2.194	2.038	0.379	0.551	-0.926
TCRBV081_12	-1.059	0.963	0.211	-0.303	-0.892
TCRBV082_4	0.424	-0.358	-0.028	-0.768	-0.292
TCRBV082_5	1.519	-1.085	-0.387	-2.354	-0.715
TCRBV082_6	1.924	-0.687	0.185	-1.745	-0.622
TCRBV082_7	4.198	-2.368	1.356	-4.012	-2.978
TCRBV082_8	-1.227	1.076	-0.107	1.819	-0.476
TCRBV082_9	-3.201	2.555	-0.558	3.505	2.871
TCRBV082_10	-2.699	0.852	-0.631	2.618	1.452
TCRBV082_11	-0.938	0.015	0.169	0.937	0.760
TCRBV083_4	-0.014	-0.041	0.169	0.163	-0.147
TCRBV083_5	-0.068	0.075	0.105	-0.232	-0.108
TCRBV083_6	0.507	-0.204	-0.849	-0.544	-0.608
TCRBV083_7	-0.108	-0.302	1.102	-0.398	1.583
TCRBV083_8	0.297	0.863	0.017	-1.155	1.218
TCRBV083_9	0.473	0.115	-1.272	0.152	0.523
TCRBV083_10	-0.565	0.494	-0.172	0.803	-0.014
TCRBV083_11	-0.472	-0.205	1.392	0.772	-1.418
TCRBV083_12	-0.050	-0.797	-0.492	0.439	-1.028
TCRBV09_5	-0.130	-0.039	0.139	0.133	0.079
TCRBV09_6	0.040	-0.080	-0.402	0.148	0.444
TCRBV09_7	0.934	-0.535	-0.164	-0.246	2.171
TCRBV09_8	0.369	-0.995	2.707	4.763	4.320
TCRBV09_9	2.212	-0.760	4.327	2.838	3.010
TCRBV09_10	2.774	3.177	0.449	-2.120	3.543
TCRBV09_11	-1.487	2.603	6.703	-3.932	-5.167
TCRBV09_12	-0.264	3.204	-0.360	-1.573	-1.144
TCRBV09_13	0.317	0.847	-0.183	-0.596	-0.481
TCRBV09_14	0.100	0.111	-0.013	-0.204	-0.066
TCRBV09_15	0.090	-0.012	0.013	-0.019	-0.014
TCRBV10_6	0.486	0.626	-0.103	-0.518	-0.360
TCRBV10_7	0.830	1.733	1.173	1.028	-1.646
TCRBV10_8	1.789	1.616	-0.162	0.700	-0.176
TCRBV10_9	-3.735	-1.632	0.512	-2.124	0.498
TCRBV10_10	-0.813	-1.518	0.188	0.424	0.368
TCRBV10_11	1.331	-0.607	-0.813	0.275	0.931

**FIG. 99A**

TCRBV10_12	0.123	-0.210	-0.756	0.200	0.378
TCRBV10_13	-0.011	-0.007	-0.040	0.015	0.007
TCRBV11_5	0.054	-0.171	-0.024	0.112	0.227
TCRBV11_6	0.645	0.491	0.188	-0.714	0.376
TCRBV11_7	1.025	1.292	1.255	0.194	-0.196
TCRBV11_8	0.761	1.916	2.296	-1.473	-0.143
TCRBV11_9	3.448	1.820	5.538	-0.829	0.968
TCRBV11_10	-0.317	1.741	0.140	1.767	1.806
TCRBV11_11	-1.405	1.169	-1.376	0.594	1.496
TCRBV11_12	-1.177	0.105	-1.167	1.265	0.817
TCRBV11_13	-0.626	-0.073	-0.722	0.205	0.474
TCRBV11_14	-0.051	-0.033	-0.180	0.066	0.030
TCRBV11_15	-0.019	-0.012	-0.067	0.024	0.011
TCRBV12_4	-0.057	0.257	0.160	0.162	-0.221
TCRBV12_5	1.293	0.663	2.995	0.630	-3.022
TCRBV12_6	2.748	1.366	1.113	-1.987	1.080
TCRBV12_7	3.631	0.361	0.059	-2.201	1.916
TCRBV12_8	1.486	-0.394	-3.294	-0.997	0.698
TCRBV12_9	-4.150	-1.433	-2.887	2.225	-0.539
TCRBV12_10	-1.210	-0.525	1.600	1.272	-0.263
TCRBV12_11	-3.118	-0.274	0.050	0.649	0.371
TCRBV12_12	-0.622	-0.022	0.204	0.248	-0.021
TCRBV13_5	-0.020	-0.007	-0.107	0.019	0.053
TCRBV13_6	0.236	0.737	0.059	-1.254	-0.553
TCRBV13_7	1.220	-0.566	-1.444	-1.137	2.591
TCRBV13_8	1.117	-0.003	-1.307	0.057	1.241
TCRBV13_9	0.093	0.101	4.513	4.666	-4.488
TCRBV13_10	-2.026	0.461	-0.842	-1.267	1.472
TCRBV13_11	-0.556	-0.611	-0.561	-1.254	-0.605
TCRBV13_12	-0.312	-0.035	-0.263	0.081	0.148
TCRBV13_13	0.248	-0.076	-0.048	0.088	0.140
TCRBV14_5	0.002	0.043	0.128	-0.072	-0.191
TCRBV14_6	0.560	-0.013	-0.866	-0.723	0.361
TCRBV14_7	-0.886	0.111	0.110	-0.734	-0.876
TCRBV14_8	2.788	-0.379	-0.601	-0.066	-0.369
TCRBV14_9	0.982	-0.783	-0.866	3.516	0.367
TCRBV14_10	-1.647	0.192	1.058	-1.735	0.565
TCRBV14_11	-1.420	0.784	1.203	-0.363	-0.069
TCRBV14_12	-0.314	0.072	-0.065	0.145	0.144
TCRBV14_13	-0.064	-0.026	-0.101	0.031	0.067
TCRBV15_4	-0.048	0.005	-0.098	0.069	0.058
TCRBV15_5	0.876	-1.126	-0.311	0.027	1.451
TCRBV15_6	1.635	0.164	0.742	-0.557	1.197
TCRBV15_7	2.958	1.462	1.759	0.217	1.348
TCRBV15_8	4.711	2.103	2.764	0.244	1.387
TCRBV15_9	-1.609	3.526	3.496	0.975	-0.027
TCRBV15_10	-3.220	1.441	-1.397	0.340	0.671
TCRBV15_11	-2.089	0.535	-1.100	0.108	-0.046
TCRBV15_12	-0.876	0.132	0.026	-0.212	-0.172
TCRBV16_5	-0.004	0.063	0.143	0.057	-0.221
TCRBV16_6	0.740	-0.458	0.685	0.961	0.315
TCRBV16_7	4.029	0.612	0.870	0.467	0.419
TCRBV16_8	5.524	3.170	-1.084	0.257	-1.066
TCRBV16_9	6.852	5.592	-1.963	1.947	-1.891
TCRBV16_10	0.165	3.517	0.669	2.334	-1.033
TCRBV16_11	-3.812	-1.117	3.607	1.146	4.580
TCRBV16_12	-8.256	-2.143	5.834	-6.750	1.526
TCRBV16_13	-0.058	-0.024	0.040	0.085	-0.063
TCRBV18_3	0.030	-0.017	-0.003	-0.005	0.009
TCRBV18_4	0.043	-0.147	0.188	-0.730	0.278
TCRBV18_5	0.125	0.793	1.558	-0.021	-0.578
TCRBV18_6	-1.454	1.826	3.098	-1.120	-0.762
TCRBV18_7	-0.152	3.168	2.247	1.449	1.188

**FIG. 99B**

TCRBV18_8	1.814	5.078	-0.855	-0.154	3.140
TCRBV18_9	-1.031	1.918	0.229	1.614	3.512
TCRBV18_10	-0.094	1.019	-0.043	1.279	1.501
TCRBV18_11	-0.786	-0.011	-0.531	0.647	1.080
TCRBV18_12	-0.061	0.022	0.078	0.163	-0.112
TCRBV18_13	0.049	-0.009	-0.017	-0.010	0.025
TCRBV20_5	0.006	-0.081	0.103	0.066	0.252
TCRBV20_6	0.820	-0.019	0.545	0.203	-0.182
TCRBV20_7	1.733	0.721	0.380	0.515	-0.112
TCRBV20_8	3.344	1.243	1.094	-0.664	0.208
TCRBV20_9	3.148	2.159	1.851	1.730	1.856
TCRBV20_10	-0.717	3.433	1.768	-1.723	0.168
TCRBV20_11	-3.744	1.517	1.836	0.103	0.433
TCRBV20_12	-1.968	0.750	-0.669	0.580	0.447
TCRBV20_13	-0.245	-1.482	-0.948	0.345	2.751
TCRBV20_14	-0.039	0.004	-0.079	0.056	0.047

	6	7	8	9	10
TCRBV01_6	0.021	-0.137	-0.052	-0.005	-0.092
TCRBV01_7	-0.643	0.055	0.055	0.226	0.238
TCRBV01_8	0.786	-2.649	0.542	2.361	-0.491
TCRBV01_9	0.085	0.952	-0.612	2.294	0.205
TCRBV01_10	-0.117	1.597	-0.377	-1.762	-0.096
TCRBV01_11	2.327	0.810	0.368	-1.797	1.295
TCRBV01_12	0.734	0.415	-0.371	-0.381	0.648
TCRBV01_13	0.489	-0.254	0.165	-0.219	0.124
TCRBV01_14	0.075	-0.054	0.026	-0.037	-0.002
TCRBV02_6	-0.411	-0.685	-0.233	0.366	0.110
TCRBV02_7	-0.375	-0.363	0.367	0.450	-0.673
TCRBV02_8	-1.359	-0.407	-0.058	-0.717	0.158
TCRBV02_9	-0.206	0.488	-2.104	0.418	0.067
TCRBV02_10	-1.294	-0.476	-0.688	-0.459	0.204
TCRBV02_11	-0.075	0.083	0.450	0.138	-0.089
TCRBV02_12	0.488	0.385	-0.049	0.021	-0.524
TCRBV02_13	0.142	-0.078	0.275	0.192	0.082
TCRBV03_4	0.080	0.027	0.053	-0.011	0.017
TCRBV03_5	0.060	0.097	0.112	-0.004	-0.062
TCRBV03_6	-0.107	1.055	-0.342	0.821	-0.548
TCRBV03_7	0.146	1.148	-0.772	0.402	-0.358
TCRBV03_8	0.035	1.190	-1.144	2.683	-0.290
TCRBV03_9	0.647	1.593	-1.654	1.464	0.050
TCRBV03_10	2.574	-2.731	1.180	-0.028	-0.095
TCRBV03_11	1.653	-1.677	-2.411	-1.695	2.068
TCRBV03_12	0.457	0.061	1.460	-1.841	0.257
TCRBV03_13	-1.787	-0.027	3.263	-1.111	0.788
TCRBV04_6	0.037	0.015	0.031	0.040	0.044
TCRBV04_7	-0.299	0.208	-0.066	0.153	0.939
TCRBV04_8	0.213	0.582	-0.761	-0.070	1.250
TCRBV04_9	-0.141	1.267	-0.328	-1.489	1.663
TCRBV04_10	-0.590	0.912	-0.715	-1.192	0.128
TCRBV04_11	0.112	-0.805	0.930	-0.875	-1.657
TCRBV04_12	0.160	0.155	0.849	0.034	-2.181
TCRBV04_13	0.079	-0.716	-0.245	3.168	-0.196
TCRBV04_14	0.515	-1.584	0.155	0.054	0.211
TCRBV04_15	-0.087	-0.034	0.150	0.177	-0.200
TCRBV051_5	-0.106	0.048	0.089	-0.068	0.171
TCRBV051_6	0.029	0.318	0.252	-0.142	0.301
TCRBV051_7	-0.159	0.221	0.309	0.500	1.070
TCRBV051_8	2.572	-2.042	-2.164	0.044	-0.762
TCRBV051_9	4.444	-1.496	-0.137	2.643	-0.465
TCRBV051_10	-1.104	-0.084	0.969	1.300	-1.749
TCRBV051_11	-0.987	0.698	2.606	-1.346	-0.209
TCRBV051_12	-1.048	0.469	-0.142	0.044	-1.542

**FIG. 99C**

TCRBV051_13	-0.111	0.030	0.013	-0.028	0.073
TCRBV052_6	-0.429	-0.125	0.159	0.032	-0.196
TCRBV052_7	-1.586	-1.674	-0.624	0.571	-0.045
TCRBV052_8	-4.403	-0.485	-3.190	0.378	0.467
TCRBV052_9	1.889	-2.483	-0.890	2.997	-5.603
TCRBV052_10	2.085	-1.036	1.997	0.374	0.520
TCRBV052_11	3.685	2.322	3.163	-1.554	1.262
TCRBV052_12	2.094	1.373	1.268	0.039	0.557
TCRBV052_13	0.194	0.267	-0.089	0.109	-0.072
TCRBV06_5	-0.028	0.012	-0.015	-0.010	0.028
TCRBV06_6	-0.054	-0.562	0.235	0.175	-0.085
TCRBV06_7	-0.102	-0.502	0.664	0.892	-0.794
TCRBV06_8	-1.117	0.072	1.946	-0.955	0.019
TCRBV06_9	3.021	-2.951	1.747	-1.565	-0.637
TCRBV06_10	2.419	1.433	-1.640	-0.765	1.583
TCRBV06_11	-0.259	1.838	-1.574	1.468	1.021
TCRBV06_12	-0.036	1.358	-1.405	1.428	0.635
TCRBV06_13	-0.086	0.037	-0.213	0.012	0.059
TCRBV07_5	-0.005	-0.002	0.019	0.017	-0.024
TCRBV07_6	-0.827	-0.235	1.877	-0.943	1.078
TCRBV07_7	3.084	0.756	-0.478	-1.146	0.282
TCRBV07_8	-1.780	-0.387	-1.115	2.083	1.386
TCRBV07_9	0.335	-2.246	-0.097	0.479	-1.363
TCRBV07_10	1.901	1.229	-1.259	-0.785	0.280
TCRBV07_11	1.186	0.419	0.927	0.775	0.062
TCRBV07_12	0.030	1.034	-0.156	0.279	0.165
TCRBV07_13	-0.167	0.167	0.027	-0.079	-0.040
TCRBV081_5	-0.009	0.090	0.005	-0.140	0.041
TCRBV081_6	-0.289	0.625	1.094	-0.524	0.273
TCRBV081_7	-1.016	2.906	1.137	-0.857	-0.546
TCRBV081_8	-1.066	2.816	0.724	-0.342	-0.803
TCRBV081_9	-2.867	0.115	-1.058	-0.081	-0.371
TCRBV081_10	3.775	-5.061	-0.414	0.308	0.164
TCRBV081_11	1.486	-1.138	-0.736	0.953	0.983
TCRBV081_12	-0.015	-0.355	-0.752	0.683	0.259
TCRBV082_4	0.055	-0.029	0.046	-0.051	0.638
TCRBV082_5	-0.344	-0.203	-0.521	0.137	1.641
TCRBV082_6	-0.074	-0.440	-0.570	0.468	1.114
TCRBV082_7	0.263	-0.594	-0.517	-0.195	2.755
TCRBV082_8	0.554	-0.492	-0.254	0.195	-1.583
TCRBV082_9	0.305	0.673	0.717	-0.634	-2.363
TCRBV082_10	-0.735	0.388	0.784	0.019	-1.785
TCRBV082_11	-0.024	0.696	0.315	0.061	-0.418
TCRBV083_4	-0.131	0.003	0.257	-0.085	0.044
TCRBV083_5	-0.025	-0.087	-0.036	0.450	0.165
TCRBV083_6	0.327	-0.057	0.164	0.304	-0.026
TCRBV083_7	0.946	0.272	1.107	-1.423	-0.272
TCRBV083_8	0.428	-0.485	-0.866	-0.517	-0.317
TCRBV083_9	-0.913	-0.250	0.379	0.158	-1.019
TCRBV083_10	-1.367	-0.538	-0.083	0.389	0.819
TCRBV083_11	0.537	1.008	-0.303	0.126	0.443
TCRBV083_12	0.197	0.136	-0.619	0.598	0.164
TCRBV09_5	-0.047	0.092	-0.073	-0.194	-0.105
TCRBV09_6	0.079	0.096	0.119	0.218	0.618
TCRBV09_7	-0.426	-0.792	-0.658	0.464	1.475
TCRBV09_8	-1.150	0.751	-0.059	2.114	2.512
TCRBV09_9	-1.427	-1.220	0.603	0.310	1.771
TCRBV09_10	-3.653	0.761	-1.931	-0.265	-0.570
TCRBV09_11	2.346	4.886	-2.610	-0.817	-1.496
TCRBV09_12	-0.794	-0.147	0.193	1.915	-2.329
TCRBV09_13	-0.370	-0.153	0.008	0.403	-0.513
TCRBV09_14	-0.142	-0.044	-0.045	0.034	-0.044
TCRBV09_15	-0.033	-0.053	-0.031	0.006	0.036
TCRBV10_6	-0.011	-0.025	0.240	-0.378	-0.486

**FIG. 99D**

TCRBV10_7	-0.846	-0.571	-0.083	-0.103	-0.801
TCRBV10_8	-1.940	-1.965	0.318	0.191	-1.208
TCRBV10_9	-3.228	-2.858	-3.466	-3.201	-0.140
TCRBV10_10	0.905	1.209	1.031	1.595	0.029
TCRBV10_11	3.868	3.072	1.212	0.989	1.470
TCRBV10_12	1.212	1.125	0.722	0.912	1.126
TCRBV10_13	0.039	0.013	0.026	-0.005	0.008
TCRBV11_5	-0.050	-0.045	-0.156	0.081	-0.219
TCRBV11_6	-0.178	-0.975	-0.254	0.425	0.322
TCRBV11_7	-0.707	-0.515	-0.275	0.313	0.285
TCRBV11_8	0.365	-1.932	-0.336	1.796	0.859
TCRBV11_9	1.232	1.065	-2.009	-1.357	-1.209
TCRBV11_10	0.552	0.504	1.077	0.352	0.806
TCRBV11_11	1.134	0.543	1.004	-0.589	0.380
TCRBV11_12	1.027	1.424	0.213	-0.171	0.292
TCRBV11_13	0.143	0.584	0.324	-0.137	0.260
TCRBV11_14	0.175	0.060	0.115	-0.023	0.038
TCRBV11_15	0.065	0.022	0.043	-0.009	0.014
TCRBV12_4	-0.150	0.055	-0.102	0.270	-0.033
TCRBV12_5	-1.571	0.588	3.528	-0.107	1.233
TCRBV12_6	-0.568	1.431	0.523	0.279	0.579
TCRBV12_7	-0.956	1.053	0.361	2.507	-0.079
TCRBV12_8	-0.159	0.382	-0.103	1.866	0.641
TCRBV12_9	-0.056	-3.527	-0.407	-0.837	0.557
TCRBV12_10	2.350	1.956	-2.592	-4.345	-3.795
TCRBV12_11	0.881	-1.674	-0.794	0.260	0.800
TCRBV12_12	0.230	-0.264	-0.413	0.107	0.098
TCRBV13_5	0.076	0.008	0.067	0.044	0.033
TCRBV13_6	2.347	1.421	-1.265	-0.081	-0.483
TCRBV13_7	0.890	-1.644	-0.824	0.685	-1.078
TCRBV13_8	-2.806	-0.933	0.717	0.080	0.151
TCRBV13_9	-1.570	0.847	2.456	1.181	0.257
TCRBV13_10	0.410	-0.242	-1.887	-1.004	0.312
TCRBV13_11	0.428	0.590	0.728	-0.956	0.598
TCRBV13_12	0.300	0.096	0.012	0.015	0.275
TCRBV13_13	-0.074	-0.145	-0.005	0.036	-0.065
TCRBV14_5	0.143	0.091	0.098	-0.168	0.061
TCRBV14_6	-0.006	-0.451	0.205	-0.471	-0.095
TCRBV14_7	0.196	-0.358	-1.411	-0.055	1.201
TCRBV14_8	0.723	0.278	-1.039	-0.522	-0.216
TCRBV14_9	-0.986	-0.709	0.892	1.919	-0.163
TCRBV14_10	-0.069	0.383	0.959	-0.075	0.459
TCRBV14_11	0.144	0.249	0.290	-0.350	-1.433
TCRBV14_12	-0.131	0.468	0.006	-0.219	0.121
TCRBV14_13	-0.014	0.049	0.000	-0.058	0.065
TCRBV15_4	0.085	0.146	0.111	0.076	0.114
TCRBV15_5	-0.014	0.965	-0.858	0.796	-2.141
TCRBV15_6	-0.782	0.032	0.709	0.119	0.178
TCRBV15_7	-0.568	-0.412	1.741	0.356	-0.017
TCRBV15_8	0.590	-0.164	0.529	1.953	0.471
TCRBV15_9	2.449	0.557	-1.023	-1.399	0.259
TCRBV15_10	1.173	0.101	-0.702	-0.744	1.992
TCRBV15_11	0.787	-0.388	-0.279	-0.434	0.660
TCRBV15_12	0.037	-0.102	-0.482	-0.042	0.311
TCRBV16_5	-0.149	-0.080	0.366	-0.042	-0.038
TCRBV16_6	-1.187	-0.135	0.822	-0.106	-0.203
TCRBV16_7	-0.990	-2.100	-0.183	-2.733	-1.300
TCRBV16_8	0.923	-2.155	-0.251	0.053	0.684
TCRBV16_9	6.027	-2.138	-0.724	0.202	0.053
TCRBV16_10	1.533	4.222	0.883	1.462	1.876
TCRBV16_11	0.283	3.477	1.545	0.794	-3.877
TCRBV16_12	0.862	-2.339	-0.839	3.805	1.543
TCRBV16_13	-0.014	0.144	-0.078	0.191	-0.021

**FIG. 100A**

TCRBV18_3	0.010	-0.005	0.011	0.004	0.026
TCRBV18_4	0.376	-0.071	0.845	0.676	-0.408
TCRBV18_5	0.044	-0.234	1.934	0.669	-0.082
TCRBV18_6	1.002	-2.737	2.759	0.137	-0.167
TCRBV18_7	-0.923	-2.518	4.985	-2.402	-0.768
TCRBV18_8	0.355	-3.888	-0.600	-3.218	0.983
TCRBV18_9	-1.719	0.752	-1.847	-1.847	2.425
TCRBV18_10	-0.495	0.068	-1.102	0.650	0.739
TCRBV18_11	-0.631	0.660	-0.391	0.157	0.008
TCRBV18_12	0.019	0.095	-0.038	0.137	0.035
TCRBV18_13	0.015	0.021	0.036	-0.010	0.075
TCRBV20_5	0.091	0.012	-0.065	-0.190	-0.227
TCRBV20_6	-0.052	-0.617	-0.670	-0.484	-0.213
TCRBV20_7	0.660	-0.862	0.571	0.475	-0.101
TCRBV20_8	1.607	0.279	-0.753	0.098	-1.345
TCRBV20_9	-1.161	-1.488	-0.001	-0.149	1.441
TCRBV20_10	0.864	0.735	0.117	0.790	1.829
TCRBV20_11	1.879	0.292	0.966	-0.001	1.358
TCRBV20_12	0.598	0.964	0.263	-0.659	0.373
TCRBV20_13	-0.797	1.301	-0.772	0.738	-1.378
TCRBV20_14	0.069	0.118	0.090	0.062	0.092
	11	12	13	14	15
TCRBV01_6	-0.078	0.174	0.009	-0.004	0.123
TCRBV01_7	-0.512	0.096	0.280	0.259	-0.011
TCRBV01_8	-1.333	0.323	0.740	-0.141	-1.727
TCRBV01_9	0.102	-0.588	-2.611	-0.115	-1.011
TCRBV01_10	-0.980	0.909	3.932	-0.993	-0.110
TCRBV01_11	0.693	0.718	-0.735	1.775	1.186
TCRBV01_12	1.174	0.599	0.497	0.846	0.433
TCRBV01_13	0.033	0.051	0.068	0.129	0.190
TCRBV01_14	-0.021	0.027	0.006	-0.006	0.009
TCRBV02_6	0.154	-0.275	-0.102	0.043	-0.365
TCRBV02_7	0.127	-0.905	0.185	0.111	0.538
TCRBV02_8	-1.231	-0.227	-0.822	0.347	0.338
TCRBV02_9	-1.144	0.417	-0.684	0.218	-0.451
TCRBV02_10	-0.414	-0.026	-0.231	0.930	0.281
TCRBV02_11	0.541	-1.179	0.125	0.634	0.701
TCRBV02_12	0.220	-0.146	-0.256	0.435	0.421
TCRBV02_13	-0.051	0.004	0.124	-0.055	-0.160
TCRBV03_4	0.047	0.061	0.043	-0.069	-0.034
TCRBV03_5	0.094	0.128	0.070	-0.063	-0.009
TCRBV03_6	-0.130	0.799	0.618	0.029	-0.061
TCRBV03_7	0.615	0.934	0.470	-0.218	0.970
TCRBV03_8	-0.486	2.181	0.323	-1.628	1.389
TCRBV03_9	-0.872	2.185	0.844	0.028	-0.153
TCRBV03_10	0.055	-1.247	-0.165	-1.776	-0.932
TCRBV03_11	1.977	-1.766	-0.699	2.395	-1.069
TCRBV03_12	0.074	-0.246	-0.413	1.289	-0.247
TCRBV03_13	-2.295	-0.721	1.094	1.764	-0.772
TCRBV04_6	0.020	0.001	0.001	0.002	0.012
TCRBV04_7	0.136	-0.017	-0.107	0.240	0.248
TCRBV04_8	-0.292	-0.174	-0.504	0.658	0.212
TCRBV04_9	-1.217	-0.900	-1.231	0.313	1.284
TCRBV04_10	-0.374	-0.005	0.463	1.101	-0.221
TCRBV04_11	1.439	0.706	0.508	1.235	-0.646
TCRBV04_12	0.914	0.618	0.450	0.448	-0.682
TCRBV04_13	-0.411	0.451	1.487	-3.362	1.290
TCRBV04_14	-0.468	-0.813	-0.881	-0.561	-1.477
TCRBV04_15	0.252	0.134	-0.187	-0.076	-0.019
TCRBV051_5	0.037	0.085	-0.165	0.011	-0.021
TCRBV051_6	0.984	0.372	-0.124	0.178	-0.348
TCRBV051_7	0.266	-1.065	-0.286	0.797	0.201

**FIG. 100B**

TCRBV051_8	1.067	-0.727	1.573	0.059	1.657
TCRBV051_9	0.749	-1.256	1.719	1.549	0.140
TCRBV051_10	1.252	-2.882	-0.338	0.221	-0.562
TCRBV051_11	1.331	0.911	-0.892	0.305	1.625
TCRBV051_12	-0.100	-1.198	-0.412	-0.321	-0.780
TCRBV051_13	-0.026	0.003	-0.199	-0.045	-0.040
TCRBV052_6	-0.018	0.036	-0.400	0.167	-0.219
TCRBV052_7	0.832	-0.605	-0.637	0.979	-0.694
TCRBV052_8	2.655	0.253	0.421	0.442	-1.192
TCRBV052_9	-1.275	-1.512	-2.308	2.217	1.751
TCRBV052_10	2.679	-1.899	1.344	0.242	-0.080
TCRBV052_11	0.694	-1.580	1.672	-0.806	1.779
TCRBV052_12	0.052	-0.423	0.878	-0.484	0.659
TCRBV052_13	-0.059	-0.027	-0.092	-0.004	-0.132
TCRBV06_5	0.015	-0.002	-0.078	0.045	0.027
TCRBV06_6	0.873	0.757	-0.508	0.284	0.106
TCRBV06_7	0.419	0.450	-0.304	-0.381	0.385
TCRBV06_8	0.174	-0.321	-0.052	0.291	0.033
TCRBV06_9	-0.676	2.490	-0.582	0.293	-1.469
TCRBV06_10	-0.778	0.460	0.997	0.924	-0.431
TCRBV06_11	-0.564	-1.128	1.080	-0.398	0.380
TCRBV06_12	-0.224	-0.449	1.517	0.698	0.343
TCRBV06_13	-0.160	0.051	0.115	-0.005	-0.292
TCRBV07_5	0.000	-0.002	0.007	0.013	-0.004
TCRBV07_6	-0.073	0.647	-0.249	1.430	-0.438
TCRBV07_7	0.061	2.148	-1.865	2.078	-2.463
TCRBV07_8	0.610	0.469	0.846	0.991	0.191
TCRBV07_9	3.442	-1.141	2.762	1.322	1.160
TCRBV07_10	-2.361	-1.803	0.384	-2.036	0.444
TCRBV07_11	-1.323	1.075	-0.452	-1.209	-0.014
TCRBV07_12	-1.169	0.638	0.747	-0.781	0.214
TCRBV07_13	-0.109	0.278	0.005	-0.058	-0.009
TCRBV081_5	0.197	0.148	-0.058	0.048	-0.062
TCRBV081_6	0.170	-0.052	-0.968	0.605	-0.198
TCRBV081_7	-0.839	-0.620	-1.479	0.460	-0.679
TCRBV081_8	0.396	0.900	-0.862	0.605	-0.973
TCRBV081_9	2.751	-2.471	2.729	-1.778	-2.626
TCRBV081_10	-1.599	1.636	0.241	0.148	1.929
TCRBV081_11	-0.824	0.565	-0.030	0.057	1.747
TCRBV081_12	-0.252	-0.106	0.427	-0.145	0.861
TCRBV082_4	0.306	0.138	-0.257	-0.115	0.042
TCRBV082_5	0.898	0.162	-0.632	0.113	0.380
TCRBV082_6	0.468	0.356	-0.328	0.318	0.175
TCRBV082_7	1.392	0.760	-1.129	-0.025	0.290
TCRBV082_8	-0.942	0.537	0.677	0.358	-0.111
TCRBV082_9	-1.243	-1.178	0.933	-0.276	-0.903
TCRBV082_10	-0.635	-0.447	0.845	-0.179	0.033
TCRBV082_11	-0.244	-0.328	-0.109	-0.193	0.095
TCRBV083_4	-0.164	-0.052	0.069	0.119	-0.066
TCRBV083_5	-0.099	-0.045	0.280	-0.196	0.004
TCRBV083_6	0.242	-0.026	-0.030	0.469	-0.242
TCRBV083_7	-0.947	-2.132	-0.733	-0.681	-0.412
TCRBV083_8	-0.394	-0.908	-0.263	-0.506	0.589
TCRBV083_9	0.540	1.475	0.937	1.007	0.280
TCRBV083_10	0.306	0.961	0.788	0.869	-0.446
TCRBV083_11	0.672	1.016	-1.164	-0.405	0.471
TCRBV083_12	-0.156	-0.289	0.116	-0.677	-0.178
TCRBV09_5	0.266	0.179	-0.059	0.078	-0.128
TCRBV09_6	-0.111	0.146	0.128	0.116	-0.105
TCRBV09_7	-0.594	-0.490	0.412	0.140	-0.174
TCRBV09_8	2.326	1.296	-4.307	-0.116	-0.213
TCRBV09_9	-4.105	-2.611	1.735	2.524	-0.563
TCRBV09_10	1.694	-0.367	2.112	2.090	-0.820
TCRBV09_11	-1.337	-0.362	-0.255	1.706	1.682

**FIG. 100C**



TCRBV09_12	0.541	-0.364	0.534	-1.227	-0.188
TCRBV09_13	0.211	0.151	-0.133	-0.311	0.074
TCRBV09_14	0.125	0.130	-0.114	-0.045	0.051
TCRBV09_15	0.009	0.002	-0.025	-0.027	0.013
TCRBV10_6	-0.012	0.368	-0.653	0.868	0.090
TCRBV10_7	-0.912	0.002	-0.393	0.171	-0.084
TCRBV10_8	0.355	0.095	-0.061	0.674	-0.364
TCRBV10_9	-1.991	-2.010	-0.427	0.144	1.149
TCRBV10_10	1.567	0.473	0.279	-1.791	0.670
TCRBV10_11	0.695	1.273	0.407	-0.031	-1.730
TCRBV10_12	0.275	-0.231	0.827	-0.000	0.285
TCRBV10_13	0.023	0.029	0.021	-0.033	-0.016
TCRBV11_5	-0.193	-0.014	0.031	0.315	0.141
TCRBV11_6	0.376	-0.396	0.466	0.083	0.262
TCRBV11_7	-1.021	-0.708	-0.515	0.206	-0.530
TCRBV11_8	-0.618	-0.189	-0.437	0.867	-0.265
TCRBV11_9	-0.559	0.011	0.206	-2.024	1.101
TCRBV11_10	0.684	1.088	0.268	0.829	-0.592
TCRBV11_11	-0.032	0.970	1.096	0.727	0.166
TCRBV11_12	0.295	0.819	0.576	1.136	-0.948
TCRBV11_13	0.007	0.547	0.366	-0.183	-0.153
TCRBV11_14	0.102	0.132	0.094	-0.150	-0.074
TCRBV11_15	0.038	0.049	0.035	-0.056	-0.027
TCRBV12_4	-0.091	0.082	-0.005	-0.348	0.187
TCRBV12_5	-1.887	-0.275	-0.056	0.520	0.450
TCRBV12_6	-1.370	-1.728	-0.007	-1.965	1.374
TCRBV12_7	-0.900	-1.145	0.008	0.832	0.147
TCRBV12_8	-0.161	-0.736	0.491	0.882	-0.985
TCRBV12_9	1.034	1.046	-0.573	0.630	0.530
TCRBV12_10	2.665	2.278	0.950	-0.544	-1.339
TCRBV12_11	0.437	0.418	-0.469	-0.049	-0.546
TCRBV12_12	0.273	0.061	-0.338	0.042	0.183
TCRBV13_5	0.028	0.098	0.045	-0.072	-0.086
TCRBV13_6	-0.577	0.100	-0.288	-0.483	-2.301
TCRBV13_7	-0.692	1.404	0.701	0.790	-0.563
TCRBV13_8	-1.035	1.378	1.371	1.368	-0.324
TCRBV13_9	-1.463	0.973	-0.447	-2.218	0.425
TCRBV13_10	2.114	-2.950	-0.854	-0.823	1.730
TCRBV13_11	1.287	-0.497	-1.093	1.108	1.210
TCRBV13_12	0.316	-0.348	0.284	0.370	0.021
TCRBV13_13	0.021	-0.157	0.282	-0.039	-0.113
TCRBV14_5	-0.049	-0.091	-0.288	0.112	0.008
TCRBV14_6	0.008	-0.564	0.211	-0.628	0.052
TCRBV14_7	-0.276	-0.354	-0.163	1.050	0.214
TCRBV14_8	-0.362	0.764	1.069	1.242	-1.025
TCRBV14_9	0.786	-0.529	-1.315	-0.640	0.109
TCRBV14_10	-0.477	-0.907	0.267	-0.782	0.454
TCRBV14_11	0.316	1.092	0.004	0.011	0.132
TCRBV14_12	0.124	0.451	0.204	-0.275	0.110
TCRBV14_13	-0.070	0.138	0.010	-0.090	-0.053
TCRBV15_4	0.012	-0.078	0.138	0.067	0.001
TCRBV15_5	-1.850	0.707	0.205	2.402	1.265
TCRBV15_6	0.065	1.000	0.117	-0.358	-0.624
TCRBV15_7	1.385	-0.331	-0.309	0.726	-0.696
TCRBV15_8	1.706	-0.015	-1.181	-0.679	-0.295
TCRBV15_9	-1.423	-2.321	0.532	-2.150	-2.565
TCRBV15_10	-0.206	2.095	1.694	1.098	1.240
TCRBV15_11	-0.457	1.007	0.755	0.430	0.465
TCRBV15_12	-0.154	0.244	0.236	0.214	0.289
TCRBV16_5	-0.091	0.009	0.033	0.184	-0.132
TCRBV16_6	-0.820	0.114	-0.049	1.644	0.804
TCRBV16_7	1.402	0.547	2.353	-1.251	0.165
TCRBV16_8	-0.242	-1.401	0.563	0.608	-1.375

**FIG. 100D**

TCRBV16_9	-0.508	-1.945	-2.137	0.262	-1.293
TCRBV16_10	1.217	-1.664	2.018	1.802	1.830
TCRBV16_11	3.340	-0.994	-1.906	1.049	1.875
TCRBV16_12	0.410	1.889	2.087	0.325	-0.894
TCRBV16_13	-0.071	-0.004	0.100	-0.119	-0.026
TCRBV18_3	0.008	-0.001	0.009	-0.021	0.004
TCRBV18_4	0.464	-0.011	0.314	0.352	0.224
TCRBV18_5	0.602	-0.431	0.536	0.388	0.572
TCRBV18_6	1.182	-0.288	1.124	1.667	2.070
TCRBV18_7	-0.701	1.554	0.514	-0.669	-0.124
TCRBV18_8	0.382	-0.273	-0.817	-1.371	3.707
TCRBV18_9	0.826	0.369	-1.522	-0.119	0.722
TCRBV18_10	0.431	-0.395	-0.410	-0.265	1.129
TCRBV18_11	-1.118	1.089	-0.078	-0.216	0.141
TCRBV18_12	-0.017	0.102	0.061	-0.269	0.059
TCRBV18_13	0.017	0.022	-0.014	-0.002	0.015
TCRBV20_5	-0.139	-0.344	-0.040	-0.216	0.167
TCRBV20_6	-0.136	0.001	0.388	0.103	0.193
TCRBV20_7	0.527	0.900	-0.383	-0.072	-0.663
TCRBV20_8	-0.893	2.152	-0.642	-0.108	-0.774
TCRBV20_9	0.793	2.037	-0.021	-2.053	0.144
TCRBV20_10	1.088	0.647	1.517	0.033	1.514
TCRBV20_11	0.094	-2.801	0.007	0.559	-2.299
TCRBV20_12	0.625	-0.993	1.211	0.927	-0.801
TCRBV20_13	-2.891	0.774	0.037	2.526	1.599
TCRBV20_14	0.010	-0.063	0.112	0.054	0.001

	16	17	18	19	20
TCRBV01_6	0.124	-0.157	0.071	0.040	-0.061
TCRBV01_7	-0.062	-0.845	0.717	0.465	-0.518
TCRBV01_8	-1.057	-0.575	0.555	0.526	0.206
TCRBV01_9	0.722	-1.905	1.473	1.528	1.108
TCRBV01_10	1.325	2.409	-0.095	-0.398	-0.287
TCRBV01_11	-0.453	0.570	0.135	-0.873	-0.276
TCRBV01_12	-0.420	-0.005	-1.074	-1.012	0.120
TCRBV01_13	0.157	0.356	-0.377	-0.476	0.195
TCRBV01_14	0.023	0.007	-0.040	-0.029	0.054
TCRBV02_6	0.124	-0.487	0.092	0.060	-0.427
TCRBV02_7	0.137	-0.177	-0.015	-0.403	0.425
TCRBV02_8	0.898	-0.608	0.935	-0.899	0.276
TCRBV02_9	0.891	-0.608	0.180	-2.825	-0.066
TCRBV02_10	0.563	-0.344	1.209	-2.132	1.038
TCRBV02_11	0.535	-0.072	0.086	-0.848	0.656
TCRBV02_12	0.057	-0.164	-0.255	0.113	0.913
TCRBV02_13	-0.119	0.038	-0.124	-0.115	0.028
TCRBV03_4	-0.080	0.063	-0.055	-0.183	-0.074
TCRBV03_5	0.017	0.072	-0.042	0.251	-0.093
TCRBV03_6	-0.049	-0.981	0.734	0.182	0.651
TCRBV03_7	-0.240	-1.014	0.022	0.530	0.368
TCRBV03_8	-1.294	-0.648	-0.327	-0.074	-0.214
TCRBV03_9	0.695	0.387	1.157	-0.263	-0.296
TCRBV03_10	1.129	0.715	-1.522	-2.032	-0.622
TCRBV03_11	-0.592	0.692	0.946	0.613	0.755
TCRBV03_12	-0.058	0.619	0.307	-1.371	-0.138
TCRBV03_13	0.829	-0.050	0.147	1.753	0.204
TCRBV04_6	-0.032	-0.039	0.043	0.035	-0.003
TCRBV04_7	0.086	-0.052	-0.209	-0.021	0.669
TCRBV04_8	0.498	0.595	-0.175	0.273	0.735
TCRBV04_9	1.633	0.667	-0.553	0.853	0.758
TCRBV04_10	1.406	1.839	-1.796	0.574	0.575
TCRBV04_11	-0.894	-2.797	0.324	-0.295	-1.388
TCRBV04_12	0.243	-1.215	0.951	-0.001	-1.222
TCRBV04_13	-1.891	0.962	0.844	-1.124	-1.209

**FIG. 101A**

TCRBV04_14	-1.180	0.062	0.229	-0.274	1.002
TCRBV04_15	0.133	-0.022	0.342	-0.019	0.082
TCRBV051_5	0.049	0.126	0.001	0.049	-0.038
TCRBV051_6	-0.172	0.329	-0.255	0.342	-0.356
TCRBV051_7	0.564	0.652	-0.237	0.532	-2.308
TCRBV051_8	-0.607	-1.852	-1.027	0.178	0.088
TCRBV051_9	0.505	2.708	-1.401	0.296	0.629
TCRBV051_10	1.410	0.309	-0.606	1.567	0.580
TCRBV051_11	0.191	-1.680	-1.705	-0.481	0.606
TCRBV051_12	-0.260	-0.387	0.506	0.405	1.067
TCRBV051_13	0.072	0.055	0.127	0.034	0.072
TCRBV052_6	-0.021	-0.066	0.048	0.285	-0.426
TCRBV052_7	0.516	0.563	0.432	0.349	-1.158
TCRBV052_8	1.275	0.287	-3.475	1.409	1.577
TCRBV052_9	0.447	2.745	-0.828	-0.674	-1.669
TCRBV052_10	0.331	0.319	0.222	0.947	0.459
TCRBV052_11	-0.075	-2.727	-0.831	0.463	0.986
TCRBV052_12	-0.760	-0.671	-0.183	0.057	0.650
TCRBV052_13	0.040	-0.190	0.018	0.086	-0.077
TCRBV06_5	0.001	0.014	-0.014	0.032	0.008
TCRBV06_6	0.318	-0.382	-0.296	0.091	0.336
TCRBV06_7	-0.106	-0.250	0.097	0.079	-0.238
TCRBV06_8	1.015	-0.993	0.506	2.042	0.232
TCRBV06_9	0.155	0.610	-1.311	-0.041	0.240
TCRBV06_10	0.775	0.108	-0.016	-0.287	-0.528
TCRBV06_11	-1.610	0.622	2.046	-0.848	-0.011
TCRBV06_12	-0.285	0.525	0.107	-0.984	0.711
TCRBV06_13	0.095	-0.399	0.248	-0.314	-0.209
TCRBV07_5	0.001	-0.006	0.033	0.003	-0.030
TCRBV07_6	-0.199	0.250	-0.337	0.099	-0.432
TCRBV07_7	-0.655	-0.015	-1.094	-0.517	-1.191
TCRBV07_8	-0.707	0.607	0.002	-0.295	-0.780
TCRBV07_9	-2.083	0.792	1.591	0.743	0.641
TCRBV07_10	2.228	-0.425	0.112	0.196	-0.042
TCRBV07_11	0.535	-1.187	0.726	-0.364	1.592
TCRBV07_12	1.107	-0.151	0.153	-0.067	0.806
TCRBV07_13	0.129	-0.010	0.181	-0.028	-0.023
TCRBV081_5	0.013	0.091	-0.109	0.007	0.044
TCRBV081_6	-0.541	0.327	0.288	0.012	-0.439
TCRBV081_7	-0.518	0.827	-0.029	0.556	-0.679
TCRBV081_8	-1.803	0.175	-0.575	0.082	-0.739
TCRBV081_9	0.123	0.510	0.698	-1.334	0.899
TCRBV081_10	2.174	-2.065	-0.454	-0.221	0.812
TCRBV081_11	0.352	-0.104	0.127	0.647	-0.016
TCRBV081_12	0.200	0.240	0.053	0.251	0.119
TCRBV082_4	0.049	0.139	0.365	0.270	0.226
TCRBV082_5	0.463	0.344	0.562	0.192	0.019
TCRBV082_6	0.073	0.598	0.327	-0.317	0.399
TCRBV082_7	0.692	0.806	0.925	-1.173	0.811
TCRBV082_8	0.196	-0.960	-0.411	0.222	0.033
TCRBV082_9	-0.748	-0.707	-0.838	0.240	-0.546
TCRBV082_10	-0.574	-0.492	-0.743	0.435	-0.707
TCRBV082_11	-0.152	0.272	-0.188	0.132	-0.235
TCRBV083_4	0.049	-0.010	0.000	0.113	0.011
TCRBV083_5	0.183	-0.010	-0.152	-0.114	0.093
TCRBV083_6	-0.087	-0.244	0.511	-0.237	-0.027
TCRBV083_7	1.562	-0.251	0.484	0.466	0.080
TCRBV083_8	1.240	0.498	0.490	0.384	-1.463
TCRBV083_9	-1.147	-0.422	-0.174	0.433	1.133
TCRBV083_10	-0.259	0.133	0.203	0.659	0.279
TCRBV083_11	-1.268	0.143	-0.426	-1.292	-0.063
TCRBV083_12	-0.273	0.162	-0.935	-0.413	-0.044
TCRBV09_5	-0.018	-0.023	-0.181	-0.007	-0.004
TCRBV09_6	-0.059	-0.000	0.298	-0.222	-0.285

**FIG.101B**

TCRBV09_7	-0.299	0.014	0.683	-0.647	-0.585
TCRBV09_8	0.845	0.325	1.078	-1.432	1.841
TCRBV09_9	0.057	-1.447	1.129	-0.144	-1.919
TCRBV09_10	0.091	-2.132	-0.403	-2.030	-0.489
TCRBV09_11	0.168	0.086	2.772	0.247	0.091
TCRBV09_12	0.049	-0.331	1.005	-0.468	0.093
TCRBV09_13	0.331	0.113	0.254	-0.124	0.043
TCRBV09_14	0.311	0.178	0.149	0.026	0.069
TCRBV09_15	0.042	0.067	0.015	-0.008	0.029
TCRBV10_6	-0.048	0.040	0.139	-0.675	-0.522
TCRBV10_7	0.311	-0.534	-1.023	-1.924	-0.602
TCRBV10_8	1.288	-0.821	-0.583	-1.239	0.429
TCRBV10_9	0.178	-0.709	0.306	1.088	0.276
TCRBV10_10	-0.732	0.220	0.837	0.390	1.168
TCRBV10_11	-0.260	1.184	0.179	1.810	-0.676
TCRBV10_12	-0.699	0.588	0.171	0.461	-0.036
TCRBV10_13	-0.039	0.030	-0.026	0.088	-0.036
TCRBV11_5	-0.187	0.121	-0.022	-0.054	0.064
TCRBV11_6	-0.403	-0.962	0.567	0.149	0.162
TCRBV11_7	-0.099	-0.881	0.560	-0.106	0.368
TCRBV11_8	-0.061	-0.851	0.280	-0.539	-0.037
TCRBV11_9	1.009	0.080	-0.135	0.004	-0.111
TCRBV11_10	0.417	0.408	-0.147	-0.359	0.545
TCRBV11_11	0.105	0.837	0.107	-0.425	0.336
TCRBV11_12	0.065	0.524	0.250	0.166	-0.212
TCRBV11_13	-0.249	0.392	0.070	0.387	-0.355
TCRBV11_14	-0.174	0.137	-0.119	0.398	-0.161
TCRBV11_15	-0.065	0.051	-0.044	0.148	-0.060
TCRBV12_4	-0.244	0.064	-0.262	-0.166	-0.207
TCRBV12_5	-1.143	0.239	-0.599	-0.243	-0.526
TCRBV12_6	0.699	0.772	-0.679	0.103	-0.365
TCRBV12_7	-1.397	0.324	-1.048	0.097	1.693
TCRBV12_8	1.237	-0.944	-0.089	-0.817	0.050
TCRBV12_9	-0.144	0.008	1.166	-0.049	-1.230
TCRBV12_10	0.229	-0.337	0.371	-0.210	0.230
TCRBV12_11	0.655	0.039	0.818	0.658	0.117
TCRBV12_12	0.109	-0.166	0.321	0.629	0.238
TCRBV13_5	-0.120	0.101	-0.151	0.302	-0.156
TCRBV13_6	0.219	-0.180	0.339	1.069	-0.024
TCRBV13_7	0.336	-0.753	0.308	-0.422	1.965
TCRBV13_8	-0.253	-0.434	0.583	0.931	0.916
TCRBV13_9	-0.136	0.253	-0.955	0.323	0.098
TCRBV13_10	0.615	0.796	0.191	0.492	-1.495
TCRBV13_11	-0.627	0.030	-0.067	-1.998	-1.172
TCRBV13_12	0.155	0.326	-0.308	-0.711	-0.234
TCRBV13_13	-0.189	-0.140	0.061	0.013	0.101
TCRBV14_5	-0.199	-0.049	0.061	-0.224	-0.008
TCRBV14_6	0.772	-0.000	-0.173	-0.210	-0.758
TCRBV14_7	-0.673	-0.330	1.015	0.553	0.062
TCRBV14_8	0.312	-0.529	-0.133	-0.306	-0.777
TCRBV14_9	2.124	0.026	-0.375	-0.035	1.647
TCRBV14_10	-1.006	0.793	-0.506	-0.449	-0.709
TCRBV14_11	-0.945	0.163	0.354	0.464	0.697
TCRBV14_12	-0.307	-0.108	-0.291	0.149	-0.104
TCRBV14_13	-0.079	0.033	0.048	0.059	-0.050
TCRBV15_4	-0.069	0.047	-0.002	-0.041	0.038
TCRBV15_5	-1.626	0.821	-0.612	0.508	1.755
TCRBV15_6	-0.294	-0.803	0.108	0.105	-0.695
TCRBV15_7	-0.310	-1.202	0.567	0.897	-1.000
TCRBV15_8	0.473	-0.798	-0.195	-0.387	-2.128
TCRBV15_9	-1.754	0.153	0.793	-1.055	2.012
TCRBV15_10	2.513	0.699	0.264	-0.576	0.071
TCRBV15_11	1.052	0.811	0.078	-0.046	0.332

*FIG.101C*

TCRBV15_12	0.373	0.129	0.365	0.366	0.157
TCRBV16_5	0.146	-0.002	0.260	0.062	-0.063
TCRBV16_6	-0.200	-0.088	-0.380	0.761	0.949
TCRBV16_7	-0.042	0.935	0.401	0.641	-0.147
TCRBV16_8	0.165	1.818	-0.501	-0.790	0.478
TCRBV16_9	-2.297	-1.579	-0.346	0.342	0.375
TCRBV16_10	1.631	-1.711	-0.706	0.161	-0.469
TCRBV16_11	1.966	0.598	0.138	-0.291	0.474
TCRBV16_12	0.732	0.347	-2.025	1.928	-0.653
TCRBV16_13	0.010	-0.203	-0.071	-0.121	-0.060
TCRBV18_3	0.003	0.009	0.025	0.002	0.021
TCRBV18_4	-0.382	0.172	1.117	-0.505	-0.140
TCRBV18_5	-0.088	0.569	2.138	-0.633	-0.143
TCRBV18_6	0.177	0.767	3.683	0.621	0.572
TCRBV18_7	0.141	2.436	0.365	-1.603	1.022
TCRBV18_8	-2.443	-0.368	-1.166	0.594	0.801
TCRBV18_9	-2.942	0.730	-0.489	1.739	-0.345
TCRBV18_10	-1.010	1.406	-1.356	1.166	-0.982
TCRBV18_11	-0.379	1.000	-0.400	0.442	-0.154
TCRBV18_12	-0.210	0.135	-0.170	0.079	-0.144
TCRBV18_13	0.017	0.073	0.006	0.008	0.032
TCRBV20_5	0.174	0.057	0.143	0.002	-0.209
TCRBV20_6	0.316	-0.883	0.112	0.476	-0.215
TCRBV20_7	1.152	-0.721	-0.117	1.019	-0.307
TCRBV20_8	0.936	0.095	1.419	2.026	-0.289
TCRBV20_9	0.848	1.014	2.647	0.289	-0.908
TCRBV20_10	-0.694	-2.291	-1.970	-1.817	-0.435
TCRBV20_11	-0.868	0.564	-0.547	-0.839	1.198
TCRBV20_12	0.171	0.778	-0.076	-0.695	0.193
TCRBV20_13	-1.621	1.203	-0.243	-0.657	1.482
TCRBV20_14	-0.056	0.038	-0.001	-0.033	0.031
	21	22	23	24	25
TCRBV01_6	0.176	0.112	0.092	0.019	0.220
TCRBV01_7	-0.025	0.204	0.115	0.784	-0.249
TCRBV01_8	-0.548	0.610	-0.567	0.525	0.793
TCRBV01_9	0.806	-0.919	-1.334	0.404	0.220
TCRBV01_10	1.758	1.350	-0.293	-1.577	-1.049
TCRBV01_11	0.213	-0.948	0.690	0.516	0.032
TCRBV01_12	-0.628	-0.167	1.157	0.782	0.126
TCRBV01_13	-0.014	-0.154	0.417	-0.050	0.203
TCRBV01_14	0.007	-0.030	0.022	-0.007	-0.025
TCRBV02_6	-0.154	-0.144	-0.062	-0.182	-0.046
TCRBV02_7	-0.300	-0.612	0.634	-0.200	0.247
TCRBV02_8	-0.753	-0.138	0.397	-0.490	0.138
TCRBV02_9	-0.882	-1.559	1.175	-0.541	-0.216
TCRBV02_10	-0.241	-0.310	0.858	-1.293	-0.075
TCRBV02_11	-0.595	0.219	0.346	-0.399	-0.503
TCRBV02_12	-0.223	0.216	0.268	-0.271	-0.172
TCRBV02_13	-0.083	0.054	-0.072	-0.051	0.146
TCRBV03_4	0.084	0.059	-0.092	0.089	0.012
TCRBV03_5	0.260	0.057	-0.045	0.149	0.083
TCRBV03_6	0.805	0.524	0.640	0.081	0.446
TCRBV03_7	0.367	0.132	1.060	-0.101	-0.038
TCRBV03_8	0.560	0.177	0.901	-0.332	0.677
TCRBV03_9	1.092	-0.183	-0.343	0.379	-0.169
TCRBV03_10	-2.127	-0.655	-1.703	0.653	0.548
TCRBV03_11	0.172	0.102	-0.182	0.237	-1.295
TCRBV03_12	0.681	0.039	-0.892	-0.369	-0.379
TCRBV03_13	-0.149	-0.193	0.955	0.609	0.385
TCRBV04_6	-0.011	0.031	0.032	-0.044	-0.079
TCRBV04_7	0.125	0.106	0.112	0.430	-0.034
TCRBV04_8	0.159	0.143	0.492	0.417	0.131

**FIG.101D**

TCRBV04_9	-0.380	-0.497	0.305	0.967	0.401
TCRBV04_10	0.067	0.229	-0.235	-1.262	0.703
TCRBV04_11	0.696	0.081	-0.381	-1.045	-0.781
TCRBV04_12	0.930	-0.023	0.262	0.160	-0.422
TCRBV04_13	-1.525	-0.411	-0.484	0.267	-0.492
TCRBV04_14	0.085	0.119	-0.064	-0.042	0.604
TCRBV04_15	-0.145	0.222	-0.039	0.153	-0.031
TCRBV051_5	-0.187	0.084	0.140	-0.156	-0.047
TCRBV051_6	-0.784	0.005	1.127	-0.349	-1.081
TCRBV051_7	-0.145	0.663	0.917	-0.724	-1.560
TCRBV051_8	1.494	0.566	-0.074	1.290	0.101
TCRBV051_9	-2.002	-1.365	0.071	-0.026	-0.021
TCRBV051_10	0.689	0.479	-0.173	-1.119	0.751
TCRBV051_11	0.589	0.298	-2.312	-0.076	0.224
TCRBV051_12	0.311	0.128	-0.474	0.243	0.596
TCRBV051_13	-0.058	0.172	-0.043	0.226	0.025
TCRBV052_6	-0.193	0.005	0.047	-0.306	-0.083
TCRBV052_7	0.474	0.620	0.038	0.063	0.734
TCRBV052_8	-0.841	1.022	0.192	1.215	-1.125
TCRBV052_9	0.841	0.225	-0.634	0.213	0.509
TCRBV052_10	0.915	-0.694	0.182	-0.944	-0.388
TCRBV052_11	-0.563	-0.004	-0.516	-0.179	-0.233
TCRBV052_12	-0.552	-0.167	-0.179	-0.596	-0.379
TCRBV052_13	-0.175	0.021	0.050	-0.157	-0.044
TCRBV06_5	0.006	0.012	-0.049	-0.038	0.124
TCRBV06_6	0.384	-0.089	0.336	0.547	-0.537
TCRBV06_7	0.510	0.824	0.632	0.069	-0.184
TCRBV06_8	0.278	0.455	0.106	0.178	0.432
TCRBV06_9	1.472	-0.367	-0.245	-0.017	-0.570
TCRBV06_10	-0.804	-0.066	0.105	0.279	0.045
TCRBV06_11	-0.178	-0.623	0.586	0.092	1.272
TCRBV06_12	0.080	-0.207	-0.967	0.384	-0.366
TCRBV06_13	-0.004	0.120	-0.206	-0.099	0.054
TCRBV07_5	0.005	-0.011	0.025	0.001	-0.061
TCRBV07_6	0.273	-0.356	0.593	-0.086	-0.048
TCRBV07_7	-0.452	-1.366	0.766	0.175	-0.434
TCRBV07_8	-0.701	0.737	-0.779	0.164	-0.084
TCRBV07_9	0.020	-0.299	0.263	-0.804	1.635
TCRBV07_10	0.525	0.727	-0.751	1.821	-0.753
TCRBV07_11	0.931	0.422	0.884	0.200	0.171
TCRBV07_12	0.869	0.257	-0.832	-0.173	-0.303
TCRBV07_13	0.275	-0.052	0.129	0.098	0.148
TCRBV081_5	-0.186	0.018	0.214	-0.042	-0.124
TCRBV081_6	-0.383	0.415	-0.237	-0.181	0.147
TCRBV081_7	-0.135	0.263	-0.377	0.501	-0.332
TCRBV081_8	-0.470	0.091	0.358	0.083	-0.587
TCRBV081_9	1.522	-2.568	-1.689	1.176	0.150
TCRBV081_10	0.102	1.256	0.980	-0.910	0.959
TCRBV081_11	-0.321	0.553	0.529	-0.535	-0.090
TCRBV081_12	-0.129	-0.027	0.222	-0.092	-0.122
TCRBV082_4	-0.605	0.479	0.143	-0.066	0.096
TCRBV082_5	-0.214	0.771	0.245	0.443	0.490
TCRBV082_6	-0.308	1.061	0.104	0.159	0.290
TCRBV082_7	0.105	1.090	0.137	0.544	0.534
TCRBV082_8	-0.909	-2.105	-0.899	-0.301	-0.941
TCRBV082_9	0.967	-0.858	-0.159	-0.188	-0.426
TCRBV082_10	0.650	-0.672	-0.046	-0.573	-0.063
TCRBV082_11	0.313	0.234	0.474	-0.016	0.019
TCRBV083_4	-0.010	-0.006	0.079	0.049	0.038
TCRBV083_5	-0.037	-0.000	-0.069	0.041	0.079
TCRBV083_6	-0.326	-0.030	-0.069	0.140	-0.048
TCRBV083_7	-0.331	0.408	-0.024	0.293	-0.242
TCRBV083_8	-0.608	0.310	-0.479	0.183	-0.342
TCRBV083_9	-0.990	-0.398	0.460	-0.094	0.578

FIG. 102A

TCRBV083_10	0.333	0.091	0.214	-0.766	0.370
TCRBV083_11	1.560	-0.275	-0.432	0.101	-0.658
TCRBV083_12	0.410	-0.100	0.321	0.054	0.226
TCRBV09_5	-0.154	-0.028	0.180	0.083	-0.236
TCRBV09_6	-0.220	0.273	0.448	-0.401	0.203
TCRBV09_7	0.191	0.844	0.598	-0.603	-0.383
TCRBV09_8	-1.128	-0.203	-0.908	-2.343	0.176
TCRBV09_9	-1.097	-0.258	0.663	-0.596	1.788
TCRBV09_10	-0.528	0.356	0.622	-0.181	-0.575
TCRBV09_11	0.462	-1.803	-1.502	-0.530	0.616
TCRBV09_12	0.124	0.435	1.089	1.636	0.320
TCRBV09_13	0.131	0.467	0.605	0.913	-0.066
TCRBV09_14	0.140	0.199	0.164	0.490	0.108
TCRBV09_15	0.030	-0.003	0.032	0.081	-0.037
TCRBV10_6	0.722	0.362	-0.485	-0.361	-0.139
TCRBV10_7	0.842	0.382	-0.713	0.063	0.823
TCRBV10_8	0.316	-0.457	-0.381	-0.072	1.074
TCRBV10_9	0.045	-0.956	1.048	0.279	-1.374
TCRBV10_10	-0.434	-0.530	0.421	-0.130	-0.567
TCRBV10_11	-1.029	0.651	0.111	0.352	0.481
TCRBV10_12	-0.502	0.520	0.044	-0.173	-0.303
TCRBV10_13	0.040	0.028	-0.044	0.043	0.006
TCRBV11_5	-0.064	0.062	-0.260	0.134	-0.098
TCRBV11_6	-0.972	0.017	-0.360	0.328	0.057
TCRBV11_7	-0.587	0.263	0.146	0.243	0.084
TCRBV11_8	0.172	-0.023	-0.417	-0.758	-0.457
TCRBV11_9	-1.042	0.612	-0.205	-1.241	-1.087
TCRBV11_10	1.012	-0.917	0.936	0.819	-0.365
TCRBV11_11	1.613	0.243	0.545	0.251	0.750
TCRBV11_12	0.682	-0.543	0.273	0.916	0.850
TCRBV11_13	0.680	0.169	-0.085	0.438	0.498
TCRBV11_14	0.183	0.129	-0.200	0.194	0.027
TCRBV11_15	0.068	0.048	-0.074	0.072	0.010
TCRBV12_4	0.022	0.053	0.180	-0.065	-0.101
TCRBV12_5	1.110	-0.584	1.057	-0.068	-0.140
TCRBV12_6	-0.075	-0.769	0.467	0.097	-0.644
TCRBV12_7	-0.259	-1.402	0.689	-0.125	-1.174
TCRBV12_8	0.087	-0.402	0.187	-0.477	-0.052
TCRBV12_9	0.119	0.966	-0.925	1.005	0.253
TCRBV12_10	-2.043	1.000	-0.114	-0.685	0.668
TCRBV12_11	0.547	0.877	-1.581	0.308	0.942
TCRBV12_12	0.492	0.262	0.041	0.011	0.249
TCRBV13_5	0.121	0.015	-0.081	-0.017	0.009
TCRBV13_6	-1.169	0.258	0.295	0.299	0.480
TCRBV13_7	0.554	1.274	0.108	-0.247	-0.776
TCRBV13_8	-0.691	-0.703	-1.262	0.501	-0.489
TCRBV13_9	0.455	0.203	0.486	-0.737	0.389
TCRBV13_10	-0.196	-0.138	1.183	0.206	-0.237
TCRBV13_11	0.740	-0.070	-0.809	-0.165	0.427
TCRBV13_12	0.053	-0.160	0.256	0.096	0.192
TCRBV13_13	0.132	-0.680	-0.176	0.063	0.005
TCRBV14_5	0.308	0.021	-0.164	-0.004	-0.105
TCRBV14_6	0.564	0.312	-0.184	-0.277	0.014
TCRBV14_7	1.453	-0.325	0.497	-0.407	-0.207
TCRBV14_8	0.303	-0.679	-0.102	0.386	0.164
TCRBV14_9	-0.497	-0.954	-0.253	-0.098	-0.256
TCRBV14_10	-1.038	1.158	-0.080	-0.496	-0.094
TCRBV14_11	-1.230	0.427	0.330	0.618	0.386
TCRBV14_12	0.086	0.023	-0.003	0.211	0.073
TCRBV14_13	0.052	0.017	-0.041	0.066	0.025
TCRBV15_4	-0.022	0.052	0.015	-0.064	0.065
TCRBV15_5	-0.051	1.008	-1.136	0.049	-0.596
TCRBV15_6	-0.773	-0.068	0.204	0.636	-0.051
TCRBV15_7	-1.179	-0.041	-0.204	0.111	-0.181

**FIG.102B**

TCRBV15_8	0.828	0.729	-0.001	0.308	0.060
TCRBV15_9	1.208	0.830	1.383	-0.416	0.418
TCRBV15_10	0.580	-1.442	0.006	0.863	0.370
TCRBV15_11	0.879	-0.697	0.040	-0.025	0.349
TCRBV15_12	0.276	-0.312	-0.008	-0.065	-0.163
TCRBV16_5	-0.131	0.237	0.055	0.198	-0.079
TCRBV16_6	-0.499	0.666	-0.886	1.169	0.117
TCRBV16_7	-0.295	0.423	-0.001	-1.066	0.136
TCRBV16_8	-0.055	0.742	0.373	1.006	0.007
TCRBV16_9	0.553	-0.298	-0.533	0.181	-1.618
TCRBV16_10	-0.445	0.654	-2.438	-0.383	0.453
TCRBV16_11	1.179	-0.232	2.576	0.828	0.555
TCRBV16_12	1.234	-1.220	0.280	-1.105	-0.258
TCRBV16_13	0.110	0.115	0.051	-0.121	-0.053
TCRBV18_3	0.002	-0.007	0.012	0.016	-0.028
TCRBV18_4	-0.345	0.670	0.183	0.552	-0.536
TCRBV18_5	-0.407	0.864	0.120	0.568	-0.878
TCRBV18_6	-0.245	0.101	0.120	0.372	-2.058
TCRBV18_7	-1.112	-0.788	-0.503	0.752	0.228
TCRBV18_8	0.099	-1.862	0.205	-0.204	1.216
TCRBV18_9	0.612	-0.109	-0.765	0.095	0.892
TCRBV18_10	0.873	-0.445	-0.474	-0.505	0.795
TCRBV18_11	0.327	0.278	-0.587	0.179	-0.186
TCRBV18_12	0.117	0.057	-0.029	0.069	-0.053
TCRBV18_13	-0.060	0.025	0.067	-0.066	0.020
TCRBV20_5	-0.155	-0.149	-0.129	0.106	-0.029
TCRBV20_6	-0.480	0.164	-0.032	0.041	0.879
TCRBV20_7	0.101	-0.950	0.416	-0.827	-0.719
TCRBV20_8	-0.927	-1.448	0.547	0.407	1.055
TCRBV20_9	1.665	-0.690	-0.903	0.222	-1.122
TCRBV20_10	-0.152	0.082	0.733	1.987	0.025
TCRBV20_11	1.612	1.397	0.181	-0.414	0.622
TCRBV20_12	0.094	0.274	0.268	-0.489	0.438
TCRBV20_13	0.006	1.336	-0.794	0.415	-0.930
TCRBV20_14	-0.018	0.042	0.012	-0.052	0.052
	26	27	28	29	30
TCRBV01_6	-0.202	-0.173	-0.047	0.033	0.145
TCRBV01_7	-0.078	-0.189	0.155	0.172	-0.121
TCRBV01_8	0.777	0.327	0.297	0.175	0.398
TCRBV01_9	0.358	0.670	-0.505	-1.099	-1.170
TCRBV01_10	0.181	0.121	-0.041	0.488	0.052
TCRBV01_11	0.142	0.104	0.155	0.100	0.322
TCRBV01_12	0.180	-0.363	-0.174	0.290	0.364
TCRBV01_13	0.092	0.227	0.053	0.046	-0.015
TCRBV01_14	0.021	0.030	0.018	-0.007	0.004
TCRBV02_6	0.003	0.027	-0.094	0.174	0.716
TCRBV02_7	0.504	-0.302	-0.266	0.158	-0.047
TCRBV02_8	-0.324	-0.440	-0.028	-0.282	0.282
TCRBV02_9	-1.091	0.926	0.506	0.292	-0.324
TCRBV02_10	-0.999	0.221	0.548	-0.144	0.010
TCRBV02_11	-0.992	0.143	-0.135	-0.056	-0.027
TCRBV02_12	-0.464	-0.114	0.553	-0.206	0.057
TCRBV02_13	-0.078	-0.051	-0.008	-0.158	0.002
TCRBV03_4	0.089	-0.011	-0.028	0.006	-0.017
TCRBV03_5	-0.011	-0.028	0.016	0.096	-0.002
TCRBV03_6	0.558	-0.170	0.019	0.282	-0.220
TCRBV03_7	0.303	-0.272	0.535	-0.055	-0.301
TCRBV03_8	-0.346	-0.173	1.131	-0.456	-0.218
TCRBV03_9	-0.599	-0.208	-0.268	-0.890	0.365
TCRBV03_10	0.111	0.363	0.357	0.032	0.553
TCRBV03_11	0.539	0.257	-0.549	0.608	-0.206

**FIG.102C**



TCRBV03_12	0.462	-0.235	-0.704	0.351	0.054
TCRBV03_13	0.364	1.230	-0.599	0.225	-0.028
TCRBV04_6	-0.077	0.040	0.017	0.051	0.045
TCRBV04_7	0.065	-0.373	0.127	0.131	0.327
TCRBV04_8	0.501	-0.621	-0.021	0.118	-0.199
TCRBV04_9	0.646	-1.073	0.121	0.612	-0.214
TCRBV04_10	-0.266	0.339	-0.595	-1.448	-0.492
TCRBV04_11	-0.192	0.607	-0.088	0.668	-0.148
TCRBV04_12	-0.249	0.168	0.115	0.937	0.617
TCRBV04_13	-0.147	0.626	-0.038	-0.248	0.120
TCRBV04_14	-0.370	0.090	0.280	-0.437	-0.093
TCRBV04_15	0.088	0.198	0.080	-0.383	0.038
TCRBV051_5	0.095	-0.072	-0.117	0.091	0.322
TCRBV051_6	0.300	-0.742	-0.158	0.665	-0.061
TCRBV051_7	1.154	0.150	0.548	-0.309	0.131
TCRBV051_8	-1.168	-0.692	-0.229	-0.912	0.212
TCRBV051_9	0.976	1.173	1.475	0.917	-0.242
TCRBV051_10	-1.264	0.031	-0.311	0.388	-0.368
TCRBV051_11	0.470	0.370	0.480	-0.433	0.694
TCRBV051_12	-0.706	-0.664	-0.425	0.434	0.334
TCRBV051_13	-0.006	0.036	-0.079	-0.212	0.323
TCRBV052_6	-0.000	-0.001	0.129	-0.560	0.064
TCRBV052_7	-0.333	0.676	0.304	-0.790	0.025
TCRBV052_8	-0.546	-0.549	0.473	-0.043	0.581
TCRBV052_9	0.330	-0.116	-0.366	0.897	-0.606
TCRBV052_10	-0.455	-0.901	0.349	0.189	0.489
TCRBV052_11	0.885	0.292	0.343	0.291	0.434
TCRBV052_12	0.151	0.068	-0.110	0.506	0.378
TCRBV052_13	-0.182	0.121	0.060	0.139	-0.017
TCRBV06_5	0.019	-0.053	0.071	0.071	0.009
TCRBV06_6	-0.364	-0.263	0.103	0.178	-0.106
TCRBV06_7	0.036	-0.190	0.745	0.582	-0.091
TCRBV06_8	-0.246	-0.401	0.456	-0.169	-0.512
TCRBV06_9	-1.055	0.098	0.255	0.189	-0.909
TCRBV06_10	0.811	1.255	-0.533	-0.726	0.203
TCRBV06_11	1.757	0.041	-0.638	-0.549	0.587
TCRBV06_12	0.007	-0.043	-0.614	0.246	0.821
TCRBV06_13	0.505	0.310	0.064	0.379	-0.023
TCRBV07_5	-0.008	-0.009	0.025	-0.037	-0.034
TCRBV07_6	0.158	0.794	-0.811	-0.267	0.119
TCRBV07_7	0.186	0.154	-0.658	-0.270	0.274
TCRBV07_8	-0.102	-0.646	-0.247	0.820	-0.469
TCRBV07_9	0.988	0.655	0.107	-1.057	-0.005
TCRBV07_10	-0.005	-0.136	0.508	0.254	0.536
TCRBV07_11	0.947	0.498	0.487	0.199	-0.428
TCRBV07_12	-0.505	-0.544	0.455	0.428	-0.000
TCRBV07_13	-0.188	-0.013	0.043	0.130	-0.013
TCRBV081_5	0.015	-0.163	-0.033	0.165	0.068
TCRBV081_6	0.340	-0.221	0.134	-0.209	0.390
TCRBV081_7	0.196	0.983	0.882	-0.781	0.283
TCRBV081_8	0.018	0.290	1.469	-0.344	0.362
TCRBV081_9	-0.341	0.693	0.100	0.604	-0.275
TCRBV081_10	-0.120	-0.935	-0.876	-0.295	0.917
TCRBV081_11	-0.066	-0.504	-0.345	0.167	-0.487
TCRBV081_12	-0.043	-0.144	-1.332	0.692	-1.259
TCRBV082_4	-0.267	0.115	0.380	0.258	0.345
TCRBV082_5	-0.027	0.511	-0.006	0.191	0.217
TCRBV082_6	-0.029	0.512	0.684	0.553	0.447
TCRBV082_7	-0.075	0.719	-0.209	0.577	0.049
TCRBV082_8	-0.099	-0.784	-0.190	-0.494	-0.021
TCRBV082_9	0.376	-0.543	-0.367	-0.632	-0.330
TCRBV082_10	-0.155	-0.423	-0.153	-0.418	-0.374
TCRBV082_11	0.275	-0.108	-0.139	-0.034	-0.332
TCRBV083_4	0.026	0.095	-0.041	0.017	-0.000

**FIG. 102D**

TCRBV083_5	-0.095	-0.090	-0.301	0.208	-0.310
TCRBV083_6	-0.365	0.072	-0.393	0.206	-0.193
TCRBV083_7	-0.307	0.082	-0.850	0.039	-0.266
TCRBV083_8	-0.246	0.198	-0.447	0.165	0.648
TCRBV083_9	0.032	-0.558	0.305	-0.293	-0.202
TCRBV083_10	0.487	0.366	0.362	-0.291	-0.267
TCRBV083_11	0.254	-0.423	0.741	0.074	0.065
TCRBV083_12	0.212	0.258	0.623	-0.126	0.525
TCRBV09_5	-0.009	-0.187	-0.075	0.104	0.032
TCRBV09_6	-0.060	-0.095	0.170	-0.202	0.084
TCRBV09_7	-0.322	-0.221	0.730	0.444	-0.431
TCRBV09_8	-0.200	-0.387	-0.064	-0.400	-0.451
TCRBV09_9	-1.272	-0.683	1.048	0.775	-0.097
TCRBV09_10	-0.704	0.103	-1.093	0.460	0.947
TCRBV09_11	0.085	-1.288	0.082	0.418	0.021
TCRBV09_12	-0.859	0.702	-1.093	-0.856	0.552
TCRBV09_13	-0.235	0.495	-0.389	-0.297	-0.352
TCRBV09_14	-0.100	0.184	0.152	0.069	0.097
TCRBV09_15	-0.017	0.068	0.041	0.042	-0.074
TCRBV10_6	0.297	0.039	0.045	-0.334	0.420
TCRBV10_7	0.439	-0.491	0.188	0.207	0.390
TCRBV10_8	0.633	0.591	0.583	-0.091	0.481
TCRBV10_9	0.639	0.461	0.981	-0.555	-0.853
TCRBV10_10	0.389	-0.797	-0.232	-0.116	-0.167
TCRBV10_11	-1.769	0.224	-0.595	0.531	-0.325
TCRBV10_12	-0.671	-0.022	-0.956	0.355	0.062
TCRBV10_13	0.043	-0.005	-0.013	0.003	-0.008
TCRBV11_5	0.092	0.215	-0.106	0.099	0.087
TCRBV11_6	0.025	-0.117	0.066	0.195	0.215
TCRBV11_7	0.289	0.254	-0.198	0.658	-0.015
TCRBV11_8	0.671	-0.420	0.403	0.608	0.132
TCRBV11_9	0.102	0.910	0.055	-0.293	-0.308
TCRBV11_10	0.501	0.385	-0.148	-0.130	-0.076
TCRBV11_11	0.001	0.372	-0.022	-0.481	0.018
TCRBV11_12	-0.534	-0.716	-0.048	-0.342	0.086
TCRBV11_13	0.055	-0.098	-0.010	-0.133	-0.107
TCRBV11_14	0.194	-0.023	-0.061	0.013	-0.038
TCRBV11_15	0.072	-0.009	-0.023	0.005	-0.014
TCRBV12_4	0.063	0.093	-0.032	0.160	0.048
TCRBV12_5	0.547	0.406	-0.901	0.493	-0.088
TCRBV12_6	0.015	-0.262	-0.075	-0.603	0.862
TCRBV12_7	-0.338	-0.765	-0.332	-0.421	0.136
TCRBV12_8	-0.346	0.402	0.469	0.321	-0.268
TCRBV12_9	0.128	-0.130	0.618	0.256	-0.225
TCRBV12_10	-0.084	0.212	-0.067	0.144	-0.508
TCRBV12_11	0.065	-0.002	0.339	-0.119	-0.125
TCRBV12_12	-0.049	0.045	-0.018	-0.232	0.168
TCRBV13_5	0.134	-0.043	-0.026	-0.075	-0.077
TCRBV13_6	-0.455	0.187	-0.305	0.187	-0.607
TCRBV13_7	1.379	0.112	-0.400	0.364	0.455
TCRBV13_8	-0.206	-0.742	0.866	0.551	-0.291
TCRBV13_9	-0.552	-1.274	0.468	0.356	0.763
TCRBV13_10	-0.064	-0.313	0.061	-0.774	-0.327
TCRBV13_11	-0.172	-0.645	-0.488	-0.527	-0.411
TCRBV13_12	0.022	0.212	-0.287	-0.298	0.283
TCRBV13_13	-0.087	-0.042	0.111	0.217	0.213
TCRBV14_5	0.043	-0.197	-0.047	0.044	-0.007
TCRBV14_6	0.033	-0.131	0.080	0.067	-0.056
TCRBV14_7	0.549	0.205	0.166	-0.187	0.236
TCRBV14_8	-0.499	0.691	0.235	0.008	-0.218
TCRBV14_9	0.479	0.757	-0.523	0.098	0.099
TCRBV14_10	-1.073	-0.076	-0.466	-0.276	-0.006
TCRBV14_11	0.382	-1.236	0.478	0.254	-0.056
TCRBV14_12	0.029	-0.014	0.115	-0.001	0.042

**FIG. 103A**

TCRBV14_13	0.056	0.001	-0.038	-0.008	-0.034
TCRBV15_4	-0.012	-0.074	0.008	-0.185	-0.024
TCRBV15_5	-0.333	0.810	-0.200	0.363	0.228
TCRBV15_6	0.096	0.049	-0.169	0.347	0.092
TCRBV15_7	1.306	-0.907	-0.742	0.105	0.265
TCRBV15_8	0.958	0.577	-0.079	-0.265	-0.664
TCRBV15_9	0.368	0.137	-0.007	0.657	-0.303
TCRBV15_10	-0.563	0.401	0.636	-0.747	0.476
TCRBV15_11	-0.275	-0.223	0.463	-0.132	-0.037
TCRBV15_12	-0.074	-0.016	-0.002	0.057	-0.056
TCRBV16_5	0.002	0.162	0.110	-0.150	0.038
TCRBV16_6	0.245	1.253	-0.268	0.049	-0.097
TCRBV16_7	1.056	0.195	0.512	0.207	-0.292
TCRBV16_8	1.032	-1.770	-0.134	-0.369	0.366
TCRBV16_9	-0.786	0.057	0.661	-0.379	0.802
TCRBV16_10	0.052	0.426	0.296	0.136	-0.490
TCRBV16_11	-0.134	0.080	0.459	1.341	0.655
TCRBV16_12	-0.373	-0.169	-0.732	-0.136	0.291
TCRBV16_13	0.227	0.109	0.187	0.131	0.054
TCRBV18_3	-0.011	-0.018	-0.005	0.012	-0.006
TCRBV18_4	-0.385	0.155	0.296	-0.584	-0.075
TCRBV18_5	-1.028	-0.527	0.357	-0.442	0.315
TCRBV18_6	-1.260	0.842	0.617	-0.909	-0.125
TCRBV18_7	-0.193	-1.547	-0.017	-0.470	-0.537
TCRBV18_8	-1.171	1.573	-0.965	1.106	0.010
TCRBV18_9	-0.879	-0.272	0.121	0.609	1.186
TCRBV18_10	0.039	-0.131	0.680	0.363	-0.174
TCRBV18_11	0.204	-0.378	0.270	-0.017	-0.215
TCRBV18_12	0.103	0.052	0.174	0.010	0.103
TCRBV18_13	0.014	-0.029	0.011	0.067	0.033
TCRBV20_5	0.280	0.036	-0.046	0.038	0.125
TCRBV20_6	0.542	-0.193	-0.693	-0.806	0.759
TCRBV20_7	0.607	0.076	0.128	-0.035	0.560
TCRBV20_8	-0.045	0.321	0.621	0.470	0.751
TCRBV20_9	0.289	0.033	-0.723	1.306	0.168
TCRBV20_10	0.205	-0.131	0.222	0.118	-2.418
TCRBV20_11	-0.540	0.134	0.724	-0.342	-0.123
TCRBV20_12	0.086	-0.456	0.225	-0.390	0.227
TCRBV20_13	0.054	0.993	-0.555	-0.010	-0.050
TCRBV20_14	-0.009	-0.060	0.007	-0.150	-0.019
	31	32	33	34	35
TCRBV01_6	-0.018	0.070	0.011	0.093	0.015
TCRBV01_7	0.623	0.102	0.195	0.141	0.047
TCRBV01_8	0.678	-0.704	0.327	-0.704	0.059
TCRBV01_9	0.879	1.282	0.305	0.333	0.123
TCRBV01_10	-0.250	0.005	-0.065	-0.239	-0.013
TCRBV01_11	-1.133	-0.810	-0.609	0.385	-0.278
TCRBV01_12	-0.410	0.356	-0.278	-0.117	-0.078
TCRBV01_13	-0.154	-0.135	-0.249	-0.156	-0.062
TCRBV01_14	0.006	-0.005	0.005	0.009	-0.021
TCRBV02_6	0.177	0.356	-0.049	0.221	0.287
TCRBV02_7	-0.560	0.001	-0.021	-0.055	0.303
TCRBV02_8	0.353	-0.334	0.209	-0.125	0.170
TCRBV02_9	0.090	-0.538	-0.084	1.106	0.298
TCRBV02_10	0.124	0.199	0.518	0.361	-0.133
TCRBV02_11	0.075	0.057	0.255	0.155	-0.296
TCRBV02_12	-0.547	-0.180	0.474	-0.264	-0.089
TCRBV02_13	-0.026	-0.190	0.304	-0.027	0.105
TCRBV03_4	0.008	0.016	-0.042	-0.036	-0.017
TCRBV03_5	-0.042	0.028	-0.033	0.072	0.015
TCRBV03_6	0.674	-0.302	-0.291	-0.348	0.138

**FIG 103B**

TCRBV03_7	0.077	-0.182	0.433	0.105	-0.334
TCRBV03_8	0.153	-0.595	0.393	-0.247	0.172
TCRBV03_9	-0.075	0.146	0.024	-0.469	0.315
TCRBV03_10	-0.903	0.337	-0.269	0.435	-0.141
TCRBV03_11	0.134	0.223	0.046	0.759	-0.637
TCRBV03_12	-0.009	0.547	-0.302	0.033	0.410
TCRBV03_13	0.203	-0.056	-0.318	-0.559	-0.130
TCRBV04_6	-0.079	0.050	-0.030	-0.049	0.007
TCRBV04_7	-0.166	0.108	-0.211	-0.025	-0.197
TCRBV04_8	0.598	-0.612	-0.079	0.431	0.285
TCRBV04_9	0.604	0.005	-0.715	0.115	0.306
TCRBV04_10	-0.869	-0.510	0.181	0.371	0.542
TCRBV04_11	-0.614	0.128	0.423	-0.830	0.603
TCRBV04_12	0.461	0.316	1.297	0.276	0.287
TCRBV04_13	0.010	0.803	-0.832	-0.224	-0.893
TCRBV04_14	-0.101	-0.435	-0.146	-0.098	-0.736
TCRBV04_15	0.156	0.146	0.111	0.032	-0.204
TCRBV051_5	-0.354	-0.499	0.016	-0.014	-0.017
TCRBV051_6	0.230	0.114	-0.261	0.300	0.279
TCRBV051_7	-0.467	-0.417	0.229	-0.036	0.325
TCRBV051_8	0.200	-0.266	-0.052	0.210	0.148
TCRBV051_9	0.160	0.982	0.835	-0.258	0.613
TCRBV051_10	0.310	-0.280	-0.588	-0.172	0.265
TCRBV051_11	0.081	0.011	-0.039	0.675	-0.050
TCRBV051_12	-0.019	-0.744	-0.175	0.560	-0.864
TCRBV051_13	-0.153	-0.109	0.157	-0.028	0.013
TCRBV052_6	-0.062	-0.094	0.049	0.262	-0.220
TCRBV052_7	-0.403	0.096	0.157	0.340	-0.075
TCRBV052_8	0.253	-0.176	-0.081	0.102	0.196
TCRBV052_9	-0.459	-0.266	0.223	0.438	0.427
TCRBV052_10	0.864	-1.009	-0.094	0.035	-0.119
TCRBV052_11	-0.329	0.277	-0.042	0.137	0.406
TCRBV052_12	0.216	-0.078	-0.036	-0.036	0.116
TCRBV052_13	-0.092	0.043	-0.054	-0.041	-0.019
TCRBV06_5	0.114	-0.034	0.034	-0.001	-0.124
TCRBV06_6	-0.184	0.180	0.164	-0.162	-0.180
TCRBV06_7	-0.416	0.498	-0.096	-0.261	-0.044
TCRBV06_8	-0.696	0.805	-0.729	-0.191	-0.012
TCRBV06_9	-0.263	0.019	-0.086	-0.087	-0.739
TCRBV06_10	1.044	-0.719	0.273	0.282	-0.062
TCRBV06_11	0.154	-0.814	-0.162	0.123	0.634
TCRBV06_12	0.398	0.386	0.232	-0.107	0.023
TCRBV06_13	0.068	-0.158	0.011	0.150	0.296
TCRBV07_5	-0.014	0.008	0.026	0.010	-0.045
TCRBV07_6	0.266	-0.215	-0.050	-0.478	-0.042
TCRBV07_7	0.565	0.110	0.458	-0.355	-0.371
TCRBV07_8	0.355	0.039	-0.635	0.109	-0.063
TCRBV07_9	-0.133	0.051	-0.807	-0.165	-0.325
TCRBV07_10	-0.434	-0.074	0.342	-0.064	0.125
TCRBV07_11	-0.193	-0.166	0.054	0.216	0.109
TCRBV07_12	-0.105	0.356	0.230	0.322	0.368
TCRBV07_13	-0.085	0.053	0.023	0.150	0.035
TCRBV081_5	-0.043	-0.155	0.061	-0.013	0.023
TCRBV081_6	-0.521	-0.078	-0.159	0.379	0.099
TCRBV081_7	0.071	-0.461	-0.553	-0.047	0.469
TCRBV081_8	0.097	0.174	-0.233	0.237	-0.259
TCRBV081_9	-0.131	-0.053	0.365	-0.281	0.149
TCRBV081_10	0.496	0.811	0.419	0.083	-0.839
TCRBV081_11	0.105	-0.036	0.002	0.278	0.130
TCRBV081_12	-0.075	-0.202	0.097	-0.636	0.228
TCRBV082_4	-0.097	-0.014	0.054	-0.097	-0.018
TCRBV082_5	0.278	0.205	0.313	-0.058	0.042
TCRBV082_6	0.236	-0.162	0.086	-0.188	-0.378
TCRBV082_7	-0.109	0.677	-0.027	-0.006	0.737

**FIG. 103C**

TCRBV082_8	-0.328	-1.074	-0.302	-0.826	-0.273
TCRBV082_9	0.182	0.031	-0.251	0.364	0.188
TCRBV082_10	-0.042	-0.133	-0.021	0.497	-0.293
TCRBV082_11	-0.120	0.470	0.148	0.315	-0.005
TCRBV083_4	0.011	0.001	-0.022	-0.035	-0.012
TCRBV083_5	0.241	0.045	0.267	-0.033	0.232
TCRBV083_6	0.132	-0.060	-0.261	0.134	-0.110
TCRBV083_7	0.253	0.005	-0.075	-0.952	-0.102
TCRBV083_8	0.120	-0.907	-0.038	-0.766	-0.009
TCRBV083_9	-0.464	0.315	-0.667	0.101	-0.169
TCRBV083_10	-0.447	0.596	0.062	0.659	0.167
TCRBV083_11	-0.067	0.051	0.413	0.476	0.093
TCRBV083_12	0.220	-0.046	0.321	0.416	-0.089
TCRBV09_5	0.128	-0.013	0.123	-0.036	0.038
TCRBV09_6	0.167	0.254	0.074	-0.044	0.353
TCRBV09_7	0.397	-0.556	-0.991	0.735	0.063
TCRBV09_8	-0.781	-0.127	0.403	-0.989	0.418
TCRBV09_9	-0.324	0.277	-0.097	0.104	0.126
TCRBV09_10	-0.403	-0.411	0.159	-0.153	-0.023
TCRBV09_11	-0.187	-0.146	0.805	-0.018	-0.623
TCRBV09_12	0.036	0.309	0.061	0.566	0.809
TCRBV09_13	0.162	0.200	0.169	-0.007	0.519
TCRBV09_14	0.083	0.131	0.191	0.146	0.384
TCRBV09_15	0.085	0.039	-0.055	0.056	0.118
TCRBV10_6	-0.113	0.027	-0.019	0.123	0.386
TCRBV10_7	-0.171	0.507	-0.384	-0.329	-0.007
TCRBV10_8	0.490	0.194	-0.171	-0.715	-0.123
TCRBV10_9	-0.034	0.230	0.320	-0.004	0.281
TCRBV10_10	-0.116	-0.723	-0.345	0.160	-0.111
TCRBV10_11	-0.172	-0.027	0.380	0.802	-0.495
TCRBV10_12	0.112	-0.217	0.238	-0.020	0.077
TCRBV10_13	0.004	0.008	-0.020	-0.017	-0.008
TCRBV11_5	-0.079	-0.146	0.011	0.258	0.144
TCRBV11_6	0.003	0.344	-0.289	0.575	0.199
TCRBV11_7	-0.201	-0.186	-0.099	-0.030	-0.017
TCRBV11_8	0.635	-0.145	-0.442	-0.239	-0.470
TCRBV11_9	0.743	0.179	-0.476	-0.048	0.143
TCRBV11_10	-0.094	0.223	0.044	-0.495	-0.530
TCRBV11_11	-0.303	0.099	0.288	-0.166	0.087
TCRBV11_12	-0.373	-0.268	0.534	0.036	0.127
TCRBV11_13	-0.135	0.014	0.195	-0.038	0.157
TCRBV11_14	0.018	0.036	-0.091	-0.078	-0.036
TCRBV11_15	0.007	0.013	-0.034	-0.029	-0.013
TCRBV12_4	-0.099	-0.217	-0.014	0.035	-0.128
TCRBV12_5	0.146	0.283	0.133	-0.088	0.231
TCRBV12_6	-0.572	0.562	0.620	-0.135	-0.459
TCRBV12_7	-0.110	0.756	0.188	0.522	-0.425
TCRBV12_8	0.998	-0.035	-0.218	0.107	0.043
TCRBV12_9	-0.411	-0.734	-0.346	0.297	-0.174
TCRBV12_10	0.350	0.160	-0.358	-0.199	0.532
TCRBV12_11	-0.478	-0.797	-0.041	-0.376	0.322
TCRBV12_12	0.177	0.022	0.035	-0.163	0.059
TCRBV13_5	0.017	0.160	-0.027	0.060	0.074
TCRBV13_6	-0.872	0.024	0.039	0.464	0.107
TCRBV13_7	-0.199	-0.169	0.253	0.467	0.249
TCRBV13_8	-0.088	-0.105	0.282	0.132	-0.070
TCRBV13_9	-0.083	-1.220	0.259	0.033	0.152
TCRBV13_10	0.578	0.035	0.060	-0.578	-0.353
TCRBV13_11	0.477	0.749	-0.481	-0.104	0.251
TCRBV13_12	0.133	0.295	-0.610	-0.119	-0.314
TCRBV13_13	0.037	0.231	0.226	-0.355	-0.098
TCRBV14_5	-0.013	0.073	0.025	0.045	0.085
TCRBV14_6	0.097	0.038	0.240	-0.049	-0.053
TCRBV14_7	-0.070	-0.196	-0.172	0.238	0.203

**FIG. 103D**

TCRBV14_8	0.034	0.097	-0.329	0.191	-0.224
TCRBV14_9	-0.249	-0.531	-0.014	0.168	-0.416
TCRBV14_10	0.260	0.504	-0.177	-0.209	-0.169
TCRBV14_11	0.022	0.008	0.245	-0.484	0.642
TCRBV14_12	-0.087	-0.024	0.209	0.144	-0.046
TCRBV14_13	0.005	0.031	-0.027	-0.043	-0.023
TCRBV15_4	-0.028	-0.129	0.355	0.011	0.126
TCRBV15_5	0.215	0.049	-0.463	-0.431	-0.207
TCRBV15_6	0.127	0.098	0.479	-0.055	0.071
TCRBV15_7	-0.173	0.226	0.370	0.105	0.203
TCRBV15_8	0.674	-0.573	0.558	0.429	-0.784
TCRBV15_9	-0.963	0.331	-0.454	0.042	0.252
TCRBV15_10	0.137	0.252	-0.874	-0.452	-0.020
TCRBV15_11	0.204	0.038	-0.347	0.101	0.098
TCRBV15_12	0.029	-0.129	0.019	-0.005	0.053
TCRBV16_5	0.028	0.102	0.061	0.021	-0.190
TCRBV16_6	-0.263	-0.318	0.050	0.486	-0.358
TCRBV16_7	0.632	0.089	0.880	0.459	-0.717
TCRBV16_8	-0.921	-0.349	0.855	-0.423	-0.181
TCRBV16_9	0.530	-0.300	-0.991	-0.228	1.081
TCRBV16_10	0.002	-0.277	0.147	0.423	0.007
TCRBV16_11	0.253	0.024	-0.740	0.006	-0.182
TCRBV16_12	-0.177	0.070	-0.478	0.198	1.037
TCRBV16_13	0.124	-0.088	-0.019	0.040	0.008
TCRBV18_3	0.029	-0.024	-0.038	0.032	0.011
TCRBV18_4	0.086	0.210	0.155	0.049	-0.296
TCRBV18_5	-0.019	0.319	0.319	-0.147	0.718
TCRBV18_6	-0.666	-0.215	0.426	-0.088	0.177
TCRBV18_7	1.820	-0.588	0.247	0.764	0.904
TCRBV18_8	0.018	-0.401	0.714	0.179	0.365
TCRBV18_9	0.381	0.330	0.507	-0.398	0.234
TCRBV18_10	0.151	0.406	0.369	-0.072	0.259
TCRBV18_11	0.216	0.575	-0.400	-0.179	0.029
TCRBV18_12	-0.002	-0.025	-0.043	0.052	-0.086
TCRBV18_13	-0.087	-0.101	-0.013	0.007	-0.001
TCRBV20_5	-0.131	-0.110	0.019	0.173	0.201
TCRBV20_6	-0.637	0.239	-0.235	0.837	0.197
TCRBV20_7	-0.381	0.078	-0.016	0.078	0.143
TCRBV20_8	0.211	0.227	-0.198	-0.297	-0.068
TCRBV20_9	-0.155	0.173	-0.877	0.386	-0.219
TCRBV20_10	-0.412	-0.519	0.084	-0.685	0.109
TCRBV20_11	0.588	0.092	0.394	-0.291	-0.454
TCRBV20_12	0.857	0.133	0.160	-0.181	-0.046
TCRBV20_13	0.304	-0.047	0.025	-0.284	-0.174
TCRBV20_14	-0.023	-0.104	0.287	0.009	0.102
	36	37	38	39	40
TCRBV01_6	-0.081	-0.005	-0.041	-0.011	0.038
TCRBV01_7	-0.012	-0.180	0.064	0.238	0.174
TCRBV01_8	-0.570	0.176	-0.114	0.201	0.386
TCRBV01_9	0.027	-0.269	-0.088	0.785	0.246
TCRBV01_10	-0.102	-0.319	0.148	-0.837	0.349
TCRBV01_11	0.662	0.414	-0.212	-0.263	-0.554
TCRBV01_12	0.612	0.048	0.305	-0.231	-0.341
TCRBV01_13	0.129	0.109	0.084	-0.090	-0.272
TCRBV01_14	0.017	-0.017	-0.003	0.008	0.012
TCRBV02_6	0.027	0.051	0.091	0.286	-0.029
TCRBV02_7	0.190	-0.274	0.161	0.209	-0.089
TCRBV02_8	0.071	-0.413	0.051	-0.401	-0.267
TCRBV02_9	-0.014	0.038	0.122	-0.125	0.164
TCRBV02_10	-0.053	-0.372	0.170	0.094	0.020
TCRBV02_11	0.123	-0.426	-0.531	0.345	0.367

*FIG. 104A*

TCRBV02_12	-0.112	0.175	0.088	0.240	-0.046
TCRBV02_13	-0.228	0.061	0.010	-0.029	0.052
TCRBV03_4	-0.000	0.030	-0.004	-0.016	-0.004
TCRBV03_5	-0.008	-0.040	-0.017	0.024	0.000
TCRBV03_6	0.256	0.463	-0.027	-0.203	-0.102
TCRBV03_7	0.174	0.134	-0.040	-0.507	-0.188
TCRBV03_8	0.045	0.050	-0.375	0.013	-0.497
TCRBV03_9	-0.361	-0.221	-0.084	0.496	-0.451
TCRBV03_10	0.320	0.304	0.332	-0.249	0.619
TCRBV03_11	-0.485	-0.367	0.306	0.237	0.083
TCRBV03_12	0.322	-0.395	0.179	0.134	0.452
TCRBV03_13	0.420	0.000	-0.126	-0.129	0.126
TCRBV04_6	-0.010	-0.023	0.009	-0.045	0.027
TCRBV04_7	0.166	-0.143	0.275	-0.197	0.027
TCRBV04_8	-0.405	-0.386	0.099	0.152	-0.010
TCRBV04_9	-0.884	0.005	-0.228	0.168	0.463
TCRBV04_10	0.321	-0.472	-0.614	-0.196	0.297
TCRBV04_11	0.246	0.584	-0.269	-0.161	0.213
TCRBV04_12	0.615	-0.365	0.698	0.239	0.074
TCRBV04_13	0.118	-0.093	-0.115	0.143	-0.668
TCRBV04_14	-0.229	0.912	-0.008	-0.073	-0.041
TCRBV04_15	0.062	-0.019	0.152	-0.030	-0.382
TCRBV051_5	0.099	0.220	-0.220	0.103	-0.138
TCRBV051_6	0.217	0.547	-0.239	-0.212	0.374
TCRBV051_7	0.190	0.310	-0.306	0.500	0.079
TCRBV051_8	0.257	0.064	0.223	0.123	-0.298
TCRBV051_9	-0.678	-0.295	-0.711	0.000	-0.043
TCRBV051_10	-0.118	-0.439	0.727	0.214	0.071
TCRBV051_11	-0.653	-0.542	0.310	0.083	-0.586
TCRBV051_12	0.525	0.306	0.484	-0.017	-0.192
TCRBV051_13	0.090	-0.024	0.369	0.341	0.287
TCRBV052_6	0.345	0.346	0.330	0.356	0.347
TCRBV052_7	0.030	-0.171	-0.721	-0.126	-0.001
TCRBV052_8	0.021	-0.075	0.017	0.067	-0.277
TCRBV052_9	-0.196	0.602	0.371	0.234	-0.052
TCRBV052_10	0.130	-0.388	0.273	0.417	0.100
TCRBV052_11	-0.249	0.024	0.205	0.184	-0.498
TCRBV052_12	-0.062	-0.200	0.121	0.022	-0.096
TCRBV052_13	-0.089	0.009	0.040	-0.018	0.033
TCRBV06_5	0.078	-0.029	0.024	-0.095	0.009
TCRBV06_6	0.271	-0.294	0.049	-0.043	-0.066
TCRBV06_7	0.310	-0.297	-0.242	0.058	-0.250
TCRBV06_8	0.483	0.370	-0.247	0.015	0.011
TCRBV06_9	-0.448	0.293	0.106	0.014	0.025
TCRBV06_10	-0.153	0.035	0.528	0.115	-0.405
TCRBV06_11	-0.281	-0.067	-0.067	0.047	0.211
TCRBV06_12	0.389	-0.026	-0.215	-0.238	0.453
TCRBV06_13	0.033	-0.026	0.206	-0.073	0.049
TCRBV07_5	-0.014	0.047	-0.039	0.011	0.018
TCRBV07_6	0.227	0.192	0.005	0.100	-0.283
TCRBV07_7	-0.263	-0.341	0.112	0.146	-0.545
TCRBV07_8	0.382	0.747	0.105	-0.413	0.006
TCRBV07_9	-0.333	0.133	0.263	-0.335	0.279
TCRBV07_10	0.391	-0.408	0.027	0.274	0.219
TCRBV07_11	-0.131	-0.503	0.002	0.113	0.271
TCRBV07_12	0.434	0.221	-0.291	-0.132	0.048
TCRBV07_13	-0.011	-0.130	-0.041	0.036	0.023
TCRBV081_5	0.086	0.032	0.056	-0.213	-0.105
TCRBV081_6	0.193	-0.201	0.136	-0.201	-0.024
TCRBV081_7	-0.095	-0.271	-0.059	-0.207	0.034
TCRBV081_8	0.206	-0.008	0.222	0.221	0.427
TCRBV081_9	0.407	-0.000	-0.423	0.244	-0.245
TCRBV081_10	-0.766	0.336	-0.617	-0.315	0.436
TCRBV081_11	0.065	0.307	0.349	0.129	0.242

**FIG. 104B**

TCRBV081_12	-0.096	-0.194	0.337	0.342	-0.766
TCRBV082_4	0.152	-0.014	0.246	0.425	0.007
TCRBV082_5	0.038	0.256	0.247	-0.130	-0.086
TCRBV082_6	0.416	-0.275	0.066	0.011	-0.159
TCRBV082_7	-0.087	0.454	0.092	-0.314	0.181
TCRBV082_8	0.059	-0.624	-0.209	0.080	0.439
TCRBV082_9	-0.152	0.156	-0.246	-0.202	-0.353
TCRBV082_10	-0.336	-0.006	-0.223	0.073	-0.089
TCRBV082_11	-0.091	0.053	0.027	0.056	0.060
TCRBV083_4	0.028	-0.002	-0.010	-0.008	0.011
TCRBV083_5	0.420	0.225	0.027	-0.068	0.065
TCRBV083_6	0.083	0.300	-0.001	-0.033	0.150
TCRBV083_7	0.160	0.325	0.076	-0.330	0.002
TCRBV083_8	-0.346	-0.023	0.080	-0.038	-0.493
TCRBV083_9	-0.127	-0.614	0.001	0.555	0.334
TCRBV083_10	0.047	-0.207	-0.094	0.227	-0.108
TCRBV083_11	-0.393	-0.111	0.051	-0.209	0.033
TCRBV083_12	0.128	0.106	-0.130	-0.095	0.006
TCRBV09_5	0.021	0.015	0.130	-0.037	0.037
TCRBV09_6	0.188	0.005	-0.215	0.126	-0.090
TCRBV09_7	-0.262	0.198	-0.043	0.581	-0.323
TCRBV09_8	0.032	0.027	0.687	-0.015	-0.227
TCRBV09_9	0.083	-0.639	0.675	-0.262	-0.329
TCRBV09_10	-1.054	0.658	-0.866	0.656	0.011
TCRBV09_11	0.516	0.151	-0.489	-0.221	0.162
TCRBV09_12	-0.028	-0.145	0.651	-0.889	0.185
TCRBV09_13	-0.131	-0.042	0.213	-0.218	-0.268
TCRBV09_14	-0.012	-0.079	-0.183	0.079	0.096
TCRBV09_15	-0.061	0.098	-0.021	-0.056	-0.017
TCRBV10_6	0.359	0.016	0.235	0.419	0.118
TCRBV10_7	-0.387	0.296	0.392	0.464	-0.202
TCRBV10_8	0.096	-0.255	-0.170	-0.041	-0.007
TCRBV10_9	-0.250	0.548	0.096	-0.434	-0.117
TCRBV10_10	0.248	-0.162	-0.131	-0.300	0.725
TCRBV10_11	0.012	-0.084	-0.251	0.056	-0.470
TCRBV10_12	-0.077	-0.374	-0.169	-0.158	-0.044
TCRBV10_13	-0.000	0.015	-0.002	-0.008	-0.002
TCRBV11_5	0.107	-0.065	0.064	-0.003	-0.075
TCRBV11_6	0.329	-0.004	-0.107	0.154	-0.308
TCRBV11_7	0.439	-0.370	-0.303	0.238	-0.027
TCRBV11_8	0.645	-0.675	-0.246	-0.410	0.190
TCRBV11_9	0.243	0.057	-0.314	-0.009	-0.196
TCRBV11_10	0.036	0.334	0.363	-0.026	0.098
TCRBV11_11	-0.266	0.096	0.118	0.047	0.154
TCRBV11_12	-0.542	0.435	0.614	-0.091	0.234
TCRBV11_13	-0.308	0.060	-0.033	-0.052	-0.020
TCRBV11_14	-0.000	0.066	-0.009	-0.035	-0.010
TCRBV11_15	-0.000	0.024	-0.003	-0.013	-0.004
TCRBV12_4	-0.133	0.057	-0.089	0.239	-0.197
TCRBV12_5	0.037	-0.293	0.115	0.011	-0.134
TCRBV12_6	-0.078	0.151	0.344	-0.135	-0.103
TCRBV12_7	-0.119	0.439	0.253	0.008	0.267
TCRBV12_8	0.405	0.615	0.094	0.038	0.418
TCRBV12_9	-0.107	-0.619	-0.186	-0.102	-0.025
TCRBV12_10	-0.187	-0.416	0.402	-0.327	0.340
TCRBV12_11	0.239	0.113	-0.603	0.127	-0.277
TCRBV12_12	-0.057	-0.048	-0.331	0.141	-0.288
TCRBV13_5	0.125	0.054	-0.022	-0.033	-0.056
TCRBV13_6	0.327	0.242	-0.202	0.243	0.075
TCRBV13_7	0.933	0.100	-0.126	0.077	-0.236
TCRBV13_8	-0.897	-0.610	0.189	-0.973	-0.351
TCRBV13_9	-0.423	0.468	0.312	0.527	0.871
TCRBV13_10	0.004	0.068	0.094	0.095	0.136
TCRBV13_11	-0.027	-0.156	-0.353	-0.034	-0.188

**FIG. 104C**



TCRBV13_12	0.119	-0.129	-0.114	0.024	0.072
TCRBV13_13	-0.162	-0.038	0.222	0.073	-0.324
TCRBV14_5	0.009	-0.013	-0.051	-0.040	-0.079
TCRBV14_6	0.190	-0.084	0.069	-0.140	0.054
TCRBV14_7	0.074	0.023	-0.029	0.180	-0.171
TCRBV14_8	-0.226	-0.005	-0.047	-0.146	0.573
TCRBV14_9	-0.079	0.382	0.203	-0.669	-0.508
TCRBV14_10	0.102	-0.655	-0.342	0.662	0.181
TCRBV14_11	0.020	0.316	0.204	0.218	-0.145
TCRBV14_12	-0.091	0.021	0.007	-0.035	0.090
TCRBV14_13	0.001	0.016	-0.014	-0.030	0.005
TCRBV15_4	-0.212	-0.004	0.003	-0.016	0.010
TCRBV15_5	0.136	-0.135	0.161	0.079	-0.009
TCRBV15_6	-0.541	-0.191	-0.169	-0.404	-0.006
TCRBV15_7	0.265	0.696	-0.099	-0.147	0.133
TCRBV15_8	0.413	-0.865	-0.073	-0.630	0.245
TCRBV15_9	-0.463	0.061	-0.047	0.195	-0.436
TCRBV15_10	0.575	0.393	0.342	0.538	0.152
TCRBV15_11	0.475	0.120	0.024	0.145	-0.039
TCRBV15_12	0.034	-0.118	0.001	0.040	-0.012
TCRBV16_5	0.032	0.045	0.087	0.078	-0.158
TCRBV16_6	0.279	0.137	-0.370	-0.104	-0.016
TCRBV16_7	0.533	0.447	0.849	0.863	-0.185
TCRBV16_8	0.124	-0.748	0.162	0.512	0.171
TCRBV16_9	0.019	0.096	0.247	-0.373	0.093
TCRBV16_10	-0.520	0.806	0.104	0.097	-0.098
TCRBV16_11	-0.206	-0.377	-0.578	0.008	-0.138
TCRBV16_12	0.382	-0.335	0.203	-0.129	-0.135
TCRBV16_13	-0.032	0.035	0.075	-0.014	0.058
TCRBV18_3	-0.016	0.019	0.005	0.037	-0.004
TCRBV18_4	0.166	-0.041	-0.161	0.006	0.086
TCRBV18_5	0.042	0.049	-0.283	0.054	-0.104
TCRBV18_6	-0.342	0.136	0.214	-0.084	0.116
TCRBV18_7	0.363	0.560	-0.685	0.208	-0.378
TCRBV18_8	0.556	-0.420	-0.280	0.138	0.096
TCRBV18_9	0.074	0.325	-0.210	-0.176	0.642
TCRBV18_10	0.067	0.190	0.193	-0.374	-0.180
TCRBV18_11	0.203	0.020	0.194	0.040	0.013
TCRBV18_12	-0.044	-0.012	0.018	-0.008	0.021
TCRBV18_13	0.050	0.015	-0.020	-0.130	-0.089
TCRBV20_5	0.033	-0.102	0.037	-0.094	-0.069
TCRBV20_6	0.225	-0.285	0.058	0.011	0.039
TCRBV20_7	0.344	0.159	-0.436	-0.026	-0.330
TCRBV20_8	0.169	0.122	0.067	0.256	-0.097
TCRBV20_9	-0.934	-0.037	0.056	0.166	0.213
TCRBV20_10	0.279	-0.185	0.293	0.184	0.632
TCRBV20_11	0.255	0.298	-0.618	-0.325	-0.141
TCRBV20_12	0.142	-0.008	0.462	-0.528	-0.231
TCRBV20_13	0.340	0.000	0.222	0.169	0.014
TCRBV20_14	-0.172	-0.004	0.002	-0.013	0.008
	41	42	43	44	45
TCRBV01_6	-0.008	0.039	-0.042	0.005	0.023
TCRBV01_7	0.197	-0.173	-0.288	-0.100	0.008
TCRBV01_8	-0.123	-0.454	-0.154	0.432	-0.048
TCRBV01_9	0.205	0.140	0.123	-0.455	-0.171
TCRBV01_10	-0.222	0.160	0.276	0.222	-0.278
TCRBV01_11	0.292	0.071	-0.028	-0.375	-0.078
TCRBV01_12	0.009	0.185	-0.003	0.069	0.396
TCRBV01_13	-0.005	0.081	0.081	0.041	0.088
TCRBV01_14	0.006	0.002	0.009	-0.005	-0.011
TCRBV02_6	0.159	-0.260	0.187	0.004	-0.005
TCRBV02_7	-0.029	-0.161	0.034	-0.273	0.034

**FIG. 104D**

TCRBV02_8	0.098	0.433	-0.381	-0.098	-0.198
TCRBV02_9	0.017	-0.018	-0.018	0.194	0.098
TCRBV02_10	-0.038	-0.227	-0.027	0.011	0.026
TCRBV02_11	-0.001	-0.113	0.216	-0.118	-0.331
TCRBV02_12	0.279	0.095	-0.413	0.015	-0.080
TCRBV02_13	0.009	-0.116	-0.020	0.002	-0.104
TCRBV03_4	-0.013	0.010	0.011	0.007	0.015
TCRBV03_5	-0.025	0.015	0.007	-0.000	0.021
TCRBV03_6	0.163	-0.116	0.344	0.213	0.048
TCRBV03_7	0.277	-0.285	0.433	-0.356	0.058
TCRBV03_8	0.020	0.170	0.149	0.194	-0.044
TCRBV03_9	-0.284	-0.207	-0.179	0.022	-0.169
TCRBV03_10	0.231	0.089	-0.083	-0.048	0.072
TCRBV03_11	-0.214	0.379	-0.361	0.063	0.208
TCRBV03_12	-0.092	0.246	-0.180	-0.006	0.055
TCRBV03_13	0.288	-0.249	-0.168	-0.257	-0.334
TCRBV04_6	0.038	0.039	0.030	0.011	-0.075
TCRBV04_7	0.113	0.046	0.327	0.131	-0.024
TCRBV04_8	-0.059	0.336	-0.189	-0.099	0.100
TCRBV04_9	-0.006	0.348	0.031	0.458	-0.568
TCRBV04_10	-0.236	-0.019	-0.190	-0.179	0.643
TCRBV04_11	0.036	-0.557	0.245	-0.224	0.077
TCRBV04_12	-0.063	-0.095	-0.046	-0.262	0.033
TCRBV04_13	0.168	-0.099	-0.476	-0.189	-0.186
TCRBV04_14	0.059	-0.057	0.263	0.273	0.237
TCRBV04_15	-0.051	0.058	0.006	0.080	-0.237
TCRBV051_5	-0.202	0.112	0.218	-0.148	0.224
TCRBV051_6	-0.272	0.191	0.410	0.223	0.201
TCRBV051_7	-0.589	0.082	-0.136	0.391	-0.233
TCRBV051_8	-0.226	-0.202	0.059	-0.229	0.035
TCRBV051_9	0.068	-0.366	-0.325	0.095	-0.026
TCRBV051_10	0.580	0.088	0.057	-0.052	0.363
TCRBV051_11	0.718	-0.212	0.094	0.380	-0.065
TCRBV051_12	-0.600	0.238	-0.455	-0.313	-0.668
TCRBV051_13	-0.129	0.131	0.449	-0.251	0.164
TCRBV052_6	-0.069	-0.250	0.178	0.176	0.189
TCRBV052_7	-0.213	-0.079	-0.016	0.265	-0.368
TCRBV052_8	0.031	-0.282	0.204	0.158	-0.025
TCRBV052_9	0.175	0.376	0.240	-0.103	-0.355
TCRBV052_10	-0.583	-0.022	-0.262	-0.122	0.219
TCRBV052_11	0.170	0.078	-0.119	-0.164	0.276
TCRBV052_12	-0.180	0.132	0.070	-0.126	0.171
TCRBV052_13	0.016	0.109	0.076	0.011	-0.115
TCRBV06_5	0.174	-0.151	0.083	-0.049	0.025
TCRBV06_6	0.094	-0.099	-0.076	0.013	0.039
TCRBV06_7	0.192	0.040	-0.085	-0.116	-0.009
TCRBV06_8	0.036	0.121	-0.408	0.239	-0.035
TCRBV06_9	-0.167	-0.409	-0.408	-0.232	0.120
TCRBV06_10	0.032	-0.135	0.658	0.044	-0.392
TCRBV06_11	-0.117	0.385	0.348	-0.226	0.272
TCRBV06_12	0.089	0.248	-0.207	0.171	-0.021
TCRBV06_13	0.017	0.053	0.068	-0.011	-0.069
TCRBV07_5	-0.068	-0.069	0.020	0.062	0.073
TCRBV07_6	0.427	-0.064	-0.079	0.085	-0.177
TCRBV07_7	0.106	-0.006	-0.073	0.320	-0.007
TCRBV07_8	-0.111	-0.269	0.015	-0.227	0.231
TCRBV07_9	-0.042	-0.044	-0.094	0.044	-0.036
TCRBV07_10	0.093	0.084	0.100	-0.267	0.144
TCRBV07_11	0.005	0.261	0.149	-0.273	-0.037
TCRBV07_12	-0.064	0.155	-0.043	0.106	-0.269
TCRBV07_13	0.003	0.004	-0.022	-0.016	0.006
TCRBV081_5	-0.100	0.036	0.021	0.059	0.115
TCRBV081_6	-0.302	0.097	0.210	0.221	-0.070

**FIG. 105A**

TCRBV081_7	0.143	-0.256	-0.154	-0.257	-0.003
TCRBV081_8	-0.533	-0.017	-0.247	-0.523	-0.273
TCRBV081_9	0.409	0.125	0.085	0.383	-0.059
TCRBV081_10	0.115	0.107	-0.021	-0.005	0.059
TCRBV081_11	0.243	-0.014	-0.008	-0.052	0.018
TCRBV081_12	0.025	-0.079	0.115	0.174	0.214
TCRBV082_4	0.110	-0.106	0.144	0.055	-0.096
TCRBV082_5	-0.022	0.044	-0.125	0.093	0.141
TCRBV082_6	-0.118	0.014	0.008	-0.056	-0.152
TCRBV082_7	-0.034	0.002	-0.023	-0.636	-0.279
TCRBV082_8	-0.063	0.012	0.261	-0.039	-0.620
TCRBV082_9	-0.102	0.047	-0.351	0.347	0.384
TCRBV082_10	0.117	0.141	0.145	0.282	0.165
TCRBV082_11	0.112	-0.154	-0.059	-0.046	0.457
TCRBV083_4	0.023	-0.019	-0.009	-0.021	-0.023
TCRBV083_5	0.163	0.419	-0.137	0.090	0.115
TCRBV083_6	-0.142	-0.047	-0.115	0.011	0.004
TCRBV083_7	-0.047	0.053	-0.296	0.103	-0.167
TCRBV083_8	-0.111	-0.343	0.287	-0.127	0.027
TCRBV083_9	-0.283	-0.019	0.264	-0.232	0.001
TCRBV083_10	-0.006	-0.262	0.311	-0.107	-0.084
TCRBV083_11	-0.054	-0.017	-0.129	0.166	0.022
TCRBV083_12	0.458	0.236	-0.177	0.119	0.106
TCRBV09_5	0.020	0.005	0.017	0.033	-0.002
TCRBV09_6	0.115	0.109	-0.169	0.327	0.114
TCRBV09_7	0.493	-0.420	-0.372	-0.495	-0.386
TCRBV09_8	0.001	-0.052	-0.212	0.141	-0.020
TCRBV09_9	0.354	-0.147	0.150	0.403	0.036
TCRBV09_10	0.607	0.764	-0.523	-0.397	0.146
TCRBV09_11	0.069	-0.288	-0.111	-0.116	0.190
TCRBV09_12	-0.530	-0.222	-0.710	0.327	0.054
TCRBV09_13	-0.319	-0.208	0.368	-0.038	0.160
TCRBV09_14	-0.359	0.005	0.259	-0.212	0.051
TCRBV09_15	-0.120	-0.069	0.103	-0.017	-0.028
TCRBV10_6	-0.139	-0.231	-0.013	0.171	0.090
TCRBV10_7	-0.343	0.337	0.297	-0.138	0.132
TCRBV10_8	-0.370	0.224	0.140	-0.305	-0.050
TCRBV10_9	-0.126	-0.257	-0.157	-0.083	0.190
TCRBV10_10	0.801	-0.238	-0.261	0.001	-0.263
TCRBV10_11	0.076	0.272	0.089	0.333	0.093
TCRBV10_12	0.107	-0.112	-0.101	0.018	-0.199
TCRBV10_13	-0.006	0.005	0.005	0.003	0.007
TCRBV11_5	0.053	0.005	0.119	0.105	-0.081
TCRBV11_6	-0.048	-0.165	0.128	-0.257	0.144
TCRBV11_7	-0.054	0.190	0.134	0.111	0.170
TCRBV11_8	-0.048	-0.193	0.169	0.081	0.239
TCRBV11_9	-0.048	0.054	-0.369	-0.042	0.034
TCRBV11_10	-0.024	0.281	-0.112	0.043	0.008
TCRBV11_11	0.254	-0.011	0.052	0.019	-0.155
TCRBV11_12	0.259	-0.033	-0.127	-0.200	-0.398
TCRBV11_13	0.044	-0.105	-0.055	-0.048	-0.073
TCRBV11_14	-0.028	0.021	0.024	0.015	0.032
TCRBV11_15	-0.010	0.008	0.009	0.006	0.012
TCRBV12_4	0.141	0.044	0.018	-0.126	0.033
TCRBV12_5	0.228	0.066	-0.140	-0.056	-0.050
TCRBV12_6	-0.108	-0.114	0.092	-0.231	0.140
TCRBV12_7	-0.251	-0.173	0.523	0.142	-0.265
TCRBV12_8	0.090	-0.242	-0.180	0.239	0.181
TCRBV12_9	-0.192	0.101	-0.204	-0.012	-0.061
TCRBV12_10	0.400	0.009	0.024	-0.023	-0.104
TCRBV12_11	-0.153	0.144	-0.023	-0.018	0.077
TCRBV12_12	-0.155	0.165	-0.110	0.084	0.048
TCRBV13_5	0.015	0.084	0.027	-0.118	0.011
TCRBV13_6	0.168	-0.328	0.359	0.024	-0.082

**FIG. 105B**

TCRBV13_7	0.092	-0.328	-0.345	0.286	-0.170
TCRBV13_8	-0.340	0.461	-0.080	-0.091	-0.058
TCRBV13_9	0.075	0.131	-0.278	0.089	0.201
TCRBV13_10	0.529	0.005	0.015	-0.308	-0.069
TCRBV13_11	-0.316	0.032	0.076	0.260	-0.063
TCRBV13_12	-0.032	-0.099	0.102	-0.062	0.020
TCRBV13_13	-0.189	0.042	0.125	-0.080	0.210
TCRBV14_5	-0.065	0.052	-0.071	0.051	-0.018
TCRBV14_6	0.148	-0.051	0.148	0.037	-0.207
TCRBV14_7	0.080	-0.167	-0.558	0.251	0.071
TCRBV14_8	0.176	0.100	0.338	-0.368	0.018
TCRBV14_9	-0.044	-0.026	0.142	-0.020	0.090
TCRBV14_10	-0.334	0.092	0.208	-0.122	0.162
TCRBV14_11	0.180	0.128	0.006	0.205	-0.054
TCRBV14_12	-0.145	-0.134	-0.214	-0.037	-0.069
TCRBV14_13	0.004	0.005	0.000	0.002	0.009
TCRBV15_4	0.033	-0.124	-0.041	-0.048	-0.104
TCRBV15_5	0.353	0.060	0.107	0.027	0.241
TCRBV15_6	-0.072	-0.117	0.075	-0.346	-0.236
TCRBV15_7	-0.234	-0.026	-0.080	-0.036	-0.307
TCRBV15_8	0.241	0.311	-0.025	0.026	0.377
TCRBV15_9	-0.335	-0.005	0.067	-0.097	-0.079
TCRBV15_10	-0.114	-0.104	0.116	0.456	0.038
TCRBV15_11	0.516	0.032	-0.164	-0.179	0.018
TCRBV15_12	-0.037	0.024	-0.082	0.029	-0.018
TCRBV16_5	0.084	0.060	0.099	-0.039	0.136
TCRBV16_6	0.165	0.342	0.304	-0.148	0.209
TCRBV16_7	0.006	0.583	0.143	0.354	-0.294
TCRBV16_8	0.301	-0.713	-0.273	-0.172	0.245
TCRBV16_9	0.254	0.293	0.173	0.137	-0.117
TCRBV16_10	-0.768	-0.458	-0.242	-0.033	-0.102
TCRBV16_11	-0.199	-0.411	0.120	0.305	-0.053
TCRBV16_12	-0.119	0.380	0.015	-0.471	-0.175
TCRBV16_13	-0.026	0.037	0.006	-0.004	0.076
TCRBV18_3	0.023	-0.030	-0.046	-0.036	-0.003
TCRBV18_4	0.163	0.191	-0.073	0.092	-0.110
TCRBV18_5	0.169	0.430	0.267	0.210	-0.288
TCRBV18_6	0.197	0.469	0.390	0.074	0.354
TCRBV18_7	0.075	-0.252	0.085	-0.360	0.329
TCRBV18_8	-0.609	-0.192	-0.038	0.136	-0.541
TCRBV18_9	0.286	-0.175	0.130	0.129	0.338
TCRBV18_10	0.634	0.322	-0.199	-0.376	-0.065
TCRBV18_11	-0.021	0.335	-0.248	0.157	-0.256
TCRBV18_12	0.009	0.003	-0.028	-0.007	0.056
TCRBV18_13	-0.078	0.023	0.007	0.026	0.080
TCRBV20_5	0.135	0.039	0.111	0.058	-0.109
TCRBV20_6	0.572	-0.241	-0.132	0.512	-0.225
TCRBV20_7	0.259	0.389	0.205	-0.235	-0.309
TCRBV20_8	-0.568	0.514	-0.402	-0.123	0.668
TCRBV20_9	0.190	-0.622	0.318	0.083	0.232
TCRBV20_10	-0.154	0.268	-0.126	0.243	0.034
TCRBV20_11	-0.080	0.205	0.361	-0.047	-0.257
TCRBV20_12	-0.106	-0.227	-0.099	-0.595	-0.096
TCRBV20_13	0.075	-0.173	-0.230	-0.025	0.075
TCRBV20_14	0.026	-0.100	-0.033	-0.039	-0.084
	46	47	48	49	50
TCRBV01_6	-0.094	-0.019	-0.109	-0.013	-0.073
TCRBV01_7	0.014	0.212	-0.055	-0.017	0.014
TCRBV01_8	0.056	0.090	-0.072	0.048	0.034
TCRBV01_9	0.068	-0.044	0.100	-0.198	-0.050
TCRBV01_10	-0.258	0.237	-0.029	-0.367	-0.009
TCRBV01_11	-0.110	-0.140	0.044	0.336	0.034

**FIG. 105C**

TCRBV01_12	0.159	0.002	-0.125	0.152	-0.053
TCRBV01_13	0.102	-0.126	0.078	0.066	0.002
TCRBV01_14	-0.007	0.009	0.004	0.001	-0.001
TCRBV02_6	-0.031	0.204	-0.019	-0.316	0.276
TCRBV02_7	0.109	-0.019	-0.011	-0.097	0.167
TCRBV02_8	0.281	-0.141	0.150	0.408	-0.069
TCRBV02_9	-0.286	0.030	-0.174	0.038	-0.303
TCRBV02_10	0.192	-0.164	-0.161	-0.066	-0.093
TCRBV02_11	-0.338	-0.040	-0.252	-0.136	-0.029
TCRBV02_12	0.021	-0.169	0.204	-0.042	-0.002
TCRBV02_13	0.026	0.060	-0.059	-0.005	-0.002
TCRBV03_4	0.001	0.006	0.008	0.006	0.001
TCRBV03_5	-0.069	0.006	0.005	-0.009	-0.004
TCRBV03_6	0.100	0.046	-0.447	0.194	-0.271
TCRBV03_7	-0.060	-0.022	0.007	-0.122	-0.055
TCRBV03_8	-0.143	-0.036	-0.064	0.035	0.103
TCRBV03_9	-0.020	0.009	0.023	-0.056	0.289
TCRBV03_10	0.297	0.246	0.266	-0.166	-0.115
TCRBV03_11	-0.196	0.167	0.157	0.091	0.038
TCRBV03_12	0.065	-0.072	-0.010	0.084	0.105
TCRBV03_13	-0.045	-0.128	-0.110	-0.047	-0.194
TCRBV04_6	0.082	0.035	0.012	0.007	-0.039
TCRBV04_7	0.008	0.259	0.142	-0.115	0.027
TCRBV04_8	0.162	0.092	-0.010	0.131	0.000
TCRBV04_9	0.114	-0.324	0.036	-0.122	0.068
TCRBV04_10	0.366	0.090	-0.088	-0.049	0.112
TCRBV04_11	-0.055	-0.161	-0.064	0.022	-0.144
TCRBV04_12	-0.139	-0.093	-0.181	0.428	0.080
TCRBV04_13	-0.510	0.153	0.132	-0.270	0.035
TCRBV04_14	0.009	0.119	0.039	0.045	-0.258
TCRBV04_15	-0.036	-0.169	-0.018	-0.078	0.118
TCRBV051_5	-0.142	-0.230	-0.047	0.164	0.051
TCRBV051_6	0.031	0.039	-0.233	-0.315	0.022
TCRBV051_7	-0.317	-0.028	0.328	0.079	-0.235
TCRBV051_8	-0.036	0.029	0.394	0.013	-0.065
TCRBV051_9	0.313	-0.371	-0.116	0.090	0.029
TCRBV051_10	-0.400	0.166	0.043	-0.051	0.027
TCRBV051_11	-0.185	-0.056	-0.146	-0.120	0.158
TCRBV051_12	0.242	0.176	-0.147	0.103	0.190
TCRBV051_13	0.148	-0.206	-0.092	0.100	0.089
TCRBV052_6	0.117	-0.030	0.065	-0.251	-0.007
TCRBV052_7	-0.120	-0.137	0.255	0.094	0.104
TCRBV052_8	0.042	0.040	-0.246	0.084	-0.036
TCRBV052_9	-0.258	0.016	-0.169	0.018	0.166
TCRBV052_10	-0.054	-0.203	0.129	-0.267	-0.060
TCRBV052_11	-0.208	-0.155	-0.089	0.201	-0.094
TCRBV052_12	0.004	-0.018	0.034	0.156	0.243
TCRBV052_13	0.132	0.005	0.005	0.030	-0.049
TCRBV06_5	0.057	0.041	-0.017	-0.034	-0.080
TCRBV06_6	0.040	0.038	-0.146	-0.090	0.022
TCRBV06_7	0.290	0.121	0.013	0.064	0.088
TCRBV06_8	-0.119	-0.038	0.030	0.013	0.001
TCRBV06_9	0.051	-0.117	-0.103	0.113	0.131
TCRBV06_10	0.353	-0.158	0.200	0.057	-0.100
TCRBV06_11	-0.067	0.067	-0.146	-0.070	0.135
TCRBV06_12	-0.561	0.259	-0.113	-0.092	-0.072
TCRBV06_13	-0.114	0.006	0.117	0.047	-0.228
TCRBV07_5	-0.003	-0.030	0.077	0.092	-0.148
TCRBV07_6	0.045	0.184	0.000	0.076	-0.069
TCRBV07_7	-0.081	0.100	-0.038	-0.276	-0.058
TCRBV07_8	0.334	-0.083	0.141	-0.182	0.238
TCRBV07_9	-0.152	0.034	-0.184	0.371	-0.039
TCRBV07_10	-0.005	-0.047	-0.242	-0.022	0.043

**FIG. 105D**

TCRBV07_11	-0.100	0.018	0.005	-0.117	0.116
TCRBV07_12	-0.004	0.032	0.085	0.095	-0.168
TCRBV07_13	-0.106	0.012	-0.007	-0.028	-0.017
TCRBV081_5	-0.041	-0.089	-0.063	-0.025	0.020
TCRBV081_6	-0.119	-0.006	0.061	-0.235	-0.281
TCRBV081_7	-0.140	-0.080	-0.004	0.018	0.024
TCRBV081_8	0.159	-0.219	-0.120	-0.007	0.048
TCRBV081_9	0.093	0.200	-0.247	0.106	0.147
TCRBV081_10	-0.136	-0.137	-0.111	0.069	0.097
TCRBV081_11	0.025	0.236	0.104	0.098	0.072
TCRBV081_12	0.158	0.096	0.380	-0.025	-0.127
TCRBV082_4	-0.060	-0.361	0.341	0.085	-0.004
TCRBV082_5	-0.219	0.128	0.042	-0.060	0.123
TCRBV082_6	-0.085	-0.150	0.327	0.075	0.364
TCRBV082_7	-0.219	0.150	-0.305	-0.219	-0.305
TCRBV082_8	-0.195	-0.015	-0.194	0.263	-0.147
TCRBV082_9	0.371	0.014	-0.077	-0.062	-0.018
TCRBV082_10	0.190	0.173	-0.157	-0.194	-0.050
TCRBV082_11	0.217	0.062	0.022	0.112	0.037
TCRBV083_4	-0.002	-0.009	-0.010	-0.004	-0.019
TCRBV083_5	0.042	0.073	0.324	0.204	0.112
TCRBV083_6	-0.154	-0.021	0.041	0.021	0.276
TCRBV083_7	-0.065	-0.154	-0.219	-0.027	-0.135
TCRBV083_8	-0.077	0.033	0.189	-0.171	0.023
TCRBV083_9	-0.103	0.037	-0.096	0.040	-0.201
TCRBV083_10	0.231	-0.167	0.210	-0.153	-0.144
TCRBV083_11	0.083	-0.156	-0.167	-0.175	0.197
TCRBV083_12	0.045	0.364	-0.272	0.265	-0.109
TCRBV09_5	0.066	0.031	-0.028	0.002	-0.018
TCRBV09_6	0.294	-0.010	-0.068	-0.224	0.112
TCRBV09_7	0.362	0.295	-0.238	-0.103	-0.191
TCRBV09_8	-0.228	0.185	-0.183	0.216	0.030
TCRBV09_9	-0.213	-0.273	-0.309	-0.218	0.227
TCRBV09_10	0.033	-0.354	0.222	-0.147	0.034
TCRBV09_11	0.137	-0.168	0.179	-0.043	-0.165
TCRBV09_12	0.027	-0.706	0.063	-0.020	-0.256
TCRBV09_13	-0.170	0.004	-0.032	0.059	-0.019
TCRBV09_14	0.119	0.063	-0.215	0.082	0.118
TCRBV09_15	0.022	0.182	-0.209	0.092	0.044
TCRBV10_6	-0.024	-0.097	0.226	-0.236	-0.050
TCRBV10_7	0.094	0.025	-0.184	-0.020	-0.310
TCRBV10_8	0.261	0.252	0.308	0.122	-0.093
TCRBV10_9	-0.443	0.090	-0.022	0.150	0.356
TCRBV10_10	0.020	-0.452	0.064	-0.243	0.097
TCRBV10_11	-0.026	0.083	-0.245	0.121	-0.043
TCRBV10_12	0.116	0.095	-0.150	0.103	0.043
TCRBV10_13	0.000	0.003	0.004	0.003	0.001
TCRBV11_5	-0.032	0.031	0.073	-0.073	-0.188
TCRBV11_6	0.014	-0.101	0.013	-0.160	-0.153
TCRBV11_7	0.026	-0.095	0.063	0.013	-0.193
TCRBV11_8	0.154	-0.046	0.049	0.026	0.307
TCRBV11_9	0.176	0.062	-0.284	0.256	-0.062
TCRBV11_10	-0.308	0.023	-0.191	-0.155	0.118
TCRBV11_11	-0.248	0.330	0.097	0.155	0.157
TCRBV11_12	0.140	-0.124	-0.002	-0.078	-0.102
TCRBV11_13	0.004	0.123	-0.006	0.007	0.009
TCRBV11_14	0.001	0.014	0.018	0.012	0.003
TCRBV11_15	0.001	0.005	0.007	0.005	0.001
TCRBV12_4	-0.075	0.100	0.066	0.006	0.094
TCRBV12_5	0.233	0.034	0.101	0.012	0.035
TCRBV12_6	0.107	0.038	-0.088	0.073	0.026
TCRBV12_7	-0.081	0.088	0.119	0.191	-0.084
TCRBV12_8	-0.003	0.093	0.350	0.278	0.005
TCRBV12_9	0.107	0.007	-0.488	0.051	-0.149

*FIG. 106A*

TCRBV12_10	-0.016	0.048	0.237	-0.142	0.207
TCRBV12_11	-0.090	-0.388	-0.127	-0.193	0.108
TCRBV12_12	-0.183	-0.019	-0.171	-0.275	-0.243
TCRBV13_5	0.044	-0.033	0.014	0.017	-0.012
TCRBV13_6	-0.271	-0.059	0.035	0.203	0.209
TCRBV13_7	-0.030	0.250	0.077	-0.161	-0.196
TCRBV13_8	-0.160	0.156	0.398	0.084	-0.160
TCRBV13_9	0.137	0.118	0.070	0.023	0.158
TCRBV13_10	0.164	-0.032	-0.287	-0.074	-0.152
TCRBV13_11	0.127	-0.228	-0.211	0.086	0.066
TCRBV13_12	0.009	-0.035	-0.054	0.065	0.008
TCRBV13_13	-0.020	-0.136	-0.042	-0.243	0.078
TCRBV14_5	0.004	-0.033	-0.009	0.002	0.036
TCRBV14_6	0.185	-0.045	0.216	0.046	-0.146
TCRBV14_7	-0.272	0.160	-0.134	-0.059	0.053
TCRBV14_8	-0.308	0.053	0.100	-0.057	0.089
TCRBV14_9	0.054	-0.639	-0.201	-0.271	0.040
TCRBV14_10	-0.316	0.026	-0.028	0.343	-0.065
TCRBV14_11	0.564	0.282	0.078	0.100	-0.028
TCRBV14_12	0.084	0.183	-0.028	-0.108	0.024
TCRBV14_13	0.006	0.012	0.005	0.002	-0.004
TCRBV15_4	0.018	0.085	-0.051	-0.025	0.026
TCRBV15_5	-0.042	-0.167	-0.165	-0.102	-0.247
TCRBV15_6	-0.059	0.224	-0.017	0.096	-0.169
TCRBV15_7	0.054	0.265	-0.259	-0.083	0.285
TCRBV15_8	-0.097	0.013	0.078	0.146	-0.113
TCRBV15_9	-0.133	-0.227	0.184	0.039	0.053
TCRBV15_10	0.068	-0.079	0.066	0.147	0.153
TCRBV15_11	0.274	0.090	-0.031	-0.191	-0.183
TCRBV15_12	-0.155	0.018	0.031	-0.020	0.091
TCRBV16_5	0.036	0.104	0.034	-0.229	0.176
TCRBV16_6	0.142	-0.036	0.005	0.102	0.301
TCRBV16_7	-0.134	-0.585	-0.273	0.005	-0.060
TCRBV16_8	-0.189	0.060	0.007	0.025	-0.232
TCRBV16_9	-0.051	0.020	0.006	0.007	0.051
TCRBV16_10	-0.131	0.268	-0.036	0.047	-0.116
TCRBV16_11	-0.172	0.251	0.222	-0.016	-0.005
TCRBV16_12	0.037	-0.280	-0.150	0.103	-0.017
TCRBV16_13	0.044	-0.063	0.005	0.029	0.065
TCRBV18_3	0.029	-0.042	0.002	-0.023	-0.023
TCRBV18_4	0.318	-0.139	0.208	-0.178	0.000
TCRBV18_5	0.329	-0.013	-0.063	0.201	0.163
TCRBV18_6	0.299	0.392	0.038	-0.194	-0.116
TCRBV18_7	-0.813	-0.105	0.141	0.029	-0.013
TCRBV18_8	0.313	0.305	0.063	-0.275	0.014
TCRBV18_9	-0.229	-0.283	0.005	0.047	-0.084
TCRBV18_10	-0.205	-0.198	0.318	0.048	-0.313
TCRBV18_11	-0.155	-0.036	0.150	0.090	-0.068
TCRBV18_12	-0.013	0.008	0.008	-0.003	0.035
TCRBV18_13	-0.057	-0.076	-0.031	-0.018	0.022
TCRBV20_5	0.001	0.172	0.110	-0.027	-0.213
TCRBV20_6	-0.161	0.200	0.001	0.219	0.053
TCRBV20_7	-0.277	0.053	0.085	-0.109	0.113
TCRBV20_8	-0.077	0.280	-0.130	-0.204	-0.219
TCRBV20_9	0.312	-0.332	0.028	0.436	-0.109
TCRBV20_10	-0.214	-0.152	-0.028	-0.169	0.013
TCRBV20_11	0.151	-0.090	0.053	-0.048	-0.151
TCRBV20_12	0.152	0.226	-0.058	-0.109	0.329
TCRBV20_13	0.027	-0.203	-0.184	0.039	0.059
TCRBV20_14	0.015	0.069	-0.041	-0.020	0.021

51

52

TCRBV01\_6

0.016

0.001

**FIG. 106B**

TCRBV01_7	-0.020	-0.075
TCRBV01_8	-0.138	0.225
TCRBV01_9	-0.111	-0.177
TCRBV01_10	0.077	0.009
TCRBV01_11	-0.103	-0.006
TCRBV01_12	0.204	-0.057
TCRBV01_13	0.045	0.035
TCRBV01_14	-0.004	-0.002
TCRBV02_6	0.155	-0.115
TCRBV02_7	-0.123	-0.062
TCRBV02_8	-0.486	0.108
TCRBV02_9	0.044	0.010
TCRBV02_10	-0.018	-0.073
TCRBV02_11	-0.030	-0.039
TCRBV02_12	-0.053	-0.132
TCRBV02_13	0.004	-0.038
TCRBV03_4	0.013	0.009
TCRBV03_5	-0.013	0.017
TCRBV03_6	-0.052	-0.094
TCRBV03_7	0.096	-0.156
TCRBV03_8	0.103	0.047
TCRBV03_9	0.047	0.087
TCRBV03_10	-0.035	-0.112
TCRBV03_11	-0.110	0.052
TCRBV03_12	-0.035	-0.024
TCRBV03_13	-0.046	0.128
TCRBV04_6	-0.036	0.015
TCRBV04_7	-0.061	-0.174
TCRBV04_8	0.157	-0.086
TCRBV04_9	-0.013	-0.501
TCRBV04_10	-0.157	0.379
TCRBV04_11	0.170	0.114
TCRBV04_12	-0.081	0.102
TCRBV04_13	-0.178	0.053
TCRBV04_14	0.221	0.006
TCRBV04_15	-0.022	0.093
TCRBV051_5	-0.218	-0.117
TCRBV051_6	-0.130	-0.082
TCRBV051_7	-0.092	-0.197
TCRBV051_8	-0.016	0.098
TCRBV051_9	0.115	0.071
TCRBV051_10	-0.193	0.118
TCRBV051_11	0.184	0.174
TCRBV051_12	0.140	-0.014
TCRBV051_13	0.193	0.064
TCRBV052_6	-0.046	-0.243
TCRBV052_7	0.062	0.085
TCRBV052_8	0.001	0.106
TCRBV052_9	0.140	0.107
TCRBV052_10	0.067	0.130
TCRBV052_11	-0.041	-0.072
TCRBV052_12	-0.120	-0.036
TCRBV052_13	-0.079	0.038
TCRBV06_5	-0.084	-0.030
TCRBV06_6	-0.046	-0.081
TCRBV06_7	-0.200	-0.093
TCRBV06_8	0.281	0.003
TCRBV06_9	-0.182	-0.116
TCRBV06_10	0.037	0.149
TCRBV06_11	0.050	-0.020
TCRBV06_12	-0.010	0.049
TCRBV06_13	0.121	0.093
TCRBV07_5	0.004	-0.075
TCRBV07_6	0.025	-0.118

*FIG. 106C*



TCRBV07_7	-0.084	-0.014
TCRBV07_8	0.078	0.105
TCRBV07_9	-0.127	-0.129
TCRBV07_10	0.244	0.127
TCRBV07_11	-0.027	0.159
TCRBV07_12	-0.098	-0.110
TCRBV07_13	-0.048	0.008
TCRBV081_5	0.068	0.013
TCRBV081_6	-0.048	0.102
TCRBV081_7	0.022	0.081
TCRBV081_8	-0.095	-0.081
TCRBV081_9	-0.026	-0.092
TCRBV081_10	0.012	0.096
TCRBV081_11	-0.043	0.029
TCRBV081_12	0.110	-0.148
TCRBV082_4	0.344	-0.050
TCRBV082_5	-0.179	-0.047
TCRBV082_6	0.337	-0.016
TCRBV082_7	-0.287	0.254
TCRBV082_8	0.044	-0.045
TCRBV082_9	-0.169	0.056
TCRBV082_10	-0.109	-0.130
TCRBV082_11	0.020	-0.021
TCRBV083_4	-0.003	0.009
TCRBV083_5	-0.066	-0.001
TCRBV083_6	-0.157	-0.003
TCRBV083_7	0.199	0.101
TCRBV083_8	-0.327	0.003
TCRBV083_9	0.173	0.032
TCRBV083_10	0.206	-0.042
TCRBV083_11	-0.173	0.039
TCRBV083_12	0.148	-0.139
TCRBV09_5	0.036	0.008
TCRBV09_6	0.075	0.122
TCRBV09_7	-0.183	0.216
TCRBV09_8	0.168	-0.023
TCRBV09_9	0.002	-0.075
TCRBV09_10	0.084	-0.016
TCRBV09_11	0.143	0.010
TCRBV09_12	0.013	-0.297
TCRBV09_13	-0.277	-0.142
TCRBV09_14	-0.264	0.022
TCRBV09_15	-0.030	-0.055
TCRBV10_6	-0.015	-0.051
TCRBV10_7	-0.087	-0.026
TCRBV10_8	0.007	-0.177
TCRBV10_9	0.026	0.096
TCRBV10_10	-0.149	0.220
TCRBV10_11	0.094	-0.065
TCRBV10_12	0.117	-0.002
TCRBV10_13	0.006	0.004
TCRBV11_5	0.041	0.053
TCRBV11_6	0.108	0.035
TCRBV11_7	-0.150	0.218
TCRBV11_8	-0.292	-0.158
TCRBV11_9	0.194	-0.136
TCRBV11_10	-0.113	0.030
TCRBV11_11	0.093	-0.169
TCRBV11_12	0.019	0.053
TCRBV11_13	0.026	-0.000
TCRBV11_14	0.029	0.019
TCRBV11_15	0.011	0.007
TCRBV12_4	-0.159	-0.079

**FIG. 106D**

TCRBV12_5	0.077	0.128
TCRBV12_6	-0.113	-0.017
TCRBV12_7	-0.022	0.280
TCRBV12_8	0.151	0.020
TCRBV12_9	0.132	-0.241
TCRBV12_10	0.001	-0.051
TCRBV12_11	-0.136	-0.088
TCRBV12_12	0.069	0.049
TCRBV13_5	0.074	-0.037
TCRBV13_6	-0.307	-0.069
TCRBV13_7	0.086	-0.060
TCRBV13_8	-0.001	0.140
TCRBV13_9	0.061	-0.077
TCRBV13_10	0.175	-0.011
TCRBV13_11	0.064	0.225
TCRBV13_12	0.014	0.036
TCRBV13_13	-0.165	-0.147
TCRBV14_5	-0.002	0.019
TCRBV14_6	-0.189	-0.020
TCRBV14_7	0.083	-0.062
TCRBV14_8	0.103	-0.023
TCRBV14_9	0.028	0.026
TCRBV14_10	0.080	-0.040
TCRBV14_11	-0.259	0.123
TCRBV14_12	0.148	-0.026
TCRBV14_13	0.008	0.003
TCRBV15_4	0.029	-0.052
TCRBV15_5	-0.116	-0.158
TCRBV15_6	-0.006	-0.061
TCRBV15_7	0.240	0.066
TCRBV15_8	0.057	0.031
TCRBV15_9	0.076	0.015
TCRBV15_10	-0.095	0.189
TCRBV15_11	-0.164	-0.094
TCRBV15_12	-0.053	0.018
TCRBV16_5	0.264	0.038
TCRBV16_6	0.025	0.032
TCRBV16_7	-0.235	0.165
TCRBV16_8	-0.007	-0.071
TCRBV16_9	0.099	0.058
TCRBV16_10	-0.263	-0.097
TCRBV16_11	-0.055	0.105
TCRBV16_12	0.113	-0.166
TCRBV16_13	0.008	0.003
TCRBV18_3	0.010	0.022
TCRBV18_4	-0.061	0.036
TCRBV18_5	-0.064	0.023
TCRBV18_6	0.039	-0.065
TCRBV18_7	0.121	-0.108
TCRBV18_8	0.036	-0.001
TCRBV18_9	-0.230	-0.031
TCRBV18_10	-0.010	-0.013
TCRBV18_11	0.078	0.235
TCRBV18_12	0.007	0.001
TCRBV18_13	0.031	0.006
TCRBV20_5	0.092	0.080
TCRBV20_6	-0.210	0.024
TCRBV20_7	-0.208	-0.132
TCRBV20_8	0.075	0.200
TCRBV20_9	0.136	0.064
TCRBV20_10	-0.026	0.105
TCRBV20_11	-0.060	0.007
TCRBV20_12	0.170	-0.154
TCRBV20_13	-0.025	-0.197

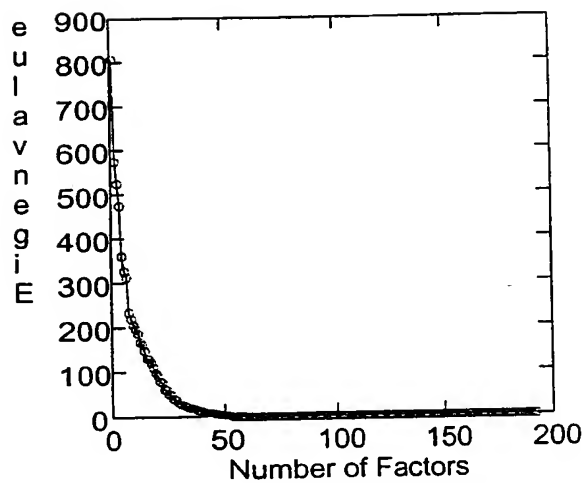
*FIG. 107A*

TCRBV20_14	0.023	-0.042			
Variance Explained by Components					
1	2	3	4	5	
806.097	574.767	525.021	474.758	360.278	
6	7	8	9	10	
326.711	312.488	234.426	220.247	205.757	
11	12	13	14	15	
197.164	187.097	166.789	160.829	147.404	
16	17	18	19	20	
130.104	128.438	120.749	108.967	98.134	
21	22	23	24	25	
90.690	78.013	76.711	61.271	59.256	
26	27	28	29	30	
50.362	48.663	39.763	37.130	32.355	
31	32	33	34	35	
29.161	26.169	24.054	21.550	20.080	
36	37	38	39	40	
18.509	17.875	15.007	13.936	12.903	
41	42	43	44	45	
11.317	9.508	8.822	8.187	7.641	
46	47	48	49	50	
6.640	5.734	4.707	4.103	3.624	
51	52				
3.345	2.374				
Percent of Total Variance Explained					
1	2	3	4	5	
12.723	9.072	8.287	7.493	5.686	
6	7	8	9	10	
5.157	4.932	3.700	3.476	3.248	
11	12	13	14	15	
3.112	2.953	2.633	2.538	2.327	
16	17	18	19	20	

**FIG. 107B**

2.054	2.027	1.906	1.720	1.549
21	22	23	24	25
1.431	1.231	1.211	0.967	0.935
26	27	28	29	30
0.795	0.768	0.628	0.586	0.511
31	32	33	34	35
0.460	0.413	0.380	0.340	0.317
36	37	38	39	40
0.292	0.282	0.237	0.220	0.204
41	42	43	44	45
0.179	0.150	0.139	0.129	0.121
46	47	48	49	50
0.105	0.090	0.074	0.065	0.057
51	52			
0.053	0.037			

Scree Plot



**FIG. 107C**

Coefficients for Standardized Factor Scores

	1	2	3	4	5
TCRBV01_6	-0.000	-0.000	-0.000	0.000	0.000
TCRBV01_7	0.001	0.001	-0.000	0.000	0.000
TCRBV01_8	-0.003	-0.002	0.008	-0.010	0.007
TCRBV01_9	0.001	0.004	0.003	0.006	0.006
TCRBV01_10	0.004	0.004	0.004	0.003	0.003
TCRBV01_11	0.000	0.005	-0.001	0.003	-0.000
TCRBV01_12	-0.000	0.002	-0.002	0.000	0.001
TCRBV01_13	-0.000	0.000	-0.001	0.000	-0.000
TCRBV01_14	-0.000	0.000	-0.000	0.000	-0.000
TCRBV02_6	0.001	-0.000	-0.001	-0.000	-0.000
TCRBV02_7	0.001	0.001	0.001	-0.000	-0.003
TCRBV02_8	0.000	0.001	0.000	0.000	0.002
TCRBV02_9	0.001	0.000	0.000	0.000	-0.004
TCRBV02_10	-0.000	-0.000	0.001	-0.002	0.002
TCRBV02_11	-0.001	-0.000	0.003	-0.000	0.001
TCRBV02_12	-0.001	-0.000	0.001	-0.000	0.000
TCRBV02_13	-0.000	-0.000	0.000	-0.001	0.001
TCRBV03_4	-0.000	-0.000	-0.000	0.000	0.000
TCRBV03_5	-0.000	-0.000	-0.000	-0.000	0.000
TCRBV03_6	0.003	0.000	-0.001	-0.002	0.000
TCRBV03_7	0.003	0.003	-0.001	-0.002	0.002
TCRBV03_8	0.004	0.004	-0.000	-0.002	0.004
TCRBV03_9	0.005	0.005	-0.003	-0.000	0.005
TCRBV03_10	-0.004	0.001	0.007	-0.002	0.014
TCRBV03_11	-0.006	0.002	0.003	0.004	0.002
TCRBV03_12	-0.001	0.000	0.003	0.002	-0.004
TCRBV03_13	-0.001	-0.001	0.005	0.005	-0.006
TCRBV04_6	0.000	-0.000	-0.000	-0.000	0.000
TCRBV04_7	0.001	-0.000	-0.000	-0.001	0.000
TCRBV04_8	0.002	0.000	0.001	-0.002	0.000
TCRBV04_9	0.006	-0.002	0.001	-0.003	0.000
TCRBV04_10	0.006	-0.001	-0.001	-0.001	0.003
TCRBV04_11	-0.003	0.001	-0.003	0.004	-0.002
TCRBV04_12	-0.005	0.002	-0.001	0.003	0.004
TCRBV04_13	-0.004	0.003	0.001	0.005	-0.007
TCRBV04_14	-0.004	-0.002	0.003	-0.005	0.001
TCRBV04_15	-0.000	0.000	0.000	-0.000	-0.000
TCRBV051_5	0.000	0.000	-0.000	-0.000	0.000
TCRBV051_6	0.000	-0.000	0.000	0.000	0.002
TCRBV051_7	-0.000	-0.001	-0.001	-0.002	0.003
TCRBV051_8	0.007	-0.020	0.014	0.014	0.001
TCRBV051_9	0.000	0.002	-0.003	0.006	-0.005
TCRBV051_10	-0.001	0.009	-0.007	-0.004	-0.004
TCRBV051_11	-0.002	0.005	0.004	-0.013	-0.003
TCRBV051_12	-0.001	0.006	-0.001	-0.002	-0.002
TCRBV051_13	0.000	0.000	-0.000	-0.000	-0.000
TCRBV052_6	0.000	0.001	-0.001	-0.001	-0.000
TCRBV052_7	0.001	0.005	0.000	0.001	-0.002
TCRBV052_8	-0.004	0.010	0.012	0.007	-0.010
TCRBV052_9	0.002	-0.002	0.002	-0.001	0.000
TCRBV052_10	0.002	-0.004	-0.005	-0.002	-0.001
TCRBV052_11	0.001	-0.005	-0.001	-0.004	0.004
TCRBV052_12	0.000	-0.004	-0.002	-0.001	0.000
TCRBV052_13	0.000	-0.001	-0.000	-0.000	-0.001
TCRBV06_5	0.000	0.000	-0.000	-0.000	-0.000
TCRBV06_6	0.001	0.001	-0.001	0.000	0.001
TCRBV06_7	0.003	0.002	0.001	0.000	-0.000
TCRBV06_8	0.003	0.003	0.004	0.001	0.001

FIG. 108A

TCRBV06_9	0.004	0.002	0.005	-0.007	0.006
TCRBV06_10	-0.003	0.004	-0.000	0.002	0.005
TCRBV06_11	-0.004	0.002	0.002	0.004	0.002
TCRBV06_12	-0.002	-0.001	-0.000	0.002	0.002
TCRBV06_13	-0.000	-0.000	-0.000	0.000	0.001
TCRBV07_5	0.000	0.000	-0.000	-0.000	-0.000
TCRBV07_6	0.001	0.000	0.004	0.003	-0.003
TCRBV07_7	0.002	-0.001	0.006	-0.002	-0.002
TCRBV07_8	0.002	0.004	0.001	0.001	0.004
TCRBV07_9	0.006	0.004	0.005	-0.002	0.003
TCRBV07_10	-0.001	0.004	-0.001	0.002	0.008
TCRBV07_11	-0.004	0.001	-0.001	0.000	0.005
TCRBV07_12	-0.002	0.001	-0.001	0.001	0.001
TCRBV07_13	-0.000	-0.000	-0.000	-0.000	0.000
TCRBV081_5	-0.000	-0.000	0.000	0.000	0.000
TCRBV081_6	-0.000	0.001	-0.000	-0.001	0.002
TCRBV081_7	0.001	-0.001	0.000	-0.002	0.006
TCRBV081_8	0.001	-0.000	0.002	0.000	0.002
TCRBV081_9	0.005	-0.008	-0.001	-0.003	-0.001
TCRBV081_10	-0.002	0.002	-0.003	0.005	-0.004
TCRBV081_11	-0.003	0.004	0.001	0.001	-0.003
TCRBV081_12	-0.001	0.002	0.000	-0.001	-0.002
TCRBV082_4	0.001	-0.001	-0.000	-0.002	-0.001
TCRBV082_5	0.002	-0.002	-0.001	-0.005	-0.002
TCRBV082_6	0.002	-0.001	0.000	-0.004	-0.002
TCRBV082_7	0.005	-0.004	0.003	-0.008	-0.008
TCRBV082_8	-0.002	0.002	-0.000	0.004	-0.001
TCRBV082_9	-0.004	0.004	-0.001	0.007	0.008
TCRBV082_10	-0.003	0.001	-0.001	0.006	0.004
TCRBV082_11	-0.001	0.000	0.000	0.002	0.002
TCRBV083_4	-0.000	-0.000	0.000	0.000	-0.000
TCRBV083_5	-0.000	0.000	0.000	-0.000	-0.000
TCRBV083_6	0.001	-0.000	-0.002	-0.001	-0.002
TCRBV083_7	-0.000	-0.001	0.002	-0.001	0.004
TCRBV083_8	0.000	0.002	0.000	-0.002	0.003
TCRBV083_9	0.001	0.000	-0.002	0.000	0.001
TCRBV083_10	-0.001	0.001	-0.000	0.002	-0.000
TCRBV083_11	-0.001	-0.000	0.003	0.002	-0.004
TCRBV083_12	-0.000	-0.001	-0.001	0.001	-0.003
TCRBV09_5	-0.000	-0.000	0.000	0.000	0.000
TCRBV09_6	0.000	-0.000	-0.001	0.000	0.001
TCRBV09_7	0.001	-0.001	-0.000	-0.001	0.006
TCRBV09_8	0.000	-0.002	0.005	0.010	0.012
TCRBV09_9	0.003	-0.001	0.008	0.006	0.008
TCRBV09_10	0.003	0.006	0.001	-0.004	0.010
TCRBV09_11	-0.002	0.005	0.013	-0.008	-0.014
TCRBV09_12	-0.000	0.006	-0.001	-0.003	-0.003
TCRBV09_13	0.000	0.001	-0.000	-0.001	-0.001
TCRBV09_14	0.000	0.000	-0.000	-0.000	-0.000
TCRBV09_15	0.000	-0.000	0.000	-0.000	-0.000
TCRBV10_6	0.001	0.001	-0.000	-0.001	-0.001
TCRBV10_7	0.001	0.003	0.002	0.002	-0.005
TCRBV10_8	0.002	0.003	-0.000	0.001	-0.000
TCRBV10_9	-0.005	-0.003	0.001	-0.004	0.001
TCRBV10_10	-0.001	-0.003	0.000	0.001	0.001
TCRBV10_11	0.002	-0.001	-0.002	0.001	0.003
TCRBV10_12	0.000	-0.000	-0.001	0.000	0.001
TCRBV10_13	-0.000	-0.000	-0.000	0.000	0.000
TCRBV11_5	0.000	-0.000	-0.000	0.000	0.001
TCRBV11_6	0.001	0.001	0.000	-0.002	0.001
TCRBV11_7	0.001	0.002	0.002	0.000	-0.001
TCRBV11_8	0.001	0.003	0.004	-0.003	-0.000
TCRBV11_9	0.004	0.003	0.011	-0.002	0.003
TCRBV11_10	-0.000	0.003	0.000	0.004	0.005

**FIG. 108B**

TCRBV11_11	-0.002	0.002	-0.003	0.001	0.004
TCRBV11_12	-0.001	0.000	-0.002	0.003	0.002
TCRBV11_13	-0.001	-0.000	-0.001	0.000	0.001
TCRBV11_14	-0.000	-0.000	-0.000	0.000	0.000
TCRBV11_15	-0.000	-0.000	-0.000	0.000	0.000
TCRBV12_4	-0.000	0.000	0.000	0.000	-0.001
TCRBV12_5	0.002	0.001	0.006	0.001	-0.008
TCRBV12_6	0.003	0.002	0.002	-0.004	0.003
TCRBV12_7	0.005	0.001	0.000	-0.005	0.005
TCRBV12_8	0.002	-0.001	-0.006	-0.002	0.002
TCRBV12_9	-0.005	-0.002	-0.005	0.005	-0.001
TCRBV12_10	-0.002	-0.001	0.003	0.003	-0.001
TCRBV12_11	-0.004	-0.000	0.000	0.001	0.001
TCRBV12_12	-0.001	-0.000	0.000	0.001	-0.000
TCRBV13_5	-0.000	-0.000	-0.000	0.000	0.000
TCRBV13_6	0.000	0.001	0.000	-0.003	-0.002
TCRBV13_7	0.002	-0.001	-0.003	-0.002	0.007
TCRBV13_8	0.001	-0.000	-0.002	0.000	0.003
TCRBV13_9	0.000	0.000	0.009	0.010	-0.012
TCRBV13_10	-0.003	0.001	-0.002	-0.003	0.004
TCRBV13_11	-0.001	-0.001	-0.001	-0.003	-0.002
TCRBV13_12	-0.000	-0.000	-0.001	0.000	0.000
TCRBV13_13	0.000	-0.000	-0.000	0.000	0.000
TCRBV14_5	0.000	0.000	0.000	-0.000	-0.001
TCRBV14_6	0.001	-0.000	-0.002	-0.002	0.001
TCRBV14_7	-0.001	0.000	0.000	-0.002	-0.002
TCRBV14_8	0.003	-0.001	-0.001	-0.000	-0.001
TCRBV14_9	0.001	-0.001	-0.002	0.007	0.001
TCRBV14_10	-0.002	0.000	0.002	-0.004	0.002
TCRBV14_11	-0.002	0.001	0.002	-0.001	-0.000
TCRBV14_12	-0.000	0.000	-0.000	0.000	0.000
TCRBV14_13	-0.000	-0.000	-0.000	0.000	0.000
TCRBV15_4	-0.000	0.000	-0.000	0.000	0.000
TCRBV15_5	0.001	-0.002	-0.001	0.000	0.004
TCRBV15_6	0.002	0.000	0.001	-0.001	0.003
TCRBV15_7	0.004	0.003	0.003	0.000	0.004
TCRBV15_8	0.006	0.004	0.005	0.001	0.004
TCRBV15_9	-0.002	0.006	0.007	0.002	-0.000
TCRBV15_10	-0.004	0.003	-0.003	0.001	0.002
TCRBV15_11	-0.003	0.001	-0.002	0.000	-0.000
TCRBV15_12	-0.001	0.000	0.000	-0.000	-0.000
TCRBV16_5	-0.000	0.000	0.000	0.000	-0.001
TCRBV16_6	0.001	-0.001	0.001	0.002	0.001
TCRBV16_7	0.005	0.001	0.002	0.001	0.001
TCRBV16_8	0.007	0.006	-0.002	0.001	-0.003
TCRBV16_9	0.009	0.010	-0.004	0.004	-0.005
TCRBV16_10	0.000	0.006	0.001	0.005	-0.003
TCRBV16_11	-0.005	-0.002	0.007	0.002	0.013
TCRBV16_12	-0.010	-0.004	0.011	-0.014	0.004
TCRBV16_13	-0.000	-0.000	0.000	0.000	-0.000
TCRBV18_3	0.000	-0.000	-0.000	-0.000	0.000
TCRBV18_4	0.000	-0.000	0.000	-0.002	0.001
TCRBV18_5	0.000	0.001	0.003	-0.000	-0.002
TCRBV18_6	-0.002	0.003	0.006	-0.002	-0.002
TCRBV18_7	-0.000	0.006	0.004	0.003	0.003
TCRBV18_8	0.002	0.009	-0.002	-0.000	0.009
TCRBV18_9	-0.001	0.003	0.000	0.003	0.010
TCRBV18_10	-0.000	0.002	-0.000	0.003	0.004
TCRBV18_11	-0.001	-0.000	-0.001	0.001	0.003
TCRBV18_12	-0.000	0.000	0.000	0.000	-0.000
TCRBV18_13	0.000	-0.000	-0.000	-0.000	0.000
TCRBV20_5	0.000	-0.000	0.000	0.000	0.001
TCRBV20_6	0.001	-0.000	0.001	0.000	-0.001
TCRBV20_7	0.002	0.001	0.001	0.001	-0.000

**FIG. 108C**

TCRBV20_8	0.004	0.002	0.002	-0.001	0.001
TCRBV20_9	0.004	0.004	0.004	0.004	0.005
TCRBV20_10	-0.001	0.006	0.003	-0.004	0.000
TCRBV20_11	-0.005	0.003	0.003	0.000	0.001
TCRBV20_12	-0.002	0.001	-0.001	0.001	0.001
TCRBV20_13	-0.000	-0.003	-0.002	0.001	0.008
TCRBV20_14	-0.000	0.000	-0.000	0.000	0.000
	6	7	8	9	10
TCRBV01_6	0.000	-0.000	-0.000	-0.000	-0.000
TCRBV01_7	-0.002	0.000	0.000	0.001	0.001
TCRBV01_8	0.002	-0.008	0.002	0.011	-0.002
TCRBV01_9	0.000	0.003	-0.003	0.010	0.001
TCRBV01_10	-0.000	0.005	-0.002	-0.008	-0.000
TCRBV01_11	0.007	0.003	0.002	-0.008	0.006
TCRBV01_12	0.002	0.001	-0.002	-0.002	0.003
TCRBV01_13	0.001	-0.001	0.001	-0.001	0.001
TCRBV01_14	0.000	-0.000	0.000	-0.000	-0.000
TCRBV02_6	-0.001	-0.002	-0.001	0.002	0.001
TCRBV02_7	-0.001	-0.001	0.002	0.002	-0.003
TCRBV02_8	-0.004	-0.001	-0.000	-0.003	0.001
TCRBV02_9	-0.001	0.002	-0.009	0.002	0.000
TCRBV02_10	-0.004	-0.002	-0.003	-0.002	0.001
TCRBV02_11	-0.000	0.000	0.002	0.001	-0.000
TCRBV02_12	0.001	0.001	-0.000	0.000	-0.003
TCRBV02_13	0.000	-0.000	0.001	0.001	0.000
TCRBV03_4	0.000	0.000	0.000	-0.000	0.000
TCRBV03_5	0.000	0.000	0.000	-0.000	-0.000
TCRBV03_6	-0.000	0.003	-0.001	0.004	-0.003
TCRBV03_7	0.000	0.004	-0.003	0.002	-0.002
TCRBV03_8	0.000	0.004	-0.005	0.012	-0.001
TCRBV03_9	0.002	0.005	-0.007	0.007	0.000
TCRBV03_10	0.008	-0.009	0.005	-0.000	-0.000
TCRBV03_11	0.005	-0.005	-0.010	-0.008	0.010
TCRBV03_12	0.001	0.000	0.006	-0.008	0.001
TCRBV03_13	-0.005	-0.000	0.014	-0.005	0.004
TCRBV04_6	0.000	0.000	0.000	0.000	0.000
TCRBV04_7	-0.001	0.001	-0.000	0.001	0.005
TCRBV04_8	0.001	0.002	-0.003	-0.000	0.006
TCRBV04_9	-0.000	0.004	-0.001	-0.007	0.008
TCRBV04_10	-0.002	0.003	-0.003	-0.005	0.001
TCRBV04_11	0.000	-0.003	0.004	-0.004	-0.008
TCRBV04_12	0.000	0.000	0.004	0.000	-0.011
TCRBV04_13	0.000	-0.002	-0.001	0.014	-0.001
TCRBV04_14	0.002	-0.005	0.001	0.000	0.001
TCRBV04_15	-0.000	-0.000	0.001	0.001	-0.001
TCRBV051_5	-0.000	0.000	0.000	-0.000	0.001
TCRBV051_6	0.000	0.001	0.001	-0.001	0.001
TCRBV051_7	-0.000	-0.001	0.001	0.002	0.005
TCRBV051_8	0.008	-0.007	-0.009	0.000	-0.004
TCRBV051_9	0.014	-0.005	-0.001	0.012	-0.002
TCRBV051_10	-0.003	-0.000	0.004	0.006	-0.008
TCRBV051_11	-0.003	0.002	0.011	-0.006	-0.001
TCRBV051_12	-0.003	0.001	-0.001	0.000	-0.007
TCRBV051_13	-0.000	0.000	0.000	-0.000	0.000
TCRBV052_6	-0.001	-0.000	0.001	0.000	-0.001
TCRBV052_7	-0.005	-0.005	-0.003	0.003	-0.000
TCRBV052_8	-0.013	-0.002	-0.014	0.002	0.002
TCRBV052_9	0.006	-0.008	-0.004	0.014	-0.027
TCRBV052_10	0.006	-0.003	0.009	0.002	0.003
TCRBV052_11	0.011	0.007	0.013	-0.007	0.006
TCRBV052_12	0.006	0.004	0.005	0.000	0.003

**FIG. 109A**



TCRBV052_13	0.001	0.001	-0.000	0.000	-0.000
TCRBV06_5	-0.000	0.000	-0.000	-0.000	0.000
TCRBV06_6	-0.000	-0.002	0.001	0.001	-0.000
TCRBV06_7	-0.000	-0.002	0.003	0.004	-0.004
TCRBV06_8	-0.003	0.000	0.008	-0.004	0.000
TCRBV06_9	0.009	-0.009	0.007	-0.007	-0.003
TCRBV06_10	0.007	0.005	-0.007	-0.003	0.008
TCRBV06_11	-0.001	0.006	-0.007	0.007	0.005
TCRBV06_12	-0.000	0.004	-0.006	0.006	0.003
TCRBV06_13	-0.000	0.000	-0.001	0.000	0.000
TCRBV07_5	-0.000	-0.000	0.000	0.000	-0.000
TCRBV07_6	-0.003	-0.001	0.008	-0.004	0.005
TCRBV07_7	0.009	0.002	-0.002	-0.005	0.001
TCRBV07_8	-0.005	-0.001	-0.005	0.009	0.007
TCRBV07_9	0.001	-0.007	-0.000	0.002	-0.007
TCRBV07_10	0.006	0.004	-0.005	-0.004	0.001
TCRBV07_11	0.004	0.001	0.004	0.004	0.000
TCRBV07_12	0.000	0.003	-0.001	0.001	0.001
TCRBV07_13	-0.001	0.001	0.000	-0.000	-0.000
TCRBV081_5	-0.000	0.000	0.000	-0.001	0.000
TCRBV081_6	-0.001	0.002	0.005	-0.002	0.001
TCRBV081_7	-0.003	0.009	0.005	-0.004	-0.003
TCRBV081_8	-0.003	0.009	0.003	-0.002	-0.004
TCRBV081_9	-0.009	0.000	-0.005	-0.000	-0.002
TCRBV081_10	0.012	-0.016	-0.002	0.001	0.001
TCRBV081_11	0.005	-0.004	-0.003	0.004	0.005
TCRBV081_12	-0.000	-0.001	-0.003	0.003	0.001
TCRBV082_4	0.000	-0.000	0.000	-0.000	0.003
TCRBV082_5	-0.001	-0.001	-0.002	0.001	0.008
TCRBV082_6	-0.000	-0.001	-0.002	0.002	0.005
TCRBV082_7	0.001	-0.002	-0.002	-0.001	0.013
TCRBV082_8	0.002	-0.002	-0.001	0.001	-0.008
TCRBV082_9	0.001	0.002	0.003	-0.003	-0.011
TCRBV082_10	-0.002	0.001	0.003	0.000	-0.009
TCRBV082_11	-0.000	0.002	0.001	0.000	-0.002
TCRBV083_4	-0.000	0.000	0.001	-0.000	0.000
TCRBV083_5	-0.000	-0.000	-0.000	0.002	0.001
TCRBV083_6	0.001	-0.000	0.001	0.001	-0.000
TCRBV083_7	0.003	0.001	0.005	-0.006	-0.001
TCRBV083_8	0.001	-0.002	-0.004	-0.002	-0.002
TCRBV083_9	-0.003	-0.001	0.002	0.001	-0.005
TCRBV083_10	-0.004	-0.002	-0.000	0.002	0.004
TCRBV083_11	0.002	0.003	-0.001	0.001	0.002
TCRBV083_12	0.001	0.000	-0.003	0.003	0.001
TCRBV09_5	-0.000	0.000	-0.000	-0.001	-0.001
TCRBV09_6	0.000	0.000	0.001	0.001	0.003
TCRBV09_7	-0.001	-0.003	-0.003	0.002	0.007
TCRBV09_8	-0.004	0.002	-0.000	0.010	0.012
TCRBV09_9	-0.004	-0.004	0.003	0.001	0.009
TCRBV09_10	-0.011	0.002	-0.008	-0.001	-0.003
TCRBV09_11	0.007	0.016	-0.011	-0.004	-0.007
TCRBV09_12	-0.002	-0.000	0.001	0.009	-0.011
TCRBV09_13	-0.001	-0.000	0.000	0.002	-0.002
TCRBV09_14	-0.000	-0.000	-0.000	0.000	-0.000
TCRBV09_15	-0.000	-0.000	-0.000	0.000	0.000
TCRBV10_6	-0.000	-0.000	0.001	-0.002	-0.002
TCRBV10_7	-0.003	-0.002	-0.000	-0.000	-0.004
TCRBV10_8	-0.006	-0.006	0.001	0.001	-0.006
TCRBV10_9	-0.010	-0.009	-0.015	-0.015	-0.001
TCRBV10_10	0.003	0.004	0.004	0.007	0.000
TCRBV10_11	0.012	0.010	0.005	0.004	0.007
TCRBV10_12	0.004	0.004	0.003	0.004	0.005
TCRBV10_13	0.000	0.000	0.000	-0.000	0.000
TCRBV11_5	-0.000	-0.000	-0.001	0.000	-0.001

**FIG. 109B**

TCRBV11_6	-0.001	-0.003	-0.001	0.002	0.002
TCRBV11_7	-0.002	-0.002	-0.001	0.001	0.001
TCRBV11_8	0.001	-0.006	-0.001	0.008	0.004
TCRBV11_9	0.004	0.003	-0.009	-0.006	-0.006
TCRBV11_10	0.002	0.002	0.005	0.002	0.004
TCRBV11_11	0.003	0.002	0.004	-0.003	0.002
TCRBV11_12	0.003	0.005	0.001	-0.001	0.001
TCRBV11_13	0.000	0.002	0.001	-0.001	0.001
TCRBV11_14	0.001	0.000	0.000	-0.000	0.000
TCRBV11_15	0.000	0.000	0.000	-0.000	0.000
TCRBV12_4	-0.000	0.000	-0.000	0.001	-0.000
TCRBV12_5	-0.005	0.002	0.015	-0.000	0.006
TCRBV12_6	-0.002	0.005	0.002	0.001	0.003
TCRBV12_7	-0.003	0.003	0.002	0.011	-0.000
TCRBV12_8	-0.000	0.001	-0.000	0.008	0.003
TCRBV12_9	-0.000	-0.011	-0.002	-0.004	0.003
TCRBV12_10	0.007	0.006	-0.011	-0.020	-0.018
TCRBV12_11	0.003	-0.005	-0.003	0.001	0.004
TCRBV12_12	0.001	-0.001	-0.002	0.000	0.000
TCRBV13_5	0.000	0.000	0.000	0.000	0.000
TCRBV13_6	0.007	0.005	-0.005	-0.000	-0.002
TCRBV13_7	0.003	-0.005	-0.004	0.003	-0.005
TCRBV13_8	-0.009	-0.003	0.003	0.000	0.001
TCRBV13_9	-0.005	0.003	0.010	0.005	0.001
TCRBV13_10	0.001	-0.001	-0.008	-0.005	0.002
TCRBV13_11	0.001	0.002	0.003	-0.004	0.003
TCRBV13_12	0.001	0.000	0.000	0.000	0.001
TCRBV13_13	-0.000	-0.000	-0.000	0.000	-0.000
TCRBV14_5	0.000	0.000	0.000	-0.001	0.000
TCRBV14_6	-0.000	-0.001	0.001	-0.002	-0.000
TCRBV14_7	0.001	-0.001	-0.006	-0.000	0.006
TCRBV14_8	0.002	0.001	-0.004	-0.002	-0.001
TCRBV14_9	-0.003	-0.002	0.004	0.009	-0.001
TCRBV14_10	-0.000	0.001	0.004	-0.000	0.002
TCRBV14_11	0.000	0.001	0.001	-0.002	-0.007
TCRBV14_12	-0.000	0.001	0.000	-0.001	0.001
TCRBV14_13	-0.000	0.000	0.000	-0.000	0.000
TCRBV15_4	0.000	0.000	0.000	0.000	0.001
TCRBV15_5	-0.000	0.003	-0.004	0.004	-0.010
TCRBV15_6	-0.002	0.000	0.003	0.001	0.001
TCRBV15_7	-0.002	-0.001	0.007	0.002	-0.000
TCRBV15_8	0.002	-0.001	0.002	0.009	0.002
TCRBV15_9	0.007	0.002	-0.004	-0.006	0.001
TCRBV15_10	0.004	0.000	-0.003	-0.003	0.010
TCRBV15_11	0.002	-0.001	-0.001	-0.002	0.003
TCRBV15_12	0.000	-0.000	-0.002	-0.000	0.002
TCRBV16_5	-0.000	-0.000	0.002	-0.000	-0.000
TCRBV16_6	-0.004	-0.000	0.004	-0.000	-0.001
TCRBV16_7	-0.003	-0.007	-0.001	-0.012	-0.006
TCRBV16_8	0.003	-0.007	-0.001	0.000	0.003
TCRBV16_9	0.018	-0.007	-0.003	0.001	0.000
TCRBV16_10	0.005	0.014	0.004	0.007	0.009
TCRBV16_11	0.001	0.011	0.007	0.004	-0.019
TCRBV16_12	0.003	-0.007	-0.004	0.017	0.008
TCRBV16_13	-0.000	0.000	-0.000	0.001	-0.000
TCRBV18_3	0.000	-0.000	0.000	0.000	0.000
TCRBV18_4	0.001	-0.000	0.004	0.003	-0.002
TCRBV18_5	0.000	-0.001	0.008	0.003	-0.000
TCRBV18_6	0.003	-0.009	0.012	0.001	-0.001
TCRBV18_7	-0.003	-0.008	0.021	-0.011	-0.004
TCRBV18_8	0.001	-0.012	-0.003	-0.015	0.005
TCRBV18_9	-0.005	0.002	-0.008	-0.008	0.012
TCRBV18_10	-0.002	0.000	-0.005	0.003	0.004
TCRBV18_11	-0.002	0.002	-0.002	0.001	0.000

**FIG. 109C**

TCRBV18_12	0.000	0.000	-0.000	0.001	0.000
TCRBV18_13	0.000	0.000	0.000	-0.000	0.000
TCRBV20_5	0.000	0.000	-0.000	-0.001	-0.001
TCRBV20_6	-0.000	-0.002	-0.003	-0.002	-0.001
TCRBV20_7	0.002	-0.003	0.002	0.002	-0.000
TCRBV20_8	0.005	0.001	-0.003	0.000	-0.007
TCRBV20_9	-0.004	-0.005	-0.000	-0.001	0.007
TCRBV20_10	0.003	0.002	0.000	0.004	0.009
TCRBV20_11	0.006	0.001	0.004	-0.000	0.007
TCRBV20_12	0.002	0.003	0.001	-0.003	0.002
TCRBV20_13	-0.002	0.004	-0.003	0.003	-0.007
TCRBV20_14	0.000	0.000	0.000	0.000	0.000
	11	12	13	14	15
TCRBV01_6	-0.000	0.001	0.000	-0.000	0.001
TCRBV01_7	-0.003	0.001	0.002	0.002	-0.000
TCRBV01_8	-0.007	0.002	0.004	-0.001	-0.012
TCRBV01_9	0.001	-0.003	-0.016	-0.001	-0.007
TCRBV01_10	-0.005	0.005	0.024	-0.006	-0.001
TCRBV01_11	0.004	0.004	-0.004	0.011	0.008
TCRBV01_12	0.006	0.003	0.003	0.005	0.003
TCRBV01_13	0.000	0.000	0.000	0.001	0.001
TCRBV01_14	-0.000	0.000	0.000	-0.000	0.000
TCRBV02_6	0.001	-0.001	-0.001	0.000	-0.002
TCRBV02_7	0.001	-0.005	0.001	0.001	0.004
TCRBV02_8	-0.006	-0.001	-0.005	0.002	0.002
TCRBV02_9	-0.006	0.002	-0.004	0.001	-0.003
TCRBV02_10	-0.002	-0.000	-0.001	0.006	0.002
TCRBV02_11	0.003	-0.006	0.001	0.004	0.005
TCRBV02_12	0.001	-0.001	-0.002	0.003	0.003
TCRBV02_13	-0.000	0.000	0.001	-0.000	-0.001
TCRBV03_4	0.000	0.000	0.000	-0.000	-0.000
TCRBV03_5	0.000	0.001	0.000	-0.000	-0.000
TCRBV03_6	-0.001	0.004	0.004	0.000	-0.000
TCRBV03_7	0.003	0.005	0.003	-0.001	0.007
TCRBV03_8	-0.002	0.012	0.002	-0.010	0.009
TCRBV03_9	-0.004	0.012	0.005	0.000	-0.001
TCRBV03_10	0.000	-0.007	-0.001	-0.011	-0.006
TCRBV03_11	0.010	-0.009	-0.004	0.015	-0.007
TCRBV03_12	0.000	-0.001	-0.002	0.008	-0.002
TCRBV03_13	-0.012	-0.004	0.007	0.011	-0.005
TCRBV04_6	0.000	0.000	0.000	0.000	0.000
TCRBV04_7	0.001	-0.000	-0.001	0.001	0.002
TCRBV04_8	-0.001	-0.001	-0.003	0.004	0.001
TCRBV04_9	-0.006	-0.005	-0.007	0.002	0.009
TCRBV04_10	-0.002	-0.000	0.003	0.007	-0.002
TCRBV04_11	0.007	0.004	0.003	0.008	-0.004
TCRBV04_12	0.005	0.003	0.003	0.003	-0.005
TCRBV04_13	-0.002	0.002	0.009	-0.021	0.009
TCRBV04_14	-0.002	-0.004	-0.005	-0.003	-0.010
TCRBV04_15	0.001	0.001	-0.001	-0.000	-0.000
TCRBV051_5	0.000	0.000	-0.001	0.000	-0.000
TCRBV051_6	0.005	0.002	-0.001	0.001	-0.002
TCRBV051_7	0.001	-0.006	-0.002	0.005	0.001
TCRBV051_8	0.005	-0.004	0.009	0.000	0.011
TCRBV051_9	0.004	-0.007	0.010	0.010	0.001
TCRBV051_10	0.006	-0.015	-0.002	0.001	-0.004
TCRBV051_11	0.007	0.005	-0.005	0.002	0.011
TCRBV051_12	-0.001	-0.006	-0.002	-0.002	-0.005
TCRBV051_13	-0.000	0.000	-0.001	-0.000	-0.000
TCRBV052_6	-0.000	0.000	-0.002	0.001	-0.001
TCRBV052_7	0.004	-0.003	-0.004	0.006	-0.005

**FIG. 109D**

TCRBV052_8	0.013	0.001	0.003	0.003	-0.008
TCRBV052_9	-0.006	-0.008	-0.014	0.014	0.012
TCRBV052_10	0.014	-0.010	0.008	0.002	-0.001
TCRBV052_11	0.004	-0.008	0.010	-0.005	0.012
TCRBV052_12	0.000	-0.002	0.005	-0.003	0.004
TCRBV052_13	-0.000	-0.000	-0.001	-0.000	-0.001
TCRBV06_5	0.000	-0.000	-0.000	0.000	0.000
TCRBV06_6	0.004	0.004	-0.003	0.002	0.001
TCRBV06_7	0.002	0.002	-0.002	-0.002	0.003
TCRBV06_8	0.001	-0.002	-0.000	0.002	0.000
TCRBV06_9	-0.003	0.013	-0.003	0.002	-0.010
TCRBV06_10	-0.004	0.002	0.006	0.006	-0.003
TCRBV06_11	-0.003	-0.006	0.006	-0.002	0.003
TCRBV06_12	-0.001	-0.002	0.009	0.004	0.002
TCRBV06_13	-0.001	0.000	0.001	-0.000	-0.002
TCRBV07_5	0.000	-0.000	0.000	0.000	-0.000
TCRBV07_6	-0.000	0.003	-0.001	0.009	-0.003
TCRBV07_7	0.000	0.011	-0.011	0.013	-0.017
TCRBV07_8	0.003	0.003	0.005	0.006	0.001
TCRBV07_9	0.017	-0.006	0.017	0.008	0.008
TCRBV07_10	-0.012	-0.010	0.002	-0.013	0.003
TCRBV07_11	-0.007	0.006	-0.003	-0.008	-0.000
TCRBV07_12	-0.006	0.003	0.004	-0.005	0.001
TCRBV07_13	-0.001	0.001	0.000	-0.000	-0.000
TCRBV081_5	0.001	0.001	-0.000	0.000	-0.000
TCRBV081_6	0.001	-0.000	-0.006	0.004	-0.001
TCRBV081_7	-0.004	-0.003	-0.009	0.003	-0.005
TCRBV081_8	0.002	0.005	-0.005	0.004	-0.007
TCRBV081_9	0.014	-0.013	0.016	-0.011	-0.018
TCRBV081_10	-0.008	0.009	0.001	0.001	0.013
TCRBV081_11	-0.004	0.003	-0.000	0.000	0.012
TCRBV081_12	-0.001	-0.001	0.003	-0.001	0.006
TCRBV082_4	0.002	0.001	-0.002	-0.001	0.000
TCRBV082_5	0.005	0.001	-0.004	0.001	0.003
TCRBV082_6	0.002	0.002	-0.002	0.002	0.001
TCRBV082_7	0.007	0.004	-0.007	-0.000	0.002
TCRBV082_8	-0.005	0.003	0.004	0.002	-0.001
TCRBV082_9	-0.006	-0.006	0.006	-0.002	-0.006
TCRBV082_10	-0.003	-0.002	0.005	-0.001	0.000
TCRBV082_11	-0.001	-0.002	-0.001	-0.001	0.001
TCRBV083_4	-0.001	-0.000	0.000	0.001	-0.000
TCRBV083_5	-0.001	-0.000	0.002	-0.001	0.000
TCRBV083_6	0.001	-0.000	-0.000	0.003	-0.002
TCRBV083_7	-0.005	-0.011	-0.004	-0.004	-0.003
TCRBV083_8	-0.002	-0.005	-0.002	-0.003	0.004
TCRBV083_9	0.003	0.008	0.006	0.006	0.002
TCRBV083_10	0.002	0.005	0.005	0.005	-0.003
TCRBV083_11	0.003	0.005	-0.007	-0.003	0.003
TCRBV083_12	-0.001	-0.002	0.001	-0.004	-0.001
TCRBV09_5	0.001	0.001	-0.000	0.000	-0.001
TCRBV09_6	-0.001	0.001	0.001	0.001	-0.001
TCRBV09_7	-0.003	-0.003	0.002	0.001	-0.001
TCRBV09_8	0.012	0.007	-0.026	-0.001	-0.001
TCRBV09_9	-0.021	-0.014	0.010	0.016	-0.004
TCRBV09_10	0.009	-0.002	0.013	0.013	-0.006
TCRBV09_11	-0.007	-0.002	-0.002	0.011	0.011
TCRBV09_12	0.003	-0.002	0.003	-0.008	-0.001
TCRBV09_13	0.001	0.001	-0.001	-0.002	0.000
TCRBV09_14	0.001	0.001	-0.001	-0.000	0.000
TCRBV09_15	0.000	0.000	-0.000	-0.000	0.000
TCRBV10_6	-0.000	0.002	-0.004	0.005	0.001
TCRBV10_7	-0.005	0.000	-0.002	0.001	-0.001
TCRBV10_8	0.002	0.001	-0.000	0.004	-0.002
TCRBV10_9	-0.010	-0.011	-0.003	0.001	0.008

**FIG. 110A**

TCRBV10_10	0.008	0.003	0.002	-0.011	0.005
TCRBV10_11	0.004	0.007	0.002	-0.000	-0.012
TCRBV10_12	0.001	-0.001	0.005	-0.000	0.002
TCRBV10_13	0.000	0.000	0.000	-0.000	-0.000
TCRBV11_5	-0.001	-0.000	0.000	0.002	0.001
TCRBV11_6	0.002	-0.002	0.003	0.001	0.002
TCRBV11_7	-0.005	-0.004	-0.003	0.001	-0.004
TCRBV11_8	-0.003	-0.001	-0.003	0.005	-0.002
TCRBV11_9	-0.003	0.000	0.001	-0.013	0.007
TCRBV11_10	0.003	0.006	0.002	0.005	-0.004
TCRBV11_11	-0.000	0.005	0.007	0.005	0.001
TCRBV11_12	0.001	0.004	0.003	0.007	-0.006
TCRBV11_13	0.000	0.003	0.002	-0.001	-0.001
TCRBV11_14	0.001	0.001	0.001	-0.001	-0.000
TCRBV11_15	0.000	0.000	0.000	-0.000	-0.000
TCRBV12_4	-0.000	0.000	-0.000	-0.002	0.001
TCRBV12_5	-0.010	-0.001	-0.000	0.003	0.003
TCRBV12_6	-0.007	-0.009	-0.000	-0.012	0.009
TCRBV12_7	-0.005	-0.006	0.000	0.005	0.001
TCRBV12_8	-0.001	-0.004	0.003	0.005	-0.007
TCRBV12_9	0.005	0.006	-0.003	0.004	0.004
TCRBV12_10	0.014	0.012	0.006	-0.003	-0.009
TCRBV12_11	0.002	0.002	-0.003	-0.000	-0.004
TCRBV12_12	0.001	0.000	-0.002	0.000	0.001
TCRBV13_5	0.000	0.001	0.000	-0.000	-0.001
TCRBV13_6	-0.003	0.001	-0.002	-0.003	-0.016
TCRBV13_7	-0.004	0.008	0.004	0.005	-0.004
TCRBV13_8	-0.005	0.007	0.008	0.009	-0.002
TCRBV13_9	-0.007	0.005	-0.003	-0.014	0.003
TCRBV13_10	0.011	-0.016	-0.005	-0.005	0.012
TCRBV13_11	0.007	-0.003	-0.007	0.007	0.008
TCRBV13_12	0.002	-0.002	0.002	0.002	0.000
TCRBV13_13	0.000	-0.001	0.002	-0.000	-0.001
TCRBV14_5	-0.000	-0.000	-0.002	0.001	0.000
TCRBV14_6	0.000	-0.003	0.001	-0.004	0.000
TCRBV14_7	-0.001	-0.002	-0.001	0.007	0.001
TCRBV14_8	-0.002	0.004	0.006	0.008	-0.007
TCRBV14_9	0.004	-0.003	-0.008	-0.004	0.001
TCRBV14_10	-0.002	-0.005	0.002	-0.005	0.003
TCRBV14_11	0.002	0.006	0.000	0.000	0.001
TCRBV14_12	0.001	0.002	0.001	-0.002	0.001
TCRBV14_13	-0.000	0.001	0.000	-0.001	-0.000
TCRBV15_4	0.000	-0.000	0.001	0.000	0.000
TCRBV15_5	-0.009	0.004	0.001	0.015	0.009
TCRBV15_6	0.000	0.005	0.001	-0.002	-0.004
TCRBV15_7	0.007	-0.002	-0.002	0.005	-0.005
TCRBV15_8	0.009	-0.000	-0.007	-0.004	-0.002
TCRBV15_9	-0.007	-0.012	0.003	-0.013	-0.017
TCRBV15_10	-0.001	0.011	0.010	0.007	0.008
TCRBV15_11	-0.002	0.005	0.005	0.003	0.003
TCRBV15_12	-0.001	0.001	0.001	0.001	0.002
TCRBV16_5	-0.000	0.000	0.000	0.001	-0.001
TCRBV16_6	-0.004	0.001	-0.000	0.010	0.005
TCRBV16_7	0.007	0.003	0.014	-0.008	0.001
TCRBV16_8	-0.001	-0.007	0.003	0.004	-0.009
TCRBV16_9	-0.003	-0.010	-0.013	0.002	-0.009
TCRBV16_10	0.006	-0.009	0.012	0.011	0.012
TCRBV16_11	0.017	-0.005	-0.011	0.007	0.013
TCRBV16_12	0.002	0.010	0.013	0.002	-0.006
TCRBV16_13	-0.000	-0.000	0.001	-0.001	-0.000
TCRBV18_3	0.000	-0.000	0.000	-0.000	0.000
TCRBV18_4	0.002	-0.000	0.002	0.002	0.002
TCRBV18_5	0.003	-0.002	0.003	0.002	0.004
TCRBV18_6	0.006	-0.002	0.007	0.010	0.014

**FIG. 110B**

TCRBV18_7	-0.004	0.008	0.003	-0.004	-0.001
TCRBV18_8	0.002	-0.001	-0.005	-0.009	0.025
TCRBV18_9	0.004	0.002	-0.009	-0.001	0.005
TCRBV18_10	0.002	-0.002	-0.002	-0.002	0.008
TCRBV18_11	-0.006	0.006	-0.000	-0.001	0.001
TCRBV18_12	-0.000	0.001	0.000	-0.002	0.000
TCRBV18_13	0.000	0.000	-0.000	-0.000	0.000
TCRBV20_5	-0.001	-0.002	-0.000	-0.001	0.001
TCRBV20_6	-0.001	0.000	0.002	0.001	0.001
TCRBV20_7	0.003	0.005	-0.002	-0.000	-0.004
TCRBV20_8	-0.005	0.012	-0.004	-0.001	-0.005
TCRBV20_9	0.004	0.011	-0.000	-0.013	0.001
TCRBV20_10	0.006	0.003	0.009	0.000	0.010
TCRBV20_11	0.000	-0.015	0.000	0.003	-0.016
TCRBV20_12	0.003	-0.005	0.007	0.006	-0.005
TCRBV20_13	-0.015	0.004	0.000	0.016	0.011
TCRBV20_14	0.000	-0.000	0.001	0.000	0.000
	16	17	18	19	20
TCRBV01_6	0.001	-0.001	0.001	0.000	-0.001
TCRBV01_7	-0.000	-0.007	0.006	0.004	-0.005
TCRBV01_8	-0.008	-0.004	0.005	0.005	0.002
TCRBV01_9	0.006	-0.015	0.012	0.014	0.011
TCRBV01_10	0.010	0.019	-0.001	-0.004	-0.003
TCRBV01_11	-0.003	0.004	0.001	-0.008	-0.003
TCRBV01_12	-0.003	-0.000	-0.009	-0.009	0.001
TCRBV01_13	0.001	0.003	-0.003	-0.004	0.002
TCRBV01_14	0.000	0.000	-0.000	-0.000	0.001
TCRBV02_6	0.001	-0.004	0.001	0.001	-0.004
TCRBV02_7	0.001	-0.001	-0.000	-0.004	0.004
TCRBV02_8	0.007	-0.005	0.008	-0.008	0.003
TCRBV02_9	0.007	-0.005	0.001	-0.026	-0.001
TCRBV02_10	0.004	-0.003	0.010	-0.020	0.011
TCRBV02_11	0.004	-0.001	0.001	-0.008	0.007
TCRBV02_12	0.000	-0.001	-0.002	0.001	0.009
TCRBV02_13	-0.001	0.000	-0.001	-0.001	0.000
TCRBV03_4	-0.001	0.000	-0.000	0.002	-0.001
TCRBV03_5	0.000	0.001	-0.000	0.002	-0.001
TCRBV03_6	-0.000	-0.008	0.006	0.002	0.007
TCRBV03_7	-0.002	-0.008	0.000	0.005	0.004
TCRBV03_8	-0.010	-0.005	-0.003	-0.001	-0.002
TCRBV03_9	0.005	0.003	0.010	-0.002	-0.003
TCRBV03_10	0.009	0.006	-0.013	-0.019	-0.006
TCRBV03_11	-0.005	0.005	0.008	0.006	0.008
TCRBV03_12	-0.000	0.005	0.003	-0.013	-0.001
TCRBV03_13	0.006	-0.000	0.001	0.016	0.002
TCRBV04_6	-0.000	-0.000	0.000	0.000	-0.000
TCRBV04_7	0.001	-0.000	-0.002	-0.000	0.007
TCRBV04_8	0.004	0.005	-0.001	0.003	0.007
TCRBV04_9	0.013	-0.005	-0.005	0.008	0.008
TCRBV04_10	0.011	0.014	-0.015	0.005	0.006
TCRBV04_11	-0.007	-0.022	0.003	-0.003	-0.014
TCRBV04_12	0.002	-0.009	0.008	-0.000	-0.012
TCRBV04_13	-0.015	0.007	0.007	-0.010	-0.012
TCRBV04_14	-0.009	0.000	0.002	-0.003	0.010
TCRBV04_15	0.001	-0.000	0.003	-0.000	0.001
TCRBV051_5	0.000	0.001	0.000	0.000	-0.000
TCRBV051_6	-0.001	0.003	-0.002	0.003	-0.004
TCRBV051_7	0.004	0.005	-0.002	0.005	-0.024
TCRBV051_8	-0.005	-0.014	-0.009	0.002	0.001
TCRBV051_9	0.004	0.021	-0.012	0.003	0.006
TCRBV051_10	0.011	0.002	-0.005	0.014	0.006

**FIG. 110C**

TCRBV051_11	0.001	-0.013	-0.014	-0.004	0.006
TCRBV051_12	-0.002	-0.003	0.004	0.004	0.011
TCRBV051_13	0.001	0.000	0.001	0.000	0.001
TCRBV052_6	-0.000	-0.001	0.000	0.003	-0.004
TCRBV052_7	0.004	0.004	0.004	0.003	-0.012
TCRBV052_8	0.010	0.002	-0.029	0.013	0.016
TCRBV052_9	0.003	0.021	-0.007	-0.006	-0.017
TCRBV052_10	0.003	0.002	0.002	0.009	0.005
TCRBV052_11	-0.001	-0.021	-0.007	0.004	0.010
TCRBV052_12	-0.006	-0.005	-0.002	0.001	0.007
TCRBV052_13	0.000	-0.001	0.000	0.001	-0.001
TCRBV06_5	0.000	0.000	-0.000	0.000	0.000
TCRBV06_6	0.002	-0.003	-0.002	0.001	0.003
TCRBV06_7	-0.001	-0.002	0.001	0.001	-0.002
TCRBV06_8	0.008	-0.008	0.004	0.019	0.002
TCRBV06_9	0.001	0.005	-0.011	-0.000	0.002
TCRBV06_10	0.006	0.001	-0.000	-0.003	-0.005
TCRBV06_11	-0.012	0.005	0.017	-0.008	-0.000
TCRBV06_12	-0.002	0.004	0.001	-0.009	0.007
TCRBV06_13	0.001	-0.003	0.002	-0.003	-0.002
TCRBV07_5	0.000	-0.000	0.000	0.000	-0.000
TCRBV07_6	-0.002	0.002	-0.003	0.001	-0.004
TCRBV07_7	-0.005	-0.000	-0.009	-0.005	-0.012
TCRBV07_8	-0.005	0.005	0.000	-0.003	-0.008
TCRBV07_9	-0.016	0.006	0.013	0.007	0.007
TCRBV07_10	0.017	-0.003	0.001	0.002	-0.000
TCRBV07_11	0.004	-0.009	0.006	-0.003	0.016
TCRBV07_12	0.009	-0.001	0.001	-0.001	0.008
TCRBV07_13	0.001	-0.000	0.001	-0.000	-0.000
TCRBV081_5	0.000	0.001	-0.001	0.000	0.000
TCRBV081_6	-0.004	0.003	0.002	0.000	-0.004
TCRBV081_7	-0.004	0.006	-0.000	0.005	-0.007
TCRBV081_8	-0.014	0.001	-0.005	0.001	-0.008
TCRBV081_9	0.001	0.004	0.006	-0.012	0.009
TCRBV081_10	0.017	-0.016	-0.004	-0.002	0.008
TCRBV081_11	0.003	-0.001	0.001	0.006	-0.000
TCRBV081_12	0.002	0.002	0.000	0.002	0.001
TCRBV082_4	0.000	0.001	0.003	0.002	0.002
TCRBV082_5	0.004	0.003	0.005	0.002	0.000
TCRBV082_6	0.001	0.005	0.003	-0.003	0.004
TCRBV082_7	0.005	0.006	0.008	-0.011	0.008
TCRBV082_8	0.002	-0.007	-0.003	0.002	0.000
TCRBV082_9	-0.006	-0.006	-0.007	0.002	-0.006
TCRBV082_10	-0.004	-0.004	-0.006	0.004	-0.007
TCRBV082_11	-0.001	0.002	-0.002	0.001	-0.002
TCRBV083_4	0.000	-0.000	0.000	0.001	0.000
TCRBV083_5	0.001	-0.000	-0.001	-0.001	0.001
TCRBV083_6	-0.001	-0.002	0.004	-0.002	-0.000
TCRBV083_7	0.012	-0.002	0.004	0.004	0.001
TCRBV083_8	0.010	0.004	0.004	0.004	-0.015
TCRBV083_9	-0.009	-0.003	-0.001	0.004	0.012
TCRBV083_10	-0.002	0.001	0.002	0.006	0.003
TCRBV083_11	-0.010	0.001	-0.004	-0.012	-0.001
TCRBV083_12	-0.002	0.001	-0.008	-0.004	-0.000
TCRBV09_5	-0.000	-0.000	-0.001	-0.000	-0.000
TCRBV09_6	-0.000	-0.000	0.002	-0.002	-0.003
TCRBV09_7	-0.002	0.000	0.006	-0.006	-0.006
TCRBV09_8	0.006	0.003	0.009	-0.013	0.019
TCRBV09_9	0.000	-0.011	0.009	-0.001	-0.020
TCRBV09_10	0.001	-0.017	-0.003	-0.019	-0.005
TCRBV09_11	0.001	0.001	0.023	0.002	0.001
TCRBV09_12	0.000	-0.003	0.008	-0.004	0.001
TCRBV09_13	0.003	0.001	0.002	-0.001	0.000
TCRBV09_14	0.002	0.001	0.001	0.000	0.001

**FIG. 110D**

TCRBV09_15	0.000	0.001	0.000	-0.000	0.000
TCRBV10_6	-0.000	0.000	0.001	-0.006	-0.005
TCRBV10_7	0.002	-0.004	-0.008	-0.018	-0.006
TCRBV10_8	0.010	-0.006	-0.005	-0.011	0.004
TCRBV10_9	0.001	-0.006	0.003	0.010	0.003
TCRBV10_10	-0.006	0.002	0.007	0.004	0.012
TCRBV10_11	-0.002	0.009	0.001	0.017	-0.007
TCRBV10_12	-0.005	0.005	0.001	0.004	-0.000
TCRBV10_13	-0.000	0.000	-0.000	0.001	-0.000
TCRBV11_5	-0.001	0.001	-0.000	-0.000	0.001
TCRBV11_6	-0.003	-0.007	0.005	0.001	0.002
TCRBV11_7	-0.001	-0.007	0.005	-0.001	0.004
TCRBV11_8	-0.000	-0.007	0.002	-0.005	-0.000
TCRBV11_9	0.008	0.001	-0.001	0.000	-0.001
TCRBV11_10	0.003	0.003	-0.001	-0.003	0.006
TCRBV11_11	0.001	0.007	0.001	-0.004	0.003
TCRBV11_12	0.000	0.004	0.002	0.002	-0.002
TCRBV11_13	-0.002	0.003	0.001	0.004	-0.004
TCRBV11_14	-0.001	0.001	-0.001	0.004	-0.002
TCRBV11_15	-0.000	0.000	-0.000	0.001	-0.001
TCRBV12_4	-0.002	0.001	-0.002	-0.002	-0.002
TCRBV12_5	-0.009	0.002	-0.005	-0.002	-0.005
TCRBV12_6	0.005	0.006	-0.006	0.001	-0.004
TCRBV12_7	-0.011	0.003	-0.009	0.001	0.017
TCRBV12_8	0.010	-0.007	-0.001	-0.007	0.001
TCRBV12_9	-0.001	0.000	0.010	-0.000	-0.013
TCRBV12_10	0.002	-0.003	0.003	-0.002	0.002
TCRBV12_11	0.005	0.000	0.007	0.006	0.001
TCRBV12_12	0.001	-0.001	0.003	0.006	0.002
TCRBV13_5	-0.001	0.001	-0.001	0.003	-0.002
TCRBV13_6	0.002	-0.001	0.003	0.010	-0.000
TCRBV13_7	0.003	-0.006	0.003	-0.004	0.020
TCRBV13_8	-0.002	-0.003	0.005	0.009	0.009
TCRBV13_9	-0.001	0.002	-0.008	0.003	0.001
TCRBV13_10	0.005	0.006	0.002	0.005	-0.015
TCRBV13_11	-0.005	0.000	-0.001	-0.018	-0.012
TCRBV13_12	0.001	0.003	-0.003	-0.007	-0.002
TCRBV13_13	-0.001	-0.001	0.001	0.000	0.001
TCRBV14_5	-0.002	-0.000	0.001	-0.002	-0.000
TCRBV14_6	0.006	-0.000	-0.001	-0.002	-0.008
TCRBV14_7	-0.005	-0.003	0.008	0.005	0.001
TCRBV14_8	0.002	-0.004	-0.001	-0.003	-0.008
TCRBV14_9	0.016	0.000	-0.003	-0.000	0.017
TCRBV14_10	-0.008	0.006	-0.004	-0.004	-0.007
TCRBV14_11	-0.007	0.001	0.003	0.004	0.007
TCRBV14_12	-0.002	-0.001	-0.002	0.001	-0.001
TCRBV14_13	-0.001	0.000	0.000	0.001	-0.001
TCRBV15_4	-0.001	0.000	-0.000	-0.000	0.000
TCRBV15_5	-0.012	0.006	-0.005	0.005	0.018
TCRBV15_6	-0.002	-0.006	0.001	0.001	-0.007
TCRBV15_7	-0.002	-0.009	0.005	0.008	-0.010
TCRBV15_8	0.004	-0.006	-0.002	-0.004	-0.022
TCRBV15_9	-0.013	0.001	0.007	-0.010	0.021
TCRBV15_10	0.019	0.005	0.002	-0.005	0.001
TCRBV15_11	0.008	0.006	0.001	-0.000	0.003
TCRBV15_12	0.003	0.001	0.003	0.003	0.002
TCRBV16_5	0.001	-0.000	0.002	0.001	-0.001
TCRBV16_6	-0.002	-0.001	-0.003	0.007	0.010
TCRBV16_7	-0.000	0.007	0.003	0.006	-0.001
TCRBV16_8	0.001	0.014	-0.004	-0.007	0.005
TCRBV16_9	-0.018	-0.012	-0.003	0.003	0.004
TCRBV16_10	0.013	-0.013	-0.006	0.001	-0.005
TCRBV16_11	0.015	0.005	0.001	-0.003	0.005
TCRBV16_12	0.006	0.003	-0.017	0.018	-0.007

FIG. 111A



TCRBV16_13	0.000	-0.002	-0.001	-0.001	-0.001
TCRBV18_3	0.000	0.000	0.000	0.000	0.000
TCRBV18_4	-0.003	0.001	0.009	-0.005	-0.001
TCRBV18_5	-0.001	0.004	0.018	-0.006	-0.001
TCRBV18_6	0.001	0.006	0.031	0.006	0.006
TCRBV18_7	0.001	0.019	0.003	-0.015	0.010
TCRBV18_8	-0.019	-0.003	-0.010	0.005	0.008
TCRBV18_9	-0.023	0.006	-0.004	0.016	-0.004
TCRBV18_10	-0.008	0.011	-0.011	0.011	-0.010
TCRBV18_11	-0.003	0.008	-0.003	0.004	-0.002
TCRBV18_12	-0.002	0.001	-0.001	0.001	-0.001
TCRBV18_13	0.000	0.001	0.000	0.000	0.000
TCRBV20_5	0.001	0.000	0.001	0.000	-0.002
TCRBV20_6	0.002	-0.007	0.001	0.004	-0.002
TCRBV20_7	0.009	-0.006	-0.001	0.009	-0.003
TCRBV20_8	0.007	0.001	0.012	0.019	-0.003
TCRBV20_9	0.007	0.008	0.022	0.003	-0.009
TCRBV20_10	-0.005	-0.018	-0.016	-0.017	-0.004
TCRBV20_11	-0.007	0.004	-0.005	-0.008	0.012
TCRBV20_12	0.001	0.006	-0.001	-0.006	0.002
TCRBV20_13	-0.012	0.009	-0.002	-0.006	0.015
TCRBV20_14	-0.000	0.000	-0.000	-0.000	0.000
	21	22	23	24	25
TCRBV01_6	0.002	0.001	0.001	0.000	0.004
TCRBV01_7	-0.000	0.003	0.001	0.013	-0.004
TCRBV01_8	-0.006	0.008	-0.007	0.009	0.013
TCRBV01_9	0.009	-0.012	-0.017	0.007	0.004
TCRBV01_10	0.019	0.017	-0.004	-0.026	-0.018
TCRBV01_11	0.002	-0.012	0.009	0.008	0.001
TCRBV01_12	-0.007	-0.002	0.015	0.013	0.002
TCRBV01_13	-0.000	-0.002	0.005	-0.001	0.003
TCRBV01_14	0.000	-0.000	0.000	-0.000	-0.000
TCRBV02_6	-0.002	-0.002	-0.001	-0.003	-0.001
TCRBV02_7	-0.003	-0.008	0.008	-0.003	0.004
TCRBV02_8	-0.008	-0.002	0.005	-0.008	0.002
TCRBV02_9	-0.010	-0.020	0.015	-0.009	-0.004
TCRBV02_10	-0.003	-0.004	0.011	-0.021	-0.001
TCRBV02_11	-0.007	0.003	0.005	-0.007	-0.008
TCRBV02_12	-0.002	0.003	0.003	-0.004	-0.003
TCRBV02_13	-0.001	0.001	-0.001	-0.001	0.002
TCRBV03_4	0.001	0.001	-0.001	0.001	0.000
TCRBV03_5	0.003	0.001	-0.001	0.002	0.001
TCRBV03_6	0.009	0.007	0.008	0.001	0.008
TCRBV03_7	0.004	0.002	0.014	-0.002	-0.001
TCRBV03_8	0.006	0.002	0.012	-0.005	0.011
TCRBV03_9	0.012	-0.002	-0.004	0.006	-0.003
TCRBV03_10	-0.023	-0.008	-0.022	0.011	0.009
TCRBV03_11	0.002	0.001	-0.002	0.004	-0.022
TCRBV03_12	0.008	0.000	-0.012	-0.006	-0.006
TCRBV03_13	-0.002	-0.002	0.012	0.010	0.006
TCRBV04_6	-0.000	0.000	0.000	-0.001	-0.001
TCRBV04_7	0.001	0.001	0.001	0.007	-0.001
TCRBV04_8	0.002	0.002	0.006	0.007	0.002
TCRBV04_9	-0.004	-0.006	0.004	0.016	0.007
TCRBV04_10	0.001	0.003	-0.003	-0.021	0.012
TCRBV04_11	0.008	0.001	-0.005	-0.017	-0.013
TCRBV04_12	0.010	-0.000	0.003	0.003	-0.007
TCRBV04_13	-0.017	-0.005	-0.006	0.004	-0.008
TCRBV04_14	0.001	0.002	-0.001	-0.001	0.010
TCRBV04_15	-0.002	0.003	-0.001	0.002	-0.001
TCRBV051_5	-0.002	0.001	0.002	-0.003	-0.001
TCRBV051_6	-0.009	0.000	0.015	-0.006	-0.018

**FIG. 111B**

TCRBV051_7	-0.002	0.008	0.012	-0.012	-0.026
TCRBV051_8	0.016	0.007	-0.001	0.021	0.002
TCRBV051_9	-0.022	-0.018	0.001	-0.000	-0.000
TCRBV051_10	0.008	0.006	-0.002	-0.018	0.013
TCRBV051_11	0.006	0.004	-0.030	-0.001	0.004
TCRBV051_12	0.003	0.002	-0.006	0.004	0.010
TCRBV051_13	-0.001	0.002	-0.001	0.004	0.000
TCRBV052_6	-0.002	0.000	0.001	-0.005	-0.001
TCRBV052_7	0.005	0.008	0.000	0.001	0.012
TCRBV052_8	-0.009	0.013	0.002	0.020	-0.019
TCRBV052_9	0.009	0.003	-0.008	0.003	0.009
TCRBV052_10	0.010	-0.009	0.002	-0.015	-0.007
TCRBV052_11	-0.006	-0.000	-0.007	-0.003	-0.004
TCRBV052_12	-0.006	-0.002	-0.002	-0.010	-0.006
TCRBV052_13	-0.002	0.000	0.001	-0.003	-0.001
TCRBV06_5	0.000	0.000	-0.001	-0.001	0.002
TCRBV06_6	0.004	-0.001	0.004	0.009	-0.009
TCRBV06_7	0.006	0.011	0.008	0.001	-0.003
TCRBV06_8	0.003	0.006	0.001	0.003	0.007
TCRBV06_9	0.016	-0.005	-0.003	-0.000	-0.010
TCRBV06_10	-0.009	-0.001	0.001	0.005	0.001
TCRBV06_11	-0.002	-0.008	0.008	0.002	0.021
TCRBV06_12	0.001	-0.003	-0.013	0.006	-0.006
TCRBV06_13	-0.000	0.002	-0.003	-0.002	0.001
TCRBV07_5	0.000	-0.000	0.000	0.000	-0.001
TCRBV07_6	0.003	-0.005	0.008	-0.001	-0.001
TCRBV07_7	-0.005	-0.018	0.010	0.003	-0.007
TCRBV07_8	-0.008	0.009	-0.010	0.003	-0.001
TCRBV07_9	0.000	-0.004	0.003	-0.013	0.028
TCRBV07_10	0.006	0.009	-0.010	0.030	-0.013
TCRBV07_11	0.010	0.005	0.012	0.003	0.003
TCRBV07_12	0.010	0.003	-0.011	-0.003	-0.005
TCRBV07_13	0.003	-0.001	0.002	0.002	0.002
TCRBV081_5	-0.002	0.000	0.003	-0.001	-0.002
TCRBV081_6	-0.004	0.005	-0.003	-0.003	0.002
TCRBV081_7	-0.001	0.003	-0.005	0.008	-0.006
TCRBV081_8	-0.005	0.001	0.005	0.001	-0.010
TCRBV081_9	0.017	-0.033	-0.022	0.019	0.003
TCRBV081_10	0.001	0.016	0.013	-0.015	0.016
TCRBV081_11	-0.004	0.007	0.007	-0.009	-0.002
TCRBV081_12	-0.001	-0.000	0.003	-0.002	-0.002
TCRBV082_4	-0.007	0.006	0.002	-0.001	0.002
TCRBV082_5	-0.002	0.010	0.003	0.007	0.008
TCRBV082_6	-0.003	0.014	0.001	0.003	0.005
TCRBV082_7	0.001	0.014	0.002	0.009	0.009
TCRBV082_8	-0.010	-0.027	-0.012	-0.005	-0.016
TCRBV082_9	0.011	-0.011	-0.002	-0.003	-0.007
TCRBV082_10	0.007	-0.009	-0.001	-0.009	-0.001
TCRBV082_11	0.003	0.003	0.006	-0.000	0.000
TCRBV083_4	-0.000	-0.000	0.001	0.001	0.001
TCRBV083_5	-0.000	-0.000	-0.001	0.001	0.001
TCRBV083_6	-0.004	-0.000	-0.001	0.002	-0.001
TCRBV083_7	-0.004	0.005	-0.000	0.005	-0.004
TCRBV083_8	-0.007	0.004	-0.006	0.003	-0.006
TCRBV083_9	-0.011	-0.005	0.006	-0.002	0.010
TCRBV083_10	0.004	0.001	0.003	-0.013	0.006
TCRBV083_11	0.017	-0.004	-0.006	0.002	-0.011
TCRBV083_12	0.005	-0.001	0.004	0.001	0.004
TCRBV09_5	-0.002	-0.000	0.002	0.001	-0.004
TCRBV09_6	-0.002	0.004	0.006	-0.007	0.003
TCRBV09_7	0.002	0.011	0.008	-0.010	-0.006
TCRBV09_8	-0.012	-0.003	-0.012	-0.038	0.003
TCRBV09_9	-0.012	-0.003	0.009	-0.010	0.030

**FIG. 111C**

TCRBV09_10	-0.006	0.005	0.008	-0.003	-0.010
TCRBV09_11	0.005	-0.023	-0.020	-0.009	0.010
TCRBV09_12	0.001	0.006	0.014	0.027	0.005
TCRBV09_13	0.001	0.006	0.008	0.015	-0.001
TCRBV09_14	0.002	0.003	0.002	0.008	0.002
TCRBV09_15	0.000	-0.000	0.000	0.001	-0.001
TCRBV10_6	0.008	0.005	-0.006	-0.006	-0.002
TCRBV10_7	0.009	0.005	-0.009	0.001	0.014
TCRBV10_8	0.003	-0.006	-0.005	-0.001	0.018
TCRBV10_9	0.000	-0.012	0.014	0.005	-0.023
TCRBV10_10	-0.005	-0.007	0.005	-0.002	-0.010
TCRBV10_11	-0.011	0.008	0.001	0.006	0.008
TCRBV10_12	-0.006	0.007	0.001	-0.003	-0.005
TCRBV10_13	0.000	0.000	-0.001	0.001	0.000
TCRBV11_5	-0.001	0.001	-0.003	0.002	-0.002
TCRBV11_6	-0.011	0.000	-0.005	0.005	0.001
TCRBV11_7	-0.006	0.003	0.002	0.004	0.001
TCRBV11_8	0.002	-0.000	-0.005	-0.012	-0.008
TCRBV11_9	-0.011	0.008	-0.003	-0.020	-0.018
TCRBV11_10	0.011	-0.012	0.012	0.013	-0.006
TCRBV11_11	0.018	0.003	0.007	0.004	0.013
TCRBV11_12	0.008	-0.007	0.004	0.015	0.014
TCRBV11_13	0.007	0.002	-0.001	0.007	0.008
TCRBV11_14	0.002	0.002	-0.003	0.003	0.000
TCRBV11_15	0.001	0.001	-0.001	0.001	0.000
TCRBV12_4	0.000	0.001	0.002	-0.001	-0.002
TCRBV12_5	0.012	-0.007	0.014	-0.001	-0.002
TCRBV12_6	-0.001	-0.010	0.006	0.002	-0.011
TCRBV12_7	-0.003	-0.018	0.009	-0.002	-0.020
TCRBV12_8	0.001	-0.005	0.002	-0.008	-0.001
TCRBV12_9	0.001	0.012	-0.012	0.016	0.004
TCRBV12_10	-0.023	0.013	-0.001	-0.011	0.011
TCRBV12_11	0.006	0.011	-0.021	0.005	0.016
TCRBV12_12	0.005	0.003	0.001	0.000	0.004
TCRBV13_5	0.001	0.000	-0.001	-0.000	0.000
TCRBV13_6	-0.013	0.003	0.004	0.005	0.008
TCRBV13_7	0.006	0.016	0.001	-0.004	-0.013
TCRBV13_8	-0.008	-0.009	-0.016	0.008	-0.008
TCRBV13_9	0.005	0.003	0.006	-0.012	0.007
TCRBV13_10	-0.002	-0.002	0.015	0.003	-0.004
TCRBV13_11	0.008	-0.001	-0.011	-0.003	0.007
TCRBV13_12	0.001	-0.002	0.003	0.002	0.003
TCRBV13_13	0.001	-0.009	-0.002	0.001	0.000
TCRBV14_5	0.003	0.000	-0.002	-0.000	-0.002
TCRBV14_6	0.006	0.004	-0.002	-0.005	0.000
TCRBV14_7	0.016	-0.004	0.006	-0.007	-0.003
TCRBV14_8	0.003	-0.009	-0.001	0.006	0.003
TCRBV14_9	-0.005	-0.012	-0.003	-0.002	-0.004
TCRBV14_10	-0.011	0.015	-0.001	-0.008	-0.002
TCRBV14_11	-0.014	-0.005	0.004	0.010	0.007
TCRBV14_12	0.001	0.000	-0.000	0.003	0.001
TCRBV14_13	0.001	0.000	-0.001	0.001	0.000
TCRBV15_4	-0.000	0.001	0.000	-0.001	0.001
TCRBV15_5	-0.001	0.013	-0.015	0.001	-0.010
TCRBV15_6	-0.009	-0.001	0.003	0.010	-0.001
TCRBV15_7	-0.013	-0.001	-0.003	0.002	-0.003
TCRBV15_8	0.009	0.009	-0.000	0.005	0.001
TCRBV15_9	0.013	0.011	0.018	-0.007	0.007
TCRBV15_10	0.006	-0.018	0.000	0.014	0.006
TCRBV15_11	0.010	-0.009	0.001	-0.000	0.006
TCRBV15_12	0.003	-0.004	-0.000	-0.001	-0.003
TCRBV16_5	-0.001	0.003	0.001	0.003	-0.001
TCRBV16_6	-0.006	0.009	-0.012	0.019	0.002
TCRBV16_7	-0.003	0.005	-0.000	-0.017	0.002

**FIG. 111D**

TCRBV16_8	-0.001	0.010	0.005	0.016	0.000
TCRBV16_9	0.006	-0.004	-0.007	0.003	-0.027
TCRBV16_10	-0.005	0.008	-0.032	-0.006	0.008
TCRBV16_11	0.013	-0.003	0.034	0.014	0.009
TCRBV16_12	0.014	-0.016	0.004	-0.018	-0.004
TCRBV16_13	0.001	0.001	0.001	-0.002	-0.001
TCRBV18_3	0.000	-0.000	0.000	0.000	-0.000
TCRBV18_4	-0.004	0.009	0.002	0.009	-0.009
TCRBV18_5	-0.004	0.011	0.002	0.009	-0.015
TCRBV18_6	-0.003	0.001	0.002	0.006	-0.035
TCRBV18_7	-0.012	-0.010	-0.007	0.012	0.004
TCRBV18_8	0.001	-0.024	0.003	-0.003	0.021
TCRBV18_9	0.007	-0.001	-0.010	0.002	0.015
TCRBV18_10	0.010	-0.006	-0.006	-0.008	0.013
TCRBV18_11	0.004	0.004	-0.008	0.003	-0.003
TCRBV18_12	0.001	0.001	-0.000	0.001	-0.001
TCRBV18_13	-0.001	0.000	0.001	-0.001	0.000
TCRBV20_5	-0.002	-0.002	-0.002	0.002	-0.000
TCRBV20_6	-0.005	0.002	-0.000	0.001	0.015
TCRBV20_7	0.001	-0.012	0.005	-0.013	-0.012
TCRBV20_8	-0.010	-0.019	0.007	0.007	0.018
TCRBV20_9	0.018	-0.009	-0.012	0.004	-0.019
TCRBV20_10	-0.002	0.001	0.010	0.032	0.000
TCRBV20_11	0.018	0.018	0.002	-0.007	0.010
TCRBV20_12	0.001	0.004	0.003	-0.008	0.007
TCRBV20_13	0.000	0.017	-0.010	0.007	-0.016
TCRBV20_14	-0.000	0.001	0.000	-0.001	0.001

26 27 28 29 30

TCRBV01_6	-0.004	-0.004	-0.001	0.001	0.004
TCRBV01_7	-0.002	-0.004	0.004	0.005	-0.004
TCRBV01_8	0.015	0.007	0.007	0.005	0.012
TCRBV01_9	0.007	0.014	-0.013	-0.030	-0.036
TCRBV01_10	0.004	0.002	-0.001	0.013	0.002
TCRBV01_11	0.003	0.002	0.004	0.003	0.010
TCRBV01_12	0.004	-0.007	-0.004	0.008	0.011
TCRBV01_13	0.002	0.005	0.001	0.001	-0.000
TCRBV01_14	0.000	0.001	0.000	-0.000	0.000
TCRBV02_6	0.000	0.001	-0.002	0.005	0.022
TCRBV02_7	0.010	-0.006	-0.007	0.004	-0.001
TCRBV02_8	-0.006	-0.009	-0.001	-0.008	0.009
TCRBV02_9	-0.022	0.019	0.013	0.008	-0.010
TCRBV02_10	-0.020	0.005	0.014	-0.004	0.000
TCRBV02_11	-0.020	0.003	-0.003	-0.002	-0.001
TCRBV02_12	-0.009	-0.002	0.014	-0.006	0.002
TCRBV02_13	-0.002	-0.001	-0.000	-0.004	0.000
TCRBV03_4	0.002	-0.000	-0.001	0.000	-0.001
TCRBV03_5	-0.000	-0.001	0.000	0.003	-0.000
TCRBV03_6	0.011	-0.004	0.000	0.008	-0.007
TCRBV03_7	0.006	-0.006	0.013	-0.001	-0.009
TCRBV03_8	-0.007	-0.004	0.028	-0.012	-0.007
TCRBV03_9	-0.012	-0.004	-0.007	-0.024	0.011
TCRBV03_10	0.002	0.007	0.009	0.001	0.017
TCRBV03_11	0.011	0.005	-0.014	0.016	-0.006
TCRBV03_12	0.009	-0.005	-0.018	0.009	0.002
TCRBV03_13	0.007	0.025	-0.015	0.006	-0.001
TCRBV04_6	-0.002	0.001	0.000	0.001	0.001
TCRBV04_7	0.001	-0.008	0.003	0.004	0.010
TCRBV04_8	0.010	-0.013	-0.001	0.003	-0.006
TCRBV04_9	0.013	-0.022	0.003	0.016	-0.007
TCRBV04_10	-0.005	0.007	-0.015	-0.039	-0.015
TCRBV04_11	-0.004	0.012	-0.002	0.018	-0.005
TCRBV04_12	-0.005	0.003	0.003	0.025	0.019

**FIG. 112A**

TCRBV04_13	-0.003	0.013	-0.001	-0.007	0.004
TCRBV04_14	-0.007	0.002	0.007	-0.012	-0.003
TCRBV04_15	0.002	0.004	0.002	-0.010	0.001
TCRBV051_5	0.002	-0.001	-0.003	0.002	0.010
TCRBV051_6	0.006	-0.015	-0.004	0.018	-0.002
TCRBV051_7	0.023	0.003	0.014	-0.008	0.004
TCRBV051_8	-0.023	-0.014	-0.006	-0.025	0.007
TCRBV051_9	0.019	0.024	0.037	0.025	-0.007
TCRBV051_10	-0.025	0.001	-0.008	0.010	-0.011
TCRBV051_11	0.009	0.008	0.012	-0.012	0.021
TCRBV051_12	-0.014	-0.014	-0.011	0.012	0.010
TCRBV051_13	-0.000	0.001	-0.002	-0.006	0.010
TCRBV052_6	-0.000	-0.000	0.003	-0.015	0.002
TCRBV052_7	-0.007	0.014	0.008	-0.021	0.001
TCRBV052_8	-0.011	-0.011	0.012	-0.001	0.018
TCRBV052_9	0.007	-0.002	-0.009	0.024	-0.019
TCRBV052_10	-0.009	-0.019	0.009	0.005	0.015
TCRBV052_11	0.018	0.006	0.009	0.008	0.013
TCRBV052_12	0.003	0.001	-0.003	0.014	0.012
TCRBV052_13	-0.004	0.002	0.002	0.004	-0.001
TCRBV06_5	0.000	-0.001	0.002	0.002	0.000
TCRBV06_6	-0.007	-0.005	0.003	0.005	-0.003
TCRBV06_7	0.001	-0.004	0.019	0.016	-0.003
TCRBV06_8	-0.005	-0.008	0.011	-0.005	-0.016
TCRBV06_9	-0.021	0.002	0.006	0.005	-0.028
TCRBV06_10	0.016	0.026	-0.013	-0.020	0.006
TCRBV06_11	0.035	0.001	-0.016	-0.015	0.018
TCRBV06_12	0.000	-0.001	-0.015	0.007	0.025
TCRBV06_13	0.010	0.006	0.002	0.010	-0.001
TCRBV07_5	-0.000	-0.000	0.001	-0.001	-0.001
TCRBV07_6	0.003	0.016	-0.020	-0.007	0.004
TCRBV07_7	0.004	0.003	-0.017	-0.007	0.008
TCRBV07_8	-0.002	-0.013	-0.006	0.022	-0.014
TCRBV07_9	0.020	0.013	0.003	-0.028	-0.000
TCRBV07_10	-0.000	-0.003	0.013	0.007	0.017
TCRBV07_11	0.019	0.010	0.012	0.005	-0.013
TCRBV07_12	-0.010	-0.011	0.011	0.012	-0.000
TCRBV07_13	-0.004	-0.000	0.001	0.003	-0.000
TCRBV081_5	0.000	-0.003	-0.001	0.004	0.002
TCRBV081_6	0.007	-0.005	0.003	-0.006	0.012
TCRBV081_7	0.004	0.020	0.022	-0.021	0.009
TCRBV081_8	0.000	0.006	0.037	-0.009	0.011
TCRBV081_9	-0.007	0.014	0.003	0.016	-0.008
TCRBV081_10	-0.002	-0.019	-0.022	-0.008	0.028
TCRBV081_11	-0.001	-0.010	-0.009	0.004	-0.015
TCRBV081_12	-0.001	-0.003	-0.033	0.019	-0.039
TCRBV082_4	-0.005	0.002	0.010	0.007	0.011
TCRBV082_5	-0.001	0.011	-0.000	0.005	0.007
TCRBV082_6	-0.001	0.011	0.017	0.015	0.014
TCRBV082_7	-0.001	0.015	-0.005	0.016	0.002
TCRBV082_8	-0.002	-0.016	-0.005	-0.013	-0.001
TCRBV082_9	0.007	-0.011	-0.009	-0.017	-0.010
TCRBV082_10	-0.003	-0.009	-0.004	-0.011	-0.012
TCRBV082_11	0.005	-0.002	-0.003	-0.001	-0.010
TCRBV083_4	0.001	0.002	-0.001	0.000	-0.000
TCRBV083_5	-0.002	-0.002	-0.008	0.006	-0.010
TCRBV083_6	-0.007	0.001	-0.010	0.006	-0.006
TCRBV083_7	-0.006	0.002	-0.021	0.001	-0.008
TCRBV083_8	-0.005	0.004	-0.011	0.004	0.020
TCRBV083_9	0.001	-0.011	0.008	-0.008	-0.006
TCRBV083_10	0.010	0.008	0.009	-0.008	-0.008
TCRBV083_11	0.005	-0.009	0.019	0.002	0.002
TCRBV083_12	0.004	0.005	0.016	-0.003	0.016

**FIG. 112B**

TCRBV09_5	-0.000	-0.004	-0.002	0.003	0.001
TCRBV09_6	-0.001	-0.002	0.004	-0.005	0.003
TCRBV09_7	-0.006	-0.005	0.018	0.012	-0.013
TCRBV09_8	-0.004	-0.008	-0.002	-0.011	-0.014
TCRBV09_9	-0.025	-0.014	0.026	0.021	-0.003
TCRBV09_10	-0.014	0.002	-0.027	0.012	0.029
TCRBV09_11	0.002	-0.026	0.002	0.011	0.001
TCRBV09_12	-0.017	0.014	-0.027	-0.023	0.017
TCRBV09_13	-0.005	0.010	-0.010	-0.008	-0.011
TCRBV09_14	-0.002	0.004	0.004	0.002	0.003
TCRBV09_15	-0.000	0.001	0.001	0.001	-0.002
TCRBV10_6	0.006	0.001	0.001	-0.009	0.013
TCRBV10_7	0.009	-0.010	0.005	0.006	0.012
TCRBV10_8	0.013	0.012	0.015	-0.002	0.015
TCRBV10_9	0.013	0.009	0.025	-0.015	-0.026
TCRBV10_10	0.008	-0.016	-0.006	-0.003	-0.005
TCRBV10_11	-0.035	0.005	-0.015	0.014	-0.010
TCRBV10_12	-0.013	-0.000	-0.024	0.010	0.002
TCRBV10_13	0.001	-0.000	-0.000	0.000	-0.000
TCRBV11_5	0.002	0.004	-0.003	0.003	0.003
TCRBV11_6	0.001	-0.002	0.002	0.005	0.007
TCRBV11_7	0.006	0.005	-0.005	0.018	-0.000
TCRBV11_8	0.013	-0.009	0.010	0.016	0.004
TCRBV11_9	0.002	0.019	0.001	-0.008	-0.010
TCRBV11_10	0.010	0.008	-0.004	-0.003	-0.002
TCRBV11_11	0.000	0.008	-0.001	-0.013	0.001
TCRBV11_12	-0.011	-0.015	-0.001	-0.009	0.003
TCRBV11_13	0.001	-0.002	-0.000	-0.004	-0.003
TCRBV11_14	0.004	-0.000	-0.002	0.000	-0.001
TCRBV11_15	0.001	-0.000	-0.001	0.000	-0.000
TCRBV12_4	0.001	0.002	-0.001	0.004	0.001
TCRBV12_5	0.011	0.008	-0.023	0.013	-0.003
TCRBV12_6	0.000	-0.005	-0.002	-0.016	0.027
TCRBV12_7	-0.007	-0.016	-0.008	-0.011	0.004
TCRBV12_8	-0.007	0.008	0.012	0.009	-0.008
TCRBV12_9	0.003	-0.003	0.016	0.007	-0.007
TCRBV12_10	-0.002	0.004	-0.002	0.004	-0.016
TCRBV12_11	0.001	-0.000	0.009	-0.003	-0.004
TCRBV12_12	-0.001	0.001	-0.000	-0.006	0.005
TCRBV13_5	0.003	-0.001	-0.001	-0.002	-0.002
TCRBV13_6	-0.009	0.004	-0.008	0.005	-0.019
TCRBV13_7	0.027	0.002	-0.010	0.010	0.014
TCRBV13_8	-0.004	-0.015	0.022	0.015	-0.009
TCRBV13_9	-0.011	0.026	0.012	0.010	0.024
TCRBV13_10	-0.001	-0.006	0.002	-0.021	-0.010
TCRBV13_11	-0.003	-0.013	-0.012	-0.014	-0.013
TCRBV13_12	0.000	0.004	-0.007	-0.008	0.009
TCRBV13_13	-0.002	-0.001	0.003	0.006	0.007
TCRBV14_5	0.001	-0.004	-0.001	0.001	-0.000
TCRBV14_6	0.001	-0.003	0.002	0.002	-0.002
TCRBV14_7	0.011	0.004	0.004	-0.005	0.007
TCRBV14_8	-0.010	0.014	0.006	0.000	-0.007
TCRBV14_9	0.010	0.016	-0.013	0.003	0.003
TCRBV14_10	-0.021	-0.002	-0.012	-0.007	-0.000
TCRBV14_11	0.008	-0.025	0.012	0.007	-0.002
TCRBV14_12	0.001	-0.000	0.003	-0.000	0.001
TCRBV14_13	0.001	0.000	-0.001	-0.000	-0.001
TCRBV15_4	-0.000	-0.002	0.000	-0.005	-0.001
TCRBV15_5	-0.007	0.017	-0.005	0.010	0.007
TCRBV15_6	0.002	0.001	-0.004	0.009	0.003
TCRBV15_7	0.026	-0.019	-0.019	0.003	0.008
TCRBV15_8	0.019	0.012	-0.002	-0.007	-0.021
TCRBV15_9	0.007	0.003	-0.000	0.018	-0.009
TCRBV15_10	-0.011	0.008	0.016	-0.020	0.015

FIG. 112C

TCRBV15_11	-0.005	-0.005	0.012	-0.004	-0.001
TCRBV15_12	-0.001	-0.000	-0.000	0.002	-0.002
TCRBV16_5	0.000	0.003	0.003	-0.004	0.001
TCRBV16_6	0.005	0.026	-0.007	0.001	-0.003
TCRBV16_7	0.021	0.004	0.013	0.006	-0.009
TCRBV16_8	0.020	-0.036	-0.003	-0.010	0.011
TCRBV16_9	-0.016	0.001	0.017	-0.010	0.025
TCRBV16_10	0.001	0.009	0.007	0.004	-0.015
TCRBV16_11	-0.003	0.002	0.012	0.036	0.020
TCRBV16_12	-0.007	-0.003	-0.018	-0.004	0.009
TCRBV16_13	0.005	0.002	0.005	0.004	0.002
TCRBV18_3	-0.000	-0.000	-0.000	0.000	-0.000
TCRBV18_4	-0.008	0.003	0.007	-0.016	-0.002
TCRBV18_5	-0.020	-0.011	0.009	-0.012	0.010
TCRBV18_6	-0.025	0.017	0.016	-0.024	-0.004
TCRBV18_7	-0.004	-0.032	-0.000	-0.013	-0.017
TCRBV18_8	-0.023	0.032	-0.024	0.030	0.000
TCRBV18_9	-0.017	-0.006	0.003	0.016	0.037
TCRBV18_10	0.001	-0.003	0.017	0.010	-0.005
TCRBV18_11	0.004	-0.008	0.007	-0.000	-0.007
TCRBV18_12	0.002	0.001	0.004	0.000	0.003
TCRBV18_13	0.000	-0.001	0.000	0.002	0.001
TCRBV20_5	0.006	0.001	-0.001	0.001	0.004
TCRBV20_6	0.011	-0.004	-0.017	-0.022	0.023
TCRBV20_7	0.012	0.002	0.003	-0.001	0.017
TCRBV20_8	-0.001	0.007	0.016	0.013	0.023
TCRBV20_9	0.006	0.001	-0.018	0.035	0.005
TCRBV20_10	0.004	-0.003	0.006	0.003	-0.075
TCRBV20_11	-0.011	0.003	0.018	-0.009	-0.004
TCRBV20_12	0.002	-0.009	0.006	-0.010	0.007
TCRBV20_13	0.001	0.020	-0.014	-0.000	-0.002
TCRBV20_14	-0.000	-0.001	0.000	-0.004	-0.001
	31	32	33	34	35
TCRBV01_6	-0.001	0.003	0.000	0.004	0.001
TCRBV01_7	0.021	0.004	0.008	0.007	0.002
TCRBV01_8	0.023	-0.027	0.014	-0.033	0.003
TCRBV01_9	0.030	0.049	0.013	0.015	0.006
TCRBV01_10	-0.009	0.000	-0.003	-0.011	-0.001
TCRBV01_11	-0.039	-0.031	-0.025	0.018	-0.014
TCRBV01_12	-0.014	0.014	-0.012	-0.005	-0.004
TCRBV01_13	-0.005	-0.005	-0.010	-0.007	-0.003
TCRBV01_14	0.000	-0.000	0.000	0.000	-0.001
TCRBV02_6	0.006	0.014	-0.002	0.010	0.014
TCRBV02_7	-0.019	0.000	-0.001	-0.003	0.015
TCRBV02_8	0.012	-0.013	0.009	-0.006	0.008
TCRBV02_9	0.003	-0.021	-0.003	0.051	0.015
TCRBV02_10	0.004	0.008	0.022	0.017	-0.007
TCRBV02_11	0.003	0.002	0.011	0.007	-0.015
TCRBV02_12	-0.019	-0.007	0.020	-0.012	-0.004
TCRBV02_13	-0.001	-0.007	0.013	-0.001	0.005
TCRBV03_4	0.000	0.001	-0.002	-0.002	-0.001
TCRBV03_5	-0.001	0.001	-0.001	0.003	0.001
TCRBV03_6	0.023	-0.012	-0.012	-0.016	0.007
TCRBV03_7	0.003	-0.007	0.018	0.005	-0.017
TCRBV03_8	0.005	-0.023	0.016	-0.011	0.009
TCRBV03_9	-0.003	0.006	0.001	-0.022	0.016
TCRBV03_10	-0.031	0.013	-0.011	0.020	-0.007
TCRBV03_11	0.005	0.009	0.002	0.035	-0.032
TCRBV03_12	-0.000	0.021	-0.013	0.002	0.020
TCRBV03_13	0.007	-0.002	-0.013	-0.026	-0.006
TCRBV04_6	-0.003	0.002	-0.001	-0.002	0.000
TCRBV04_7	-0.006	0.004	-0.009	-0.001	-0.010

**FIG. 112D**

				0.020	0.014
TCRBV04_8	0.020	-0.023	-0.003	0.005	0.015
TCRBV04_9	0.021	0.000	-0.030	0.017	0.027
TCRBV04_10	-0.030	-0.019	0.008	-0.039	0.030
TCRBV04_11	-0.021	0.005	0.018	0.013	0.014
TCRBV04_12	0.016	0.012	0.054	-0.010	-0.044
TCRBV04_13	0.000	0.031	-0.035	-0.005	-0.037
TCRBV04_14	-0.003	-0.017	-0.006	0.001	-0.010
TCRBV04_15	0.005	0.006	0.005	-0.001	-0.001
TCRBV051_5	-0.012	-0.019	0.001	0.014	0.014
TCRBV051_6	0.008	0.004	-0.011	-0.002	0.016
TCRBV051_7	-0.016	-0.016	0.010	0.010	0.007
TCRBV051_8	0.007	-0.010	-0.002	-0.012	0.031
TCRBV051_9	0.005	0.038	0.035	-0.008	0.013
TCRBV051_10	0.011	-0.011	-0.024	0.031	-0.003
TCRBV051_11	0.003	0.000	-0.002	0.026	-0.043
TCRBV051_12	-0.001	-0.028	-0.007	-0.001	0.001
TCRBV051_13	-0.005	-0.004	0.007	0.012	-0.011
TCRBV052_6	-0.002	-0.004	0.002	0.016	-0.004
TCRBV052_7	-0.014	0.004	0.007	0.005	0.010
TCRBV052_8	0.009	-0.007	-0.003	0.020	0.021
TCRBV052_9	-0.016	-0.010	0.009	0.002	-0.006
TCRBV052_10	0.030	-0.039	-0.004	0.006	0.020
TCRBV052_11	-0.011	0.011	-0.002	-0.002	0.006
TCRBV052_12	0.007	-0.003	-0.001	-0.002	-0.001
TCRBV052_13	-0.003	0.002	-0.002	-0.000	-0.006
TCRBV06_5	0.004	-0.001	0.001	-0.008	-0.009
TCRBV06_6	-0.006	0.007	0.007	-0.012	-0.002
TCRBV06_7	-0.014	0.019	-0.004	-0.009	-0.001
TCRBV06_8	-0.024	0.031	-0.030	-0.004	-0.037
TCRBV06_9	-0.009	0.001	-0.004	0.013	-0.003
TCRBV06_10	0.036	-0.027	0.011	0.006	0.032
TCRBV06_11	0.005	-0.031	-0.007	-0.005	0.001
TCRBV06_12	0.014	0.015	0.010	0.007	0.015
TCRBV06_13	0.002	-0.006	0.000	0.000	-0.002
TCRBV07_5	-0.000	0.000	0.001	-0.022	-0.002
TCRBV07_6	0.009	-0.008	-0.002	-0.016	-0.018
TCRBV07_7	0.019	0.004	0.019	0.005	-0.003
TCRBV07_8	0.012	0.001	-0.026	-0.008	-0.016
TCRBV07_9	-0.005	0.002	-0.034	-0.003	0.006
TCRBV07_10	-0.015	-0.003	0.014	0.010	0.005
TCRBV07_11	-0.007	-0.006	0.002	0.015	0.018
TCRBV07_12	-0.004	0.014	0.010		
TCRBV07_13	-0.003	0.002	0.001	0.007	0.002
TCRBV081_5	-0.001	-0.006	0.003	-0.001	0.001
TCRBV081_6	-0.018	-0.003	-0.007	0.018	0.005
TCRBV081_7	0.002	-0.018	-0.023	-0.002	0.023
TCRBV081_8	0.003	0.007	-0.010	0.011	-0.013
TCRBV081_9	-0.004	-0.002	0.015	-0.013	0.007
TCRBV081_10	0.017	0.031	0.017	0.004	-0.042
TCRBV081_11	0.004	-0.001	0.000	0.013	0.006
TCRBV081_12	-0.003	-0.008	0.004	-0.030	0.011
TCRBV082_4	-0.003	-0.001	0.002	-0.005	-0.001
TCRBV082_5	0.010	0.008	0.013	-0.003	0.002
TCRBV082_6	0.008	-0.006	0.004	-0.009	-0.019
TCRBV082_7	-0.004	0.026	-0.001	-0.000	0.037
TCRBV082_8	-0.011	-0.041	-0.013	-0.038	-0.014
TCRBV082_9	0.006	0.001	-0.010	0.017	0.009
TCRBV082_10	-0.001	-0.005	-0.001	0.023	-0.015
TCRBV082_11	-0.004	0.018	0.006	0.015	-0.000
TCRBV083_4	0.000	0.000	-0.001	-0.002	-0.001
TCRBV083_5	0.008	0.002	0.011	-0.002	0.012
TCRBV083_6	0.005	-0.002	-0.011	0.006	-0.005
TCRBV083_7	0.009	0.000	-0.003	-0.044	-0.005

FIG. 113A



TCRBV083_8	0.004	-0.035	-0.002	-0.036	-0.000
TCRBV083_9	-0.016	0.012	-0.028	0.005	-0.008
TCRBV083_10	-0.015	0.023	0.003	0.031	0.008
TCRBV083_11	-0.002	0.002	0.017	0.022	0.005
TCRBV083_12	0.008	-0.002	0.013	0.019	-0.004
TCRBV09_5	0.004	-0.001	0.005	-0.002	0.002
TCRBV09_6	0.006	0.010	0.003	-0.002	0.018
TCRBV09_7	0.014	-0.021	-0.041	0.034	0.003
TCRBV09_8	-0.027	-0.005	0.017	-0.046	0.021
TCRBV09_9	-0.011	0.011	-0.004	0.005	0.006
TCRBV09_10	-0.014	-0.016	0.007	-0.007	-0.001
TCRBV09_11	-0.006	-0.006	0.033	-0.001	-0.031
TCRBV09_12	0.001	0.012	0.003	0.026	0.040
TCRBV09_13	0.006	0.008	0.007	-0.000	0.026
TCRBV09_14	0.003	0.005	0.008	0.007	0.019
TCRBV09_15	0.003	0.001	-0.002	0.003	0.006
TCRBV10_6	-0.004	0.001	-0.001	0.006	0.019
TCRBV10_7	-0.006	0.019	-0.016	-0.015	-0.000
TCRBV10_8	0.017	0.007	-0.007	-0.033	-0.006
TCRBV10_9	-0.001	0.009	0.013	-0.000	0.014
TCRBV10_10	-0.004	-0.028	-0.014	0.007	-0.006
TCRBV10_11	-0.006	-0.001	0.016	0.037	-0.025
TCRBV10_12	0.004	-0.008	0.010	-0.001	0.004
TCRBV10_13	0.000	0.000	-0.001	-0.001	-0.000
TCRBV11_5	-0.003	-0.006	0.000	0.012	0.007
TCRBV11_6	0.000	0.013	-0.012	0.027	0.010
TCRBV11_7	-0.007	-0.007	-0.004	-0.001	-0.001
TCRBV11_8	0.022	-0.006	-0.018	-0.011	-0.023
TCRBV11_9	0.025	0.007	-0.020	-0.002	0.007
TCRBV11_10	-0.003	0.009	0.002	-0.023	-0.026
TCRBV11_11	-0.010	0.004	0.012	-0.008	0.004
TCRBV11_12	-0.013	-0.010	0.022	0.002	0.006
TCRBV11_13	-0.005	0.001	0.008	-0.002	0.008
TCRBV11_14	0.001	0.001	-0.004	-0.004	-0.002
TCRBV11_15	0.000	0.001	-0.001	-0.001	-0.001
TCRBV12_4	-0.003	-0.008	-0.001	0.002	-0.006
TCRBV12_5	0.005	0.011	0.006	-0.004	0.011
TCRBV12_6	-0.020	0.021	0.026	-0.006	-0.023
TCRBV12_7	-0.004	0.029	0.008	0.024	-0.021
TCRBV12_8	0.034	-0.001	-0.009	0.005	0.002
TCRBV12_9	-0.014	-0.028	-0.014	0.014	-0.009
TCRBV12_10	0.012	0.006	-0.015	-0.009	0.026
TCRBV12_11	-0.016	-0.030	-0.002	-0.017	0.016
TCRBV12_12	0.006	0.001	0.001	-0.008	0.003
TCRBV13_5	0.001	0.006	-0.001	0.003	0.004
TCRBV13_6	-0.030	0.001	0.002	0.022	0.005
TCRBV13_7	-0.007	-0.006	0.010	0.022	0.012
TCRBV13_8	-0.003	-0.004	0.012	0.006	-0.003
TCRBV13_9	-0.003	-0.047	0.011	0.002	0.008
TCRBV13_10	0.020	0.001	0.002	-0.027	-0.018
TCRBV13_11	0.016	0.029	-0.020	-0.005	0.013
TCRBV13_12	0.005	0.011	-0.025	-0.006	-0.016
TCRBV13_13	0.001	0.009	0.009	-0.016	-0.005
TCRBV14_5	-0.000	0.003	0.001	0.002	0.004
TCRBV14_6	0.003	0.001	0.010	-0.002	-0.003
TCRBV14_7	-0.002	-0.007	-0.007	0.011	0.010
TCRBV14_8	0.001	0.004	-0.014	0.009	-0.011
TCRBV14_9	-0.009	-0.020	-0.001	0.008	-0.021
TCRBV14_10	0.009	0.019	-0.007	-0.010	-0.008
TCRBV14_11	0.001	0.000	0.010	-0.022	0.032
TCRBV14_12	-0.003	-0.001	0.009	0.007	-0.002
TCRBV14_13	0.000	0.001	-0.001	-0.002	-0.001
TCRBV15_4	-0.001	-0.005	0.015	0.001	0.006
TCRBV15_5	0.007	0.002	-0.019	-0.020	-0.010

**FIG. 113B**

TCRBV15_6	0.004	0.004	0.020	-0.003	0.004
TCRBV15_7	-0.006	0.009	0.015	0.005	0.010
TCRBV15_8	0.023	-0.022	0.023	0.020	-0.039
TCRBV15_9	-0.033	0.013	-0.019	0.002	0.013
TCRBV15_10	0.005	0.010	-0.036	-0.021	-0.001
TCRBV15_11	0.007	0.001	-0.014	0.005	0.005
TCRBV15_12	0.001	-0.005	0.001	-0.000	0.003
TCRBV16_5	0.001	0.004	0.003	0.001	-0.009
TCRBV16_6	-0.009	-0.012	0.002	0.023	-0.018
TCRBV16_7	0.022	0.003	0.037	0.021	-0.036
TCRBV16_8	-0.032	-0.013	0.036	-0.020	-0.009
TCRBV16_9	0.018	-0.011	-0.041	-0.011	0.054
TCRBV16_10	0.000	-0.011	0.006	0.020	0.000
TCRBV16_11	0.009	0.001	-0.031	0.000	-0.009
TCRBV16_12	-0.006	0.003	-0.020	0.009	0.052
TCRBV16_13	0.004	-0.003	-0.001	0.002	0.000
TCRBV18_3	0.001	-0.001	-0.002	0.001	0.001
TCRBV18_4	0.003	0.008	0.006	0.002	-0.015
TCRBV18_5	-0.001	0.012	0.013	-0.007	0.036
TCRBV18_6	-0.023	-0.008	0.018	-0.004	0.009
TCRBV18_7	0.062	-0.022	0.010	0.035	0.045
TCRBV18_8	0.001	-0.015	0.030	0.008	0.018
TCRBV18_9	0.013	0.013	0.021	-0.018	0.012
TCRBV18_10	0.005	0.015	0.015	-0.003	0.013
TCRBV18_11	0.007	0.022	-0.017	-0.008	0.001
TCRBV18_12	-0.000	-0.001	-0.002	0.002	-0.004
TCRBV18_13	-0.003	-0.004	-0.001	0.000	-0.000
TCRBV20_5	-0.004	-0.004	0.001	0.008	0.010
TCRBV20_6	-0.022	0.009	-0.010	0.039	0.010
TCRBV20_7	-0.013	0.003	-0.001	0.004	0.007
TCRBV20_8	0.007	0.009	-0.008	-0.014	-0.003
TCRBV20_9	-0.005	0.007	-0.036	0.018	-0.011
TCRBV20_10	-0.014	-0.020	0.003	-0.032	0.005
TCRBV20_11	0.020	0.004	0.016	-0.013	-0.023
TCRBV20_12	0.029	0.005	0.007	-0.008	-0.002
TCRBV20_13	0.010	-0.002	0.001	-0.013	-0.009
TCRBV20_14	-0.001	-0.004	0.012	0.000	0.005
	36	37	38	39	40
TCRBV01_6	-0.004	-0.000	-0.003	-0.001	0.003
TCRBV01_7	-0.001	-0.010	0.004	0.017	0.013
TCRBV01_8	-0.031	0.010	-0.008	0.014	0.030
TCRBV01_9	0.001	-0.015	-0.006	0.056	0.019
TCRBV01_10	-0.006	-0.018	0.010	-0.060	0.027
TCRBV01_11	0.036	0.023	-0.014	-0.019	-0.043
TCRBV01_12	0.033	0.003	0.020	-0.017	-0.026
TCRBV01_13	0.007	0.006	0.006	-0.006	-0.021
TCRBV01_14	0.001	-0.001	-0.000	0.001	0.001
TCRBV02_6	0.001	0.003	0.006	0.021	-0.002
TCRBV02_7	0.010	-0.015	0.011	0.015	-0.007
TCRBV02_8	0.004	-0.023	0.003	-0.029	-0.021
TCRBV02_9	-0.001	0.002	0.008	-0.009	0.013
TCRBV02_10	-0.003	-0.021	0.011	0.007	0.002
TCRBV02_11	0.007	-0.024	-0.035	0.025	0.028
TCRBV02_12	-0.006	0.010	0.006	0.017	-0.004
TCRBV02_13	-0.012	0.003	0.001	-0.002	0.004
TCRBV03_4	-0.000	0.002	-0.000	-0.001	-0.000
TCRBV03_5	-0.000	-0.002	-0.001	0.002	0.000
TCRBV03_6	0.014	0.026	-0.002	-0.015	-0.008
TCRBV03_7	0.009	0.007	-0.003	-0.036	-0.015
TCRBV03_8	0.002	0.003	-0.025	0.001	-0.038
TCRBV03_9	-0.020	-0.012	-0.006	0.036	-0.035
TCRBV03_10	0.017	0.017	0.022	-0.018	0.048

**FIG. 113C**

TCRBV03_11	-0.026	-0.021	0.020	0.017	0.006
TCRBV03_12	0.017	-0.022	0.012	0.010	0.035
TCRBV03_13	0.023	0.000	-0.008	-0.009	0.010
TCRBV04_6	-0.001	-0.001	0.001	-0.003	0.002
TCRBV04_7	0.009	-0.008	0.018	-0.014	0.002
TCRBV04_8	-0.022	-0.022	0.007	0.011	-0.001
TCRBV04_9	-0.048	0.000	-0.015	0.012	0.036
TCRBV04_10	0.017	-0.026	-0.041	-0.014	0.023
TCRBV04_11	0.013	0.033	-0.018	-0.012	0.017
TCRBV04_12	0.033	-0.020	0.047	0.017	0.006
TCRBV04_13	0.006	-0.005	-0.008	0.010	-0.052
TCRBV04_14	-0.012	0.051	-0.001	-0.005	-0.003
TCRBV04_15	0.003	-0.001	0.010	-0.002	-0.030
TCRBV051_5	0.005	0.012	-0.015	0.007	-0.011
TCRBV051_6	0.012	0.031	-0.016	-0.015	0.029
TCRBV051_7	0.010	0.017	-0.020	0.036	0.006
TCRBV051_8	0.014	0.004	0.015	0.009	-0.023
TCRBV051_9	-0.037	-0.017	-0.047	0.000	-0.003
TCRBV051_10	-0.006	-0.025	0.048	0.015	0.005
TCRBV051_11	-0.035	-0.030	0.021	0.006	-0.045
TCRBV051_12	0.028	0.017	0.032	-0.001	-0.015
TCRBV051_13	0.005	-0.001	0.025	0.024	0.022
TCRBV052_6	0.019	0.019	0.022	0.026	0.027
TCRBV052_7	0.002	-0.010	-0.048	-0.009	-0.000
TCRBV052_8	0.001	-0.004	0.001	0.005	-0.021
TCRBV052_9	-0.011	0.034	0.025	0.017	-0.004
TCRBV052_10	0.007	-0.022	0.018	0.030	0.008
TCRBV052_11	-0.013	0.001	0.014	0.013	-0.039
TCRBV052_12	-0.003	-0.011	0.008	0.002	-0.007
TCRBV052_13	-0.005	0.001	0.003	-0.001	0.003
TCRBV06_5	0.004	-0.002	0.002	-0.007	0.001
TCRBV06_6	0.015	-0.016	0.003	-0.003	-0.005
TCRBV06_7	0.017	-0.017	-0.016	0.004	-0.019
TCRBV06_8	0.026	0.021	-0.016	0.001	0.001
TCRBV06_9	-0.024	0.016	0.007	0.001	0.002
TCRBV06_10	-0.008	0.002	0.035	0.008	-0.031
TCRBV06_11	-0.015	-0.004	-0.004	0.003	0.016
TCRBV06_12	0.021	-0.001	-0.014	-0.017	0.035
TCRBV06_13	0.002	-0.001	0.014	-0.005	0.004
TCRBV07_5	-0.001	0.003	-0.003	0.001	0.001
TCRBV07_6	0.012	0.011	0.000	0.007	-0.022
TCRBV07_7	-0.014	-0.019	0.007	0.010	-0.042
TCRBV07_8	0.021	0.042	0.007	-0.030	0.000
TCRBV07_9	-0.018	0.007	0.018	-0.024	0.022
TCRBV07_10	0.021	-0.023	0.002	0.020	0.017
TCRBV07_11	-0.007	-0.028	0.000	0.008	0.021
TCRBV07_12	0.023	0.012	-0.019	-0.010	0.004
TCRBV07_13	-0.001	-0.007	-0.003	0.003	0.002
TCRBV081_5	0.005	0.002	0.004	-0.015	-0.008
TCRBV081_6	0.010	-0.011	0.009	-0.014	-0.002
TCRBV081_7	-0.005	-0.015	-0.004	-0.015	0.003
TCRBV081_8	0.011	-0.000	0.015	0.016	0.033
TCRBV081_9	0.022	-0.000	-0.028	0.017	-0.019
TCRBV081_10	-0.041	0.019	-0.041	-0.023	0.034
TCRBV081_11	0.004	0.017	0.023	0.009	0.019
TCRBV081_12	-0.005	-0.011	0.022	0.025	-0.059
TCRBV082_4	0.008	-0.001	0.016	0.030	0.001
TCRBV082_5	0.002	0.014	0.016	-0.009	-0.007
TCRBV082_6	0.022	-0.015	0.004	0.001	-0.012
TCRBV082_7	-0.005	0.025	0.006	-0.023	0.014
TCRBV082_8	0.003	-0.035	-0.014	0.006	0.034
TCRBV082_9	-0.008	0.009	-0.016	-0.014	-0.027
TCRBV082_10	-0.018	-0.000	-0.015	0.005	-0.007

**FIG. 113D**

TCRBV082_11	-0.005	0.003	0.002	0.004	0.005
TCRBV083_4	0.002	-0.000	-0.001	-0.001	0.001
TCRBV083_5	0.023	0.013	0.002	-0.005	0.005
TCRBV083_6	0.005	0.017	-0.000	-0.002	0.012
TCRBV083_7	0.009	0.018	0.005	-0.024	0.000
TCRBV083_8	-0.019	-0.001	0.005	-0.003	-0.038
TCRBV083_9	-0.007	-0.034	0.000	0.040	0.026
TCRBV083_10	0.003	-0.012	-0.006	0.016	-0.008
TCRBV083_11	-0.021	-0.006	0.003	-0.015	0.003
TCRBV083_12	0.007	0.006	-0.009	-0.007	0.000
TCRBV09_5	0.001	0.001	0.009	-0.003	0.003
TCRBV09_6	0.010	0.000	-0.014	0.009	-0.007
TCRBV09_7	-0.014	0.011	-0.003	0.042	-0.025
TCRBV09_8	0.002	0.002	0.046	-0.001	-0.018
TCRBV09_9	0.005	-0.036	0.045	-0.019	-0.025
TCRBV09_10	-0.057	0.037	-0.058	0.047	0.001
TCRBV09_11	0.028	0.008	-0.033	-0.016	0.013
TCRBV09_12	-0.001	-0.008	0.043	-0.064	0.014
TCRBV09_13	-0.007	-0.002	0.014	-0.016	-0.021
TCRBV09_14	-0.001	-0.004	-0.012	0.006	0.007
TCRBV09_15	-0.003	0.005	-0.001	-0.004	-0.001
TCRBV10_6	0.019	0.001	0.016	0.030	0.009
TCRBV10_7	-0.021	0.017	0.026	0.033	-0.016
TCRBV10_8	0.005	-0.014	-0.011	-0.003	-0.001
TCRBV10_9	-0.014	0.031	0.006	-0.031	-0.009
TCRBV10_10	0.013	-0.009	-0.009	-0.021	0.056
TCRBV10_11	0.001	-0.005	-0.017	0.004	-0.036
TCRBV10_12	-0.004	-0.021	-0.011	-0.011	-0.003
TCRBV10_13	-0.000	0.001	-0.000	-0.001	-0.000
TCRBV11_5	0.006	-0.004	0.004	-0.000	-0.006
TCRBV11_6	0.018	-0.000	-0.007	0.011	-0.024
TCRBV11_7	0.024	-0.021	-0.020	0.017	-0.002
TCRBV11_8	0.035	-0.038	-0.016	-0.029	0.015
TCRBV11_9	0.013	0.003	-0.021	-0.001	-0.015
TCRBV11_10	0.002	0.019	0.024	-0.002	0.008
TCRBV11_11	-0.014	0.005	0.008	0.003	0.012
TCRBV11_12	-0.029	0.024	0.041	-0.007	0.018
TCRBV11_13	-0.017	0.003	-0.002	-0.004	-0.002
TCRBV11_14	-0.000	0.004	-0.001	-0.003	-0.001
TCRBV11_15	-0.000	0.001	-0.000	-0.001	-0.000
TCRBV12_4	-0.007	0.003	-0.006	0.017	-0.015
TCRBV12_5	0.002	-0.016	0.008	0.001	-0.010
TCRBV12_6	-0.004	0.008	0.023	-0.010	-0.008
TCRBV12_7	-0.006	0.025	0.017	0.001	0.021
TCRBV12_8	0.022	0.034	0.006	0.003	0.032
TCRBV12_9	-0.006	-0.035	-0.012	-0.007	-0.002
TCRBV12_10	-0.010	-0.023	0.027	-0.023	0.026
TCRBV12_11	0.013	0.006	-0.040	0.009	-0.021
TCRBV12_12	-0.003	-0.003	-0.022	0.010	-0.022
TCRBV13_5	0.007	0.003	-0.001	-0.002	-0.004
TCRBV13_6	0.018	0.014	-0.013	0.017	0.006
TCRBV13_7	0.050	0.006	-0.008	0.006	-0.018
TCRBV13_8	-0.048	-0.034	0.013	-0.070	-0.027
TCRBV13_9	-0.023	0.026	0.021	0.038	0.068
TCRBV13_10	0.000	0.004	0.006	0.007	0.011
TCRBV13_11	-0.001	-0.009	-0.024	-0.002	-0.015
TCRBV13_12	0.006	-0.007	-0.008	0.002	0.006
TCRBV13_13	-0.009	-0.002	0.015	0.005	-0.025
TCRBV14_5	0.000	-0.001	-0.003	-0.003	-0.006
TCRBV14_6	0.010	-0.005	0.005	-0.010	0.004
TCRBV14_7	0.004	0.001	-0.002	0.013	-0.013
TCRBV14_8	-0.012	-0.000	-0.003	-0.010	0.044
TCRBV14_9	-0.004	0.021	0.014	-0.048	-0.039
TCRBV14_10	0.006	-0.037	-0.023	0.047	0.014

**FIG. 114A**

TCRBV14_11	0.001	0.018	0.014	0.016	-0.011
TCRBV14_12	-0.005	0.001	0.000	-0.003	0.007
TCRBV14_13	0.000	0.001	-0.001	-0.002	0.000
TCRBV15_4	-0.011	-0.000	0.000	-0.001	0.001
TCRBV15_5	0.007	-0.008	0.011	0.006	-0.001
TCRBV15_6	-0.029	-0.011	-0.011	-0.029	-0.000
TCRBV15_7	0.014	0.039	-0.007	-0.011	0.010
TCRBV15_8	0.022	-0.048	-0.005	-0.045	0.019
TCRBV15_9	-0.025	0.003	-0.003	0.014	-0.034
TCRBV15_10	0.031	0.022	0.023	0.039	0.012
TCRBV15_11	0.026	0.007	0.002	0.010	-0.003
TCRBV15_12	0.002	-0.007	0.000	0.003	-0.001
TCRBV16_5	0.002	0.002	0.006	0.006	-0.012
TCRBV16_6	0.015	0.008	-0.025	-0.007	-0.001
TCRBV16_7	0.029	0.025	0.057	0.062	-0.014
TCRBV16_8	0.007	-0.042	0.011	0.037	0.013
TCRBV16_9	0.001	0.005	0.016	-0.027	0.007
TCRBV16_10	-0.028	0.045	0.007	0.007	-0.008
TCRBV16_11	-0.011	-0.021	-0.039	0.001	-0.011
TCRBV16_12	0.021	-0.019	0.014	-0.009	-0.010
TCRBV16_13	-0.002	0.002	0.005	-0.001	0.004
TCRBV18_3	-0.001	0.001	0.000	0.003	-0.000
TCRBV18_4	0.009	-0.002	-0.011	0.000	0.007
TCRBV18_5	0.002	0.003	-0.019	0.004	-0.008
TCRBV18_6	-0.018	0.008	0.014	-0.006	0.009
TCRBV18_7	0.020	0.031	-0.046	0.015	-0.029
TCRBV18_8	0.030	-0.024	-0.019	0.010	0.007
TCRBV18_9	0.004	0.018	-0.014	-0.013	0.050
TCRBV18_10	0.004	0.011	0.013	-0.027	-0.014
TCRBV18_11	0.011	0.001	0.013	0.003	0.001
TCRBV18_12	-0.002	-0.001	0.001	-0.001	0.002
TCRBV18_13	0.003	0.001	-0.001	-0.009	-0.007
TCRBV20_5	0.002	-0.006	0.002	-0.007	-0.005
TCRBV20_6	0.012	-0.016	0.004	0.001	0.003
TCRBV20_7	0.019	0.009	-0.029	-0.002	-0.026
TCRBV20_8	0.009	0.007	0.004	0.018	-0.008
TCRBV20_9	-0.050	-0.002	0.004	0.012	0.017
TCRBV20_10	0.015	-0.010	0.020	0.013	0.049
TCRBV20_11	0.014	0.017	-0.041	-0.023	-0.011
TCRBV20_12	0.008	-0.000	0.031	-0.038	-0.018
TCRBV20_13	0.018	0.000	0.015	0.012	0.001
TCRBV20_14	-0.009	-0.000	0.000	-0.001	0.001
	41	42	43	44	45
TCRBV01_6	-0.001	0.004	-0.005	0.001	0.003
TCRBV01_7	0.017	-0.018	-0.033	-0.012	0.001
TCRBV01_8	-0.011	-0.048	-0.017	0.053	-0.006
TCRBV01_9	0.018	0.015	0.014	-0.056	-0.022
TCRBV01_10	-0.020	0.017	0.031	0.027	-0.036
TCRBV01_11	0.026	0.007	-0.003	-0.046	-0.010
TCRBV01_12	0.001	0.019	-0.000	0.008	0.052
TCRBV01_13	-0.000	0.009	0.009	0.005	0.011
TCRBV01_14	0.001	0.000	0.001	-0.001	-0.001
TCRBV02_6	0.014	-0.027	0.021	0.000	-0.001
TCRBV02_7	-0.003	-0.017	0.004	-0.033	0.004
TCRBV02_8	0.009	0.046	-0.043	-0.012	-0.026
TCRBV02_9	0.002	-0.002	-0.002	0.024	0.013
TCRBV02_10	-0.003	-0.024	-0.003	0.001	0.003
TCRBV02_11	-0.000	-0.012	0.024	-0.014	-0.043
TCRBV02_12	0.025	0.010	-0.047	0.002	-0.010
TCRBV02_13	0.001	-0.012	-0.002	0.000	-0.014
TCRBV03_4	-0.001	0.001	0.001	0.001	0.002
TCRBV03_5	-0.002	0.002	0.001	-0.000	0.003

FIG. 114B

TCRBV03_6	0.014	-0.012	0.039	0.026	0.006
TCRBV03_7	0.024	-0.030	0.049	-0.043	0.008
TCRBV03_8	0.002	0.018	0.017	0.024	-0.006
TCRBV03_9	-0.025	-0.022	-0.020	0.003	-0.022
TCRBV03_10	0.020	0.009	-0.009	-0.006	0.009
TCRBV03_11	-0.019	0.040	-0.041	0.008	0.027
TCRBV03_12	-0.008	0.026	-0.020	-0.001	0.007
TCRBV03_13	0.025	-0.026	-0.019	-0.031	-0.044
TCRBV04_6	0.003	0.004	0.003	0.001	-0.010
TCRBV04_7	0.010	0.005	0.037	0.016	-0.003
TCRBV04_8	-0.005	0.035	-0.021	-0.012	0.013
TCRBV04_9	-0.001	0.037	0.004	0.056	-0.074
TCRBV04_10	-0.021	-0.002	-0.022	-0.022	0.084
TCRBV04_11	0.003	-0.059	0.028	-0.027	0.010
TCRBV04_12	-0.006	-0.010	-0.005	-0.032	0.004
TCRBV04_13	0.015	-0.010	-0.054	-0.023	-0.024
TCRBV04_14	0.005	-0.006	0.030	0.033	0.031
TCRBV04_15	-0.005	0.006	0.001	0.010	-0.031
TCRBV051_5	-0.018	0.012	0.025	-0.018	0.029
TCRBV051_6	-0.024	0.020	0.047	0.027	0.026
TCRBV051_7	-0.052	0.009	-0.015	0.048	-0.031
TCRBV051_8	-0.020	-0.021	0.007	-0.028	0.005
TCRBV051_9	0.006	-0.038	-0.037	0.012	-0.003
TCRBV051_10	0.051	0.009	0.007	-0.006	0.047
TCRBV051_11	0.063	-0.022	0.011	0.046	-0.009
TCRBV051_12	-0.053	0.025	-0.052	-0.038	-0.087
TCRBV051_13	-0.011	0.014	0.051	-0.031	0.021
TCRBV052_6	-0.006	-0.026	0.020	0.022	0.025
TCRBV052_7	-0.019	-0.008	-0.002	0.032	-0.048
TCRBV052_8	0.003	-0.030	0.023	0.019	-0.003
TCRBV052_9	0.015	0.040	0.027	-0.013	-0.046
TCRBV052_10	-0.052	-0.002	-0.030	-0.015	0.029
TCRBV052_11	0.015	0.008	-0.014	-0.020	0.036
TCRBV052_12	-0.016	0.014	0.008	-0.015	0.022
TCRBV052_13	0.001	0.011	0.009	0.001	-0.015
TCRBV06_5	0.015	-0.016	0.009	-0.006	0.003
TCRBV06_6	0.008	-0.010	-0.009	0.002	0.005
TCRBV06_7	0.017	0.004	-0.010	-0.014	-0.001
TCRBV06_8	0.003	0.013	-0.046	0.029	-0.005
TCRBV06_9	-0.015	-0.043	-0.046	-0.028	0.016
TCRBV06_10	0.003	-0.014	0.075	0.005	-0.051
TCRBV06_11	-0.010	0.040	0.039	-0.028	0.036
TCRBV06_12	0.008	0.026	-0.024	0.021	-0.003
TCRBV06_13	0.002	0.006	0.008	-0.001	-0.009
TCRBV07_5	-0.006	-0.007	0.002	0.008	0.010
TCRBV07_6	0.038	-0.007	-0.009	0.010	-0.023
TCRBV07_7	0.009	-0.001	-0.008	0.039	-0.001
TCRBV07_8	-0.010	-0.028	0.002	-0.028	0.030
TCRBV07_9	-0.004	-0.005	-0.011	0.005	-0.005
TCRBV07_10	0.008	0.009	0.011	-0.033	0.019
TCRBV07_11	0.000	0.027	0.017	-0.033	-0.005
TCRBV07_12	-0.006	0.016	-0.005	0.013	-0.035
TCRBV07_13	0.000	0.000	-0.002	-0.002	0.001
TCRBV081_5	-0.009	0.004	0.002	0.007	0.015
TCRBV081_6	-0.027	0.010	0.024	0.027	-0.009
TCRBV081_7	0.013	-0.027	-0.018	-0.031	-0.000
TCRBV081_8	-0.047	-0.002	-0.028	-0.064	-0.036
TCRBV081_9	0.036	0.013	0.010	0.047	-0.008
TCRBV081_10	0.010	0.011	-0.002	-0.001	0.008
TCRBV081_11	0.021	-0.002	-0.001	-0.006	0.002
TCRBV081_12	0.002	-0.008	0.013	0.021	0.028
TCRBV082_4	0.010	-0.011	0.016	0.007	-0.013
TCRBV082_5	-0.002	0.005	-0.014	0.011	0.018
TCRBV082_6	-0.010	0.001	0.001	-0.007	-0.020

**FIG. 114C**

TCRBV082_7	-0.003	0.000	-0.003	-0.078	-0.037
TCRBV082_8	-0.006	0.001	0.030	-0.005	-0.081
TCRBV082_9	-0.009	0.005	-0.040	0.042	0.050
TCRBV082_10	0.010	0.015	0.016	0.035	0.022
TCRBV082_11	0.010	-0.016	-0.007	-0.006	0.060
TCRBV083_4	0.002	-0.002	-0.001	-0.003	-0.003
TCRBV083_5	0.014	0.044	-0.015	0.011	0.015
TCRBV083_6	-0.013	-0.005	-0.013	0.001	0.001
TCRBV083_7	-0.004	0.006	-0.034	0.013	-0.022
TCRBV083_8	-0.010	-0.036	0.033	-0.016	0.003
TCRBV083_9	-0.025	-0.002	0.030	-0.028	0.000
TCRBV083_10	-0.001	-0.028	0.035	-0.013	-0.011
TCRBV083_11	-0.005	-0.002	-0.015	0.020	0.003
TCRBV083_12	0.040	0.025	-0.020	0.015	0.014
TCRBV09_5	0.002	0.001	0.002	0.004	-0.000
TCRBV09_6	0.010	0.012	-0.019	0.040	0.015
TCRBV09_7	0.044	-0.044	-0.042	-0.060	-0.051
TCRBV09_8	0.000	-0.005	-0.024	0.017	-0.003
TCRBV09_9	0.031	-0.015	0.017	0.049	0.005
TCRBV09_10	0.054	0.080	-0.059	-0.049	0.019
TCRBV09_11	0.006	-0.030	-0.013	-0.014	0.025
TCRBV09_12	-0.047	-0.023	-0.080	0.040	0.007
TCRBV09_13	-0.028	-0.022	0.042	-0.005	0.021
TCRBV09_14	-0.032	0.000	0.029	-0.026	0.007
TCRBV09_15	-0.011	-0.007	0.012	-0.002	-0.004
TCRBV10_6	-0.012	-0.024	-0.001	0.021	0.012
TCRBV10_7	-0.030	0.035	0.034	-0.017	0.017
TCRBV10_8	-0.033	0.024	0.016	-0.037	-0.007
TCRBV10_9	-0.011	-0.027	-0.018	-0.010	0.025
TCRBV10_10	0.071	-0.025	-0.030	0.000	-0.034
TCRBV10_11	0.007	0.029	0.010	0.041	0.012
TCRBV10_12	0.009	-0.012	-0.011	0.002	-0.026
TCRBV10_13	-0.001	0.000	0.001	0.000	0.001
TCRBV11_5	0.005	0.001	0.014	0.013	-0.011
TCRBV11_6	-0.004	-0.017	0.015	-0.031	0.019
TCRBV11_7	-0.005	0.020	0.015	0.014	0.022
TCRBV11_8	-0.004	-0.020	0.019	0.010	0.031
TCRBV11_9	-0.004	0.006	-0.042	-0.005	0.004
TCRBV11_10	-0.002	0.030	-0.013	0.005	0.001
TCRBV11_11	0.022	-0.001	0.006	0.002	-0.020
TCRBV11_12	0.023	-0.003	-0.014	-0.024	-0.052
TCRBV11_13	0.004	-0.011	-0.006	-0.006	-0.010
TCRBV11_14	-0.002	0.002	0.003	0.002	0.004
TCRBV11_15	-0.001	0.001	0.001	0.001	0.002
TCRBV12_4	0.012	0.005	0.002	-0.015	0.004
TCRBV12_5	0.020	0.007	-0.016	-0.007	-0.006
TCRBV12_6	-0.010	-0.012	0.010	-0.028	0.018
TCRBV12_7	-0.022	-0.018	0.059	0.017	-0.035
TCRBV12_8	0.008	-0.025	-0.020	0.029	0.024
TCRBV12_9	-0.017	0.011	-0.023	-0.001	-0.008
TCRBV12_10	0.035	0.001	0.003	-0.003	-0.014
TCRBV12_11	-0.014	0.015	-0.003	-0.002	0.010
TCRBV12_12	-0.014	0.017	-0.012	0.010	0.006
TCRBV13_5	0.001	0.009	0.003	-0.014	0.001
TCRBV13_6	0.015	-0.034	0.041	0.003	-0.011
TCRBV13_7	0.008	-0.034	-0.039	0.035	-0.022
TCRBV13_8	-0.030	0.048	-0.009	-0.011	-0.008
TCRBV13_9	0.007	0.014	-0.032	0.011	0.026
TCRBV13_10	0.047	0.001	0.002	-0.038	-0.009
TCRBV13_11	-0.028	0.003	0.009	0.032	-0.008
TCRBV13_12	-0.003	-0.010	0.012	-0.008	0.003
TCRBV13_13	-0.017	0.004	0.014	-0.010	0.027
TCRBV14_5	-0.006	0.006	-0.008	0.006	-0.002

**FIG. 114D**

TCRBV14_6	0.013	-0.005	0.017	0.004	-0.027
TCRBV14_7	0.007	-0.018	-0.063	0.031	0.009
TCRBV14_8	0.016	0.011	0.038	-0.045	0.002
TCRBV14_9	-0.004	-0.003	0.016	-0.002	0.012
TCRBV14_10	-0.030	0.010	0.024	-0.015	0.021
TCRBV14_11	0.016	0.013	0.001	0.025	-0.007
TCRBV14_12	-0.013	-0.014	-0.024	-0.005	-0.009
TCRBV14_13	0.000	0.000	0.000	0.000	0.001
TCRBV15_4	0.003	-0.013	-0.005	-0.006	-0.014
TCRBV15_5	0.031	0.006	0.012	0.003	0.032
TCRBV15_6	-0.006	-0.012	0.009	-0.042	-0.031
TCRBV15_7	-0.021	-0.003	-0.009	-0.004	-0.040
TCRBV15_8	0.021	0.033	-0.003	0.003	0.049
TCRBV15_9	-0.030	-0.001	0.008	-0.012	-0.010
TCRBV15_10	-0.010	-0.011	0.013	0.056	0.005
TCRBV15_11	0.046	0.003	-0.019	-0.022	0.002
TCRBV15_12	-0.003	0.003	-0.009	0.004	-0.002
TCRBV16_5	0.007	0.006	0.011	-0.005	0.018
TCRBV16_6	0.015	0.036	0.034	-0.018	0.027
TCRBV16_7	0.001	0.061	0.016	0.043	-0.038
TCRBV16_8	0.027	-0.075	-0.031	-0.021	0.032
TCRBV16_9	0.022	0.031	0.020	0.017	-0.015
TCRBV16_10	-0.068	-0.048	-0.027	-0.004	-0.013
TCRBV16_11	-0.018	-0.043	0.014	0.037	-0.007
TCRBV16_12	-0.011	0.040	0.002	-0.058	-0.023
TCRBV16_13	-0.002	0.004	0.001	-0.000	0.010
TCRBV18_3	0.002	-0.003	-0.005	-0.004	-0.000
TCRBV18_4	0.014	0.020	-0.008	0.011	-0.014
TCRBV18_5	0.015	0.045	0.030	0.026	-0.038
TCRBV18_6	0.017	0.049	0.044	0.009	0.046
TCRBV18_7	0.007	-0.026	0.010	-0.044	0.043
TCRBV18_8	-0.054	-0.020	-0.004	0.017	-0.071
TCRBV18_9	0.025	-0.018	0.015	0.016	0.044
TCRBV18_10	0.056	0.034	-0.023	-0.046	-0.009
TCRBV18_11	-0.002	0.035	-0.028	0.019	-0.034
TCRBV18_12	0.001	0.000	-0.003	-0.001	0.007
TCRBV18_13	-0.007	0.002	0.001	0.003	0.010
TCRBV20_5	0.012	0.004	0.013	0.007	-0.014
TCRBV20_6	0.051	-0.025	-0.015	0.063	-0.029
TCRBV20_7	0.023	0.041	0.023	-0.029	-0.041
TCRBV20_8	-0.050	0.054	-0.046	-0.015	0.087
TCRBV20_9	0.017	-0.065	0.036	0.010	0.030
TCRBV20_10	-0.014	0.028	-0.014	0.030	0.004
TCRBV20_11	-0.007	0.022	0.041	-0.006	-0.034
TCRBV20_12	-0.009	-0.024	-0.011	-0.073	-0.013
TCRBV20_13	0.007	-0.018	-0.026	-0.003	0.010
TCRBV20_14	0.002	-0.011	-0.004	-0.005	-0.011
	46	47	48	49	50
TCRBV01_6	-0.014	-0.003	-0.023	-0.003	-0.020
TCRBV01_7	0.002	0.037	-0.012	-0.004	0.004
TCRBV01_8	0.008	0.016	-0.015	0.012	0.009
TCRBV01_9	0.010	-0.008	0.021	-0.048	-0.014
TCRBV01_10	-0.039	0.041	-0.006	-0.089	-0.003
TCRBV01_11	-0.017	-0.024	0.009	0.082	0.009
TCRBV01_12	0.024	0.000	-0.026	0.037	-0.015
TCRBV01_13	0.015	-0.022	0.017	0.016	0.001
TCRBV01_14	-0.001	0.002	0.001	0.000	-0.000
TCRBV02_6	-0.005	0.036	-0.004	-0.077	0.076
TCRBV02_7	0.016	-0.003	-0.002	-0.024	0.046
TCRBV02_8	0.042	-0.025	0.032	0.099	-0.019
TCRBV02_9	-0.043	0.005	-0.037	0.009	-0.084
TCRBV02_10	0.029	-0.029	-0.034	-0.016	-0.026

**FIG. 115A**



TCRBV02_11	-0.051	-0.007	-0.053	-0.033	-0.008
TCRBV02_12	0.003	-0.029	0.043	-0.010	-0.001
TCRBV02_13	0.004	0.011	-0.012	-0.001	-0.001
TCRBV03_4	0.000	0.001	0.002	0.001	0.000
TCRBV03_5	-0.010	0.001	0.001	-0.002	-0.001
TCRBV03_6	0.015	0.008	-0.095	0.047	-0.075
TCRBV03_7	-0.009	-0.004	0.002	-0.030	-0.015
TCRBV03_8	-0.022	-0.006	-0.014	0.009	0.028
TCRBV03_9	-0.003	0.002	0.005	-0.014	0.080
TCRBV03_10	0.045	0.043	0.057	-0.041	-0.032
TCRBV03_11	-0.030	0.029	0.033	0.022	0.010
TCRBV03_12	0.010	-0.013	-0.002	0.020	0.029
TCRBV03_13	-0.007	-0.022	-0.023	-0.011	-0.054
TCRBV04_6	0.012	0.006	0.003	0.002	-0.011
TCRBV04_7	0.001	0.045	0.030	-0.028	0.008
TCRBV04_8	0.024	0.016	-0.002	0.032	0.000
TCRBV04_9	0.017	-0.057	0.008	-0.030	0.019
TCRBV04_10	0.055	0.016	-0.019	-0.012	0.031
TCRBV04_11	-0.008	-0.028	-0.014	0.005	-0.040
TCRBV04_12	-0.021	-0.016	-0.038	0.104	0.022
TCRBV04_13	-0.077	0.027	0.028	-0.066	0.010
TCRBV04_14	0.001	0.021	0.008	0.011	-0.071
TCRBV04_15	-0.005	-0.030	-0.004	-0.019	0.033
TCRBV051_5	-0.021	-0.040	-0.010	0.040	0.014
TCRBV051_6	0.005	0.007	-0.050	-0.077	0.006
TCRBV051_7	-0.048	-0.005	0.070	0.019	-0.065
TCRBV051_8	-0.005	0.005	0.084	0.003	-0.018
TCRBV051_9	0.047	-0.065	-0.025	0.022	0.008
TCRBV051_10	-0.060	0.029	0.009	-0.012	0.007
TCRBV051_11	-0.028	-0.010	-0.031	-0.029	0.044
TCRBV051_12	0.036	0.031	-0.031	0.025	0.053
TCRBV051_13	0.022	-0.036	-0.019	0.024	0.024
TCRBV052_6	0.018	-0.005	0.014	-0.061	-0.002
TCRBV052_7	-0.018	-0.024	0.054	0.023	0.029
TCRBV052_8	0.006	0.007	-0.052	0.021	-0.010
TCRBV052_9	-0.039	0.003	-0.036	0.004	0.046
TCRBV052_10	-0.008	-0.035	0.027	-0.065	-0.017
TCRBV052_11	-0.031	-0.027	-0.019	0.049	-0.026
TCRBV052_12	0.001	-0.003	0.007	0.038	0.067
TCRBV052_13	0.020	0.001	0.001	0.007	-0.014
TCRBV06_5	0.009	0.007	-0.004	-0.008	-0.022
TCRBV06_6	0.006	0.007	-0.031	-0.022	0.006
TCRBV06_7	0.044	0.021	0.003	0.016	0.024
TCRBV06_8	-0.018	-0.007	0.006	0.003	0.000
TCRBV06_9	0.008	-0.020	-0.022	0.028	0.036
TCRBV06_10	0.053	-0.027	0.042	0.014	-0.028
TCRBV06_11	-0.010	0.012	-0.031	-0.017	0.037
TCRBV06_12	-0.085	0.045	-0.024	-0.023	-0.020
TCRBV06_13	-0.017	0.001	0.025	0.011	-0.063
TCRBV07_5	-0.000	-0.005	0.016	0.022	-0.041
TCRBV07_6	0.007	0.032	0.000	0.019	-0.019
TCRBV07_7	-0.012	0.017	-0.008	-0.067	-0.016
TCRBV07_8	0.050	-0.014	0.030	-0.044	0.066
TCRBV07_9	-0.023	0.006	-0.039	0.091	-0.011
TCRBV07_10	-0.001	-0.008	-0.052	-0.005	0.012
TCRBV07_11	-0.015	0.003	0.001	-0.028	0.032
TCRBV07_12	-0.001	0.006	0.018	0.023	-0.046
TCRBV07_13	-0.016	0.002	-0.001	-0.007	-0.005
TCRBV081_5	-0.006	-0.016	-0.013	-0.006	0.006
TCRBV081_6	-0.018	-0.001	0.013	-0.057	-0.077
TCRBV081_7	-0.021	-0.014	-0.001	0.004	0.007
TCRBV081_8	0.024	-0.038	-0.025	-0.002	0.013
TCRBV081_9	0.014	0.035	-0.053	0.026	0.041
TCRBV081_10	-0.021	-0.024	-0.024	0.017	0.027

**FIG. 115B**

TCRBV081_11	0.004	0.041	0.022	0.024	0.020
TCRBV081_12	0.024	0.017	0.081	-0.006	-0.035
TCRBV082_4	-0.009	-0.063	0.072	0.021	-0.001
TCRBV082_5	-0.033	0.022	0.009	-0.015	0.034
TCRBV082_6	-0.013	-0.026	0.070	0.018	0.100
TCRBV082_7	-0.033	0.026	-0.065	-0.053	-0.084
TCRBV082_8	-0.029	-0.003	-0.041	0.064	-0.041
TCRBV082_9	0.056	0.002	-0.016	-0.015	-0.005
TCRBV082_10	0.029	0.030	-0.033	-0.047	-0.014
TCRBV082_11	0.033	0.011	0.005	0.027	0.010
TCRBV083_4	-0.000	-0.002	-0.002	-0.001	-0.005
TCRBV083_5	0.006	0.013	0.069	0.050	0.031
TCRBV083_6	-0.023	-0.004	0.009	0.005	0.076
TCRBV083_7	-0.010	-0.027	-0.047	-0.007	-0.037
TCRBV083_8	-0.012	0.006	0.040	-0.042	0.006
TCRBV083_9	-0.015	0.007	-0.020	0.010	-0.056
TCRBV083_10	0.035	-0.029	0.045	-0.037	-0.040
TCRBV083_11	0.012	-0.027	-0.035	-0.043	0.054
TCRBV083_12	0.007	0.063	-0.058	0.065	-0.030
TCRBV09_5	0.010	0.005	-0.006	0.000	-0.005
TCRBV09_6	0.044	-0.002	-0.014	-0.055	0.031
TCRBV09_7	0.055	0.052	-0.051	-0.025	-0.053
TCRBV09_8	-0.034	0.032	-0.039	0.053	0.008
TCRBV09_9	-0.032	-0.048	-0.066	-0.053	0.063
TCRBV09_10	0.005	-0.062	0.047	-0.036	0.009
TCRBV09_11	0.021	-0.029	0.038	-0.010	-0.046
TCRBV09_12	0.004	-0.123	0.013	-0.005	-0.071
TCRBV09_13	-0.026	0.001	-0.007	0.014	-0.005
TCRBV09_14	0.018	0.011	-0.046	0.020	0.033
TCRBV09_15	0.003	0.032	-0.044	0.022	0.012
TCRBV10_6	-0.004	-0.017	0.048	-0.058	-0.014
TCRBV10_7	0.014	0.004	-0.039	-0.005	-0.086
TCRBV10_8	0.039	0.044	0.065	0.030	-0.026
TCRBV10_9	-0.067	0.016	-0.005	0.037	0.098
TCRBV10_10	0.003	-0.079	0.014	-0.059	0.027
TCRBV10_11	-0.004	0.014	-0.052	0.030	-0.012
TCRBV10_12	0.018	0.017	-0.032	0.025	0.012
TCRBV10_13	0.000	0.001	0.001	0.001	0.000
TCRBV11_5	-0.005	0.005	0.016	-0.018	-0.052
TCRBV11_6	0.002	-0.018	0.003	-0.039	-0.042
TCRBV11_7	0.004	-0.017	0.013	0.003	-0.053
TCRBV11_8	0.023	-0.008	0.010	0.006	0.085
TCRBV11_9	0.026	0.011	-0.060	0.062	-0.017
TCRBV11_10	-0.046	0.004	-0.041	-0.038	0.033
TCRBV11_11	-0.037	0.058	0.021	0.038	0.043
TCRBV11_12	0.021	-0.022	-0.000	-0.019	-0.028
TCRBV11_13	0.001	0.021	-0.001	0.002	0.002
TCRBV11_14	0.000	0.002	0.004	0.003	0.001
TCRBV11_15	0.000	0.001	0.001	0.001	0.000
TCRBV12_4	-0.011	0.018	0.014	0.002	0.026
TCRBV12_5	0.035	0.006	0.022	0.003	0.010
TCRBV12_6	0.016	0.007	-0.019	0.018	0.007
TCRBV12_7	-0.012	0.015	0.025	0.047	-0.023
TCRBV12_8	-0.000	0.016	0.074	0.068	0.001
TCRBV12_9	0.016	0.001	-0.104	0.012	-0.041
TCRBV12_10	-0.002	0.008	0.050	-0.035	0.057
TCRBV12_11	-0.014	-0.068	-0.027	-0.047	0.030
TCRBV12_12	-0.028	-0.003	-0.036	-0.067	-0.067
TCRBV13_5	0.007	-0.006	0.003	0.004	-0.003
TCRBV13_6	-0.041	-0.010	0.007	0.049	0.058
TCRBV13_7	-0.005	0.044	0.016	-0.039	-0.054
TCRBV13_8	-0.024	0.027	0.085	0.021	-0.044
TCRBV13_9	0.021	0.021	0.015	0.006	0.044

**FIG. 115C**

TCRBV13_10	0.025	-0.006	-0.061	-0.018	-0.042
TCRBV13_11	0.019	-0.040	-0.045	0.021	0.018
TCRBV13_12	0.001	-0.006	-0.012	0.016	0.002
TCRBV13_13	-0.003	-0.024	-0.009	-0.059	0.022
TCRBV14_5	0.001	-0.006	-0.002	0.001	0.010
TCRBV14_6	0.028	-0.008	0.046	0.011	-0.040
TCRBV14_7	-0.041	0.028	-0.029	-0.014	0.015
TCRBV14_8	-0.046	0.009	0.021	-0.014	0.024
TCRBV14_9	0.008	-0.111	-0.043	-0.066	0.011
TCRBV14_10	-0.048	0.004	-0.006	0.084	-0.018
TCRBV14_11	0.085	0.049	0.017	0.024	-0.008
TCRBV14_12	0.013	0.032	-0.006	-0.026	0.007
TCRBV14_13	0.001	0.002	0.001	0.001	-0.001
TCRBV15_4	0.003	0.015	-0.011	-0.006	0.007
TCRBV15_5	-0.006	-0.029	-0.035	-0.025	-0.068
TCRBV15_6	-0.009	0.039	-0.004	0.023	-0.047
TCRBV15_7	0.008	0.046	-0.055	-0.020	0.079
TCRBV15_8	-0.015	0.002	0.017	0.036	-0.031
TCRBV15_9	-0.020	-0.040	0.039	0.010	0.015
TCRBV15_10	0.010	-0.014	0.014	0.036	0.042
TCRBV15_11	0.041	0.016	-0.007	-0.047	-0.050
TCRBV15_12	-0.023	0.003	0.007	-0.005	0.025
TCRBV16_5	0.005	0.018	0.007	-0.056	0.049
TCRBV16_6	0.021	-0.006	0.001	0.025	0.083
TCRBV16_7	-0.020	-0.102	-0.058	0.001	-0.017
TCRBV16_8	-0.028	0.010	0.002	0.006	-0.064
TCRBV16_9	-0.008	0.004	0.001	0.002	0.014
TCRBV16_10	-0.020	0.047	-0.008	0.011	-0.032
TCRBV16_11	-0.026	0.044	0.047	-0.004	-0.001
TCRBV16_12	0.006	-0.049	-0.032	0.025	-0.005
TCRBV16_13	0.007	-0.011	0.001	0.007	0.018
TCRBV18_3	0.004	-0.007	0.000	-0.005	-0.006
TCRBV18_4	0.048	-0.024	0.044	-0.043	0.000
TCRBV18_5	0.050	-0.002	-0.013	0.049	0.045
TCRBV18_6	0.045	0.068	0.008	-0.047	-0.032
TCRBV18_7	-0.122	-0.018	0.030	0.007	-0.003
TCRBV18_8	0.047	0.053	0.013	-0.067	0.004
TCRBV18_9	-0.035	-0.049	0.001	0.011	-0.023
TCRBV18_10	-0.031	-0.035	0.067	0.012	-0.086
TCRBV18_11	-0.023	-0.006	0.032	0.022	-0.019
TCRBV18_12	-0.002	0.001	0.002	-0.001	0.010
TCRBV18_13	-0.009	-0.013	-0.007	-0.004	0.006
TCRBV20_5	0.000	0.030	0.023	-0.006	-0.059
TCRBV20_6	-0.024	0.035	0.000	0.053	0.015
TCRBV20_7	-0.042	0.009	0.018	-0.027	0.031
TCRBV20_8	-0.012	0.049	-0.028	-0.050	-0.060
TCRBV20_9	0.047	-0.058	0.006	0.106	-0.030
TCRBV20_10	-0.032	-0.027	-0.006	-0.041	0.004
TCRBV20_11	0.023	-0.016	0.011	-0.012	-0.042
TCRBV20_12	0.023	0.039	-0.012	-0.027	0.091
TCRBV20_13	0.004	-0.035	-0.039	0.010	0.016
TCRBV20_14	0.002	0.012	-0.009	-0.005	0.006

51

52

TCRBV01_6	0.005	0.001
TCRBV01_7	-0.006	-0.031
TCRBV01_8	-0.041	0.095
TCRBV01_9	-0.033	-0.074
TCRBV01_10	0.023	0.004
TCRBV01_11	-0.031	-0.003
TCRBV01_12	0.061	-0.024
TCRBV01_13	0.013	0.015
TCRBV01_14	-0.001	-0.001

**FIG. 115D**

TCRBV02_6	0.046	-0.048
TCRBV02_7	-0.037	-0.026
TCRBV02_8	-0.145	0.046
TCRBV02_9	0.013	0.004
TCRBV02_10	-0.005	-0.031
TCRBV02_11	-0.009	-0.017
TCRBV02_12	-0.016	-0.055
TCRBV02_13	0.001	-0.016
TCRBV03_4	0.004	0.004
TCRBV03_5	-0.004	0.007
TCRBV03_6	-0.016	-0.040
TCRBV03_7	0.029	-0.066
TCRBV03_8	0.031	0.020
TCRBV03_9	0.014	0.036
TCRBV03_10	-0.011	-0.047
TCRBV03_11	-0.033	0.022
TCRBV03_12	-0.010	-0.010
TCRBV03_13	-0.014	0.054
TCRBV04_6	-0.011	0.006
TCRBV04_7	-0.018	-0.073
TCRBV04_8	0.047	-0.036
TCRBV04_9	-0.004	-0.211
TCRBV04_10	-0.047	0.160
TCRBV04_11	0.051	0.048
TCRBV04_12	-0.024	0.043
TCRBV04_13	-0.053	0.022
TCRBV04_14	0.066	0.002
TCRBV04_15	-0.007	0.039
TCRBV051_5	-0.065	-0.049
TCRBV051_6	-0.039	-0.035
TCRBV051_7	-0.027	-0.083
TCRBV051_8	-0.005	0.041
TCRBV051_9	0.034	0.030
TCRBV051_10	-0.058	0.050
TCRBV051_11	0.055	0.073
TCRBV051_12	0.042	-0.006
TCRBV051_13	0.058	0.027
TCRBV052_6	-0.014	-0.102
TCRBV052_7	0.018	0.036
TCRBV052_8	0.000	0.045
TCRBV052_9	0.042	0.045
TCRBV052_10	0.020	0.055
TCRBV052_11	-0.012	-0.030
TCRBV052_12	-0.036	-0.015
TCRBV052_13	-0.024	0.016
TCRBV06_5	-0.025	-0.013
TCRBV06_6	-0.014	-0.034
TCRBV06_7	-0.060	-0.039
TCRBV06_8	0.084	0.001
TCRBV06_9	-0.054	-0.049
TCRBV06_10	0.011	0.063
TCRBV06_11	0.015	-0.009
TCRBV06_12	-0.003	0.021
TCRBV06_13	0.036	0.039
TCRBV07_5	0.001	-0.032
TCRBV07_6	0.007	-0.050
TCRBV07_7	-0.025	-0.006
TCRBV07_8	0.023	0.044
TCRBV07_9	-0.038	-0.054
TCRBV07_10	0.073	0.054
TCRBV07_11	-0.008	0.067
TCRBV07_12	-0.029	-0.046
TCRBV07_13	-0.014	0.003
TCRBV081_5	0.020	0.006

**FIG. 116A**

TCRBV081_6	-0.014	0.043
TCRBV081_7	0.006	0.034
TCRBV081_8	-0.028	-0.034
TCRBV081_9	-0.008	-0.039
TCRBV081_10	0.004	0.040
TCRBV081_11	-0.013	0.012
TCRBV081_12	0.033	-0.062
TCRBV082_4	0.103	-0.021
TCRBV082_5	-0.054	-0.020
TCRBV082_6	0.101	-0.007
TCRBV082_7	-0.086	0.107
TCRBV082_8	0.013	-0.019
TCRBV082_9	-0.050	0.023
TCRBV082_10	-0.033	-0.055
TCRBV082_11	0.006	-0.009
TCRBV083_4	-0.001	0.004
TCRBV083_5	-0.020	-0.000
TCRBV083_6	-0.047	-0.001
TCRBV083_7	0.059	0.043
TCRBV083_8	-0.098	0.001
TCRBV083_9	0.052	0.013
TCRBV083_10	0.062	-0.018
TCRBV083_11	-0.052	0.017
TCRBV083_12	0.044	-0.058
TCRBV09_5	0.011	0.003
TCRBV09_6	0.022	0.052
TCRBV09_7	-0.055	0.091
TCRBV09_8	0.050	-0.010
TCRBV09_9	0.001	-0.032
TCRBV09_10	0.025	-0.007
TCRBV09_11	0.043	0.004
TCRBV09_12	0.004	-0.125
TCRBV09_13	-0.083	-0.060
TCRBV09_14	-0.079	0.009
TCRBV09_15	-0.009	-0.023
TCRBV10_6	-0.004	-0.022
TCRBV10_7	-0.026	-0.011
TCRBV10_8	0.002	-0.074
TCRBV10_9	0.008	0.041
TCRBV10_10	-0.045	0.092
TCRBV10_11	0.028	-0.027
TCRBV10_12	0.035	-0.001
TCRBV10_13	0.002	0.002
TCRBV11_5	0.012	0.022
TCRBV11_6	0.032	0.015
TCRBV11_7	-0.045	0.092
TCRBV11_8	-0.087	-0.067
TCRBV11_9	0.058	-0.057
TCRBV11_10	-0.034	0.013
TCRBV11_11	0.028	-0.071
TCRBV11_12	0.006	0.022
TCRBV11_13	0.008	-0.000
TCRBV11_14	0.009	0.008
TCRBV11_15	0.003	0.003
TCRBV12_4	-0.047	-0.033
TCRBV12_5	0.023	0.054
TCRBV12_6	-0.034	-0.007
TCRBV12_7	-0.007	0.118
TCRBV12_8	0.045	0.008
TCRBV12_9	0.039	-0.101
TCRBV12_10	0.000	-0.021
TCRBV12_11	-0.041	-0.037
TCRBV12_12	0.021	0.021
TCRBV13_5	0.022	-0.015

**FIG. 116B**

TCRBV13_6	-0.092	-0.029
TCRBV13_7	0.026	-0.025
TCRBV13_8	-0.000	0.059
TCRBV13_9	0.018	-0.032
TCRBV13_10	0.052	-0.005
TCRBV13_11	0.019	0.095
TCRBV13_12	0.004	0.015
TCRBV13_13	-0.049	-0.062
TCRBV14_5	-0.001	0.008
TCRBV14_6	-0.057	-0.008
TCRBV14_7	0.025	-0.026
TCRBV14_8	0.031	-0.010
TCRBV14_9	0.008	0.011
TCRBV14_10	0.024	-0.017
TCRBV14_11	-0.078	0.052
TCRBV14_12	0.044	-0.011
TCRBV14_13	0.002	0.001
TCRBV15_4	0.009	-0.022
TCRBV15_5	-0.035	-0.067
TCRBV15_6	-0.002	-0.026
TCRBV15_7	0.072	0.028
TCRBV15_8	0.017	0.013
TCRBV15_9	0.023	0.006
TCRBV15_10	-0.028	0.080
TCRBV15_11	-0.049	-0.040
TCRBV15_12	-0.016	0.008
TCRBV16_5	0.079	0.016
TCRBV16_6	0.007	0.014
TCRBV16_7	-0.070	0.070
TCRBV16_8	-0.002	-0.030
TCRBV16_9	0.030	0.025
TCRBV16_10	-0.079	-0.041
TCRBV16_11	-0.016	0.044
TCRBV16_12	0.034	-0.070
TCRBV16_13	0.002	0.001
TCRBV18_3	0.003	0.009
TCRBV18_4	-0.018	0.015
TCRBV18_5	-0.019	0.010
TCRBV18_6	0.012	-0.028
TCRBV18_7	0.036	-0.045
TCRBV18_8	0.011	-0.001
TCRBV18_9	-0.069	-0.013
TCRBV18_10	-0.003	-0.006
TCRBV18_11	0.023	0.099
TCRBV18_12	0.002	0.001
TCRBV18_13	0.009	0.002
TCRBV20_5	0.028	0.033
TCRBV20_6	-0.063	0.010
TCRBV20_7	-0.062	-0.056
TCRBV20_8	0.022	0.084
TCRBV20_9	0.041	0.027
TCRBV20_10	-0.008	0.044
TCRBV20_11	-0.018	0.003
TCRBV20_12	0.051	-0.065
TCRBV20_13	-0.008	-0.083
TCRBV20_14	0.007	-0.018

Standardized scores have been saved.

**FIG. 116C**

53 cases and 56 variables processed and saved.

SYSTAT Rectangular file C:\Utilisateurs\OGp8586\Pr810G290802F.SYD,  
created Fri Aug 30, 2002 at 10:39:56, contains variables:

CASE\$	GROUPS\$	FACTOR(1..52 )	TSQUARE	PROB
--------	----------	----------------	---------	------

Group frequencies

F3*	F3*S	FS	FT	R3*	R3*6
5	10	5	9	5	5

RS	RT
5	9

Group means

FIG. 116D

	F3*	F3*S	FS	FT	R3*
FACTOR(1)	-	-	0.78	-	0.55
	0.029	0.701	9	0.582	6
FACTOR(2)	-	-	-	-	0.97
	0.652	0.065	0.584	0.647	6
FACTOR(3)	0.66	1.28	0.11	-	-
	7	5	0	1.234	0.470
FACTOR(4)	0.56	-	0.97	-	-
	1	0.170	2	0.038	0.367
FACTOR(5)	0.44	-	0.38	-	0.20
	8	0.469	2	0.026	2
FACTOR(6)	0.28	0.12	0.42	0.21	-
	2	6	0	5	0.546
FACTOR(7)	1.26	0.08	-	0.40	0.11
	7	3	1.236	1	4
FACTOR(8)	-	0.07	-	0.29	0.20
	0.530	2	0.258	2	6
FACTOR(9)	-	-	0.12	0.11	-
	0.147	0.371	4	5	0.221
FACTOR(10)	-	-	0.01	0.22	-
	0.446	0.130	9	5	0.179
FACTOR(11)	0.43	-	-	-	0.00
	4	0.536	0.076	0.120	1
FACTOR(12)	0.83	-	0.02	0.42	0.20
	8	0.514	2	0	7
FACTOR(13)	-	0.16	0.45	0.38	-
	0.646	1	0	6	0.429
FACTOR(14)	0.63	-	-	-	0.20
	8	0.370	0.210	0.257	9
FACTOR(15)	0.28	0.14	0.43	-	-
	5	3	0	0.321	0.217
FACTOR(16)	-	-	-	0.21	-
	0.020	0.127	0.144	4	0.111
FACTOR(17)	-	0.42	-	-	-
	0.458	7	0.945	0.293	0.113
FACTOR(18)	-	0.27	0.43	-	-
	0.852	1	5	0.086	0.474
FACTOR(19)	0.22	0.03	0.05	0.04	0.34
	0	4	5	1	0
FACTOR(20)	1.02	0.17	-	0.13	-
	7	9	0.153	5	0.054
FACTOR(21)	-	0.33	0.32	0.71	-
	0.859	2	0	3	0.432
FACTOR(22)	-	-	-	0.24	-
	0.048	0.018	0.247	8	0.226
FACTOR(23)	-	-	0.03	0.28	0.08
	0.449	0.240	2	7	1
FACTOR(24)	0.26	-	0.35	-	-
	6	0.323	9	0.043	0.658
FACTOR(25)	-	-	0.17	-	0.04
	0.225	0.194	1	0.156	5
FACTOR(26)	-	0.23	-	0.24	-
	0.255	4	0.829	0	0.231
FACTOR(27)	0.38	-	-	0.08	0.07
	9	0.260	1.069	0	5
FACTOR(28)	-	0.08	0.05	0.02	-
	0.222	0	5	7	0.197
FACTOR(29)	-	0.03	-	0.07	0.00
	0.112	0	0.050	0	4
FACTOR(30)	-	0.14	0.00	0.12	0.58
	0.439	2	5	9	4
FACTOR(31)	-	-	0.21	-	-
	0.104	0.046	8	0.406	0.123

**FIG. 117A**



FACTOR(32)	8	0.25	-	-	0.06	-
			0.046	0.316	3	1.439
FACTOR(33)	1	0.04	-	-	0.18	-
			0.090	0.323	9	0.732
FACTOR(34)	0	0.16	-	-	-	-
			0.126	0.199	0.061	0.107
FACTOR(35)	-	-	0.05	-	0.02	0.02
	0.200	1	-	0.141	7	7
FACTOR(36)	-	-	0.01	-	-	-
	0.040	9	-	0.167	0.220	0.329
FACTOR(37)	6	0.26	0.04	0.08	-	0.06
		2	-	7	0.328	3
FACTOR(38)	9	0.12	-	0.18	0.00	-
			0.118	4	1	0.584
FACTOR(39)	8	0.29	-	0.17	-	-
			0.086	3	0.194	0.728
FACTOR(40)	-	-	0.04	-	0.20	-
	0.189	9	-	0.152	9	0.352
FACTOR(41)	2	0.04	0.03	-	0.13	-
		0	-	0.129	8	0.684
FACTOR(42)	1	0.01	0.06	-	-	0.26
		7	-	0.343	0.103	6
FACTOR(43)	3	0.15	-	-	0.03	-
			0.138	0.118	8	0.640
FACTOR(44)	5	0.15	0.03	-	-	-
		4	-	0.690	0.037	0.356
FACTOR(45)	2	0.01	-	-	-	0.20
			0.073	0.015	0.330	8
FACTOR(46)	-	-	0.01	0.15	0.15	-
	0.062	8	-	5	9	0.302
FACTOR(47)	-	-	0.09	-	0.31	0.36
	0.167	9	-	0.789	5	1
FACTOR(48)	-	-	0.08	-	-	0.48
	0.118	7	-	0.168	0.011	3
FACTOR(49)	-	-	0.10	-	-	-
	0.089	6	-	0.313	0.013	0.045
FACTOR(50)	-	-	0.15	0.09	-	0.44
	0.119	0	-	1	0.073	6
FACTOR(51)	7	0.00	0.00	0.04	-	0.08
		3	-	5	0.079	4
FACTOR(52)	-	-	0.05	-	-	-
	0.029	2	-	0.016	0.018	0.047

**FIG. 117B**

	R3*S	RS	RT
FACTOR(1)	0.14	0.98	0.00
	8	5	1
FACTOR(2)	1.04	-	0.36
	6	0.140	0
FACTOR(3)	-	-	-
	0.172	0.043	0.244
FACTOR(4)	-	-	-
	0.615	0.068	0.042
FACTOR(5)	-	0.02	0.29
	0.607	2	9
FACTOR(6)	-	-	-
	0.309	0.314	0.096
FACTOR(7)	-	-	-
	0.164	0.524	0.192
FACTOR(8)	-	-	0.22
	0.025	0.459	0
FACTOR(9)	0.26	0.16	0.19
	5	7	3
FACTOR(10)	-	0.27	0.28
	0.314	1	0
FACTOR(11)	0.18	0.33	0.22
	8	1	7
FACTOR(12)	0.15	-	-
	5	0.396	0.307
FACTOR(13)	-	0.23	-
	0.476	7	0.084
FACTOR(14)	-	-	0.54
	0.277	0.134	2
FACTOR(15)	0.27	-	-
	0	0.092	0.214
FACTOR(16)	-	0.05	0.06
	0.023	2	4
FACTOR(17)	0.13	0.31	0.41
	8	2	1
FACTOR(18)	0.24	0.21	0.02
	2	5	6
FACTOR(19)	-	-	-
	0.009	0.225	0.291
FACTOR(20)	0.02	0.03	-
	9	7	0.827
FACTOR(21)	-	0.10	-
	0.537	9	0.306
FACTOR(22)	0.78	-	0.07
	9	0.804	0
FACTOR(23)	0.22	-	0.18
	1	0.249	2
FACTOR(24)	0.51	1.03	-
	4	2	0.438
FACTOR(25)	0.73	0.11	-
	6	7	0.097
FACTOR(26)	0.41	0.06	-
	4	1	0.033
FACTOR(27)	0.10	0.86	0.00
	8	1	6
FACTOR(28)	-	-	0.38
	0.339	0.197	4
FACTOR(29)	-	0.64	-
	0.052	7	0.346
FACTOR(30)	-	0.02	-
	0.066	7	0.348
FACTOR(31)	0.41	0.42	-
	1	8	0.004

*FIG. 117C*

FACTOR(32)	-	-	0.82
	0.004	0.005	5
FACTOR(33)	0.53	0.78	-
	6	9	0.262
FACTOR(34)	-	0.55	0.14
	0.303	8	1
FACTOR(35)	-	0.63	-
	0.098	1	0.205
FACTOR(36)	0.50	0.05	0.19
	4	0	0
FACTOR(37)	-	0.41	0.30
	0.869	1	3
FACTOR(38)	0.52	-	0.24
	2	0.456	4
FACTOR(39)	0.20	-	0.59
	0	0.491	4
FACTOR(40)	-	0.22	0.32
	0.598	9	6
FACTOR(41)	0.21	0.41	-
	8	2	0.093
FACTOR(42)	-	0.77	-
	0.426	4	0.128
FACTOR(43)	0.41	0.07	0.17
	7	4	8
FACTOR(44)	-	0.66	0.22
	0.184	1	9
FACTOR(45)	-	0.03	0.36
	0.159	1	7
FACTOR(46)	0.67	-	-
	5	0.075	0.396
FACTOR(47)	-	0.56	-
	0.667	2	0.035
FACTOR(48)	-	-	0.17
	0.257	0.406	4
FACTOR(49)	0.01	0.51	-
	2	4	0.149
FACTOR(50)	-	-	-
	0.219	0.128	0.133
FACTOR(51)	-	0.12	0.46
	0.963	3	6
FACTOR(52)	-	0.08	0.02
	0.107	2	5

**FIG. 117D**

Between groups F-matrix -- df = 45 1

	F3*	F3*S	FS	FT	R3*
F3*	0.00				
	0				
F3*	52.3	0.00			
	67	0			
FS	26.4	63.0	0.00		
	26	91	0		
FT	29.5	34.4	10.0	0.00	
	44	64	96	0	
R3*	18.7	47.6	2.03	5.20	0.00
	57	04	0	5	0
R3*	26.4	14.5	14.7	1.90	8.65
	37	04	02	2	6
RS	22.7	65.3	0.58	11.7	2.04
	84	76	8	54	6
RT	41.8	13.6	27.0	6.50	18.2
	61	67	23	5	75

	R3*S	RS	RT
R3*	0		0.00
RS	21	0	15.9 0.00
RT	4	65	1.02 29.4 0.00

Wilks' lambda  
 Lambda = 0.0000 df = 45 7 45  
 Approx. F= 5.2756 df = 315 20 prob = 0.0000

Classification functions

	F3*	F3*S	FS	FT	R3*
CONSTANT	7356.799	5637.861	4201.980	306.080	2116.499

	R3*S	RS	RT
CONSTANT	427.721	4460.284	1225.056

FIG. 118A

	88	-	28	37	19
FACTOR(1)	5.325	3336.155	32.243	9.611	94.506
	-	64	-	53	-
FACTOR(2)	1189.608	0.078	482.200	.800	357.182
	73	29	-	-	-
FACTOR(3)	3.254	54.265	2573.948	619.584	1742.564
	11	-	98	34	71
FACTOR(4)	03.939	1214.829	0.686	.868	6.431
	91	-	12	11	90
FACTOR(5)	0.353	1522.227	22.642	6.464	9.387
	28	29	-	-	-
FACTOR(6)	8.258	5.952	265.061	80.595	187.563
	16	10	-	-	-
FACTOR(7)	19.786	96.056	1193.107	387.205	625.109
	-	90	-	33	-
FACTOR(8)	1140.457	7.611	691.194	.196	544.344
	-	-	66	15	42
FACTOR(9)	249.941	743.279	1.489	9.031	9.891
	-	-	27	14	11
FACTOR(10)	719.913	227.624	8.814	5.837	6.473
	79	-	10	94	78
FACTOR(11)	0.282	1311.675	30.215	.504	3.396
	14	-	10	29	86
FACTOR(12)	97.052	1420.478	38.720	.468	2.841
	-	-	18	14	0.
FACTOR(13)	895.490	47.340	1.539	1.537	971
	81	-	23	-	25
FACTOR(14)	6.867	413.070	4.639	49.142	6.640
	48	46	-	-	-
FACTOR(15)	2.076	.884	67.783	88.142	23.844
	-	-	11	39	71
FACTOR(16)	81.496	130.719	0.991	.778	.874
	-	20	-	-	-
FACTOR(17)	1191.607	57.059	1679.725	166.411	1231.019
	-	61	-	96	-
FACTOR(18)	1417.776	6.412	343.838	.728	391.897
	52	-	16	-	16
FACTOR(19)	5.084	254.610	4.486	33.702	6.883
	19	-	11	-	23
FACTOR(20)	52.578	354.785	0.301	225.896	3.415
	-	37	-	13	-
FACTOR(21)	1234.827	9.534	151.066	0.150	255.522
	-	12	-	-	-
FACTOR(22)	666.088	07.799	1022.400	80.786	720.577
	-	-	20	15	83
FACTOR(23)	833.821	153.721	1.197	6.884	.376
	94	-	15	14	10
FACTOR(24)	1.573	1846.576	37.538	5.061	85.487
	-	-	50	11	33
FACTOR(25)	242.956	560.933	8.925	7.562	4.727
	-	13	-	-	-
FACTOR(26)	745.639	98.794	1164.052	110.083	838.579
	77	-	37	-	34
FACTOR(27)	8.920	569.483	2.121	23.140	5.486
	-	69	-	-	-
FACTOR(28)	657.807	9.621	536.667	11.767	429.010
	25	-	62	72	43
FACTOR(29)	2.459	729.338	9.608	.267	2.399
	-	-	26	86	16
FACTOR(30)	329.901	254.889	7.568	.791	2.336
	-	-	38	53	25
FACTOR(31)	15.784	425.790	8.537	.283	0.897
	-	15	-	-	-
FACTOR(32)	-	-	-	-	-

**FIG. 118B**

	-	29	-
FACTOR(1)	516.421	71.510	1210.085
	32	-	51
FACTOR(2)	2.374	595.120	3.744
	15	-	62
FACTOR(3)	9.068	2501.821	9.296
	-	10	-
FACTOR(4)	353.442	96.718	654.132
	-	13	-
FACTOR(5)	328.479	31.529	672.563
	-	-	3.
FACTOR(6)	37.733	251.033	499
	-	-	-
FACTOR(7)	152.418	1010.654	74.246
	30	-	57
FACTOR(8)	9.949	835.407	0.266
	-	64	-
FACTOR(9)	28.284	2.608	141.922
	10	19	12
FACTOR(10)	0.762	6.379	2.348
	-	11	-
FACTOR(11)	267.696	44.530	570.825
	-	12	-
FACTOR(12)	410.379	11.799	784.511
	12	62	20
FACTOR(13)	9.889	.525	0.266
	-	34	-
FACTOR(14)	174.147	0.427	311.017
	-	-	-
FACTOR(15)	89.587	14.115	123.256
	3.	10	-
FACTOR(16)	673	3.078	10.157
	44	-	91
FACTOR(17)	8.489	1806.603	4.382
	30	-	52
FACTOR(18)	5.935	512.894	9.741
	-	21	-
FACTOR(19)	122.409	9.704	213.257
	-	33	-
FACTOR(20)	397.324	3.055	619.912
	23	-	40
FACTOR(21)	1.744	320.278	9.228
	26	-	54
FACTOR(22)	7.874	1108.931	4.411
	14	10	18
FACTOR(23)	2.105	2.272	3.290
	-	16	-
FACTOR(24)	376.504	72.559	793.673
	-	49	-
FACTOR(25)	7.187	3.777	98.351
	29	-	61
FACTOR(26)	6.676	1247.184	0.743
	-	49	-
FACTOR(27)	180.161	4.691	350.244
	18	-	37
FACTOR(28)	9.587	622.211	6.693
	-	66	-
FACTOR(29)	132.213	8.456	290.064
	27	22	0.
FACTOR(30)	.545	4.265	968
	-	40	-
FACTOR(31)	42.314	2.739	126.892
	27	-	63
FACTOR(32)			

**FIG. 118C**

	569.927	89.968	1341.629	161.012	986.491
	15	-	27	26	1
FACTOR(33)	1.128	325.268	0.719	.473	5.808
	39	-	42	24	3
FACTOR(34)	1.097	532.880	3.931	.130	2.562
	21	-	43	65	2
FACTOR(35)	.879	479.666	2.451	.599	2.397
	-	63	-	-	-
FACTOR(36)	357.451	1.311	521.910	54.706	382.198
	56	-	25	-	2
FACTOR(37)	9.876	338.182	6.025	38.478	1.471
	-	59	-	-	-
FACTOR(38)	297.185	6.832	503.345	45.380	367.606
	-	98	-	-	-
FACTOR(39)	243.396	9.287	850.458	117.629	604.867
	-	38	-	12	-
FACTOR(40)	465.488	1.992	275.887	.571	246.707
	-	15	-	-	-
FACTOR(41)	14.506	9.792	128.126	24.143	112.574
	44	-	47	17	3
FACTOR(42)	1.848	579.365	0.909	.485	0.317
	-	28	-	-	-
FACTOR(43)	83.053	5.618	253.243	30.550	184.865
	12	39	-	-	-
FACTOR(44)	2.862	5.119	367.181	84.781	244.696
	0.	0.	0.	0.	0
FACTOR(45)	000	000	000	000	000
	0.	0.	0.	0.	0
FACTOR(46)	000	000	000	000	000
	0.	0.	0.	0.	0
FACTOR(47)	000	000	000	000	000
	-	52	-	-	-
FACTOR(48)	306.610	1.311	437.054	34.115	299.483
	0.	0.	0.	0.	0
FACTOR(49)	000	000	000	000	000
	0.	0.	0.	0.	0
FACTOR(50)	000	000	000	000	000
	0.	0.	0.	0.	0
FACTOR(51)	000	000	000	000	000
	0.	0.	0.	0.	0
FACTOR(52)	000	000	000	000	000

**FIG. 118D**

	7.822	1405.922	1.130
	-	30	-
FACTOR(33)	61.258	7.829	134.079
	-	48	-
FACTOR(34)	128.043	2.732	255.530
	-	44	-
FACTOR(35)	61.517	5.127	155.045
	14	-	28
FACTOR(36)	1.801	553.931	3.078
	-	32	-
FACTOR(37)	149.909	6.269	254.505
	12	-	26
FACTOR(38)	4.734	541.574	2.776
	15	-	36
FACTOR(39)	6.442	883.045	5.823
	11	-	23
FACTOR(40)	6.478	333.909	2.723
	15	-	48
FACTOR(41)	.342	123.246	.324
	-	53	-
FACTOR(42)	146.187	6.520	292.306
	52	-	11
FACTOR(43)	.637	255.160	5.244
	25	-	89
FACTOR(44)	.751	335.940	.762
	0.	0.	0.
FACTOR(45)	000	000	000
	0.	0.	0.
FACTOR(46)	000	000	000
	0.	0.	0.
FACTOR(47)	000	000	000
	11	-	23
FACTOR(48)	6.883	481.245	6.830
	0.	0.	0.
FACTOR(49)	000	000	000
	0.	0.	0.
FACTOR(50)	000	000	000
	0.	0.	0.
FACTOR(51)	000	000	000
	0.	0.	0.
FACTOR(52)	000	000	000

Variable	F-to-remove	Tolerance	Variable	F-to-enter	Tolerance
3 FACTOR (1)	165.86	0.001301	47 FACTOR (45)	0.00	0.000000
4 FACTOR (2)	20.89	0.010747	48 FACTOR (46)	0.00	0.000000
5 FACTOR (3)	155.48	0.002697	49 FACTOR (47)	0.00	0.000000
6 FACTOR (4)	30.37	0.005689	51 FACTOR (49)	0.00	0.000000
7 FACTOR (5)	37.26	0.004393	52 FACTOR (50)	0.00	0.000000
8 FACTOR (6)	3.26	0.045888	53 FACTOR (51)	0.00	0.000000
9 FACTOR (7)	62.50	0.003602	54 FACTOR (52)	0.00	0.000000
10 FACTOR (8)	22.54	0.006860			
11 FACTOR (9)	10.46	0.014231			
12 FACTOR (10)	8.04	0.018656			
13 FACTOR (11)	27.69	0.005697			
14 FACTOR (12)	44.93	0.003898			
15 FACTOR (13)	10.57	0.015446			
16 FACTOR (14)	8.78	0.018728			
17 FACTOR (15)	3.21	0.045731			
18 FACTOR (16)	0.48	0.232616			
19 FACTOR (17)	68.14	0.002608			
20 FACTOR (18)	24.62	0.006671			
21 FACTOR (19)	3.57	0.039938			
22 FACTOR (20)	43.13	0.004298			

**FIG. 119A**



23	FACTOR (21)	18.37	0.010330
24	FACTOR (22)	24.41	0.006799
25	FACTOR (23)	9.65	0.015550
26	FACTOR (24)	54.39	0.003457
27	FACTOR (25)	6.53	0.023139
28	FACTOR (26)	31.22	0.005147
29	FACTOR (27)	9.95	0.017948
30	FACTOR (28)	10.02	0.014805
31	FACTOR (29)	8.36	0.017939
32	FACTOR (30)	3.06	0.048530
33	FACTOR (31)	3.36	0.043854
34	FACTOR (32)	39.28	0.005440
35	FACTOR (33)	2.08	0.077397
36	FACTOR (34)	5.09	0.028857
37	FACTOR (35)	3.83	0.037992
38	FACTOR (36)	6.56	0.022503
39	FACTOR (37)	4.86	0.032875
40	FACTOR (38)	5.88	0.026270
41	FACTOR (39)	15.03	0.011187
42	FACTOR (40)	3.95	0.038036
43	FACTOR (41)	0.65	0.194654
44	FACTOR (42)	6.37	0.024341
45	FACTOR (43)	1.50	0.093363
46	FACTOR (44)	3.21	0.048085
50	FACTOR (48)	4.69	0.031305

Classification matrix (cases in row categories classified into columns)

	F3*	F3*!	FS	FT	R3*	R3*!
F3*	5	0	0	0	0	0
F3*!	0	10	0	0	0	0
FS	0	0	5	0	0	0
FT	0	0	0	9	0	0
R3*	0	0	0	0	5	0
R3*!	0	0	0	0	0	5
RS	0	0	0	0	0	0
RT	0	0	0	0	0	0
Total	5	10	5	9	5	5

**FIG. 119B**

	RS	RT	%correct
F3*	0	0	100
F3*!	0	0	100
FS	0	0	100
FT	0	0	100
R3*	0	0	100
R3*!	0	0	100
RS	5	0	100
RT	0	9	100
Total	5	9	100

Jackknifed classification matrix

	F3*	F3*!	FS	FT	R3*	R3*!
F3*	4	0	0	1	0	0
F3*!	2	3	3	0	1	0
FS	1	1	0	0	0	0
FT	3	0	4	1	0	0
R3*	2	0	0	1	0	1
R3*!	3	1	1	0	0	0
RS	0	3	1	0	0	0
RT	2	1	2	0	0	1
Total	17	9	11	3	1	2

	RS	RT	%correct
F3*	0	0	80
F3*!	1	0	30
FS	1	2	0
FT	0	1	11
R3*	1	0	0
R3*!	0	0	0
RS	1	0	20
RT	1	2	22
Total	5	5	21

**FIG. 119C**

Eigenvalues

5277.370	1800.188	87.172	38.636	26.920	5.759
2.					
402					

Canonical correlations

1.	1.	0.	0.	0.	0.
000	000	994	987	982	923
0.					
840					

Cumulative proportion of total dispersion

0.	0.	0.	0.	0.	1.
729	978	990	995	999	000
1.					
000					

Wilks' lambda= 0.000  
Approx.F= 5.299 df= 315, 20 p-tail= 0.0000

Pillai's trace= 6.485  
Approx.F= 1.959 df= 315, 49 p-tail= 0.0026

Lawley-Hotelling trace= 7238.447  
Approx.F= -16.414 df= 315, -5 p-tail=

Canonical discriminant functions

	1	2	3	4	5
Constant	000	0.	0.	0.	0.
	000	000	000	000	000
	6	7			
Constant	000	0.	0.		
	000	000			

**FIG. 119D**

FACTOR(1)	31.378	4.071	0.964	1.632	0.309
FACTOR(2)	-7.334	7.746	-1.991	2.984	-0.441
FACTOR(3)	-25.539	-16.382	4.358	1.598	-0.365
FACTOR(4)	12.422	-5.058	1.504	-1.287	0.059
FACTOR(5)	14.807	-2.371	-0.543	-0.511	0.154
FACTOR(6)	-2.286	-3.427	0.861	-1.432	0.042
FACTOR(7)	-8.310	-17.352	-2.845	-0.636	-0.059
FACTOR(8)	-9.658	6.439	-1.233	-0.388	-0.451
FACTOR(9)	6.376	4.672	-0.584	-0.123	0.724
FACTOR(10)	1.220	6.832	0.108	-0.530	0.487
FACTOR(11)	12.693	-2.092	-1.113	0.482	0.919
FACTOR(12)	14.435	-7.638	-2.155	-0.913	-0.241
FACTOR(13)	-0.462	7.678	1.776	-1.334	0.010
FACTOR(14)	4.535	-5.414	-1.623	0.360	0.522
FACTOR(15)	0.244	-4.213	1.198	0.286	-0.087
FACTOR(16)	1.031	1.143	-0.552	-0.376	0.310
FACTOR(17)	-20.055	2.888	-0.016	1.330	0.685
FACTOR(18)	-7.071	9.757	1.984	0.048	0.240
FACTOR(19)	2.921	-3.531	-0.248	-0.048	-0.755
FACTOR(20)	5.545	-15.158	0.467	-0.403	-0.437
FACTOR(21)	-4.720	9.052	1.757	-1.940	-0.405
FACTOR(22)	-11.909	1.432	-1.953	-0.315	0.021
FACTOR(23)	0.313	7.533	-1.230	-0.361	-0.032
FACTOR(24)	17.959	-1.525	1.660	0.241	1.311
FACTOR(25)	4.791	3.968	-0.176	0.842	0.160
FACTOR(26)	-13.635	1.429	-0.821	0.216	0.429
FACTOR(27)	5.934	-4.565	-1.317	0.909	1.138
FACTOR(28)	-7.117	3.111	0.071	-0.492	0.192
FACTOR(29)	7.008	0.390	1.073	0.199	0.103
FACTOR(30)	1.986	3.631	0.223	0.204	-1.108
FACTOR(31)	3.927	1.592	1.020	1.068	0.483
FACTOR(32)					

**FIG. 120A**

	-15.192	-0.671	-0.273	-0.961	2.409
FACTOR(33)	3.145	-0.139	0.605	0.076	1.399
FACTOR(34)	5.297	-1.439	0.298	0.187	0.718
FACTOR(35)	4.460	1.463	0.925	0.326	0.175
FACTOR(36)	-6.171	0.821	-0.119	0.662	0.723
FACTOR(37)	3.825	-3.616	1.157	0.154	0.269
FACTOR(38)	-5.844	0.449	-0.643	-0.382	0.689
FACTOR(39)	-9.343	-1.352	-0.496	-0.381	1.064
FACTOR(40)	-3.996	2.597	0.373	-0.798	0.618
FACTOR(41)	-1.432	-0.422	0.716	-0.307	1.015
FACTOR(42)	5.851	-1.719	0.850	0.639	0.111
FACTOR(43)	-2.754	-0.275	-0.342	-0.141	1.145
FACTOR(44)	-3.465	-2.389	0.077	0.375	1.222
FACTOR(45)	.	.	.	.	.
FACTOR(46)	.	.	.	.	.
FACTOR(47)	.	.	.	.	.
FACTOR(48)	-5.143	0.770	-0.884	0.091	-0.735
FACTOR(49)	.	.	.	.	.
FACTOR(50)	.	.	.	.	.
FACTOR(51)	.	.	.	.	.
FACTOR(52)	.	.	.	.	.

---

***FIG. 120B***

		0.37	0.03
FACTOR(1)	4		0
		0.14	-
FACTOR(2)	8		0.102
		0.37	-
FACTOR(3)	3		0.046
		0.58	0.00
FACTOR(4)	9		7
		0.52	0.33
FACTOR(5)	3		5
		0.17	-
FACTOR(6)	9		0.117
		-	0.13
FACTOR(7)		0.509	7
		-	0.10
FACTOR(8)		0.042	5
		0.09	-
FACTOR(9)	1		0.114
		-	0.26
FACTOR(10)		0.030	1
		0.17	0.02
FACTOR(11)	9		2
		-	-
FACTOR(12)		0.054	0.268
		-	0.10
FACTOR(13)		0.182	1
		0.55	0.34
FACTOR(14)	5		5
		0.23	-
FACTOR(15)	7		0.334
		-	0.03
FACTOR(16)		0.119	9
		-	0.31
FACTOR(17)		0.276	7
		0.01	-
FACTOR(18)	2		0.202
		-	-
FACTOR(19)		0.076	0.087
		-	-
FACTOR(20)		0.539	0.292
		-	0.06
FACTOR(21)		0.531	4
		0.04	-
FACTOR(22)	3		0.498
		0.04	-
FACTOR(23)	3		0.085
		-	-
FACTOR(24)		0.370	0.429
		0.00	-
FACTOR(25)	4		0.397
		-	-
FACTOR(26)		0.610	0.078
		-	0.28
FACTOR(27)		0.710	4
		0.29	0.22
FACTOR(28)	3		6
		-	0.03
FACTOR(29)		0.498	1
		-	0.03
FACTOR(30)		0.362	8
		0.10	-
FACTOR(31)	5		0.183
		0.39	0.07
FACTOR(32)			

**FIG. 120C**

	7	1
FACTOR(33)	- 0.655	- 0.297
FACTOR(34)	- 0.101	0.30 0
FACTOR(35)	- 0.440	0.12 4
FACTOR(36)	0.09 1	- 0.195
FACTOR(37)	0.31 4	0.59 4
FACTOR(38)	0.39 5	- 0.398
FACTOR(39)	0.74 2	- 0.151
FACTOR(40)	- 0.032	0.41 0
FACTOR(41)	- 0.317	- 0.169
FACTOR(42)	- 0.430	0.41 3
FACTOR(43)	0.04 0	- 0.235
FACTOR(44)	- 0.340	0.34 3
FACTOR(45)	.	.
FACTOR(46)	.	.
FACTOR(47)	.	.
FACTOR(48)	0.15 2	0.24 1
FACTOR(49)	.	.
FACTOR(50)	.	.
FACTOR(51)	.	.
FACTOR(52)	.	.

Canonical discriminant functions -- standardized by within variances

**FIG. 120D**

	1	2	3	4	5
FACTOR(1)	27.438	3.560	0.843	1.427	0.270
FACTOR(2)	-6.267	6.619	-1.701	2.550	-0.376
FACTOR(3)	-16.017	-10.274	2.733	1.002	-0.229
FACTOR(4)	12.113	-4.932	1.466	-1.255	0.058
FACTOR(5)	14.841	-2.377	-0.544	-0.513	0.154
FACTOR(6)	-2.351	-3.525	0.885	-1.473	0.044
FACTOR(7)	-7.108	-14.842	-2.433	-0.544	-0.051
FACTOR(8)	-9.948	6.632	-1.270	-0.400	-0.465
FACTOR(9)	6.671	4.888	-0.611	-0.128	0.757
FACTOR(10)	1.268	7.105	0.112	-0.551	0.506
FACTOR(11)	12.950	-2.135	-1.135	0.492	0.937
FACTOR(12)	13.992	-7.404	-2.089	-0.885	-0.234
FACTOR(13)	-0.462	7.670	1.774	-1.332	0.010
FACTOR(14)	4.507	-5.381	-1.613	0.358	0.519
FACTOR(15)	0.253	-4.373	1.244	0.297	-0.090
FACTOR(16)	1.100	1.219	-0.588	-0.401	0.330
FACTOR(17)	-19.311	2.780	-0.015	1.281	0.659
FACTOR(18)	-7.069	9.754	1.983	0.048	0.240
FACTOR(19)	3.083	-3.727	-0.262	-0.050	-0.797
FACTOR(20)	5.224	-14.281	0.440	-0.380	-0.412
FACTOR(21)	-4.385	8.410	1.632	-1.803	-0.376
FACTOR(22)	-11.841	1.424	-1.942	-0.313	0.021
FACTOR(23)	0.326	7.844	-1.281	-0.375	-0.033
FACTOR(24)	16.806	-1.427	1.553	0.226	1.227
FACTOR(25)	4.955	4.104	-0.182	0.870	0.165
FACTOR(26)	-13.789	1.446	-0.830	0.218	0.434
FACTOR(27)	5.664	-4.357	-1.257	0.867	1.086
FACTOR(28)	-7.455	3.259	0.074	-0.516	0.201
FACTOR(29)	7.290	0.406	1.117	0.207	0.107
FACTOR(30)	2.048	3.745	0.230	0.211	-1.142
FACTOR(31)	4.071	1.650	1.058	1.107	0.501

*FIG. 121A*



FACTOR(32)	-13.329	-0.589	-0.239	-0.843	2.114
FACTOR(33)	3.082	-0.136	0.593	0.075	1.371
FACTOR(34)	5.540	-1.505	0.312	0.195	0.751
FACTOR(35)	4.666	1.531	0.968	0.341	0.183
FACTOR(36)	-6.457	0.859	-0.125	0.693	0.757
FACTOR(37)	3.832	-3.623	1.159	0.154	0.270
FACTOR(38)	-5.971	0.459	-0.657	-0.390	0.704
FACTOR(39)	-9.213	-1.333	-0.489	-0.376	1.049
FACTOR(40)	-4.113	2.673	0.384	-0.821	0.636
FACTOR(41)	-1.483	-0.437	0.741	-0.318	1.051
FACTOR(42)	5.971	-1.754	0.867	0.652	0.113
FACTOR(43)	-2.855	-0.285	-0.355	-0.146	1.187
FACTOR(44)	-3.504	-2.416	0.078	0.379	1.236
FACTOR(45)	.	.	.	.	.
FACTOR(46)	.	.	.	.	.
FACTOR(47)	.	.	.	.	.
FACTOR(48)	-5.373	0.804	-0.924	0.095	-0.768
FACTOR(49)	.	.	.	.	.
FACTOR(50)	.	.	.	.	.
FACTOR(51)	.	.	.	.	.
FACTOR(52)	.	.	.	.	.

---

***FIG. 121B***

	6	7
FACTOR(1)	7 0.32	7 0.02
FACTOR(2)	6 0.12	- 0.087
FACTOR(3)	4 0.23	- 0.029
FACTOR(4)	4 0.57	7 0.00
FACTOR(5)	5 0.52	6 0.33
FACTOR(6)	5 0.18	- 0.120
FACTOR(7)	- 0.435	7 0.11
FACTOR(8)	- 0.043	8 0.10
FACTOR(9)	5 0.09	- 0.119
FACTOR(10)	- 0.031	1 0.27
FACTOR(11)	3 0.18	3 0.02
FACTOR(12)	- 0.053	- 0.260
FACTOR(13)	- 0.182	1 0.10
FACTOR(14)	2 0.55	2 0.34
FACTOR(15)	7 0.24	- 0.346
FACTOR(16)	- 0.127	2 0.04
FACTOR(17)	- 0.266	6 0.30
FACTOR(18)	2 0.01	- 0.202
FACTOR(19)	- 0.081	- 0.092
FACTOR(20)	- 0.508	- 0.275
FACTOR(21)	0.494	9 0.05
FACTOR(22)	2 0.04	- 0.496
FACTOR(23)	5 0.04	- 0.089
FACTOR(24)	- 0.346	- 0.402
FACTOR(25)	4 0.00	- 0.410
FACTOR(26)	- 0.616	- 0.079
FACTOR(27)	- 0.678	1 0.27
FACTOR(28)	7 0.30	7 0.23
FACTOR(29)	- 0.518	2 0.03
FACTOR(30)	- 0.373	- 0.04
FACTOR(31)	9 0.10	- 0.190

**FIG. 121C**

FACTOR(32)	0.34	0.06
	8	2
FACTOR(33)	-	-
	0.642	0.291
FACTOR(34)	-	0.31
	0.105	4
FACTOR(35)	-	0.13
	0.460	0
FACTOR(36)	0.09	-
	5	0.204
FACTOR(37)	0.31	0.59
	4	5
FACTOR(38)	0.40	-
	4	0.406
FACTOR(39)	0.73	-
	2	0.149
FACTOR(40)	-	0.42
	0.033	2
FACTOR(41)	-	-
	0.329	0.175
FACTOR(42)	-	0.42
	0.439	2
FACTOR(43)	0.04	-
	1	0.244
FACTOR(44)	-	0.34
	0.344	6
FACTOR(45)	.	.
FACTOR(46)	.	.
FACTOR(47)	.	.
FACTOR(48)	0.15	0.25
	9	1
FACTOR(49)	.	.
FACTOR(50)	.	.
FACTOR(51)	.	.
FACTOR(52)	.	.

**FIG. 121D**

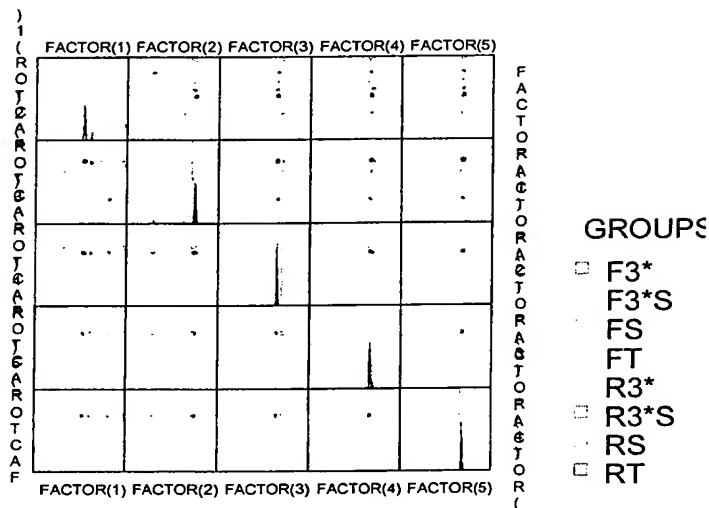
Canonical scores of group means

	1	2	3	4	5
F3*	43.081	113.251	4.364	1.429	2.323
F3*!	104.714	14.520	9.260	0.616	2.977
FS	86.840	25.022	13.495	4.830	3.285
FT	10.393	18.853	6.650	9.729	0.283
R3*	62.606	7.312	9.120	7.595	10.641
R3*!	19.093	18.816	7.253	7.728	2.641
RS	92.468	11.944	11.481	5.703	6.912
RT	41.768	25.145	5.995	0.841	4.729

	6	7
F3*	1.03	-
	3	0.204
F3*:	-	0.15
	0.842	7
FS	3.79	-
	2	1.371
FT	-	-
	2.362	0.091
R3*	-	1.30
	0.258	9
R3*:	-	-
	0.670	3.601
RS	-	1.24
	3.109	4
RT	2.86	1.37
	1	5

Canonical Scores Plot

**FIG. 122A**



\*\*\*WARNING\*\*\*

The file

C:\Utilisateurs\OGp8586\Pr81OG290802F.SYD

was read for processing, and its contents have been replaced by saving the processed data into it.

53 cases and 56 variables processed and saved.

Distance metric is Euclidean distance

k-means splitting cases into 3 groups

Summary statistics for all cases

Variable	Between SS	df	Within SS	df	F-ratio
FACTOR(1)	4.310	2	47.690	50	2.259
FACTOR(2)	2.931	2	49.069	50	1.493
FACTOR(3)	1.260	2	50.740	50	0.621
FACTOR(4)	0.450	2	51.550	50	0.218
FACTOR(5)	0.433	2	51.567	50	0.210

FACTOR (6)	0.993	2	51.007	50	0.487
FACTOR (7)	1.371	2	50.629	50	0.677
FACTOR (8)	0.373	2	51.627	50	0.181
FACTOR (9)	1.368	2	50.632	50	0.675
FACTOR (10)	1.309	2	50.691	50	0.646
FACTOR (11)	5.184	2	46.816	50	2.768
FACTOR (12)	4.242	2	47.758	50	2.221
FACTOR (13)	3.361	2	48.639	50	1.727
FACTOR (14)	0.109	2	51.891	50	0.052
FACTOR (15)	0.219	2	51.781	50	0.106
FACTOR (16)	2.089	2	49.911	50	1.046
FACTOR (17)	4.144	2	47.856	50	2.165
FACTOR (18)	3.101	2	48.899	50	1.586
FACTOR (19)	1.107	2	50.893	50	0.544
FACTOR (20)	3.794	2	48.206	50	1.968
FACTOR (21)	2.569	2	49.431	50	1.299
FACTOR (22)	0.117	2	51.883	50	0.057
FACTOR (23)	2.352	2	49.648	50	1.184
FACTOR (24)	4.014	2	47.986	50	2.091
FACTOR (25)	0.662	2	51.338	50	0.322
FACTOR (26)	1.397	2	50.603	50	0.690
FACTOR (27)	0.297	2	51.703	50	0.144
FACTOR (28)	1.058	2	50.942	50	0.519
FACTOR (29)	1.008	2	50.992	50	0.494
FACTOR (30)	0.535	2	51.465	50	0.260
FACTOR (31)	1.603	2	50.397	50	0.795
FACTOR (32)	2.181	2	49.819	50	1.095
FACTOR (33)	0.690	2	51.310	50	0.336
FACTOR (34)	0.029	2	51.971	50	0.014
FACTOR (35)	4.310	2	47.690	50	2.260
FACTOR (36)	2.031	2	49.969	50	1.016
FACTOR (37)	0.522	2	51.478	50	0.253
FACTOR (38)	10.691	2	41.309	50	6.470
FACTOR (39)	1.890	2	50.110	50	0.943
FACTOR (40)	0.161	2	51.839	50	0.077
FACTOR (41)	1.642	2	50.358	50	0.815
FACTOR (42)	1.395	2	50.605	50	0.689
FACTOR (43)	4.625	2	47.375	50	2.441
FACTOR (44)	2.887	2	49.113	50	1.469
FACTOR (45)	0.385	2	51.615	50	0.187
FACTOR (46)	2.941	2	49.059	50	1.499
FACTOR (47)	1.830	2	50.170	50	0.912
FACTOR (48)	0.753	2	51.247	50	0.368
FACTOR (49)	0.026	2	51.974	50	0.012
FACTOR (50)	1.858	2	50.142	50	0.927
FACTOR (51)	1.300	2	50.700	50	0.641
FACTOR (52)	4.092	2	47.908	50	2.135
** TOTAL **	104.000	104	2600.000	2600	

Cluster 1 of 3 contains 18 cases

Members			Statistics			
Case	Distance	Variable	Minimum	Mean	Maximum	St.Dev.
Case 1	0.97	FACTOR (1)	-0.87	0.36	1.38	0.58
Case 5	0.97	FACTOR (2)	-0.59	0.29	1.34	0.60
Case 6	0.97	FACTOR (3)	-1.65	-0.19	0.69	0.50
Case 8	0.97	FACTOR (4)	-1.08	-0.05	1.66	0.74
Case 10	0.97	FACTOR (5)	-0.60	0.08	0.88	0.45
Case 11	0.97	FACTOR (6)	-1.30	-0.09	1.61	0.74
Case 13	0.97	FACTOR (7)	-1.71	-0.21	1.07	0.70
Case 14	0.97	FACTOR (8)	-1.03	0.07	1.06	0.62
Case 16	0.97	FACTOR (9)	-0.52	0.11	0.58	0.34
Case 17	0.97	FACTOR (10)	-2.74	-0.17	1.61	0.94
Case 18	0.97	FACTOR (11)	-0.68	0.24	1.02	0.46
Case 19	0.97	FACTOR (12)	-1.61	-0.01	1.21	0.68

**FIG. 122B**

Case 20	0.97	FACTOR (13)	-1.30	0.01	0.88	0.55
Case 21	0.97	FACTOR (14)	-1.38	0.06	0.94	0.51
Case 28	0.97	FACTOR (15)	-0.82	0.06	1.20	0.57
Case 36	0.97	FACTOR (16)	-1.60	-0.12	0.65	0.62
Case 38	0.97	FACTOR (17)	-1.62	0.07	1.57	0.81
Case 53	0.97	FACTOR (18)	-1.10	0.22	2.55	0.94
		FACTOR (19)	-1.25	0.15	3.67	1.00
		FACTOR (20)	-1.48	-0.30	1.47	0.87
		FACTOR (21)	-1.51	-0.15	1.68	0.83
		FACTOR (22)	-2.73	-0.06	2.08	1.12
		FACTOR (23)	-1.86	-0.06	1.44	0.90
		FACTOR (24)	-1.48	0.20	2.00	1.09
		FACTOR (25)	-1.53	0.11	2.06	0.94
		FACTOR (26)	-1.20	0.18	2.67	0.98
		FACTOR (27)	-1.91	-0.08	1.35	1.02
		FACTOR (28)	-2.43	0.09	1.61	0.99
		FACTOR (29)	-1.28	0.04	1.79	0.87
		FACTOR (30)	-2.91	0.05	1.90	1.17
		FACTOR (31)	-1.86	0.20	2.39	1.15
		FACTOR (32)	-2.49	-0.24	1.56	1.25
		FACTOR (33)	-1.58	0.03	1.91	0.99
		FACTOR (34)	-1.55	-0.00	2.96	1.01
		FACTOR (35)	-2.25	-0.31	1.85	1.17
		FACTOR (36)	-2.91	0.07	1.90	1.14
		FACTOR (37)	-2.83	0.13	2.35	1.43
		FACTOR (38)	-2.61	-0.62	2.33	1.15
		FACTOR (39)	-2.80	-0.26	2.23	1.14
		FACTOR (40)	-2.61	0.01	2.51	1.25
		FACTOR (41)	-3.28	-0.24	2.90	1.44
		FACTOR (42)	-2.52	0.05	2.78	1.41
		FACTOR (43)	-2.88	0.31	2.13	1.14
		FACTOR (44)	-1.49	-0.04	1.99	0.96
		FACTOR (45)	-1.42	0.11	1.83	0.91
		FACTOR (46)	-1.62	-0.11	2.10	0.97
		FACTOR (47)	-2.13	0.26	2.79	1.24
		FACTOR (48)	-3.21	-0.15	1.91	1.42
		FACTOR (49)	-1.52	-0.02	2.29	1.03
		FACTOR (50)	-3.70	-0.23	1.37	1.41
		FACTOR (51)	-2.42	0.21	3.70	1.43
		FACTOR (52)	-1.87	0.35	5.52	1.49

Cluster 2 of 3 contains 18 cases

Members			Statistics			
Case	Distance	Variable	Minimum	Mean	Maximum	St.Dev.
Case 22	0.97	FACTOR (1)	-1.96	-0.04	1.50	0.99
Case 23	0.97	FACTOR (2)	-1.65	-0.28	1.84	0.91
Case 25	0.97	FACTOR (3)	-2.16	0.18	2.85	1.30
Case 26	0.97	FACTOR (4)	-3.55	0.13	2.26	1.31
Case 29	0.97	FACTOR (5)	-2.04	0.04	2.02	1.17
Case 30	0.97	FACTOR (6)	-1.84	0.19	3.40	1.41
Case 31	0.97	FACTOR (7)	-2.58	0.18	2.90	1.43
Case 33	0.97	FACTOR (8)	-1.79	0.05	3.56	1.31
Case 34	0.97	FACTOR (9)	-2.10	0.11	1.92	1.30
Case 35	0.97	FACTOR (10)	-2.21	0.20	1.62	1.01
Case 37	0.97	FACTOR (11)	-2.89	-0.44	2.63	1.28
Case 39	0.97	FACTOR (12)	-0.86	0.34	2.99	0.96
Case 41	0.97	FACTOR (13)	-1.25	0.30	1.52	0.81
Case 42	0.97	FACTOR (14)	-2.72	-0.05	3.12	1.29
Case 43	0.97	FACTOR (15)	-1.89	-0.09	2.38	1.28
Case 45	0.97	FACTOR (16)	-1.83	-0.15	1.79	1.02
Case 49	0.97	FACTOR (17)	-3.46	-0.36	1.37	1.26
Case 51	0.97	FACTOR (18)	-1.87	-0.33	2.39	1.19
		FACTOR (19)	-1.52	-0.19	1.56	0.83
		FACTOR (20)	-1.04	0.34	2.34	0.91

**FIG. 122C**

FACTOR (21)	-1.76	-0.15	1.64	0.88
FACTOR (22)	-2.88	0.05	1.52	1.06
FACTOR (23)	-1.30	0.28	1.77	0.87
FACTOR (24)	-1.56	0.18	1.13	0.74
FACTOR (25)	-2.32	-0.15	1.30	1.13
FACTOR (26)	-2.06	0.02	2.86	1.08
FACTOR (27)	-1.84	0.10	1.31	0.96
FACTOR (28)	-3.30	-0.20	2.60	1.25
FACTOR (29)	-2.04	0.14	1.94	1.03
FACTOR (30)	-3.05	0.09	1.97	1.13
FACTOR (31)	-2.39	-0.22	1.77	1.10
FACTOR (32)	-1.41	0.00	1.38	0.87
FACTOR (33)	-1.87	0.12	3.89	1.17
FACTOR (34)	-1.66	-0.03	2.05	0.98
FACTOR (35)	-1.30	-0.05	1.39	0.79
FACTOR (36)	-2.33	-0.26	0.85	0.85
FACTOR (37)	-1.47	-0.11	0.94	0.67
FACTOR (38)	-0.69	0.39	2.27	0.72
FACTOR (39)	-1.65	0.15	2.24	0.95
FACTOR (40)	-1.99	0.06	2.46	0.98
FACTOR (41)	-1.96	0.06	1.12	0.73
FACTOR (42)	-1.48	-0.22	1.04	0.71
FACTOR (43)	-2.27	0.07	1.99	0.86
FACTOR (44)	-1.75	-0.26	0.43	0.60
FACTOR (45)	-2.00	-0.02	1.13	0.75
FACTOR (46)	-0.59	0.32	2.18	0.77
FACTOR (47)	-2.07	-0.14	1.24	0.91
FACTOR (48)	-0.86	0.01	1.02	0.46
FACTOR (49)	-1.65	-0.01	1.88	0.74
FACTOR (50)	-1.15	0.01	2.45	0.76
FACTOR (51)	-1.95	-0.15	0.52	0.59
FACTOR (52)	-0.85	-0.04	1.08	0.39

Cluster 3 of 3 contains 17 cases

Members		Statistics				
Case	Distance	Variable	Minimum	Mean	Maximum	St.Dev.
Case 2	0.97	FACTOR (1)	-2.67	-0.34	1.58	1.26
Case 3	0.97	FACTOR (2)	-4.29	-0.01	1.70	1.34
Case 4	0.97	FACTOR (3)	-3.06	0.01	1.49	1.05
Case 7	0.97	FACTOR (4)	-1.44	-0.08	2.65	0.90
Case 9	0.97	FACTOR (5)	-3.05	-0.13	2.34	1.25
Case 12	0.97	FACTOR (6)	-1.95	-0.10	1.24	0.71
Case 15	0.97	FACTOR (7)	-1.12	0.03	1.24	0.69
Case 24	0.97	FACTOR (8)	-2.94	-0.12	1.55	1.00
Case 27	0.97	FACTOR (9)	-2.80	-0.23	1.73	1.12
Case 32	0.97	FACTOR (10)	-1.57	-0.03	1.85	1.07
Case 40	0.97	FACTOR (11)	-1.92	0.20	2.23	0.98
Case 44	0.97	FACTOR (12)	-3.64	-0.35	1.09	1.23
Case 46	0.97	FACTOR (13)	-3.30	-0.32	2.52	1.42
Case 47	0.97	FACTOR (14)	-2.33	-0.00	2.00	1.10
Case 48	0.97	FACTOR (15)	-2.66	0.02	1.87	1.07
Case 50	0.97	FACTOR (16)	-2.14	0.29	2.82	1.27
Case 52	0.97	FACTOR (17)	-0.84	0.31	2.01	0.77
		FACTOR (18)	-1.47	0.12	1.58	0.79
		FACTOR (19)	-2.40	0.05	2.69	1.18
		FACTOR (20)	-1.58	-0.04	2.30	1.15
		FACTOR (21)	-1.10	0.32	3.10	1.24
		FACTOR (22)	-1.15	0.01	1.63	0.85
		FACTOR (23)	-3.20	-0.23	1.17	1.20
		FACTOR (24)	-3.25	-0.40	0.87	1.08
		FACTOR (25)	-1.25	0.04	2.36	0.95
		FACTOR (26)	-2.19	-0.22	0.98	0.94
		FACTOR (27)	-2.32	-0.02	1.60	1.08
		FACTOR (28)	-0.81	0.11	1.39	0.70

**FIG. 122D**

FACTOR (29)	-2.02	-0.19	1.91	1.12
FACTOR (30)	-1.45	-0.14	0.90	0.64
FACTOR (31)	-1.32	0.01	1.44	0.68
FACTOR (32)	-1.07	0.26	2.55	0.81
FACTOR (33)	-2.34	-0.16	1.04	0.84
FACTOR (34)	-1.63	0.03	2.15	1.07
FACTOR (35)	-0.87	0.39	3.01	0.93
FACTOR (36)	-0.85	0.21	2.47	0.99
FACTOR (37)	-1.42	-0.02	1.98	0.75
FACTOR (38)	-0.94	0.25	2.60	0.80
FACTOR (39)	-2.19	0.12	1.53	0.88
FACTOR (40)	-1.06	-0.07	1.56	0.74
FACTOR (41)	-0.49	0.18	1.55	0.62
FACTOR (42)	-1.77	0.17	1.31	0.73
FACTOR (43)	-2.28	-0.40	1.13	0.88
FACTOR (44)	-2.33	0.31	2.96	1.31
FACTOR (45)	-2.74	-0.10	3.27	1.33
FACTOR (46)	-3.40	-0.23	1.73	1.20
FACTOR (47)	-1.86	-0.12	1.55	0.78
FACTOR (48)	-2.16	0.15	1.63	0.91
FACTOR (49)	-2.51	0.03	3.14	1.24
FACTOR (50)	-1.00	0.23	1.43	0.64
FACTOR (51)	-2.57	-0.06	1.05	0.79
FACTOR (52)	-1.99	-0.33	0.44	0.68

Cluster Parallel Coordinate Plots

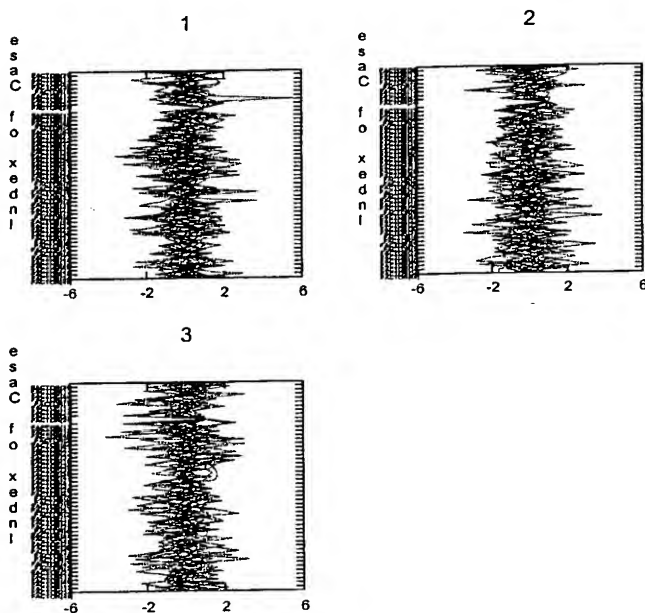
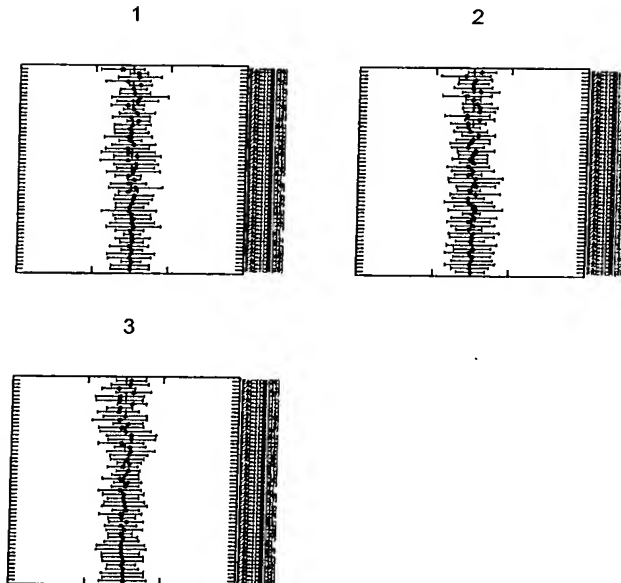


FIG. 123A



### Cluster Profile Plots



***FIG. 123B***